



Sveučilište u Zagrebu

GRAFIČKI FAKULTET

Darijo Čerepinko

**OPTIMIZACIJA GRAFIČKIH PARAMETARA
KORISNIČKOGA SUČELJA ZA 'TABLET NOVINE'**

DOKTORSKI RAD

Zagreb, 2014.



University of Zagreb
FACULTY OF GRAPHIC ARTS

Darijo Čerepinko

OPTIMIZATION OF GRAPHIC PARAMETERS OF USER INTERFACE FOR TABLET NEWSPAPERS

DOCTORAL THESIS

Zagreb, 2014.



Sveučilište u Zagrebu
GRAFIČKI FAKULTET

DARIJO ČEREPINKO

**OPTIMIZACIJA GRAFIČKIH PARAMETARA
KORISNIČKOGA SUČELJA ZA 'TABLET NOVINE'**

DOKTORSKI RAD

Mentor:
prof.dr.sc. Nikola Mrvac

Zagreb, 2014.



University of Zagreb
FACULTY OF GRAPHIC ARTS

Darijo Čerepinko

OPTIMIZATION OF GRAPHIC PARAMETERS OF USER INTERFACE FOR TABLET NEWSPAPERS

DOCTORAL THESIS

Supervisor:
Professor Nikola Mrvac, PhD

Zagreb, 2014.

UDK BROJ: 7.05:004.738.5:070

Povjerenstvo za ocjenu doktorske disertacije:

1. izv. prof. dr. sc. Jesenka Pibernik, Sveučilište u Zagrebu Grafički fakultet, predsjednica,
2. doc. dr. sc. Ivana Žiljak Stanimirović, Sveučilište u Zagrebu Grafički fakultet, članica,
3. prof. dr. sc. Marin Milković, Sveučilište Sjever, Koprivnica, vanjski član.

Povjerenstvo za obranu doktorske disertacije:

1. izv. prof. dr. sc. Jesenka Pibernik, Sveučilište u Zagrebu Grafički fakultet, predsjednica,
2. doc. dr. sc. Ivana Žiljak Stanimirović, Sveučilište u Zagrebu Grafički fakultet, članica,
3. prof. dr. sc. Marin Milković, Sveučilište Sjever, Koprivnica, vanjski član,
4. izv. prof. dr. sc. Klaudio Pap, Sveučilište u Zagrebu Grafički fakultet, član,
5. doc. dr. sc. Damir Modrić, Sveučilište u Zagrebu Grafički fakultet, član,
6. izv. prof. dr. sc. Vesna Džimbeg-Malčić, Sveučilište u Zagrebu Grafički fakultet, zamjenska članica,
7. doc. dr. sc. Mario Tomiša, Sveučilište Sjever, Koprivnica, zamjenski vanjski član.

Datum obrane doktorske disertacije: 30. rujna 2014.

Mjesto obrane doktorske disertacije: Sveučilište u Zagrebu, Grafički fakultet

Povjerenstvo za obranu doktorske disertacije donijelo je sljedeću odluku:

„Obranio– jednoglasnom odlukom Povjerenstva“

ZAHVALA

Rad na doktorskoj disertaciji dugotrajan je, a na trenutke i zamorno iskustvo i tim više je važno oko sebe imati ljude koji vas na tom dugom putu podupiru. Uz moju obitelj, koja je cijelo vrijeme bezrezervno bila uz mene, zahvalu zaslužuju i:

Moj mentor, prof. dr. sc. Nikola Mrvac, koji me je uspješno vodio do kraja ovog procesa, svim poteškoćama usprkos.

Prof. dr. sc. Marin Milković (Sveučilište Sjever), dekan i rektor institucije na kojoj imam čast raditi, a koji je svojim savjetima i energijom umnogome pomogao da dovršim ovaj rad, ali i da bude kvalitetniji i bolji no što sam ga zamislio.

Prof. dr. sc. Marina Vujnović (Monmouth University), koja mi je i ovaj puta, kao i mnogo puta do sada, nesebično pomagala kad god i kako god sam pomoć trebao. I would like to thank Professor Mike Richison (Monmouth University), for all the help and, what is more important, words of comfort and advice when i needed them the most.

Veliko hvala Filipu Horschu, Mariju Jankoviću, Dominiku Đurinu i Josipu Crničkom za svu pomoć i savjete koje su mi pružili tijekom izrade rada. Hvala i Igoru Neuholdu za izuzetno korisne diskusije oko pojedinih tehničkih pitanja, ali i zato što je zahvalio Flashu Gordonu na spašavanju svijeta tamo gdje je smatrao potrebnim.

Posebnu zahvalnost dugujem kolegama Damiri Keček i Robertu Slunjskom jer su mi pomogli probijati se kroz zamršene svjetove statističke obrade podataka.

Najveće hvala svim kolegicama i kolegama, podjednako profesionalkama i profesionalcima, kao i studenticama i studentima koji su sudjelovali u pojedinim fazama istraživanja.

Hvala kolegicama i kolegama sa Sveučilišta Sjever i onima s Grafičkog fakulteta Sveučilišta u Zagrebu koji su mi na ovom putu pomagali i pružali potporu.

Hvala i svim kolegicama i kolegama uključenim u doktorski studij Grafičkog fakulteta Sveučilišta u Zagrebu koji su svojim intervencijama usmjeravali tijekom izrade ovog rada i u konačnici ga, čvrsto vjerujem, učinili boljim.

Na kraju, hvala Grupi 22 i svim mojim prijateljima – kojih je previše da bih ih sad mogao poimence nabrajati – koji su bili uz mene kad sam ih trebao. Najbolji ste na svijetu!

To all my friends abroad: Thank you guys! You rock!

Sažetak

Za potrebe ovog rada težište istraživačkih aktivnosti usmjereno je na definiranje i optimizaciju grafičkih parametara korisničkog sučelja za 'tablet' izdanja novinskih sadržaja. Na temelju zaključaka i rezultata svih provedenih istraživanja, moguće je zaključiti kako kod transfera sadržaja tiskanih novina u digitalno okruženje odnosno u sučelje za tablet novine, treba u mjeri u kojoj je to moguće, slijediti postojeće modele grafičkog oblikovanja i organizacije sadržaja koji postoje kod tiskanih izdanja, a ne online odnosno web izdanja. Istraživanja u radu provedena su metodom konstruktivnog dizajnerskog istraživanja (Constructive Design Research) čije je utemeljenje u istraživanjima ljudsko računalne interakcije i interakcijskog dizajna prikazano u radu, a izabrano je za metodologiju kojom su istraživani grafički parametri korisničkih sučelja za tablet novine jer omogućuje izradu i unaprjeđivanje simulacija korištenih za istraživanje, s obzirom da su prvobitne analize, nakon pregleda literature pokazale kako u trenutku izrade rada nije postojalo adekvatno sučelje za provođenje istraživanja. U radu je dan pregled razvoja novinskog dizajna, od njegovih početaka, koji su obrađeni vrlo kratko sve do pojave modernog novinskog dizajna i transfera novinskog medija u digitalnu tehnologiju. Naznačeni su glavni tipovi novinskog prijeloma i njihove aplikacije u različite novinske formate te su istraženi vizualni parametri i njihov utjecaj na čitalačku publiku. U istraživanjima provedenim prilikom izrade ovog rada sudjelovalo je ukupno 393 ispitanika, a provedeno je 7 različitih istraživanja, uključujući praćenje kretanja oka, mjerenje brzine čitanja s papira, zaslona računala i tablet uređaja te utjecaja multimedijских dodataka na zadovoljstvo ispitanika. Rad sadrži 54 fotografije i ilustracije, 21 grafikon i 14 tablica te 143 bibliografske reference.

Ključne riječi:

aplikacija za tablet novine, grafičko korisničko sučelje, optimizacija,

Abstract:

For the purpose of this study the research activities focused on the definition and optimization of graphical user interface parameters for the Tablet editions of newspapers. Based on the results of the research done, it is possible to conclude that the transfer of content of printed newspapers into digital environment and the interface for tablet newspapers, should to the extent possible, follow existing models of graphic design and organization of content that exist in printed editions and not ones applied to online-web editions. Research work is carried out by applying the Constructive Design Research method which is grounded in research of human computer interaction and interaction design, as shown in this paper. It was selected for the methodology by which the parameters for graphical user interface for tablet newspapers are examined because it enables the creation and improvement of simulations through constant work and solution iterations. This thesis also presents an overview of the evolution of newspaper design, from its beginnings, which are described very briefly, to the advent of modern newspaper design and transfer of newspaper media in digital technology. Main types of newspaper layout and their applications in a variety of formats are identified and different visual parameters and their impact on readership explored. In research conducted a total of 393 respondents were involved and seven different research activities are conducted, including eye tracking research on tablet newspaper page, research of reading speed in different conditions on paper, computer screen and tablet and research of added multimedia format on examinees reading satisfaction . This thesis contains 54 photos and illustrations, 21 graphs, 14 tables and 143 bibliographic references.

Key Words:

Graphical User Interface, Optimization, Tablet Newspapers Application

SADRŽAJ

1. UVOD	1
1.1. CILJ RADA I HIPOTEZE ISTRAŽIVANJA	4
1.2. ZNANSTVENI DOPRINOS	5
2. METODOLOGIJA ISTRAŽIVANJA GRAFIČKIH KORISNIČKIH SUČELJA I ISTRAŽIVANJA NOVINSKOG DIZAJNA	6
2.1. DEFINICIJE KORISNIČKIH SUČELJA	6
2.2. ISTRAŽIVANJA LJUDSKO RAČUNALNE INTERAKCIJE I INETRAKCIJSKOG DIZAJNA.....	10
2.2.1. LJUDSKO – RAČUNALNA INTERAKCIJA	10
2.2.2. INTERAKCIJSKI DIZAJN.....	15
2.3. ISTRAŽIVANJA NOVINSKOG DIZAJNA.....	19
2.4. ISTRAŽIVANJE ČITKOSTI I TIPOGRAFIJE.....	25
2.5. ISTRAŽIVANJA TRANSFERA TISKANIH MEDIJA U DIGITALNE MEDIJSKE FORMATE	30
2.6. KONSTRUKTIVNO DIZAJNERSKO ISTRAŽIVANJE (CONSTRUCTIVE DESIGN RESEARCH).....	34
2.7. ISTRAŽIVANJE SUČELJA ZA TABLET NOVINE	38
3. OSNOVE I RAZVOJ NOVINSKOG DIZAJNA	50
3.1. NOVINSKI DIZAJ I TEHNOLOGIJA PROIZVODNJE DNEVNIH NOVINA	50
3.2. NOVINSKI DIZAJN I GESTALT.....	54
3.3. UPOTREBA MREŽE U NOVINSKOM DIZAJNU	56
3.4. TIPOVI PRIJELOMA I MODERNI NOVINSKI DIZAJN	58
3.5. TRANSFER TISKANIH MEDIJA U NOVE TEHNOLOGIJE	64
4. GRAFIČKI PARAMETRI KORISNIČKOG SUČELJA ZA TABLET NOVINE	72

5. PROCES DIZAJNIRANJA I IZRADE KORISNIČKOG SUČELJA ZA TABLET NOVINE	76
5.1. STRUKTURALNA ANALIZA POSTOJEĆIH TEHNOLOŠKIH RJEŠENJA U PODRUČJU MOBILNIH OSOBNIH RAČUNALA	76
5.1.1. ANALIZA PROIZVODNJE MEDIJSKOG SADRŽAJA TISKANIH MEDIJA U MULTIPLATFORMSKIM PRODUKCIJSKIM UVJETIMA.....	77
5.1.2. PREGLED TEHNOLOŠKIH I EKONOMSKIH PARAMETARA POSTOJEĆIH TEHNOLOGIJA.....	84
5.2. OČEKIVANJA I ZAHTJEVI POTENCIJALNIH KORISNIKA GRAFIČKOG KORISNIČKOG SUČELJA 'TABLET NOVINA'	88
5.3. VIZUALNI ULAZI NA STRANICU 'TABLET NOVINA'	95
5.4. ČITKOST TEKSTA TABLET NOVINA	113
5.5. NAVIGACIJA KROZ TABLET NOVINE	119
5.6. UTJECAJ MULTIMEDIJSKIH FORMATA I POZICIJE ČLANAKA NA NASLOVNOJ STRANICI	122
6. OPTIMIZIRANI MODEL GRAFIČKOG KORISNIČKOG SUČELJA ZA TABLET NOVINE.....	139
7. ZAKLJUČAK.....	148
8. POPIS KORIŠTENE LITERATURE.....	150
9. POPIS TABLICA I SLIKA	160
ŽIVOTOPIS	162
POPIS OBJAVLJENIH RADOVA	163
PRILOZI:	
PRILOG 1 - ANKETNI UPITNIK 1	
PRILOG 2 - ANKETNI UPITNIK 2	
PRILOG 3 - REZULTATI MJERENJA I STATISTIČKA OBRADA PODATAKA	

1. UVOD

Razvoj novih tehnologija donio je grafičkoj industriji eksponencijalni razvoj, ali i suočio je s novim problemima i promjenama. S obzirom na kratko vrijeme u kojem se dogodila tranzicija sadržaja iz klasičnih tiskanih medija na mobilne uređaje, uključujući i tablet računala, cijeli niz parametara vezanih uz oblikovanje grafičkih korisničkih sučelja ostao je znanstveno neistražen i nedefiniran. Nove tehnologije donijele su i nova ograničenja, koje se očituju prije svega u promjeni formata izdanja i mogućnostima korištenja grafičkih sadržaja. Nakon tiskanih izdanja i web stranica, uređaji poput tablet računala postali su mogući smjerovi razvoja aplikacija grafičkih komunikacija. U skladu s tim, danas gotovo da i ne postoje novine bez svog web izdanja, a neke u potpunosti prelaze isključivo u digitalna izdanja.

Pojavom iPad uređaja, tzv. tablet kompjutera, javlja se hardverska platforma namijenjena korištenju audio-vizualnih medijskih formata, između ostalih i elektroničkih knjiga i tiskovina. Već krajem 2011. godine tablet uređaje posjedovalo je 11 % američkih građana [1]. U tom trenutku čak 77 posto korisnika uređaj koriste na dnevnoj bazi, a 54 posto koristilo ga je za konzumaciju vijesti. U veljači 2011. Rupert Murdoch počinje izdavati The Daily, prve 'iPad only' (ili inn-app, kako ga nazivaju) dnevne novine bez vlastitog tiskanog izdanja, koje, iako nisu potrajale dugo, zbog medijske i ine pozornosti koja ih je pratila, za sobom povlače i druge da razmišljaju na sličan način. Većina vodećih izdavača slijedi trend i na brzinu razvija svoje aplikacije. Pristup pojedinim online izdanjima se naplaćuje, a pojedini mediji poput Newsweeka najavljuju prestanak izlaženja tiskanog izdanja. Javljaju se i druge aplikacije poput Flipboarda koje koriste sadržaj iz dostupnih online izvora, između ostalih i onaj dnevnih novina, i prezentiraju ga korisnicima tablet uređaja u tek donekle izmijenjenom prikazu.

Obzirom na brzinu kojom se cijela komunikacijska revolucija odvijala, sa znanstvenog aspekta nisu obrađeni mnogi elementi prijelaza tiskanih medija u tablet aplikacije, a pogotovo nisu definirani prihvatljivi vizualni parametri, kao ni utjecaj različitih multimedijских formata na čitatelje. Pitanje je jesu li novine na iPadu i dalje novine ili ih moramo promatrati kao potpuno novi proizvod i tome prilagoditi i njihov dizajn?

Za potrebe ovog rada težište istraživačkih aktivnosti usmjereno je na definiranje i optimizaciju grafičkih parametara korisničkog sučelja za 'tablet' izdanja novinskih sadržaja.

U poglavlju 2 daje se pregled metodologije istraživanja grafičkih korisničkih sučelja te detaljnije objašnjava metoda konstruktivnog dizajnerskog istraživanja (Constructive Design Research) odnosno njezino utemeljenje u istraživanjima ljudsko računalne interakcije i interakcijskog dizajna. CDR je izabran za metodologiju kojom su istraživani grafički parametri korisničkih sučelja za tablet novine jer omogućuje izradu i unaprjeđivanje simulacija korištenih za istraživanje, s obzirom da su prvobitne analize, nakon pregleda literature pokazale kako u ovom trenutku ne postoji adekvatno sučelje za provođenje istraživanja na domaćoj medijskoj sceni, što je bilo od izuzetne važnosti jer je cilj rada bio istražiti parametre sučelja u okolini koja je do određene mjere poznata korisnicima, na način kako to predlažu metodološke preporuke izdvojene u ovom poglavlju, što je prije svega značilo izraditi korisničko sučelje na hrvatskom jeziku i s prilagođenim sadržajem. U poglavlju su također izdvojene i objašnjene metode i različiti parametri istraživanja niza autora iz polja ljudsko-računalne komunikacije, interakcijskog dizajna i novinskog dizajna, uključujući i istraživanja u polju transfera novina u prostor digitalnih tehnologija.

U trećem poglavlju pozornost je posvećena razvoju novinskog dizajna, od njegovih početaka, koji su obrađeni vrlo kratko sve do pojave modernog novinskog dizajna i transfera novinskog medija u digitalnu tehnologiju. Naznačeni su glavni tipovi novinskog prijeloma i njihove aplikacije u različite novinske formate te su istraženi vizualni parametri i njihov utjecaj na čitalačku publiku.

Poglavlje četiri, na osnovu pregleda literature i ranijih istraživanja kratko sumira osnovne parametre koji su se istraživali kako bi se dobio optimizirani model grafičkog korisničkog sučelja za tablet novine. Pregled i definiranje nužnih parametara koristilo se u definiranju svih potrebnih istraživanja kako bi se mogao postaviti i kasnije verificirati optimizirani model grafičkog korisničkog sučelja za tablet novine.

U petom poglavlju, sukladno metodološkim preporukama, daje se pregled aktivnosti i rezultata istraživanja. Samo poglavlje podijeljeno je sukladno obavljenim istraživanjima.

U poglavlju 5.1. daju se rezultati Strukturalne analize postojećih tehnoloških rješenja u području mobilnih osobnih računala kako bi se odabrala optimalna tehnologija za provođenje istraživanja. U poglavlju 5.2 predočeni su rezultati anketnog istraživanja kojim se definiralo očekivanja i zahtjevi potencijalnih korisnika grafičkog korisničkog sučelja 'tablet novina', kako bi se mogao odrediti smjer u kojem treba nastaviti s istraživanjem odnosno kako bi se utvrdilo na kojem će se modelu provesti istraživanje optimalnih karakteristika. S obzirom da se u istraživanju pokazalo da postojeći modeli koji se koriste u praksi nisu adekvatni te nisu u skladu s teorijskim postavkama, krenulo se u izradu simulacija koje su korištene u daljnjim istraživanjima. Poglavlje 5.3. daje pregled istraživanja vizualnih ulaza na stranicu 'tablet novina' korištenjem metodologije praćenja kretanja oka, a poglavlje 5.4. bavi se problemom čitkosti teksta tablet novina. U poglavlju 5.5. prezentirani su rezultati fokus grupe koju su sačinjavali odabrani stručnjaci iz područja grafičkog dizajna i programiranja. Fokus grupa bila je usmjerena na definiranje idealnog oblika navigacije kroz tablet aplikaciju dnevnih novina. U poglavlju 5.6. predstavljeni su rezultati istraživanja utjecaja multimedijских formata i pozicije članka na stranici tablet novina.

U poglavlju 6. sakupljeni su i diskutirani svi rezultati istraživanja kako bi se definirale karakteristike optimiziranog modela grafičkog korisničkog sučelja za tablet novine. ujedno su prikazani i rezultati anketnog istraživanja kojem je cilj bio verificirati spomenuti model. Istraživanje je provedeno korištenjem simulacije koja je koristila spoznaje dobivene iz ranijih istraživanja. Rezultati anketnog istraživanja uspoređeni su s rezultatima istraživanja iz poglavlja 5.2.

U poglavlju 7. dan je kratki pregled te zaključak istraživanja, objašnjena su ograničenja istraživanja te su predloženi smjerovi daljnjeg istraživanja teme.

Poglavlje 8. Sadrži popis referentne literature korištene u izradi ove disertacije.

1.1. CILJ RADA I HIPOTEZE ISTRAŽIVANJA

Cilj rada je odrediti stupanj razvoja tehnoloških rješenja postojećih korisničkih sučelja za tablet računala, utvrditi optimalne elemente grafičkog oblikovanja za izradu korisničkih sučelja tablet izdanja te na osnovu rezultata istraživanja predložiti potencijalne daljnje pravce njihovog razvoja.

U okviru istraživanja izradila se simulacija korisničkog sučelja 'tablet novina', istražila se korisnička interakcija i definirao optimizirani model koji je verificiran završnim istraživanjem.

Na početku rada postavljene su sljedeće hipoteze:

H1: Vizualni i grafički standardi postavljeni za tiskane dnevne novine i web izdanja u većoj mjeri ne mogu se primijeniti i kod tablet izdanja.

H2: Multimedijски sadržaji integrirani u sadržaj tablet izdanja značajnije povećavaju interes i zadovoljstvo korisnika.

Kako bi se istražile spomenute hipoteze, provedena su tri eksperimenta, odrađena dva terenska istraživanja i organizirano više intervjua i fokus grupa s različitim tipovima ispitanika, profesionalaca u polju grafičkog dizajna i njegovih digitalnih inačica i korisnika s iskustvom u korištenju promatranih tehnologija i uređaja.

1.2. ZNANSTVENI DOPRINOS

Rad je omogućio potvrđivanje ranije definiranog očekivanog znanstvenog doprinosa i to:

- 1) Definiranje optimalnih parametara za reprodukciju grafičkih i multimedijских sadržaja za izabranu tehnologiju.
- 2) Izradu optimiziranog modela tablet izdanja za reprodukciju grafičkih i multimedijских sadržaja u promatranom okruženju.
- 3) Verifikaciju predloženog modela u realnom okruženju.

Rad je, također, omogućio i definiranje integrativnog modela proizvodnje medijskog sadržaja dnevnih novina u multiplatformskim uvjetima.

2. METODOLOGIJA ISTRAŽIVANJA GRAFIČKIH KORISNIČKIH SUČELJA I ISTRAŽIVANJA NOVINSKOG DIZAJNA

Grafičko korisničko sučelje za tablet novine je sučelje koje omogućuje ljudsku interakciju s informacijama prezentiranim u grafičkom obliku prilagođeno posebnom tipu računala pa je stoga za istraživanje njegovih karakteristika i definiranje optimalnog modela grafičkog korisničkog sučelja potrebno koristiti niz različitih znanstvenih metoda koje su primijenjene u ovom radu: od metoda koje se koriste u istraživanjima ljudsko računalne interakcije (HCI – Human Computer Interaction) i interakcijskog dizajna, metoda istraživanja baziranih na teoriji aktivnosti, metode modeliranja, do stohastičkih i statističkih metoda obrade podataka. One će biti prezentirane i objašnjene u ovom poglavlju.

2.1. DEFINICIJE KORISNIČKIH SUČELJA

'Korisničko sučelje najvažniji je dio bilo kojeg računalnog sustava (jer) za većinu korisnika ono je sustav' [2, str. 1], odnosno korisničko sučelje jedini je dodir korisnika sa sustavom i ujedno i sredstvo koje korisniku omogućuje korištenje različitih mogućnosti i funkcija računala. Ono je dio računalnog sustava koje korisnici mogu 'vidjeti, čuti, dodirnuti, govoriti mu ili ga na drugi način razumjeti ili usmjeriti' [2, str. 4]. Sastoji se od ulaza, odnosno načina na koji korisnik komunicira svoje potrebe i želje prema računalu i od izlaza, odnosno reakcije računalnog sustava na zahtjeve i poruke odnosno podražaje korisnika, pri čemu će kvalitetno napravljeno i organizirano sučelje predstavljati mješavinu različitih oblika za interakciju bilo ulaznih, bilo izlaznih podataka.

Grafičko korisničko sučelje je 'niz različitih prikaza i interakcijskih tehnika povezanih u zajednički sustav' odnosno 'skup elemenata – objekata – koji se mogu vidjeti, dodirnuti, čuti ili na neki drugi način doživjeti, a čija je svrha provođenje određenih operacija i zadaća, neovisno od drugih objekata' [2, str. 16].

Karakterizira ga:

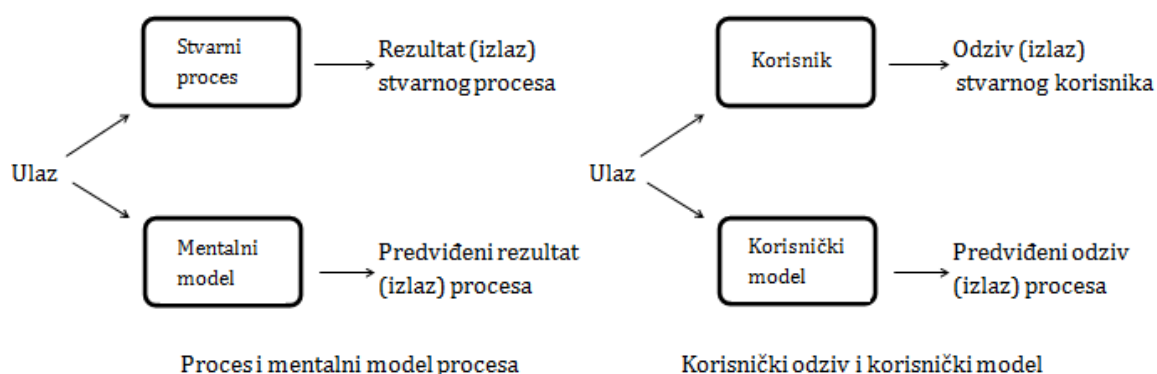
- a) sofisticirana vizualna prezentacija i kontinuirano prisustvo;
- b) pick-and-click interakcija;
- c) ograničen broj opcija sučelja;

- d) vizualizacija;
- e) orijentacija objekata;
- f) korištenje prepoznavanja i
- g) istodobno izvođenje funkcija [2, str. 24-28].

Najčešći način korištenja grafičkog korisničkog sučelja je direktna manipulacija objektima, odnosno selektiranje i korištenje pojedinih elemenata upotrebom neke vrste pokaznog mehanizma, poput miša, joysticka ili zaslona osjetljivog na dodir.

Da bi bilo uspješno, grafičko korisničko sučelje, prema Marcusu [3, str. 424], 'mora točno i efikasno biti povezano uz zadatke, radne sljedove, ciljeve, edukaciju, osobnost i kulturu korisnika' te 'pružiti sljedeće komponente dizajna u funkcionalnoj i estetskoj formi (poznatoj i kao forma orijentirana performansama i preferencama):

- a) metafore (osnovne koncepte komunicirane kroz pojmove i slike);
- b) mentalni model (organizaciju podataka, funkcija, zadataka i uloga);
- c) navigaciju mentalnim modelom (menije, ikone, dijaloški okvir i prozore);
- d) izgled (vizualna, čujna i verbalna svojstva kontrola i pozadine) te
- f) interakciju (ponašanje kontrola interaktivnog zaslona te ulaznih i izlaznih uređaja za prikaz)' [3, str. 432].



Slika 2.1. Proces , mentalni model, korisnička reakcija [4, str. 50]

Allen radi jasnu distinkciju između mentalnog modela i modela korisnika [4]. Modeli su, prema njemu, aproksimacije objekata ili procesa koji zadržavaju najznačajnije aspekte originala. Pri tome, mentalni model je aproksimacija očekivanog načina razmišljanja korisnika, a model korisnika je aproksimacija očekivanog načina ponašanja korisnika odnosno načina na koji će se korisnik koristiti uređaj. Mentalni modeli počivaju na konceptualnim modelima koji do određene mjere opisuju mentalne modele: metaforama, surogatima, mapama akcija, planovima itd. Cilj oba tipa modela je sintetizirati nekoliko koraka procesa i organizirati ih u jedinstvenu cjelinu ili jedinicu, nije nužno sintetizirati sve procese, može čak biti i nepotpun, dokle god zadržava najvažnije funkcionalne i procesne elemente [4, str. 50].

Svaki model morao bi zadovoljiti isti set kriterija kako bi se mogao smatrati uspješnim:

- 1) primjerenost;
- 2) točnost;
- 3) općenitost;
- 4) prilagodljivost;
- 5) lakoću daljnjeg razvoja i održavanja i
- 6) korisnost.

Zelenika ističe kako se metoda modeliranja koristi u slučajevima kada istraživanje objekta nije moguće zbog nedovoljno teorije i prakse, pri procjeni budućeg ponašanja korisnika objekta te u posredovanju između teorije i prakse te definira četiri faze izrade modela [5, str. 350]: a) postavljanje zadataka; b) stvaranje modela; c) istraživanje modela i d) prijenos spoznaja s modela na original.

Marcus tvrdi da kvalitetno grafičko korisničko sučelje počiva na 'dobroj organizaciji sadržaja, ekonomičnom načinu prikaza svake komponente, učinkovitom korištenju vizualnih elemenata i djelotvornoj interakciji' [3, str. 424].

Prilikom izrade grafičkog korisničkog sučelja, Marcus smatra da se treba voditi trima osnovnim principima: 1) osigurati jasnu i konzistentnu organizacijsku strukturu; 2) maksimizirati učinkovitost minimalnog broja zadataka i 3) prezentaciju prilagoditi mogućnostima korisnika.

Konzistencija pretpostavlja isti set pravila, interakcije, načina dizajniranja elemenata itd., koji mora biti karakterističan za cijelo sučelje.

Za učinkovito i organizirano sučelje, Marcus preporučuje [3, str. 432-436] tri osnovna načina organizacije:

- a) korištenje mreže;
- b) standardizaciju i
- c) grupiranje elemenata.

Također, smatra da je vizualno grupiranje elemenata, ovisno o njihovoj funkcionalnoj povezanosti kvalitetan način dizajniranja sučelja, s obzirom da omogućuje logičke poveznice između njih. Kod navigacije predlaže definiranje razina zadataka i sadržaja i njihovo jasno, ali konzistentno, odijeljivanje i hijerarhiju. Ekonomičnost podrazumijeva definiranje najmanjeg mogućeg broja potrebnih operacija, a balansirana komunikacija korištenje onog tipa komunikacije koji je prihvatljiv i primjeren korisniku, baš kao i što predlaže i kod korištenja znakova odnosno na simboličkoj razini. Kvalitetno sučelje mora osigurati primjeren i u određenoj mjeri poznat prijelom, čitkost i pozadinu koja nije napadna i upadljiva te primjerenu tipografiju i mogućnosti višeslojnih prikaza i funkcija: višestruke načine prezentacije podataka, višestruke apstrakcije, simultane alternativne prikaze i linkove i cross reference.

Kao jedan od najvažnijih elemenata dizajna grafičkog korisničkog sučelja ističe boju i njezinu upotrebu u označavanju istovjetnih odnosno raznorodnih elemenata i objekata i tvrdi da boja:

- a) ističe bitne informacije;
- b) označava podsustave ili strukture;
- c) realistično prikazuje prirodne/poznate objekte;
- d) označava vrijeme i napredak;
- e) smanjuje pogreške pri interpretaciji;
- f) dodaje dimenziju kodiranja;
- g) povećava jasnoću i shvatljivost i
- h) povećava vjerodostojnost i privlačnost.

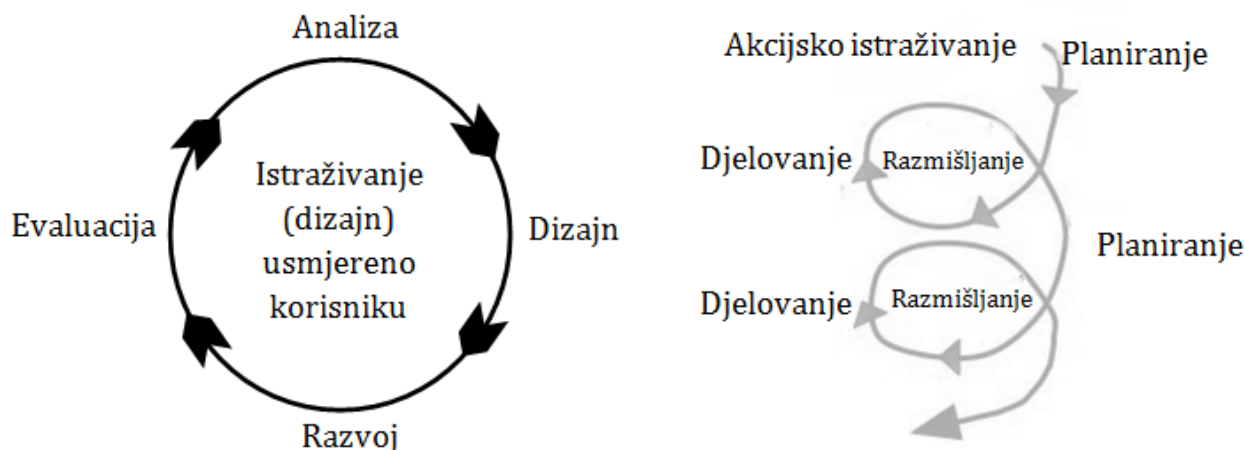
2.2. ISTRAŽIVANJA Ljudsko računalne interakcije i interakcijskog dizajna

Korištenje korisničkog sučelje za tablet novine podrazumijeva dva procesa koja potrebno istražiti kako bi se moglo kvalitetno odgovoriti na pitanje kakvo mora ili bi trebalo biti optimizirano grafičko sučelje koje će se koristiti za čitanje odnosno interakciju korisnika s tablet novinama. Prvi proces je interakcija između korisnika i uređaja na kojem čita 'tablet novine', što ulazi u segment istraživanja ljudsko računalne interakcije i komunikacije. Drugi proces je interakcija između korisnika i ponuđenog sadržaja odnosno pitanje načina na koji će taj sadržaj biti oblikovan.

2.2.1. LJUDSKO – RAČUNALNA INTERAKCIJA

Istraživanja ljudsko računalne interakcije bave se 'načinima međudjelovanja ljudi, informacija, tehnologija i zadataka' [6, str. 56], pri čemu je istraživanje usmjereno na metodološki definirano mjerenje korisničkog iskustva. Cilj ovih istraživanja je 'proučavanje, planiranje i oblikovanje najučinkovitijeg načina na koji međusobno funkcioniraju ljudi i računala' [2, str. 4], pri čemu se mora voditi briga o nizu različitih faktora: što ljudi žele i očekuju, koja fizička ograničenja i mogućnosti imaju, na koji način radi njihov perceptualni i sustav procesiranja informacija te što nalaze prijatnim i privlačnim.

Mjerenje korisničkog iskustva provodi se najčešće kroz empirijska istraživanja: eksperimentalno istraživanje, anketiranje i studije slučaja. Uz tri spomenute metode, u istraživanju ljudsko računalne interakcije koriste se još i akcijska istraživanja. Akcijska istraživanja podrazumijevaju uključenost istraživača u procese (akcije) kojima je cilj sveobuhvatno – prirodno i holistički – istražiti ljudsku interakciju u zadanim uvjetima, uz aktivnu promjenu pojedinih procesa i parametara, uključujući i reedukaciju, baziranu na spoznajama stečenim tijekom samog istraživanja [7]. Odlikuje ga kombinacija istraživačkih metoda koja se zasniva na planiranju, akciji i razmatranju postignutog iz čega se rađa novi krug istraživanja ponovno zasnovan na novom planiranju, akciji i daljnjem razmatranju postignutih rezultata. Ova metoda izrazito je korisna kod istraživanja ljudsko računalne interakcije odnosno kod istraživanja u području dizajna i oblikovanja artefakata, između ostalih i grafičkih korisničkih sučelja (GUI) [7].



Slika 2.2. Ilustracija razlike između istraživanja usmjerenog korisniku i akcijskog istraživanja [7, str. 15:6]

Osnove akcijskih istraživanja postavili su Dewey, James i Lewin [7], a uključivala su aktivno sudjelovanje sudionika eksperimenta u raspravi o njegovim rezultatima, iz čega se razvilo nekoliko metoda istraživanja (uključivanje suradnika, dijagnosticanje i promatranje, empirijska istraživanja i eksperimenti) kojima je zajednička intervencija sudionika tijekom istraživanja [8].

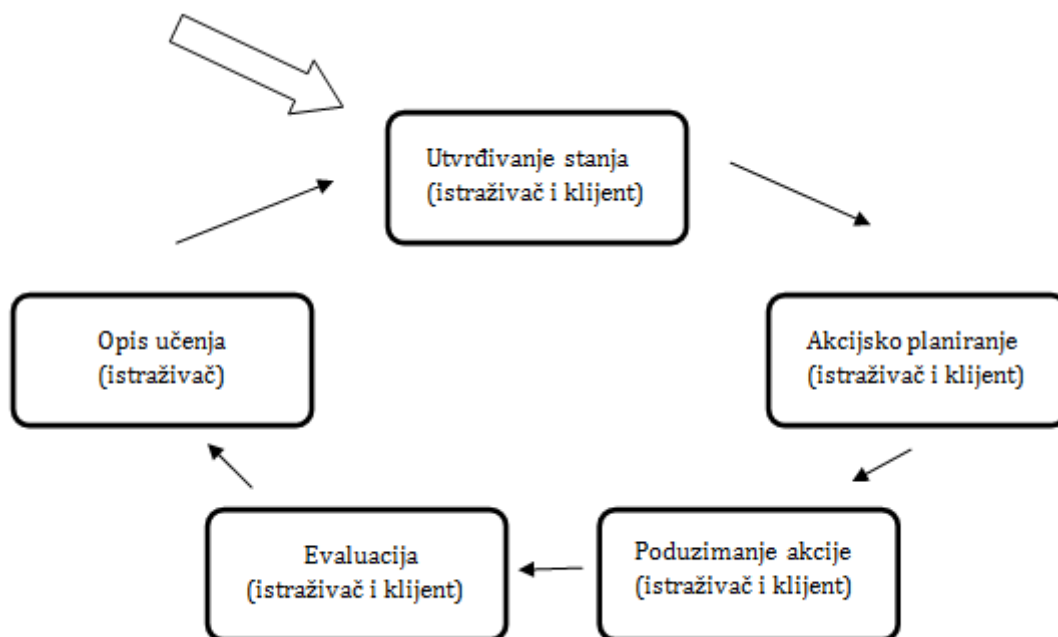
Ovaj pristup ontološki, epistemološki i metodološki se razlikuje od drugih prije svega zbog uključenosti istraživača, shvaćanja da se baza znanja razvija i raste čak i tijekom procesa istraživanja i otvorenosti i ponavljajućom metodom istraživanja, a u istraživanju ljudsko računalne interakcije karakteriziraju ga sljedeće faze:

- (1) definiranje istraživačkih pitanja i problema;
- (2) akcija i intervencija istraživača i sudionika istraživanja u kojem postaju suradnici;
- (3) evaluacija postignutog i
- (4) izvještavanje.

Prilikom izvještavanja učestalo je vođenje svojevrsnog dnevnika istraživanja kojem je cilj zabilježiti vremenski slijed istraživanja, uključujući detaljne informacije o događajima, izvore podataka i izvještaje o napretku [9, str. 89].

Polazeći iz perspektive istraživanja informacijskih sustava, baziranoj na Susman – Evered modelu [10], Kock et all. pokazuju, međutim, kako je kroz višestruke iteracije

istraživanja moguće postupno širiti raspon istraživanja i kao posljedicu toga generalizirati nalaze istraživanja, u skladu s pozitivističkim pristupom [11].



Slika 2.3. Krug akcijskog istraživanja Susman i Evereda [10]

Istraživanja ljudsko računalne interakcije u velikoj mjeri svodila su se na različite oblike mjerenja uporabljivosti (eng. usability) odnosno iskoristivosti pojedinih elemenata, najčešće sučelja [2], s tim da su mnoga od njih 'provedena u relativnoj tajnosti komercijalnih proizvođača i rijetko su objavljivana u znanstvenim publikacijama' [2, str. 21].

Quesenbery tvrdi [12, str. 76] kako se uporabljivost može koristiti kako bi se opisalo: rezultat odnosno korisnost i uporabljivost nekog proizvoda; proces proizvodnje proizvoda; tehnike korištene za postizanje rezultata i filozofiju oblikovanja usmjerenu prema krajnjem korisniku proizvoda. Shackel uporabljivost definira kao 'sposobnost da se (nešto) iskoristi od strane ljudi, jednostavno i učinkovito' [13], a Nielsen koristi pet kvalitativnih komponenti uporabljivosti: sposobnost korisnika da nauči načine korištenja sučelja; učinkovitost i brzina obavljanja operacija; pamtljivost; pogreške i njihov utjecaj na sustav i zadovoljstvo korisnika [2, str. 64].

Teorijski je definirano dvanaest koraka koje je potrebno provesti pri testiranju i ispitivanju uporabljivosti sučelja [2, str. 768] i to redom:

- (1) identificiranje svrhe i raspona testiranja;
- (2) shvaćanje važnosti testiranja;
- (3) razvoj prototipa;
- (4) osmišljavanje primjerenog plana testiranja;
- (5) oblikovanje testa kako bi se prikupili relevantni podaci;
- (6) poticanje, odabiranje i raspoređivanje korisnika testa;
- (7) osiguravanje mogućnosti provođenja testa (materijalno i nematerijalno);
- (8) provođenje ispitivanja i prikupljanje podataka;
- (9) analiziranje podataka i generiranje preporuka za dizajn;
- (10) modifikacija prototipa (ako je potrebno);
- (11) ponovno testiranje sustava i
- (12) evaluacija radnog sustava/okruženja.

Pri tome, za definiranje uporabljivosti koristi pet dimenzija koje je definirao Quesenbery [12]: efikasnost; djelotvornost; privlačnost; tolerancija na pogreške i jednostavnost učenja (korištenja).

Ranije analize [14] ukazuju na važnost eksperimenta u istraživanju ljudsko računalne interakcije i definira eksperiment u području HCI kao namjernu intervenciju, najčešće u području tehnologije, kako bi se promatrale njezine posljedice po samu interakciju. Pri tome ističe promjenu na nivou nezavisnih varijabli čije su posljedice mjerene u promjenama zavisnih varijabli, uz kontrolu drugih potencijalnih utjecaja, bilo na korisnike, tehnologiju ili mjerene varijable. Hagen et all. unutar ljudsko računalne interakcije definiraju nekoliko različitih metoda koje se koriste za istraživanje interakcije korisnika mobilnih uređaja, bilo samostalno, bilo kombinirano [15, str. 3].

Riječ je o: a) (tehnoški) posredovanom prikupljanju podataka, b) simulacijama i izvedbama i c) kombiniranim metodama, pri čemu se pod posredovanim prikupljanjem podataka podrazumijeva daljinsko ili naknadno prikupljanje podataka s uređaja korisnika nakon ili tijekom korištenja, a pod simulacijom na definirane laboratorijske

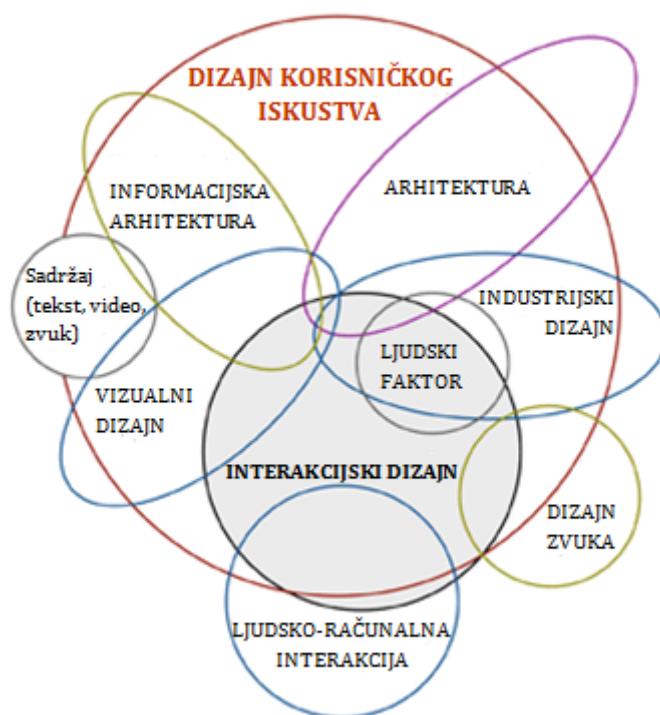
testove, korištenje prototipa ili simulacija uređaja ili pojedinih njegovih dijelova [15, str. 5-6].

Fallman vidi istraživanja ljudsko računalne interakcije odnosno na njima bazirana istraživanja kroz dizajn u tri povijesne faze ili vala [16]. U prvoj, ona su usmjerena isključivo ka mjerenju uporabljivosti i promatra 'jednog korisnika u korištenju jedne aplikacije', odnosno istraživanju dizajna kod kojeg je korisnik u centralnoj ulozi (user centered design), a koji je korisnika promatrao poput 'informatičkog procesora', ne uzimajući u obzir kontekst unutar kojeg se dizajnirani artefakt koristio [17, str. 19]. U drugoj fazi se uvode dodatni metodološki pristupi poput participativnog dizajna, etnografskih metoda, fenomenologije, teorije aktivnosti itd, usmjerene prema istraživanju određene radne okoline, dobro definiranih grupa i pitanjima konteksta. Istraživanje se okreće prema kontekstu u kojem se artefakt koristi, a razvijaju se i nove metode poput 'IDEO metodoloških kartica' ili 'M.I.T. Media Laba', kojima je cilj 'pronaći probleme i njihova rješenja kreativnim istraživanjem tehnologije kroz inženjersku imaginaciju' [17, str. 24]. Za treću fazu Fallman tvrdi kako je nagli razvoj tehnologije krajem 20. stoljeća, prijelaz u mobilno i digitalno okruženje te promjene navika korisnika, ali i razloga i načina korištenja tehnologije te međusobno povezivanje tehnoloških rješenja, doveo do potrebe za ponovnim redefiniranjem metodologije istraživanja ljudsko računalne interakcije, koji u fokus umjesto uporabljivosti stavlja integraciju tehnologije, dizajna i kulturne analize, vraćajući primat dizajneru i istraživanjima okrenutim dizajnu, objašnjavanju i poučavanju, zabavi pa čak i aktivizmu, nazivajući ga 'istraživanjem korisničkog iskustva' [16].

2.2.2. INTERAKCIJSKI DIZAJN

Pri definiranju interakcijskog dizajna, Bill Moggridge, autor pojma 'interakcijski dizajn', ističe definiciju Gillian Crampton Smith, koja kaže da se 'dizajniranje interakcija odnosi na oblikovanje svakodnevnog života digitalnim artefaktima' [18, str. 647], pri čemu naglašava da 'dobar dizajn proizlazi iz uspješne sinteze svih rješenja koja u obzir uzimaju sva relevantna ograničenja, a priroda ograničenja određuje razliku između dizajnerskih pristupa' [18, str. 649]. Interakcijski dizajn je, prema njemu, dizajnerski pristup koji kombinira humanost i subjektivnost s digitalnim tehnologijama, odnosno, u širem smislu 'dizajn svega što je digitalno i interaktivno', a u užem smislu 'dizajn subjektivnih i kvalitativnih aspekata svega, koji je ujedno digitalan i interaktivan, a koji stvara dizajne koji su korisni, poželjni i dostupni' [18, str. 660].

Saffer tvrdi da je interakcijski dizajn, zapravo, 'dizajniranje kako bi se ostvarila interakcija između dva entiteta' [19, str. 4] te pronalazi tri temeljna načina razmišljanja o interakcijskom dizajnu. Tehnološki pogled u centar razmišljanja stavlja tehnologiju, posebno digitalnu, te načinje njezinog korištenja koji će biti ugodni, korisni i preferirani. Behavioristički pogled bazira se na dizajniranju ponašanja artefakata, okolina i sustava s fokusom na funkcionalnost i povratnu vezu. Pogled na interakcijski dizajn kao dizajn društvene interakcije najširi je i bavi se pitanjima omogućavanja i olakšavanja komunikacije među ljudima, bez obzira na sredstva, sadržaj, tehnologiju itd. Interakcijski dizajn za Saffera je samo jedan dio 'dizajna korisničkog iskustva' (vidi sliku 2.4) i preklapa se ili posuđuje od niza sličnih disciplina. Informacijska arhitektura bavi se pitanjem organizacije sadržaja, vizualni, zvučni i interakcijski dizajn bave se pitanjem njegove prezentacije, a industrijski pitanjem forme odnosno oblika artefakta kojim će se spomenuti sadržaj koristiti. Arhitektura se bavi pitanjima prostornih odnosa, a ljudski faktor odnosi se na različite korisničke karakteristike [19, str. 20-22]. Zanimljivo je da Saffer radi distinkciju između interakcijskog dizajna i ljudsko računalne interakcije, smatrajući da je potonja usmjerena više na kvantitativne metode i pristupe, a interakcijski dizajn u dobroj mjeri koristi kvalitativne metode i tehnike svojstvene dizajnu te dijelom počiva na znanju dizajnera odnosno njegovoj umješnosti i kreativnosti u rješavanju problema.



Slika 2.4. Interakcijski dizajn kao dio dizajna korisničkog iskustva. [19, str. 21]

Moggridge tvrdi kako dizajn mora imati pet bazičnih vještina:

- 1) da sintetizira rješenja iz svih relevantnih ograničenja, razumijevajući sve što će napraviti razliku za konačni rezultat;
 - 2) da postavi ili promijeni okvir problemu i cilju;
 - 3) da kreira i predvidi alternative;
 - 4) da izabere između tih alternativa, intuitivno znajući izabrati najbolji pristup i
 - 5) da vizualizira i napravi prototip namjeravanog rješenja [18, str. 649],
- pri čemu pod prototipom podrazumijeva reprezentaciju dizajna napravljenu prije konačno rješenja.

Houde i Hill prototipom u interakcijskom dizajnu smatraju simulaciju koja prikazuje izgled i ponašanje zaslona [20, str. 368], te ističu da ključno pitanje nije što prototip jest, nego čemu služi. Također, identificiraju dvije osnovne funkcije prototipa: istraživanje i prezentaciju, a Floyd ističe tri pristupa funkcionalnosti prototipa [21]: istraživački, eksperimentalni i razvojni, pri čemu istraživački pristup pred prototip stavlja zahtjev

otkrivanja zahtjeva, određivanja raspona i različitih alternativa računalne podrške, eksperimentalni pristup ističe pokušaje tehničkih rješenja kako bi se udovoljilo postavljenim zahtjevima, a razvojni pristup kontinuirano prilagođava sustav na ubrzane promjene okoline.

Kao bitan dio dizajnerskog procesa Moggridge ističe tzv. skriveno ili proceduralno znanje, a odnosi se na onaj tip znanja koji se zna, ali se ne može ili se teško može prenijeti – 'Postoje stvari koje znamo, ali ih ne možemo izreći' [22] napisao je autor spomenutog pojma Michael Polanyi, misleći na inherentna znanja koja ne možemo jednostavno objasniti ili opisati, poput vožnje biciklom ili 'osjećaja za dizajn'. Moggridge ističe važnost proceduralnog znanja kod kojeg je važnije učiti kroz rad i ponavljanje, imaginaciju pa čak i podsvijest i intuiciju i tvrdi da, 'kada je problem kompleksan, lakše je prepoznati dobro rješenje, nego ga objasniti' [18, str. 650].

Pri tome ističe i pet kvalitativnih kriterija za ocjenjivanje uspješnog interakcijskog dizajna:

- 1) kreativnost/inovativnost;
- 2) estetsku privlačnost/kvalitetu;
- 3) ljudski faktor/vrijednosti;
- 4) izvedbu/tehnologiju i
- 5) kompletnost/prezentaciju [18, str. 651].

Iako nije direktno povezano s interakcijskim dizajnom, primjenjive kriterije za ocjenu uspješnog grafičkog dizajna daju Tomiša i Milković [23, str. 109] definirajući minimalan skup kvalitativnih kriterija za vrednovanje grafičkog dizajna: 1) relevantnosti grafičkog dizajna; 2) originalnosti grafičkog dizajna i 3) izvedbe.

Interakcijski dizajn naslijedio je metodološke postavke i tehnike informacijskih znanosti iz kojih se razvio, ali je izlaskom računala iz laboratorija izgubio kontrolu pa se morao okrenuti metodama kognitivne psihologije kako bi saznao što je 'jednostavno za korištenje odnosno što je 'user friendly'. Ovaj pristup imao je i nekoliko važnih ograničenja: bavio se zadacima koji postoje, ali nije istraživao zadatke koje je tek trebalo osmisliti; počivao je pretpostavci da su svi ljudi jednaki i da je moguće definirati model

koji će biti univerzalan i nepromjenjiv; inzistirao je na teoriji koja će upravljati dizajnom, što je dizajnerima bilo 'teško prodati'. Zbog toga se interakcijski dizajneri okreću novoj paradigmi koja je u istraživanja uvodila eksperimentiranje i umješnost izrade, između ostalog, pa se istraživanja interakcijskog dizajna okreću post-kartezijanskom razmišljanju i metodama poput: fenomenologije, pragmatizma, interakcionizma i avangardne umjetnosti, što, posljedično, dovodi do stavljanja dizajna u centar istraživačke aktivnosti, a teoriju, umjesto za objašnjavanje kako bi nešto trebalo učiniti, ostavlja za eksplikaciju učinjenog [17, str. 109].

2.3. ISTRAŽIVANJA NOVINSKOG DIZAJNA

Wimmer i Dominick ističu kako je eksperimentalna metoda jedan od najčešćih oblika istraživanja novinskog dizajna i tipografije i to najčešće na način da su ispitanici podijeljeni u više različitih grupa koje su za potrebe eksperimenta izložene različitim vizualnim stimulansima odnosno različitim prijelomima i dizajnima istih informacija, najčešće u obliku lažnih ili modificiranih novina ili stranica kod kojih ocjenjuju ili rangiraju niz zavisnih varijabli [24, str. 317]. Kao drugu mogućnost ističu tip terenskog istraživanja kod kojeg se koriste postojeći artefakti uz anketno ispitivanje, najčešće korištenjem različitih skala semantičke diferencijacije (lijepo – ružno, jako – slabo, informativno – neinformativno itd) ili drugih ocjenjivačkih skala s različitim rasponom ocjena (0-100), tzv. 'termometrima osjećaja' [24, str. 318] ili drugim tipovima upitnika. Treća mogućnost su različiti oblici analize sadržaja, primijenjene u pojedinim slučajevima i na relativno uskom uzorku ili pak longitudinalne analize koje uzimaju podatke iz dugih vremenskih razdoblja i velikih uzoraka novina.

Barnhurst i Nerone longitudinalnim istraživanjem naslovnica američkih novina od 1885. do 1985. [25] i kasnije [26] identificiraju tri temeljna razdoblja u razvoju grafičkog oblikovanja dnevnih novina i okvirno ih dijele na predmodernizam, modernizam i postmodernizam te kažu kako je teško jednoznačno utvrditi točno vrijeme kraja jedne i početka druge faze.

Stranice izabranog uzorka novina vizualnom analizom sadržaja kodiraju prema sljedećim varijablama:

- 1) broj članaka;
- 2) broj ilustracija (fotografija, grafikona, crteža, stripova i oglasa);
- 3) broj oglasa;
- 4) broj stupaca;
- 5) broj linija po stranici;
- 6) broj riječi po liniji teksta;
- 7) stil naslova;
- 8) tipografija;

- 9) pravila prijeloma po stupcima i
- 10) veličina stupca (uniformno-neuniformno).

Svaki članak kodiraju prema:

- 1) dužini;
- 2) obliku (vertikalni, horizontalni, kvadratični, uokvireni, pravokutni);
- 3) potpisu;
- 4) tipografiji naslova;
- 5) temi i
- 6) poziciji na stranici.

Svaka ilustracija kodirana je po:

- 1) tipu (fotografija, grafikon, crtež, strip i oglas);
- 2) obliku i
- 3) poziciji (povezana s pričom ili na margini).

Izabrali su tri reprezentativna dnevna lista s tradicijom neprekinutog izlaženja u analiziranom periodu, ograničili uzorak kroz izbor unutar desetgodišnjih razdoblja i kroz reprezentativno zastupljena izdanja te ukupno analizirali 198 izdanja s više od 5.000 analiziranih jedinica. Rezultati ovih istraživanja bit će detaljnije pojašnjeni u idućim poglavljima ovog rada.

Uz spomenuto, Wimmer i Dominick kao bitna istraživanja u području novinskog dizajna ističu istraživanja Haskinsa i Flynnea [27], Clicka i Bairda [28], Wante i Gaoa [29], Geracia [30], Kellya [31] te Griffina i Stevensonsona [32]. Haskins i Flynnea provedli su eksperimentalno istraživanje o dojmu izgleda fonta na čitateljice, koristeći specijalno dizajniran umetak dnevnih novina s dva različita fonta korištena za naslove: Garamond Italic, kojeg su konzultirani stručnjaci i praktičari definirali ženstvenijim i Spartan Black, kojeg su smatrali muževnijim. Istraživanje je provedeno na 150 ispitanica bile su podijeljene u dvije grupe (jednu koja je čitala 'ženstveno', drugu koja je čitala 'muževno' izdanje), a uz to su imali i kontrolnu grupu koja je naslove vidjela otisnute na zasebnim

listovima, bez popratne opreme. Uz to, čitateljice su morale odgovoriti i na upitnik koji ih je pitao o njihovom subjektivnom dojmu atraktivnosti pojedinih članaka, kao i definirati stupanj 'ženstvenosti' deset ponuđenih fontova korištenjem semantičke diferencijalne skale. Rezultat njihovog istraživanja bio je da odabir fonta nema utjecaja na zainteresiranost čitateljica za pojedine članke, ali da su ispitanice sposobne međusobno dobro razlikovati pojedine fontove i dodijeliti im slične karakteristike kao i stručnjaci odnosno praktičari.

Click i Baird radili su komparativnu analizu različitih studija o prijelomu novinskih stranica i iz njih izvukli cijeli niz zaključaka koji je obilježio moderni novinski dizajn:

- a) velike ilustracije privlače veću pozornost čitatelja nego male;
- b) neobično oblikovane slike iritiraju čitatelje;
- c) manja količina teksta i velika slika na naslovnica povećavaju čitanost (u odnosu na veliku količinu teksta bez ili s minimalnom ilustracijom);
- d) čitatelji ne vole čitati tekst u italik fontovima;
- e) za naslove, čitatelji preferiraju jednostavne, poznate fontove;
- f) čitatelji i dizajneri se rijetko slažu što je superioran dizajn fonta i
- g) roman fontovi mogu se čitati brže nego ostali fontovi.

Wanta i Gao željeli su ispitati utjecaj prijeloma novina na mlade čitače pa su za istraživanje koristili prigodan uzorak od 204 srednjoškolca/ke kojima je ponuđeno da pročitaju jedan od ukupno 20 analiziranih novina i potom su odgovarali na pripremljen upitnik koji je sadržavao niz otvorenih, zatvorenih i diferencijacijskih pitanja. Svaka od 20 korištenih novina prethodno je analizirana kako bi se utvrdile karakteristike prijeloma, a istraživanje je željelo dobiti odgovor na pitanje kakve su preference mladih čitača u vezi s memoriranjem informacija, doživljenom zadovoljstvom, čitkosti i atraktivnosti novina. Definirali su, za potrebe analize prijeloma, devet varijabli modernog novinskog prijeloma:

- 1) broj priča na stranici, s hipotezom potvrđenom ranijim istraživanjima, da čitatelji više vole prijelom s manjim brojem priča po stranici;
- 2) broj tzv. 'nastavljajućih priča' (jump stories – novinski članci koji počinju na jednoj, najčešće naslovnoj stranici, a najveći dio teksta nalazi se i završava na unutrašnjim

stranicama izdanja), s hipotezom potvrđenom ranijim istraživanjima, da čitatelji više vole prijelom s manjim brojem nastavljaćih priča;

3) horizontalni dizajn, mjeren omjerom zbroja stupaca (kolumni) u kojima je prelomljen svaki pojedini članak i ukupnog broja članaka (što je omjer bio manji, to je prijelom bio više okomit, i obratno, viši omjer značio je da je veći broj članaka prelomljen u više stupaca, što je ukazivalo na horizontalni dizajn, koji je, prema ranijim istraživanjima, draži čitateljima);

4) broj slika (graphics – svi vizualni formati osim fotografija, koje su mjerene zasebno, poput ilustracija, infografika, različitih grafikona i sl.);

5) veličina slika (u četvornim inčima);

6) broj izvučenih navoda (parateksta);

7) broj fotografija;

8) veličina dominantne fotografije (u četvornim inčima) i

9) korištenja boje (na skali od 0 do 3; gdje je 0 predstavljala potpuno crno-bijeli prijelom, a 3 puni kolor).

Zaključak istraživanja je bio da mlađi čitatelji vole različite oblike parateksta, posebno citate i izvatke iz tijela teksta, velike slike i mnoštvo manjih fotografija.

Geraci je, također, svoje istraživanje temeljio na postojećem modelu te je koristio u to vrijeme revolucionarno dizajnirani USA Today koji je koristio boju, mnoštvo vizuala (fotografija i infografika) te velik broj nastavljaćih priča i usporedbom s novinama koje su koristile tada klasični prijelom došao do sličnih zaključaka kao i Wanta i Gao. Kelly je, međutim, zaključio da nema bitne razlike između infografika i običnih grafova kad je u pitanju pamćenje pročitanih informacija, a Griffin i Stevenson pokazali su, koristeći sličnu metodu kao Wanta i Gao te Geraci, da dodatni materijali vezani uz osnovni članak, ipak, povećavaju razumijevanje pročitano.

Istraživanja iz područja teorije čitanja [33] pokazala su kako postoji direktna veza između onoga što oko gleda (skenira) i onoga o čemu um razmišlja. Kako bi utvrdili što oko prvo vidi i kako vidi kad čitatelj čita novine, istraživači često koriste tzv. metodologiju praćenja oka [34], [35], [36], [37], [38]. Iako je spomenuta tehnologija prisutna dugi niz godina, postoji dio istraživanja koji se oslanjao na iskustvo i

uvježbanost ispitivača i osobni doživljaj ispitanika. Tako Bohle i Garcia [39] u istraživanju utjecaja boje na ispitanike verbalnim ispitivanjem utvrđuju koji element novinske stranice ispitanici zamjećuju prvi. U istraživanju koriste 15 postojećih naslovnica, 6 'lifestyle' i 3 sportske stranice i na uzorku od 83 ispitanika definiraju koje elemente ispitanici prvo uočavaju kad pogledaju stranicu odnosno gdje im se oko najduže zadržava. U istom istraživanju koriste i diferencijske upitnike kako bi odredili utječe li boja na doživljaj novina, prije svega na njihovu vjerodostojnost i nalaze da prisustvo boje ni na koji način ne umanjuje vrijednost teksta (što je bio čest prigovor u vrijeme kad se velika većina novina još uvijek tiskala crno-bijelo).

U kasnijim istraživanjima korištenje različitih oblika uređaja za snimanje i praćenje kretanja oka postaje sasvim uobičajeno pa su tako Garcia i Stark Adam [36] proveli su za Poynter Institute prvo u nizu istraživanja načina čitanja korištenjem tehnologije praćenja oka (eng. eye tracking technology). U tom istraživanju sudjelovalo je 90 čitatelja tri dnevna lista tzv. ozbiljnog (broadsheet) prijeloma.

Zaključci istraživanja bili su:

- 1) fotografije privlače pozornost publike, podjednako one u boji i crno-bijele, s tim da fotografije u boji posebno privlače pozornost kod nasuprotnih stranica;
- 2) oči slijede uobičajen način navigacije po stranici: većina čitatelja ulazi na sve stranice kroz dominantnu fotografiju ili ilustraciju, potom prelazi na dominantni naslov, potom na hvatače pažnje (izdvojeni dijelovi teksta, okviri i slično) i tek potom na tekst;
- 3) paratekst popraćen vizualom privlači više pozornosti od samog parateksta;
- 4) dvije nasuprotne stranice percipiraju se kao jedna u koju se ulazi u gornjem desnom uglu i odmah kreće nalijevo;
- 5) čitatelji vole boju, smatraju da stranice s bojom imaju više informacija i da ih oni više (duže) čitaju;
- 6) slike (fotografije i grafički prikazi) gledaju se više od teksta: na prvom mjestu su fotografije i umjetničke reprodukcije, zatim slijede naslovi i reklamni oglasi, zatim sažeci članaka i okviri te na kraju sam tekst.

Slične rezultate ponovili su 2007. Stark Adam et all. [40].

Holsanova et al. [37] također metodom eye trackinga istražuju vizualne ulaze na stranicu i obrasce čitanja, a polaze od pretpostavke da se na osnovu semiotičke analize može jednako dobro pretpostaviti koji će sadržaji privući najviše interesa čitatelja. Svoje istraživanje baziraju na uzorcima 5 čitatelja, a promatrani sadržaj dijele u 10 logičkih cjelina. Prvi korak u njihovom istraživanju je semantička analiza sadržaja, a drugi mjerenje kretanja pogleda, nakon čega uspoređuju i analiziraju podatke dobivene iz oba istraživanja.

Postavljaju sedam pretpostavki iz kojih proizlaze sljedeći zaključci:

- 1) desni gornji ugao dvaju nasuprotnih stranica čitatelji ne percipiraju nužno kao mjesto na kojem se nalaze najnovije vijesti i on ne privlači automatski pozornost nego ovisi i o sadržaju, ali može biti kvalitetno mjesto za brzi ulaz na stranicu;
- 2) čitatelji će prije pogledati vrh stranice pa tek onda sadržaj postavljen niže, čak i kad ovi niže na stranici imaju grafički jače elemente, a isto vrijedi i za sadržaje lijevo u odnosu na sadržaje desno na stranici;
- 3) s izuzetkom tzv. usredotočenih čitatelja, većina čitatelja prvo će pogledati naslove članaka, a potom fotografije, ali neće proskenirati cijelu stranicu prije nego se odluči na čitanje specifičnog sadržaja.

Kad je riječ o dizajnu hrvatskih dnevnih novina, nema previše istraživanja koja bi pokazala kakav tip prijeloma novinske stranice se koristi i s kakvih rezultatom, ali vrijedi istaknuti dva istraživanja koja se bave pitanjima organizacije novinskog sadržaja iz pozicije Gestalta, oba dijelom bazirana na vizualnoj analizi sadržaja. Pibernik, Miličić i Barbarić [41] ističu kako u istraživanom slučaju četiri vodeća hrvatska dnevna lista tek jedan slijedi pravila Gestalta u vizualnoj organizaciji naslovnica, dok ostala tri to čine tek djelomično. Periša, Čerepinko i Milković [42] zaključuju da se unutar sadržaja dva vodeća dnevna lista pojedina pravila Gestalta u pojedinim slučajevima primjenjuju na taj način da omogućuju semantičko povezivanje dijelova sadržaja koji nisu u međusobnoj vezi. Oba istraživanja ističu potrebu daljnjeg, detaljnijeg proučavanja organizacije sadržaja iz perspektive Gestalta.

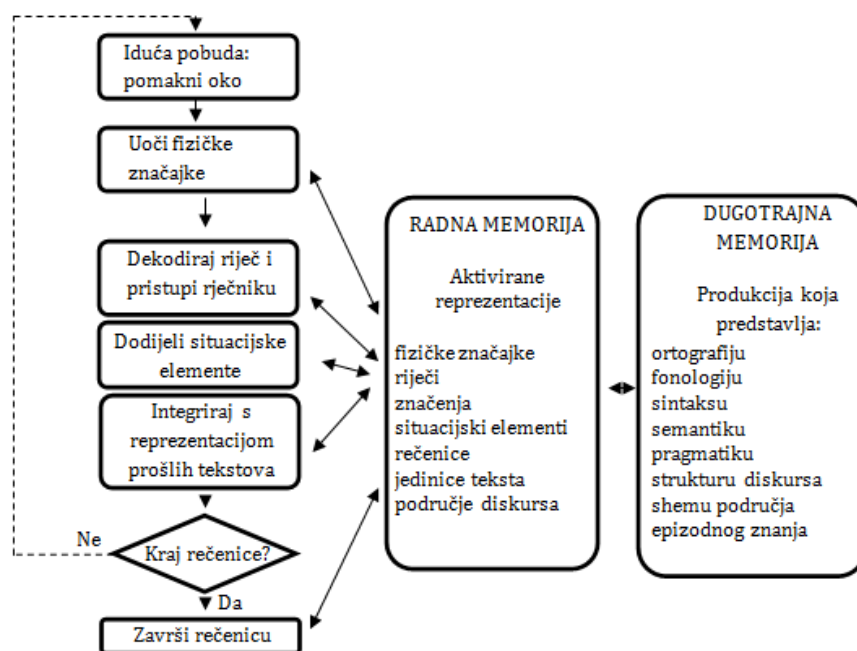
2.4. ISTRAŽIVANJE ČITKOSTI I TIPOGRAFIJE

Kod istraživanja čitkosti, bitno je odmah na početku razdvojiti i definirati pojmove čitkosti i čitljivosti. Čitkost može biti optička i vizualna karakteristika samog znaka (eng. Legibility) ili optička i vizualna čitkost teksta (eng. Readability) koja govori koliko je znak ili tekst vizualno zahtjevan za čitanje, dok je čitljivost karakteristika sadržaja i ne ovisi o njegovoj vizualnoj prezentaciji. Čitljivost teksta odnosi se na njegov sadržajni aspekt i predstavlja objektivnu težinu teksta, koja se može mjeriti nizom različitih formula, a ovisi i o kompetencijama i sposobnostima čitatelja.

Da bi utvrdio na koji se način i po kojoj metodologiji izvode istraživanja čitkosti, pogotovo u slučaju istraživanja čitkosti teksta na zaslonima računala i drugih sličnih uređaja, Dillon [43] radi metanalizu niza studija koji se bave čitljivošću nekog teksta u različitim aplikacijama odnosno medijima. Istraživane studije pokušale su dati usporedbu po sljedećim karakteristikama: brzina čitanja, točnost čitanja, umor, razumijevanje pročitano g teksta i osobne preference. Prema Dillonu, mjerenje brzine čitanja jedna je od najčešćih metoda mjerenja čitkosti nekog teksta, a može biti provedena na dva načina: a) tako da se odredi ukupna dužina teksta koji se čita i mjeri se vrijeme potrebno za čitanje svakom ispitaniku i b) tako da se ograniči vrijeme čitanja i mjeri se dužina pročitano g teksta u ograničenom vremenu.

Čitkost rečenica i redaka teksta počiva na pravilima kombiniranja vizualnih znakova koje je identificirala već teorija Gestalta [44], pri čemu, da bi se razaznavale pojedine riječi odnosno redovi, razmak između riječi mora biti veći od pojedinačnog razmaka između slova, a razmak između riječi manji od razmaka između redova [45]. Također, kad je riječ o čitkosti redaka teksta, u obzir se mora uzeti činjenica da oko ne gleda linearno, ono čita 'skokovito', fiksacijom jednog po jednog dijela retka koji sadrži riječi odnosno tekst. Prva istraživanja fiksacija počivala su na pretpostavci da vrijeme fiksacije traje od 200 do 250 milisekundi, a raspon znakova u retku koji se može iščitati je više manje konstantan i bilo koje dodavanje viška znakova u spomenutom se slučaju ne može percipirati jednom fiksacijom. Taj prag iznosio je oko 20 slova, i to u prosjeku 15 lijevo i 4 desno od tzv. točke fiksacije odnosno od točke na koju se oko čitača 'fiksira' [46].

Međutim, Just i Carpenter, autori teorije čitanja, pokazuju da fiksacije mogu trajati puno manje od spomenutog, ali i puno duže, u ovisnosti o složenosti riječi koja se fiksira odnosno teksta koji se čita [33]. Također, fiksacije traju duže na kraju retka teksta u odnosu na prosječno trajanje fiksacije iste ili slične riječi unutar teksta odnosno retka. Prema teoriji čitanja, to se događa zbog toga što je fiksacija riječi direktno povezana s procesom razumijevanja pročitanog teksta, a ta tvrdnja izvodi se iz dvije osnovne pretpostavke teorije čitanja. Prva je pretpostavka neposrednosti prema kojoj čitatelj pokušava interpretirati značenje svake pojedine riječi teksta neposredno kako je čita, čak i onda kada je ta interpretacija kriva, pri čemu sama interpretacija počiva na više nivoa dekodiranja i davanja značenja. Druga pretpostavka je pretpostavka povezanosti oka i uma prema kojoj um razmišlja upravo o onome što oko fiksira odnosno oko fiksira pojedinu riječ toliko dugo koliko je dugo um procesuirao, s pojašnjenjem da postoje riječi za čije prepoznavanje i procesiranje nije potrebno skoro nikakvo vrijeme jer im se smisao i značenje veže uz druge riječi ili dijelove rečenice. Primjer toga su veznici ili članovi u jezicima koji članove jasno ističu. Kognitivno djelovanje obje pretpostavke prikazano je kroz dijagram na slici 2.5., iz kojeg je vidljivo da su tijekom čitanja i fiksiranja teksta na djelu višestruki, međusobno povezani procesi.



Slika 2.5. Shematski dijagram procesa čitanja i razumijevanja teksta (prema Justu i Carpenteru) [33]

Ranija istraživanja pokazala su kako proces čitanja riječi ovisi o nizu faktora, od kojih su najznačajnije sadržajna primjerenost teksta te dob i obrazovanje čitatelja [33]. Naime, prosječan čitatelj u tekstu koji je sadržajno primjeren njegovoj ili njezinoj dobi i obrazovanju čitajući fiksira 1.2 riječi jednim pogledom. Iz spomenutog su isključene kratke riječi poput veznika. Što je tekst kompleksniji, a poznavanje tematike manje, broj fiksiranih riječi pri jednom pogledu pada i ispod 1 i obratno, što je tekst jednostavniji, to je broj fiksiranih riječi veći [46]. Iz ranijih istraživanja je poznato da idealna dužina retka u tiskanom tekstu iznosi između 60 i 70 slovnih znakova dok se u digitalnom izdanju ona smanjuje na 40 [47, str. 190]. Pri tome u obzir se mora uzeti i ukupni izgled teksta odnosno pitanje teksta koji 'visi, budući da isti tekst formatiran u različitim omjerima daje i različite omjere slovnih znakova i negativnog prostora.

Naime, ako tekst promatramo kao jedinstvenu grafičku cjelinu, a ne isključivo kao niz otisnutih tipografskih znakova, nužno je obratiti pozornost i na odnos negativnog prostora (prostor oko slovnih znakova) i slovnih znakova, zatim poravnavanje teksta koje u najvećem broju slučajeva može biti ulijevo, sredinom, ujednačeno ili udesno, te elemente teksta koji 'vise ili se izdvajaju u odnosu na ukupno tijelo teksta itd [47, str. 186-192]. Tomiša i Milković navode kako 'kod određivanja razmaka između riječi postoje dva pravila: a) razmak između riječi trebao bi biti veći od onog između pojedinih slova, a manji od onog između pojedinih redaka teksta i b) razmak bi trebao biti jednak najčešćem slovnom znaku u tekstu' [23, str. 92].

Brzina čitanja često se spominjala kao negativna posljedica prijelaza s papira na ekran i to gotovo uvijek na štetu ekrana. Dillon je pokazao kako je, iako je u prvim istraživanjima čitkost s papira bila puno bolja od one sa zaslona, niz kasnijih istraživanja pokazao da u istim ili sličnim uvjetima nema značajne razlike između čitanja teksta s papira ili zaslona elektroničkog uređaja [43].

Sheedy et al. [48] istražuju utjecaj dizajna fonta na čitkost slovnih znakova i riječi na zaslonu računala. Mjerili su kurentna i verzalna slova i riječi kombinirajući 6 različitih fontova, 3 načina 'peglanja' fonta, 4 pismovne veličine i 4 pismovna reza. Njihovi nalazi govore da su pojedinačna kurentna slova 10 do 20 posto čitljivija od kurentnih riječi, što znači da riječi moraju biti 10 do 20 posto veće od pojedinačnih slova kako bi bila jednako čitka. Optimalna veličina fonta je 10 točkica, a optimalni fontovi za čitanje Arial i

Verdana, pri čemu su se najmanje čitkijim pokazali Times New Roman i Franklin. Kad je riječ o pismovnom rezu, bold povećava čitljivost, ali samo u slučajevima najtanjih pismovnih širina. Pri tome se mora uzeti u obzir činjenica da je kontrast slovnog znaka u odnosu na podlogu još uvijek jedan od najvažnijih elementa čitljivosti [49]. Margolin et al. [50] istražuju razumijevanje pročitano u odnosu na medij i uspoređuju čitanje s e-čitača, zaslona računala i papira te ne nalaze značajnijih razlika i zaključuju kako čitanje može biti uspješno u nizu različitih medija.

U svojem 'Tipografskom priručniku' Franjo Mesaroš kaže da 'pojam tipografija dolazi od grčke riječi *typos* koja označava žig – reljefno izveden znak namijenjen otiskivanju – i grčke riječi *graphein* koja znači pisati' iz čega proizlazi da je tipografija 'vještina pisanja pomoću specijalno izrađenih žigova', da joj je svrha 'čuvanje nekog intelektualnog sadržaja' koji 'prethodi procesu umnožavanja' te da je s njom 'uvijek povezana određena estetska namjena' [51, str. 5].

Drugi autori tvrde da je 'tipografija primjena dizajnerskih principa na osmišljavanje slovnog znaka odnosno slova' [52, str. 28] odnosno sustav osmišljen za 'strukturiranje i uređivanje vizualnog jezika' [53, str. 6]. McMurtrie [54, str. 42] tvrdi da je uloga tipografije da prenese poruku tako da je čitatelj može shvatiti, bez obzira na njegov interes za poruku pa stoga treba biti 'napravljena tako da omogući čitanje uz najveću brzinu i lakoću', a jednostavnost i čitkost svojstva su neophodna kako bi se uhvatila čitateljeva pozornost.

U svojem promišljanju medija i njihovog utjecaja na društvo, McLuhan tipografiji daje još važniju i širu ulogu od pukog prenositelja informacije. 'Od Rabelaisa i Morea do Milla i Morrisa, tipografska eksplozija produžavala je umove i glasove ljudi kako bi se ponovo uspostavio ljudski dijalog na svjetskoj razini koja premošćuje stoljeća', kaže McLuhan napominjući kako je izum tiskanog sloga i tiskarskog stroja prva mehanizacija složenog ljudskog rada u ljudskoj povijesti te je samim time postala arhetip svih budućih mehanizacija [55, str. 153].

Nadalje, tvrdi kako je tipografija odnosno tiskana knjiga, 'dovodeći u antički i srednjovjekovni svijet u fuziju – ili kako bi neki rekli konfuziju – stvorila treći, moderni svijet koji se sada susreće s novom elektroničkom tehnologijom ili novim čovjekovim

produžetkom' koji 'mijenja našu tipografsku kulturu jednako intenzivno kao što je tisak mijenjao srednjovjekovnu rukopisnu i skolastičku kulturu' (ibidem). Taj novi, mogli bismo ga nazvati četvrtim svijetom, svijet je električne energije i na njoj temeljenih masovnih medija, ali je ujedno, kaže McLuhan, i svijet hibridizacije medija koji oslobađa golemu novu snagu i energiju, kao što je energija nastala fisijom ili fuzijom' [55, str. 47].

Stoga se, kao relevantno pitanje postavlja pitanje budućnosti tipografije i tipografskog teksta u svijetu mobilnih, elektroničkih medija i u vremenu u kojem 'cijelo čovječanstvo nosimo na sebi kao svoju kožu' [55, str. 46]. Ako pretpostavimo da je digitalna revolucija tek počela i da će se prijelaz tipografskih sustava iz tiskanog medija u isključivo digitalni medij odvijati još neko vrijeme (barem onoliko koliko je potrebno da penetracija mobilnih digitalnih uređaja u velikoj mjeri, ako ne i potpuno zamijeni tisak), pitanje je i koja će se i na čemu temeljena pravila tipografije zadržati te, također, do kuda smo stigli u razvoju i osmišljavanju različitih novih (ili inačica starih) fontova i tipografija.

2.5. ISTRAŽIVANJA TRANSFERA TISKANIH MEDIJA U DIGITALNE MEDIJSKE FORMATE

Pojavom interneta i World Wide Weba javljaju se i prva istraživanja prilagodbe tiskovina 'novim medijima'. Wimer i Dominick ističu niz različitih metoda koje se koriste u spomenutim istraživanjima, poput komparativnih analiza, analiza sadržaja, strukturalnih analiza, različitih tipova vizualnih analiza, longitudinalnih istraživanja ponašanja čitatelja, različitih tipova eksperimentalnih istraživanja, terenskih istraživanja, fokus grupa sastavljenih od stručnjaka iz polja dizajna, ali i od različitih grupa čitatelja itd [24, str. 321].

Peng, Tham i Hao metodama analize sadržaja i strukturalne analize istražuje se prijelaz novina u 'online izdanja' [56] uz zaključak da većina tiskanih medija dodaje svojim izdanjima 'online' komponentu (prije svega mrežnu stranicu) kako bi povećali interes čitatelja i povećali zaradu prodajući pristup online izdanjima. Li analizom sadržaja uočava da kod postojećih web stranica prevladava uglavnom tekstualni format, uz nešto manji opseg drugog multimedijskog sadržaja te linkova [57], a Wearden et al. da su online izdanja najčešće bila vertikalno orijentirana [58]. Za razliku od tiskanih novina, koje se čitaju u trenucima u kojima čitatelji imaju vlastiti mir (ili barem malo mira) i bez distrakcije, online novine čitaju se u rijetkim trenucima predaha, najčešće između poslova ili obavljanja nekih drugih on-line aktivnosti [35, str. 658].

Longitudinalno istraživanje Vaughana i Dillona pokazuje da kod proizvodnje 'novina' u novim multiplatformskim uvjetima treba uzeti u obzir i čitateljevo prijašnje iskustvo jer online novine koje slijede ustaljene prakse i obrasce postižu bolje rezultate u čitanju i razumijevanju prezentiranih informacija [59]. Komparativnom analizom Lin i Jeffres pokazuju da pojavom mrežnih tehnologija rastu i mogućnosti prezentacije sadržaja u različitim multimedijским formatima [60]. Sundar meta-analizom ranijih istraživanja zaključuje da su prvobitna istraživanja pokazivala kako multimedijски sadržaj ometa doživljaj i smeta čitateljima novinskih web stranica [61], ali kasnija istraživanja pokazuju kako multimedija potiče doživljaj čitatelja i kako čitatelj vijest ispričanu kroz različite multimedijске formate i dalje smatra jednom cjelinom [62] [63].

Lewenstein et all. [64] proveli su tijekom 1999. i 2000. godine za Poynter institute i Sveučilište Stanford istraživanje 'eye tracking' metodom kretanje oka čitatelja dvaju dnevnih novina po web stranici pripadajućih novina. Istraživanje je obuhvatilo 34 čitatelja Chicago Sun Timesa u jednoj i 33 čitatelja St Petersburg Timesa u drugoj grupi, pri čemu su svi ispitanici čitali vijesti online verzija novina barem tri puta tjedno. Rezultati su bili iznenađujući, s obzirom da su pokazali promjenu u načinu konzumacije sadržaja na webu u odnosu na novine, prije svega čitanje teksta kao ulaz na stranicu, za razliku od gledanja fotografija, kao kod novina.

Četiri godine kasnije Outing i Ruel [65] proveli su, također za Poynter institute, još jednu seriju istraživanja metodom praćenja kretanja oka na uzorku od 46 čitatelja koji su čitali online novine u vremenu od jednog sata. Njima je bila ponuđena web stranica izmišljenih novina, ali sa stvarnim multimedijским sadržajem i promatran je način na koji konzumiraju sadržaj, u skladu s postavkama teorije čitanja. I u ovom slučaju naslovi i tekst pokazali su se kao ključan ulaz na stranicu, čime su još jednom ponovljeni zaključci ranije studije Lewenstein et all.

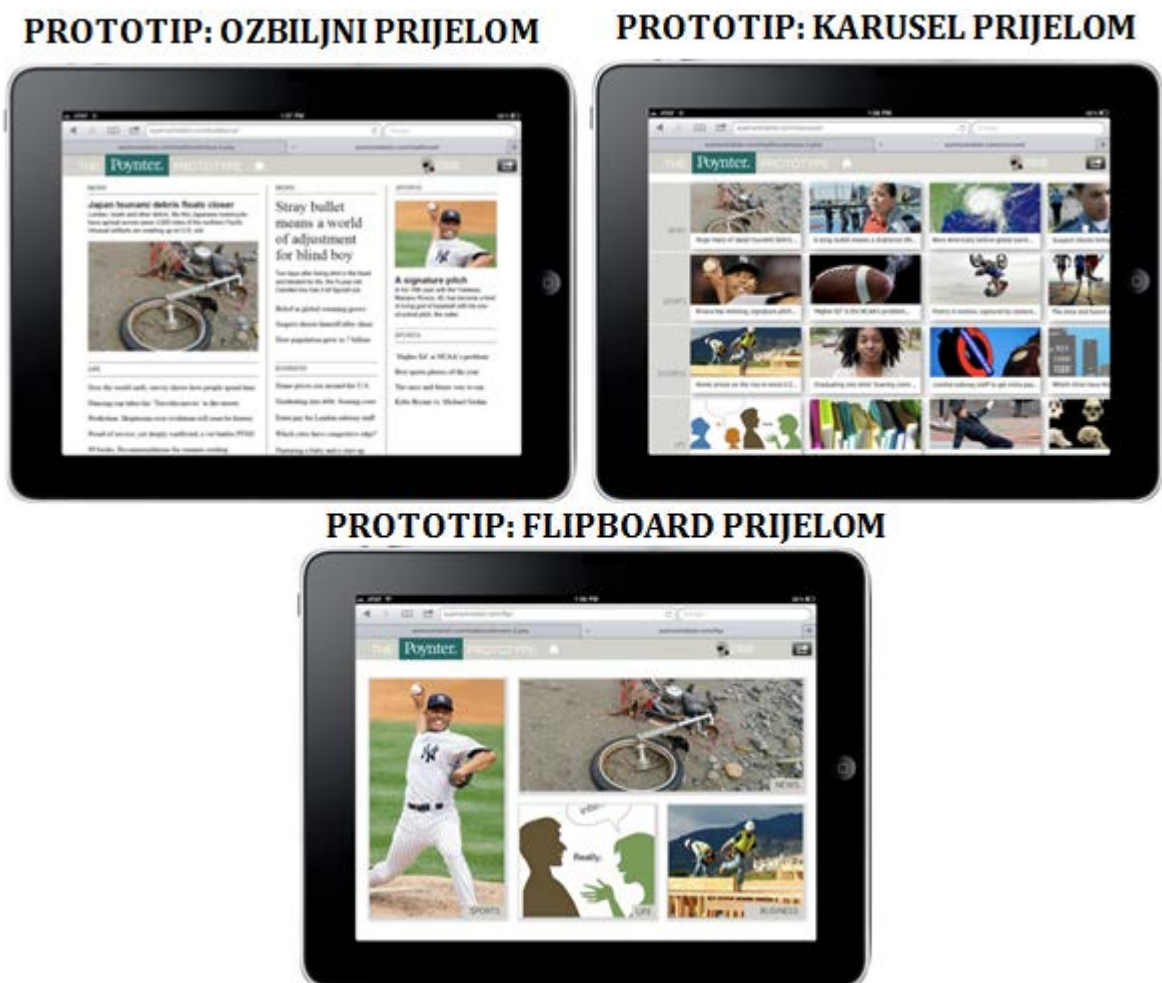
Stark Adam et all. [40] su 2007., također za Poynter, proveli istraživanje kretanja oka, korištenjem specijalnih naočala s ugrađenim eye tracking kamerama, uspoređujući tri formata: online izdanja novina, tabloide i 'ozbiljne (broadsheet) novine. Istraživanje su proveli na 582 ispitanika u četiri američka grada, u suradnji s medijskim kućama, partnerima projekta, koje su selektirale čitatelje. Ispitanici su dobili zadatak da pročitaju novine, a vrijeme čitanja ograničeno im je na 15 minuta, iako nisu unaprijed znali koliko će vremena moći čitati.

Rezultati istraživanja pokazali su da:

- 1) čitatelji i dalje čitaju novine i čitaju ih vrlo predano, ali da čitatelji online izdanja čitaju više izabranog teksta od čitatelja tabloida i ozbiljnih novina: u prosjeku pročitaju oko 77 posto izabranog teksta, u odnosu na 62 posto kod ozbiljnih i 57 posto kod čitatelja tabloida, a taj se omjer zadržava neovisno o dužini izabranog teksta;
- 2) čitatelji se dijele na sustavne (metodičke) čitatelje i 'skeneri'; metodički čitaju od vrha do dna i rijetko skeniraju stranicu, dok 'skeneri' rade upravo suprotno, ali obje kategorije čitatelja pročitaju više manje istu količinu teksta, osim kod tabloida gdje čitaju značajno manje;

- 3) alternativni oblici prikaza priča (uključujući pitanja i odgovore, popise i liste, izdvojene tekstualne okvire i slično) pomažu boljem razumijevanju i pamćenju činjenica, pogotovo ako su popraćene vizualima;
- 4) u tiskanim novinama naslovi i fotografije glavne su točke ulaza; u online novinama glavna točka ulaza je navigacija po stranicima;
- 5) tekstovi opremljeni velikim naslovima, fotografijama i drugim 'hvatačima pozornosti' privlače više pogleda od onih s manje; kod kratkih tekstova pozornost privlače tekstovi opremljeni vizualnim elementom;
- 6) čitatelji su više zainteresirani za ono što oni imaju za reći (pisma čitatelja i sl.) nego za uredničko mišljenje;
- 7) velike fotografije ili dokumentarne fotografije (nenamještene, snimljene na terenu, prirodne) privlače više pozornosti od režiranih, uključujući i profilne fotografije autora i kolumnista; mape i infografike (pogotovo vremenska karta) privlače više pozornosti od običnih grafova i
- 8) veliki oglasi privlače više pozornosti od malih, gotovo da i nema razlike između oglasa na pola i na cijeloj stranici, ali ima u boji jer oglasi u boji privlače više nego dvostruko pogleda od crno-bijelih, a vidljivost oglasa ovisi više o drugim tekstovima kojima je okružen oglas nego o veličini; u online novinama podjednako dobro prolaze banneri i mali oglasi, a najbolje prolaze oni s dinamičnim sadržajem.

Quinn i suradnici tijekom 2012. za Pointer institute provode istraživanje praćenja kretanja oka kod korisnika tablet uređaja [66] na skupini od ukupno 36 korisnika kojima prikazuju tri prototipa iPad aplikacije za izmišljene novine s tradicionalnim (ozbiljnim ili broadsheet), karusel i tzv. flipboard prijelomom. Sva tri prototipa sadržavali su 20 istih priča, a u različitim varijantama te su priče bile opremljene dodatnim multimedijским sadržajima: fotografijom, ilustracijom, foto-galerijom, videom ili pop-up prozorom s dodatnim sadržajem. O nalazima istraživanja detaljnije će biti riječi u kasnijim poglavljima.



Slika 2.6. Prototipovi aplikacija korištenih u Eyetrack:Tablet istraživanju [66]

Nekoliko je istraživanja pozornost posvetilo i potencijalnom prijelazu tiskanih novina na mobilne uređaje. Kako bi različiti e-čitači mogli zamijeniti tiskane novine i kako bi dostigli iskustvo čitanja tiskanih novina, uređaji prije svega moraju postići laganu prenosivost, jednostavnost korištenja i kvalitetnu čitljivost [67] [68] [69] [83] [84], ali čitatelji izražavaju zabrinutost načinom prezentacije informacija i određivanja njihove važnosti [68], obzirom da se kod jednostavnijih prikaza poput Kindle-a ili iPhone-a ne vidi 'vizualno – prostorna' relevantnost vijesti koja je jasna čitateljima tiskanih izdanja. Sve spomenuto svojim performansama i namjenom zadovoljavaju tzv. tablet računala. Xu et al. [70] također istražuju prijelaz novinskih medija u mobilne aplikacije, ali iz pozicije konvergencije sadržaja i predlažu empirijski model za ispitivanje zadovoljstva i potreba korisnika mobilnih aplikacija.

2.6. KONSTRUKTIVNO DIZAJNERSKO ISTRAŽIVANJE (CONSTRUCTIVE DESIGN RESEARCH)

Za potrebe ovog rada korištene su metode Konstruktivnog dizajnerskog istraživanja (Constructive Design Research – CDR) koje kombiniraju različite istraživačke tehnike iz područja istraživanja interakcijskog oblikovanja korisničkih sučelja te općenito iz područja produkt dizajna.

Pojam Konstruktivnog dizajnerskog istraživanja Koskinen, Zimmerman, Binder, Redström i Wensveen definiraju kao 'istraživanje kroz dizajn (dizajnersko istraživanje) kod kojeg izrada – bilo proizvoda, sustava, prostora ili medija – zauzima središnje mjesto i postaje ključno sredstvo u proizvodnji znanja' [17, str. 5], pri čemu se vode načelima koje su ranije postavili Zimmerman, Forlizzi i Evenson, temeljenim na pristupu koji su zagovarali Frayling, Fuller, Simon, Schön, Fallman, Alexander i niz drugih autora iz područja interakcijskog dizajna [71]. Riječ je o interdisciplinarnoj metodi koja koristi različite istraživačke pristupe proizašle iz prirodnih, tehničkih i društvenih znanosti te umjetnosti, a čiji je cilj i omogućiti fokusiranje na razumijevanje novih tehnologija [72].

Koskinen et all. ukazuju na činjenicu da su raniji pokušaji metodološkog uokvirivanja istraživanja dizajna, koji su polazili iz operacijskih istraživanja i teorije sustava predvođeni istraživačima poput J.C. Jonesa i Christophera Alexandera, neopravdano izostavljali iz istraživanja umjetničku i ljudsku stranu dizajna [17, str. 15], ali su, ipak, ostavili korisne alate za istraživanje dizajna koje je trebalo nadograditi. 'Ulmska škola' svoju metodologiju racionalnog istraživanja dizajna temeljila je na istraživanjima iz područja Gestalta, pokušavajući postaviti 'ozbiljne temelje za dizajn kao znanost planiranja' [17, str. 16], ali je propustila u obzir uzeti pitanje imaginacije, kreativnosti i kritičkog promišljanja dizajna. Na koncu, Koskinen et all. izdvajaju i istraživanja iz područja teorije aktivnosti (Activity theory) koja promatraju načine na koje pojedinci koriste proizvode/uređaje i konstatiraju kako spomenute aktivnosti nisu uvijek nužno i racionalne [17, str. 17].

Zimmerman i suradnici dizajnersko istraživanje definiraju kao svako prethodno istraživanje kojem je cilj kroz dizajnerski način razmišljanja 'proizvesti znanje koje će

utemeljiti, pojasniti i potaknuti proces razvoja proizvoda' [71, str. 494], pri čemu se dizajnerski način razmišljanja definira kao razmišljanje koje ima svoje:

- a) utemeljenje;
- b) istraživanje kako bi se dobile različite perspektive problema;
- c) osmišljavanje (artefakta, proizvoda, usluge, (prim. a.));
- d) generiranje koliko je god moguće više različitih rješenja, ponavljanje spomenutih postupaka;
- e) kružni proces popravljavanja i poboljšavanja koncepta uz povećanje kvalitete; te na kraju
- f) promišljanje o učinjenom.

Kao osnovu za utemeljenje dizajnerskog istraživanja uzimaju radove Buckminstera Fullera, koji je pozvao na 'revoluciju u istraživanjima dizajna, temeljenu na tehnologiji, znanosti i racionalizmu i Herberta Simona koji dizajn vidi kao aktivnost okrenutu budućnosti, a čiji proces racionalistički pokušava metodološki postaviti na osnovama teorije sustava (Systems theory) [17, str. 166]. U postavljanju modela kreću i od ideje Donalda Scöna koji je dizajn vidio kao praksu promišljanja o ostvarenom, od istraživanja Daniela Fallmana koji je opisao rad dizajnera i behavioralističkih istraživača i dao im naziv 'istraživanje okrenuto ka dizajnu' te od radova Christophera Alexandera, koji su od dizajnera tražili da istražuju kontekst, sustav sila (moći) i rješenja korištenih da bi se odgovorili na ponavljajuće probleme dizajna kako bi se stvorio ili definirao komplet dizajnerskih obrazaca i proizveo 'dizajnerski jezik' [71, str. 495]. Alexander, ali i drugi autori, dizajn vidi kao aktivnost sastavljenu od tri glavna dijela: 1) analize problema; 2) sinteze rješenja i 3) evaluacije rezultata [73]. Zimmerman i suradnici ove poglede dodatno proširuju tvrdnjom da dizajneri pristupaju procesu oblikovanja slijedeći proces disciplinirane imaginacije jer njihovi proizvodi svejednako 'i otkrivaju i utemeljuju potencijalnu budućnost' [74].

Konstruktivno dizajnersko istraživanje Koskinen et all. dijele na tzv. laboratorijsku, terensku i izložbenu fazu [17, str. xiv] i njihove međufaze odnosno preklapanja. Laboratorijski rad najčešće se događa u fazama testiranja i izabiranja koncepta te u fazi evaluacije prototipa. Sadržaj analize kod ovog tipa istraživanja je dizajnersko rješenje (prototip, skica, simulacija, scenarij...), često do neke mjere simplificirano na osnovne

funkcije, bazirano na izabranoj teorijskoj osnovi s pripadajućim hipotezama koje se kroz statističku obradu prikupljenih podataka dokazuju ili opovrgavaju. Zimmerman i Forlizzi još ranije definiraju četiri koraka u laboratorijskom odnosno eksperimentalnom istraživanju:

- a) motivaciju;
- b) postavljanje hipoteza;
- c) formuliranje istraživačkih pitanja i
- d) sam eksperiment [74].

Brand i suradnici eksperiment postavljaju u središte istraživanja te dodaju još i faze evaluacije i stvaranja novog znanja koje se koristi za eventualno preformuliranje hipoteza i istraživačkih pitanja te ističu kako redoslijed faza nije nužno određen pa istraživanje može početi u bilo kojoj fazi, a pojedine faze mogu se odvijati i paralelno [75]. Terenska istraživanja određenog dizajnerskog rješenja služe kako bi se ispitalo i promatralo kako ono funkcionira u praksi [17, str. 69], pri čemu se koristi niz metoda svojstvenih društvenim znanostima.

Sproull [76, str. 162] ističe četiri osnovna načina prikupljanja podataka i to:

- 1) intervju;
- 2) uvođenje instrumenata;
- 3) promatranje i
- 4) istraživanje dokumenata, materijala i artefakata;

i kaže kako direktno mjerenje istraživanih varijabli bilo kojom spomenutom metodom daje najmanje mogućnosti za pogrešku, za razliku od indirektnog koje bi trebalo izbjegavati gdje god je moguće [76, str. 164]. Pri tome, intervjui se koriste za prikupljanje osobnih razmišljanja pojedinaca o njihovim mišljenjima, stavovima, vrijednostima, vjerovanjima ili ponašanju u slučajevima kada je potrebno dubinski ispitati kompleksne informacije ili razjasniti pojedine nalaze. Uvođenje instrumenata mjerenja (anketa, upitnika, automatiziranih mjerenja, drugih tipova testova) kod kojeg subjekti istraživanja direktno odgovaraju na ranije pripremljene instrumente, koristi se za prikupljanje podataka o pojedinim varijablama u slučajevima kada su njihovi

odgovori na standardizirane instrumente najbolji i najbrži način mjerenja. Promatranje kao metoda koristi se samo u onim slučajevima kod kojih su istraživani subjekti najbolji izvor informacija i važno je ili neophodno promatrati njihovo ponašanje, pogotovo u prirodnim uvjetima. Na koncu, istraživanje dokumenata, materijala i artefakata koristi se kada su oni jedini izvori informacija o promatranom subjektu, a prednost joj je što isključuje namjerne ljudske pogreške i nije nametljiva i ne utječe na promatrani subjekt istraživanja [76, str. 164]. Terensko istraživanje koristi se kada je potrebno dubinsko razumijevanje značenja koje potencijalni korisnici pridaju pojedinim elementima prototipa ili rješenja, a pokazala su se izrazito korisnim u ranim fazama proizvodnje određenih proizvoda, u kojima je potrebno specificirati zahtjeve koje novi proizvod treba zadovoljiti kako bi ostvario kvalitetno i zadovoljavajuće korisničko iskustvo [17, str. 74], odnosno u situacijama 'kada se ne može definitivno utvrditi koje nezavisne varijable treba istraživati ili se pojedini nivoi varijable ne mogu točno definirati' [14].

Izložbena faza pretpostavlja izlaganje različitih alternativa odnosno dizajnerskih rješenja sudu javnosti, a Koskinen et al u svom modelu istraživanja polaze od radova Anthony Dunne i njegove knjige *Hertzian Tales* [77], u kojoj Dunne daje teorijsku potporu ovom tipu istraživanja, koristeći cijeli spektar teorija, od 'post-modernističkog konzumerizma, fenomenologije, semiotike i filozofskog pragmatizma do kritičke teorije i studija materijalne kulture' [17, str. 110]. Kritički dizajn polazi od pretpostavke da se dizajn 'može koristiti kao kritički medij koji dozvoljava promišljanje kulturnih, društvenih i etičkih utjecaja tehnologije' [17, str. 116], dizajn se doživljava kao potencijalni 'agent promjene', a DiSalvo [78] identificira dvije osnovne taktike: a) taktiku projekcije i b) taktiku praćenja. Taktika projekcije je, prema njemu, 'prezentacija na činjenicama baziranog seta potencijalnih budućih posljedica vezanih uz neki problem', a taktika praćenja je 'korištenje dizajniranih oblika da bi se obrazložilo i komuniciralo i učinilo poznatim mrežu materijala, akcija, koncepata i vrijednosti koje oblikuju i uokviruju problem kroz vrijeme'.

Koskinen et al zaključuju kako je kod ovog tipa istraživanja potrebno koristiti što je moguće različitija znanja i iskustva i uvesti ih kroz različite faze i metodologije u istraživački proces, koji je ujedno i proces stvaranja novog proizvoda, koji nije nužno i isključivo tehnološko dizajnersko rješenje, nego se mora gledati u širem kontekstu korisničkog iskustva i društvenog konteksta u kojem nastaje [17, str. 165-166].

2.7. ISTRAŽIVANJE SUČELJA ZA TABLET NOVINE

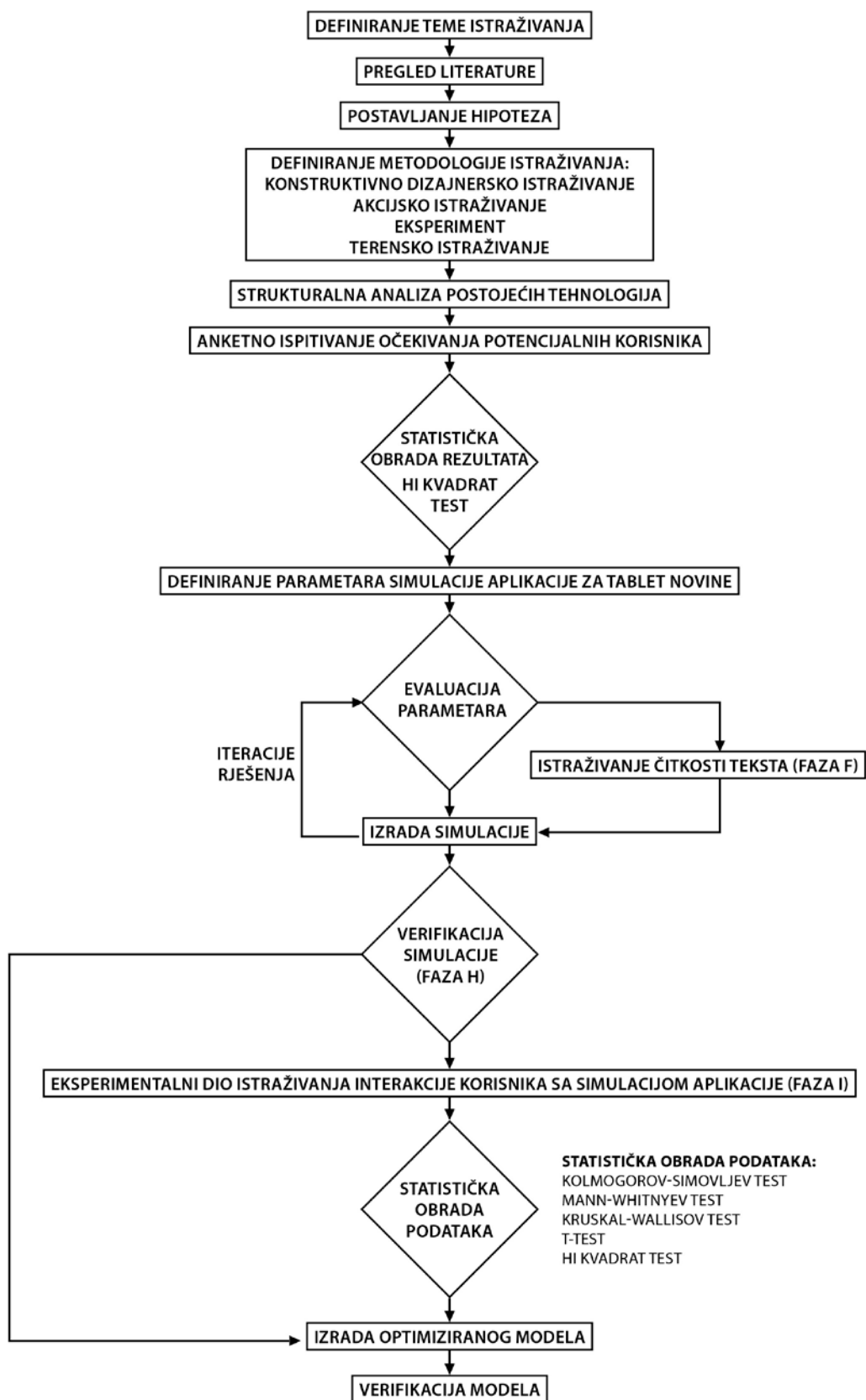
Sukladno koracima koje definira Galitz [2, str. 768] i te modelu konstruktivnog dizajnerskog istraživanja pojašnjenom u ranijem poglavlju, za potrebe istraživanja optimizacije grafičkih parametara korisničkog sučelja za tablet novine, formiran je tim za izradu prototipa korisničkog sučelja odnosno pripadajuće aplikacije koji se sastojao od dva grafička dizajnera s iskustvom u radu u digitalnom i tiskanom okruženju, dva programera i jednog znanstvenog istraživača. Prvi grafički dizajner ima široko iskustvo u području grafičkog oblikovanja tiskanih medija, dizajniranju za web i mobilne aplikacije, član je Hrvatskog dizajnerskog društva te je, između ostalog, bio i dio tima nagrađenog nagradom HDD-a za prijelom tiskane publikacije. Drugi grafički dizajner sudjelovao je u izradi i oblikovanju web stranica za niz različitih klijenata, između ostalih i za jedan od dva vodeća hrvatska dnevna lista, ima široko iskustvo u prijelomu tiskanih publikacija, uključujući knjige i časopise te je radio na nizu projekata na hrvatskom i stranim tržištima, prije svega na tržištu SAD-a. Oba grafička dizajnera imaju višegodišnje iskustvo rada u kreativnim agencijama, a danas rade kao free lance grafički dizajneri. Oba programera imaju višegodišnje iskustvo u programiranju i izradi web stranica i drugih različitih digitalnih aplikacija. Prvi programer, uz to, posjeduje visoku razinu iskustva i znanja iz područja tzv. back-end programiranja, a drugi iz područja responzivnog dizajna. Znanstveni istraživač je autor ovog rada.

Za potrebe ovog rada provedene se redosljedom sljedeće faze istraživanja, prikazane na slici 2.7.:

- a. Pregled literature i dosadašnjih istraživanja u području oblikovanja tiskanih novina i njihove tranzicije u mrežne aplikacije kratko prikazan u Tablici 1.
- b. Pregled literature i dosadašnjih istraživanja u području aplikacija za digitalna mobilna računala (tablete i e-čitače) kako bi se utvrdili grafički parametri korisničkih sučelja tablet novina kratko prikazan u Tablici 1.
- c. Strukturalna analiza postojećih tehnoloških rješenja u području mobilnih osobnih računala.
- d. Anketno ispitivanje očekivanja i zahtjeva potencijalnih korisnika grafičkog korisničkog sučelja 'tablet novina'.

- e. Fokus grupa usmjerena ka definiranju očekivanja i zahtjeva naprednih korisnika tablet računala s posebnim naglaskom na navigaciju kroz sadržaj potencijalnog korisničkog sučelja te načine odlučivanja o korištenju korisničkog sučelja.
- f. Istraživanje čitkosti teksta u različitim uvjetima.
- g. Izrada simulacija korisničkog sučelja bazirana na rezultatima istraživanja i analiza u ranijim točkama.
- h. Fokus grupa sastavljena od grafičkih dizajnera za verifikaciju estetskih i funkcionalnih kvaliteta prototipa.
- i. Eksperimentalni dio baziran na interakciji korisnika sa simulacijama grafičkog korisničkog sučelja (eye tracking mjerenje; ispitivanje čitkosti teksta; interakcija u ovisnosti o različitim multimedijским formatima).
- j. Statistička obrada podataka.
- k. Izrada optimiziranog modela grafičkog korisničkog sučelja.
- l. Anketno ispitivanje zadovoljstva korištenja optimiziranog modela grafičkog korisničkog sučelja (verifikacija modela).

U skladu s metodologijom Konstruktivnog dizajnerskog istraživanja [17, str. 17], strukturalna analiza (Systemic-structural analysis) [79] korištena je u fazi c. kako bi se, prema Bednyu i Karwowskom [80] analizirali i utvrdili raspon i mogućnosti za provođenje 'akcija i operacija te utvrdili funkcijski blokovi' bazirani na postojećim tehničko tehnološkim rješenjima u području mobilnih osobnih računala (tableta i e-čitača) različitih proizvođača, s posebnim naglaskom na mogućnosti korištenja multimedijских i cross medijskih formata te kako bi se analizirale i utvrdile mogućnosti za proizvodnju sadržaja tablet novina u uvjetima medijske konvergencije odnosno kako bi se utvrdio optimalni model proizvodnje sadržaja dnevnih novina za tiskano, web i mobilno okruženje, s naglaskom na proizvodnju sadržaja za tablet izdanje dnevnih novina. Bedny i Harris ističu ovu metodu posebno korisnom u istraživanju dizajna, pogotovo u odnosu na metode kognitivne psihologije jer vraća fokus, osim na kognitivne procese i na aktivnosti, akcije i operacije te na strukturu samog djela odnosno procesa [81].



Slika 2.7. Dijagram toka istraživanja korisničkog sučelja za tablet novine.

Anketno ispitivanje koristilo se u fazama d., i l. za istraživanje očekivanja i zahtjeva korisnika potencijalnih korisnika grafičkog korisničkog sučelja 'tablet novina', kao i za istraživanje zadovoljstva korisnika pojedinim segmentima prototipa korisničkog sučelja odnosno verifikaciju optimiziranog modela grafičkog korisničkog sučelja. Sproull navodi [76, str. 191-206] kako je ovaj oblik istraživanja koristi isključivo onda kada je potrebno istražiti ljudske stavove, vrijednosti i vjerovanja, s koracima: a) određivanje liste varijabli i operacionalnih definicija; b) specificiranje uzorka, c) određivanje instrumenta; d) definiranje strukture upitnika; e) izrada i provjera upitnika; f) definiranje uputa za sudionike i provoditelje ankete; g) testiranje i eventualna dorada upitnika, ako je potrebno; te f) prikupljanje i obrada podataka. Pripremljeni upitnici korišteni u istraživanju bazirani su na upitnicima korištenim u sličnim ranijim istraživanjima [82] [29] [24] s različitim kombinacijama otvorenih, zatvorenih i pitanja s odgovorima s višestrukim izborom. U prvoj fazi istraživanja (d.) sudjelovalo je 78 studenata svih godina preddiplomskih studija Sveučilišta Sjever iz Sveučilišnog centra Koprivnica (studiji Novinarstva, Medijskog dizajna i Poslovanja i menadžmenta u medijima). Od tog broja njih 30 ocijenilo je jednu od postojećih tablet aplikacija hrvatskih dnevnih novina prema tri kategorije: 1.) vizualnom/grafičkom dizajnu aplikacije; 2.) čitljivošću teksta i 3.) korištenju multimedije. U finalnoj fazi istraživanja (l.) 50 ispitanika, studenata 2. godine Studija Multimedija, oblikovanja i primjene Sveučilišta Sjever ispunilo je završni anketni upitnik usmjeren ka verifikaciji optimiziranog modela, nakon što su dobili mogućnost njegovog korištenja u neograničenom vremenu.

U fazama e. i h. istraživanje očekivanja i zahtjeva korisnika potencijalnih korisnika grafičkog korisničkog sučelja 'tablet novina' dodatno je potvrđeno i kroz fokus grupe čiji su sugovornici detaljnije pojasnili svoja očekivanja, s posebnim naglaskom na navigaciju kroz sadržaj potencijalnog korisničkog sučelja te načine njegovog korištenja, kako predlažu Vaughan i Dillon [59]. Korištena je metoda grupnog intervjua [5, str. 377] prema propisanoj metodologiji, a fokus grupe obuhvatile su stručnjake iz polja dizajna, s obzirom da su 'profesionalni dizajneri nagomilali su dovoljno iskustva tijekom svog rada da mogu iz vlastitog empirijskog znanja procijeniti što je dobar dizajn' [84, str. 66]. Sukladno metodološkim preporukama [76, str. 209-211], zaključci fokusnih grupa tretirali su se kao jedinstven odgovor, u slučajevima gdje je to bilo potrebno, odnosno koristili su se kako bi se dobio dublji uvid u pojedine aspekte istraživanja.

Zelenika prikupljanje, proučavanje i sređivanje literarne građe smatra 'najtežom, najvažnijom, najodgovornijom i najzahtjevnijom fazom znanstvenog istraživanja' i dijeli je na: 1) prikupljanje literarne građe i znanstvenih informacija; 2) proučavanje literarne građe; 3) selekciju, analizu i sintezu relevantnih znanstvenih činjenica; te 4) stvaranje generalnog zaključka [5, str. 428]. Ova metoda korištena je u fazama a. i b. Sukladno metodološkim preporukama [5, str. 447-453], pregledom literature utvrđena su postojeća od struke i znanstvene zajednice prihvaćena pravila dizajniranja tiskanih dnevnih novina i njihov povijesni razvoj, istražen je prijelaz tiskanih dnevnih novina u digitalno okruženje i definirana recentna znanstvena otkrića o ponašanju korisnika aplikacija dnevnih novina u novim tehnološkim uvjetima (web i mobilne aplikacije). Sproull ovu metodu prikupljanja podataka preporuča u svim onim slučajevima kada treba istražiti karakteristike 'već postojećih fenomena' [76, str. 171]. Pregledom stručne literature utvrđeni su stavovi dizajnera po pitanju kriterija kvalitete korisničkih sučelja za tablet novine, što je dodatno verificirano strukturiranim razgovorom sa sudionicima fokus grupe.

Tablica 1. Sažetak pregleda literature

Autori	Tip studije/ istraživanja/ rada	Zaključci i rezultati
Galitz [2], Marcus [3], Allen [4], Quesenebry [12], Schakel [13]	Pregledno / Kritička analiza	Definiraju korisničko sučelje i grafičko korisničko sučelje te uporabljivost, detaljno opisujući njihove karakteristike, modele i načine rada.
Zhang et all. [6], Hayes [7], Peters i Robinson [8], McNiff et all. [9], Susaman i Everet [10], Knock et all. [11], Hornbæk [14], Hagen et all. [15], Fallman [16], Fallman [73]	Pregledno / Kritička analiza	Definiraju ljudsko računalnu interakciju kao način međudjelovanja ljudi, informacija, tehnologija i zadataka te određuju metodologiju istraživanja u području HCI i akcijskih istraživanja.
Moggridge [18], Saffer [19], Houde i Hill [20], Floyd [21]	Pregledno / Kritička analiza	Definiraju pojam interakcijskog dizajna i dizajniranja interakcija te metode i pristupe istraživanju interakcijskog dizajna.

Koskinen et all. [17], Zimmerman et all. [71] i [72], Zimmerman i Forlizzi [74], Bang et all. [75]	Pregledno / Kritička analiza	Definiraju postavke konstruktivnog dizajnerskog istraživanja s fazama
Wimmer i Dominick [24], Sproull [76] Lowery i DeFleur [120]	Pregledno / Kritička analiza	Definiraju metodologije i daju pregled najvažnijih radova u području medijskih istraživanja, uključujući istraživanja tiskanih novina, novinskog dizajna te prijelaza novina u nove medije.
Barnhurst i Nerone [25] i [26]	Longitudinalno istraživanje / Povijesni pregled	Istraživanje dizajna naslovnica američkih dnevnik novina i identifikacija najvažnijih razdoblja i njihovih karakteristika.
Haskins i Flynne [27]	Eksperimentalno istraživanje	Ispitivanje utjecaja fonta na čitkost pokazuje da utjecaj ne postoji.
Click i Baird [28], Geraci [30], Kelly [31], Bain i Weaver [82]	Komparativna analiza	Veličina ilustracija i fotografija, njihovo oblikovanje, boja i položaj, jednako kao i tip i veličina fonta, utječu na čitateljski doživljaj.
Wanta i Gao [29], Griffin i Stevenson [32]	Eksperimentalno istraživanje	Čitatelji vole paratekst, velike fotografije i dodatnu opremu uz tekst čiji je cilj povećati interes čitatelja i u tome uspjeva.
Just i Carpenter [33]	Pregledno / Kritička analiza	Predstavljaju teoriju čitanja po kojoj postoji direktna veza između onoga što oko gleda i o čemu um razmišlja.
Duchowsky [34], Josephson [38]	Pregledno / Kritička analiza	Definira metodu istraživanja praćenjem kretanja oka (Eye tracking)
Holmqvist et all. [35], Garcia i Stark Adam [36], Holsanova et all. [37], Bohle i Garcia [39], Garcia [93], Smith [94], Pasternack i Utt [96], Stone et all. [104], Moen [105], Ames [106], Kress i van Leeuwen [107], Utt i Pasternack [108], Garcia et all. [109]	Eksperimentalno istraživanje	Postoji uobičajen način ulaza na tisaknu novinsku stranicu, oko reagira na tzv. hvatače pažnje, boju, paratekst i prije svega fotografiju. Kvalitetno oblikovana novinska stranica zbog toga mora poštovati određeni broj pravila koja se formuliraju u svojevrzne preporuke za dizajn stranice tiskanih novina.
Stark Adam et all. [40]	Komparativna analiza	Postoji razlika između obrazaca kretanja oka po stranici tiskanog i online izdanja istih novina.

Dillon [43]	Komparativna analiza	Definira metode i daje primjere istraživanja mjerenja čitkosti i čitljivosti teksta.
Tinker [44], Bruce i Green [45], Furlan [46], Rabinowitz [47], Sheedy et all. [48], Legge [49], Margolin et all. [50], Mesaroš [51], Berrymann [52], Baines i Haslam [53], McMurtrie [54], Hollander et all. [68], Hu et all. [70], Strand [83], Brangan [90]	Longitudinalno istraživanje / Komparativna analiza /Eksperiment	Čitkost teksta ovisi o nizu faktora: od izgleda i veličine fonta, preko pravila kombiniranja slovnih znakova do medija na kojem i načina kojim je tekst otisnut.
Peng et all [56], Li [57], Wearden et all. [58], Vaughan i Dillon [59], Lin i Jeffres [60], Sundar [61], Quinn [62], Salwen et all. [63], DiMarco [102]	Longitudinalno istraživanje / Komparativna analiza /Eksperiment	Pojavom interneta tiskana izdanja dnevnih novina dobivaju online komponentu koja se dijelom oslanja na multimedijску prirodu nove multimedijске platforme, što povećava interes čitatelja te ujedno stvara nove obrasce čitanja i nov način oblikovanja sadržaja.
Lewenstein et all. [64], Outing i Ruel [65]	Eksperimentalno istraživanje	Oko čitatelja po web stranici novina kreće se prema drugačijem obrascu u odnosu na kretanje oka po stranici tiskanog izdanja, a primarni hvatači pažnje više nisu fotografije, nego naslovi i tekst.
Quinn et all. [66], Garcia [85]	Eksperimentalno istraživanje	Tablet izdanje dnevnih novina je tzv. 'lean back' izdanje pa tome treba prilagoditi i njegov dizajn, pri čemu čitatelji u većoj mjeri koriste multimedijске sadržaje, a unutar aplikacije se zadržavaju relativno kratko. Dizajn aplikacije trebao bi, stoga, poticati na interaktivnost, kako sadržaja (multimedijška interaktivnost), tako i korisnika s uređajem.
Bedny i Karwowski [79] i [80], Mustonen et all. [89], MacGregor [91], Boczkowski [119], Schoenbach et all. [121], Bohlin et all. [124], Dailey et all. [127], Soneira [135], Heikenfeld et all. [137], Clark et all. [140]	Pregledno / Kritička analiza	Definiraju temeljne pojmove i načine transfera tehnologija, uključujući i razvoj novih i hibridnih medijskih formata te metodologiju njihovog istraživanja.

U fazi i., na osnovu rezultata ranije provedenih istraživanja i analiza izrađene su simulacije grafičkog korisničkog sučelja za tablet novine, prema modelu postojećih dnevnih novina, što odgovara Marcusovom zahtjevu za tzv. mentalnim modelom [3, str. 429] te Wimmerovom i Dominickovom zaključku [24, str. 317] u korištenju eksperimentalne metode za istraživanje dizajna novina. Simulacije su korištene u eksperimentalnom dijelu istraživanja i kao takve zapravo predstavljaju prototip korisničkog sučelja za tablet novine, sukladno definiciji koju daju Houde i Hill [20]. Prototip se koristi kako bi postojeća razrađena ideja dobila stvaran, opipljiv oblik i kako bi se idejne postavke u praksi mogle isprobati [17, str. 134]. Simulacije korisničkog sučelja sastoje se od stranica s unaprijed definiranim grafičkim elementima (objektima) unutar kojih se variralo šest vizualnih i multimedijjskih formata: a) vizualni ulazi na novinsku stranicu, b) tipografija, c) audio-video formati, d) fotografije, e) animacije i f) ilustracije. Sukladno zahtjevima koje za eksperiment definiraju Hagen et al. [15], simulacije su povezane sa sustavom za upravljanje sadržajem baziranom na postojećim web tehnologijama te sustavom za bilježenje podataka o korisničkim aktivnostima. Simulacije su definirane dvama osnovnim modelima prijeloma, kako ih definira Garcia [85]: ozbiljnim i tabloidnim prijelomom.

U eksperimentalnom dijelu, sukladno metodološkim preporukama koje daje Sproull, [76, str. 136-149] provelo se ispitivanje interakcije korisnika sa simulacijama grafičkog korisničkog sučelja. Korišteni su prigodni uzorci ispitanika s iskustvom u korištenju multimedijjskih sadržaja i digitalnih tehnologija. Sudionicima je ukratko objašnjena svrha i cilj istraživanja te dane upute za sudjelovanje u ispitivanju. Korištenje simulacija provedeno je u tri odvojena eksperimenta:

- 1) Vizualni ulazi na stranicu istraženi su 'eye tracking' metodom za dva tipa prijeloma naslovne stranice. Metodologija praćenja kretanja oka bilježi kretanje pogleda preko određenog vizualnog stimulansa, a postoji više različitih tehnologija kojima se ono može postići [34]. Mjerenje kretanja oka obavljeno je pomoću Tobii X60 uređaja [86], s rezolucijom snimanja 1920x1200 px i primijenjenim I-VT fiksacijskim filterom, koji je baziran na Olssonovom algoritmu za detekciju čitanja [87], a mjerile su se fiksacije prigodnog uzorka ispitanika. Ova metoda već je uspješno korištena za istraživanja načina gledanja novinske

stranice, vizualnih ulaza na stranicu odnosno multimedijских sadržaja u digitalnom okruženju [36], [35], [64], [65], [37].

Za potrebe istraživanja korištene su četiri simulacije naslovnice tablet novina (dvije u uspravnom i dvije u položenom formatu), prema metodologiji tzv. 'latinskog kvadrata', koja je već korištena u ranijim sličnim istraživanjima [38, str. 68], a u skladu se definicijom koju daju Houde i Hill, koji za istraživanje predlažu prototip odnosno simulaciju koja prikazuje izgled i ponašanje zaslona [20, str. 368]. Prijelom je podijeljen na dva dijela, prema Garciji [85]: tabloidni (prijelom 1) i ozbiljni (prijelom 2). Područja interesa (Areas of Interest – AoI) definirana su njihovim vizualnim karakteristikama, kako je vidljivo na slikama 5.10 – 5.12 na način da je svaki pojedinačni grafički element smatran posebnim područjem interesa.

Podaci su obrađeni korištenjem softwera Tobii Studio (verzija 3.2) [88] i prezentirani u formi: a) kretanja pogleda (gaze plot) i b) heat mapa (heat maps) kroz definirana područja interesa.

U istraživanju je sudjelovalo 38 ispitanika, studenata diplomskih studija Grafičkog fakulteta u Zagrebu podijeljenih u dvije grupe od 19 ispitanika, ali su korišteni samo rezultati mjerenja onih ispitanika kod kojih je ukupno zabilježeni postotak uzoraka bio viši od 75 posto. Za obradu rezultata bila su prikladna 34 rezultata. U prvom testu s uspravnim formatom obrađeni su rezultati 18 ispitanika (n=18), a u drugom, položenom formatu, 16 ispitanika (n=16). Uzorci su mjereni u intervalima od 0,02 s pri frekvenciji od 60 Hz. Ispitanici su promatrali dane simulacije u ograničenom vremenu od 15 sekundi za prijelom 1 (t1=15) i 20 sekundi za prijelom 2 (t2=20), sa zadatkom da odaberu vijest ili priču koju bi željeli pročitati, što simulira stvarni obrazac čitanja novina, slično istraživanju Clika i Stempela [24, str. 319] koji su istražujući naslovnice sedam različitih formata ispitanicima pokazivali slideove u trajanju od 15 sekundi, nakon čega su ih tražili da ocijene svaku od spomenutih naslovnica. Vrijeme izlaganja određeno je tako da je 15 ispitanika dobilo vremenski neograničeno vrijeme za provedbu zadatka, a srednja vrijednost trajanja izlaganja uzeta je kao vrijeme izlaganja u zabilježenim mjerenjima.

2) Ispitivanje brzine čitkosti provedeno je primjenom metodologije korištene u ranijim istraživanjima [89]. Čitkost je ispitana mjerenjem brzine čitanja istovjetnog teksta u tri različita formata: na papiru, na zaslonu računala i na tablet računalu. U ovom istraživanju, sukladno Dillonovim preporukama [43] korištena je metoda kod koje je unaprijed je definirana ukupna dužina teksta, a mjerilo se vrijeme svakog pojedinog ispitanika, što korespondira i s metodama koje je koristio Tinker [44] za mjerenje čitkosti s papira. Dillon, također, predlaže da zadatak koji se postavlja pred sudionike bude što je moguće sličniji njihovim ranijim iskustvima i prirodnom načinu čitanja, zbog čega se od ispitanika nije tražilo da memoriraju ili na bilo koji način reproduciraju sadržaj pročitanog teksta, osim kod jedne grupe ispitanika koji su poslužili kao kontrolna grupa.

Tekst je prelomljen u četiri pismovne veličine (10, 12, 14 i 16 pt), korištena su dva pisma (Minion Pro – serifni font i Gotham – sans serif, koji su po izboru šest ranije anketiranih stručnjaka među najkorištenijim fontovima za dizajn za zaslon u praksi) te prijelom u jednom odnosno u dva stupca. Tekstovi su pripremljeni za digitalnu reprodukciju korištenjem mrežne stranice programirane za responzivni dizajn, kako bi se održala konstantna veličina i prijelom teksta. Boja slovnih znakova je crna, a podloga bijela, s obzirom da takva kombinacija daje najbolji kontrast. Tekst je otisnut na papir u rezoluciji 300 dpi, prikazan na HD zaslonu računala rezolucije 1366x768 px te na zaslonu tablet računala rezolucije 1024x768 px i 132 ppi. Usporedbe brzine i subjektivne težine čitanja između različitih medija, između jednostupčanog (dužine retka 192 mm) i dvostupčanog (dužine retka u stupcu od 94 mm) prijeloma te kontrolne grupe obavljene su upotrebom fonta veličine 12 točaka.

Sukladno preporukama za težinu čitanja [90], izabran je tekst srednje težine (LIX = 37.35), prema formuli za određivanje objektivne težine teksta koje daje Brangan. Korištena je formula LIX prilagođena hrvatskom jeziku koja glasi: $LIX = A/B + (C \times 100)/A + 2$, gdje je A = broj riječi, B = broj rečenica, C = broj dugih riječi (više od 7 znakova), a težina teksta izražena je na skali: < 24 vrlo lagano; 25-34 lagano; 35-44 osrednje; 45-54 teško; > 55 vrlo teško [90, str. 82-83]. Zavisna varijabla je bila brzina čitanja u odnosu na 12 nezavisnih varijabli – ranije objašnjenih kombinacija pismovne veličine, fonta, prijeloma i medija.

Anketno je ispitana subjektivna težina čitanja Likertovom skalom (1-10, gdje je 1 – potpuno naporno i 10 – bez ikakvog napora). Subjektivna težina čitanja se može definirati kao fizički napor uloženi u svladavanje zadatka [89], a prema subjektivnoj ocjeni svakog pojedinog ispitanika.

U ovoj fazi istraživanja sudjelovalo je 220 studenata svih godina preddiplomskih studija Sveučilišta Sjever iz Sveučilišnog centra Varaždin (studij Multimedije, oblikovanja i primjene) i Sveučilišnog centra Koprivnica (studiji Novinarstva, Medijskog dizajna i Poslovanja i menadžmenta u medijima). Studenti su podijeljeni u 11 grupa od po 20 studenata koji su čitali različite aplikacije teksta:

- Grupa 1 – 12 pt (Minion Pro), papir;
- Grupa 2 – 12 px (Minion Pro), računalo;
- Grupa 3 – 12 px (Minion Pro), tablet;
- Grupa 4 – 12 px (Gotham), tablet;
- Grupa 5 – 12 px (Minion Pro), dvostupčani prijelom, tablet;
- Grupa 6 – 10 px (Minion Pro), tablet;
- Grupa 7 – 14 px (Minion Pro), tablet;
- Grupa 8 – 16 px (Minion Pro), tablet;
- Grupa 9 – 14 px (Gotham), tablet;
- Grupa 10 – 16 px (Gotham), tablet;
- Grupa 11 – 12 px (Minion Pro), tablet – kontrolna grupa.

Statistička obrada provedena je pomoću matematičkog softwera Matlab 7.0.1 i aplikacije Microsoft Excel 2007.

3) Utjecaj audio-video formata, fotografije, animacije i ilustracije ispitan je direktnim individualnim korištenjem simulacija koje je ispitanicima omogućeno u neograničenom vremenu, nakon čega su se analizirali podaci o njihovom ponašanju prilikom korištenja simulacija dobiveni praćenjem aktivnosti sustavom Google analytics, a u skladu s metodom praćenja aktivnosti čitatelja u online okruženju [91]. U eksperimentu je sudjelovalo 50 studenata 2. godine studija Multimedije, oblikovanja i primjene Sveučilišta Sjever.

Analizirale su se dvije zavisne varijable: a) vrijeme korištenja simulacije i b) učestalost korištenja pojedinih članaka. Spomenute varijable analizirale su se u ovisnosti o četiri nezavisne varijable – ranije spomenutim vizualnim i multimedijским formatima – te u ovisnosti o poziciji članka na naslovnoj stranici, pri čemu se nije mjerila učestalost posjeta naslovnim stranicama, već samo ulazak u članak.

Po završetku korištenja simulacije, ispitanici su odgovarali na upitnik o zadovoljstvu korištenja aplikacijom, pri čemu je posebna pozornost posvećena zadovoljstvom korisnika pojedinim multimedijским formatima.

U statističkoj obradi podataka koristile su se metode deskriptivne i inferencijalne statistike. Izračunati su osnovni pokazatelji deskriptivne statistike za analizirane varijable istraživanja, a potom se ispitala povezanost između analiziranih varijabli.

Rezultati svih faza istraživanja poslužili su za izradu optimalnog modela grafičkog korisničkog sučelja koje je verificirano anketiranjem kojem je cilj bio odrediti zadovoljstvo korisnika korištenjem aplikacija. U istraživanju je sudjelovalo 50 ispitanika, studenata druge godine preddiplomskog studija Multimedije, oblikovanja i primjene Sveučilišnog centra Varaždin Sveučilišta Sjever. Korištenje simulacija omogućeno im je u neograničenom vremenu. Rezultati ankete uspoređeni su s rezultatima ankete o očekivanjima i zahtjevima korisnika potencijalnih korisnika grafičkog korisničkog sučelja 'tablet novina' provedene početkom rada na izradi ove disertacije.

3. OSNOVE I RAZVOJ NOVINSKOG DIZAJNA

3.1. NOVINSKI DIZAJ I TEHNOLOGIJA PROIZVODNJE DNEVNIH NOVINA

Govoreći o grafičkom oblikovanju dnevnih novina, Franjo Mesaroš zaključit će da 'dnevne novine nastaju svakih 24 sata, praktički iz ničega – ponekad i u neshvatljivo visokoj nakladi od nekoliko milijuna primjeraka. Novine nastaju u roku od nekoliko sati, a neke faze u proizvodnji se mjere minutama. Uzmemo li to u obzir, moramo reći da novine dobro, ili čak vrlo dobro izgledaju' [51, str. 206]. Dizajn novina često je bio vezan uz cijeli niz drugih tehničkih i umjetničkih disciplina koje su ga određivale. Proizvodnja dnevnih novina, a posredno i njihovo vizualno odnosno grafičko oblikovanje od samih početaka bili su uvjetovani tehnološkim ograničenjima pa su pojedina vizualna i grafička rješenja bila više rezultat trenutnih mogućnosti nego sustavnog promišljanja i dizajna [51] [92] [93].

To, međutim ne znači da promišljanja i istraživanja nije bilo, ali ono je često ostajalo u sferi praktičnih iskustava pojedinih autora koji su, kako će se pokazati dalje u radu, svoja iskustva, saznanja i grafička rješenja postavili kao primjer kojeg će slijediti generacije budućih dizajnera. Smith kaže kako je novinski dizajn uvjetovan dvama bitnim faktorima: tehnologijom proizvodnje novina koja je dobrim dijelom bila ograničavajuća iz perspektive percepcije te samom prirodom novina i novinarstva odnosno potrebom da se vijest prenese brzo i prije svih drugih [94, str. 81]. Novinski dizajn bio je ponekad obilježen različitim 'domaćim' specifičnostima koja variraju od kulture do kulture ili od države do države pa se rješenja istih problema mogu itekako razlikovati, no sve ih karakterizira potreba da se informacija/poruka prenese, da se učini što je moguće jednostavnijom za konzumaciju i da bude atraktivna čitateljima [26, str. 261].

Na kvalitetu i izgled novina nisu utjecali samo tehnološki faktori, već i ekonomski poput ekonomskih kriza ili drugih razloga pada prihoda novina koji su dovodili do potrebe smanjenja troškova pa posljedično i do redizajna novinskih izdanja [93, str. 190-191] vidljivog prvenstveno u promjenama materijala ili formata izdanja. Barnhurst i Nerone, promatrajući novine kroz teoriju ekološkog sustava, [95] ističu i cijeli niz drugih utjecaja,

od kulturnih praksi do širih društvenih kretanja, koji utječu na formu novina, a samim tim i na novinski dizajn. Taj širi kontekst nazivaju medijskom ideologijom, a novine dijele u odnosu na: 1) vizualni odnosno grafički stil; 2) tip proizvodnje i 3) ideal kojem teže. Ističu kako je dizajn novinske stranice posljedica utjecaja svakog od spomenuta tri segmenta i istražujući povijest američkih novina identificiraju nekoliko vrsta oblikovanja, od prvih novina koje su proizvodili vlasnici malih tiskara pa sve do današnjih profesionalnih, 'korporativnih' novina koje koriste tzv. moderni novinski prijelom. Oblik novina oblikovala je epoha u kojoj su izlazile, tvrde i kažu kako su prve, tiskarske novine više nalikovale knjigama nego novinama, dok su novine viktorijanskog doba bile natrpane i zgusnute, za razliku od modernih koje su smislenije i organiziranije i kod kojih je grafičko oblikovanje postalo izuzetno važno [26, str. 13].

Kao prijelomni trenutak u dizajnu novina ističu ulazak ilustracije u novinska izdanja (oko 1850.) i kasniju dominaciju fotografije kao glavnog ilustrativnog elementa u američkim novinama (oko 1900.), što posljedično dovodi do promjene u organizaciji sadržaja jer zahtjeva 'međuigru' fotografije i teksta, do promjene u načinu shvaćanja prezentacije vijesti, pojave populizma, ali i realizma u novinskoj ilustraciji, što traje sve do 60-ih godina 20. stoljeća [26, str. 19]. Fotografija novinama donosi niz promjena, mijenja se stil pisanja jer više nema potrebe za dramaturškim i kićenim opisivanjem situacija, fotografija donosi vizualno atraktivan i realan dokaz onoga što se dogodilo, donosi zanimljivost, sukob, emociju, ali i osjećaj neposrednosti, trenutačnosti i važnosti. Fotografija ističe sadržaj novinske stranice i postaje njegov nezaobilazan i važan element. Njezinom pojavom i razvojem, novine, prema Barnhurstu i Neroneu, ulaze u doba modernizma.

Modernistički pristup novinama označava njihov pokušaj jače profesionalizacije i jačanja stručnosti [26, str. 19]. Fotografija donosi vizualnu neposrednost, a profesionalno strukturirani tekstovi ozbiljnost i objektivnost. Na tom tragu razvija se i moderni novinski dizajn, potpomognut promjenama u tehnologiji proizvodnje novina. Novinari i fotoreporterji postaju eksperti, ne više samo obični, često anonimni autori. Događaju se promjene i u samom dizajnu stranice. Više se pozornosti poklanja tipografiji, organizaciji teksta i novinskoj stranici, načinu organizacije vijesti unutar rubrika i njihovoj hijerarhizaciji, a novine ostavljaju dojam jednostavnosti, reda i moći. Naslovnice postaju optički laganije, smanjuje se broj elemenata, priča i oglasa iz kojih su čitatelji 'sami

nalazili smisao svijeta koji im je kroz novine ponuđen', sve više i u sadržajnom i u vizualnom smislu novine postaju izbor onog najvažnijeg što čitatelju treba kako bi dobio ispravnu i uokvirenu, gotovo konačnu sliku svijeta [25]. Mijenja se tipografija naslova i teksta, kako bi se omogućila bolja čitkost, broj stupaca teksta smanjuje se gotovo upola, prijelom postaje horizontalniji, a naslovi veći i duži.

Do ove promjene, prema nekim autorima [96], dolazi zbog promjene u tehnologiji proizvodnje i jačanju konkurencije, jačanju želje za boljim izgledom unutar samih novinskih organizacija i pojave USA Todaya, američkih dnevnih novina koje su na više različitih načina promijenile pristup novinskom dizajnu (uvođenje boje, veće ilustracije, fotografije i infografike itd.), ali Barnhurst i Nerone smatraju da to nisu jedini ni isključivi razlozi, već da je promjena bila prisutna kontinuirano kroz duži vremenski period, da se pojavom USA Todaya samo ubrzala, pri čemu je novinski dizajn počeo bivati shvaćan kao samostalan proizvodni segment, a zapravo je riječ o strategiji modernizacije vizualnog izgleda novina koja je već primijenjena nekoliko puta u prošlosti u sličnim okolnostima i čije se početke može smjestiti u razdoblje između dva svjetska rata [26, str. 21].



Slika 3.1. Naslovne stranice USA TODAY-a (lijevo) i The New York Timesa (desno)

[skinuto s: www.usatoday.com i www.nytimes.com]

Kraj 20. i početak 21. stoljeća Branhurst i Nerone vide kao prijelaznu fazu u novi tip prezentacije vijesti, koji u sebi, kao i u periodu između dva svjetska rata, inherentno sadržava društvenu promjenu uvjetovanu pojavom novih tehnologija, ali čiji budući oblik i svrhu ne žele i ne mogu predviđati. Ulazak novina na internet pa poslije toga i na različite mobilne platforme gotovo sigurno donosi nove oblike korištenja informacija i jedan potpuno novi informacijski prostor, sa svim svojim, mekluanovskim karakteristikama.

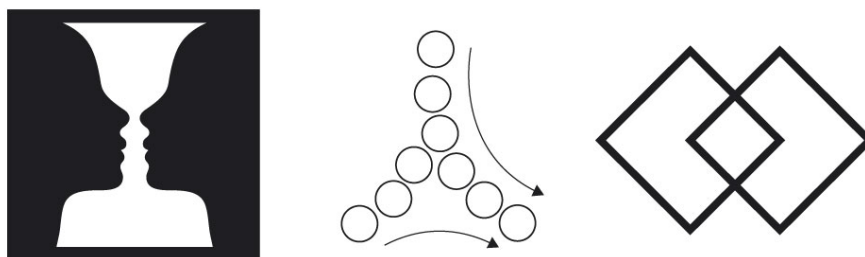
Novi medij donosi i potpuno nove odnose između korisnika i medija, zapravo, može se reći da novi medij definira i izgrađuje novi tip čitatelja. Novine gube čitateljsku publiku, mijenja se pristup i odnos čitatelja, profesionalnost dolazi pod znak pitanja i javljaju se teme koje se odmiču od ozbiljnih novina kasnog modernizma, što se očituje i promjenama dizajna pa se već događa da u pojedinim državama više gotovo da i nema ozbiljnog, broadsheet prijeloma (za primjer uzimaju Španjolsku, ali i Hrvatska je sasvim dobar primjer spomenute teze) [26, str. 23].

Pozivajući se na istraživanja Bronfenbrennera i Lewina, Barnhurst i Nerone vide novine kao jedinstveni mikrosustav koji odražava ne samo svoje unutrašnje vrijednosti i značenja, nego i kompleksan 'veliki svijet' – društvo unutar čijih mezo, egzo i makro sustava funkcioniraju te tvrde da je ono vidljivo u velikoj mjeri i kroz formu odnosno stil novina [95]. Pri tom inzistiraju na pristupu dizajnu u širem kontekstu značenja tvrdeći da način na koji je novinska stranica prelomljena uvjetuje i način na koji će čitatelj doživjeti plasiranu informaciju, bez obzira na njezine pojedine elemente promatrane samostalno, što ima doticaja s promišljanjima dizajna iz perspektive Gestalta.

3.2. NOVINSKI DIZAJN I GESTALT

Niz autora kao prve korake u istraživanju novinskog dizajna i vizualnog identiteta ističe istraživanja iz područja Gestalt psihologije [51], [94], [97]. U osnovi teorijskih postavki Gestalta koje su postavili Wertheimer, Köhler i Koffka (pojedini autori pridodaju još i Metzgera) je promatranje vizualnih fenomena i cjeline koja je uvijek veća od zbroja svojih dijelova [97]. Ljudski um ima tendenciju stvaranja smislenih oblika kao reakciju na vanjske, u ovom slučaju vizualne podražaje [98], pa će 'osjetilno iskustvo organizirati na najjednostavniji odnosno najekonomičniji način' [99] tj. po principu dobrog oblika (Good Gestalt ili Prägnanz) [98, str. 138].

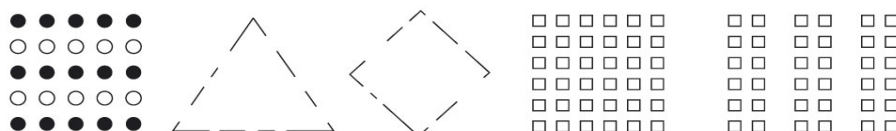
Percepcijom u pravilu upravlja jednostavnost i cjelovitost, što podrazumijeva da gledatelji u pravilu pojedine elemente ne percipiraju nužno kao jedinstvene ili samostalne, već ih doživljavaju kao dio zaokružene, 'šire slike', odnosno cjeline. Princip ili pravilo zatvaranja kaže kako ljudski um ima tendenciju stvaranja smislenih oblika kao reakciju na vanjske, u ovom slučaju vizualne podražaje. Koffka [98, str. 151] tvrdi kako elementi postavljeni jedan uz drugog, pogotovo u istim ili sličnim oblicima, mogu stvoriti dvostruku formaciju u koordinaciji odnosno da ih se može promatrati kao dio zajedničke cjeline. Dodaje da je 'izgled stvari određen poljem organizacije kod kojeg raste najbliža distribucija podražaja' [98, str. 106] pa se iz toga može zaključiti kako će elementi postavljeni u međudnos izazvati dojam cjeline, ako je taj međudnos logičan, jednostavan i 'prirodan'.



Slika 3.2. Pravila Gestalta: figura-podloga; kontinuitet, simetrija [prema 98]

Princip kontinuiteta [98, str. 153] predviđa da će ljudska percepcija slijediti ustaljene pravce ili smjerove percepcije i tako oblicima koji su postavljeni ili poravnati u

određenom kontinuitetu davati smisao cjeline. Prema pravilu ili principu sličnost [98, str. 135] objekti se međusobno grupiraju ili se dovode u vezu ako nalikuju jedan drugome. Ljudskom je umu svojstveno i pravilo poravnanja [98, str. 110] gdje elemente vezuje uz simetriju. Prema pravilu bliskosti Getsalta [98, str. 164-165] neovisni elementi mogu tvoriti organizaciju višeg reda ako ih se vizualno može dovesti u međusobnu vezu na osnovu blizine unutar prostora organizacije. Pravilo zatvaranja kaže da ljudski um ima tendenciju prepoznavanja veze između pojedinih ne nužno povezanih elemenata i stvaranja smislenih formacija ili oblika. Prema pravilu figure i podloge ljudski um kod pregleda nekog vizualnog polja ima tendenciju prepoznavanja oblika odnosno figura, pri čemu sve ostalo u vizualnom polju postaje dio podloge.



Slika 3.3. Pravila grupiranja Gestalta: sličnost, zatvaranje, bliskost [prema 98]

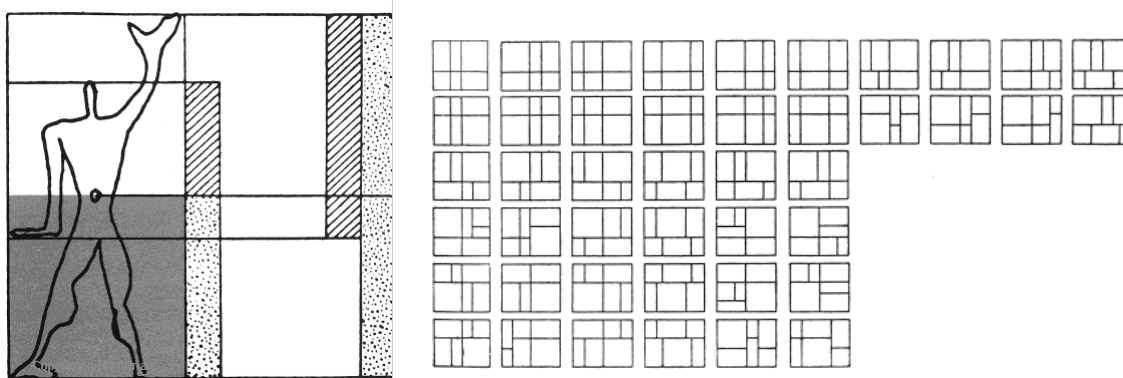
Pojedini autori poput Hochberga imaju i niz zamjerki Getsaltu, pogotovo principima u području odnosa figure i podloge, koje smatra nedovoljnima za objašnjenje velikog dijela fenomena percepcije. Kao možda i najvažniji element vizualnog doživljaja nekog fenomena Hochberg ističe 'eventualna očekivanja' koje gledatelj ima kad i ako gleda određenu vizualnu strukturu/formu [100, str. 276]. Ta očekivanja utječu na doživljaj ponekad čak i više od samog izvora odnosno načina organizacije. No i Hochberg tvrdi da se perceptivni sustav povinjuje tzv. 'minimalnom principu' kojeg kasnije naziva jednostavnošću i kaže da 'što je manji broj informacija potrebnih za definiranje date organizacije u usporedbi s drugim alternativama, to je vjerojatnije da će figura na taj način biti i doživljena' [101].

Principi Gestalta korišteni su u nizu istraživanja tiska i tiskanih medija poput uvjeta čitljivosti teksta [44], organizacije i percepcije novinske stranice [41] [94] [102] ili manipulacije sadržajem [42], što će detaljnije biti razmatrano u nastavku rada.

3.3. UPOTREBA MREŽE U NOVINSKOM DIZAJNU

Početak 20. stoljeća provedeno je nekoliko različitih istraživanja i razmatranja uloge vizualnih elemenata u odnosu na cjelinu stranice. Hulburt kao jedan od najvažnijih pomaka u dizajnu novina navodi upotrebu tzv. mreže (eng. grid), za koju kaže da nije samo jednostavni pravokutni sustav kojeg Mesaroš [51, str. 207] naziva rasterom stranice, nego je to osmišljen geometrijski sustav baziran na proporciji i rješavanju dizajnerskih problema [92, str. 9]. 'Bez da su toga svjesni, većina novina koristi sustav mreže u svom nastajanju', tvrdi Hulburt [92, str. 29] i početke upotrebe mreže veže uz istraživanja Jaya Hambidgea 20-tih godina 20. stoljeća koji predstavlja tzv. sustav dinamičke simetrije [103]. U njemu istražuje odnose vizualnih elemenata kroz primjenu matematike i geometrije, pogotovo pitanje zlatnog reza i Fibonaccijevog niza.

Hambidge inspirira radove Matile Ghyka, dijelom na čijim radovima poznati švicarski arhitekt i dizajner Le Corbusier postavlja temelje za korištenje mreže u arhitekturi i grafičkom dizajnu [92, str. 15]. 1948. Le Corbusier objavljuje knjigu *Le Modulor*, čime uvodi svoj modularni sustav baziran na zlatnom rezu povezanom s ljudskim mjerama svog 'modularnog čovjeka'. Iako isprva razvijen za korištenje u arhitekturi, Corbusier daje niz njegovih primjena na drugim područjima dizajna, uključujući i dvodimenzionalni prostor grafičkog dizajna.



Slika 3.4. Le Corbusierov Modulor [92, str. 15] i mreža [92, str. 17]

Hulburt ističe kako je korištenje mreže bazirane na pravilima zlatnog reza i kvadrata još od renesansnih vremena davalo osjećaj proporcije [92, str. 10], a značaj Corbusiera i njegovog Modulora vidi u utjecaju na razvoj tipografskih sustava i modernih modularnih mreža, iako priznaje da je razvoj mreže evolucijski proces i da je teško bilo kome

personalno pripisati njezin puni razvoj. Tijekom 50-ih i 60-ih godina 20. stoljeća mreža postaje izrazito popularna, ali već koncem 80-ih dolazi do određenog zasićenja u njezinom korištenju i grafički dizajneri traže neka nova i drugačija rješenja, iako zadržavaju dosta od originalnog modularnog pristupa [92, str. 17].



Slika3.5. Primjer upotrebe mreže u modernom novinskom dizajnu [prema 106]

Sredinom 80-ih godina 20. stoljeća Mesaroš standardnu stranicu definira [51, str. 207-209] kao pravokutni koordinatni sustav podijeljen u vertikalne stupce (između 4 i 9 stupaca po stranici), širine stupca između 9 i 12 cicera, pri čemu je optimalno 11 cicera. Kao pismovnu veličinu za tekući tekst predlaže od 7 (kolonel) ili 8 (petit) točaka, a samo u iznimnim slučajevima 6 (nonparel) ili 9 točaka (borgis). Standardni novinski redak ima pismovnu veličinu od 9 točaka, stožac od 10 točaka (garmond), dužinu retka od 11 cicera, što iznosi približno 35 slovnih znakova, normalno pismo (npr. Times New Roman) te najviše dva verzalna slova u retku bez promjene pisma odnosno isticanja. Orijentacija cijele stranice, kao i teksta je u pravilu u potpunosti vertikalna. Ovakva novinska stranica dobrim dijelom posljedica je korištene tehnologije pa i sam Mesaroš ističe kako postoje tendencije ka promjeni pojedinih parametara, ali da su one zaustavljene tehnološkim ograničenjima i skupoćom pojedinih postupaka u proizvodnji novina.

3.4. TIPOVI PRIJELOMA I MODERNI NOVINSKI DIZAJN

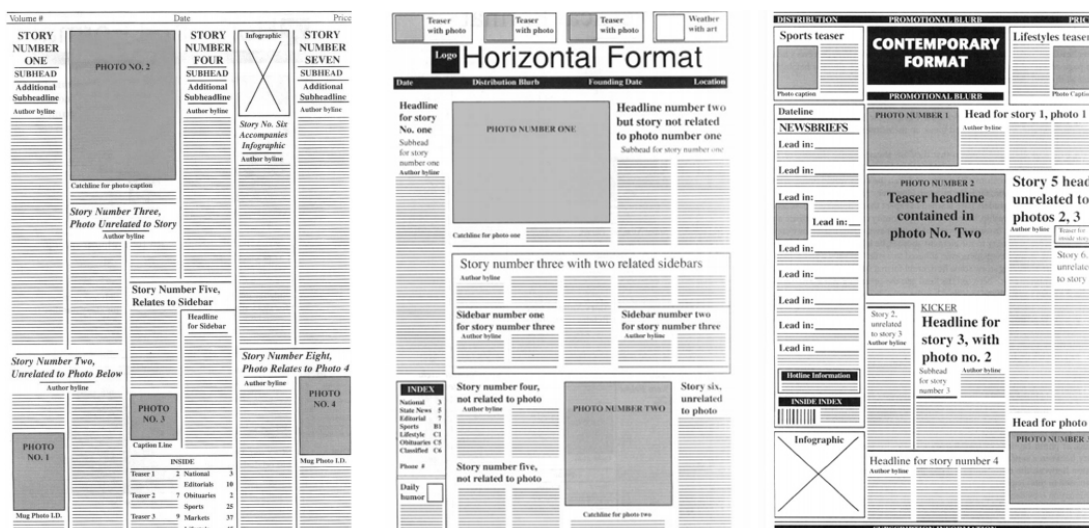
Nakon 2. Svjetskog rata dolazi do promjena u novinskom dizajnu pod utjecajem niza faktora. Razvojem grafičke tehnologije mijenjaju se i procesi u izradi dnevnih novina pri čemu nestaju pojedina ograničenja uvjetovana tehnologijom, proizvodnja postaje brža, mogućnosti reprodukcije su sve veće. Mnogi autori smatraju da je riječ o kombinaciji napretka tehnologije i konkurenciji na tržištu na kojem se pojavljuju novi mediji poput radija, specijaliziranih magazina i televizije [93, str. 1] [104] [105], čemu Barnhurst i Nerone dodaju i ljudski faktor – zapošljavanje mladih ljudi s novim idejama i mogućnost da utječu na procese unutar redakcije, pri čemu je, prema njihovom mišljenju tehnologija bila izgovor za promjene, ne nužno i isključivi uzrok [25]. U SAD-u se javlja se tzv. moderni novinski dizajn koji je ujedno i jedna od posljedica profesionalizacija novina u gotovo svim segmentima, ali i promjene, prije svega u tehnologiji slaganja novinskog teksta, koja do punog izražaja dolazi od 60-ih godina 20. stoljeća [106, str. 14-15].

Kroz novinsku povijest razvila su se dva osnovna tipa prijeloma dnevnih novina, tzv. broadsheet ili ozbiljni te tabloidni prijelom. Oba se nazivaju po formatu novinske stranice – broadsheet formati variraju, ali se uzima da je klasičan broadsheet format onaj od 749 × 597 mm. Tabloidni format najčešće iznosi 430 × 280 mm, ali veličine i jednog i drugog mogu varirati, a ima i slučajeva da se broadsheet prijelom koristi za novine tabloidnog formata (veličine), ali ozbiljnog sadržaja poput francuskog *Le Monde*. Dva su elementa karakteristična za oba tipa prijeloma novinske stranice. Prvi je činjenica da naslovne stranice kod oba tipa služe kako bi privukle pozornost potencijalnih čitatelja odnosno kupaca pa koriste najinteresantnije elemente, bilo vizualne, bilo sadržajne. Drugi važan element je pozicija na kojoj se novine prodaju. Nakon ulaska na novinske kioske uloga dizajna je bila i da istakne novinski proizvod od konkurencije, omogući brzo prepoznavanje brenda (najčešće kroz prepoznatljiv logotip i glavu novina ili boju) ili privuče pogled različitim oblicima hvatača pozornosti, poput fotografija, velikih i istaknutih naslova i slično u pravilu u gornjem dijelu novinske naslovnice koji će biti vidljiv na novinskom kiosku ili na drugom prodajnom mjestu nakon savijanja ili slaganja novina [106, str. 45-46, 308]. Prijelom je ujedno bio i odraz sadržaja jer se poruka prenosi ne samo lingvistički, već i kroz organizaciju elemenata na samoj stranici [107] pa se broadsheet prijelom u pravilu percipira kao ozbiljan odnosno

predstavlja ozbiljno, profesionalno i objektivno novinarstvo koje se bavi javno bitnim temama i pitanjima, a tabloidni prijelom predstavlja tip novinarstva koji se bavi lakim temama, često na rubu javnog ukusa i pristojnosti, privatnim životima poznatih i slavni te zabavom.

Ames definira [106, str. 11] tri osnovna tipa prijeloma novinske stranice u modernom dizajnu, koji vrijedi i za ozbiljan i za tabloidni prijelom. To su: neformalni prijelom ili prijelom kontrasta i balansa; uokvireni ili fokusirani prijelom i modularni ili kvadrantni prijelom. Neformalni prijelom karakterizira smještaj elemenata na stranici u ovisnosti o njihovoj važnosti, pri čemu se slijedi pretpostavljeni obrazac kretanja oka čitatelja po novinskoj stranici. Najvažnije vijesti dolaze u desni gornji kut, a često su to ujedno i najveći grafički elementi, zatim slijedi gornji lijevi dio stranice, odnosno gornji dio lijeve stranice, ako je riječ o dvjema nasuprotnim stranicama (Garcia i Stark Adam [36] pokazali su kako čitatelji dvije nasuprotne stranice doživljavaju kao jedinstvenu cjelinu). Idući po redosljedu gledanja je donji desni kut, a slijedi donji lijevi kut pa tek potom sredina stranice.

Uokvireni prijelom karakterizira jedan grafički element koji u potpunosti dominira stranicom i predstavlja jedini centar vizualnog interesa na stranici, a služi kako bi se automatski privukla pozornost na najvažniji članak odnosno priču. Svi ostali elementi na stranici su manji i zapravo ne narušavaju vizualnu dominaciju glavne priče. Modularni prijelom je, prema Amesu, izlomljen u najčešće horizontalne oblike, s okomitim koji uglavnom dopunjuju postojeći dizajn. Dominantni pravokutnik najčešće je postavljen iznad središnje točke stranice, s velikim fotografijama ili ilustracijama i bjelinama između elemenata (naslova, podnaslova, fotografija i sl.) čiji je cilj osigurati vizualno olakšanje, najčešće oko naslova. To je, ujedno i jedan od najčešće korištenih tipova prijeloma u modernom novinskom dizajnu [108], pri čemu ne bi trebalo miješati pojmove modularnog i modernog dizajna jer se pojam modernog odnosi prije svega na upotrebu boje i novih vizualnih elemenata.



a) vertikalni prijelom b) horizontalni prijelom c) suvremeni prijelom
Slika 3.6. Tipovi novinskih prijeloma prema Smithu [106]

Smith [38] ističe nekoliko istraživanja, prije svega radove Pasternacka i Utt [96], Garcie, Clicka i Stempela [109] te Baina i Weavera [82] koji su pokazali da je promjena u dizajnu, pogotovo nakon pojave USA Todaya, dobro prolazila kod čitatelja. On novinski dizajn, prije svega broadsheet formata, dijeli po vremenu korištenja na vertikalni, koji je bio prvi široko korišteni tip prijeloma novina, zatim horizontalni te na koncu moderni [94, str. 87-89]. I Smith, kao i drugi autori ističe da je dizajn bio prije svega tehnološki uvjetovan. Vertikalni prijelom, prema Wanti i Gaou je onaj tip prijeloma kod kojeg je omjer ukupnog zbroja stupaca (kolumni) u kojima je prelomljen svaki pojedini članak i broja članaka relativno nizak odnosno blizu 1, što znači da su članci prelomljeni jednom ili maksimalno dva stupca. Stupci su odvojeni linijama, a odvajaju se i naslovi, podnaslovi i podaci o autoru. Često ga se veže uz novine s dugom tradicijom ili one koje bi se željele takvima predstaviti te uz ozbiljnost i profesionalnost. Krase ga često i glave pisane arhaičnim pismima te rjeđa upotreba boje. Fotografije odnosno ilustracije su često orijentirane portretno, a naslovi razlomljeni na širinu jednog ili dva stupca. Kritički analizirajući vertikalni prijelom, Smith tvrdi kako takav način organizacije novinskog sadržaja krši pravila dobrog gestalta jer prekida neka od pravila grupiranja poput pravila simetrije, bliskosti i sličnosti, a također zbog pravila bliskosti potencijalno u vezu dovodi grafičke elemente koji nisu dio iste sadržajne cjeline, poput naslove jednog i fotografije drugog članka i slično [94, str. 93]. Kako takav raspored, ne nužno samo kod ovog tipa prijeloma može dovesti do krive interpretacije informacija odnosno sadržaja pokazuju u svom radu i Periša, Čerepinko i Milković [42].

Horizontalni prijelom karakteriziraju članci prelomljeni u više stupaca, ilustracije i fotografije su orijentirane pejzažno i često se protežu kroz više stupaca, baš kao i naslovi i podnaslovi koji su duži i veći, a mnoge novine prelaze iz prijeloma od 8 ili 9 stupaca na 6-stupčani prijelom [110, str. 29]. Korištenje bjelina kao elementa odvajanja sadržaja, umjesto linija kakve je koristio vertikalni prijelom i horizontalna orijentacija čine ovaj tip prijeloma vizualno lakšim od vertikalnog. Glave novina horizontalnog dizajna često su, iako ne uvijek, pisane bezserifnim pismom, a često se uvodi i boja. Smith tvrdi kako je horizontalni prijelom u velikoj mjeri u skladu s pravilima Gestalta te često prilično simetričan u organizaciji grafičkih elemenata, što pridonosi estetici novina [94, str. 93], a istraživanja na koja se pozivaju Wanta i Gao pokazuju kako je horizontalni prijelom bliskiji i draži čitateljima [29].

Moderan dizajn nastavlja se na horizontalni prijelom s njegovim lakšim i prozračnijim stranicama, ali dodaje još više boje, bezserifnu tipografiju, infografike, sažetke vijesti i sadržajne trake, rapidno smanjuje broj grafičkih elemenata na naslovnoj stranici, kao i broj članaka odnosno broj riječi, a izbjegava tzv. nastavljajuće priče koliko god je to moguće [25] [94, str. 94] [106, str. 14].

Bain i Weaver provode nekoliko istraživanja kako bi utvrdili kako spomenute promjene utječu na čitatelje [82] i između ostalog pronalaze da:

- 1) više čitatelja završava čitanje članka ako su oni smješteni na jednoj stranici;
- 2) bez obzira nastavlja li se članak na nekoj drugoj stranici ili ne, čitatelji će ga u istom omjeru početi čitati;
- 3) čitatelji u značajnijem postotku ne odustaju nužno od čitanja većih članaka;
- 4) čitatelji preferiraju boldane i lagane naslove te varijacije fontova u naslovima u odnosu na roman-italik naslove;
- 5) veće fotografije privlače više čitatelja članku kojeg prate od malih fotografija i uvlače čitatelje dublje u priču;
- 6) čitatelji preferiraju čiste, jednako velike stupce teksta. Pasternack i Utt potvrđuju te nalaze u svojoj studiji [96].

Ames moderni dizajn promatra kao ekstenziju svojeg modularnog dizajna koji omogućuje različite kombinacije grafičkih elemenata, a sve u svrhu proizvodnje vizualno

što je moguće atraktivnijeg proizvoda [106, str. 15]. USA Today u mnogim se istraživanjima spominje kao najistaknutiji primjer ovog tipa dizajna, kao novina kakvu 'do tada nitko od čitatelja nije vidio' [110, str. 30]. Gdje je 1982. krenuo USA Today, sažima ulogu spomenutih novina McPherson, drugi su, na koncu, slijedili: fotografije se tiskaju velikih dimenzija i u punom koloru, tekstovi se skraćuju i jedno i drugo postaju elementi dizajna, stranica se dizajnira modularno odnosno s pravokutnim elementima, puno manje je priča koje se nastavljaju unutar novina (od 1965. do sredine 80-ih prosječan broj priča na naslovnici spustio se sa 13 na 6), više je različitih kazala, sažetaka, usmjerivača na stranicama, javljaju se zanimljive infografike, čak i crteži u boji, povećava se veličina naslova, nestaju linije između stupaca i više se koriste bjeline, a novine postaju sve sličnije svojoj konkurenciji – televiziji [110, str. 32-33].

Uvođenje boje, uz druge vizualne elemente poput većih fotografija ili infografika donijelo je strah da će čitatelji takve novine smatrati manje ozbiljnima i sličnijim tabloidima nego ozbiljnim dnevnim listovima. Smith [111], međutim, pokazuje da čitatelji nove promjene ne shvaćaju tako oštro i da na doživljaj ozbiljnosti i profesionalnosti dnevnih novina utjecaja imaju i neki drugi faktori, uz boju i tip prijeloma. Wanta i Roark [112] ističu kako fotografija može pojačati interes čitatelja za tekst uz koji je objavljena, ali isto tako može svratiti pozornost s teksta, ako je objavljena uz njega, a nije s njim u vezi. Na fotografijama čitatelji često traže i gledaju lica drugih ljudi, a zbog Simonovog efekta, posebnu pozornost treba obratiti na položaj aktera na fotografijama, pogotovo akterovog smjera gledanja jer ljudi imaju tendenciju reagirati na poticaj koji dolazi iz istog smjera kao i taj podražaj [113] što u slučaju pogleda znači da će čitateljev pogled prirodno ići u smjeru u kojem gleda akter fotografije [114]. Huh tvrdi da će čitatelji: 1) vjerojatnije obratiti pozornost na članke koji uključuju i veliku fotografiju nego na članke s manjom fotografijom ili bez fotografije; vjerojatnije zapamtiti podatke iz članka opremljenog velikom fotografijom nego iz članaka s manjom fotografijom ili bez fotografije; 3) bolje razumjeti priču iz članka opremljenog velikom fotografijom nego iz članaka s manjom fotografijom ili bez fotografije [115].

Velika fotografija je jedan od temeljnih elemenata tabloidnog prijeloma. Prijelom tabloida od svojih je početaka sličniji cirkuskom posteru [116, str. 29]. Karakterizira ga tzv. posterski tip dizajna naslovne stranice, izraženi naslovi i tek nekoliko elemenata na naslovnoj stranici, uz glavu novina ne više od tri, poput glavne fotografije, istaknutog

naslova i često oglasa odnosno reklame [106, str. 308]. Ti elementi, čak i kad slijede mrežu i, primjerice, modularnu logiku prijeloma, često odskaku od uobičajenih, bilo sadržajno (fotografije ljudi u čudnim pozama ili situacijama, provokativni, ponekad i bezobrazni naslovi), bilo oblikom (patirane fotografije, groteskni naslovi, neravnoteža između fontova i sl.). Prema Flemingu i Leavieu [117] korištenje nesvakidašnjeg, neočekivanog i nestabilnog dizajna privlači pozornost široke čitateljske publike, kojoj je, uostalom tabloidna novina i namijenjena [116, str. 107].

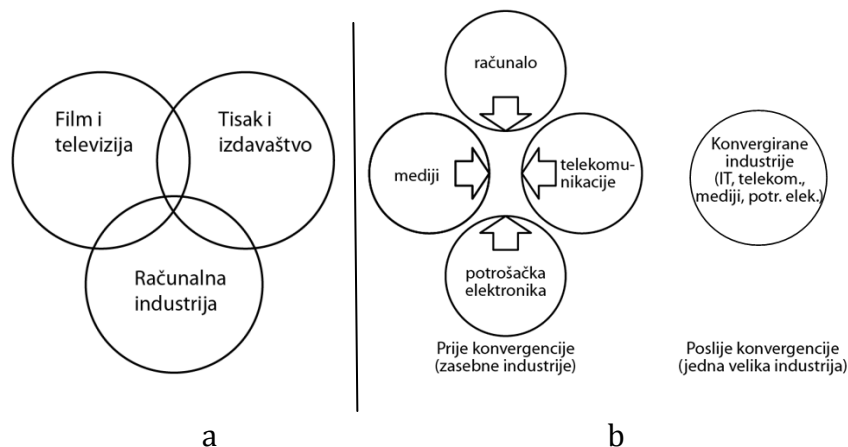
Dnevne novine u Hrvatskoj s aspekta vizualne organizacije naslovnice ili unutrašnje organizacije slabo su istražene. Elezović [118] je longitudinalnom analizom sadržaja naslovnica hrvatskih dnevnih listova tijekom prvih šest mjeseci 2011. godine utvrdio da se na naslovnica hrvatskih dnevnih listova najčešće može naći između 4 i 6 naslova, s ekstremima poput naslovnica bez naslova (u slučaju kad je naslovnica zapravo komercijalni oglas) ili naslovnica s 10 ili 11 naslova. Vizualnom analizom naslovnica hrvatskih dnevnih novina moguće je utvrditi kako u ovom trenutku, uz izuzetak Poslovnog dnevnika, na njima prevladavaju fotografije i naslovi, u pravilu bez teksta članaka, s pojedinim istaknutim fotografijama, ponekad patiranim, ili reklamama.

3.5. TRANSFER TISKANIH MEDIJA U NOVE TEHNOLOGIJE

Kao i u ranijim slučajevima pojave novih komunikacijskih tehnologija odnosno na njima baziranih novih masovnih medija, koje neki autori nazivaju i informacijskim revolucijama, i pojava interneta i mogućnosti transfera postojećih medija u 'online' okruženje dočekana je s jedne strane s nepovjerenjem i podozrivošću, a s druge s neskrivenom nadom kako će taj transfer omogućiti daljnje pravce razvoja postojećih medija [119, str. 1-2] [120, str. 17] [121]. Razvoj novih medija događa se, prema Boczkowskom, integracijom i spajanjem postojećih medija i njihovih modela s novim tehnologijama, u ovom slučaju o spajanju postojećih novinskih organizacija i njihovih indirektnih, na tekstu baziranih tiskanih proizvoda s novim, interaktivnim informacijsko-komunikacijskim tehnologijama, očitovanih prije svega u pojavi interneta i WWW-a [119, str. 4]. Ta pojava ne događa se, tvrdi Boczkowski, kao iznenadna revolucija već je postupna i relativno polagana, a poticana je dvama faktorima: promjenama socio-ekonomskih s jedne (poput jačanja konkurencije ili promjena životnih navika korisnika) i tehnoloških trendova s druge strane (poput uvođenja novih informacijsko-komunikacijskih tehnologija i na njima baziranih uređaja, organizacija i sl.).

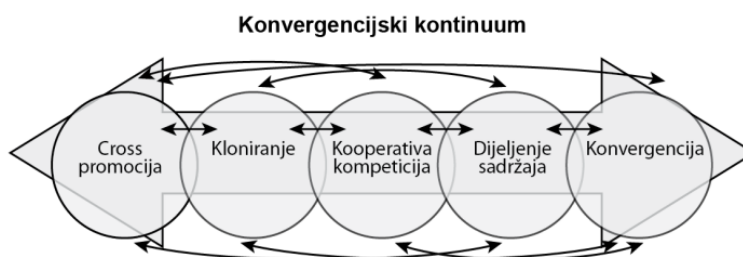
Kako bi se određena društvena pojava, pogotovo ona nastala uvođenjem novih tehnoloških rješenja, mogla nazvati informacijskom revolucijom, potrebno je zadovoljiti nekoliko kriterija [122]: prije svega promjena mora biti takva da bitno mijenja ustaljene načine ponašanja, ključni nositelji promjene su mediji koji moraju biti prošireni kroz zajednicu te istovremeno utjecati na promjene i biti njima mijenjani. Kada je riječ o tiskanim medijima, prije svega novinama, podaci govore da su svi socio-ekonomski uvjeti za ključnu promjenu prisutni. Izvještaj Istraživačkog centra američkog Kongresa [123] pokazuje kako je stanje u tiskanoj industriji poražavajuće: pada broj korisnika, pada prodaja, padaju i prihodi od prodaje oglasnog prostora. Istovremeno, ostvaruju se i tehnološki uvjeti za integraciju odnosno stvaranje medijski konvergentnih organizacija: raste utjecaj i prisutnost na internetu i, kao najnoviji trend, javlja se jačanje mobilnog interneta odnosno aplikacija koje se koriste na različitim mobilnim uređajima [119, str. 8-10].

Pojam medijske konvergencije 1979. Nicolas Negroponte izlaže tzv. 'M.I.T. Media Lab konstrukt' koji je konvergenciju predstavio trima međusobno povezanim krugovima koji su predstavljali izdavačku industriju u tiskanim medijima, TV i filmsku industriju i računalnu industriju [67] (vidi sliku 3.7. a). Pojam konvergencije u širem tehnološkom smislu najčešće podrazumijeva spajanje četiri ključne medijske tehnologije – medije, računala, IT i telekomunikacije te potrošačku elektroniku – u jednu produkcijsku cjelinu ili jedan proizvod [124] (vidi sliku 3.7. b).



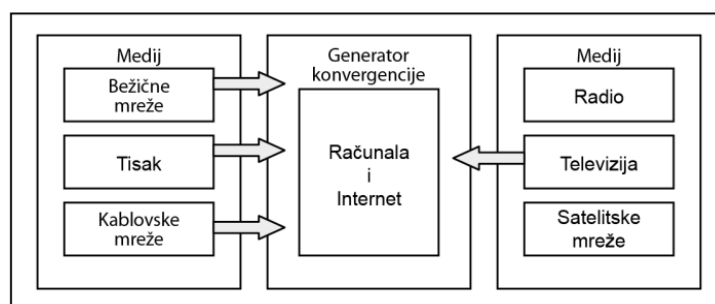
Slika 3.7. a) Negroponteov model medijske konvergencije (prema [67]) ;
b) opći tehnološki model medijske konvergencije (prema [124])

Petersen [125] tvrdi da je medijsku konvergenciju moguće promatrati s dva osnovna aspekta: s pozicije vanjskog promatrača odnosno iz pozicije publike i iznutra, iz pozicije organizacijskog procesa. Konvergentni mediji počivali bi pri tome na integraciji proizvodnje i s tehnološke i sa strane stvaranja sadržaja (novinarsko/uredničko/grafička koja se bazira na spajanju više znanja i vještina) te multiplatformskoj distribuciji. Polazeći iz perspektive korištenja medijskog sadržaja i preklapanja pojedinih segmenata medijske produkcije, Dailey et all. predlažu model konvergencijskog kontinuuma (Convergence Continuum Model) [126] koji se sastoji od pet preklapajućih krugova (vidi sliku 3.8.), koji predstavljaju stupnjeve proizvodnje, počevši s kooperacijom pri proizvodnji sadržaja kao centralnim krugom, a završavajući s jedne strane u cross promociji, a s druge u konvergenciji. Potpuna konvergencija, prema ovom modelu, postiže se kada partneri ili platforme koriste jedan zajednički centar proizvodnje sadržaja, a potpuna cross promocija nastaje kada partneri ili platforme u potpunosti prenose i promoviraju sadržaje ovog drugog.



Slika 3.8. Konvergenjski kontinuum (prema [126])

Boczowski i Ferris [127] tvrde kako postoje tri temeljna načina proizvodnje medijskog sadržaja za multiplatformsku odnosno cross media produkciju u tiskanim medijima: prenamjena, preslagivanje i ponovno stvaranje, pri čemu odvajaju samu aplikaciju sadržaja od medijske platforme i sadržaju daju djelomičnu nezavisnost od platforme. Pri tome, pod platformom se misli na grupu podsustava ili sučelja koji tvore zajedničku strukturu korištenu za produkciju sadržaja neke uspješno izvedene i distribuirane aplikacije sadržaja, pri čemu je multiplatforma upotreba različitih platforma u istoj komunikacijskoj situaciji, ali bez međusobno povezanog djelovanja, a cross media sustav je, prema pojedinim autorima, nadgradnja multiplatforme i podrazumijeva komunikaciju ili proizvodnju kod koje su dvije ili više platformi integrirane zajedno odnosno njihov finalni rezultat ovisi o upotrebi svih integriranih platformi [128].



Slika 3.9. Lawson-Bordersin model konvergencije (prema [129])

Lawson-Borders [129] konvergenciju promatra s tehnološke strane i smatra kako je riječ prije svega o distribuciji sadržaja kroz spajanje postojećih medijskih platformi u jednu, posredstvom računala i interneta.

S aspekta grafičkog dizajna, treba istaknuti nekoliko istraživanja već ranije spomenutih u poglavlju o metodologiji istraživanja.

Njihovi rezultati pokazali su da:

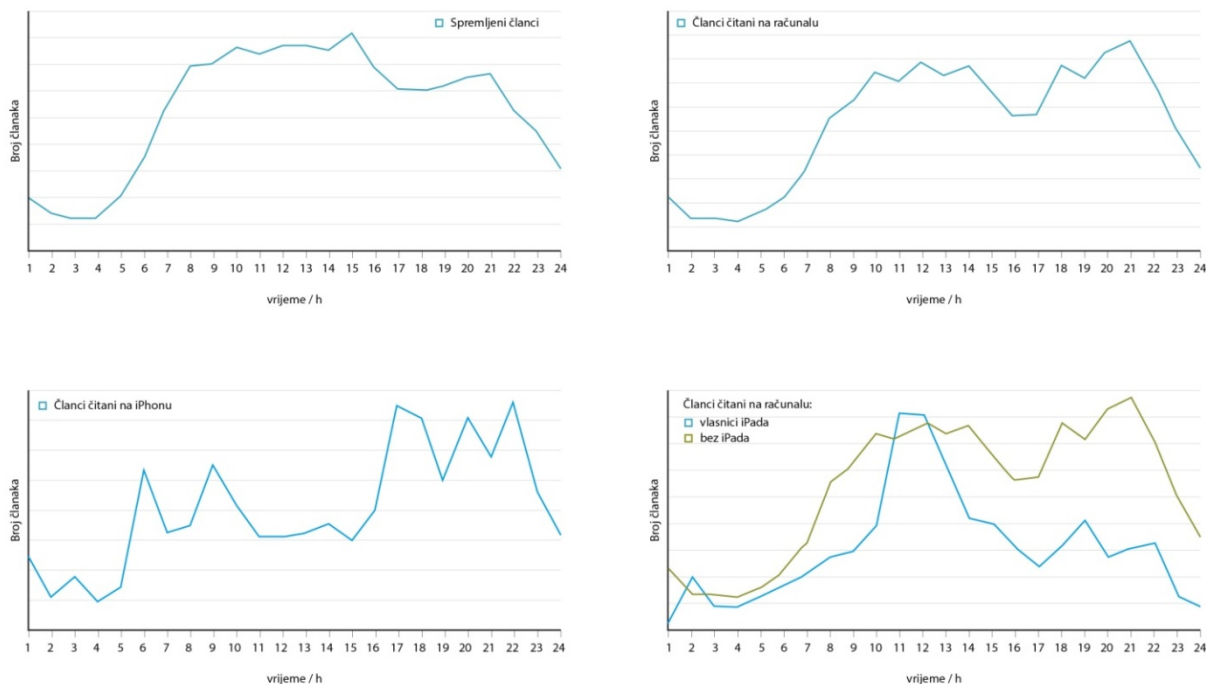
- 1) čitanje web stranice počinje u gornjem lijevom kutu, gdje su najčešće smješteni logo ili naziv stranice, pri čemu pogled ostaje neko vrijeme u tom području prije nego se spusti ili krene udesno;
- 2) puno pozornosti dobiva navigacija na vrhu stranice;
- 3) dominantni naslovi odmah privlače pozornost, pogotovo ako su u gornjem lijevom dijelu stranice, a veliki naslovi privlače više pozornosti od malih;
- 4) podcrtani naslovi ili elementi za označavanje izlomljenog teksta (linije i slično) obeshrabruju čitatelje da nastave čitanje ostatka izlomljenog teksta;
- 5) tekst, a ne fotografija je točka ulaza u stranicu;
- 6) kraći paragrafi dobivaju dvostruko više pozornosti od dugih;
- 7) niži dijelovi ekrana, pogotovo oni do kojih se mora 'skrolati' dobivaju skromnu pozornost;
- 8) standardni format od jednog stupca pokazao se boljim od formata s višestrukim stupcima;
- 9) sažeci i opisi kao uvod u članak pokazali su se popularnim i
- 10) reklamni oglasi najbolje su se vidjeli ako su bili veliki ili smješteni u gornjem i/ili lijevom dijelu web stranice te ako su bili povezani uz sadržaj članka.

Garcia daje pregled dizajnerskih rješenja aplikacija za tablet novine koje se koriste u praksi i objašnjava kako se danas društvo (barem ono zapadno i kapitalističko) nalazi u situaciji stalne uključenosti (always-on culture) [85, str. 8.2.] odnosno da novinarstvo danas postoji u multiplatformskom svijetu, a svaka platforma pruža jedinstven način na koji se prikazuje i priča novinarska priča [85, str. 8.1.]. Taj multiplatformski svijet dnevnih novina sastoji se, prema Garciji, od tzv. medijskog kvarteta: mobilnog telefona, mrežnih stranica odnosno online izdanja, tiskanog izdanja i tableta, pri čemu svaki element ima svoje bitne karakteristike [130], pri čemu mobilne telefone i online izdanja naziva 'lean forward' platformama, a tiskane novine i tablet izdanja 'lean-back' platformama [85, str. 8.1.]. Pri tome, 'lean-forward' platforme su one koje korisnici koriste ili im se 'naginju' često tijekom dana i u raznim situacijama, a 'lean-back' one platforme koje se koriste rijetko i u opuštenijim situacijama odnosno koje za konzumaciju sadržaja zahtijevaju više vremena. Tako, primjerice, korisnici mobilnog

telefona na njemu traže informacije koje su prije svega praktične i prikazane u realnom vremenu, često uz upotrebu geolokacijskih servisa ili algoritama, najčešće informacije o vremenu ili lokalnim uslugama te kratkim i brzim vijestima, dok se tiskana izdanja čitaju duže, koncentriranije i s dubljim ulazom u članak.

Mobilno izdanje novina je, za Garciju, megafon ili izvikivač vijesti, kao u vrijeme samih početaka novinskih izdanja, kada su na gradskim uglovima dječaci izvikivali najnovije vijesti iz otisnutog izdanja novina koje su prodavali. Njegova je uloga javiti da se dogodilo nešto novo, brzo i relativno kratko dati obavijesti ili upozorenje na događaj, vijest ili priču koja se taj trenutak dešava ili se o njoj taj trenutak počinje izvještavati. Riječ je najčešće o vrlo jednostavnim tipovima mobilnih aplikacija kod kojih se vijesti predstavljaju u sažetom obliku, najčešće samo naslovom koji korisniku govori o čemu se radi i eventualno je popraćen fotografijom ili slikovnom informacijom. Online izdanje je ono izdanje dnevnih novina koje korisniku daje više informacija o tome što se događa, također u realnom vremenu i često u skraćenom obliku, iako nešto širem od onog za aplikaciju na mobilnim telefonima. 'Online izdanja su tu kako bi zadovoljili čitateljevu potrebu da sazna više' [85, str. 8.1.].

Pri tome i mobilna i online izdanja čitaju se napreskokce, brzo i kratko, često iz više različitih posjeta, a ne odjednom, najčešće između ili tijekom obavljanja različitih radnji tijekom dana. Takav tip konzumacije sadržaja zahtjeva drugačiji pristup hvatanju pozornosti čitatelja, prije svega na sadržajnom nivou. Tiskana izdanja, dan poslije, više ne moraju zadovoljiti čitateljevu potrebu da sazna što se dogodilo – to mu je već poznato, već da dobije informacije o tome zašto se nešto dogodilo i kako će to što se dogodilo utjecati na njega samog ili njegove društvene krugove. Taj tip analize, kaže Garcia, mogu pružiti samo iskusni novinari, oni koji znaju posao i kojima se vjeruje. Tablet izdanje slijedi sličan princip kao i tiskane novine, dakle daje dublji i analitički pristup događaju, ali ga isto tako oprema i dodatnim multimedijским formatima – ono ima mogućnost, prema Garciji, dati višestruki uvid u događaj, vijest ili priču koju čitatelj konzumira opušteno i kroz duži vremenski period [85, str. 8.1.].



Slika 3.11. Vrijeme korištenja različitih uređaja [85, str. 2.2.]

Kod dizajniranja aplikacija za tablet, Garcia navodi nekoliko činjenica koje bi svi dizajneri i urednici trebali imati na umu [85, str. 2.1.]:

- aplikacija za tablet predviđa istovremeno dizajniranje za oko, um i prst, pri čemu je prst interaktivan, 'ne oprašta i nestrpljiv je';
- mora omogućiti korisnicima da su istovremeno potpuno odvojeni (iskopčani) od vanjskog svijeta, ali i da imaju punu vezu odnosno konekciju onaj tren kada to požele, pri čemu dizajn aplikacije mora biti istovremeno i fleksibilan i do izvjesne mjere unaprijed definiran i određen;
- mora pružiti multimedijско i interaktivno iskustvo u mjeri u kojoj je to realno moguće,
- način prezentacija sadržaja i navigacija kroz sadržaj treba u što je moguće većoj mjeri biti intuitivna i već poznata korisniku te što je moguće jednostavnija.

Tablet je uređaj s kojim korisnici provode relativno puno vremena, najčešće s vršnim intervalima u jutarnjim i večernjim satima [85, str. 2.2.], za razliku od drugih uređaja čije korištenje se povećava kroz dan i smanjuje dolaskom večeri, a nešto su aktivniji vikendom. Više od polovice korisnika na tabletima čita vijesti, a čitaju podjednako i dugačke priče i kratke vijestice ili samo naslove. Više od $\frac{3}{4}$ korisnika koristi tablet svakodnevno [1].

Kako je pokazalo nekoliko istraživanja [1] [66], korisnici tableta traže interaktivnost i nove načine da koriste uređaj, posebno u segmentu čitanja vijesti [85, str. 2.2.], duže gledaju video sadržaje i od korisnika online izdanja i od korisnika mobilnih aplikacija, a kroz sadržaj se kreću horizontalnim povlačenjem kroz stranice i galerije odnosno vertikalnim kroz tekst članaka. Utvrdili su da se više od 60 posto ispitanika povezalo s tabletom na 'intimnoj' razini i da je riječ o vrlo fokusiranim korisnicima. Ispitanicima su pokazana tri tipa dizajna: tradicionalni, koji odgovara klasičnom dizajnu ozbiljnih ili broadsheet novinskih stranica, zatim okretni ili karusel prijelom koji daje pokretnu galeriju fotografija s naslovima članaka i preklopni ili flipboard dizajn koji je načinjen od četiri veće fotografije koje su označavale isključivo rubrike unutar kojih se nalazilo 20 vijesti (korištenih u sve tri simulacije). 50 posto ispitanika u istraživanju odgovorilo je da im najbolje odgovara karusel dizajn, 35 posto preferiralo je tradicionalni, a tek 15 posto flipboard dizajn. Istraživanje je pokazalo da ulaz u stranicu i dalje ide preko dominantnog vizualnog elementa te da čitatelji najčešće gube interes nakon 78 sekundi čitanja teksta članka, najčešće čitajući sadržaj u pejzažno orijentiranoj aplikaciji.

Garcia [85], također, definira bitne elemente dizajna grafičkog korisničkog sučelja aplikacije za tablet novine. To su navigacijski i elementi prijeloma.

Navigacijski elementi su:

- 1) vrtuljak ili karusel,
- 2) pop-up meni,
- 3) tehnike pregleda (približavanje i udaljavanje, kretanje kroz tekst ili stranicu),
- 4) gumb za povratak,
- 5) gumb za kretanje kroz aplikaciju (naprijed-natrag)
- 6) kretanje kroz članke,
- 7) direktna navigacija prema sekcijama/rubrikama,
- 8) traka povezanih članaka,
- 9) paginacija (definira gdje se korisnik nalazi unutar aplikacije) i
- 10) alati za dijeljenje sadržaja.

Elementi prijeloma su:

- 1) vizuali, 2) naslovi, 3) tipografija, 4) boja, 5) mreža i 6) interaktivni elementi (pop-up prozori i slično).

4. GRAFIČKI PARAMETRI KORISNIČKOG SUČELJA ZA TABLET NOVINE

Pregledom literature prikazanim u najvažnijim crtama u Tablici 1. i ranijih istraživanja [19] [25] [30] [32] [36] [39] [50] [64] [65] [66] [68] [85] [93] [106] [109], za potrebe ovog rada definirane su četiri tipa grafičkih parametara koji će se istražiti kako bi se odredile njihove optimalne varijante.

To su:

1. vizualni ulazi na stranicu tablet novina;
2. navigacija;
3. čitkost i
4. interaktivnost.

Vizualni ulazi na stranicu sastoje se od: a) glave novina; b) naslova članka; c) teksta članka; d) vizualne opreme (fotografije, ilustracije, tipografija naslova i sl.) i e) oglasa.

Glava novina glavni je identifikator novinskog izdanja i sadrži ime novina i/ili njihov logotip, karakterističnu tipografiju, boju ili neku drugu vizualnu odrednicu, datum i (eventualno) vrijeme izdavanja, oznaku izdanja, a u tiskanim izdanjima i cijenu. Ponekad glava novina može sadržavati i najavu sadržaja ili sličan element, iako se takva opcija najčešće izbjegava. Boja i tipografija ističu se u istraživanjima kao dva elementa koja nose vizualni identitet glave u slučaju kad se glavom želi komunicirati brand ili orijentaciju novina pa se serifni fontovi vežu uz tradicionalne, ozbiljne novine, a bezserifni fontovi uz modernije novine, bliže mlađim čitateljima ili novine s manje ozbiljnim sadržajem. Kad je riječ o boji, ozbiljni listovi u pravilu nisu koristili boju u glavi kod svojih tiskanih izdanja, a dio je takav dizajn prenio i u online odnosno tablet izdanja, dok su moderniji listovi upravo uvođenjem boje izražavali modernost i odmak od tradicionalnog, ali također u nekim slučajevima i tabloidnost sadržaja. Hrvatski dnevni listovi, međutim, boju obilato koriste u svojim glavama.

Naslovi članka integralni su dio svake novinske stranice, a njihova je uloga prije svega istaknuti bitne odrednice sadržaja članka koje će privući čitatelje da pročitaju tekst članka. Pojedina istraživanja daju im jednaku važnost koju imaju i fotografije, kao elementima ulaska čitatelja na novinsku stranicu, a često je pišu tipografijom koja je

različita od one korištene za tekst odnosno tijelo članka. Veličina naslova često ovisi o načinu prijeloma pa može varirati od tek nekoliko točaka više do višestruko većih naslova od teksta članka. U pravilu, kod ozbiljnog tipa prijeloma se izbjegava kombiniranje više različitih fontova i veličina za pisanje naslova, ali tabloidni prijelom ponekad upravo na tom vizualnom diskontinuitetu gradi vizualnu prepoznatljivost i dinamiku stranice. Naslovi članaka često se protežu kroz više stupaca ili u potpunosti krše mrežu na kojoj počiva prijelom novina.

Tekst članka, kada se promatra kao element vizualnog ulaza na stranicu, u pravilu je jednak tekstu tijela članka ili tek malo više istaknut, bilo veličinom, bilo rezom ili npr. bojom. U ovom radu tekst članka bit će prilagođen ukupnom dizajnu promatrane stranice, i istraživat će se neovisno o njegovim sadržajnim karakteristikama.

Vizualna oprema članka podrazumijeva različite vizuale poput fotografija, ilustracija, infografika, grafova i potencijalno drugih vizualnih elemenata. Istraživanja iz područja tiskanih novina ove su elemente označile kao glavne točke ulaska i kretanja oka po stranici novina, a često je upravo vizualna oprema bila percipirana kao dominantni vizualni element na novinskoj stranici. Istraživanja tranzicije tiskanih medija u digitalno okruženje pokazala su da čitatelji ulaze na novinsku stranicu najčešće i najprije kroz naslove, a jedno ranije spomenuto istraživanje [66] pokazuje da bi u slučaju tableta mogao vrijediti isti princip kao i kod tiskanih novina. Veličina vizualne opreme, također, je jedan od faktora ulaza na stranicu – što je vizualna oprema veća, to je čitatelji prije pogledaju. Slično je i u slučaju korištenja boje jer se vizuali u boji gledaju prije onih crno bijelih.

Kada je riječ o oglasima, oni su u najvećoj mjeri vizualno različiti od svih drugih elemenata prijeloma novinske stranice, često s ilustracijom ili u slučaju online izdanja s animacijom koja ujedno služi i za link. Njihov dizajn, tipografija i korištenje boje u pravilu se ne podudara s prijelomom novinske stranice na kojoj su objavljeni, a često su i jasno odijeljeni od ostatka novinskog sadržaja. Iako Garcia poziva na interaktivnost kod izrade oglasa za tablet [85, str. 6.1.] i sam priznaje da je aplikacija u obliku online banneri najčešći način na koji se u ovom trenutku oglasi apliciraju u tablet izdanjima.

Navigacija će se promatrati kroz: a) tehnike pregleda stranice i članka; b) opcije kretanja kroz sekcije i članke; c) trake povezanih sadržaja; d) paginaciju i e) alate za dijeljenje sadržaja.

Tehnike pregleda stranica i članaka odnose se na mogućnosti prikaza stranice kao jedne cjeline i u ograničenim, unaprijed zadanim dimenzijama, odnosno kroz niz kontinuiranih ili odvojenih prozora. Također se kod ovog segmenta gledaju i opcije povećanja odnosno smanjenja stranice te samo kretanje kroz sadržaj 'povlačenjem' (swiping) i 'klizanjem' (scrolling).

Opcije kretanja kroz sekcije odnosno rubrike i članke odnose se na alatne trake i linkove, kao i prikaz članaka u pojedinim rubrikama i mogućnosti kretanja kroz sadržaj opcijama poput različitih gumba (home, back forward i sl.) i drugih dostupnih alata.

Trake povezanih članaka su izdvojene trake s linkovima koje omogućuju pregled međusobno povezanih sadržaja, bilo da je riječ o linkovima na ranije članke ili na povezane multimedijske dodatke. Prema Garciji [85, str. 3.], upravo mogućnost direktnog povezivanja s povezanim sadržajima i njihovo konzumiranje i istraživanje jedna je od najvažnijih karakteristika tablet novina.

Paginacija je opcija unutar sadržaja koja omogućuje razumijevanje mjesta unutar aplikacije ne kojem se čitatelj nalazi, bilo da je riječ o broju stranice, nazivu rubrike ili nekoj drugoj oznaci. Cilj paginacije je omogućiti čitatelju razumijevanje i spoznaju prostornih odnosa između pojedinih dijelova sadržaja, kao i u odnosu na cjelinu. Paginacija može biti izražena brojčano ili na neki drugi način, najčešće bojom ili drugačijom tipografijom.

Mogućnost dijeljenja sadržaja s drugima korištenjem elektroničke pošte ili nekog od servisa društvenog umrežavanja (Facebook, Twitter i sl.) karakteristika je koja je poznata iz segmenta online i mobilnih aplikacija i prema pregledu literature neodvojiva je od interaktivne prirode tablet novina.

Čitkost može biti optička i vizualna karakteristika samog znaka (eng. Legibility) ili optička i vizualna čitkost teksta (eng. Readability) koja govori koliko je znak ili tekst vizualno zahtjevan za čitanje. Mjerenje brzine čitanja jedna je od najčešćih metoda

mjerenja čitkosti nekog teksta, a može biti provedena na dva načina: a) tako da se odredi ukupna dužina teksta koji se čita i mjeri se vrijeme potrebno za čitanje svakom ispitaniku i b) tako da se ograniči vrijeme čitanja i mjeri se dužina pročitano teksta u ograničenom vremenu. Različite opcije prijeloma (porodica fonta, veličina fonta, pismovni rez i sl.) mogu utjecati na čitkost teksta pa je potrebno utvrditi postoje li statistički značajne razlike između različitih porodica i veličina fonta, kao prvi korak u istraživanju čitkosti teksta u tablet novinama.

Interaktivnost se može istraživati iz dva osnovna aspekta: kao karakteristika komunikacije čovjeka s drugim ljudima ili uređajima ili kao tehnološka karakteristika određenog uređaja ili sučelja. Ahern i Stromer-Galley [131] tehnološku interaktivnost promatraju kroz broj različitih mogućnosti koje za prezentaciju sadržaja i komunikaciju nudi sama tehnologija odnosno multimedija pa tako interaktivnost vide kroz korištenje različitih medijskih formata i opcija – teksta, video materijala, fotografija, foruma, vanjskih poveznica itd. Za potrebe ovog istraživanja kao interaktivni, multimedijски formati definirani su: video formati, fotografije, animacije i ilustracije.

Bolter i Grusin [132] tvrde da je ideal interaktivnog sučelja ono sučelje koje u potpunosti 'uvuče korisnika', u kojem 'nema gumba, prozora, klizanja i povlačenja ili čak ikona, nego kroz koje se korisnik kreće prirodno, kao kroz prirodni svijet'. promatramo četiri elementa: (a) dostupnost sadržaja – mogućnost dolaska do određenog sadržaja kroz manje od tri radnje (brza) ili više od tri radnje (spora); (b) mogućnost definiranja trenutane pozicije čitatelja u smislu stranice na kojoj se nalazi, poglavlja u kojem je i slično; (c) postojanje ikona ili simbola (prihvatljivo za ekstraktivne i neprihvatljivo za imersivne knjige) i (d) postojanje indeksa i/ili poveznica u tekstu koji omogućuje pronalaženje željenog podatka u tekstu (search opcija). Ovaj segment interaktivnosti istražiti će se tijekom ispitivanja ranije nabrojanih parametara navigacije.

5. PROCES DIZAJNIRANJA I IZRADE KORISNIČKOG SUČELJA ZA TABLET NOVINE

U ovom poglavlju bit će detaljno prikazane istraživačke i druge aktivnosti dizajniranja i izrade simulacija grafičkog korisničkog sučelja za tablet novine koje će poslužiti za definiranje optimiziranog modela grafičkog korisničkog sučelja za tablet novine, sukladno metodologiji prikazanoj u Poglavlju 2.

Prilikom oblikovanja i izrade korisničkog sučelja za tablet novine koristit će se metodologija akcijskog istraživanja baziranim na ranijim teorijskim definicijama i provedenim istraživanjima [7] [8] [9] [10] te metodologija konstruktivnog dizajnerskog istraživanja [17] [20] [71] [74] pri čemu će se spoznaje iz pojedinih faza istraživanja koristiti u kasnijim fazama istraživanja te će se ujedno kroz iteraciju i interakciju s korisnicima dodatno poboljšavati.

U ovom poglavlju bit će prikazani rezultati istraživanja, kao i konačni rezultati svake faze istraživanja, bez navođenja i prezentacije ranijih iteracija, osim ako za to ne postoji izrazita metodološka i znanstvena potreba.

5.1. STRUKTURALNA ANALIZA POSTOJEĆIH TEHNOLOŠKIH RJEŠENJA U PODRUČJU MOBILNIH OSOBNIH RAČUNALA

Pregledom literature utvrđeno je da dnevne novine u tiskanom izdanju mogu doći u dva osnovna tipa prijeloma: ozbiljnom i tabloidnom. Garcia kao mogućnost daje i treću opciju, tzv. flipboard prijelom. Marcus tvrdi da se kod određivanja modela treba, što je moguće više, držati postojećih, korisnicima poznatih modela. Stoga se, kao prvi korak u istraživanju, nameće potreba jasnijeg definiranja mogućnosti koje postojeća tehnološka i dizajnerska rješenja u ovom trenutku pružaju. Potrebno je analizirati uređaje koji stoje na raspolaganju za istraživanje i procijeniti njihov budući razvoj, kako bi se definiralo kako postaviti i prirediti istraživanje. Prvi korak je definirati uređaje na kojima će se istraživanje provesti, a zatim utvrditi i hoće li se za istraživanje koristiti postojeće aplikacije domaćih dnevnih novina jer je uvjet poznavanja jezika od iznimne važnosti za istraživanje pa je praktički nemoguće provesti istraživanje na nekom drugom jeziku s postojećim aplikacijama dnevnih novina, kako predlaže dio ranijih istraživanja i čije je

analize primjerice radio Garcia (poput Bilda, New York Timesa ili Guardian), ili će se pristupiti izradi određenog tipa prototipa koji će simulirati grafičko sučelje tablet novina koje će uključiti sve elemente i parametre definirane kroz pregled literature i pregled ranijih istraživanja, simulacija kojeg će se potom istražiti u kontroliranim uvjetima.

5.1.1. ANALIZA PROIZVODNJE MEDIJSKOG SADRŽAJA TISKANIH MEDIJA U MULTIPLATFORMSKIM PRODUKCIJSKIM UVJETIMA

Prvi korak u ovom segmentu strukturalne analize je analiza proizvodnje medijskog sadržaja domaćih medija u multiplatformskih produkcijskim uvjetima. Cilj ove analize je utvrditi mogućnosti za analizu aplikacija domaćih dnevnih novina i njihovu podudarnost s istraživanim parametrima grafičkih korisničkih sučelja, a u sklopu izrade ove disertacije rezultati analize objavljeni su kao zaseban znanstveni rad [133].

Tehnološki razvoj posljednjih nekoliko godina tiskanim medijima omogućio je svojvrstu informacijsku revoluciju tj. transfer u digitalne tehnologije odnosno proizvodnju sadržaja u tzv. multiplatformskim produkcijskim uvjetima. Riječ je, prije svega, o širenju tiskanih medija odnosno novina i magazina na internet, a potom i u aplikacije za mobilne uređaje i tablet računala. Takav transfer sadržaja stavlja pred tiskane medije nove tehnološke produkcijske zahtjeve koji se očituju prije svega u pronalazenu proizvodnog modela koji će omogućiti brzu, jednostavnu i ekonomski prihvatljivu proizvodnju multimedijskog sadržaja (ne samo teksta i fotografije) te njegov što je moguće jednostavniji transfer u različite medijske formate odnosno platforme.

Iako se unatrag desetak godina činilo da je pitanje medijske konvergencije objašnjeno i riješeno, tiskani mediji, pogotovo hrvatski, još uvijek ne pronalaze kvalitetne načine objedinjenja proizvodnje u multiplatformskim produkcijskim uvjetima pa ne mogu u potpunosti iskoristiti ni sve prednosti koje konvergencija može pružiti. Ova analiza neće se detaljno baviti pitanjima stila i žanrova medijskih sadržaja niti ekonomskim modelima koji omogućuju ekonomsku isplativost multiplatformskog pristupa, što su definitivno pitanja na koja je potrebno dati jasan odgovor, već će istražiti tehnološke zahtjeve za objedinjavanje i publiciranje sadržaja te će predložiti metodu provjere stupnja konvergencije medijskih redakcija odnosno njihovih proizvoda na različitim medijskim platformama.

Promatrajući medijsku konvergenciju izvana, s aspekta publike, kako predlaže Petersen [125, str. 57], na osnovu komparativne analize sadržaja moguće je doći do zaključka kakva je interna organizacija proizvodnje medijskog sadržaja odnosno stupanj integracije pojedinog tiskanog medija, u smislu kako je vide Dailey et al. [126]. Kako bi se provjerila uspješnost predloženog pristupa, provest će se analiza svih dnevnih novina po tri osnovna kriterija: 1) postojanje aktivne i dnevno osvježavane web stranice; 2) mogućnost online pristupa tiskanom izdanju, sa ili bez pretplate i 3) postojanje aplikacije dnevnih novina za tablet izdanje. Nakon toga, metodom analize sadržaja analizirat će se istovjetnosti sadržaja u tiskanom, web i tablet izdanju kroz usporedbu ukupnog broja objavljenih članaka po izdanju, pri čemu je članak bilo koji izdvojeni tekst s naslovom, osim servisnih informacija, horoskopa, viceva i sl. Formirano je pet istraživačkih pitanja:

Q1: Koliko se članaka iz tiskanog izdanja ponavlja u web izdanju.

Q2: Koliko se članaka iz tiskanog izdanja ponavlja u tablet aplikaciji.

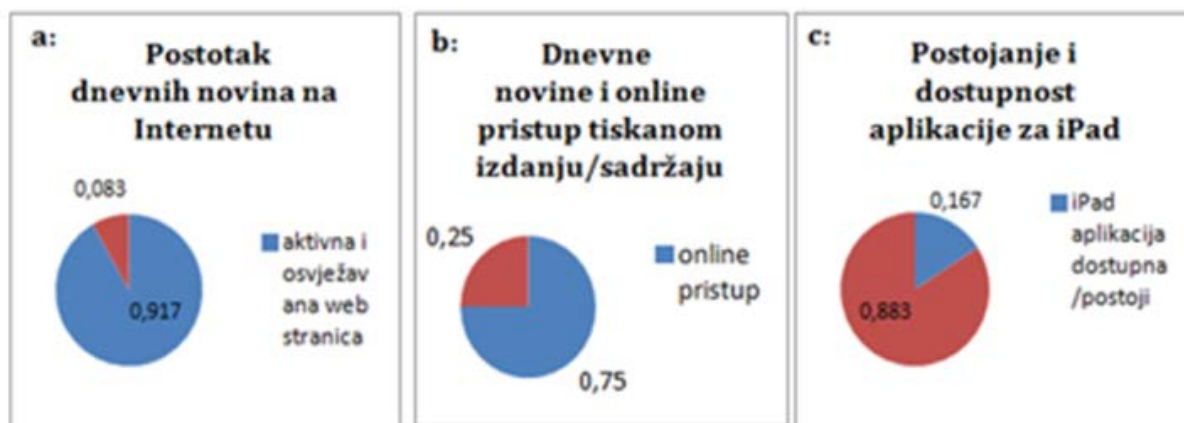
Q3: Koliko se članaka iz tiskanog izdanja unaprijed pojavljuje u web izdanju?

Q4: Koliko se članaka iz tiskanog izdanja ponavlja u unaprijed pojavljuje u tablet izdanju?

Q5: U kojoj se mjeri preklapaju tablet i web izdanje?

Prema podacima Hrvatskog novinarskog društva, tijekom izrade ovog rada u Hrvatskoj je bilo ukupno 12 dnevnih listova i to: poslovni listovi Business.hr i Poslovni dnevnik, zatim dnevni listovi s nacionalnom pokrivenošću Novi list, Večernji list, Jutarnji list, 24 sata i Slobodna Dalmacija, regionalni dnevnicima Glas Slavonije i Glas Istre, lokalni Zadarski list, sportski dnevnik Sportske novosti te dnevnik na jeziku talijanske nacionalne manjine La Voce Del Popolo. Svi spomenuti dnevni listovi, izuzev La Voce Del Popolo imali su aktivnu i dostupnu web stranicu koja sadrži osvježeni sadržaj (slika 5.1.a.).

Svi dnevni listovi prisutni su i na društvenim mrežama. Također, većina dnevnika, njih dvije trećine odnosno 75 posto, nudi uz pretplatu pristup i tzv. online izdanju, u kojem, najčešće u formi pdf dokumenta, nude mogućnost pristupa i čitanja tiskanog izdanja sa svim objavljenim vijestima i informacijama. Izuzetak su već spomenuti La Voce Del Popolo te Glas Slavonije, dok Zadarski list dopušta pristup samo skeniranim naslovnicama (slika 5.1.b.).



Slika 5.1. Prilagođenost dnevnih novina multiplatformskim tehnologijama

Pregledom online trgovine Apple Store na dan 29. srpnja 2012., pronađene su aplikacije sljedećih dnevnika: Business.hr, Večernji list, Jutarnji list i 24 sata, s tim da su aplikacije dnevnika Business.hr i 24 sata razvijene za korištenje na iPhone uređajima te su njihov izgled, sadržaj i funkcionalnost karakteristični i ograničeni odnosno određeni zahtjevima samog uređaja na kojem se prikazuju, što govori da tek 16,7 posto hrvatskih dnevnih novina ima aplikacije razvijene za mobilne tablet uređaje (slika 5.1.c.).

Za potrebe ovog rada istraživano je tiskano izdanje novina na dan 30. srpnja 2012. godine kao i verzije aplikacija od 29. srpnja odnosno 30. srpnja te web stranice obaju listova na dan 31. srpnja (uz pretpostavku da će vijesti koje su objavljene dan do dva ranije i dalje biti dostupne na web stranici). Aplikacija Jutarnjeg lista od 29. srpnja zadnji puta je osvježena u 23:27, a aplikacija od 30. srpnja u 23:34. Što se tiče aplikacija Večernjeg lista, korišten je sadržaj u finalnim verzijama objavljenim u spomenuto vrijeme.

U tablici 1. vidljivo je da su dva promatrana dnevna lista na različite načine iskoristile mogućnosti koje im pružaju nove tehnologije. Odgovori u tablici odnose se na: A0 – ukupan broj objavljenih članaka u tiskanom izdanju; A1 – broj članaka objavljenih u tablet izdanju dan ranije; A2 – broj članaka objavljenih u tablet izdanju na dan promatranja; A3 – postotak članaka objavljenih unaprijed u tablet izdanju; A4 – postotak članaka iz tiskanog izdanja objavljenih u tablet izdanju na dan promatranja; A5 – postotak članaka iz tiskanog izdanja objavljenih u web izdanju.

Tablica 2. Odnos članaka pojedinih izdanja

	A0	A1	A2	A3	A4	A5
Jutarnji list	104	61	60	0,115	0,0192	0,134
Večernji list	120	193	204	0,233	0,075	0,308

Obje promatrane aplikacije imaju standardan, tabloidni prijelom naslovne stranice kod kojeg na naslovnici dominiraju fotografije s naslovom članka. Obje imaju i dinamičnu naslovnicu koja se mijenja kako dolaze nove ili važnije vijesti. Večernji list donekle odskaka od tabloidnog standarda jer za pojedine članke daje kratak sažetak, dug tek nekoliko riječi (mini lead), ali i dalje je daleko od standardnog, ozbiljnog prijeloma. Obje aplikacije imaju objavljen sadržaj ranijeg datuma nastanka u odnosu na promatrani, što znači da aplikacije zadržavaju dio sadržaja, a ne brišu ga dolaskom novih izdanja, vjerojatno jer ga nemaju čime nadomjestiti. Postotak preklapanja članaka izuzetno je nizak kod oba dnevna lista. Vidljivo je i da se članci za tablet izdanje generiraju iz baze članaka u web izdanju, a članci koji se pojavljuju i u tiskanom i u web odnosno tablet izdanju su isključivo članci prilagođeni ili preneseni u web izdanju, što je posebno vidljivo u člancima u Jutarnjem listu koji nose potpuno istu opremu (npr. naslov u kojem se sugerira video sadržaj), iako je očito da multimedijske komponente nema.

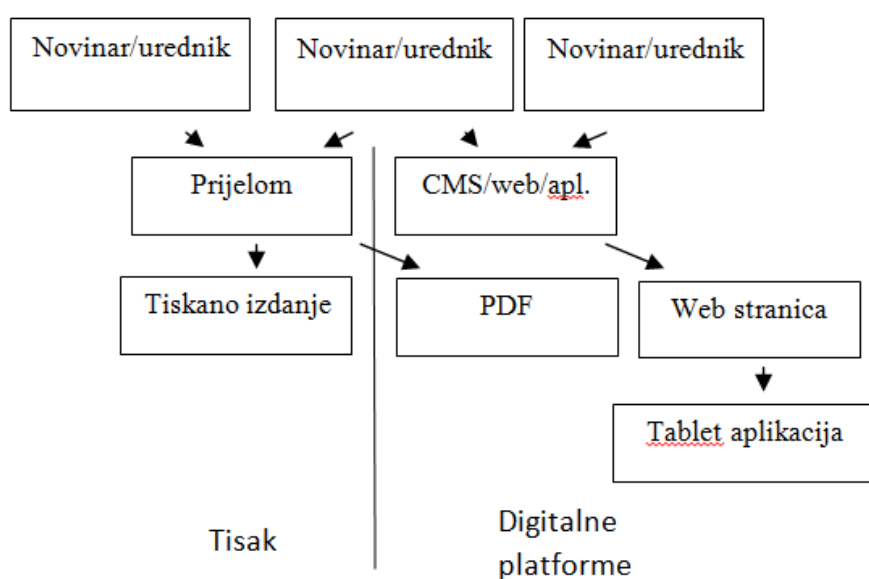
Postojeći modeli proizvodnje medijskog sadržaja i medijska konvergencija

Iz rezultata istraživanja je vidljivo da ne postoji gotovo nikakva konvergencija u proizvodnji sadržaja između tiskanih i digitalnih platformi odnosno aplikacija, što ukazuje na činjenicu da postoji odvojena linija proizvodnje sadržaja. Slijedeći Petersonov pristup, može se zaključiti da organizacijska struktura proizvodnje medijskog sadržaja u istraživanim tiskovinama nije u potpunosti konvergirala u cross media produkciju, nego u najmanjoj mjeri koristi načine proizvodnje definirane od strane Boczkowskog i Ferrisa za multiplatformsku produkciju. Time nije ispunjen prvi zahtjev za potpunu konvergenciju, a to je integracija proizvodnje sadržaja.

Iz istraživanja je vidljivo da se za proizvodnju i distribuciju sadržaja koristi multiplatformski model prikazan na slici 5.2. kod kojeg je proizvodnja sadržaja za

pojedine platforme u velikoj mjeri nezavisna, a tek se u manjem segmentu sadržaj dijeli odnosno sadržaj se dijeli samo između digitalnih platformi, bez većeg upliva sadržaja objavljenih u tiskanom izdanju. Tako je vidljivo (tablica 1., stupac A5) da od ukupnog broja članaka objavljenih u tiskanom izdanju samo manji broj njih dospije u digitalne inačice, pri čemu Večernji list prednjači s gotovo 30 posto objavljenih članaka i u tiskanom i u web izdanju. Jutarnji list je više nego upola lošiji i objavljuje tek 13,4 posto članaka iz tiskanog u svojem web izdanju pa funkcioniraju skoro poput odvojenih web portala. Kod objave sadržaja u tablet izdanjima situacija je u odnosu na tiskana izdanja još lošija (tablica 1., stupci A3 i A4) jer je istovjetnost tiskanih i tablet sadržaja još niža s, primjerice, manje od 2 posto članaka iz tiskanog izdanja objavljenih u tablet izdanju na dan promatranja za Jutarnji list, odnosno 7,5 posto za Večernji list, što pokazuje da se tablet izdanje ne koristi kao novi multiplatformski kanal za distribuciju sadržaja tiskanog izdanja. Nastavno na spomenuto, vidljivo je i da se tablet izdanja obaju novina tek u manjoj mjeri koriste kao marketinški kanal za najavu tiskanog izdanja jer je i taj postotak, iako donekle viši (tablica 1., stupac A3), još uvijek relativno nizak za oba promatrana dnevnika.

Viši nivo konvergencije odnosno prijelaza u teoretski zamišljene cross media platforme, bio bi vidljiv kroz komparativnu analizu sadržaja i u tom slučaju bi postotak ponavljanja i/ili preklapanja morao iznositi višestruko više (svakako više od 50 posto sadržaja) no što je to slučaj u promatranim tiskovinama.



Slika 5.2. Postojeći multiplatformski model produkcije sadržaja

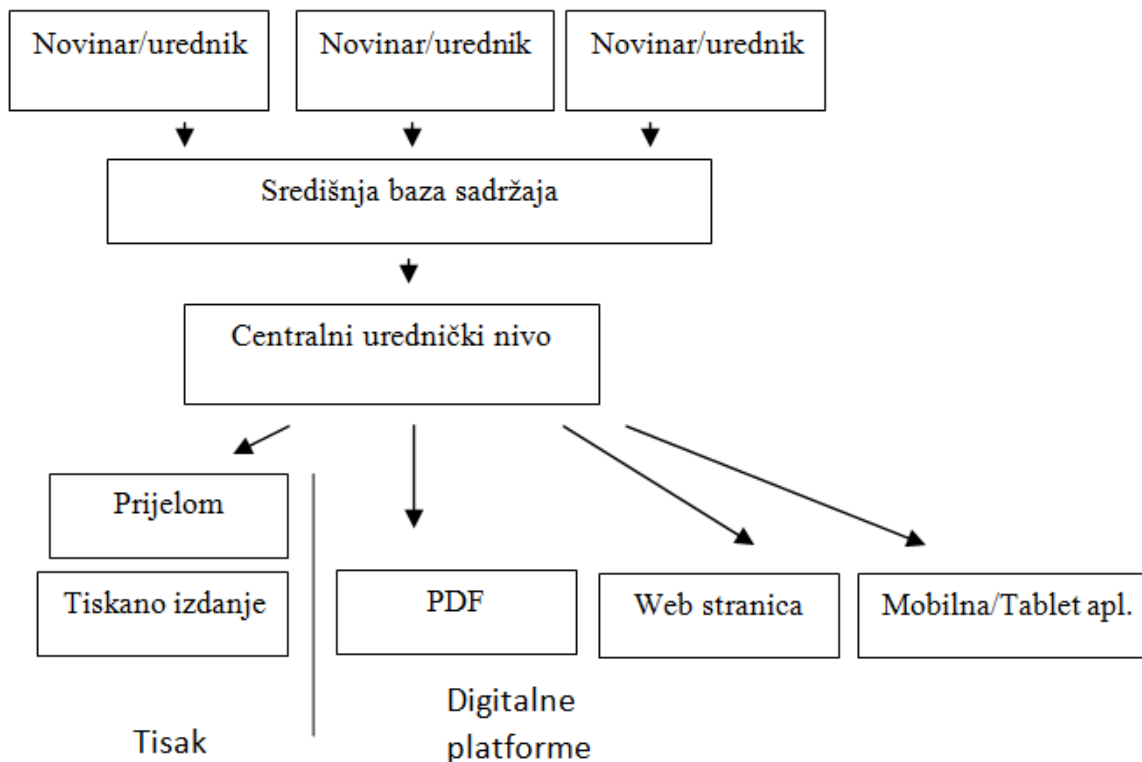
Pri tome je istraživanje pokazalo da obje dnevne novine imaju mogućnost online pristupa pdf formatu tiskanih novina, što pokazuje da je sadržaj tiskanih novina ipak digitaliziran, ali nije priređen za multiplatformsku distribuciju. I druge promatrane dnevne novine imaju slične pokazatelje (slika 5., a,b,c) pa iako je tek 16,7 posto svih dnevnih novina u Hrvatskoj razvilo aplikacije za tablet računala, njih 91,7 posto posjeduju web izdanje odnosno web stranicu, a 3/4 promatranih omogućuje i pristup digitaliziranom sadržaju tiskanog izdanja uz plaćanje, što govori da su domaće dnevne novine prepoznale mogućnosti multiplatformske distribucije, ali je još uvijek ne koriste u potpunosti te dodatno dio digitalnog sadržaja uopće ne naplaćuju (pristup najvećem dijelu web izdanja i tablet izdanjima). Stoga se može zaključiti kako domaći tiskani mediji još uvijek nisu pronašli odgovarajući tehnološki (ni ekonomski) model koji bi omogućio integraciju (i zaradu) sadržaja aplikacija u svim promatranim platformama.

Integrirano model proizvodnje medijskog sadržaja

Stupanj konvergencije u promatranim medijima može se procijeniti nedovoljnim u usporedbi s predloženim teorijskim modelima i niti prema jednom ne dostiže potpunu konvergenciju. Web portali promatranih medija funkcioniraju poput bilo kojeg drugog news portala i moraju se za čitatelje boriti s konkurencijom koja funkcionira na drugačiji način od klasične novinske redakcije. Pri tome ne koriste u potpunosti prednosti koje ima daju ozbiljne novinske redakcije tiskanih medija, bilo u pogledu sadržaja, bilo tehnološki, što je vidljivo iz niskog postotka preklapanja sadržaja. S obzirom da se sadržaj tiskanog izdanja, koji je novinarski ozbiljniji i kvalitetniji ne koristi za web i tablet izdanja niti se tim izdanjima naplaćuje pristup (u trenutku istraživanja niti jedna od spomenutih novina nije zahtijevala plaćanje pristupa člancima objavljenim na svom portalu), očito je da tiskano izdanje nastaje i funkcionira u velikoj mjeri odvojeno od web i tablet izdanja. Kako bi se povećao stupanj konvergencije prema predloženim teorijskim zahtjevima [126] [127] [69], potrebno je definirati novi, integrativni model proizvodnje (slika 5.3.).

Integrativni model predviđa objedinjavanje novinarske proizvodnje pri čemu bi se sadržaj trebao proizvoditi slijedeći najopćenitija stilska i žanrovska pravila, prilagođena modernim digitalnim medijima, a njegove aplikacije u različite platforme događale bi se na centralnom uredničkom nivou. Pri tome bi se kvalitetan sadržaj pripremljen za jedno

izdanje mogao tek uz eventualne manje izmjene ili čak i bez njih jednostavno prilagoditi distribuciji u različitim izdanjima odnosno na različitim platformama (u tisku, na webu i u tablet izdanju).



Slika 5.3. Integrativni model multiplatformske proizvodnje

Dizajn sustava morao bi omogućiti primjerenu prilagodbu svakoj pojedinoj platformi, a novinari s više sposobnosti mogli bi proizvoditi multimedijske proizvode primjerene korištenju na više različitih platformi dok bi softversko rješenje određivalo stupanj tehnološke interaktivnosti pojedinog članka. S obzirom da bi svi članci bili povlačeni iz istog centra, time bi se smanjilo ili u potpunosti poništilo ponavljanje i/ili dupliranje novinarskog posla i ispunio prvi uvjet integracije proizvodnje. Drugi uvjet, multiplatformska distribucija riješio bi se kvalitetnim softverskim rješenjem koje bi omogućavalo 'izlaz' u različite formate i koje u pravilu već postoji, a moguće ga je koristiti uz manje modifikacije.

S obzirom na ograničenja ovog istraživanja (malen broj promatranih tiskovina i relativno kratko razdoblje promatranja) u daljnjim istraživanjima trebalo bi detaljnije razviti metodologiju istraživanja iz pozicije vanjskog promatrača, dodatno razraditi

predloženi integrativni model na stručnoj odnosno praktičnoj razini te ga eksperimentalno provjeriti odnosno potvrditi u praksi.

5.1.2. PREGLED TEHNOLOŠKIH I EKONOMSKIH PARAMETARA POSTOJEĆIH TEHNOLOGIJA

Tablet računala

Tablet je 'cjelovito računalo sadržano u zaslonu osjetljivom na dodir' [69, str. 66] odnosno zaslonu baziranom na nekoj od responzivnih tehnologija zaslona [134]. Razvili su se kao nadogradnja dvaju ranijih tipova uređaja, tzv. pametnih telefona i notebook računala, pri čemu se tableti razvijeni iz tehnologija pametnih telefona oslanjaju na s njima povezane operativne sustave (iOS, Android) i nazivaju se još i medijskim tabletima, prije svega jer omogućuju korištenje različitih multi-medijskih formata, a tableti razvijeni iz notebook računala baziraju se na operativnim sustavima razvijenim za računala (npr. Windows 8) i nazivaju se tablet računalima.

Komercijalno su dostupni još od 1989. godine i tzv. GridPada, a iako je u sljedeća dva desetljeća na tržište izašao niz tablet računala, proboj na tržište i u sve sfere svakodnevnog života započinju tek pojavom Appleovog iPada u travnju 2010. godine [69, str. 66].

Za potrebe ove analize dane su karakteristike medijskih tableta najprisutnijih na tržištu. Medijske tablete karakteriziraju kapacitivni višedodirno osjetljivi zaslone bazirani ili na tehnologiji tekućih kristala (LCD) ili na organskim LED diodama (OLED) s pozadinskim osvjetljenjem i zadnjom pločom baziranom na različitim tehnologijama (LTPS, IGZO, a-Si, TFT) [135].

Kada se tomu nadoda napredak u snazi procesora, grafičkih kartica i radne memorije (vidljivo u Tablici 3.), jasno je da najnoviji medijski tableti mogu bez većih problema obaviti sve one funkcije koje bi od njih zahtijevala 'privatno korištenje tehnologije' za konzumaciju audio i video sadržaja, čitanje knjiga, magazina, novina i drugih tekstova, kao i za pregledavanje različitih drugih formata ili za surfanje internetom [69, str. 66].

Tablica 3. Pregled karakteristika tablet uređaja.

	Kindle Fire HDX 8.9	iPad Air	Nexus 10	Galaxy Tab 3 10.1
Tehnologija zaslona	8.9 inča IPS LCD	9.7 inča IPS / FFS LCD	10.1 inča PLS LCD	10.1 inča PLS LCD
Oblik zaslona (omjer)	16:10 = 1.60	4:3 = 1.33	16:10 = 1.60	16:10 = 1.60
Površina prikaza	35.6 inča ²	45.2 inča ²	45.4 inča ²	45.4 inča ²
Relativna površina prikaza	78 posto	100 posto	100 posto	95 posto
Razlučivost zaslona (u pikselima)	2560 x 1600 piksela	2048 x 1536 piksela	2560 x 1600 piksela	1280 x 800 piksela
Ukupan broj piksela	4.1 Mega piksela	3.1 Mega piksela	4.1 Mega piksela	1 Mega piksel
Gustoća piksela po inču	339 ppi	264 ppi	300 ppi	149 ppi
Tehnologija zadnje ploče	LTIPS	IGZO	a-Si	TFT
Karakteristike zaslona (boja)	Full 24-bit color; 256 Intensity Levels	Full 24-bit color; 256 Intensity Levels	Full 24-bit color; 256 Intensity Levels	Full 24-bit color; 256 Intensity Levels
CPU	Četverojezgreni (Quad-core) Snapdragon 800, 2.2 GHz	Dvojezgreni (Dual-core) Cyclone, 1.4 GHz	Dvojezgreni (Dual-core) Cortex-A15, 1.7 GHz	Dvojezgreni (Dual-core) Intel Atom, 1.6 GHz
GPU	Adreno 330	PowerVR G6430	ARM Mali T604	PowerVR SXG544MP2
RAM	2 GB	1 GB DDR3	2 GB	1 GB DDR2
Interna memorija	16/32/64 GB	16/32/64/128 GB	16/32 GB	16/32 GB

Soneira [135] smatra kako su svi navedeni tableti osim Galaxy Tab 3 10.1, kao najjači predstavnici kompanija koje ih proizvode, odlični u cijelom nizu karakteristika zaslona, od oštine i razlučivosti, različitih testova gledanja, gamuta boje, refleksije zaslona pa sve do energetske efikasnosti zaslona. iPad i Nexux dolaze u ovoj varijanti imaju i sličnu relativnu odnosno apsolutnu površinu prikaza zaslona (45.2 odnosno 45.4 inča²) dok je kod Kindle Fire-a situacija nešto lošija. U ranijim usporednim testovima iPad se pokazao bolji od konkurencije i u ovoj kategoriji. Svaki od tableta dolazi s vlastitim operacijskim sustavom (iako su ih nekoliko, zapravo, prilagođene verzije Android operativnog

sustava), a podaci govore da je iPad u prednosti u odnosu na konkurenciju i po broju aplikacija prilagođenih za korištenje na tablet računalima. Apple je i dalje vodeći proizvođač tablet uređaja s više manje stalnim udjelom na tržištu (od oko 40% svih prodanih uređaja, sa Samsungom na drugom mjestu i dujelom od oko 13% za Q32013), a predviđanja govore da će iPad, usprkos činjenici da na tržištu ima više od polovine uređaja s Android operativnim sustavom, i u budućnosti biti najprodavaniji tablet uređaj [134] [136].

E-čitači i tehnologije elektroničkog papira

Elektronički papir, kao i sama tehnologija elektroničkog papira još uvijek nije jasno definirana, obzirom da postoji cijeli niz metoda i tehnoloških rješenja elektroničkog papira. Heikenfeld i suradnici nude, međutim, definiciju koja određuje minimalna zajednička svojstva koje bi proizvod trebao imati kako bismo ga mogli nazivati elektroničkim papirom. Prema njima [137], elektronički papir je svaki onaj proizvod kojeg karakterizira tzv. 'tehnologija reflektirajućeg zaslona' bez unutrašnjeg izvora svjetlosti, a čiji je 'otisak' na zaslonu neosjetljiv na uvjete osvjetljenja ili kut gledanja, lagan je i zahtjeva relativno malo energije. Elektronički papir, prema istim autorima, oponaša optičke karakteristike konvencionalnog papira. Upravo nedostatak unutrašnjeg svjetla čini ga bitno različitim od zaslona koji kombiniraju LED, LCD, plazma ili neku drugu tehnologiju, pogotovo sa stajališta čitljivosti i preglednosti 'otiska' na zaslonu.

Danas je poznato nekoliko različitih tehnologija proizvodnje elektroničkog papira [138] odnosno 'prednjih ploča'. To su: gyricon, elektroforetska tehnologija (E Ink, SiPix, Bridgestone), elektrovlaženje (Liquivista), tehnologija elektrofluida (Gamma Dynamics), ChLCD – tehnologija kolesteričnih LCD-a (Fujitsu, Hitachi, Kent Display, Kodak, Nemoptic, ZBD Display), elektrokromatske tehnologije (Acreo, Aveso, Ntera, Siemens), tehnologija interferometrijskih modulatora (Qualcomm), tehnologija fotonskih kristala (Opalux), REED tehnologija (Zikon) i tehnologija bistabilnih LCD zaslona. Neke od spomenutih tehnologija već su u komercijalnoj upotrebi i koriste se u uređajima poput elektroničkih čitača dok su druge još uvijek u fazi eksperimentalne upotrebe ili se tek pripremaju za izlazak na tržište. Unutar posljednjih godinu do dvije na tržištu su se pojavili uređaji koji se nazivaju e-čitačima (Kindle Fire, Nook Color), ali ne koriste tehnologiju elektroničkog papira već, kao i druga konkurencija (iPad, Samsung Galaxy,

Motorola Xoom...), zaslone bazirane na LCD tehnologiji. Spomenuti su pogodni za reprodukciju različitih multimedijских sadržaja te je velika vjerojatnost da će u doglednoj budućnosti njihov tržišni udio, u odnosu na konvencionalne tiskovine i e-čitače bazirane na postojećim tehnologijama elektroničkog papira, rasti.

Zaključak

Tablet računala odnosno medijski tableti uvjerljivo pokazuju najbolje performanse kada je riječ o mogućnostima prikaza različitih multimedijских sadržaja, a u trenutku pisanja ovog rada iPad uređaji na nesumnjivom su prvom mjestu po svom tržišnom udjelu. S obzirom na optičke i druge karakteristike prikaza ekrana vidljivo je da nema prevelike razlike između pojedinih uređaja i da svi drže visoke standarde, a najave govore da će ih i zadržati ili još poboljšavati. Kada se govori o namjeni uređaja odnosno o funkcijama koje korisnici od njih traže, kao što pokazuju Čerepinko i Džimbeg-Malčić [139], za sada je malo vjerojatno da će elektronički čitači uspjeti nadmašiti različite tablete i druge slične mobilne uređaje.

Kao uređaj za čitanje knjiga, e-čitač pokazao se kao izvrsna opcija, unatoč relativno lošijim karakteristikama u odnosu na konvencionalni papir, kad je u pitanju otisak, odnosno optičke kvalitete. S druge strane, pokazao se izvrsnim u pohrani i mogućnostima korištenja samog sadržaja – uveo je niz funkcija koje tiskana izdanja nemaju – što dokazuje i njegov komercijalni uspjeh. Postoji nekoliko različitih istraživanja koja pokazuju kako su elektronički čitači još uvijek prvi izbor kada je riječ o čitanju književnih djela odnosno fikcije [140], ali na i za druge svrhe, poput korištenja e-čitača za akademske ili druge slične svrhe te konzumiranje multimedijских sadržaja. Razloge tome prije svega treba tražiti u većoj kvaliteti drugih dostupnih mobilnih uređaja poput tableta ili čak pametnih telefona.

Zbog svega rečenog, jasno je da se istraživanje optimalnih parametara grafičkog korisničkog sučelja može izvesti isključivo na tablet uređajima od kojih je iPad najčešći i najkorišteniji, tim više jer su svi uređaji u pravilu vrlo sličnih karakteristika. Takav zaključak opravdavaju i druga već ranije spomenuta istraživanja [1] [66] [85] [130].

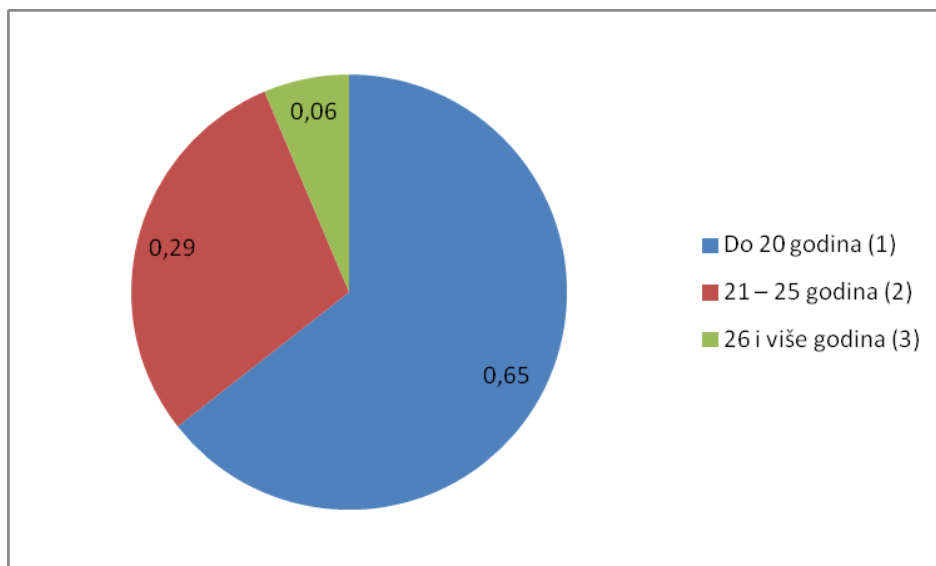
5.2. OČEKIVANJA I ZAHTJEVI POTENCIJALNIH KORISNIKA GRAFIČKOG KORISNIČKOG SUČELJA 'TABLET NOVINA'

Kako bi se ispitala očekivanja koje potencijalni korisnici tablet aplikacije dnevnih novina mogu imati od aplikacije, s ciljem da se dobiju podaci koji će usmjeriti oblikovanje simulacija u smjeru što približnijem očekivanjima budućih korisnika, provedena je anketa prema ranije korištenim modelima [29] [76].

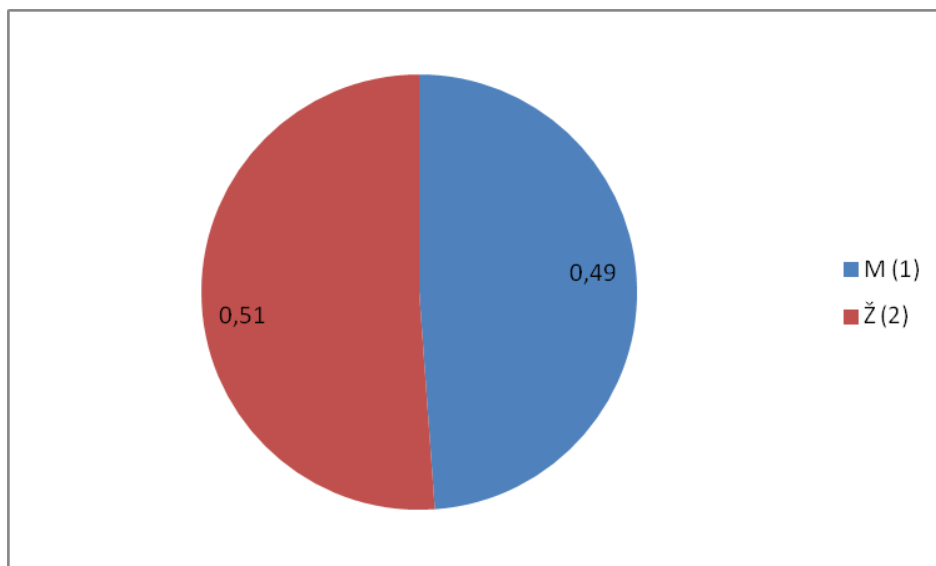
Anketom su ispitana očekivanja 78 studenata svih godina preddiplomskih studija Sveučilišta Sjever iz Sveučilišnog centra Koprivnica (studiji Novinarstva, Medijskog dizajna i Poslovanja i menadžmenta u medijima). Od tog broja njih 31 ocijenilo je jednu od postojećih tablet aplikacija hrvatskih dnevnih novina (Aplikacija Jutarnjeg i Večernjeg lista) prema tri kategorije: 1.) vizualnom/grafičkom dizajnu aplikacije; 2.) čitljivošću teksta i 3.) korištenju multimedije.

Izabrani uzorak bio je prigodan, a izabran je zbog dva razloga. Prvi je činjenica da je, s obzirom na stupanj zastupljenosti tehnologije tablet uređaja, veća vjerojatnost da su studenti spomenutih studija bili u kontaktu s promatranim tehnološkim uređajima i rješenjima koja se na njima koriste odnosno po definiciji ulaze u skupinu tzv. ranih usvajača (early adopters) odnosno rane većine (early majority) [141, str. 22]. Drugi je činjenica da većina ispitanih po demografskim karakteristikama ulazi u dobnu skupinu 18 – 49 godina, standardnu za većinu medijskih istraživanja, čime postaju potencijalni dugoročni korisnici aplikacija za tablet novine. Rodne karakteristike ispitanika zastupljene su u omjeru karakterističnom za opću populaciju.

S obzirom na nerazmjer između pojedinih kategorija korisnika (prevladavajuća kategorija je 18 – 20 godina) prije analize rezultata provela se dodatna analiza. Da bi se ispitalo jesu li ovisnosti između kategorijalnih obilježja statistički značajne korišten je X^2 (hi-kvadrat) test uključujući i Yatesovu korekciju i to za sve odgovore po kriteriju spola i kriteriju dobi.



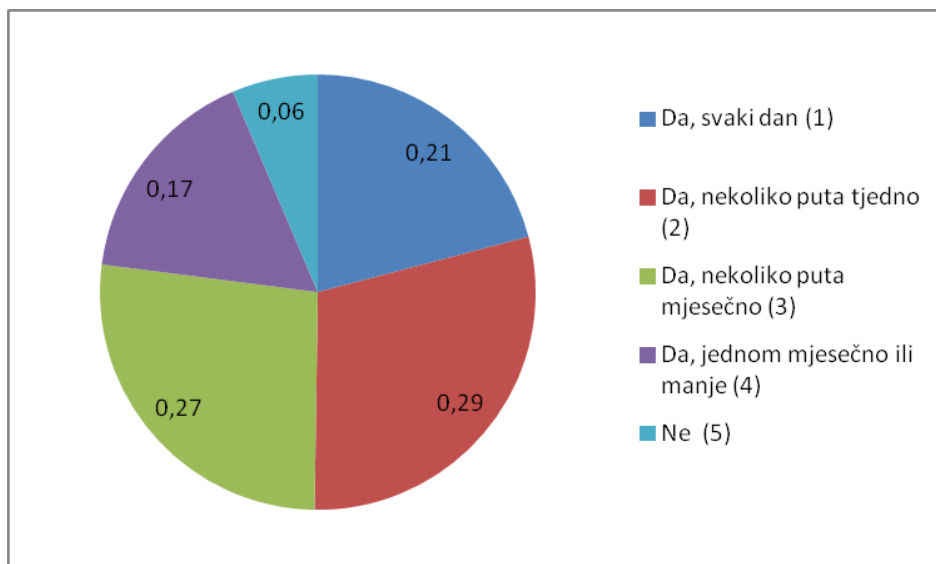
Slika 5.1. Dob ispitanika



Slika 5.2: Rodne karakteristike ispitanika

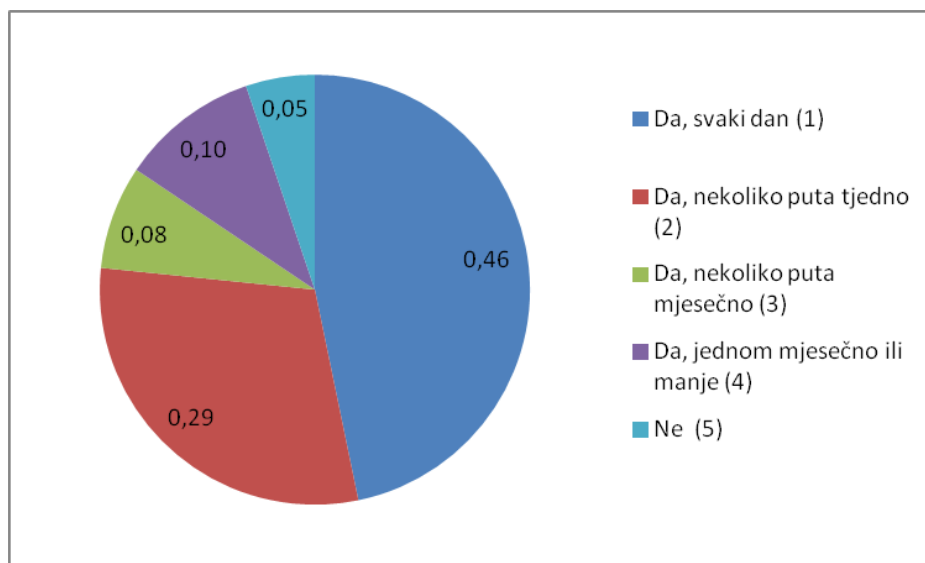
Prema rezultatima X^2 testa ne postoji statistički značajna ovisnost čitanja dnevnih novina i dobi (X^2 : 4.764, $p= 0.1899$) odnosno rodnih karakteristika (X^2 : 2.539, $p=0.4683$).

Rezultati anketnog ispitivanja (Slika 5.3) pokazali su kako polovina ispitanih dnevne novine čita do nekoliko puta tjedno, a kada se tom postotku pribroje čitatelji koji novine čitaju nekoliko puta mjesečno, postotak potencijalnih korisnika raste na više od dvije trećine ispitanih.

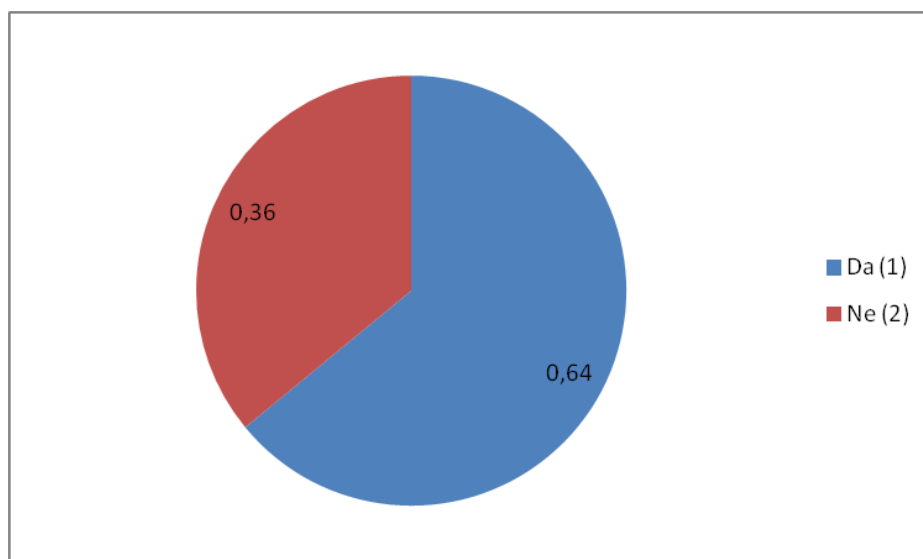


Slika 5.3: Čitate li dnevne novine?

Većina ispitanika redovito prati portale dnevnih novina (Slika 5.4.) što znači da ima razvijenu naviku konzumacije novinskih sadržaja online. Tek 10,5 posto ispitanika prati portale dnevnih novina jednom mjesečno ili manje, odnosno uopće ne prati informacije prezentirane u spomenutoj formi. I u ovom slučaju nije bilo statistički značajnih razlika između ispitanika po dobi (X^2 : 3.299, $p= 0.1921$) i rodnim karakteristikama (X^2 : 2.022, $p= 0.3639$).

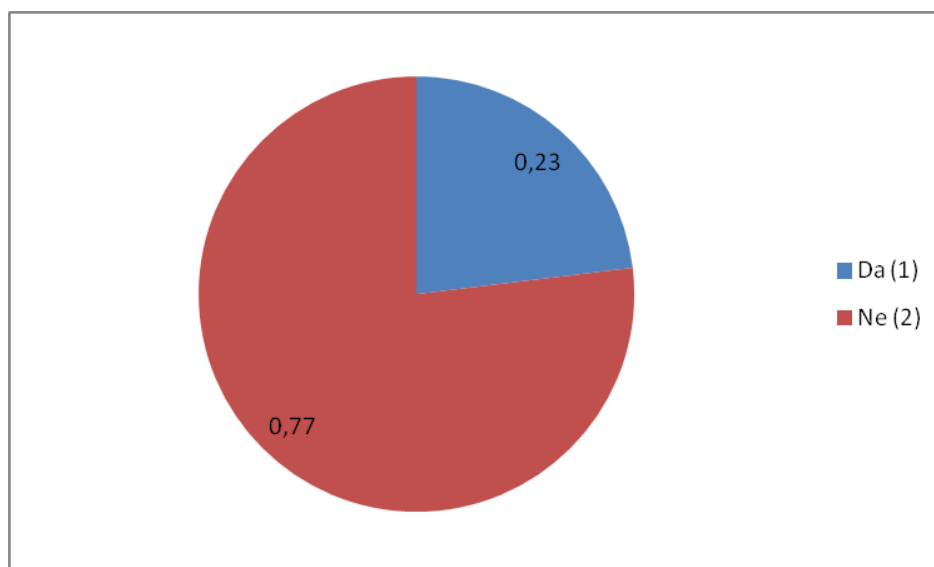


Slika 5.4. Pratite li portale dnevnih novina?



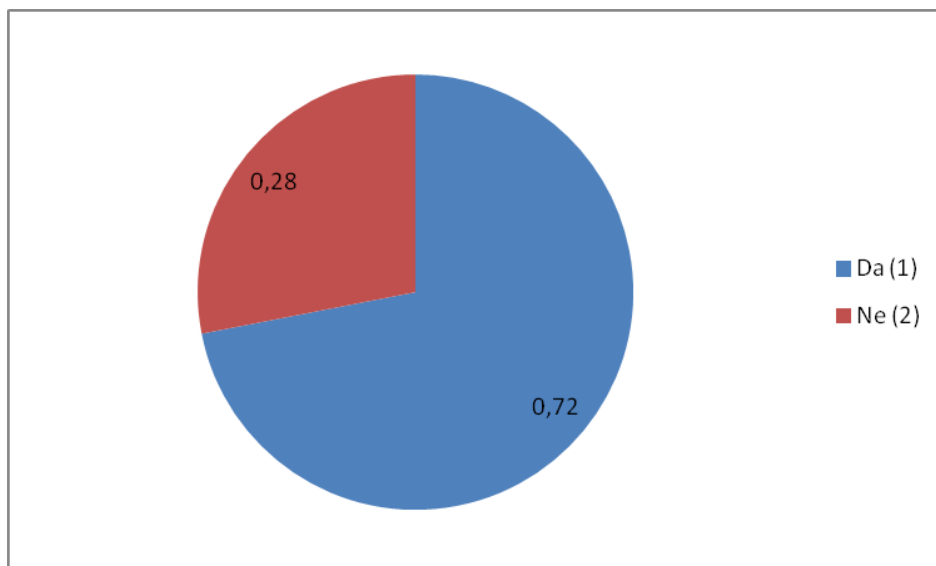
Slika 5.5. Jeste li kada čitali dnevne novine na mobitelu?

64 posto ispitanih koristilo je mobilne odnosno pametne telefone kako bi pristupilo online mobilnom sadržaju dnevnih novina koje prate (Slika 5.5.) pri čemu nije bilo statistički značajnih razlika između ispitanih (X^2 : 0.018, p = 0.8933).



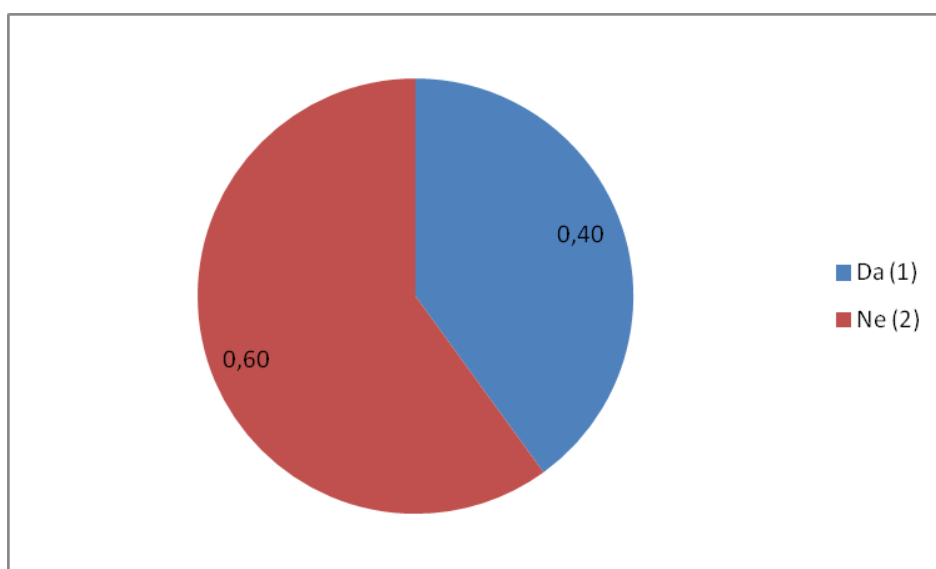
Slika 5.6. Posjedujete li tablet uređaj?

Iako samo 23 posto ispitanih posjeduje tablet uređaj (dob: X^2 : 0.189, p = 0.6638; rod: X^2 : 0.619, p = 0.4314), čak 72 posto ispitanika ga je koristilo (dob: X^2 : 3.204, p = 0.0735; rod: X^2 : 0.081, p = 0.7759), što potvrđuje pretpostavku o izboru uzorka.



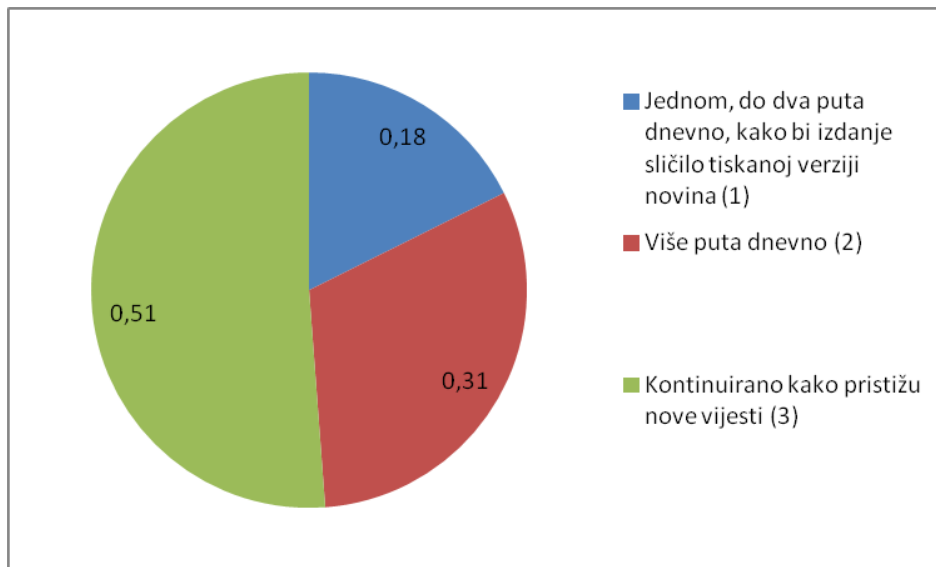
Slika 5.7. Jeste li ikada koristili tablet uređaj?

40 posto ispitanih čitalo je dnevne novine koristeći aplikaciju dnevnih novina za tablet (Slika 5.8.), pri čemu kod njihovih odgovora nije bilo razlike u odnosu na dobne (X^2 : 0.127, $p= 0.7216$) i rodne karakteristike (X^2 : 0.463, $p= 0.4962$). S obzirom da tek dvoje hrvatske dnevne novine imaju razvijene aplikacije za tablet, kao što je pokazalo ranije istraživanje [133], samo odgovori ovih ispitanika uzeti su u obzir kod analize odgovora na pitanje o kvaliteti postojećih aplikacija (Slike 5.10. i 5.11.).



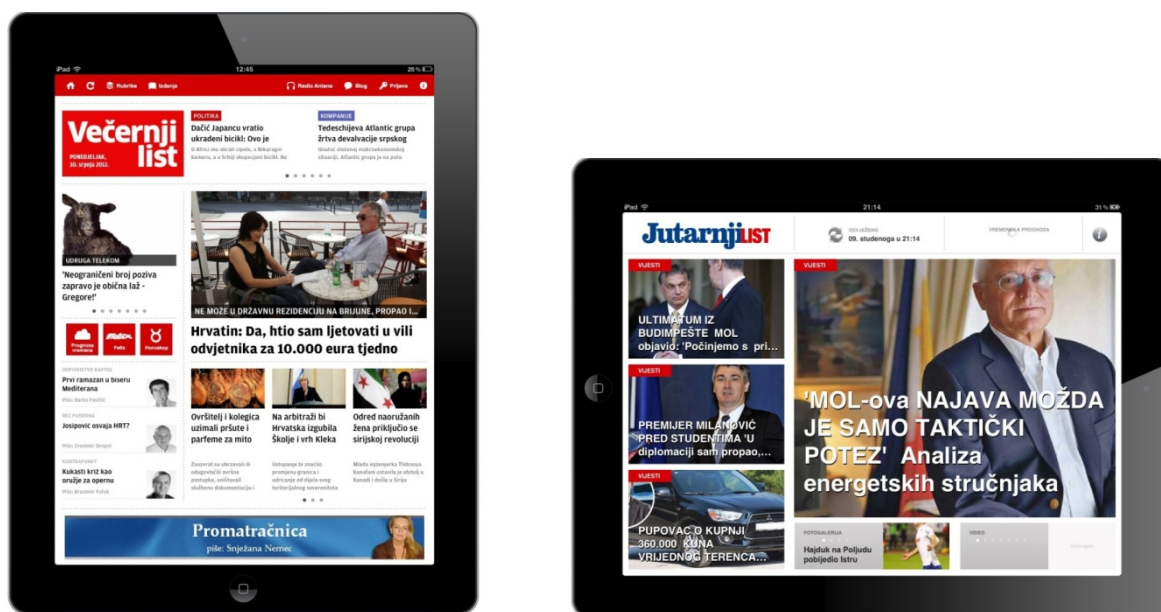
Slika 5.8. Jeste li čitali dnevne novine na tabletu kroz aplikaciju dnevnih novina?

Analiza odgovora (Slika 5.9.) pokazala je i da ne postoji statistički značajna povezanost između učestalosti čitanja dnevnih novina i osvježavanja ($X^2: 0.928, p=0.8187$), a većina korisnika smatra da aplikaciju treba kontinuirano osvježavati.



Slika 5.9. Dnevne novine u tablet aplikaciji trebalo bi osvježavati:

Iz ukupnog uzorka anketiranih, 31 ispitanik odgovorio je da je koristio jednu od postojeće dvije aplikacije hrvatskih dnevnih novina za tablet (u ovom slučaju za iPad) [133] uređaj i to: 15 korisnika koristilo je aplikaciju Večernjeg lista, a 16 korisnika aplikaciju Jutarnjeg lista.

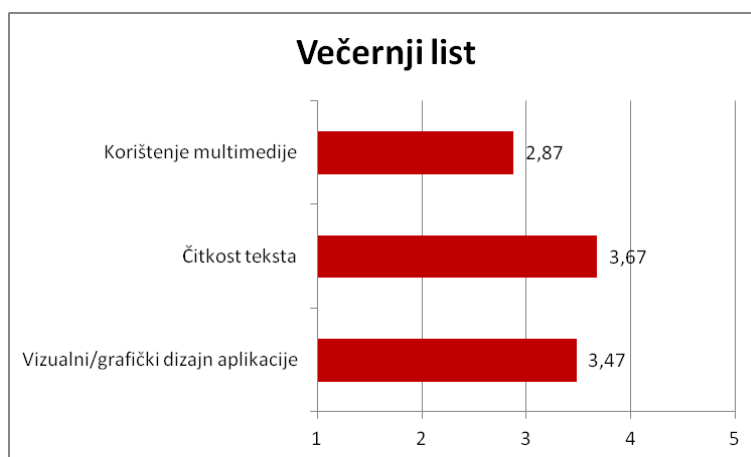


Slika 5.10. Promatrane aplikacije Večernjeg i Jutarnjeg lista

Svim ispitanicima je bila ponuđena mogućnost odgovora na pitanje o kvaliteti aplikacije kroz tri promatrane karakteristike:

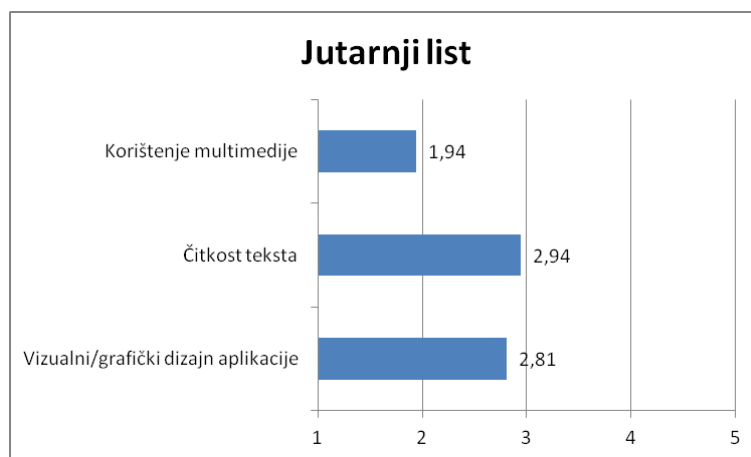
- a. Korištenje multimedijских formata
- b. Čitkost teksta
- c. Vizualni/grafički dizajn aplikacije.

Zadovoljstvo korištenjem aplikacije ispitano je Likertovom skalom (1 – 5, gdje je 1 – potpuno nezadovoljan, a 5 – potpuno zadovoljan). Dobiveni rezultati bit će korišteni za usporedbu s optimiziranim modelom.



Slika 5.11. Zadovoljstvo pojedinim aspektima aplikacije Večernjeg lista

Rezultati pokazuju da su ispitanici u statistički značajnom postotku ($p < 0,05$) bolje ocijenili aplikaciju Večernjeg lista u svim aspektima (Slika 5.11.), ponajviše u segmentu čitkosti teksta, koja je najbolje ocijenjena i kod aplikacije Jutarnjeg lista (Slika 5.12.), a zatim i u smislu grafičkog i vizualnog oblikovanja te korištenja multimedijских sadržaja i formata. Statistički test uzorka prikazan je u poglavlju 6. u Tablici 15.



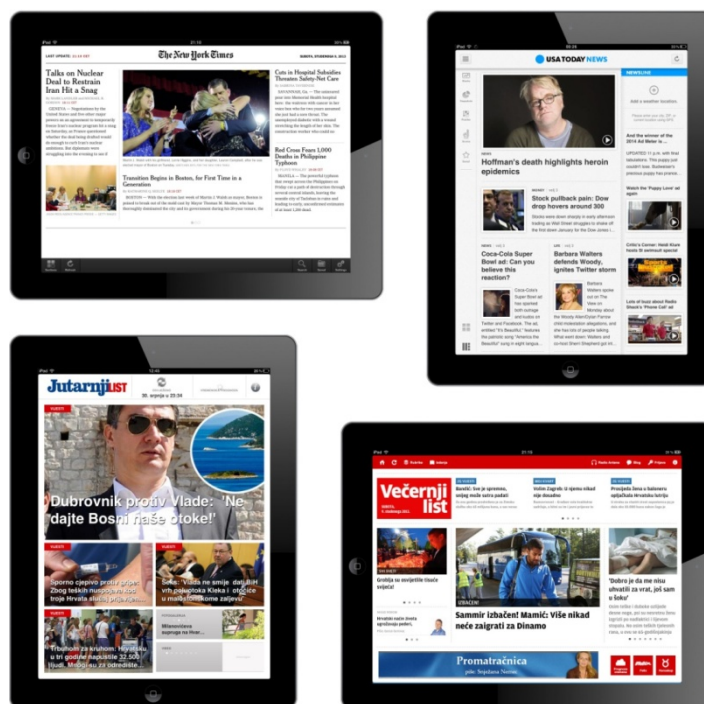
Slika 5.12. Zadovoljstvo pojedinim aspektima aplikacije Jutarnjeg lista

5.3. VIZUALNI ULAZI NA STRANICU 'TABLET NOVINA'

Vizualni ulazi na stranicu istraženi su 'eye tracking' metodom za dva tipa prijeloma naslovne stranice. Eye tracking metodom praćeno je i bilježeno kretanje pogleda. Sukladno ranijim analizama, te rezultatima anketa i fokus grupa koje su zaključile da su postojeća rješenja hrvatskih dnevnih novina nedostatna, za potrebe istraživanja korištene su četiri simulacije naslovnice tablet novina (dvije u uspravnom i dvije u položenom formatu). Istu metodologiju tzv. 'latinski kvadrat', korištena je i u ranijim istraživanjima [17, str. 68].

Prijelom simulacija rezultat je zajedničkog rada autora disertacije i ranije spomenutog tima, a bazira se na teorijskim postavkama te kombinaciji postojećih modela tablet aplikacija dnevnih novina (slika 5.13.).

Sukladno teorijskim postavkama, simulacije su poštivale pravila dizajna koja se koriste u tzv. Broadsheet ili ozbiljnom novinskom dizajnu (poštivanje mreže, čist i uredan prijelom, korištenje teksta članka, uredne fotografije...) za prvi, odnosno tabloidnom dizajnu (isticanje fotografija, neprirodno rezane fotografije, isticanje naslova, izbjegavanje teksta članka u prijelomu...) za drugi tip simulacije.



Slika 5.13. Primjeri prijeloma postojećih aplikacija

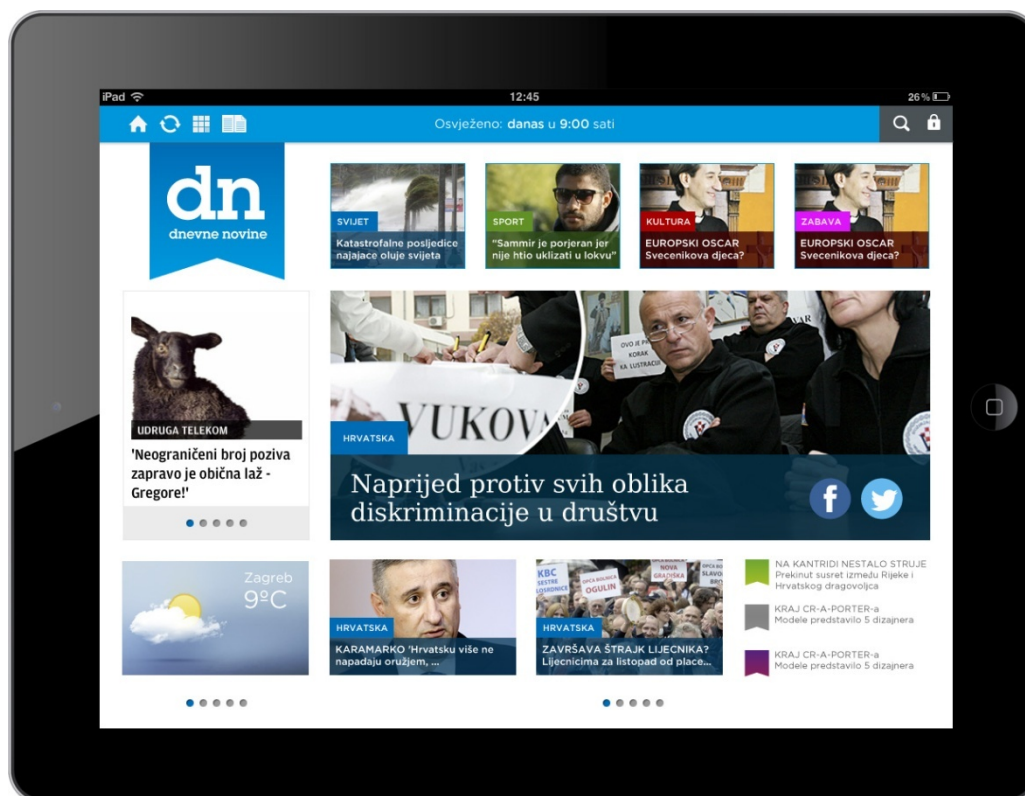
Napravljene su simulacije za tzv. ozbiljni (broadsheet) i tabloidni prijelom u dvije verzije: portretnom odnosno uspravnom i položenom odnosno pejzažnom (slike 5.14. – 5.17.). Kod broadsheet verzije kombinirana su tri vizualna elementa: fotografija, naslov i tekst samog članka, a kod tabloidne verzije tekst je izostavljen, zbog prirode prijeloma. Na taj način tabloidni prijelom slijedi već postavljene i uobičajene obrasce prijeloma hrvatskih dnevnih novina, a ne odskaače niti od teorijskih zapažanja vezanih uz tabloidni tip prijeloma.



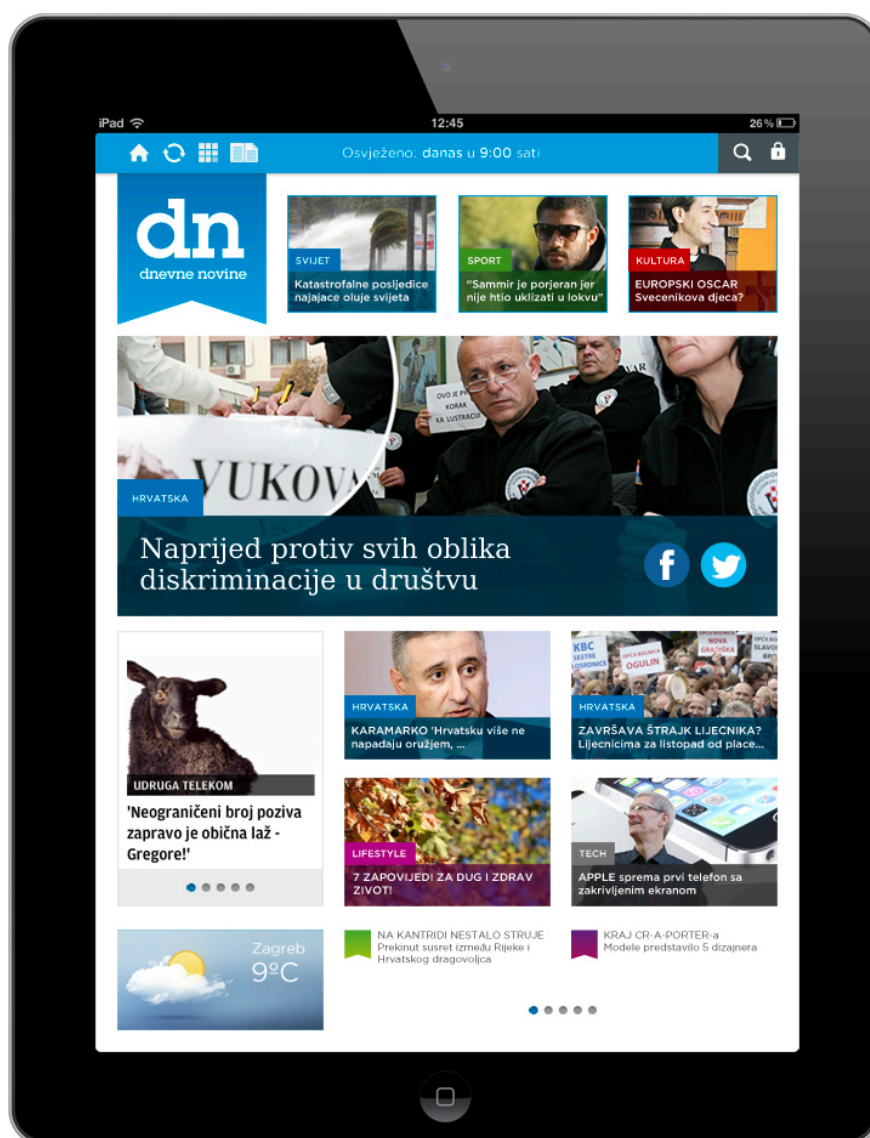
Slika 5.14. Istraživana naslovna stranica ozbiljnog prijeloma u uspravnom formatu



Slika 5.15. Istraživana naslovna stranica ozbiljnog prijeloma u položenom formatu



Slika 5.16. Istraživana naslovna stranica tabloidnog prijeloma u položenom formatu



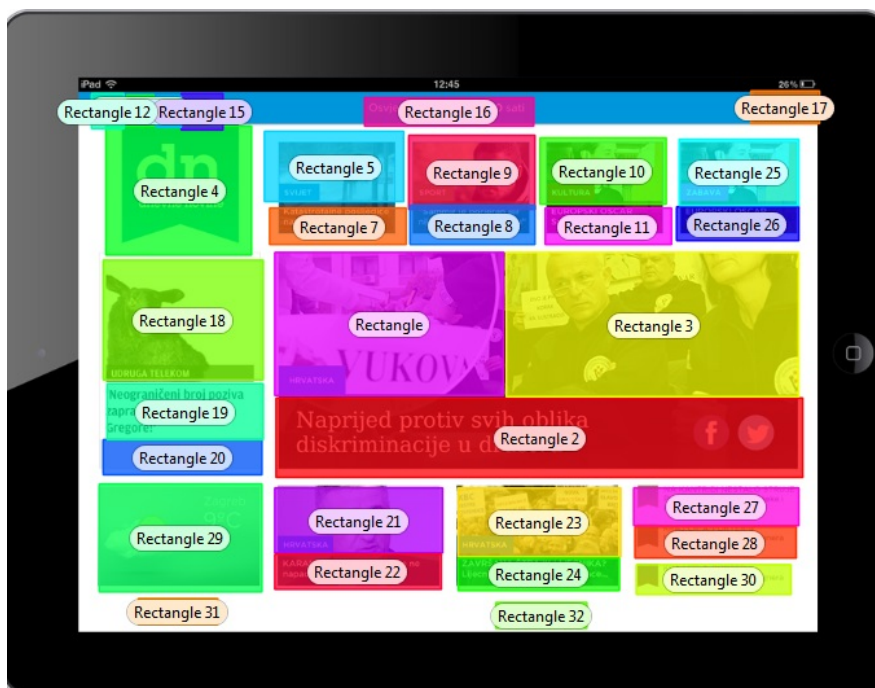
Slika 5.17. Istraživana naslovna stranica tabloidnog prijeloma u uspravnom formatu

Kako bi se ustanovio način gledanja stranice ispitanika, definirana su određena područja interesa na svakom od pojedina četiri rješenja

Područja interesa (Areas of Interest – AoI) definirana su njihovim vizualnim karakteristikama, kako je vidljivo na slikama 5.18. i 5.19. na način da je svaki pojedinačni grafički element (fotografija, naslov, tekst, ilustracija, elementi alatne trake, navigacijske ikone) smatran posebnim područjem interesa. Zbog promjene dizajna uzrokovanog promjenom orijentacije uređaja (iz portretne u pejzažnu), u slučaju ozbiljnog prijeloma dodana su dva grafička elementa više kod pejzažnog u odnosu na portretnu pa je istraživano 23 područja interesa u portretno i 25 u pejzažno orijentiranoj naslovnoj stranici. Kod tabloidnog prijeloma u oba slučaja promatrano je 31 područje interesa.



Slika 5.18. Područja interesa kod portretne verzije tabloidnog i ozbiljnog prijeloma



Slika 5.19. Područja interesa kod pejzažne verzije tabloidnog prijeloma



Slika 5.20. Područja interesa kod pejsažne verzije ozbiljnog prijeloma

Rezultati istraživanja sumirani su u četiri tablice (Tablice 5., 6., 8. i 9.) za četiri karakteristična tipa prijeloma sadržaja korisničkog sučelja, koje je podijeljeno u pripadajuća područja interesa (AoI).

Vrijednosti u tablici pokazuju srednje vrijednosti u sekundama za tri mjerene veličine:

- a) Vrijeme do prve fiksacije (Time to first fixation);
- b) Ukupno vrijeme fiksacije (Total Fixation Duration);
- c) Ukupno vrijeme posjeta području interesa (Total Visit Duration)

Vrijeme do prve fiksacije pokazuje koliko je vremena, od početka promatranja bilo potrebno da oko promatrača prvi puta vidi pripadajuće područje interesa. Ukupno vrijeme fiksacije, kao i ukupno vrijeme posjeta govore koliko je vremena pogled promatrača bio prisutan na određenom području interesa.

Podaci su prezentirani i u formi:

- a) kretanja pogleda (gaze plot),
- b) toplinskih mapa (heat maps) kroz definirana područja interesa.

Ozbiljan (broadsheet) prijelom

Kako bi se utvrdila statistička značajnost rezultata i kako bi se mogli donijeti zajednički zaključci za ovaj tip prijeloma, provedena je prije prikaza rezultata statistička provjera Mann-Whitneyevim testom koji se koristio s obzirom da se pokazalo nakon provjere Kolmogorov-Smirnovljevim testom da distribucija prikupljenih podataka značajno odstupala od normalne distribucije. Test je obuhvatio rezultate šest vizualno dominantnih područja interesa odnosno elemenata. Rezultati testa iz kojih je vidljivo da između pojedinih rezultata nema statistički značajne razlike ($p > 0.05$) prikazani su u tablici 4.

Tablica 4. Rezultati Mann-Whitneyevog testa za broadsheet prijelom

Područja interesa (AoI)	Mann-Whitney test	
	Z	p
Rectangle 2	-0.7614	0.4464
Rectangle 3	1.1455	0.2520
Rectangle 4	-0.6400	0.5221
Rectangle 5	0.5390	0.5899
Rectangle 7	0.1160	0.9077
Rectangle 8	-1.4248	0.1542

Iz rezultata prikazanih u tablicama 5. i 6. moguće je zaključiti da obrazac gledanja stranice prelomljena u tzv. ozbiljnom prijelomu slijedi obrazac gledanja karakterističan za gledanje stranice tiskanih novina kod kojih je ulaz na stranicu najčešće dominantni vizualni element odnosno vizualni element ili više njih spojenih u vizualnu ili logičku cjelinu.

Očekivano, najveći dio vremena ispitanici su proveli čitajući tekst, bilo naslova, bilo samog članka, ali prema redoslijedu kretanja fiksacija vidljivo je da su ispitanici prvo fiksirali fotografije i istaknute naslove, pročitali dijelove teksta u istaknutim člancima te provjerili ostatak ponuđenih naslova, a potom su fiksirali elemente alatne trake odnosno logotip aplikacije koji predstavlja identifikacijsku oznaku aplikacije i zamjena je za element koji se u tiskanom izdanju naziva glava novina. Ponuđene naslove s desne strane naslovnice fiksirali su redoslijedom odozgora prema dolje.

Tablica 5: rezultati mjerenja kretanja oka kod pejsažnog broadsheet prijeloma

Aoi	Time to First Fixation (s)			Total Fixation Duration (s)			Total Visit Duration (s)		
	Mean	Max	Min	Mean	Max	Min	Mean	Max	Min
Polygon	6,54	18,72	0	2,9	7,73	0,08	3,25	8,69	0,08
Rectangle	12,17	17,81	5,93	0,56	1,07	0,17	0,58	1,08	0,25
Rectangle 2	1,45	15,67	0	1,12	3,28	0,07	1,27	3,38	0,07
Rectangle 3	2,11	5,75	0	1,51	3,66	0,1	1,62	4,03	0,1
Rectangle 4	2,29	15,86	0,27	0,4	1,32	0,1	0,42	1,38	0,1
Rectangle 5	5,04	14,31	0,44	0,51	1,35	0,07	0,56	1,47	0,07
Rectangle 6	4,34	17,4	0,22	1,34	4,13	0,12	1,44	4,55	0,12
Rectangle 7	4,32	18,55	0,09	0,55	2,23	0,08	0,6	2,41	0,08
Rectangle 8	6,37	14,04	2,45	0,95	2,03	0,12	1,08	2,83	0,12
Rectangle 9	6,76	14,99	1,74	2,46	8,01	0,33	2,68	8,38	0,33
Rectangle 10	7,68	17,49	1,36	0,64	1,77	0,12	0,7	1,88	0,12
Rectangle 11	8,65	17,29	2,57	0,9	2,55	0,18	0,94	2,71	0,18
Rectangle 12	9,76	13,6	2,89	1,49	2,45	0,38	1,53	2,56	0,38
Rectangle 13	10,76	15,44	0	0,88	2,48	0,25	0,98	2,56	0,25
Rectangle 14	12,34	18,04	4,46	1,14	2,28	0,32	1,24	2,36	0,32
Rectangle 15	16,59	19,47	6,89	0,3	0,5	0,13	0,3	0,5	0,13
Rectangle 16	0	0	0	0	0	0	0	0	0
Rectangle 17	0	0	0	0	0	0	0	0	0
Rectangle 18	1,12	1,12	1,12	0,63	0,63	0,63	0,65	0,65	0,65
Rectangle 19	12,6	13,35	11,76	0,28	0,43	0,15	0,28	0,43	0,15
Rectangle 20	13,03	13,1	12,97	0,22	0,22	0,22	0,22	0,22	0,22
Rectangle 21	0	0	0	0	0	0	0	0	0
Rectangle 22	15,4	17,99	12,81	0,29	0,4	0,18	0,29	0,4	0,18
Rectangle 23	5	12,83	0	0,42	1,13	0,06	0,46	1,28	0,06
Rectangle 24	0	0	0	1,2	1,2	1,2	1,22	1,22	1,22

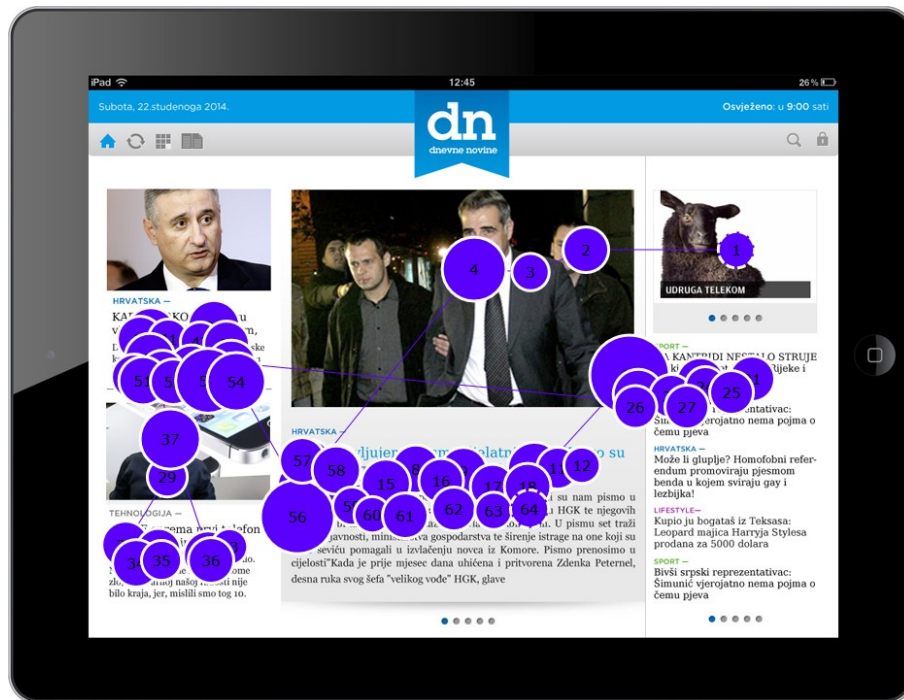


Slika 5.21. Kretanje pogleda kod pejzažno orijentirane naslovnice broadsheet prijeloma za srednje vrijednosti svih ispitanika



Slika 5.22. Toplinska mapa kod pejzažno orijentirane naslovnice broadsheet prijeloma za ukupne vrijednosti svih ispitanika

Na slici 5.21. vidljivi su rezultati mjerenja za ispitanika 34 koja pokazuje uzorak koji se ponavlja kod većine mjerenja: ulaz na stranicu je kroz dominantnu fotografiju i dominantni naslov.



Slika 5.23. Kretanje pogleda na pejzažno orijentiranoj naslovnici ispitanika 34

Sličan uzorak gledanja vidljiv je i na slikama 5.23. i 5.24. Vidljivo je kako u oba slučaja ulaz na stranicu predstavlja dominantna fotografija na sredini stranice, koja, povezana s naslovom članka prelomljenog po sredini stranice predstavlja jednu vizualnu cjelinu. S obzirom na smještaj u središtu stranice, fotografija, naslov i tekst članka predstavljaju centar vizualnog interesa na promatranoj stranici.



Slika 5.24. Kretanje pogleda na pejzažno orijentiranoj naslovnici ispitanika 27

Tablica 6: Rezultati mjerenja kretanja oka kod portretnog broadsheet prijeloma

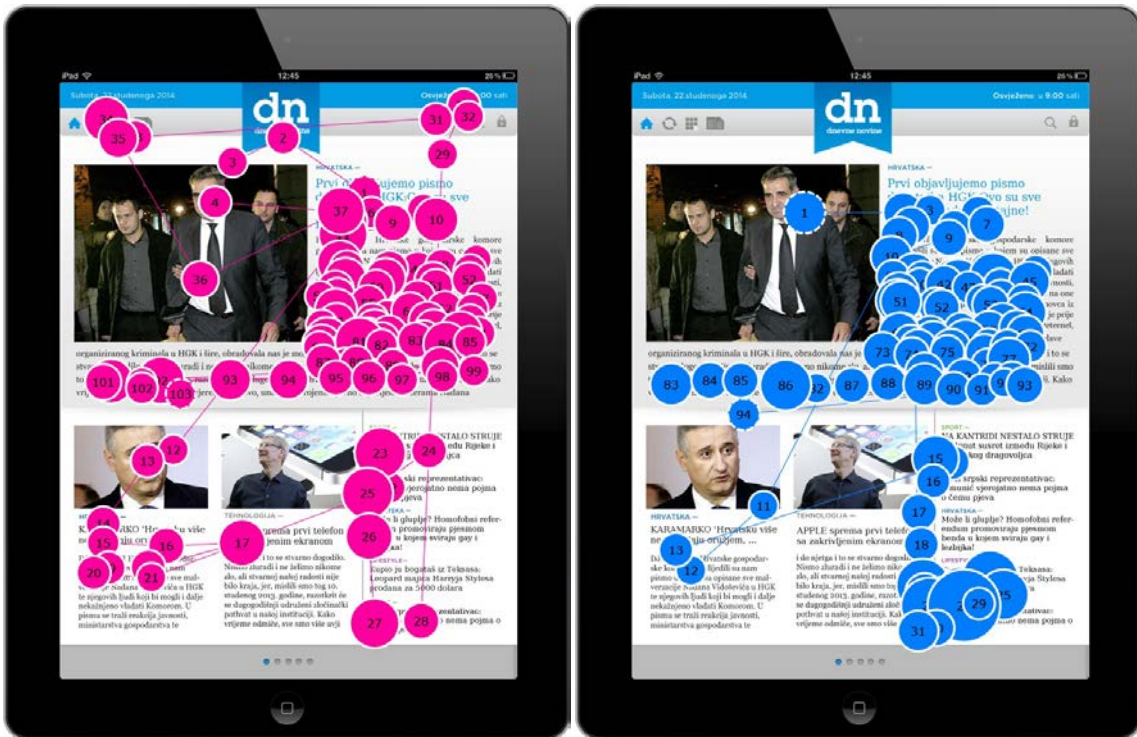
Aol	Time to First Fixation (s)			Total Fixation Duration (s)			Total Visit Duration (s)		
	Mean	Max	Min	Mean	Max	Min	Mean	Max	Min
Polygon	4,29	18,78	0	5,74	14,01	0,13	6,51	15,77	0,13
Rectangle	4,08	13,93	0,16	0,6	1,55	0,13	0,64	1,7	0,13
Rectangle 2	1,07	11,47	0	0,76	1,83	0,12	1,03	4,83	0,12
Rectangle 3	2,98	13,02	0	1,94	3,85	0,08	2,29	4,05	0,08
Rectangle 4	5,67	12,57	0,12	0,31	0,53	0,1	0,34	0,85	0,1
Rectangle 5	9,02	11,79	0	1,05	3	0,2	1,16	3,15	0,2
Rectangle 6	8,67	15,79	0,28	1,64	6,59	0,12	1,84	7,48	0,12
Rectangle 7	6,86	15,19	0,28	0,35	0,67	0,08	0,4	1,05	0,08
Rectangle 8	10,55	16,5	3,32	1,14	2,76	0,22	1,23	3,3	0,22
Rectangle 9	8,27	17,67	0	3,11	9,89	0,11	3,52	11,04	0,11
Rectangle 10	9,54	15,06	3,48	1,87	4,46	0,1	2,02	4,96	0,1
Rectangle 11	9,18	19,82	1,06	1,75	5,96	0,15	1,93	6,68	0,15
Rectangle 12	10,46	14,74	0	1,82	4,98	0,48	1,97	5,68	0,48
Rectangle 13	9,96	19,59	0	1,4	2,86	0,17	1,51	3,16	0,17
Rectangle 14	12,1	24,49	0	2,05	6,01	0,2	2,22	6,3	0,2
Rectangle 15	11,27	15,65	7,15	1,02	1,7	0,2	1,11	1,73	0,2
Rectangle 16	15,06	15,06	15,06	1,52	1,52	1,52	2,23	2,23	2,23
Rectangle 17	0	0	0	0	0	0	0	0	0
Rectangle 18	9,53	14,96	4,09	0,51	0,78	0,28	0,51	0,78	0,28
Rectangle 19	15,94	16,56	0,48	0,41	0,62	0,18	0,41	0,62	0,18
Rectangle 20	13,72	16,63	4,88	0,22	0,45	0,07	0,22	0,45	0,07
Rectangle 21	17,09	18,44	8,74	0,36	0,8	0,08	0,51	1,25	0,08
Rectangle 22	19,28	19,77	9,14	0,35	0,63	0,13	0,37	0,63	0,13



Slika 5.25. Kretanje pogleda (lijevo) i toplinske mape (desno) kod portretno orijentirane naslovnice broadsheet prijeloma za srednje (lijevo) odnosno ukupne (desno) vrijednosti svih ispitanika



Slika 5.26. Kretanje pogleda na portretno orijentiranoj naslovnici ispitanika 17 (lijevo) i 18 (desno)



Slika 5.27. Kretanje pogleda na portretno orijentiranoj naslovnici ispitanika 8 (lijevo) i 14 (desno)

Tabloidni prijelom

I u ovom slučaju, kao i u slučaju ozbiljnog prijeloma, kako bi se utvrdila statistička značajnost rezultata i kako bi se mogli donijeti zajednički zaključci, provedena je prije prikaza rezultata statistička provjera Mann-Whitneyevim testom koji se koristio s obzirom da je distribucija prikupljenih podataka značajno odstupala od normalne distribucije, što je ustanovljeno primjenom Kolmogorov-Smirnovljevog testa. Test je obuhvatio rezultate šest vizualno dominantnih područja interesa odnosno elemenata. Rezultati testa iz kojih je vidljivo da između pojedinih rezultata, izuzev u slučaju područja interesa Rectangle 3 ($p=0.0061$) nema statistički značajne razlike ($p>0.05$) prikazani su u tablici 7.

Tablica 7. Rezultati Mann-Whitneyevog testa za tabloidni prijelom

Područja interesa (AoI)	Mann-Whitney test	
	Z	p
Rectangle	-1.5349	0.1248
Rectangle 2	-0.1486	0.8819
Rectangle 3	2.7400	0.0061
Rectangle 4	1.6769	0.0936
Rectangle 5	0.6955	0.4867
Rectangle 7	1.0106	0.3122
Rectangle 8	0.9722	0.3310
Rectangle 9	1.5367	0.1244
Rectangle 10	0.7243	0.4689
Rectangle 11	1.3303	0.1834
Rectangle 21	0.6137	0.5394
Rectangle 22	1.2757	0.2021
Rectangle 23	1.2028	0.2291
Rectangle 24	0.9716	0.3313
Rectangle 25	-0.9293	0.3527
Rectangle 26	1.6001	0.1096
Rectangle 27	-0.0355	0.9717
Rectangle 28	-0.5305	0.5957

Kad je riječ o području interesa Rectangle 3, vidljivo je da je riječ o fotografiji koja je kodirana kao zasebno područje interesa, iako zajedno s fotografijom u području interesa kodiranom kao Rectangle čini vizualno povezanu cjelinu. Upravo ta povezanost, koja zajedno s dominantnim naslovom u području interesa Rectangle 3 čini dominantan vizualni element na stranici odnosno čini centar vizualnog interesa, može biti razlog zbog kojeg je došlo do statističkog odstupanja u ovom slučaju. S obzirom da je riječ o odstupanju u slučaju samo jednog područja interesa i da ono odskače od obrazaca ponašanja zabilježenog kod sva preostala tri promatrana slučaja, potrebno je u naknadnim istraživanjima provjeriti postoji li određen uzorak ili je došlo do ekstremnog ponašanja ispitanika u uzorku, no to nije dio ovog rada.

Iz rezultata prikazanih u tablicama 8. i 9. moguće je zaključiti, kao i u slučaju ozbiljnog prijeloma, vizualni ulaz na stranicu čine vizualno dominantni elementi odnosno centar vizualnog interesa kojeg čine dvije dominantne fotografije (Rectangle i Rectangle 3) te dominantni naslov (Rectangle 2), a potom se izmjenjuju kao ulaz naslovi i fotografije u gornjem dijelu stranice. Ispitanici su kao ulaz na stranicu u ovom slučaju odabirali i logotip aplikacije, za koji se može pretpostaviti da služi kao identifikacijski element i uspostavlja osjećaj prepoznatljivosti, poznatosti i potencijalno sigurnosti čitatelja aplikacije.

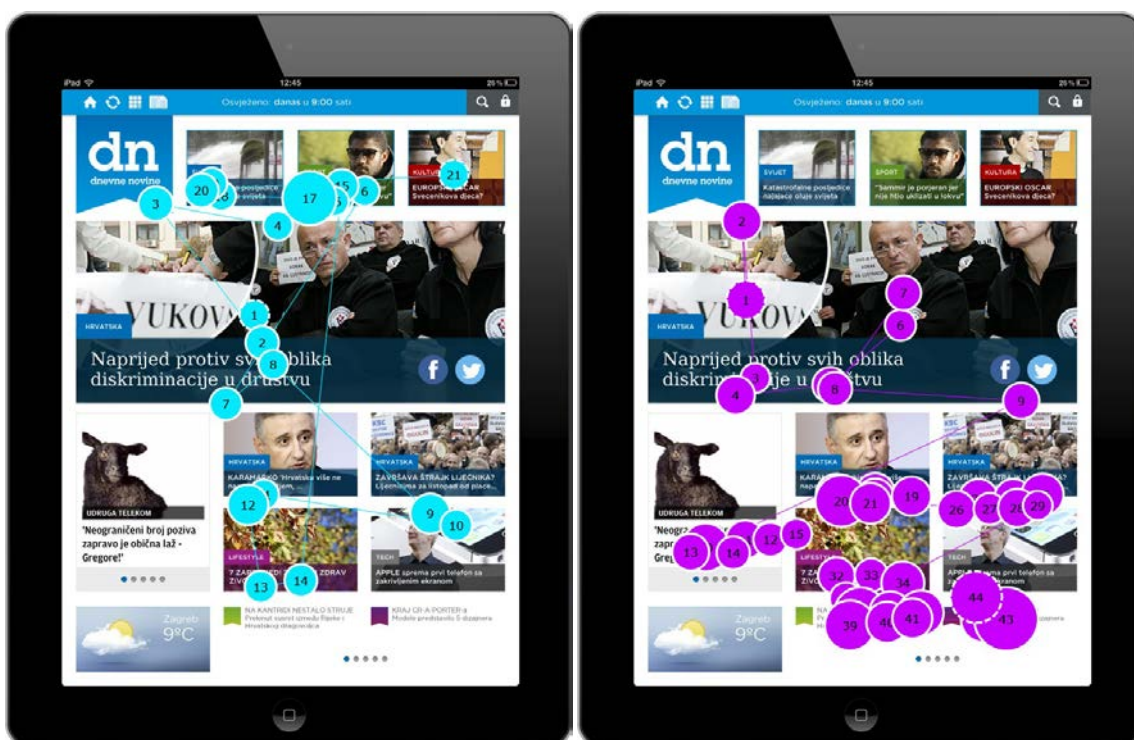
Iz svega rečenog može se zaključiti da obrazac gledanja stranice prelomljene u tabloidnom prijelomu slijedi obrazac gledanja karakterističan za gledanje stranice tiskanih novina kod kojih je ulaz na stranicu najčešće dominantni vizualni element odnosno vizualni element ili više njih spojenih u vizualnu ili logičku cjelinu, odnosno najveća fotografija ili pak fotografija neobičnih dimenzija i izgleda te groteskni naslovi, karakteristični za tabloidni prijelom novina.

Tablica 8. Rezultati mjerenja kretanja oka kod portretnog tabloidnog prijeloma

Aoi	Time to First Fixation (s)			Total Fixation Duration (s)			Total Visit Duration (s)		
	Mean	Max	Min	Mean	Max	Min	Mean	Max	Min
Rectangle	4,11	14,64	0	0,55	2,33	0,08	0,6	2,41	0,08
Rectangle 2	2,47	9,3	0	1,78	6,79	0,28	2,15	7,19	0,33
Rectangle 3	2,12	8,82	0	1,32	3,86	0,15	1,4	4	0,18
Rectangle 4	0,74	3,43	0,28	0,57	1,4	0,12	0,67	1,48	0,12
Rectangle 5	7,88	10,22	3,97	0,39	0,62	0,07	0,47	0,83	0,07
Rectangle 7	2,73	10,81	0	0,71	2,1	0,12	0,75	2,15	0,12
Rectangle 8	4,71	12,63	0	0,8	2,35	0,12	0,94	2,46	0,12
Rectangle 9	4,78	11	1,01	0,14	0,23	0,07	0,14	0,23	0,07
Rectangle 10	9,31	13,89	5,34	0,12	0,22	0,08	0,12	0,22	0,08
Rectangle 11	6,36	10,45	1,47	1,23	3,06	0,2	1,3	3,16	0,2
Rectangle 12	6,34	6,34	6,34	0,07	0,07	0,07	0,07	0,07	0,07
Rectangle 13	0	0	0	0	0	0	0	0	0
Rectangle 14	0	0	0	0	0	0	0	0	0
Rectangle 15	0	0	0	0	0	0	0	0	0
Rectangle 16	3,78	3,78	3,78	0,33	0,33	0,33	0,55	0,55	0,55
Rectangle 17	0	0	0	0	0	0	0	0	0
Rectangle 18	4,76	12,84	0,07	0,46	1,6	0,07	0,47	1,65	0,07
Rectangle 19	6,53	14,07	1,26	0,79	1,78	0,07	0,84	1,88	0,07
Rectangle 20	6,59	9,63	1,06	0,51	1,3	0,15	0,62	1,33	0,15
Rectangle 21	6,1	14,9	0,36	0,18	0,4	0,07	0,18	0,43	0,07
Rectangle 22	5,66	14,9	0,74	0,72	1,85	0,08	0,75	1,95	0,08
Rectangle 23	6,3	11,94	2,26	0,27	0,6	0,07	0,27	0,6	0,07
Rectangle 24	9,25	12,43	5,33	0,79	1,87	0,18	0,85	1,97	0,18
Rectangle 25	6,74	13,61	0,85	0,62	2,4	0,1	0,73	2,9	0,1
Rectangle 26	6,88	8,86	3,27	0,66	1,23	0,12	0,74	1,57	0,12
Rectangle 27	7,42	14,42	1,79	0,48	0,92	0,1	0,53	1,25	0,1
Rectangle 28	9,13	14,46	3,51	0,98	2,49	0,08	1,02	2,52	0,08
Rectangle 29	9,32	14,56	3,55	0,64	1,28	0,31	0,74	1,35	0,35
Rectangle 30	7,23	14,54	0,76	1,1	3,33	0,12	1,16	3,5	0,12
Rectangle 31	9,28	14,2	4,17	0,78	1,68	0,12	0,86	1,8	0,12
Rectangle 32	8,27	8,27	8,27	0,17	0,17	0,17	0,17	0,17	0,17



Slika 5.28. Kretanje pogleda (lijevo) i toplinske mape (desno) kod portretno orijentirane naslovnice tabloidnog prijeloma za srednje (lijevo) odnosno ukupne (desno) vrijednosti svih ispitanika



Slika 5.29. Kretanje pogleda na portretno orijentiranoj naslovnici ispitanika 9 (lijevo) i 17 (desno)

Tablica 9. Rezultati mjerenja kretanja oka kod pejzažnog tabloidnog prijeloma

Aoi	Time to First Fixation (s)			Total Fixation Duration (s)			Total Visit Duration (s)		
	Mean	Max	Min	Mean	Max	Min	Mean	Max	Min
Rectangle	1,65	9,36	0	1,23	6,48	0,1	14	1,28	6,72
Rectangle 2	2,13	9,55	0	1,28	3,27	0,15	17	1,59	4,17
Rectangle 3	6,31	12,9	0,49	0,8	3,31	0,07	15	0,87	3,56
Rectangle 4	2,41	9,62	0,44	0,58	2,6	0,13	12	0,61	2,75
Rectangle 5	3,36	15,05	0	0,26	1	0,01	6	0,27	1,05
Rectangle 7	4,31	11,21	0,26	0,79	1,78	0,17	12	0,83	1,9
Rectangle 8	3,23	9,51	0,01	0,8	2,31	0,08	13	0,87	2,35
Rectangle 9	4,07	14,03	0,02	0,33	0,85	0,1	10	0,36	0,87
Rectangle 10	7,84	14,79	0,69	0,32	0,62	0,1	6	0,34	0,63
Rectangle 11	7,69	13,76	1,2	0,5	1,85	0,18	12	0,55	1,9
Rectangle 12	0	0	0	0	0	0	0	0	0
Rectangle 13	0	0	0	0	0	0	0	0	0
Rectangle 14	5,84	5,84	5,84	0,35	0,35	0,35	1	0,35	0,35
Rectangle 15	0	0	0	0	0	0	0	0	0
Rectangle 16	5,17	10,33	0	0,11	0,22	0	2	0,11	0,22
Rectangle 17	0	0	0	0	0	0	0	0	0
Rectangle 18	4,84	10,48	0,71	0,28	0,77	0,13	9	0,29	0,77
Rectangle 19	5,04	11,08	1,52	0,96	4,56	0,17	13	1,03	4,78
Rectangle 20	5,41	11,28	1,86	0,4	0,58	0,1	4	0,41	0,6
Rectangle 21	5,1	11,66	0,04	0,29	0,83	0,08	10	0,3	0,85
Rectangle 22	6,16	11,35	1,28	0,63	3,01	0,1	15	0,65	3,11
Rectangle 23	5,95	10,42	2,73	0,33	0,9	0,08	6	0,34	0,97
Rectangle 24	7,01	14,62	2,26	0,7	2,38	0,07	12	0,76	2,53
Rectangle 25	11,22	14,54	3,97	0,46	1,07	0,17	6	0,47	1,12
Rectangle 26	8,6	14,06	2,11	0,61	1,87	0,15	13	0,66	2,55
Rectangle 27	7,63	13,66	1,35	0,6	1,4	0,1	8	0,84	1,88
Rectangle 28	6,81	10,55	1,13	0,74	1,87	0,2	7	0,76	1,95
Rectangle 29	5,38	8,3	1,62	0,45	0,98	0,17	10	0,46	1,03
Rectangle 30	7,91	11,28	2,05	0,32	0,47	0,18	4	0,33	0,47
Rectangle 31	7,33	7,63	7,03	0,16	0,17	0,15	2	0,16	0,17
Rectangle 32	10,99	11,13	10,75	0,65	1,05	0,2	3	0,67	1,1



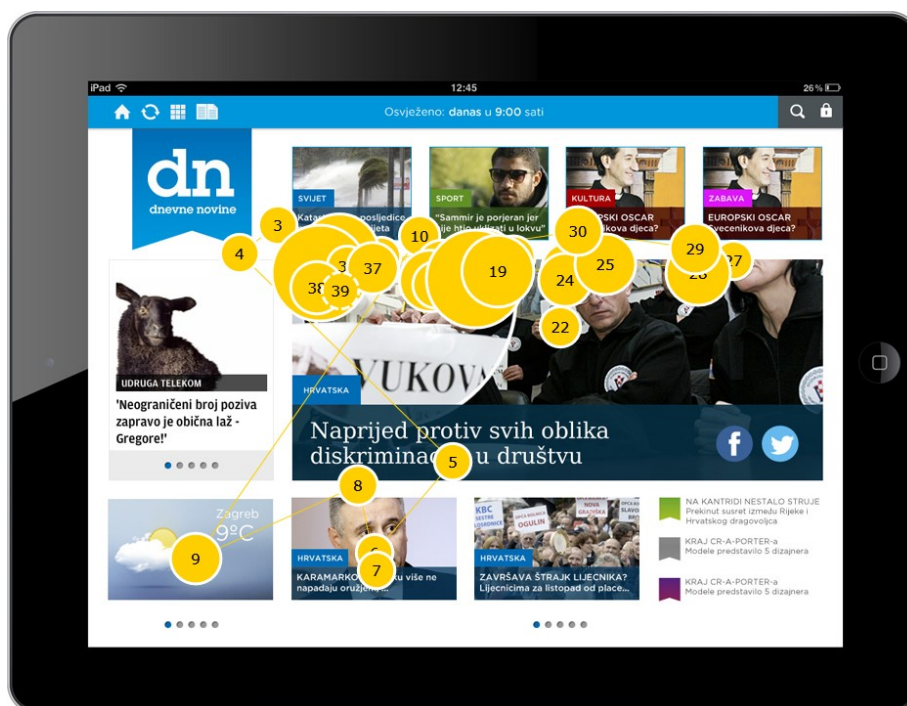
Slika 5.30. Kretanje pogleda kod pejzažno orijentirane naslovnice tabloidnog prijeloma za srednje vrijednosti svih ispitanika



Slika 5.31. Toplinska mapa kod pejzažno orijentirane naslovnice tabloidnog prijeloma za ukupne vrijednosti svih ispitanika



Slika 5.32. Kretanje pogleda na pejzažno orijentiranoj naslovnici ispitanika 25



Slika 5.33. Kretanje pogleda na pejzažno orijentiranoj naslovnici ispitanika 19

Kao što je vidljivo na primjerima na slikama 5.32. i 5.33., dva su osnovna tipa gledanja zabilježena kod većine ispitanika. Prvi tip fokusiran je na pregled fotografija, drugi tip uz fotografije gleda i njima pridružene naslove. Iz rezultata istraživanja vidljivo je da samostalni naslovi, kao linkovi na unutrašnje članke (Rectangle 27, 28 i 30), u ovom tipu prijelom koji je bogat fotografijama i vizualno dominantnim naslovima, ne dolazi do izražaja.

5.4. ČITKOST TEKSTA TABLET NOVINA

Čitkost teksta za tablet novine ispitana je istraživanjem u kojem je sudjelovalo 220 ispitanika koji su u grupama od 20 ispitanika čitali istovjetan tekst prelomljen u različitim tipografskim pismima i pismovnim veličinama te apliciran na papir, zaslon računala i na tablet.

Tekst je prelomljen u četiri pismovne veličine (10, 12, 14 i 16 pt), korištena su dva fonta (Minion Pro – serifni font i Gotham – sans serif, koji su u praksi među najkorištenijim fontovima za dizajn za zaslon) te prijelom u jednom odnosno u dva stupca. Varijacije teksta pripremljene su za digitalnu reprodukciju korištenjem mrežne stranice programirane za responzivni dizajn, kako bi se održala konstantna veličina i prijelom teksta. Tekst je otisnut na papir u rezoluciji 300 dpi, prikazan na HD zaslonu računala rezolucije 1366x768 px te na zaslonu tablet računala rezolucije 1024x768 px i 132ppi.

Usporedbe brzine i subjektivne težine čitanja između različitih medija, između jedno- i dvo-kolumnog prijeloma (veličine stupca 192 odnosno 94 mm) te kontrolne grupe obavljene su upotrebom fonta veličine 12 točaka.

Sukladno preporukama za težinu čitanja [90], izabran je tekst srednje težine (LIX = 37.35). Tekst je preuzet iz dnevnog tiska, a predstavlja jedan segment dužeg članka, objavljenog u Jutarnjem listu, 31. studenog 2013. pod naslovom: 'NAJSRETNIJI NA SVIJETU Ne žele kredite i ne ljute se ako ostanu bez posla. Kako je to moguće?'

Da bi postojao u Danskoj, da bi mogao imati ime, adresu, kupiti auto ili televizor, uplatiti loto, platiti struju, posuditi knjigu u knjižnici ili upisati u fitnes klub - moraš imati žutu karticu. Malu plastičnu žutu karticu s desetoznamenastim poreznim brojem CPR-om. Ta kartica "zna" gdje živiš, jesi li oženjen i s kim, koliko imaš djece, u koji vrtić ili školu idu, gdje radiš, kolika ti je plaća, koliko imaš računa i u kojim bankama, što posjeduješ u Danskoj, a što u inozemstvu, tko ti je doktor, imaš li mjesečnu kartu za podzemnu. I to je jedina iskaznica koju Danci imaju - to je i osobna, i putovnica, i zdravstvena knjižica. I s njom obavljaš sve. Nema papirologije koja ti treba da bi nešto obavio - nema, primjerice, vjenčanih ni rodnih listova, ni čekanja na njih, "ne starijih od šest mjeseci". Danska birokracija funkcionira besprijekorno. Bez iznimke - besprijekorno. Oduševi to u prvom trenu strance s juga, izluđene beskonačnim čekanjima na bezbrojnim šalterima i plaćanjima pustih biljega i naknada.

Subjektivna težina čitanja ispitana je Likertovom skalom (1-10, gdje je 1 – potpuno nezadovoljan i 10 – potpuno zadovoljan).

Ispitanici su bili podijeljeni u 11 grupa od po 20 studenata s pripadajućim rezultatima vremena čitanja (T1 – T11) i subjektivnog doživljaja težine čitanja (Z1-Z11) prikazanim u Tablici 10., pri čemu je Grupa 11, s pripadajućim rezultatima (T11; Z11) poslužila kao kontrolna grupa kojoj je objašnjeno da će nakon čitanja biti ispitana o pročitanoj sadržaju:

- Grupa 1 – 12 pt (Minion Pro), papir;
- Grupa 2 – 12 px (Minion Pro), računalo;
- Grupa 3 – 12 px (Minion Pro), tablet;
- Grupa 4 - 12 px (Gotham), tablet;
- Grupa 5 – 12 px (Minion Pro), dvostupčani prijelom, tablet;
- Grupa 6 – 10 px (Minion Pro), tablet;
- Grupa 7 – 14 px (Minion Pro), tablet;
- Grupa 8 – 16 px (Minion Pro), tablet;
- Grupa 9 - 14 px (Gotham), tablet;
- Grupa 10 – 16 px (Gotham), tablet;
- Grupa 11 – 12 px (Minion Pro), tablet – kontrolna grupa.

Rezultati mjerenja prikazani su u Tablici 10. gdje T predstavlja vrijeme čitanja, a Z subjektivni osjećaj težine čitanja, u smislu naprezanja očnog aparata i drugih fizičkih i tehnoloških uvjeta čitanja.

Tablica 10. Rezultati duljine čitanja i subjektivnog doživljaja težine čitanja

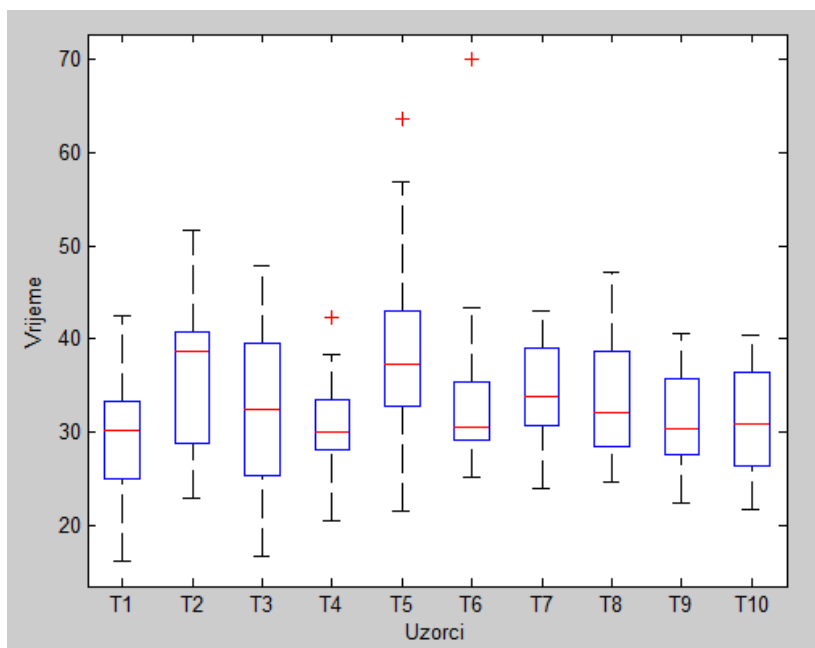
sp/rez	T1	Z1	T2	Z2	T3	Z3	T4	Z4	T5	Z5	T6	Z6	T7	Z7	T8	Z8	T9	Z9	T10	Z10	T11	Z11
1	30,99	6	37,01	10	31,09	7	33,19	9	42,85	5	30,53	8	39,99	6	28,65	7	40,15	9	40,37	8	23,93	10
2	18,19	8	40,72	9	47,90	7	27,93	6	30,47	5	36,73	6	37,23	6	39,29	5	27,90	6	38,74	7	28,86	7
3	42,50	7	25,91	8	32,68	6	28,56	7	32,74	5	29,51	7	32,16	7	35,50	7	36,46	7	33,90	6	46,93	5
4	30,55	8	51,64	8	32,19	8	24,07	9	43,03	7	32,35	8	35,48	4	37,93	8	37,88	9	28,82	10	27,07	7
5	16,13	7	38,61	7	32,71	8	28,87	9	26,86	9	70,03	2	43,07	5	28,17	8	30,23	3	24,33	7	38,47	6
6	38,34	8	43,06	9	30,50	7	28,08	6	21,57	6	40,89	8	30,77	8	29,50	10	33,32	8	36,11	8	35,41	7
7	25,74	10	40,66	6	42,73	7	37,67	7	47,63	9	29,22	9	39,44	9	33,60	10	32,82	9	28,27	7	37,24	7
8	23,00	9	22,93	9	40,82	9	20,51	9	56,78	5	43,35	3	39,70	9	27,08	6	26,11	3	36,88	7	39,25	8
9	27,31	10	38,61	9	38,34	8	26,93	10	41,29	5	30,37	8	26,28	8	42,55	6	40,58	9	30,66	8	43,28	5
10	29,64	9	43,50	7	19,41	6	31,42	8	29,67	8	31,23	8	30,90	10	34,88	5	29,52	10	24,14	7	33,83	7
11	35,41	7	36,86	6	31,75	4	24,93	9	46,73	7	25,22	7	23,92	8	28,20	6	24,25	9	27,68	9	21,69	9
12	31,35	9	40,13	5	24,92	6	31,04	6	63,55	6	42,75	7	31,01	8	32,01	9	27,44	8	23,51	10	32,37	6
13	35,77	7	39,60	5	25,67	5	33,80	8	32,85	4	27,17	8	34,22	9	47,15	8	34,99	10	40,03	8	34,64	7
14	33,14	8	28,21	7	24,25	10	42,36	6	40,58	4	33,93	8	30,67	10	32,13	9	22,33	10	34,18	8	20,89	8
15	21,19	9	24,60	8	46,81	9	29,01	9	35,07	3	28,61	9	34,57	6	45,92	7	27,60	10	36,68	8	29,95	7
16	32,01	8	29,41	5	16,71	6	32,82	8	37,51	5	27,74	7	28,06	7	29,30	8	25,10	8	25,01	10	35,33	7
17	24,34	9	35,56	7	35,31	8	33,94	6	35,59	5	29,73	5	30,38	9	24,58	9	30,40	6	29,26	7	32,50	6
18	27,89	10	47,27	6	37,25	5	38,31	6	42,69	5	29,66	7	41,80	7	31,39	7	37,91	7	31,22	7	36,90	6
19	33,31	8	40,18	4	22,76	8	28,13	8	37,01	6	29,16	7	33,40	7	42,01	5	29,12	8	32,53	7	27,84	8
20	29,27	8	26,40	7	42,48	6	31,62	7	35,01	6	31,66	7	38,69	6	26,93	10	30,42	8	21,66	9	29,50	7
Mean	29,30	8,25	36,54	7,10	32,81	7,00	30,66	7,65	38,97	5,75	33,99	6,95	34,09	7,45	33,84	7,50	31,23	7,85	31,20	7,90	32,79	7,00

S obzirom da distribucija podataka dobivenih istraživanjem statistički značajno odstupaju od normalne razdiobe, što je testirano Kolmogorov-Smirnovljevim testom, sa svrhom ispitivanja statističkih značajnosti razlika između uzoraka korišten je Kruskal-Wallisov test koji pripada skupini neparametarskih testova. U slučaju postojanja statistički značajne razlike između uzoraka, testom za višestruko uspoređivanje provjereno je koji se uzorci statistički značajno razlikuju. Utvrđeno je da nema statistički značajne razlike ($p > 0.05$) između rezultata Grupe 3 i Grupe 11 koja je poslužila kao kontrolna grupa. Tablica 11. sadrži izabrane pokazatelje deskriptivne statistike koji se odnose na vrijeme potrebno za čitanje teksta te izabrane pokazatelje deskriptivne statistike koji se odnose na subjektivni osjećaj težine teksta. Ujedno sadrži i pridružene rezultate Kruskal-Wallisovog testa. Statistički značajnima smatrane su razlike potvrđene na razini $p < 0.05$.

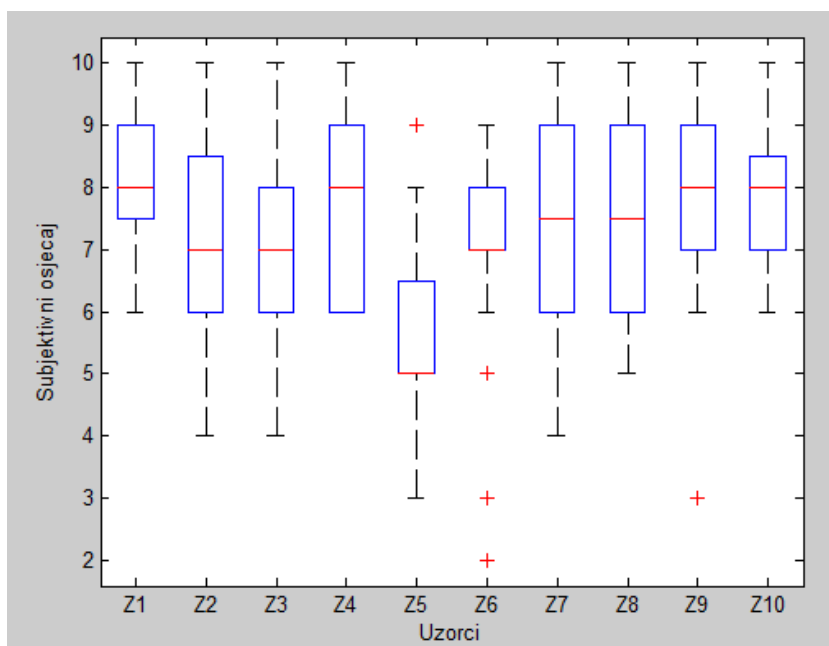
Tablica 11. Statistička analiza rezultata mjerenja čitkosti za promatrane grupe

UZORAK	Aritmetička sredina (s)	Medijan (s)	Kruskal-Wallisov test	
			<i>H</i>	<i>p</i>
T1	29.30	30.09	23.2178	0.0057
T2	36.54	38.61		
T3	32.81	32.43		
T4	30.66	30.02		
T5	38.97	37.26		
T6	33.99	30.45		
T7	34.09	33.81		
T8	33.83	32.07		
T9	31.23	30.32		
T10	31.2	30.94		
UZORAK	Aritmetička sredina (s)	Medijan (s)	Kruskal-Wallisov test	
Z1	8.25	8	30.5793	0.0003
Z2	7.1	7		
Z3	7	7		
Z4	7.65	8		
Z5	5.75	5		
Z6	6.95	7		
Z7	7.45	7.5		
Z8	7.5	7.5		
Z9	7.85	8		
Z10	7.9	8		

Za grafički prikaz distribucija podataka korišteni su pravokutni dijagrami (engl. Box and Whisker Plot) u kojima deblja crna crta označava medijan. Unutar pravokutnika nalaze se podaci za srednjih 50 posto podataka, odnosno podatke između 25 i 75 posto rezultata. Vodoravne linije predstavljaju najmanju i najveću vrijednost, s izuzetkom rezultata koji značajno odskakuju od ostatka uzorka, a koji su označeni crvenim plusom.



Slika 5.34. Brzina čitanja teksta za 10 ispitivanih uzoraka



Slika 5.35. Subjektivni osjećaj težine čitanja za 10 ispitivanih uzoraka

Kao što je vidljivo iz rezultata u Tablici 10 te iz Slike 5.34., najkraće prosječno vrijeme čitanja teksta dobiveno je za uzorak T1 (12 pt; Minion Pro; papir), dok je najduže prosječno vrijeme čitanja dobiveno za uzorak T5 (12 pt; Minion Pro; dvostupčani prijelom; tablet). Veće vrijednost medijana utvrđene su u slučajevima T2 i T5 (12 pt; Minion Pro; računalo), dok je najmanja vrijednost medijana determinirana u slučaju T4 (12 pt; Gotham; tablet). U analiziranim je slučajevima medijan pokazao dosta podudarnosti s aritmetičkom sredinom. Iz Tablice 11. vidljivo je da postoji statistički značajna razlika u vremenu čitanja pojedinih uzoraka s obzirom na tekst ($p=0.0057$).

Kad se uspoređuje brzina čitanja teksta pismovne veličine 12 pt pisma Minion Pro otisnutog na papiru teksta istog pisma i pismovne veličine prikazanog na zaslonu računala statistički je značajna razlika između promatranih rezultata pa se može zaključiti da je čitanje s papira statistički značajno brže od čitanja sa zaslona računala (29.30 s prema 36.54 s). Za isto pismo i pismovnu veličinu nema statistički značajne razlike kod usporedbe brzine čitanja teksta otisnutog na papiru i čitanja na tabletu (29.30 s prema 32.81s), iako je iz rezultata vidljivo da je čitanje donekle sporije u slučaju tableta.

Najveća, ujedno i statistički značajna razlika je kod brzine čitanja teksta pismovne veličine 12 pt pisma Minion Pro otisnutog na papiru teksta istog pisma i pismovne veličine prikazanog na tablet računalo, ali prelomljenog u dva stupca (29.30 s prema 38.97 s).

Statistički značajnu razliku pokazuju i rezultati čitanja teksta s tableta prelomljenog u dva stupca u istom pismu i pismovnoj veličini (12 pt Minion Pro) u odnosu na isto pismo pismovne veličine 10 pt prikazano na tablet računalo (38.97 s prema 33.99 s), zatim u odnosu prema tekstu prelomljenom u pismu Gotham pismovnih veličina od 12 pt (38.97 s prema 30.66 s), 14 pt (38.97 s prema 31.23 s) i 16 pt (38.97 s prema 31.2 s) prikazanih na tablet računalo. Također, statistički značajne razlike pojavljuju se i u brzini čitanja teksta prelomljenog u pismu Minion Pro pismovne veličine 12 pt prikazanog na zaslonu računala u odnosu na tekst prelomljen u pismu Gotham, i to za pismovne veličine 12 pt (36.54 s prema 30.66 s), 14 pt (36.54 s prema 31,23 s) i 16 pt (36.54 s prema 31,2 s).

Subjektivni osjećaj težine čitanja ispitan je korištenjem Likertove skale s rasponom ocjena od 1 do 10, gdje jedan predstavlja ocjenu potpuno naporno, a 10 predstavlja ocjenu bez ikakvog napora. Kao što je vidljivo iz Tablice 10. i Slike 5.35., subjektivno najlakši zadatak bio je kod čitanja teksta u Grupi 1 koja se odnosi na čitanje s lista papira teksta otisnutog u veličini od 12 pt, a najteži zadatak je bio u Grupi 5, prilikom čitanja teksta na tabletu prelomljenog u 12 px i prelomljenog u dva stupca. Za razliku od brzine čitanja, kod subjektivnog osjećaja težine čitanja postoje statistički značajne razlike kod čitanja teksta otisnutog na papiru (12 pt; Minion Pro) i tabletu (8.25 prema 7) te računala (8.25 prema 7.1), pri čemu je čitanje s papira zahtijevalo značajno manje napora u odnosu na čitanje s druga dva uređaja.

Tekstovi prelomljeni za tablet u pismovnim veličinama od 14 i 16 px u oba pisma postigli su najviše vrijednosti u odnosu na sve druge testove izuzev papira, iako nisu uspjeli prijeći ocjenu 8: 14 pt; Minion Pro; tablet: 7.45; 16 pt; Minion Pro; tablet: 7.5; 14 pt; Gotham; tablet: 7.85; 16 pt; Gotham; tablet: 7.9. Subjektivni doživljaj težine čitanja kod veličine pisma 12 px pisma Minion Pro prelomljenom za tablet u dva stupca u odnosu na čitanje s papira (12 pt; Minion Pro) statistički značajno se razlikuje (8.25 prema 5.75).

Statistički značajna razlika pronađena je i za subjektivnu težinu čitanja teksta veličine pisma 12 px pisma Minion Pro prelomljenom za tablet u dva stupca u odnosu na čitanje istog teksta papira (12 px; Minion Pro) na zaslonu računala (7.1 prema 5.75) odnosno na tabletu prelomljenog u jednom stupcu (7 prema 5,75), teksta prelomljenog za tablet u pismu Minion Pro u pismovnim veličinama od 10 px (5.75 prema 6.95), 14px (5.75 prema 7.45) i 16 px (5.75 prema 7.5) te teksta u pismu Gotham prikazanog na tabletu u pismovnim veličinama 14 px (5.75 prema 7.85) i 16 px (5.75 prema 7.9).

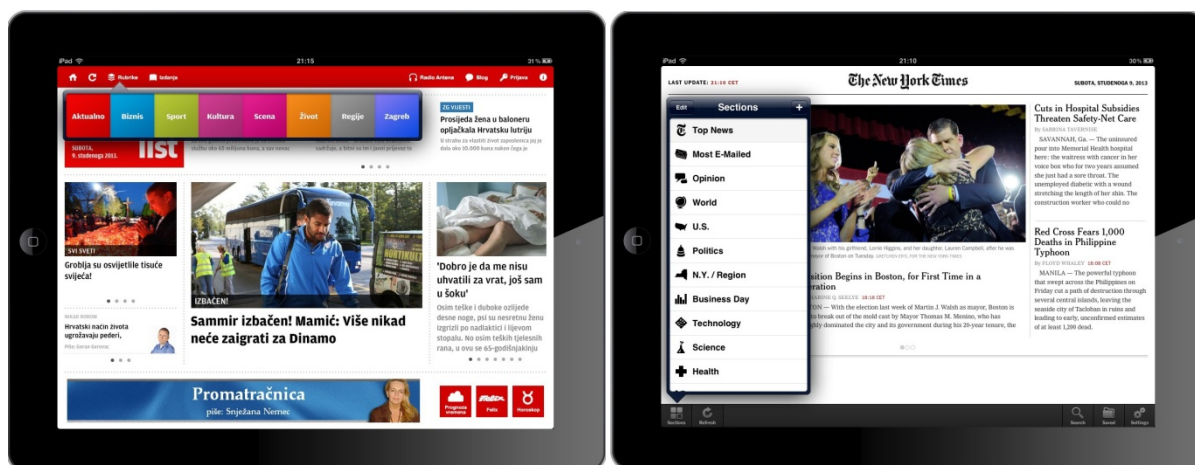
Statistički značajna razlika ustanovljena je i kod prijeloma pisma Minion Pro za tablet u pismovnoj veličini 10 px u odnosu na tekst na papiru (8.25 prema 6,95) i tekst prelomljen u pismu Gotham u pismovnoj veličini od 14 px (6.95 prema 7.85).

Na osnovu svega rečenog može se zaključiti kako su se za čitanje teksta s tablet računala optimalnim pokazala pisma prelomljena u 14 i 16 px, između kojih nije bilo statistički značajnih razlika bez obzira na pismovnu vrstu (serif i sans serif).

5.5. NAVIGACIJA KROZ TABLET NOVINE

Kako bi se definirala optimalna navigacija kroz aplikaciju za tablet novine, provedeno je istraživanje stavova grafičkih dizajnera i programera organizacijom fokus grupe u kojoj je sudjelovalo sedam ispitanika, u skladu s preporučenom metodologijom i ranijim sličnim istraživanjima [24, str. 321]. Četiri ispitanika profesionalni su grafički dizajneri, a tri ispitanika profesionalni su programeri s iskustvom programiranja aplikacija za mobilne uređaje. Ispitanicima su na početku razgovora pokazani primjeri tablet aplikacija dnevnih novina (Jutarnji list, Večernji list, The New York Times, Washington Post, USA Today, The Onion, Das Bild i Guardian) te magazina (New Yorker, Die Zeit, Wired, National Geographic), kako bi se potaknula rasprava. Cilj diskusije bio je dobiti odgovore na pitanje koji je optimalni način organizacije i dizajna navigacije kroz aplikaciju dnevnih novina u ovisnosti o:

- tehnikama pregleda stranice i članka;
- opcijama kretanja kroz sekcije i članke;
- traci/trakama povezanih sadržaja;
- paginaciji i
- alatima za dijeljenje sadržaja i povezivanju na vanjske sadržaje.



Slika 5.36. Primjeri navigacijskih alata kod aplikacija Večernjeg lista (lijevo) i The New York Timesa (desno) (foto: aplikacije)

Opći zaključak fokus grupe je da korištenje aplikacije, kao i navigacija, mora biti što je moguće jednostavnije i intuitivno.

Diskusija o tehnikama pregleda stranica i članaka bavila se pitanjem prikaza stranice kod koje su se suprotstavila dva stava:

- a) promatranje stranice kao jedne cjeline i u ograničenim, tehničkim karakteristikama uređaja unaprijed zadanim dimenzijama; i
- b) promatranje stranice kao zaslonom uređaja neomeđenog prostora kroz koji se korisnik kreće 'povlačenjem' (swiping) i 'klizanjem' (scrolling).

Zaključak diskusije je da bi kod dizajniranja stranice članka trebalo koliko god je moguće ostati unutar zadanih gabarita stranice, koja ovisi o uređaju. Stranice bi trebale biti maksimalno statične, a kretanje kroz članke duže od jedne stranice trebalo bi se osigurati na način da se jednom radnjom, bez obzira radi li se o povlačenju ili klizanju, automatski pomiče cijela stranica. Problem kod ovog načina fiksnog određivanja dimenzija stranice može se, međutim, pojaviti ako se korisnicima omogući prilagodba veličine pisma odnosno veličine prikaza (povećanje ili smanjenje). Zaključak po pitanju fiksnih dimenzija stranica može se sažeti u izjavi jednog sudionika: *'Neka stranica i članak budu fiksni kad ih otvore prvi put, a povećanje fonta ili zumiranje bude mogućnost pa ako jednom kad uđu unutra hoće povećavat i zumirat, neka im bude.'*

Diskusija o načinima kretanja kroz sekcije odnosno rubrike i članke bavila se:

- a) pitanjem organizacije naslovnih stranica te njihovim međusobnim odnosnom,
- b) navigacijom pomoću alatnih traka i poveznica i
- c) opcijama kretanja kroz sadržaj poput različitih gumba (home, back forward i sl.) i drugih dostupnih alata.

Sudionici fokus grupe složili su se kako je organizacija sadržaja i odnos naslovnih stranica na način na koji ih koriste primjerice The New York Times ili Večernji list, pri čemu je prva ulazna stranica nakon splash screena stranica s udarnim temama i člancima, a dalje se kroz ostale stranice rubrika kreće klizanjem iz jedne stranice u drugu, baš kao i kod stvarnih novina. Pri tome kao kvalitetno rješenje je istaknuto da sekcije odnosno rubrike imaju klizni broj fiksnih stranica, što omogućuje nesmetano dodavanje sadržaja i njegovo povećanje ili smanjenje prema potrebi, a bez većeg utjecaja na grafičko oblikovanje. Svi multimedijски dodaci moraju se moći prikazati u punom formatu zaslona, radnjama karakterističnim za odabrani operativni sustav ili uređaj.

Kao neizostavna opcija pokazala se alatna traka s poveznicama na sekcije ili rubrike (vidi sliku 5.36.) koja omogućuje direktni prijelaz iz rubrike (ili članka) u rubriku. Jedan od sudionika istaknuo je kako je rješenje Večernjeg lista koje za navigaciju na alatnoj traci koristi kodiranje bojama dobrodošlo, iako već viđeno rješenje (*"To je tiskani USA Today, samo u ovoj formi"*). Diskusija je, također, pokazala da uz alatnu traku rubrika članci moraju biti opremljeni i gumbom za povratak na prijašnju poziciju, čime se osigurava da je korisnik uvijek jedan korak udaljen od sadržaja kojeg želi posjetiti. Kod diskusije o traci povezanih članaka, iako se svi slažu o koristi poveznica za povećanje čitanosti nekog sadržaja, grupa nije uspjela postići dogovor o njezinoj učinkovitosti. Dio grupe smatrao je da traka povezanih članaka mora doći uz svaki članak iz rubrike, a dio se tome protivio, tvrdeći da bi se eventualno trebalo raditi o nekom tipu tzv. padajućeg izbornika. Predloženo je da se utjecaj trake s povezanim člancima i njezin smještaj u odnosu na ukupni članak ispita dodatnim istraživanjem.

Diskusija grupe na temu paginacije odnosno označavanja pozicije na kojoj se korisnik u tom trenutku nalazi nastavila se na dio diskusije o navigaciji između rubrika, pri čemu je sustav označavanja bojom (color coding) istaknut kao kvalitetno rješenje, uz obavezno označavanje samo broja stranice, bilo članka, bilo rubrike, što se može napraviti brojkom, ali i nekim drugim vizualnim kodom čije je razumijevanje blizu intuitivnog (poput točaka u slučaju The New York Timesa).

Mogućnost dijeljenja sadržaja s drugima korištenjem elektroničke pošte ili nekog od servisa društvenog umrežavanja (Facebook, Twitter i sl.) nije razmatrana kao opcija za diskusiju, s obzirom da su se svi sudionici fokus grupe složili da je to opcija koja mora biti uključena kod svake kvalitetne aplikacije. S obzirom na tehnologiju o kojoj je riječ, sudionici fokus grupe smatraju da se aplikacije ovog tipa moraju i mogu osloniti na korištenje interneta i alata za dijeljenje sadržaja ako žele biti prihvaćene od korisnika. *'O tome se više ne razgovara. Nije 'oćeš – nećeš. Moraš!'*, sažetak je rasprave, riječima jednog od sudionika. Kada je riječ o povezivanju na vanjske sadržaje, mišljenje fokus grupe je da ga treba ograničiti ili omogućiti pregled vanjskih sadržaja isključivo unutar aplikacije.

Nakon diskusije ispitanicima je prikazan prototip aplikacije, prikazan u poglavlju 5.6. kako bi verificirali njegove estetske i funkcionalne karakteristike, što su jednoglasno i učinili.

5.6. UTJECAJ MULTIMEDIJSKIH FORMATA I POZICIJE ČLANAKA NA NASLOVNOJ STRANICI

Kako bi se istražio utjecaj pozicije članka u odnosu na stranicu te analizirao utjecaj multimedijских formata, korištenjem rezultata ranije provedenih istraživanja, napravljena je finalna simulacija aplikacije za tablet novine.

Odabrano vizualno rješenje kombinacija je između tipa prijeloma koje koriste aplikacije s ozbiljnim prijelomom i aplikacija tabloidnog tipa poput aplikacije Večernjeg lista, koja je u inicijalnom istraživanju značajno bolje ocijenjena od aplikacije Jutarnjeg lista. Kod tipografskog oblikovanja korištena su saznanja dobivena analizom rezultata čitkosti različitih pismovnih vrsta i veličina. Kod izbora opreme u obzir su uzeti rezultati ranijeg istraživanja vizualnih ulaza na stranicu tablet novina. Kod oblikovanja navigacije u obzir je uzet zaključak fokus grupe o potrebi dodatnog istraživanja poveznica smještenoj na nekoj verziji trake povezanih članaka koja se pojavljuje uz pojedini članak.

Aplikacija se sastojala od tri stranice s ukupno 19 pozicija odnosno 19 članaka prenesenih verbatim s portala: jutarnji.hr, vecernji.hr, 24sata.hr, tportal.hr i indeks.hr). Svaki članak označen je svojom pozicijom, što je vidljivo na slikama 5.37 – 5.39.

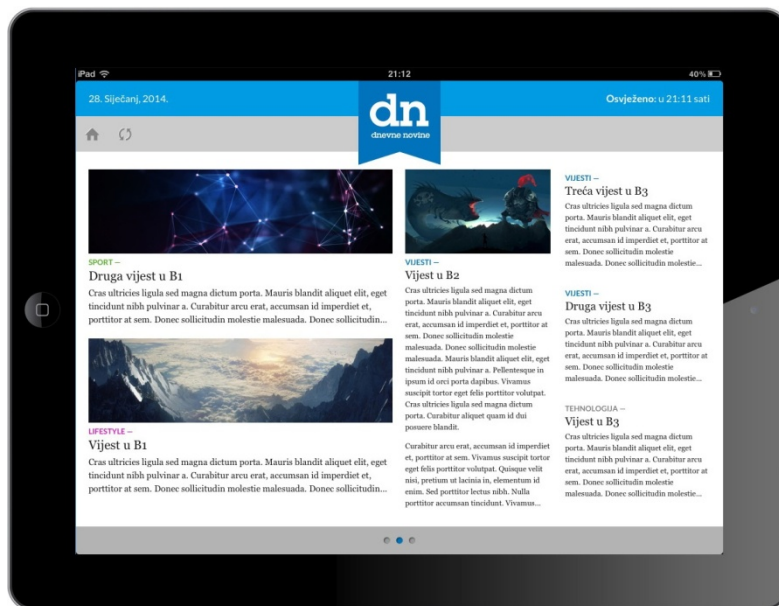
Simulacija aplikacije napravljena je korištenjem WordPress platforme kao mrežna stranica kojoj su pridodan dodatak za prikaz svake stranice preko cijelog zaslona (bez prikazivanja preglednika), kod za uslugu Google Analytics i WordPressov dodatak za praćenje aktivnosti korisnika stranice.

Prva stranica aplikacije predstavljala je naslovnu stranicu novina, druga je oponašala naslovnu stranicu rubrike, a treća jednu od unutrašnjih stranica, koja osim naslova nije imala dodatne multimedijske opreme.

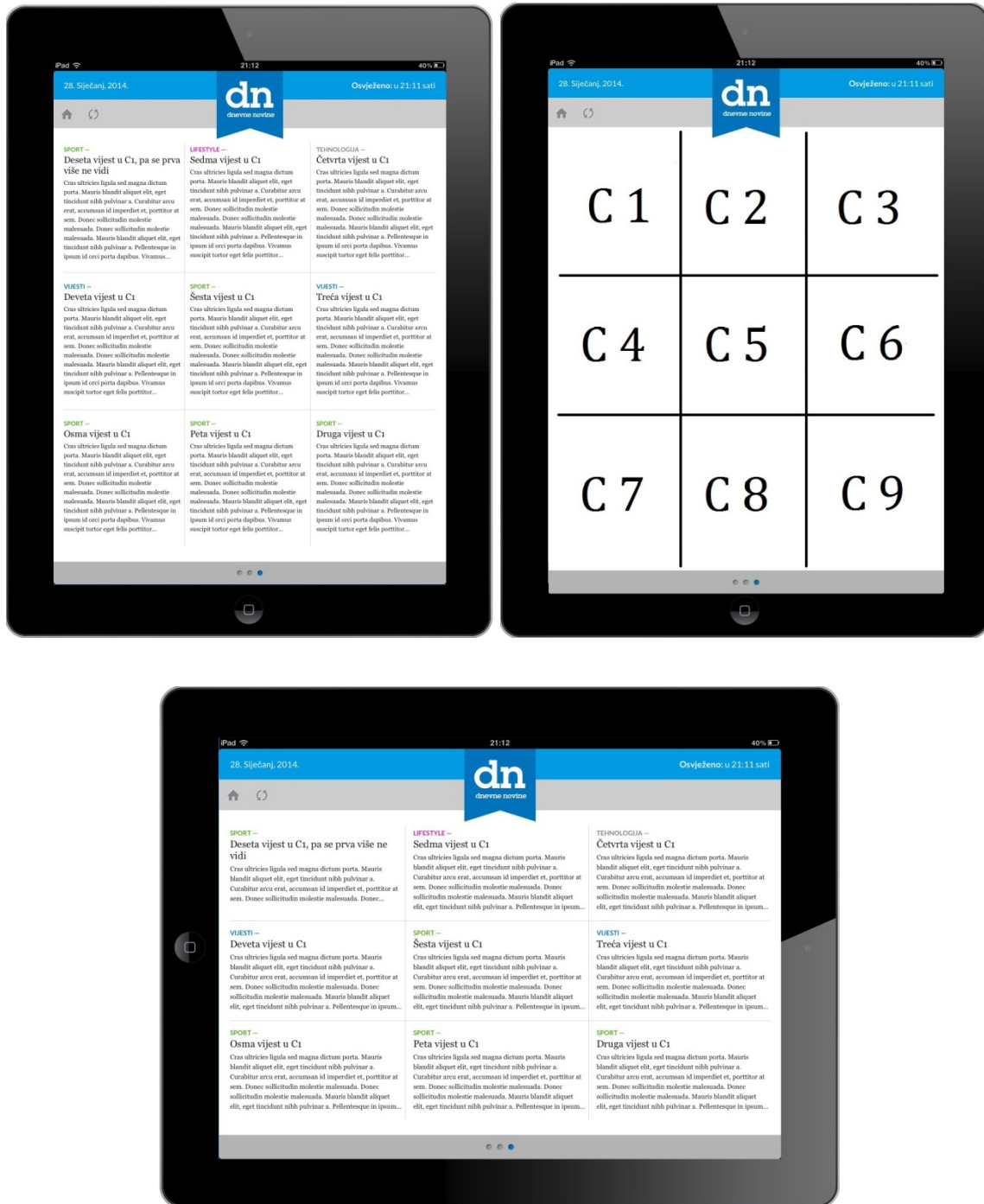
Kako bi simulacija što je moguće vjernije predstavljala tablet aplikaciju, prilikom njezinog pokretanja programirano je prikazivanje tzv. splash screena, ulazne slike zaslona za koju Garcia [85] tvrdi da treba što je moguće vjernije prenijeti vizualni identitet proizvoda odnosno novina, a isti je identitet korišten i za ikonu prečice na zaslonu tableta koji su korišteni u istraživanju.



Slika 5.37. Naslovna stranica simulacije aplikacije (lijevo i dolje) i pozicije članaka (desno)



Slika 5.38. Naslovna stranica rubrike (lijevo i dolje) i pozicije članaka (desno)

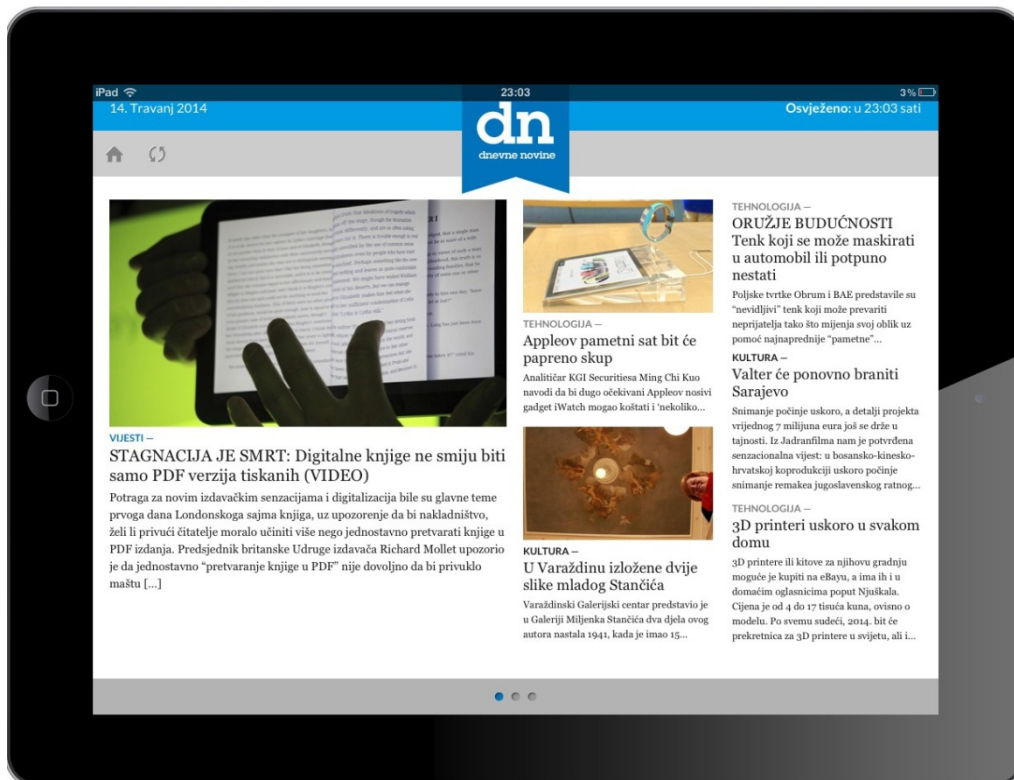


Slika 5.39. 'Unutarnja' stranica rubrike (lijevo i dolje) i pozicije članaka (desno)

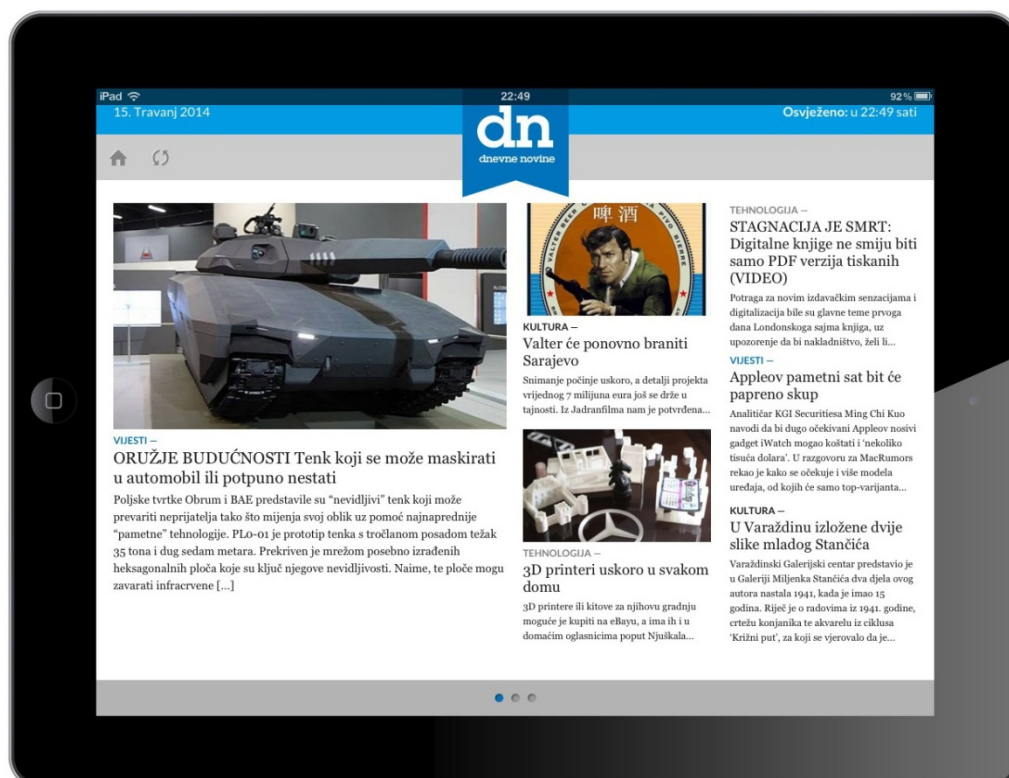
Istraživanje je obavljeno tijekom dva uzastopna dana, pri čemu su nakon prvog dana mjerenja promijenjene njihove pozicije kako slijedi: A1 u A4, A2 u A5, A3 u A6, B1 u B5, B2 u B6, B3 u B4, C1 u C3, C4 u C6 i C7 u C9. Članci na pozicijama C2, C5 i C8 zadržale su svoje pozicije, ali su im dodani odnosno oduzeti multimedijски elementi koji su naznačeni u naslovu članka i to: članku C2 dodana je fotografija, članku C5 dodan je video, a članku C8 izostavljena je animacija (slike 5.31-5.36).



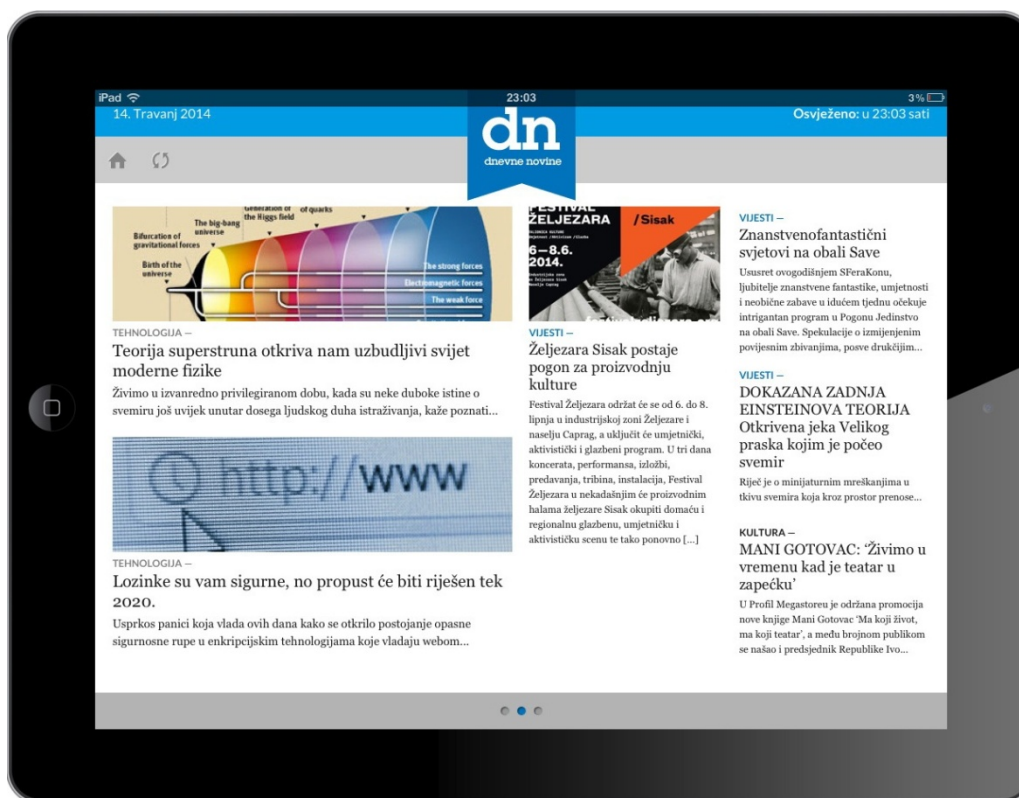
Slika 5.40. Splash Screen simulacije aplikacije



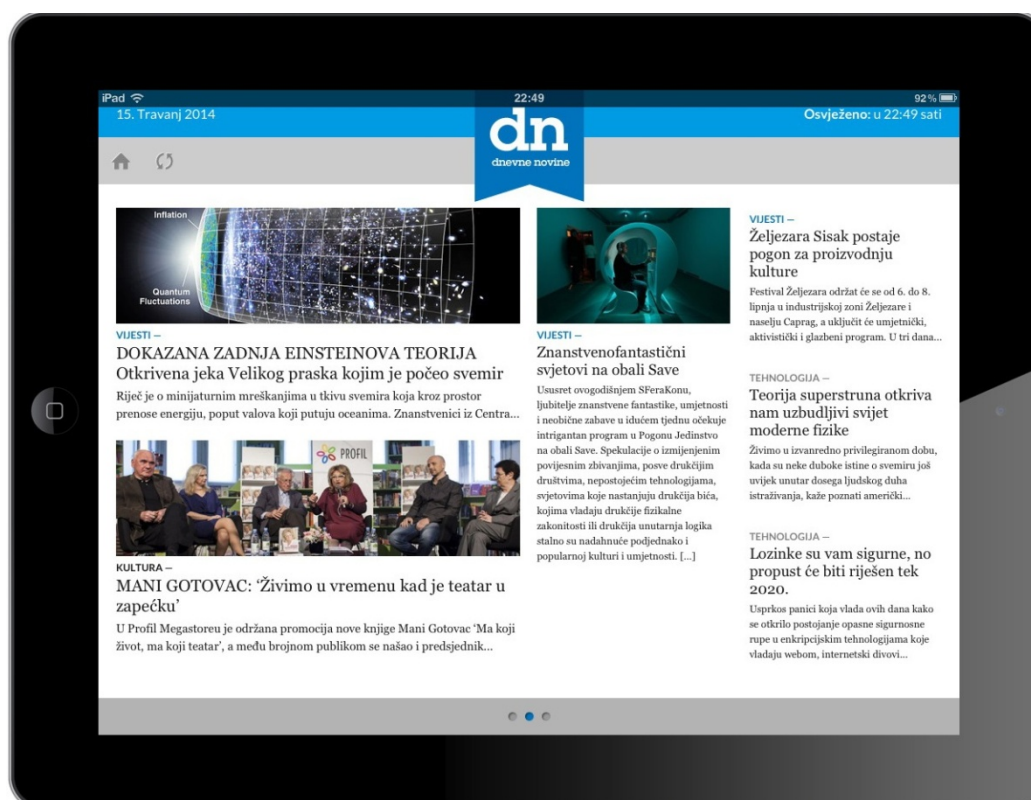
Slika 5.41. Naslovna stranica simulacije aplikacije prvog dana istraživanja



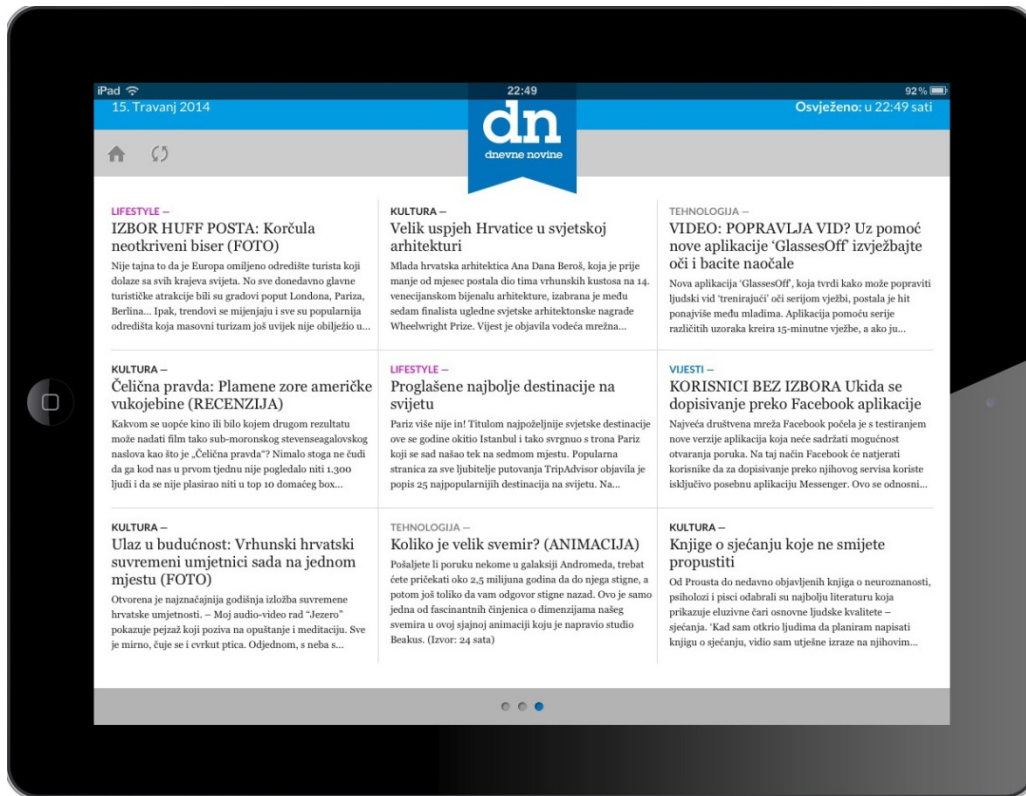
Slika 5.42. Naslovna stranica simulacije aplikacije drugog dana istraživanja



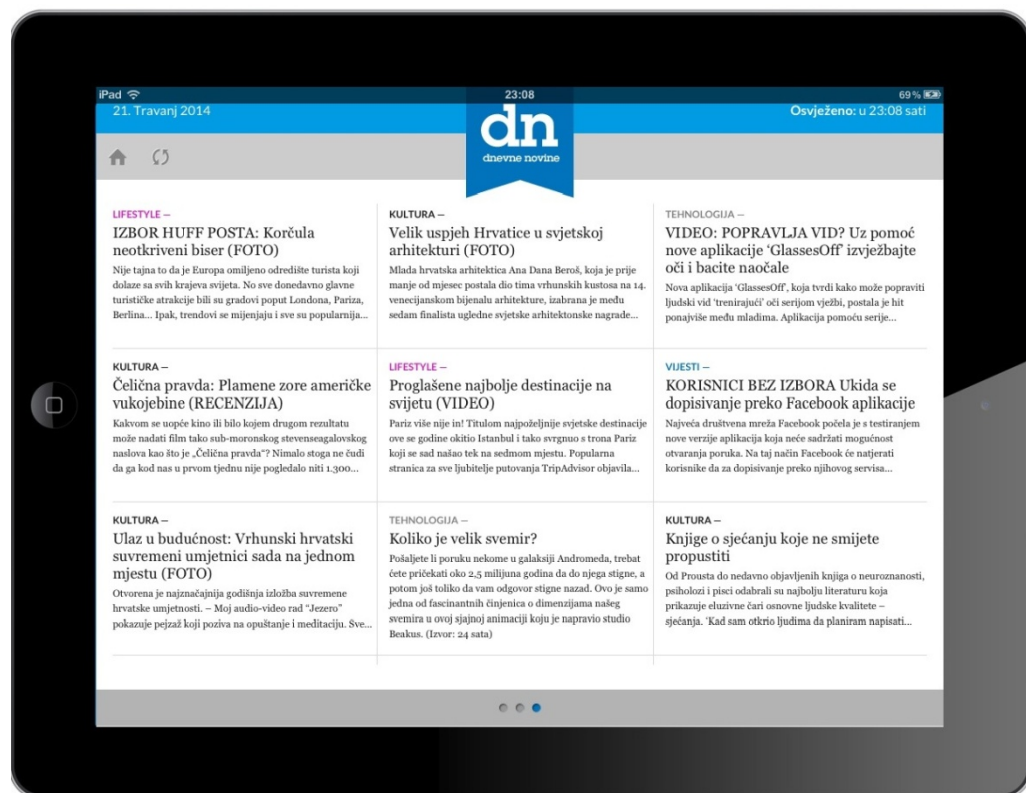
Slika 5.43. Naslovna stranica rubrike prvog dana istraživanja



Slika 5.44. Naslovna stranica rubrike drugog dana istraživanja



Slika 5.45. Unutarnja stranica rubrike prvog dana istraživanja



Slika 5.46. Unutarnja stranica rubrike drugog dana istraživanja

U istraživanju je u svakoj od pojedinih sesija (1. i 2. dan) sudjelovalo po 25 ispitanika, studenata stručnog studija Multimedije, oblikovanja i primjene Sveučilišta Sjever. Ispitanici su dobili zadatak da u neodređenom vremenu pogledaju i isprobaju aplikaciju, nakon čega su zamoljeni da odgovore na ranije pripremljeni upitnik.

Aktivnosti ispitanika praćene su pomoću usluge Google Analytics i WordPressovog dodatka za praćenje aktivnosti korisnika stranice, rezultati čega su sumirani u tablici 12. za prvu sesiju odnosno za aktivnosti prvog dana te u tablici 13. za drugu sesiju odnosno za aktivnosti drugog dana.

Članci u Tablici navedeni su u skladu s pozicijom koju su zauzimali u simulaciji, od A1 do C9, a označeno je i koliko je puta svakom pojedinom članku pristupljeno u ovisnosti o redoslijedu interakcije: I 1_1 predstavlja prvu interakciju prve sesije/dana istraživanja interakcije korisnika sa simulacijom aplikacijom, nakon njezinog pokretanja, I 2_1 drugu, I 3_1 treću itd., a I 1_2 prvu interakciju druge sesije/drugog dana istraživanja interakcije korisnika sa simulacijom aplikacijom, nakon njezinog pokretanja, I 2_2 drugu, I 3_2 treću itd., sve do devete interakcije označene s I 9_1 odnosno I 9_2. Sustav mjerenja aktivnosti sve tri stranice percipirao je kao istu, naslovnu stranicu pri čemu prvi ulazak na stranicu nije pridodan podacima jer ju je sustav percipirao kao tzv. ulaznu stranicu, a podatke o ulazu na 'naslovne stranice' počeo je prikupljati tek nakon prve interakcije.

Svim člancima, sukladno zaključcima fokus grupe o navigaciji kroz aplikaciju, pridodana je traka s tzv. vezanim člancima koja je za potrebe istraživanja sadržavala fiksno određene članke i to članke iz tzv unutarne stranice rubrike odnosno članke na pozicijama C i to odozgora prema dolje članke na pozicijama C1, C4, C7, C2, C5 i C8. Pregledom interakcija moguće je utvrditi koliko je spomenutih članaka posjećeno ulazom s naslovne stranice, a koliko ih je posjećeno korištenjem linkova uz članak.

Prosječno vrijeme korištenja aplikacije prvog dana iznosilo je 3 min i 31 sekundu, a drugog dana 3 min i 55 sekundi. Prosječan broj pogledanih stranica prvog dana iznosio je 6,04, a drugog dana 6,44 stranice po korisniku.

Tablica 12. Rezultati interakcija korisnika sa simulacijama sučelja – dan 1.

NASLOV ČLANKA	POZ	I 1_2	I 2_2	I 3_2	I 4_2	I 5_2	I 6_2	I 7_2	I 8_2	I 9_2	Σ
NASLOVNA STRANICA	A 0	0	15	6	15	12	12	5	2	0	67
STAGNACIJA JE SMRT: Digitalne knjige ne smiju biti samo PDF verzija tiskanih (VIDEO)	A 1	3	0	0	0	1	1	0	1	0	6
Appleov pametni sat bit će papreno skup	A 2	7	0	3	0	1	1	1	0	0	13
U VARAŽDINU: Izložene dvije slike 15-godišnjeg Miljenka Stančića	A 3	1	0	0	0	1	2	0	0	0	4
ORUŽJE BUDUĆNOSTI Tenk koji se može maskirati u automobil ili potpuno nestati	A 4	0	1	0	1	2	0	2	0	0	6
Valter će ponovno braniti Sarajevo	A 5	0	0	0	0	1	0	0	0	1	2
3D printeri uskoro u svakom domu	A 6	1	0	2	0	1	1	2	0	0	7
Teorija superstruna otkriva nam uzbudljivi svijet moderne fizike	B 1	4	0	1	0	2	2	0	1	0	10
Lozinke su vam sigurne, no propust će biti riješen tek 2020.	B 2	2	0	2	0	3	3	0	0	0	10
Željezara Sisak postaje pogon za proizvodnju kulture	B 3	0	0	0	0	0	1	0	1	0	2
Znanstvenofantastični svjetovi na obali Save	B 4	0	0	0	1	0	1	0	0	0	2
DOKAZANA ZADNJA EINSTEINOVA TEORIJA Otkrivena jeka Velikog praska kojim je počeo svemir	B 5	0	0	1	0	1	0	1	0	0	3
MANI GOTOVAC: 'Živimo u vremenu kad je teatar u zapečku'	B 6	0	0	0	0	1	0	1	0	0	2
VIDEO: POPRAVLJA VID? Uz pomoć nove aplikacije 'GlassesOff' izvežbajte oči i bacite naočale	C 1	5	6	3	2	1	1	1	0	0	19
Velik uspjeh Hrvatice u svjetskoj arhitekturi	C 2	1	0	1	0	0	0	1	0	0	3
IZBOR HUFF POSTA: Korčula neotkriveni biser (FOTO)	C 3	0	0	1	0	1	1	1	0	0	4
KORISNICI BEZ IZBORA Ukida se dopisivanje preko Facebook aplikacije	C 4	1	3	2	1	0	2	0	1	0	10
Proglašene najbolje destinacije na svijetu	C 5	0	0	2	2	0	0	0	0	1	5
Čelična pravda: Plamene zore američke vukojebine (RECENZIJA)	C 6	0	0	0	0	1	0	0	0	1	2
Knjige o sjećanju koje ne smijete propustiti	C 7	0	0	0	1	0	0	0	0	0	1
Koliko je velik svemir? (ANIMACIJA)	C 8	0	0	0	1	0	1	1	1	0	4
Ulaz u budućnost: Vrhunski hrvatski suvremeni umjetnici sada na jednom mjestu (FOTO)	C 9	0	0	0	0	0	0	0	0	0	0

Tablica 13. Rezultati interakcija korisnika sa simulacijama sučelja – dan 2.

NASLOV ČLANKA	POZ	I 1_2	I 2_2	I 3_2	I 4_2	I 5_2	I 6_2	I 7_2	I 8_2	I 9_2	Σ
NASLOVNA STRANICA	A 0	0	21	4	19	3	12	0	9	0	68
ORUŽJE BUDUĆNOSTI Tenk koji se može maskirati u automobil ili potpuno nestati	A 1	5	0	2	0	3	0	1	0	0	11
Valter će ponovno braniti Sarajevo	A 2	0	0	1	0	0	0	0	0	0	1
3D printeri uskoro u svakom domu	A 3	2	0	3	0	3	0	1	0	0	9
STAGNACIJA JE SMRT: Digitalne knjige ne smiju biti samo PDF verzija tiskanih (VIDEO)	A 4	0	0	1	0	1	0	0	0	1	3
Appleov pametni sat bit će papreno skup	A 5	3	0	2	0	3	0	1	0	0	9
U VARAŽDINU: Izložene dvije slike 15-godišnjeg Miljenka Stančića	A 6	0	0	0	0	1	0	0	0	0	1
DOKAZANA ZADNJA EINSTEINOVA TEORIJA Otkrivena jeka Velikog praska kojim je počeo svemir	B 1	4	0	2	0	0	0	1	0	0	7
MANI GOTOVAC: 'Živimo u vremenu kad je teatar u zapečku'	B 2	1	0	2	0	0	0	1	0	0	4
Znanstvenofantastični svjetovi na obali Save	B 3	1	0	1	0	1	0	0	0	0	3
Željezara Sisak postaje pogon za proizvodnju kulture	B 4	0	0	0	0	0	0	1	0	0	1
Teorija superstruna otkriva nam uzbudljivi svijet moderne fizike	B 5	0	0	2	0	1	0	0	0	0	3
Lozinke su vam sigurne, no propust će biti riješen tek 2020.	B 6	0	0	1	0	1	0	0	0	1	3
IZBOR HUFF POSTA: Korčula neotkriveni biser (FOTO)	C 1	7	3	1	1	1	2	1	1	0	17
Velik uspjeh Hrvatice u svjetskoj arhitekturi (FOTO)	C 2	1	1	0	0	1	1	1	0	0	5
VIDEO: POPRAVLJA VID? Uz pomoć nove aplikacije 'GlassesOff' izvježbajte oči i bacite naočale	C 3	0	0	1	0	1	1	0	0	1	3
Čelična pravda: Plamene zore američke vukojebine (RECENZIJIA)	C 4	1	0	1	1	1	0	1	0	0	5
Proglašene najbolje destinacije na svijetu (VIDEO)	C 5	0	0	2	1	0	0	1	0	1	5
KORISNICI BEZ IZBORA Ukida se dopisivanje preko Facebook aplikacije	C 6	0	0	0	0	0	1	0	0	0	1
Ulaz u budućnost: Vrhunski hrvatski suvremeni umjetnici sada na jednom mjestu (FOTO)	C 7	0	0	0	1	0	0	0	0	1	2
Koliko je velik svemir?	C 8	0	0	0	1	0	0	0	0	0	1
Knjige o sjećanju koje ne smijete propustiti	C 9	0	0	0	0	0	0	0	0	1	1

Kao što je vidljivo iz rezultata, u oba dana istraživanja najveći broj pregleda ima članak na poziciji C1. Iz rezultata je vidljivo da je za toliki broj pregleda u velikoj mjeri zaslužna poveznica uz članke, koja je vodila do tzv. vezanih vijesti (47 posto od ukupnog broja

pregleda 1. odnosno 41 posto od ukupnog broja pregleda 2. dana). Ako se od ukupnog broja pregleda oduzmu pregledi koji su na spomenuti članak došli poveznicom uz neki drugi članak, prvog dana članak na poziciji C1 'VIDEO: POPRAVLJA VID? Uz pomoć nove aplikacije 'GlassesOff' izvježbajte oči i bacite naočale' dolazi na diobu 2. mjesta s 10 direktnih pregleda, a drugog dana članak 'IZBOR HUFF POSTA: Korčula neotkriveni biser (FOTO)' sa sedam direktnih pregleda dolazi na diobu 4. mjesta. Oba puta članak na poziciji C1 je ujedno i najčitaniji članak na unutrašnjoj stranici rubrike (sekcija C).

Pozicija A1 donijela je dvostruko više pregleda članku 'STAGNACIJA JE SMRT: Digitalne knjige ne smiju biti samo PDF verzija tiskanih (VIDEO)' u odnosu na broj pregleda na poziciji A4, ali taj članak na poziciji A1 nije bio niti najčitaniji uopće niti je bio najčitaniji na naslovnoj stranici (sekcija A).

Članak 'ORUŽJE BUDUĆNOSTI Tenk koji se može maskirati u automobil ili potpuno nestati' na poziciji A1 dobio je drugog dana drugi najveći broj pregleda, što je povećanje od 83 posto u odnosu na broj posjeta na poziciji A4 prvog dana. Ako se, međutim, članku na poziciji C1 pribroje samo direktni pregledi, članak 'ORUŽJE BUDUĆNOSTI Tenk koji se može maskirati u automobil ili potpuno nestati' na poziciji A1 drugog dana postaje prvi članak ukupno po broju pregleda.

Članak 'Appleov pametni sat bit će papreno skup' na poziciji A2 skupio je prvog dana istraživanja 13 pregleda, a na poziciju A5 na kojoj se nalazio drugog dana istraživanja skupio je 9 pregleda, što je pad za 31 posto. Spomenuti članak je prvog dana istraživanja bio drugi najčitaniji članak i prvi članak po čitanosti na naslovnoj stranici (sekcija A), a drugog dana je bio drugi najčitaniji članak na naslovnoj stranici (sekcija A) i treći najčitaniji članak uopće (zajedno s člankom '3D printeri uskoro u svakom domu' s kojim dijeli treću poziciju).

Članak '3D printeri uskoro u svakom domu' prvog dana na poziciji A5 bilježi sedam pregleda, a drugog dana na poziciji A3 9 pregleda, što je povećanje od 28,5 posto. Članak 'U VARAŽDINU: Izložene dvije slike 15-godišnjeg Miljenka Stančića' prvog dana na poziciji A3 bilježi četiri, a drugog dana na poziciji A6 samo jedan pregled. Članak 'Valter će ponovno braniti Sarajevo' prvog dana istraživanja na poziciji A5 skupio je 2 pregleda, a drugog dana na poziciji A2 tek jedan pregled.

Kad je riječ o naslovnoj stranici rubrike (sekcija B), prvo mjesto po broju pregleda prvog dana dijele članci na pozicijama B1 (Teorija superstruna otkriva nam uzbudljivi svijet moderne fizike) i B2 (Lozinke su vam sigurne, no propust će biti riješen tek 2020.), a slična je situacija i drugog dana, s tim da je drugog dana najviše pregleda prikupio članak na poziciji B1 (DOKAZANA ZADNJA EINSTEINOVA TEORIJA Otkrivena jeka Velikog praska kojim je počeo svemir), a članak na poziciji B2 (MANI GOTOVAC: 'Živimo u vremenu kad je teatar u zapećku) došao je drugo mjesto po broju pregleda u sekciji.

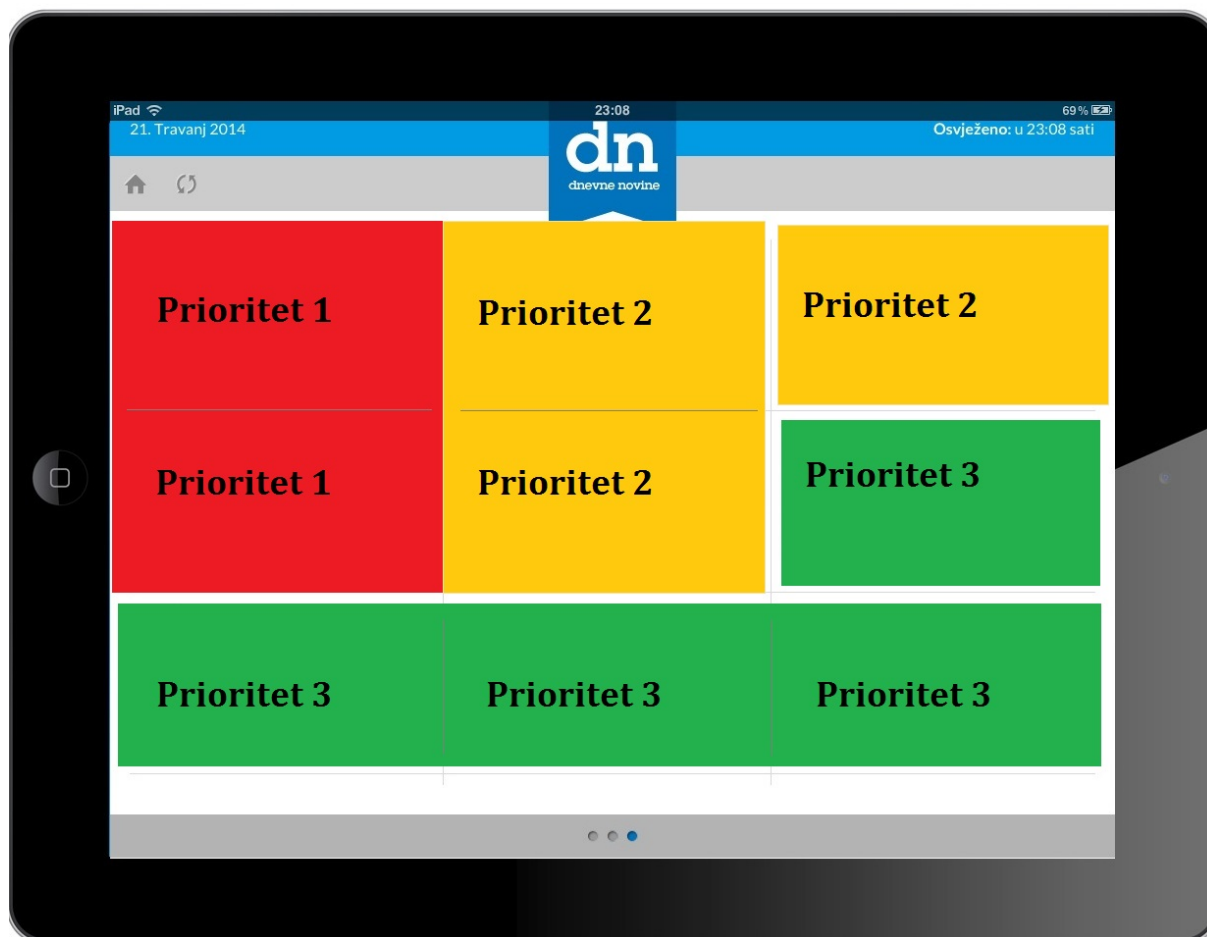
Kada usporedimo spomenute članke u odnosu na promjenu pozicije, članku 'Teorija superstruna otkriva nam uzbudljivi svijet moderne fizike' promjena pozicije iz B1 u B5 donijela je pad od 70 posto, isto kao i članku 'Lozinke su vam sigurne, no propust će biti riješen tek 2020.' s pozicije B2 na poziciju B6. Članku 'DOKAZANA ZADNJA EINSTEINOVA TEORIJA Otkrivena jeka Velikog praska kojim je počeo svemir' promjena iz pozicije B5 u poziciju B1 donijela je porast pregleda od 230 posto, slično kao i članku 'MANI GOTOVAC: 'Živimo u vremenu kad je teatar u zapećku' kojem je promjena pozicije iz B6 u B2 donijela porast od 200 posto.

Članak 'Željezara Sisak postaje pogon za proizvodnju kulture' promjenom pozicije iz B3 u B4 izgubio je 50 posto pregleda, članak 'Znanstvenofantastični svjetovi na obali Save' promjenom pozicije iz B4 u B3 dobio je 50 posto više pregleda.

Kod unutarnje stranice rubrike (sekcija C) vidljivo je da promjena iz pozicije C1 u C3 donosi osjetan pad pregleda, dok promjena iz C3 u C1 povećava broje pregleda, što poziciju C1 čini pozicijom na kojoj se dobiva najveći broj pregleda (slika 5.37.). Isto pravilo vrijedi i za promjenu pozicije iz C4 u C6 i obratno. Pozicije C7 i C9 nosile su najmanje ili su bile bez pregleda.

Kod članaka na pozicijama C2 (Velik uspjeh Hrvatice u svjetskoj arhitekturi / (FOTO)), C5 (Proglašene najbolje destinacije na svijetu / (VIDEO)) i C8 (Koliko je velik svemir? / (ANIMACIJA)) varirani su multimedijски formati i to fotografija u slučaju C2, video materijal u slučaju C5 i animacija u slučaju C8 i to na način da je prvog dana članak C8 imao multimedijску komponentu (animaciju), a članci C2 i C5 nisu, a drugog dana članci C2 i C5 su dobili pripadajuće multimedijске komponente, a članak C8 je izgubio. Rezultati pregleda pokazuju da je u ukupnom broju pregleda došlo do promjene kod

članaka na pozicijama C2 i C8, dok je u slučaju članka na poziciji C5 broj pregleda ostao identičan. I kod članka na poziciji C2 i kod članka na poziciji C8 veći broj pregleda dogodio se u sesiji u kojoj su imali multimedijску komponentu (5:3 za članak na poziciji C2; 4:1 za članak na poziciji C8).



Slika 5.47. Unutarnja stranica rubrike po prioritetu korištenja članka

Kad je riječ o člancima izdvojenim kao vezane vijesti i do kojih se moglo pristupiti pripadajućim poveznicama, osim članka na poziciji C1 (47 i 41 posto) i drugi članci su značajan postotak pregleda dobili preko spomenutih poveznica: članak na poziciji C4 prvog dana dobio je 50 posto, a drugog dana 60 posto pregleda preko poveznice; članak na poziciji C7 oba dana sve je preglede dobio preko poveznice; članak na poziciji C2 prvog dana preko poveznice dobio je dvije trećine pregleda, a drugog dana 60 posto; članak na poziciji C5 prvog dana dobio je 60 posto, a drugog 40 posto pregleda; članak na poziciji C8 prvog dana dobio je 25 posto pregleda preko poveznice, a drugog dana nije preko poveznice dobio niti jedan pregled.

Iz svega rečenog može se zaključiti kako ispitanici članke nisu birali u ovisnosti o njihovoj poziciji na stranici, ali povoljnija pozicija i dodatna multimedijaska oprema svakako povećavaju čitanost pojedinih članaka, u pojedinim situacijama i višestruko. Kod jednolične raspodjele članaka kakav je prikazan u sekciji C, vidljivo je da gornji lijevi dio stranice privlači više pozornosti od drugih dijelova stranice. Poveznice na članke bitan su element navigacije i dovode ispitanike do sadržaja u pravilu u postotcima iznad 40 posto, a u obzir treba uzeti i činjenicu da dovode više čitatelja ako su u vidnom polju čitatelja odnosno u suodnosu s tekstom koji čitatelj čita.

Što se tiče čitateljskog iskustva, sudionici ankete po završetku istraživanja rješavali su prigodni upitnik. Istraživanju je ukupno pristupilo 50 ispitanika, po 25 ispitanika svakog dana, čije su demografske karakteristike predočene u slikama 5.48. do 5.51. Statistička analiza odgovora pokazala je da nema statistički značajne razlike ($T= 0.213448$; $P=0.831412$; $p<0.05$) između odgovora sudionika prvog odnosno drugog dana. Od sudionika se tražilo da odgovore na pitanje o kvaliteti aplikacije kroz četiri promatrane karakteristike:

- a. Ilustracije
- b. Animacije
- c. Fotografije
- d. Audio-video dodaci

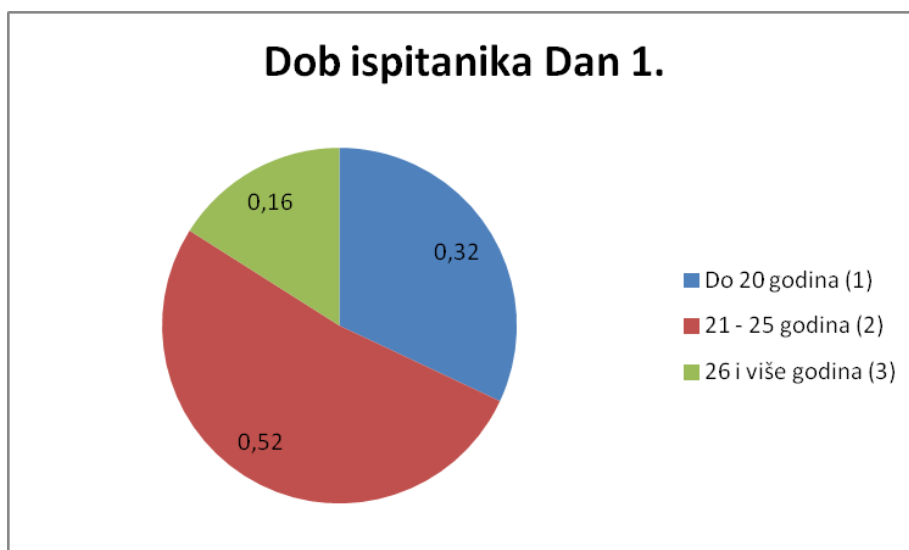
Ispitano je koliko pojedini formati povećavaju iskustvo korištenja aplikacije. Rezultati ankete prikazani su na Slici 5.52.



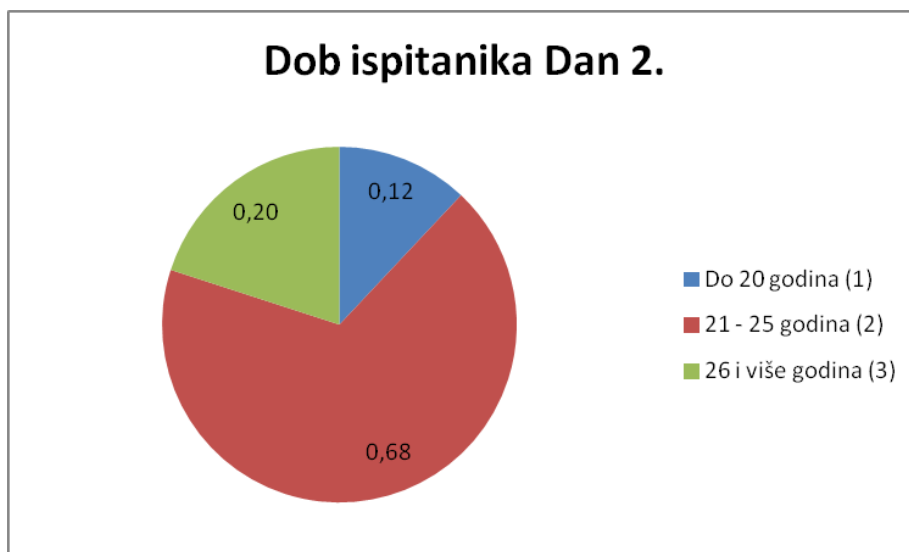
Slika 5.48. Rodne karakteristike ispitanika – dan 1.



Slika 5.49. Rodne karakteristike ispitanika – dan 1.

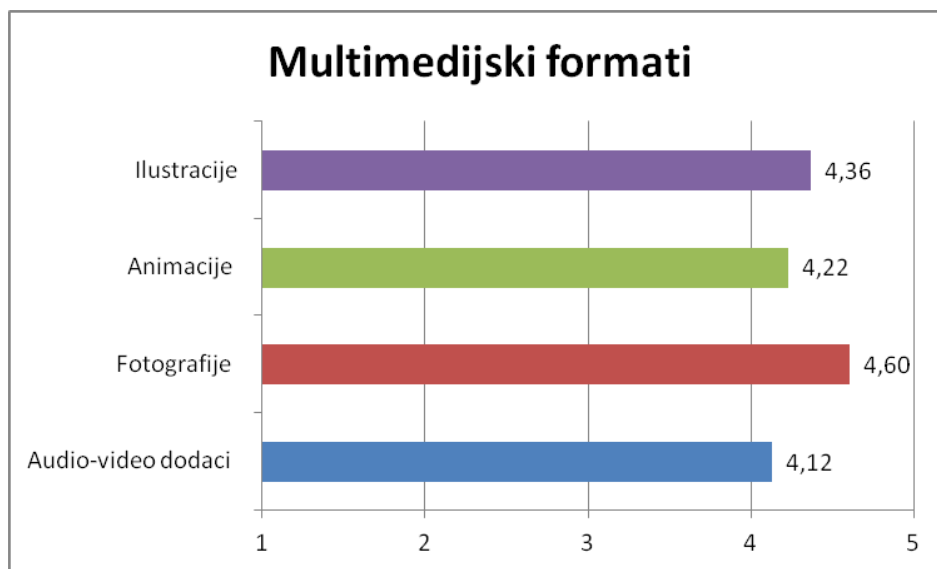


Slika 5.50. Dob ispitanika – dan 1.



Slika 5.51. Dob ispitanika – dan 1.

Kako bi se utvrdilo koliko pojedini multimedijски dodaci odnosno formati pridruženi pojedinim člancima poboljšavaju iskustvo korištenja aplikacije odnosno čitanja samih članaka, korištena je Likertova skala (1 – 5, gdje je 1 – uopće ne poboljšavaju, a 5 – potpuno poboljšavaju).



Slika 5.52.

Kao što je vidljivo iz Slike 5.52., svi dodaci u velikoj mjeri poboljšavaju iskustvo čitanja, s time da su najbolje ocijenjene fotografije i ilustracije, dok su animacije i audio-video dodaci ocijenjeni tek neznatno slabije.

6. OPTIMIZIRANI MODEL GRAFIČKOG KORISNIČKOG SUČELJA ZA TABLET NOVINE

Provedena istraživanja pokazala su sljedeće rezultate:

- A. Kod pregledavanja stranice tablet novina glavne točke interesa odnosno vizualni ulazi na stranicu su dominantne fotografije, nakon kojih slijede dominantni naslovi. Fotografije s licima ljudi privlače poglede ispitanika brže i češće od fotografija bez ljudskih lica.**

Rezultati kretanja oka kroz stranicu tablet novina pokazali su da slijede obrasce čitanja i korištenja tiskanih novina prikazanih u poglavlju 2.3. Slično kao i kod komparativne analize različitih studija o prijelomu novinskih stranica [28], utjecaja prijeloma novina na preferencije mladih čitatelja [29] te studije čitanja tiska i mrežnih stranica korištenjem tehnologije praćenja oka Poynter instituta [40], iz rezultata je vidljivo da ispitanici više zamjećuju velike ilustracije i fotografije, potom gledaju velike naslove te potom i manje ilustracije ili naslove.

Slično kao i kod Poynterovog istraživanja kretanja oka po stranici tiskanih novina [36], oči ispitanika u istraživanju prezentiranom u poglavlju 5.3. slijede uobičajen način kretanja po stranici po kojem većina čitatelja ulazi na novinsku stranicu kroz dominantnu fotografiju ili ilustraciju, potom prelazi na dominantni naslov, potom na hvatače pozornosti, a tek nakon toga na tekst. Spomenuti rezultati u skladu su i s nalazima analize vizualnih točaka ulaza na novinske stranice [37] po kojem se ne može definirati dominantan prostor na stranicama novina, već dominantan prostor i vizualni ulaz u novinsku stranicu određuje prije svega sadržaj odnosno vizualna oprema.

Dobiveni rezultati pokazali su da za aplikacije koje se čitaju na tabletu izvan web preglednika ne vrijede principi kretanja oka po stranici kakvu je ustanovila studija kretanja oka po mrežnim stranicama novina Poynter Instituta [64] prema kojoj je glavni vizualni ulaz na web stranicu promatranih dnevnih novina bio tekst, uključujući i naslove članaka te potpise pod fotografije i ilustracije, a tek su potom čitatelji gledali fotografije i drugu opremu. Slična su zapažanja u svojoj studiji iznijeli i Outing i Ruel [65] i djelomično Stark Adam et all. [40] čija su istraživanja pokazala da čitatelji na mrežnim stranicama novina pregled počinju identifikacijom navigacijskih elemenata pa tek potom prelaze na tekst i na kraju na vizualnu opremu.

Spomenuti rezultati u potpunosti se poklapaju s teorijskim postavkama tzv. dizajna čitave stranice (Total page design) [106] prikazanim u poglavlju 3.4. te podjelom na medijski kvartet prikazan u poglavlju 3.5. u kojem tablet izdanja dnevnih novina ulaze u tzv. 'lean back' platforme i pridaje im se slična uloga koju imaju i tiskana izdanja novina [85], za razliku od mrežnih stranica novina za koje se pokazalo da ih korisnici čitaju u između poslova ili korištenja drugih mrežnih sadržaja, na brzinu i bez diskrecije [35].

B. Vizualna identifikacija korištenjem logotipa, boje i tipografije ispitanicima je bila važna, iz čega se može pretpostaviti da, sukladno teorijskim pretpostavkama, traže način identifikacije sadržaja kojeg gledaju s nekim postojećim, njima poznatim modelima.

Istraživanje je potvrdilo teorijsku pretpostavku koju u knjizi iPad Design Lab iznosi Garcia [85], prema kojoj je logotip odnosno vizualni identitet postojećih dnevnih novina izuzetno važan identifikacijski element koji omogućava čitatelju prijenos vlastitih iskustava koje je imao s postojećim, tiskanim izdanjima dnevnih novina u novi medij odnosno novu aplikaciju, pri čemu osim logotipa, kao izuzetno važan aspekt Garcia izdvaja i tipografiju te tip prijeloma novina.

Outing i Ruel [65] pronalaze sličan obrazac ponašanja kod čitatelja web stranica dnevnih novina koji na stranicu ulaze upravo identifikacijom logotipa novina koje čitaju, što djeluje vrlo slično ponašanju ispitanika u istraživanju prezentiranom u poglavlju 5.3. Ti nalazi, zajedno s rečenim rezultatima ranijih istraživanja i teorijskim pretpostavkama iz recentne literature ukazuju na važnost prijenosa vizualnog identiteta u nove aplikacije i novu tehnologiju, što odgovara zahtjevima za kvalitetno korisničko sučelje koje je postavio Marcus [3] i koji su objašnjeni u poglavlju 2.1.

C. Ako nema vizualno dominantnih elemenata, već su svi elementi jednake optičke težine i jednakih ili sličnih vizualnih karakteristika, ispitanici preferiraju gornju lijevu trećinu stranice.

Rezultati istraživanja prezentirani u poglavlju 5.6. u jednom svom dijelu obuhvatili su promjene pozicije članaka na stranici bez jasno izraženih odnosno dominantnih vizualnih elemenata pri čemu su se njihove pozicije izmjenjivale kroz dva vala istraživanja.

I u ovom slučaju pokazalo se da konzumacija sadržaja na stranici tablet novina slijedi ranije uspostavljene obrasce čitanja [36] po kojem, u slučaju da na stranici nema dominantnih vizualnih elemenata, dominantan je sadržaj u gornjem lijevom kutu, a zatim se čita sadržaj prema nasuprotnom kutu i dalje, ovisno o preferencijama čitatelja.

Gotovo iste nalaze donosi i studija kretanja oka po web stranicama dnevnih novina [65] koja je ustanovila da dominantni naslovi privlače više pozornosti ako su smješteni u gornjem lijevom uglu promatrane stranice, zatim dolaze članci u sredini i tek na kraju dolazi donja četvrtina stranice (vidi sliku 3.10.). Spomenuto istraživanje pokazalo je i relativno nizak prioritet desne trećine stranice, po čemu se poklapa s rezultatima istraživanja provedenim za potrebe ove disertacije i prikazanim u poglavlju 5.6.

D. Ispitanici najlakšim za čitanje ocjenjuju tekstove prelomljene u sans serifnim pismima pismovnih veličina 14 i 16 px, dok su serifna pisma iste veličine ocijenjena tek nešto slabijim ocjenama, a ispitanici preferiraju tekstove prelomljene u jednom stupcu.

Rezultati istraživanja čitkosti teksta s tablet uređaja prikazani u poglavlju 5.4. pokazala su slične rezultate kao i ranija istraživanja [43] kada je u pitanju odnos u brzini i težini čitanja teksta s papira i teksta sa zaslona računala, odnosno kada je u pitanju čitkost serifnih fontova [48].

Može se zaključiti da je čitanje s papira i dalje superiorno čitanju bilo sa zaslona stolnog računala, bilo s tablet računala, ali i da je razlika između čitanja sa zaslona stolnog računala u odnosu na čitanje teksta s tablet računala statistički značajno ($p=0.0057$) u korist čitanja teksta s tablet računala. Pokazalo se i da ispitanici sa zaslona lakše čitaju sans serif fontove. Rezultati, također, pokazuju da ispitanici preferiraju veće pismovne veličine od 14 i 16 px, što dijelom odudara od rezultata ranijih istraživanja.

Dužina retka pokazale se kao još jedan važan element, pri čemu se čitanje teksta na tablet računalu kada je prelomljen u dva stupca pokazalo kao statistički značajan problem, što korespondira sa sličnim ranijim istraživanjima [47] koja definiraju optimalan broj slovnih znakova u retku (oko 60-70) kako bi tekst bio čitak, ali se pokazuje da može ići i prema 80-ak slovnih znakova, ovisno o tipu prijeloma.

Istraživanje je pokazalo i kako broj slovnih znakova u retku ne bi trebao biti niži od 40 jer takav prijelom može uzrokovati povećanje subjektivnog osjećaja težine čitanja teksta.

- E. Navigacija kroz aplikaciju trebala bi slijediti postojeće modele navigacije, biti jednostavna i intuitivna za korištenje i koristiti poznate opcije koje su immanentne operacijskim sustavima za koje su napravljene.**
- F. Navigacija kroz sadržaj trebala bi počivati na pravilu od maksimalno dva koraka do i od bilo kojeg sadržaja, što se može postići kvalitetnom organizacijom sadržaja na alatnim trakama i korištenjem drugih navigacijskih alata.**

Rezultati fokus grupe prikazana u poglavlju 5.5. pokazali su da korisnici tablet aplikacija, prije svega oni naprednih znanja i iskustava preferiraju već postojeća rješenja, što potvrđuje teorijske pretpostavke bitne za izradu grafičkih korisničkih sučelja [3] prikazanih u poglavlju 2.1. i 3.5. te teorijskih predviđanja o intuitivnom korištenju aplikacija [85] koje su u velikoj mjeri oslanjaju na dodir i pokret kao glavne načine kretanja kroz sadržaj.

Istraživanje vizualnih ulaza na stranicu odnosno točaka vizualnog interesa prikazano u poglavlju 5.3. pokazalo je, međutim, da način gledanja stranice tablet novina odudara od načina gledanja web stranice novina [65] kod kojih je navigacija jedan od prvih vizualnih elemenata koje čitatelji uoče. Ispitanici koji su sudjelovali u istraživanju prikazanom u poglavlju 5.3. navigaciji kroz stranicu i kroz samu aplikaciju nisu pridavali jednaku pozornost kao ispitanici koji su promatrali web stranice novina (uz izuzetak pejzažno orijentirane naslovnice prelomljene ozbiljnim prijelomom prikazanoj na slici 5.13.), vjerojatno zbog prirode i načina korištenja aplikacije u tehnologiji i operativnim sustavima tablet uređaja, kod kojih oko traži druge dominantne vizualne podražaje, s obzirom da se navigacija ostvaruje prvenstveno rukama odnosno navigaciju dijelom preuzima drugi osjetilni sustav.

Optimalni sustav navigacije morao bi se oslanjati na ranije definirana teorijska pravila [3] koja od kvalitetnog sučelja zahtijevaju jasnu i konzistentnu organizacijsku strukturu, minimalan broj zadataka i prezentaciju prilagođenu znanju i mogućnostima korisnika.

Napredni korisnici i poznavatelji mogućnosti operativnih sustava postojećih uređaja dijelom su potvrdili spomenute pretpostavke u raspravi prikazanoj u poglavlju 5.5.

G. Poveznice uz članak povećavaju učestalost pristupa sadržaju na koji poveznica vodi. Postotak pristupa povećava se značajno ako je poveznica u vidnom polju korisnika.

Poveznice na dodatni ili povezani sadržaj istraživane su u ranijim istraživanjima [57] te njihov utjecaj na čitanost pojedinih sadržaja nije bio upitan. Sukladno zaključcima fokus grupa prikazanim u poglavlju 5.5., istraživanje prikazano u poglavlju 5.6. trebalo je utvrditi utječe li i u kojoj mjeri pozicija poveznice, u odnosu na cjelinu stranice, na povećanje opsega konzumacije povezanog sadržaja.

Rezultati istraživanja prikazani u poglavlju 5.6. pokazuju kako učestalost korištenja poveznica raste u trenucima kad se nalaze u vidnom polju ispitanika, što može imati veze sa zahtjevom ispitanika ranijih istraživanja provedenih na uređajima s ograničenim mogućnostima prikaza sadržaja za jasnom prostornom prezentacijom i pozicijom, pri čemu organizacija i pozicija ukazuju na važnost određenog sadržaja pa su, shodno tome, više rangirani sadržaji u percepciji čitatelja važniji od niže rangiranih [68].

H. Različiti multimedijски formati povećavaju zadovoljstvo korištenja aplikacije, pri čemu su fotografije i ilustracije tek neznatno bolje ocijenjene od animacija i audio-video formata.

Istraživanja utjecaja multimedijских formata na čitatelje postojećih aplikacija za tablet novine novo su područje istraživanja, s obzirom da je i sama tehnologija tablet uređaja relativno nova pa se kod ovog tipa istraživanja nije moglo pozvati na ranije relevantne studije i članke, ali postoji niz istraživanja koja su obradila utjecaj multimedije u mrežnim izdanjima novina, a koja su prikazana u poglavlju 2.5.

Prvobitne analize [61] pokazivale su kako multimedijски sadržaj odvlači pozornost čitatelja, čak i smeta kod njihovog čitanja pa se u postavljanju hipoteza ovog rada krenulo iz pozicije da multimedijски dodaci neće značajnije promijeniti stavove i navike čitatelja, barem dok se dužim korištenjem ne promijeni korisnički model (slika 2.1. u poglavlju 2.1.), sukladno teorijskim pretpostavkama [4]. Hipotezu je dijelom potvrdilo i

istraživanje očekivanja i zahtjeva potencijalnih korisnika sučelja za tablet novine prikazano u poglavlju 5.2. prema kojem je tek manji broj ispitanika koristio postojeće aplikacije.

Iz ranijih istraživanja prijelaza novina u online izdanja [56] [57] [59] [60] prikazanih u poglavlju 2.5. vidljivo je da je tek nakon određenog vremena korištenja i stvaranja navike multimedija postala prihvaćen dodatak dominantnom tekstualnom sadržaju u web okruženju. Rezultati istraživanja prikazanog u poglavlju 5.6. pokazali su, međutim, kako multimedijски dodaci i različiti multimedijски formati značajno povećavaju zadovoljstvo čitatelja.

I. Multimedijски dodaci ne osiguravaju nužno veću čitanost u odnosu na druge članke jer ispitanici u velikoj mjeri traže sadržaj koji ih zanima.

Rezultati istraživanja prikazani u poglavlju 5.6. ukazuju na činjenicu da je čitateljima i dalje sadržaj važniji od forme pa pojedini multimedijски dodaci, osim u jednom izdvojenom slučaju nisu nužno utjecali na povećanje interesa ispitanika, što se može dovesti u vezu s ranijim nalazima istraživanja prijelaza tiskanih novina u online format odnosno u mrežne stranice [62] [63] prema kojima čitatelji tekst i multimediju doživljavaju kao jedinstvenu cjelinu pa se za čitanje odlučuju na bazi nekog drugog čimbenika, a ne multimedijskog dodatka, koji ipak, kako je prikazano u poglavlju 5.6. obogaćuje čitateljsko iskustvo.

Rezultati i zaključci svih istraživanja korišteni su kako bi se oblikovao optimizirani model grafičkog korisničkog sučelja za tablet novine prikazan u poglavlju 5.6.

Pri izradi optimiziranog modela, osim spoznaja dobivenih istraživanjem i prikazanim u poglavlju 5., korištene su i ranije teorijske spoznaje [2] [3], prije svega one o karakteristikama učinkovitog i organiziranog korisničkog sučelja:

- a) korištena je mreža, u smislu u kojem je korištenje mreže u novinskom mediju objašnjeno i opisano u poglavlju 3.3.;
- b) standardizirani su vizualni elementi, u smislu prikazanom u poglavlju 3.4. te su
- c) grupirani elementi, u smislu objašnjenom i prikazanom u poglavlju 3.2.

Metodologija istraživanja zadovoljstva korištenja optimiziranog modela provedena je identično istraživanju očekivanja i zahtjeva potencijalnih korisnika grafičkog korisničkog sučelja 'tablet novina' prezentiranog u Poglavlju 5.2. kako bi rezultati iz oba istraživanja bili usporedivi i kako bi se u odnosu na postojeće modele omogućila verifikacija optimiziranog modela, a prema metodološkim preporukama i ranijim sličnim istraživanjima [70] [76] prikazanim u poglavlju 2.

U istraživanju je sudjelovalo 50 ispitanika, studenata stručnog studija Multimedije, oblikovanja i primjene Sveučilišta Sjever.

Ispitanici su odgovarali na pitanje o kvaliteti aplikacije kroz tri promatrane karakteristike:

- a. Korištenje multimedijских formata
- b. Čitkost teksta
- c. Vizualni/grafički dizajn aplikacije.

Zadovoljstvo korištenjem aplikacije ispitano je Likertovom skalom (1 – 5, gdje je 1 – potpuno nezadovoljan, a 5 – potpuno zadovoljan).

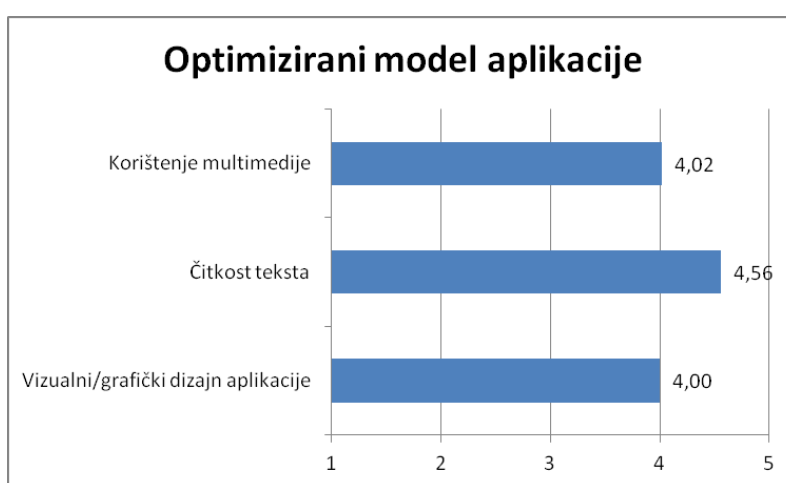
S obzirom da distribucija podataka dobivenih istraživanjem statistički značajno odstupa od normalne razdiobe, što je testirano Kolmogorov-Smirnovljevim testom, sa svrhom ispitivanja statističkih značajnosti razlika između uzoraka korišten je Kruskal-Wallisov test (tablica 14.). Rezultati anketnog ispitivanja prikazani su u Grafikonu 6.1.

Tablica 14. Rezultati Kruskal-Wallisovog testa za promatrana anketna ispitivanja

UZORAK	Kruskal-Wallis test	
	<i>H</i>	<i>p</i>
Vizualni/grafički dizajn	18.9947	0.0000
Čitkost teksta	36.9581	0.0000
Korištenje multimedije	42.5217	0.0000

Iz tablice 14. je vidljivo da postoji statistički značajna razlika u odgovorima ispitanika na pitanje o kvaliteti vizualnog/grafičkog dizajna aplikacije ($p=0.0000$), a testom za višestruko uspoređivanje utvrđeno je da se statistički značajno razlikuju rezultati dobiveni za Jutarnji list i Optimizirani model.

Također, postoji i statistički značajna razlika u po pitanju čitkosti ($p=0.0000$) između Optimiziranog modela i obje promatrane aplikacije. Kod odgovora o korištenju multimedije postoji statistički značajna razlika ($p=0.0000$) utvrđena testom za višestruko uspoređivanje između Optimiziranog modela i obje promatrane aplikacije.

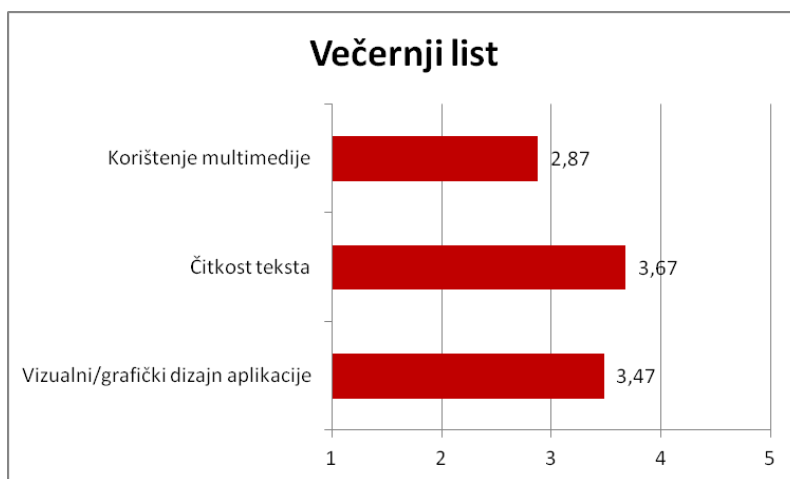


Slika 6.1. Zadovoljstvo pojedinim aspektima aplikacije optimiziranog modela

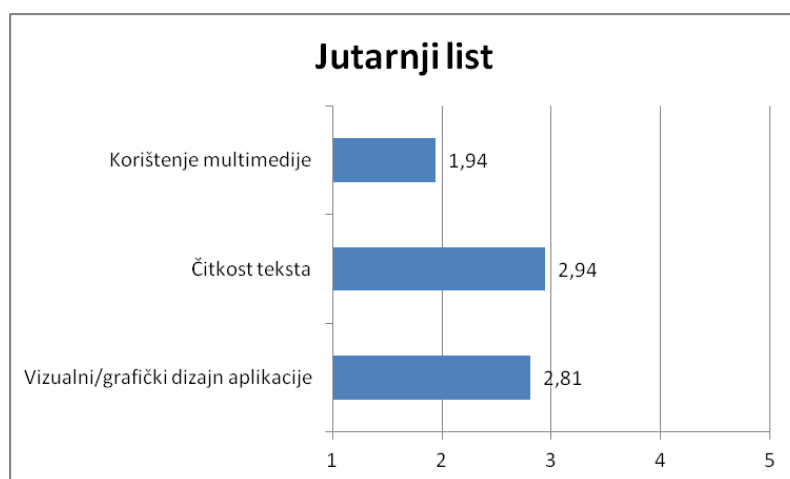
Ispitanici koji su koristili optimizirani model ocijenili su njegov vizualni izgled odnosno dizajn prosječnom ocjenom 4. Čitkost teksta dobila je visoku prosječnu ocjenu od 4,56, a korištenje multimedijskih sadržaja ocjenu 4,02.

Budući da su u izradi optimiziranog modela korištene spoznaje iz istraživanja prikazanih u poglavlju 5. te da su ujedno korištene i rezultati ranijih istraživanja i teorijskih spoznaja prikazanih u poglavljima 2. i 3., u usporedbi s postojećim modelima nastalima u uvjetima realne grafičke proizvodnje, vidljivo je da su konzumenti grafičkih sadržaja značajno bolje ocijenili optimizirani model.

Rezultati anketnog ispitivanja postojećih modela prikazani su ponovo u Slikama 6.2. i 6.3.



Slika 6.2. Zadovoljstvo pojedinim aspektima aplikacije Večernjeg lista



Slika 6.3. Zadovoljstvo pojedinim aspektima aplikacije Jutarnjeg lista

Tablica 15. Rezultati t- testa zadovoljstva korisnika postojećim aplikacijama Jutarnjeg i Večernjeg lista

Parametri t-testa		
T= 1.941948	P=0.030957	p < 0.05
T= 2.243865	P=0.016322	p < 0.05
T= 2.923315	P=0.003326	p < 0.05

Sukladno spomenutom, može se zaključiti kako je verificiran optimizirani model grafičkog korisničkog sučelja za tablet novine koji je oblikovan u skladu sa svim nalazim istraživanja prezentiranim u ovom poglavlju.

7. ZAKLJUČAK

U istraživanjima provedenim prilikom izrade ovog rada sudjelovalo je ukupno 393 ispitanika, a provedeno je 7 različitih istraživanja, čiji su rezultati sumirani u ranijem poglavlju. Rad sadrži 54 fotografije i ilustracije, 21 grafikon i 14 tablica te 143 bibliografske reference. Pojedini segmenti rada, u integralnom ili izmijenjenom obliku, tijekom istraživanja publicirani su u obliku znanstvenih radova u relevantnim publikacijama i na znanstvenim skupovima.

Na temelju zaključaka i rezultata svih provedenih istraživanja, moguće je zaključiti kako kod transfera sadržaja tiskanih novina u digitalno okruženje odnosno u sučelje za tablet novine, treba u mjeri u kojoj je to moguće, slijediti postojeće modele grafičkog oblikovanja i organizacije sadržaja koji postoje kod tiskanih izdanja. Optimizacija grafičkih parametara korisničkog sučelja, sukladno tome, sastoji se od definiranja okvira i preporuka, navedenih u poglavlju 6., koje pokazuju unutar kojih tehničko-tehnoloških odnosno oblikovnih okvira korisnici dobivaju najbolje korisničko iskustvo.

Istovremeno, potrebno je u mjeri koliko je god to moguće, koristiti mogućnosti koje nudi nova tehnologija, prije svega u korištenju multimedijских dodataka, ali i interaktivnosti koja počiva na intuitivnom korištenju svojstvenom promatranoj tehnologiji. Sukladno zahtjevima i navikama korisnika bilo bi poželjno broj koraka potrebnih za dolazak do željenog sadržaja koliko je moguće skratiti, maksimalno na dva koraka te sadržaj prelomiti na čitateljima prihvatljivu veličinu, o čemu je više rečeno u Poglavlju 6.

Na početku rada postavljene su sljedeće hipoteze:

H1: Vizualni i grafički standardi postavljeni za tiskane dnevne novine i web izdanja u većoj mjeri ne mogu se primijeniti i kod tablet izdanja.

H2: Multimedijски sadržaji integrirani u sadržaj tablet izdanja značajnije povećavaju interes i zadovoljstvo korisnika.

Rezultati istraživanja opovrgnuli su hipotezu H1 jer se pokazalo da se model ponašanja korisnika u određenoj mjeri ipak preslikava iz postojećih praksi. Istraživanja su potvrdila hipotezu H2 jer se pokazalo da multimedijски dodaci odnosno sadržaji u značajnoj mjeri poboljšavaju čitateljsko iskustvo.

Spomenuta istraživanja – pa tako i ova disertacija – imaju nekoliko ograničenja koja treba uzeti u obzir prilikom interpretacije rezultata. Uzorak čitatelja korištenih u pojedinim fazama istraživanja bio je prigodan, a ne slučajan, a izabran je prije svega zbog činjenice da spomenuti uzorak koristi i poznaje istraživanu tehnologiju. Međutim, svi ispitanici ulaze u grupu 18-49 godina koja se u nizu istraživanja koristi kao ciljna, pogotovo kod medijskih istraživanja. Zaključci istraživanja trebali bi se, stoga, potvrditi i na općoj populaciji, po mogućnosti longitudinalnim istraživanjem, kad se za to stvore uvjeti. To se, prije svega odnosi na tehnološka i ekonomska ograničenja koja se moraju nadići kako bi se ostvarilo jedno takvo istraživanje.

Izrada ove disertacije nije u obzir uzela ekonomske, komunikološke i tehnološke parametre koji su izuzetno bitni za ranije spomenuti transfer sadržaja iz tiskanih u tablet novine odnosno iz tiskanih u digitalne formate.

Stoga se kao logični nastavak rada na ovoj tematici nameću istraživanja ekonomskih parametara koji su bitni za transfer tehnologije, prije svega troškove i organizaciju proizvodnje i distribucije sadržaja te brzine penetracije spomenute tehnologije i pripadajućih uređaja u opću populaciju.

Komunikološki aspekt tek je rubno dodirnut prilikom strukturalne analize i definiranja novih modela proizvodnje medijskog sadržaja, čiji bi logični nastavak trebao biti istraživanje i analiza te osmišljavanje novih komunikacijskih sadržaja, formata i žanrova koji će u potpunosti odgovarati novoj tehnologiji.

Niz istraživanja pokazao je kako korištenje pojedinih tehnologija kontinuirano mijenja korisničko iskustvo, čemu su posebno podložni sustavi bazirani na digitalnim i mrežnim tehnologijama, a takva promjena ujedno dovodi i do promjene i razvoja odnosno unaprjeđenja samih sustava pa bi se i taj segment trebao dodatno i kontinuirano istraživati.

8. POPIS KORIŠTENE LITERATURE

- [1] Pew Research Center, »A Tablet Revolution: How People Use Tablets and What it Means for the Future of News«, Pew Research Center, Oct. 25, 2011.
- [2] Galitz, W., »The Essential Guide to User Interface Design An Introduction to GUI Design Principles and Techniques«, Indianapolis, IN: Wiley Publishing, 2007.
- [3] Marcus, A. »Graphical User Interfaces,« u *Handbook of Human-Computer Interaction*, Amsterdam, NL, Elsevier Science BV, 1997, pp. 423-440.
- [4] Allen, R. B., »Mental Models and User Models,« u *Handbook of Human-Computer Interaction*, Amsterdam, NL, 1997, pp. 49-64.
- [5] Zelenika, R., »Metodologija i tehnologija izrade znanstvenog i stručnog djela,« 4. izd., Rijeka: Ekonomski fakultet Sveučilišta u Rijeci, 2000.
- [6] Zhang, P., Li, N., Scialdone, M.J., Carey, J., »The Intellectual Advancement of Human-Computer Interaction Research: A Critical Assessment of the MIS Literature (1990-2008),« *AIS Transactions on Human-Computer Interaction*, svez. 1, br. 3, pp. 55-107, 2009.
- [7] Hayes, G. R., »The relationship of action research to human-computer interaction,« *ACM Transactions on Computer-Human Interaction*, svez. 18, br. 3, p. Article 15 (20), 2011.
- [8] Peters, M., Robinson, V., »The origins and status of action research,« *Journal of Applied Behavioral Science*, svez. 20, br. 2, p. 113-124, 1984.
- [9] McNiff, J., Lomax, P., Whitehead, J., »You and your action research project,« New York: Hyde publications, 1996.
- [10] Susman G.I., R.D. Evered, »An Assessment of the Scientific Merits of Action Research,« *Administrative Science Quarterly*, svez. 5, br. 23, pp. 582-603, 1978.
- [11] Kock, N.F., Jr., McQueen, R.J., Scott, J.L., »Can Action Research be Made More Rigorous in a Positivist Sense? The Contribution of an Iterative Approach,« *Journal of Systems and Information Technology*, svez. 1, br. 1, pp. 1-24, 1997.
- [12] Quesenbery, W., »The Five Dimensions of Usability,« u *Content and Complexity: Information Design in Technical Communication*, Mahwah, NJ, Lawrence Erlbaum Associates, 2003, pp. 75-94.
- [13] Shackel, B., »Usability — context, framework, definition, design and evaluation,« u *Human Factors for Informatics Usability*, Cambridge, U.K, Cambridge University Press, 1991.
- [14] Hornbæk, K., »Some Whys and Hows of Experiments in Human-Computer Interaction,« *Foundations and Trends in Human-Computer Interaction*, svez. 5, br. 4, p. 299-373, 2011.

- [15] Hagen, P., Robertson, T., Kan, M., Sadler, K., »Emerging Research Methods For Understanding Mobile Technology Use,« u *Proceedings of OZCHI 2005*, Canberra, Australia, 2005.
- [16] Fallman, D., »The New Good: Exploring the Potential of Philosophy of Technology to Contribute to Human-Computer Interaction,« u *Proceedings of CHI 2011*, Vancouver, 2011.
- [17] Koskinen, I., Zimmerman, J., Binder, T., Redström, J., Wensveen, S., »Design Research through Practice – From the Lab, Field, and Showroom,« Waltham, MA: Morgan Kaufmann, 2011.
- [18] Moggridge, B., »Designing Interactions,« Cambridge, MA: MIT Press, 2007.
- [19] Saffer, D., »Designing for Interaction: Creating Innovative Applications and Devices (2nd Edition),« Berkeley, CA: New Riders, 2009.
- [20] Houde, S., Hill, C., »What do Prototypes Prototype?,« u *Handbook of Human-Computer Interaction*, Amsterdam, NL, Elsevier Science BV, 1997, pp. 367-382.
- [21] Floyd, C., »A Systematic Look at Prototyping,« u *Approaches to Prototyping*, Berlin, DE, Springer Verlag, 1984, pp. 105-122.
- [22] Polanyi, M., »Tacit Knowing: Its Bearing on Some Problems of Philosophy,« *Reviews of Modern Physics*, svez. 34, br. 4, pp. 601-616, 1962.
- [23] Tomiša, M., Milković, M., »Grafički dizajn i komunikacija,« Varaždin, HR: Veleučilište u Varaždinu, 2013.
- [24] Wimmer, R. D., Dominick, J.R., »Mass Media Research: An Introduction, 7th edition,« Wadsworth Publishing, 2003..
- [25] Barnhurst, K.G., Nerone, J.C., »Design changes in u.s. front pages, 1885 – 1985,« *Journalism Quarterly*, svez. 68, br. Winter, pp. 796-804, 1991.
- [26] Barnhurst, K.G., Nerone, J., »The Form of News: A History,« New York: The Guilford Press, 2001.
- [27] Haskins, J.B., Flynn, L., »Effects of headline typeface variation on reader interest,« *Journalism Quarterly*, svez. 51, br. 4, pp. 677-682, 1974.
- [28] Click, J.W., Baird, R.N., »Magazine Editing & Production,« Dubuque, IA: Brown & Benchmark Publishers, 1994.
- [29] Wanta, W., Gao, D. »Young Readers and the Newspaper,« *Journalism and Mass Communication Quarterly*, svez. 71, br. 4, pp. 926-936, 1994.
- [30] Geraci, P., »Newspaper Illustrations and Readership: Is USA Today on Target?,« *Journalism Quarterly*, svez. 61, pp. 409-413, 1984.

- [31] Kelly, J., »The data-ink ratio and accuracy of newspaper graphics,« *Journalism Quarterly*, svez. 66, br. 3, pp. 623-639, 1989..
- [32] Griffin, J., Stevenson, R., »Influence of text and graphics in increasing understanding of foreign news content,« *Newspaper Research Journal*, svez. 13, br. 1/2, pp. 84-98, 1992.
- [33] Just, M. A., Carpenter, P. A., »A theory of reading: From eye fixations to comprehension,« *Psychological Review*, svez. 87, p. 329–355, 1980.
- [34] Duchowski, A., »Eye Tracking Methodology: Theory and Practice, « Springer, 2007.
- [35] Holmqvist, K., Holsanova, J., Barthelson, M., Lundqvist, D. , »Reading or Scanning? A Study of Newspaper and Net Paper Reading,« u *The Mind's Eye: Cognitive and Applied Aspects of Eye Movement Research*, Amsterdam, Elsevier, 2003, p. 657–70.
- [36] Garcia, M., Stark Adam, P., »Eyes on the News, « St Petersburg, FL: The Poynter Institute, 1991..
- [37] Holsanova, J., Rahm, H., Holmqvist, K., »Entry points and reading paths on newspaper spreads: comparing a semiotic analysis with eye-tracking measurements,« *Visual Communication*, svez. 5, br. 65, 2006 .
- [38] Josephson, S., »Eye Tracking Methodology and the Internet,« u *Handbook of Visual Communication*, Mahwah, NJ, Lawrence Erlbaum Associates, 2005.
- [39] Bohle, R.H., Garcia. M., »Reader Response to Color Halftones and Spot Color in Newspaper Design,« *Journalism Quarterly*, svez. 64, pp. 731-739, 1987.
- [40] Stark Adam, P., Edmonds, R., Quinn, S., »Eyetracking the News: A Study of Print and Online Reading,« Poynter Institute, St. Petersburg, FL, 2007.
- [41] Pibernik, J., Miličić, D., Barbarić, Ž., »Design for Destiny: The case of croatian newspapers,« u *Proceedings of Management of Technology – Step to Sustainable Production Conference*, Šibenik, HR, 2009.
- [42] Periša, M., Čerepinko, D., Milković, M., » Analiza metodike prezentacije informacija u hrvatskim tiskanim medijima primjenom teorijskih pravila Gestalta,« u *Zbornik radova 14. međunarodnog savjetovanja tiskarstva, dizajna i grafičkih komunikacija Blaž Baromić*, Zagreb, Croatia, 2010.
- [43] Dillon, A., »Reading from paper versus screens: a critical review of the empirical literature,« *Ergonomics*, , svez. 35, br. 10, pp. 1297-1326, 1992.
- [44] Tinker, M., »Legibility of print,« Ames, IA: Iowa state University Press, 1963.
- [45] Bruce, V., Green, P., »Visual perception: physiology, psychology and ecology,« London : Lawrence Erlbaum, 1985.

- [46] Furlan, I., »Čitanje u svjetlosti teorije informacije,« *Pedagogija*, svez. 4, pp. 596-612, 1963.
- [47] Rabinowitz, T., »Exploring Typography,« Clifton Park, NY: Thomson/Delmar Learning, 2006.
- [48] Sheedy, J.E., Subbaram, M. V., Zimmerman, B., Hayes, J.R., »Text Legibility and the Letter Superiority Effect,« *Human Factors: The Journal of the Human Factors and Ergonomics Society*, svez. 47, br. 4, pp. 797-815, 2005.
- [49] Legge, G., »Psychophysics of Reading,« Mahwah, NJ: Lawrence Erlbaum Associates, 2006.
- [50] Margolin, S. J., Driscoll, C., Toland, M. J., Kegler, J. L., »E-readers, Computer Screens, or Paper: Does Reading Comprehension Change Across Media Platforms?,« *Applied Cognitive Psychology*, svez. 27, p. 512-519, 2013.
- [51] Mesaroš, F., »Tipografski priručnik,« Zagreb: Grafički obrazovni centar, 1985.
- [52] Berrymann, G., »Notes on graphic design and visual communication,« Los Altos, CA: Kaufman, 1984.
- [53] Baines, P., Haslam, A., »Type & typography,« New York: A Watson-Guptill Publications, 2002.
- [54] McMurtrie, D., »The Philosophy of Modernism in Typography,« u *Looking Close 3: Critical Writings on Graphic Design*, New York, Skyhorse Publishing, 1929/1999.
- [55] McLuhan, M., »Razumijevanje medija,« Zagreb: Golden Marketing-Tehnička knjiga, 1946/1996.
- [56] Peng, F.Y, Tham, N.I., Hao, X., »Trends in online newspapers,« *Newspaper Research Journal*, svez. 20, br. 2, pp. 52-63, 1999.
- [57] Li, X., »Web page design and the graphics of three U.S. newspapers,« *Journalism & Mass Communication Quarterly*, svez. 75, br. 2, pp. 353-365, 1998.
- [58] Wearden, S.T., Fidler, R., Schierhorn, A.B., Schierhorn, C., »Portrait vs. Landscape: Potential users' preferences for screen orientation,« *Newspaper Research Journal*, svez. 20, br. 4, pp. 50-62, 1999.
- [59] Vaughan, M.W., Dillon, A., »Why structure and genre matter to users of digital information: a longitudinal study with readers of a web-based newspaper,« *International Journal of Human-Computer Studies*, svez. 64, pp. 502-526, 2006.
- [60] Lin, C. A., Jeffres, L. W., »Comparing distinctions and similarities across Web sites of newspapers, radio stations, and television stations,« *Journalism & Mass Communication Quarterly*, svez. 78, br. 3, pp. 555-573, 2001.
- [61] Sundar, S., »Multimedia effects on processing and perception of online news,« *Journalism &*

- Mass Communication Quarterly*, svez. 77, br. 3, pp. 480-499, 2000.
- [62] Quinn, S., »Convergent Journalism: The Fundamentals of Multimedia Reporting,« New York: Peter Lang Publishing, 2005.
- [63] Salwen, M.B., Garrison, B., Driscoll, P.D., »The Baseline Survey Projects: Exploring Questions,« u *Online News and the Public*, New Jersey, Lawrence Erlbaum Associates, 2005, pp. 47-79.
- [64] Lewenstein, M., Edwards, G., Tatar, D., DeVigal, A., »Poynter Eyetrack Study,« 2000. [Mrežno]. Available: <http://www.poynter.org/eyetrack2000>. [Pristupljeno XI. 2013.].
- [65] Outing, S., Ruel, L., »The Best of Eyetrack III: What We Saw When We Looked Through Their Eyes,« 2004. [Mrežno]. Available: <http://www.poynterextra.org/eyetrack2004>. [Pristupljeno XI. 2013.].
- [66] Quinn, S., »EyeTrack: Tablet Report,« 17. Oct. 2012. [Mrežno]. Available: www.poynter.org. [Pristupljeno XII. 2013.].
- [67] Fidler, R., »Mediamorphosis: Understanding News Media,« Thousand Oaks, CA: PineForgePress, 1997.
- [68] Hollander, B.A., Krugman, D.M., Reichert, T., Avant, J.A., »The e-reader as replacement for the print newspaper,« *Publishing Research Quarterly*, svez. 27, pp. 126-134, 2011.
- [69] McHaney, R., »The New Digital Shoreline: How Web 2.0 and Millennials Are Revolutionizing Higher Education,« Sterling: Stylus, 2011.
- [70] Xu, X., Wai Kit Ma, W., Wing Kuen See-To, E., »Will mobile video become the killer application for 3G mobile Internet? a model of media convergence acceptance,« *Information Systems Frontiers*, svez. 12, br. 3, pp. 311-322, 2010.
- [71] Zimmerman, J., Forlizzi, J., Evenson, S., »Research Through Design as a Method for Interaction Design Research in HCI,« u *CHI 2007 Proceedings*, San Jose, CA, 2007.
- [72] Zimmerman, J., Stolterman, E., Forlizzi, J., »An Analysis and Critique of Research through Design: towards a formalization of a research approach,« u *Proceedings of the Conference on Designing Interactive Systems*, 2010.
- [73] Fallman, D., »Design-oriented Human—Computer Interaction,« u *Proceedings of CHI*, Ft. Lauderdale, FL, 2003.
- [74] Zimmerman, J., Forlizzi, J., »The Role of Design Artifacts in Design Theory Construction,« *Artifact: Journal of Virtual Design*, svez. 2, br. 1, pp. 41-45, 2008.
- [75] Bang, A.L., Krogh, P., Markussen, T., Ludvigsen, M., »The role of Hypothesis in Constructive Design Research,« u *The Art of Research 2012: Making, Reflecting and understanding*, Helsinki, 2012.

- [76] Sproull, N.L., »Handbook of Research Methods,« 2nd ed., Lanham, MD: Scarecrow Press, 2002.
- [77] Dunne, A., »Hertzian tales: electronic products, aesthetic experience, and critical design,« Cambridge, MA: M.I.T. Press, 2005.
- [78] DiSalvo, C., »Design and the Construction of Publics,« *Design Issues*, svez. 25, br. 1, pp. 48-63, 2009.
- [79] Bedny, G., Karwowski, W., »A Systemic-Structural Theory of Activity: Applications to Human Performance and Work Design,« London: Taylor & Francis, 2007.
- [80] Bedny, G., Karwowski, W., »A Systemic-Structural Activity Approach to the Design of Human-Computer Interaction Tasks,« *International Journal of Human-Computer Interaction*, svez. 16, br. 2, p. 235-260, 2003.
- [81] Bedny, G.Z., Harris, S.R., »The systemic-structural theory of activity: applications to the study of human work,« *Mind, Culture, and Activity*, svez. 12, br. 2, pp. 128-147, 2005.
- [82] Bain, C., Weaver, D., »Newspaper Design and Newspaper Readership,« u *Annual Meeting of the Association for Education in Journalism (62nd, Houston, Texas, August 5-8, 1979)*, Houston, TX, 1979.
- [83] Strand, L., »Legibility on a podcast: color and typefaces,« u T. Sobh (Ed.), *Advances in computer and information sciences and engineering*(pp. 265-267). Netherlands: Springer, 2008.
- [84] Dillon, A., »Writing as Design: Hypermedia and the shape of information space,« u *Writing Hypertext and Learning: conceptual and empirical approaches*, London, Pergamon, 2002, pp. 63-72.
- [85] Garcia, M., »iPad Design Lab - Basic: Storytelling in the Age of the Tablet,« Blue Ash, OH: HOW Books, 2012.
- [86] »Tobii_X60_X120_UserManual,« [Mrežno]. Available: www.tobii.com. [Pristupljeno XII. 2013.].
- [87] Olsson, P., »Real-time and offline filters for eye tracking,« Stockholm,: KTH Royal Institute of Technology, 2007.
- [88] »Tobii_Manual_TobiiStudio3.2,« [Mrežno]. Available: www.tobii.com. [Pristupljeno XII. 2013.].
- [89] Mustonen, T., Olkkonen, M., Häkkinen, J., »Examining Mobile Phone Text Legibility while Walking,« u *CHI 2004 Proceedings*, Vienna, Austria, 2004.
- [90] Brangan, S., »Razvoj formula citkosti za zdravstvenu komunikaciju na hrvatskom jeziku (doktorska disertacija),« Zagreb, HR: Medicinski fakultet Sveučilišta u Zagrebu, 2011.

- [91] MacGregor, P., »Tracking the Online Audience,« *Journalism Studies*, svez. 8, br. 2, p. 280 — 298, 2007.
- [92] Hurlburt, A., »The Grid: A Modular System for the Design and Production of Newspapers, Magazines, and Books,« New York: Van Nostrand Reinhold, 1978.
- [93] Garcia, M., »Contemporary Newspaper Design: A Structural Approach,« New Jersey: Prentice Hall, 1993.
- [94] Smith, K., »Perception and the Newspaper Page: A Critical Analysis,« u *Handbook of Visual Communication*, Mahwah, NJ, Lawrence Erlbaum Associates, 2005, pp. 81-95.
- [95] Barnhurst, K., Nerone, J., »The Form of News: Thoughts on the Newspaper as Environment,« u *Media Ecology Association (MEA)*, New York, 2002.
- [96] Pasternack, S., Utt, S.H., »Subject Perceptions of Newspaper Characteristics Based on Front Page Design,« *Newspaper Research Journal*, svez. 8, pp. 29-35, 1986.
- [97] Bürdek, B., »Design: history, theory and practice of product design,« Basel: Birkhäuser, 2005.
- [98] Koffka, K., »Principles of Gestalt Psychology,« London: Routledge, 1935/1999.
- [99] Hochberg, J., »'Art, Perception and Reality,« u *The representation of things and people*, Baltimore, MA, Johns Hopkins University Press, 1972.
- [100] Hochberg, J., »Levels of Perceptual Organisation,« u *Julian Hochberg on the Perception of Pictures, Films, and the World*, Oxford, Oxford University Press, 2006., pp. 275-301.
- [101] Hochberg, J., Brooks, V., »The Psychophysics of Form: Reversible perspective Drawings of Spatial Objects,« *American Journal of Psychology*, svez. 73, pp. 337-354, 1960.
- [102] DiMarco, J., »Digital Design for Print and Web: An Introduction to Theory, Principles, and Techniques,« Hoboken NJ: John Wiley & Sons, 2010.
- [103] Hambidge, J., »Dynamic Symmetry: The Greek Vase (Reprint of original Yale University Press edition ed.),« Whitefish, MT: Kessinger Publishing, (2003/1920).
- [104] Stone, G. C., Schweitzer J.C., Weaver, D.H., »Adoption of Modern Newspaper Design,« *Journalism Quarterly*, svez. 55, p. 761-766, 1978.
- [105] Moen, D.R., »Newspaper Layout and Design, 2d. ed.,« Ames: Iowa State University Press, 1989..
- [106] Ames, S., »Elements of Newspaper Design,« New York: Praeger, 1989..
- [107] Kress, G., van Leeuwen, T., »Front Pages: (The Critical) Analysis of Newspaper Layout,« u *Approaches to Media Dis-course*, Oxford, UK, Blackwell, 1998, pp. 186-219.

- [108] Utt, S., Pasternack, S., »Front Pages of US Daily Newspapers,« *Journalism Quarterly*, svez. 61, pp. 879-884, 1984.
- [109] Garcia, M., Click, J.W., Stempel, G.H., »Reader response to redesign of St.Cloud Daily Times,« *Newspaper Research Journal*, svez. 2, pp. 36-41, 1980 .
- [110] McPherson, J.B., »Journalism at the End of the American Century, 1965-Present,« Westport: Praeger, 2006.
- [111] Smith, R., »How Design & Color Affect Readers' Judgment of Newspapers,« *Newspaper Research Journal*, svez. 10, pp. 75-85, 1989.
- [112] Wanta, W., Roark, B., »Cognitive and Affective Responses to Newspaper Photographs,« u *Visual Communication Division at the Association for Education in Journalism and Mass Communication annual conference*, Kansas City, MO, 1993.
- [113] Simon, J., »Reaction towards the source of stimulation,« *Journal of Experimental Psychology*, svez. 81, pp. 174-176, 1969.
- [114] Zorzi, M., Mapelli, D., Rusconi, E., Umlita, C., »Automatic spatial coding of perceived gaze direction is revealed by the Simon Effect,« *Psychonomic Bulletin & Review*, svez. 10, br. 2, pp. 423-429, 2003.
- [115] Huh, H.-J., »The Effect of Newspaper Picture Size,« *Visual Communication Quarterly*, svez. 1, pp. 14-18, 1994.
- [116] Bird, S., »For Enquiring Minds: A Cultural Study of Supermarket Tabloids,« Knoxville, TN: University of Tennessee Press, 1992.
- [117] Fleming, M. L., Levie, W. H., »Instructional Message Design (2nd ed.),« Englewood Cliffs, NJ: Educational Technology Publications, 1993.
- [118] Elezović, A., »O čemu pišu novine?: Analiza sadržaja novinskih naslovnica (siječanj – lipanj 2011.),« *Medijska istraživanja*, svez. 18, br. 1, pp. 61-88, 2012.
- [119] Boczkowski, P., »Digitizing the News: Innovation in Online Newspapers,« Cambridge, MA: M.I.T. Press, 2004.
- [120] Lowery, S.A., DeFleur, M.L., »Milestones in Mass Communication Research: Media Effects (3rd ed.),« White Plains, NY: Longman, 1995.
- [121] Schoenbach, K., de Waal, E., Lauf, E., »Research Note: Online and Print Newspapers : Their Impact on the Extent of the Perceived Public Agenda,« *European Journal of Communication*, svez. 20, br. 2, pp. 245-258, 2005.
- [122] Fang, I., »A History of Mass Communication: Six Information Revolutions,« Boston: Focal Press – Elsevier, 1997.

- [123] Kirchner, A., »CRS Report for Congress: The U.S. Newspaper Industry in Transition,« Washington DC: Congressional Research Service, 2010.
- [124] Bohlin, E. Brodin, K. Lundgren, A. Thorngren, B., »Convergence in Communications and Beyond,« Amsterdam : Elsevier, 2000.
- [125] Petersen, A., »Realizing Cross media,« u *Ambivalence Towards Convergence*, Gothenburg, Nordicom, 2007.
- [126] Dailey L., Demo L., Spillman M., »The Convergence Continuum: A Model for Studying Collaboration Between Media Newsrooms,« u *Newspaper Division of the Association for Education in Journalism and Mass Communication*, Muncie, IN, 2005.
- [127] Boczkowski, P.J., Ferris, J.A., »Multiple media, convergent processes, and divergent products,« *The Annals of the American Academy*, svez. 597, br. 1, pp. 32-47, 2005.
- [128] Erdal, I., »Bridging the Gap: Toward a Typology of Cross-media News Production Processes,« u *The Handbook of Global Online Journalism*, Malden, MA, Wiley-Blackwell, 2012.
- [129] Lawson-Borders, G., »Integrating New Media and Old Media: Seven Observations of Convergence as a Strategy for Best Practices in Media Organizations,« *International Journal on Media Management*, svez. 5, br. 2, 2003.
- [130] Pew Research Center, »State of the News Media 2012,« Pew Research Center, Mar. 19, 2012..
- [131] Ahern, R.K., Stromer-Galley, J., »The interaction effect: an experimental study of high and low interactivity political websites,« u *Proceedings of the 50th Annual Conference of the International Communication Association*, Acapulco, MX, 2000.
- [132] Bolter, J., Grusin, R., »Remediation: Understanding new Media,« Cambridge, MA: M.I.T. Press, 1999.
- [133] Čerepinko, D., Periša, M., Valdec, D., »Integrativni model proizvodnje medijskog sadržaja tiskanih medija u multiplatformskim produkcijskim uvjetima,« *Tehnički glasnik*, svez. 8, br. 1, pp. 109-113, 2014.
- [134] Bibby, A., »The Rapid Development of Tablet Computing (White paper),« TCO Development , 2011.
- [135] Soneira, R., »Flagship Tablet Display Technology Shoot-Out (Industry Report),« 2013. [Mrežno]. Available: http://www.displaymate.com/Tablet_ShootOut_3.htm. [Pristupljeno XII. 2013.].
- [136] »IDC Worldwide Tablet Tracker,« October 30, 2013.
- [137] Heikenfeld, J., Drzaic, P., Yeo, J.-S., Koch, T., »A critical review of the present and future

- prospects for electronic paper,« *Journal of the Society for Information Design*, svez. 19, br. 2, 2011.
- [138] »E-paper Technologies Reference Guide,« 3 2012.. [Mrežno]. Available: <http://www.epapercentral.com/epaper-technologies-guide>. [Pristupljeno XII. 2013.].
- [139] Čerepinko, D., Džimbeg-Malčić, V., »Pregled tehnologija elektroničkog papira i pretpostavke budućeg razvoja e-papira,« *Tehnički glasnik*, svez. 7, br. 1, pp. 91-96, 2013.
- [140] Clark, D.T., Goodwin, S.P., Samuelson, T., Coker, C., »A qualitative assessment of the Kindle e-book reader: results from initial focus groups,« *Performance Measurement & Metrics*, svez. 9, br. 2, p. 118–129, 2008.
- [141] Rogers, E.M., »Diffusion of Innovations, 5th ed.,« New York, NY: Free Press, 2003.
- [142] Neyts, K., »Microcavity effects and the outcoupling of light in displays and lighting applications based on thin emitting films,« *Applied Surface Science*, br. 244, 2005.
- [143] Čerepinko, D., Vrdoljak, N., Gamberožić, J., »Od Gutenberga do Gorea: Nova generacija elektroničkih knjiga ili nedovoljno iskorištena aplikacija,« u *Zbornik radova 15. međunarodnog savjetovanja tiskarstva, dizajna i grafičkih komunikacija Blaž Baromić*, Zagreb, 2011.

POPIS SLIKA I TABLICA

Slika 2.1. Proces , mentalni model, korisnička reakcija [4, str. 50]	... str. 7
Slika 2.2. Razlike između istraživanja usmjerenog korisniku i akcijskog istraživanja [7, str. 15:6]	...str. 11
Slika 2.3. Krug akcijskog istraživanja Susman i Evereda [10]	... str. 12
Slika 2.4. Interakcijski dizajn kao dio dizajna korisničkog iskustva. [19, str. 21]...	str. 16
Slika 2.5. Shematski dijagram procesa čitanja i razumijevanja teksta (prema [33])	str. 26
Slika 2.6. Prototipovi aplikacija korištenih u Eyetrack:Tablet istraživanju [66]...	str. 33
Slika 2.7. Dijagram toka istraživanja korisničkog sučelja za tablet novine.	... str. 40
Slika 3.1. Naslovne stranice USA TODAY-a i The New York Timesa	... str. 52
Slika 3.2. Pravila Gestalta: figura-podloga; kontinuitet, simetrija [prema 98]	... str. 54
Slika 3.3. Pravila grupiranja Gestalta: sličnost, zatvaranje, bliskost [prema 98]...	str. 55
Slika 3.4. Le Corbusierov Modulor [92, str. 15] i mreža [92, str. 17]	... str. 56
Slika3.5. Primjer upotrebe mreže u modernom novinskom dizajnu [prema 106]...	str. 57
Slika 3.6. Tipovi novinskih prijeloma prema Smithu [106]	... str. 60
Slika 3.7. Negroponteov (prema [67]) i opći tehnološki model medijske konvergencije (prema [124])	... str. 65
Slika 3.8. Konvergenjski kontinuum (prema [126])	... str. 66
Slika 3.9. Lawson-Bordersin model konvergencije (prema [129])	... str. 66
Slika3.10. Kretanje oka po novinskoj web stranici (prema Outing et all. [65])	... str. 67
Slika 3.11. Vrijeme korištenja različitih uređaja [85, str. 2.2.]	... str. 70
Slika 5.1. Prilagođenost dnevnih novina multiplatformskim tehnologijama	... str. 79
Slika 5.2. Postojeći multiplatformski model produkcije sadržaja	... str. 81
Slika 5.3. Integrativni model multiplatformske proizvodnje	... str. 83
Slika 5.1. – Slika 5.9. Rezultati anketnog ispitivanja očekivanja korisnika GKS	str. 89 – 93
Slika 5.10. Promatrane aplikacije Večernjeg i Jutarnjeg lista	... str. 93
Slika 5.11. Zadovoljstvo pojedinim aspektima aplikacije Večernjeg lista	... str. 94
Slika 5.12. Zadovoljstvo pojedinim aspektima aplikacije Jutarnjeg lista	... str. 94
Slika 5.13. Primjeri prijeloma postojećih aplikacija	... str. 95
Slika 5.14. Istraživana naslovna stranica ozbiljnog prijeloma u usp. formatu	...str. 96
Slika 5.15. Istraživana naslovna stranica ozbiljnog prijeloma u pol. formatu	... str. 97
Slika 5.16. Istraživana naslovna stranica tabloidnog prijeloma u pol. formatu...	str. 97
Slika 5.17. Istraživana naslovna stranica tabloidnog prijeloma u usp. formatu...	str. 98
Slika 5.18. Područja interesa kod port. verzije tabloidnog i ozbiljnog prijeloma...	str. 99
Slika 5.19. Područja interesa kod pejsažne verzije tabloidnog prijeloma	... str. 99
Slika 5.20. Područja interesa kod pejsažne verzije ozbiljnog prijeloma	... str. 100
Slika 5.21. Kretanje pogleda kod pejsažno orijentirane naslovnice broadsheet prijeloma za srednje vrijednosti svih ispitanika	... str. 103
Slika 5.22. Toplinska mapa kod pejsažno orijentirane naslovnice broadsheet prijeloma za ukupne vrijednosti svih ispitanika	... str. 103
Slika 5.23. Kretanje pogleda na pejsažno orijentiranoj naslovnici ispitanika 34...	str. 104
Slika 5.24. Kretanje pogleda na pejsažno orijentiranoj naslovnici ispitanika 27...	str. 104
Slika 5.25. Kretanje pogleda i toplinske mape kod portretno orijentirane naslovnice broadsheet prijeloma za srednje odnosno ukupne vrijednosti svih ispitanika	... str. 105
Slika 5.26. Kretanje pogleda na port. orijentiranoj naslovnici ispitanika 17 i 18...	str. 106
Slika 5.27. Kretanje pogleda na port. orijentiranoj naslovnici ispitanika 8 i 14...	str. 106

Slika 5.28. Kretanje pogleda i toplinske mape kod portretno orijentirane naslovnice tabloidnog prijeloma za srednje odnosno ukupne vrijednosti svih ispitanika ...	str. 109
Slika 5.29. Kretanje pogleda na port. orijentiranoj naslovnici ispitanika 9 i 17...	str. 109
Slika 5.30. Kretanje pogleda kod pejsažno orijentirane naslovnice tabloidnog prijeloma za srednje vrijednosti svih ispitanika ...	str. 111
Slika 5.31. Toplinska mapa kod pejsažno orijentirane naslovnice tabloidnog prijeloma za ukupne vrijednosti svih ispitanika ...	str. 111
Slika 5.32. Kretanje pogleda na pejsažno orijentiranoj naslovnici ispitanika 25...	str. 112
Slika 5.32. Kretanje pogleda na pejsažno orijentiranoj naslovnici ispitanika 19...	str. 112
Slika 5.34. Brzina čitanja teksta za 10 ispitivanih uzoraka ...	str. 116
Slika 5.35. Subjektivni osjećaj težine čitanja za 10 ispitivanih uzoraka ...	str. 116
Slika 5.36. Primjeri navigacijskih alata kod aplikacija V. lista i NY Timesa ...	str. 119
Slika 5.37. Naslovna stranica simulacije aplikacije i pozicije članaka ...	str. 123
Slika 5.38. Naslovna stranica rubrike i pozicije članaka ...	str. 124
Slika 5.39. 'Unutarnja' stranica rubrike i pozicije članaka ...	str. 125
Slika 5.40. Splash Screen simulacije aplikacije ...	str. 126
Slika 5.41. Naslovna stranica simulacije aplikacije prvog dana istraživanja ...	str. 127
Slika 5.42. Naslovna stranica simulacije aplikacije drugog dana istraživanja ...	str. 127
Slika 5.43. Naslovna stranica rubrike prvog dana istraživanja ...	str. 128
Slika 5.44. Naslovna stranica rubrike drugog dana istraživanja ...	str. 128
Slika 5.45. Unutarnja stranica rubrike prvog dana istraživanja ...	str. 129
Slika 5.46. Unutarnja stranica rubrike drugog dana istraživanja ...	str. 129
Slika 5.47. Unutarnja stranica rubrike po prioritetu korištenja članaka ...	str. 135
Slika 5.48. – Slika 5.52. Rezultati anketnog ispitivanja očekivanja OM ...	str. 136 – 138
Slika 6.1. Zadovoljstvo pojedinim aspektima aplikacije optimiziranog modela...	str. 146
Slika 6.2. Zadovoljstvo pojedinim aspektima aplikacije Večernjeg lista ...	str. 147
Slika 6.3. Zadovoljstvo pojedinim aspektima aplikacije Jutarnjeg lista ...	str. 147
Tablica 1. Sažetak pregleda literature ...	str. 42
Tablica 2. Odnos članaka pojedinih izdanja ...	str. 80
Tablica 3. Pregled karakteristika tablet uređaja. ...	str. 85
Tablica 4. Rezultati Mann-Whitneyevog testa za broadsheet prijelom ...	str. 101
Tablica 5: rezultati mjerenja kretanja oka kod pejsažnog broadsheet prijeloma...	str. 102
Tablica 6: Rezultati mjerenja kretanja oka kod port. broadsheet prijeloma ...	str. 105
Tablica 7. Rezultati Mann-Whitneyevog testa za tabloidni prijelom ...	str. 107
Tablica 8. Rezultati mjerenja kretanja oka kod port. tabloidnog prijeloma ...	str. 108
Tablica 9. Rezultati mjerenja kretanja oka kod pejsažnog tabloidnog prijeloma...	str. 110
Tablica 10. Rezultati duljine čitanja i subjektivnog doživljaja težine čitanja ...	str. 114
Tablica 11. Statistička analiza rezultata mjerenja čitkosti za promatrane grupe...	str. 115
Tablica 12. Rezultati interakcija korisnika sa simulacijama sučelja – dan 1. ...	str. 131
Tablica 13. Rezultati interakcija korisnika sa simulacijama sučelja – dan 2. ...	str. 132
Tablica 14. Rezultati Kruskal-Wallisovog testa za promatrana ispitivanja ...	str. 145
Tablica 15. Rezultati t- testa zadovoljstva korisnika postojećim aplikacijama ...	str. 147

ŽIVOTOPIS

Darijo Čerepinko rođen je 21. kolovoza 1976. godine u Prijedoru, u Bosni i Hercegovini.

Diplomirani je inženjer grafičke tehnologije. Diplomirao je 2002. godine na Grafičkom fakultetu Sveučilišta u Zagrebu s temom «Komunikološki aspekti medijskog izvještavanja o napadu na Ameriku». Odslušao je sve kolegije paralelnog studija novinarstva na Fakultetu političkih znanosti Sveučilišta u Zagrebu.

Tijekom studiranja radi kao demonstrator na katedri za komunikologiju Grafičkog fakulteta Sveučilišta u Zagrebu.

Nakon diplome radi kao novinar u redakciji Vijesti dana CCN-a i kao slobodni novinar surađuje s različitim domaćim tiskanim i elektronskim medijima.

Od 2003. do 2007. vanjski je suradnik Ministarstva za europske integracije (danas Ministarstvo vanjskih poslova i europskih integracija) u publikaciji '*Euroforum*'.

Nakon karijere u novinarstvu radi kao analitičar medija i savjetnik za odnose s javnošću u nekoliko vodećih hrvatskih agencija za odnose s javnošću radeći, između ostalog, i kao savjetnik u kampanjama za predsjedničke, parlamentarne, lokalne te izbore za Europski parlament. Kao savjetnik za odnose s javnošću radio je na nizu drugih projekata Vlade Republike Hrvatske i njezinih tijela i agencija.

Od listopada 2006. godine predaje na Studiju multimedije, oblikovanja i primjene Veleučilišta u Varaždinu (danas Sveučilište Sjever), gdje je od 23. lipnja 2009. zaposlen u stalnom radnom odnosu. U prosincu 2007. izabran je u nastavno zvanje predavača za znanstveno područje tehničkih znanosti, polje grafička tehnologija, grana procesi grafičke reprodukcije, a u siječnju 2014. u zvanje višeg predavača u istom području, polju i grani.

Objavio je više znanstvenih i stručnih radova te jedan udžbenik i sudjelovao na više međunarodnih i domaćih znanstvenih i stručnih skupova te konferencija.

Tijekom 2012. godine boravio je na Sveučilištu Monmouth (Monmouth University) u New Jerseyu, SAD u svojstvu gostujućeg znanstvenika.

Član je znanstvenog odbora Međunarodne konferencije tiskarstva, dizajna i grafičkih komunikacija Blaž Baromić.

POPIS OBJAVLJENIH RADOVA

Udžbenik

1. Čerepinko, Darijo.

Komunikologija: Kratki pregled najvažnijih teorija, pojmova i principa .

Varaždin : Veleučilište u Varaždinu, 2012.

Poglavlje u knjizi

2. Čerepinko, Darijo: **Nužna je otvorenost novom i drugačijem** // stručni tekst u: Skoko, Božo: Priručnik za razumijevanje odnosa s javnošću, MPR, Zagreb 2006.

Znanstveni radovi u drugim časopisima

3. Čerepinko, Darijo; Mrvac, Nikola; Milković, Marin.

Determination of Visual Interest Points of Graphical User Interfaces for Tablet Newspapers Application. // Tehnički vjesnik. (Print: ISSN 1330-3651, Online: ISSN 1848-6339)(IF = 0,601 JCR 2012) (prihvaćeno za objavu).

4. Čerepinko, Darijo; Periša, Mario; Valdec, Dean.

Integrativni model proizvodnje medijskog sadržaja tiskanih medija u multiplatformskim produkcijskim uvjetima. // Tehnički glasnik. 8 (2014) , 1; 109-113 (prethodno priopćenje, znanstveni).

5. Čerepinko, Darijo; Džimbeg-Malčić, Vesna.

Pregled tehnologija elektroničkog papira i pretpostavke budućeg razvoja e-papira. // Tehnički glasnik. 7 (2013) , 1; 91-96 (pregledni rad, znanstveni).

Znanstveni radovi u zbornicima skupova s međunarodnom recenzijom

6. Čerepinko, Darijo; Vrdoljak, Nikola; Gamberožić, Joško.

Od Gutenberga do Gorea: Nova generacija elektroničkih knjiga ili nedovoljno iskorištena aplikacija // Zbornik radova 15. međunarodnog savjetovanja tiskarstva, dizajna i grafičkih komunikacija Blaž Baromić / Mikota, Miroslav (ur.). Zagreb : Grafički fakultet Sveučilišta u Zagrebu, 2011. (predavanje,međunarodna recenzija,objavljeni rad,znanstveni).

7. Čerepinko, Darijo; Brozović, Maja.

Hrvatski politički plakat: Predsjednički izbori 2009. i utjecaj personalizacije na idejna rješenja // Zbornik radova 14. međunarodnog savjetovanja tiskarstva, dizajna i grafičkih komunikacija Blaž Baromić / Mikota, Miroslav (ur.). Zagreb, 2010. (poster,međunarodna recenzija,objavljeni rad,znanstveni).

8. Klopotan, Igor; Merkač Skok, Marjana; Čerepinko, Darijo; Božić Tomica.

Uporaba novih medijev v tržišnih komunikacijah in odnosov s javnostimi na Hrvaškem // Znanje in poslovni izzivi globalizacije v letu 2010: zbornik referatov 2. mednarodne znanstvene konference, Celje, 18. – 19. november 2010 / Merkač Skok, Marjana ; Cingula, Marijan (ur.). Celje : Fakulteta za komercialne in poslovne vede, 2010. (predavanje,međunarodna recenzija,objavljeni rad,znanstveni).

9. Periša, Mario; Čerepinko, Darijo; Milković, Marin.

Analiza metodike prezentacije informacija u hrvatskim tiskanim medijima primjenom teorijskih pravila Gestalta // 14th international conference on printing, design and graphic communications Blaž Baromić - Proceedings / Mikota, Miroslav (ur.). Senj, Zagreb : Sveučilište u Zagrebu, Grafički fakultet / University of Zagreb, Faculty of graphic arts, 2010. 300-309 (predavanje, međunarodna recenzija, objavljeni rad, znanstveni).

10. Klopota, Igor; Haring, Martina; Čerepinko, Darijo.

Tržno komuniciranje modernih organizacij // Znanje in poslovni izzivi globalizacije: zbornik referatov 1. mednarodne znanstvene konference, Celje, 12. – 13. november 2009 / Merkač Skok, Marjana ; Cingula, Marijan (ur.). Celje : Fakulteta za komercialne in poslovne vede, 2009. 723-730 (predavanje, međunarodna recenzija, objavljeni rad, znanstveni).

Drugi radovi u zbornicima skupova s recenzijom

11. Čerepinko, Darijo; Skoko, Božo.

Međuovisnost izbornog uspjeha i vizualnog identiteta vanjskog oglašavanja hrvatskih političkih stranaka u predizbornoj kampanji za hrvatske parlamentarne izbore 2003. // 8. međunarodno savjetovanje tiskarstva, dizajna i grafičkih komunikacija Blaž Baromić : zbornik radova = International Conference on Printing, Design and Graphic Communications Blaž Baromić : proceedings / Bolanča, Zdenka ; Mikota, Miroslav (ur.). Zagreb ; Senj : Grafički fakultet ; Ogranak Matice hrvatske, 2004. 47-52 (predavanje, domaća recenzija, objavljeni rad, znanstveni).

12. Vujnović, Marina; Pibernik, Jesenka; Čerepinko, Darijo.

Primjena Lasswellove formule komunikacije u grafičkom dizajnu // 6. znanstveno-stručni simpozij hrvatskih grafičara Blaž Baromić : zbornik radova / Zjakić, Igor (ur.). Zagreb ; Senj : Grafički fakultet ; Matica Hrvatska Ogranak, 2002. 1-8 (predavanje, domaća recenzija, objavljeni rad, znanstveni).

Sažeci u zbornicima skupova

13. Čerepinko, Darijo; Vujnović, Marina.

Transition from Communism to Wild Capitalism: Media Coverage of Public Resources and Common Goods in South Eastern Europe // Monmouth University Institute for Global Understanding 11th annual Global Understanding Convention ; Long Branch: Sjedinjene Američke Države, 2012. // (predavanje, međunarodna recenzija, sažetak).

14. Čerepinko, Darijo.

Internet as a Tool for Restoration of Broken Cross-Cultural and Multicultural Bonds: A Case from the Bosnian War // Monmouth University Institute for Global Understanding 10th annual Global Understanding Convention ; Long Branch: Sjedinjene Američke Države, 2011. // (predavanje, međunarodna recenzija, sažetak).

15. Čerepinko, Darijo; Vujnović, Marina.

Journalist As Objective Spectators or PR Agents? // Monmouth University Institute for Global Understanding 9th annual Global Understanding Convention ; Long Branch: Sjedinjene Američke Države, 2010. // (predavanje, međunarodna recenzija, sažetak).

	Time to First Fixation_dn01_port _1_1.JPG_Rectangle N	Time to First Fixation_dn01_port _1_1.JPG_Rectangle Mean	Time to First Fixation_dn01_port _1_1.JPG_Rectangle Max	Time to First Fixation_dn01_port _1_1.JPG_Rectangle Min	Time to First Fixation_dn01_port _1_1.JPG_Rectangle Sum	Time to First Fixation_dn01_port _1_1.JPG_Rectangle Median	Time to First Fixation_dn01_port _1_1.JPG_Rectangle Stdev	Time to First Fixation_dn01_port _1_1.JPG_Rectangle 10_N	Time to First Fixation_dn01_port _1_1.JPG_Rectangle 10_Mean	Time to First Fixation_dn01_port _1_1.JPG_Rectangle 10_Max	Time to First Fixation_dn01_port _1_1.JPG_Rectangle 10_Min
Rec 01	0	0	0	0	0	0	0	1	7,54	7,54	7,54
Rec 05	1	8,05	8,05	8,05	8,05	8,05	0	0	0	0	0
Rec 06	1	1,85	1,85	1,85	1,85	1,85	0	0	0	0	0
Rec 02	1	0,05	0,05	0,05	0,05	0,05	0	0	0	0	0
Rec 03	1	0,1	0,1	0,1	0,1	0,1	0	0	0	0	0
Rec 04	1	14,64	14,64	14,64	14,64	14,64	0	0	0	0	0
Rec 07	1	0,24	0,24	0,24	0,24	0,24	0	0	0	0	0
Rec 08	1	5,83	5,83	5,83	5,83	5,83	0	1	5,34	5,34	5,34
Rec 09	1	0,02	0,02	0,02	0,02	0,02	0	1	13,89	13,89	13,89
Rec 10	1	9,63	9,63	9,63	9,63	9,63	0	1	10,46	10,46	10,46
Rec 11	0	0	0	0	0	0	0	0	0	0	0
Rec 12	1	10,2	10,2	10,2	10,2	10,2	0	0	0	0	0
Rec 13	1	0,46	0,46	0,46	0,46	0,46	0	0	0	0	0
Rec 14	1	14,32	14,32	14,32	14,32	14,32	0	0	0	0	0
Rec 16	1	0	0	0	0	0	0	0	0	0	0
Rec 17	1	0	0	0	0	0	0	0	0	0	0
Rec 18	1	0,43	0,43	0,43	0,43	0,43	0	0	0	0	0
Rec 19	1	0	0	0	0	0	0	0	0	0	0
All Recordings	16	4,11	14,64	0	65,81	0,44	5,46	4	9,31	13,89	5,34

Time to First Fixation_dn01_port _1_1.JPG_Rectangle 10_Sum	Time to First Fixation_dn01_port _1_1.JPG_Rectangle 10_Median	Time to First Fixation_dn01_port _1_1.JPG_Rectangle 10_Stdev	Time to First Fixation_dn01_port _1_1.JPG_Rectangle 11_N	Time to First Fixation_dn01_port _1_1.JPG_Rectangle 11_Mean	Time to First Fixation_dn01_port _1_1.JPG_Rectangle 11_Max	Time to First Fixation_dn01_port _1_1.JPG_Rectangle 11_Min	Time to First Fixation_dn01_port _1_1.JPG_Rectangle 11_Sum	Time to First Fixation_dn01_port _1_1.JPG_Rectangle 11_Median	Time to First Fixation_dn01_port _1_1.JPG_Rectangle 11_Stdev	Time to First Fixation_dn01_port _1_1.JPG_Rectangle 12_N	Time to First Fixation_dn01_port _1_1.JPG_Rectangle 12_Mean
7,54	7,54	0	1	8,09	8,09	8,09	8,09	8,09	0	0	0
0	0	0	0	0	0	0	0	0	0	0	0
0	0	0	0	0	0	0	0	0	0	0	0
0	0	0	0	0	0	0	0	0	0	0	0
0	0	0	0	0	0	0	0	0	0	1	6,34
0	0	0	1	10,45	10,45	10,45	10,45	10,45	0	0	0
0	0	0	0	0	0	0	0	0	0	0	0
5,34	5,34	0	1	4,89	4,89	4,89	4,89	4,89	0	0	0
13,89	13,89	0	0	0	0	0	0	0	0	0	0
10,46	10,46	0	1	4,65	4,65	4,65	4,65	4,65	0	0	0
0	0	0	1	7,42	7,42	7,42	7,42	7,42	0	0	0
0	0	0	1	6,1	6,1	6,1	6,1	6,1	0	0	0
0	0	0	0	0	0	0	0	0	0	0	0
0	0	0	1	9,17	9,17	9,17	9,17	9,17	0	0	0
0	0	0	1	1,47	1,47	1,47	1,47	1,47	0	0	0
0	0	0	0	0	0	0	0	0	0	0	0
0	0	0	0	0	0	0	0	0	0	0	0
0	0	0	1	5,03	5,03	5,03	5,03	5,03	0	0	0
37,24	9	3,71	9	6,36	10,45	1,47	57,28	6,1	2,73	1	6,34

Time to First Fixation_dn01_port _1_1.JPG_Rectangle 12_Max	Time to First Fixation_dn01_port _1_1.JPG_Rectangle 12_Min	Time to First Fixation_dn01_port _1_1.JPG_Rectangle 12_Sum	Time to First Fixation_dn01_port _1_1.JPG_Rectangle 12_Median	Time to First Fixation_dn01_port _1_1.JPG_Rectangle 12_Stdev	Time to First Fixation_dn01_port _1_1.JPG_Rectangle 13_N	Time to First Fixation_dn01_port _1_1.JPG_Rectangle 13_Mean	Time to First Fixation_dn01_port _1_1.JPG_Rectangle 13_Max	Time to First Fixation_dn01_port _1_1.JPG_Rectangle 13_Min	Time to First Fixation_dn01_port _1_1.JPG_Rectangle 13_Sum	Time to First Fixation_dn01_port _1_1.JPG_Rectangle 13_Median	Time to First Fixation_dn01_port _1_1.JPG_Rectangle 13_Stdev
0	0	0	0	0	0	0	0	0	0	0	0
0	0	0	0	0	0	0	0	0	0	0	0
0	0	0	0	0	0	0	0	0	0	0	0
0	0	0	0	0	0	0	0	0	0	0	0
6,34	6,34	6,34	6,34	0	0	0	0	0	0	0	0
0	0	0	0	0	0	0	0	0	0	0	0
0	0	0	0	0	0	0	0	0	0	0	0
0	0	0	0	0	0	0	0	0	0	0	0
0	0	0	0	0	0	0	0	0	0	0	0
0	0	0	0	0	0	0	0	0	0	0	0
0	0	0	0	0	0	0	0	0	0	0	0
0	0	0	0	0	0	0	0	0	0	0	0
0	0	0	0	0	0	0	0	0	0	0	0
0	0	0	0	0	0	0	0	0	0	0	0
0	0	0	0	0	0	0	0	0	0	0	0
0	0	0	0	0	0	0	0	0	0	0	0
0	0	0	0	0	0	0	0	0	0	0	0
0	0	0	0	0	0	0	0	0	0	0	0
0	0	0	0	0	0	0	0	0	0	0	0
0	0	0	0	0	0	0	0	0	0	0	0
6,34	6,34	6,34	6,34	0	0	0	0	0	0	0	0

Time to First Fixation_dn01_port _1_1.JPG_Rectangle 14_N	Time to First Fixation_dn01_port _1_1.JPG_Rectangle 14_Mean	Time to First Fixation_dn01_port _1_1.JPG_Rectangle 14_Max	Time to First Fixation_dn01_port _1_1.JPG_Rectangle 14_Min	Time to First Fixation_dn01_port _1_1.JPG_Rectangle 14_Sum	Time to First Fixation_dn01_port _1_1.JPG_Rectangle 14_Median	Time to First Fixation_dn01_port _1_1.JPG_Rectangle 14_Stdev	Time to First Fixation_dn01_port _1_1.JPG_Rectangle 15_N	Time to First Fixation_dn01_port _1_1.JPG_Rectangle 15_Mean	Time to First Fixation_dn01_port _1_1.JPG_Rectangle 15_Max	Time to First Fixation_dn01_port _1_1.JPG_Rectangle 15_Min	Time to First Fixation_dn01_port _1_1.JPG_Rectangle 15_Sum
0	0	0	0	0	0	0	0	0	0	0	0
0	0	0	0	0	0	0	0	0	0	0	0
0	0	0	0	0	0	0	0	0	0	0	0
0	0	0	0	0	0	0	0	0	0	0	0
0	0	0	0	0	0	0	0	0	0	0	0
0	0	0	0	0	0	0	0	0	0	0	0
0	0	0	0	0	0	0	0	0	0	0	0
0	0	0	0	0	0	0	0	0	0	0	0
0	0	0	0	0	0	0	0	0	0	0	0
0	0	0	0	0	0	0	0	0	0	0	0
0	0	0	0	0	0	0	0	0	0	0	0
0	0	0	0	0	0	0	0	0	0	0	0
0	0	0	0	0	0	0	0	0	0	0	0
0	0	0	0	0	0	0	0	0	0	0	0
0	0	0	0	0	0	0	0	0	0	0	0
0	0	0	0	0	0	0	0	0	0	0	0
0	0	0	0	0	0	0	0	0	0	0	0
0	0	0	0	0	0	0	0	0	0	0	0
0	0	0	0	0	0	0	0	0	0	0	0
0	0	0	0	0	0	0	0	0	0	0	0
0	0	0	0	0	0	0	0	0	0	0	0
0	0	0	0	0	0	0	0	0	0	0	0

Time to First Fixation_dn01_port _1_1.JPG_Rectangle 15_Median	Time to First Fixation_dn01_port _1_1.JPG_Rectangle 15_Stdev	Time to First Fixation_dn01_port _1_1.JPG_Rectangle 16_N	Time to First Fixation_dn01_port _1_1.JPG_Rectangle 16_Mean	Time to First Fixation_dn01_port _1_1.JPG_Rectangle 16_Max	Time to First Fixation_dn01_port _1_1.JPG_Rectangle 16_Min	Time to First Fixation_dn01_port _1_1.JPG_Rectangle 16_Sum	Time to First Fixation_dn01_port _1_1.JPG_Rectangle 16_Median	Time to First Fixation_dn01_port _1_1.JPG_Rectangle 16_Stdev	Time to First Fixation_dn01_port _1_1.JPG_Rectangle 17_N	Time to First Fixation_dn01_port _1_1.JPG_Rectangle 17_Mean	Time to First Fixation_dn01_port _1_1.JPG_Rectangle 17_Max
0	0	0	0	0	0	0	0	0	0	0	0
0	0	0	0	0	0	0	0	0	0	0	0
0	0	0	0	0	0	0	0	0	0	0	0
0	0	0	0	0	0	0	0	0	0	0	0
0	0	1	3,78	3,78	3,78	3,78	3,78	0	0	0	0
0	0	0	0	0	0	0	0	0	0	0	0
0	0	0	0	0	0	0	0	0	0	0	0
0	0	0	0	0	0	0	0	0	0	0	0
0	0	0	0	0	0	0	0	0	0	0	0
0	0	0	0	0	0	0	0	0	0	0	0
0	0	0	0	0	0	0	0	0	0	0	0
0	0	0	0	0	0	0	0	0	0	0	0
0	0	0	0	0	0	0	0	0	0	0	0
0	0	0	0	0	0	0	0	0	0	0	0
0	0	0	0	0	0	0	0	0	0	0	0
0	0	0	0	0	0	0	0	0	0	0	0
0	0	0	0	0	0	0	0	0	0	0	0
0	0	0	0	0	0	0	0	0	0	0	0
0	0	0	0	0	0	0	0	0	0	0	0
0	0	0	0	0	0	0	0	0	0	0	0
0	0	0	0	0	0	0	0	0	0	0	0
0	0	0	0	0	0	0	0	0	0	0	0
0	0	1	3,78	3,78	3,78	3,78	3,78	0	0	0	0

Time to First Fixation_dn01_port _1_1.JPG_Rectangle 17_Min	Time to First Fixation_dn01_port _1_1.JPG_Rectangle 17_Sum	Time to First Fixation_dn01_port _1_1.JPG_Rectangle 17_Median	Time to First Fixation_dn01_port _1_1.JPG_Rectangle 17_Stdev	Time to First Fixation_dn01_port _1_1.JPG_Rectangle 18_N	Time to First Fixation_dn01_port _1_1.JPG_Rectangle 18_Mean	Time to First Fixation_dn01_port _1_1.JPG_Rectangle 18_Max	Time to First Fixation_dn01_port _1_1.JPG_Rectangle 18_Min	Time to First Fixation_dn01_port _1_1.JPG_Rectangle 18_Sum	Time to First Fixation_dn01_port _1_1.JPG_Rectangle 18_Median	Time to First Fixation_dn01_port _1_1.JPG_Rectangle 18_Stdev	Time to First Fixation_dn01_port _1_1.JPG_Rectangle 19_N
0	0	0	0	1	8,94	8,94	8,94	8,94	8,94	0	1
0	0	0	0	1	0,44	0,44	0,44	0,44	0,44	0	1
0	0	0	0	1	0,65	0,65	0,65	0,65	0,65	0	1
0	0	0	0	1	3,28	3,28	3,28	3,28	3,28	0	1
0	0	0	0	0	0	0	0	0	0	0	0
0	0	0	0	0	0	0	0	0	0	0	1
0	0	0	0	1	4,77	4,77	4,77	4,77	4,77	0	1
0	0	0	0	1	8,56	8,56	8,56	8,56	8,56	0	1
0	0	0	0	0	0	0	0	0	0	0	0
0	0	0	0	1	3,75	3,75	3,75	3,75	3,75	0	1
0	0	0	0	1	0,07	0,07	0,07	0,07	0,07	0	1
0	0	0	0	0	0	0	0	0	0	0	1
0	0	0	0	0	0	0	0	0	0	0	1
0	0	0	0	0	0	0	0	0	0	0	1
0	0	0	0	1	4,29	4,29	4,29	4,29	4,29	0	1
0	0	0	0	0	0	0	0	0	0	0	1
0	0	0	0	0	0	0	0	0	0	0	1
0	0	0	0	1	12,84	12,84	12,84	12,84	12,84	0	1
0	0	0	0	10	4,76	12,84	0,07	47,6	4,02	4,19	16

Time to First Fixation_dn01_port _1_1.JPG_Rectangle 19_Mean	Time to First Fixation_dn01_port _1_1.JPG_Rectangle 19_Max	Time to First Fixation_dn01_port _1_1.JPG_Rectangle 19_Min	Time to First Fixation_dn01_port _1_1.JPG_Rectangle 19_Sum	Time to First Fixation_dn01_port _1_1.JPG_Rectangle 19_Median	Time to First Fixation_dn01_port _1_1.JPG_Rectangle 19_Stdev	Time to First Fixation_dn01_port _1_1.JPG_Rectangle 2_N	Time to First Fixation_dn01_port _1_1.JPG_Rectangle 2_Mean	Time to First Fixation_dn01_port _1_1.JPG_Rectangle 2_Max	Time to First Fixation_dn01_port _1_1.JPG_Rectangle 2_Min	Time to First Fixation_dn01_port _1_1.JPG_Rectangle 2_Sum	Time to First Fixation_dn01_port _1_1.JPG_Rectangle 2_Median
8,94	8,94	8,94	8,94	8,94	0	1	0	0	0	0	0
1,54	1,54	1,54	1,54	1,54	0	1	4,12	4,12	4,12	4,12	4,12
3,54	3,54	3,54	3,54	3,54	0	1	0,11	0,11	0,11	0,11	0,11
5,45	5,45	5,45	5,45	5,45	0	1	2,8	2,8	2,8	2,8	2,8
0	0	0	0	0	0	1	1,08	1,08	1,08	1,08	1,08
3,14	3,14	3,14	3,14	3,14	0	1	0,4	0,4	0,4	0,4	0,4
5,89	5,89	5,89	5,89	5,89	0	1	3,55	3,55	3,55	3,55	3,55
8,56	8,56	8,56	8,56	8,56	0	1	5,53	5,53	5,53	5,53	5,53
0	0	0	0	0	0	1	0,29	0,29	0,29	0,29	0,29
13,81	13,81	13,81	13,81	13,81	0	1	3,95	3,95	3,95	3,95	3,95
8,63	8,63	8,63	8,63	8,63	0	1	6,17	6,17	6,17	6,17	6,17
13,51	13,51	13,51	13,51	13,51	0	1	9,3	9,3	9,3	9,3	9,3
1,26	1,26	1,26	1,26	1,26	0	1	0	0	0	0	0
2,19	2,19	2,19	2,19	2,19	0	1	0,6	0,6	0,6	0,6	0,6
3,92	3,92	3,92	3,92	3,92	0	1	2,44	2,44	2,44	2,44	2,44
2,41	2,41	2,41	2,41	2,41	0	1	0,75	0,75	0,75	0,75	0,75
7,55	7,55	7,55	7,55	7,55	0	1	1,84	1,84	1,84	1,84	1,84
14,07	14,07	14,07	14,07	14,07	0	1	1,55	1,55	1,55	1,55	1,55
6,53	14,07	1,26	104,42	5,67	4,41	18	2,47	9,3	0	44,46	1,7

Time to First Fixation_dn01_port _1_1.JPG_Rectangle 2_ Stdev	Time to First Fixation_dn01_port _1_1.JPG_Rectangle 20_N	Time to First Fixation_dn01_port _1_1.JPG_Rectangle 20_Mean	Time to First Fixation_dn01_port _1_1.JPG_Rectangle 20_Max	Time to First Fixation_dn01_port _1_1.JPG_Rectangle 20_Min	Time to First Fixation_dn01_port _1_1.JPG_Rectangle 20_Sum	Time to First Fixation_dn01_port _1_1.JPG_Rectangle 20_Median	Time to First Fixation_dn01_port _1_1.JPG_Rectangle 20_ Stdev	Time to First Fixation_dn01_port _1_1.JPG_Rectangle 21_N	Time to First Fixation_dn01_port _1_1.JPG_Rectangle 21_Mean	Time to First Fixation_dn01_port _1_1.JPG_Rectangle 21_Max	Time to First Fixation_dn01_port _1_1.JPG_Rectangle 21_Min
0	1	9,15	9,15	9,15	9,15	9,15	0	1	1,99	1,99	1,99
0	0	0	0	0	0	0	0	1	5,63	5,63	5,63
0	0	0	0	0	0	0	0	1	0,36	0,36	0,36
0	1	6	6	6	6	6	0	1	3,51	3,51	3,51
0	0	0	0	0	0	0	0	1	14,9	14,9	14,9
0	0	0	0	0	0	0	0	0	0	0	0
0	1	6,7	6,7	6,7	6,7	6,7	0	1	5,19	5,19	5,19
0	0	0	0	0	0	0	0	0	0	0	0
0	0	0	0	0	0	0	0	0	0	0	0
0	0	0	0	0	0	0	0	0	0	0	0
0	1	9,63	9,63	9,63	9,63	9,63	0	0	0	0	0
0	0	0	0	0	0	0	0	0	0	0	0
0	1	1,06	1,06	1,06	1,06	1,06	0	0	0	0	0
0	0	0	0	0	0	0	0	0	0	0	0
0	1	7,02	7,02	7,02	7,02	7,02	0	0	0	0	0
0	0	0	0	0	0	0	0	0	0	0	0
0	0	0	0	0	0	0	0	1	4,11	4,11	4,11
0	0	0	0	0	0	0	0	1	13,08	13,08	13,08
2,57	6	6,59	9,63	1,06	39,56	6,86	3,07	8	6,1	14,9	0,36

Time to First Fixation_dn01_port _1_1.JPG_Rectangle 21_Sum	Time to First Fixation_dn01_port _1_1.JPG_Rectangle 21_Median	Time to First Fixation_dn01_port _1_1.JPG_Rectangle 21_Stdev	Time to First Fixation_dn01_port _1_1.JPG_Rectangle 22_N	Time to First Fixation_dn01_port _1_1.JPG_Rectangle 22_Mean	Time to First Fixation_dn01_port _1_1.JPG_Rectangle 22_Max	Time to First Fixation_dn01_port _1_1.JPG_Rectangle 22_Min	Time to First Fixation_dn01_port _1_1.JPG_Rectangle 22_Sum	Time to First Fixation_dn01_port _1_1.JPG_Rectangle 22_Median	Time to First Fixation_dn01_port _1_1.JPG_Rectangle 22_Stdev	Time to First Fixation_dn01_port _1_1.JPG_Rectangle 23_N	Time to First Fixation_dn01_port _1_1.JPG_Rectangle 23_Mean
1,99	1,99	0	0	0	0	0	0	0	0	1	2,26
5,63	5,63	0	1	2,32	2,32	2,32	2,32	2,32	0	0	0
0,36	0,36	0	1	1,62	1,62	1,62	1,62	1,62	0	0	0
3,51	3,51	0	0	0	0	0	0	0	0	0	0
14,9	14,9	0	1	14,9	14,9	14,9	14,9	14,9	0	0	0
0	0	0	1	3,56	3,56	3,56	3,56	3,56	0	1	4,71
5,19	5,19	0	1	5,52	5,52	5,52	5,52	5,52	0	0	0
0	0	0	1	8,38	8,38	8,38	8,38	8,38	0	1	11,94
0	0	0	1	8,08	8,08	8,08	8,08	8,08	0	0	0
0	0	0	1	1,4	1,4	1,4	1,4	1,4	0	0	0
0	0	0	0	0	0	0	0	0	0	0	0
0	0	0	1	13,23	13,23	13,23	13,23	13,23	0	0	0
0	0	0	1	0,74	0,74	0,74	0,74	0,74	0	0	0
0	0	0	0	0	0	0	0	0	0	0	0
0	0	0	1	8,78	8,78	8,78	8,78	8,78	0	0	0
0	0	0	1	4,16	4,16	4,16	4,16	4,16	0	0	0
4,11	4,11	0	0	0	0	0	0	0	0	0	0
13,08	13,08	0	1	0,85	0,85	0,85	0,85	0,85	0	0	0
48,77	4,65	5,18	13	5,66	14,9	0,74	73,55	4,16	4,7	3	6,3

Time to First Fixation_dn01_port _1_1.JPG_Rectangle 23_Max	Time to First Fixation_dn01_port _1_1.JPG_Rectangle 23_Min	Time to First Fixation_dn01_port _1_1.JPG_Rectangle 23_Sum	Time to First Fixation_dn01_port _1_1.JPG_Rectangle 23_Median	Time to First Fixation_dn01_port _1_1.JPG_Rectangle 23_Stdev	Time to First Fixation_dn01_port _1_1.JPG_Rectangle 24_N	Time to First Fixation_dn01_port _1_1.JPG_Rectangle 24_Mean	Time to First Fixation_dn01_port _1_1.JPG_Rectangle 24_Max	Time to First Fixation_dn01_port _1_1.JPG_Rectangle 24_Min	Time to First Fixation_dn01_port _1_1.JPG_Rectangle 24_Sum	Time to First Fixation_dn01_port _1_1.JPG_Rectangle 24_Median	Time to First Fixation_dn01_port _1_1.JPG_Rectangle 24_Stdev
2,26	2,26	2,26	2,26	0	0	0	0	0	0	0	0
0	0	0	0	0	0	0	0	0	0	0	0
0	0	0	0	0	1	12,43	12,43	12,43	12,43	12,43	0
0	0	0	0	0	0	0	0	0	0	0	0
0	0	0	0	0	0	0	0	0	0	0	0
4,71	4,71	4,71	4,71	0	1	5,33	5,33	5,33	5,33	5,33	0
0	0	0	0	0	0	0	0	0	0	0	0
11,94	11,94	11,94	11,94	0	1	12,02	12,02	12,02	12,02	12,02	0
0	0	0	0	0	0	0	0	0	0	0	0
0	0	0	0	0	1	11,01	11,01	11,01	11,01	11,01	0
0	0	0	0	0	0	0	0	0	0	0	0
0	0	0	0	0	0	0	0	0	0	0	0
0	0	0	0	0	1	6,59	6,59	6,59	6,59	6,59	0
0	0	0	0	0	0	0	0	0	0	0	0
0	0	0	0	0	1	10,7	10,7	10,7	10,7	10,7	0
0	0	0	0	0	1	6,68	6,68	6,68	6,68	6,68	0
0	0	0	0	0	0	0	0	0	0	0	0
0	0	0	0	0	0	0	0	0	0	0	0
11,94	2,26	18,91	4,71	5,03	7	9,25	12,43	5,33	64,75	10,7	2,95

Time to First Fixation_dn01_port _1_1.JPG_Rectangle 25_N	Time to First Fixation_dn01_port _1_1.JPG_Rectangle 25_Mean	Time to First Fixation_dn01_port _1_1.JPG_Rectangle 25_Max	Time to First Fixation_dn01_port _1_1.JPG_Rectangle 25_Min	Time to First Fixation_dn01_port _1_1.JPG_Rectangle 25_Sum	Time to First Fixation_dn01_port _1_1.JPG_Rectangle 25_Median	Time to First Fixation_dn01_port _1_1.JPG_Rectangle 25_Stdev	Time to First Fixation_dn01_port _1_1.JPG_Rectangle 26_N	Time to First Fixation_dn01_port _1_1.JPG_Rectangle 26_Mean	Time to First Fixation_dn01_port _1_1.JPG_Rectangle 26_Max	Time to First Fixation_dn01_port _1_1.JPG_Rectangle 26_Min	Time to First Fixation_dn01_port _1_1.JPG_Rectangle 26_Sum
1	10,9	10,9	10,9	10,9	10,9	0	0	0	0	0	0
1	0,85	0,85	0,85	0,85	0,85	0	0	0	0	0	0
0	0	0	0	0	0	0	1	5,12	5,12	5,12	5,12
1	4,48	4,48	4,48	4,48	4,48	0	0	0	0	0	0
0	0	0	0	0	0	0	1	8,86	8,86	8,86	8,86
0	0	0	0	0	0	0	1	8,41	8,41	8,41	8,41
1	6,95	6,95	6,95	6,95	6,95	0	1	7,09	7,09	7,09	7,09
1	10,59	10,59	10,59	10,59	10,59	0	0	0	0	0	0
1	8,21	8,21	8,21	8,21	8,21	0	1	8,83	8,83	8,83	8,83
1	13,61	13,61	13,61	13,61	13,61	0	1	3,27	3,27	3,27	3,27
1	0,91	0,91	0,91	0,91	0,91	0	0	0	0	0	0
0	0	0	0	0	0	0	0	0	0	0	0
1	6,82	6,82	6,82	6,82	6,82	0	1	7,6	7,6	7,6	7,6
1	3,28	3,28	3,28	3,28	3,28	0	1	3,48	3,48	3,48	3,48
1	10,3	10,3	10,3	10,3	10,3	0	1	7,48	7,48	7,48	7,48
1	4	4	4	4	4	0	1	8,64	8,64	8,64	8,64
0	0	0	0	0	0	0	0	0	0	0	0
0	0	0	0	0	0	0	0	0	0	0	0
12	6,74	13,61	0,85	80,9	6,89	4,13	10	6,88	8,86	3,27	68,77

Time to First Fixation_dn01_port _1_1.JPG_Rectangle 26_Median	Time to First Fixation_dn01_port _1_1.JPG_Rectangle 26_Stdev	Time to First Fixation_dn01_port _1_1.JPG_Rectangle 27_N	Time to First Fixation_dn01_port _1_1.JPG_Rectangle 27_Mean	Time to First Fixation_dn01_port _1_1.JPG_Rectangle 27_Max	Time to First Fixation_dn01_port _1_1.JPG_Rectangle 27_Min	Time to First Fixation_dn01_port _1_1.JPG_Rectangle 27_Sum	Time to First Fixation_dn01_port _1_1.JPG_Rectangle 27_Median	Time to First Fixation_dn01_port _1_1.JPG_Rectangle 27_Stdev	Time to First Fixation_dn01_port _1_1.JPG_Rectangle 28_N	Time to First Fixation_dn01_port _1_1.JPG_Rectangle 28_Mean	Time to First Fixation_dn01_port _1_1.JPG_Rectangle 28_Max
0	0	1	12,4	12,4	12,4	12,4	12,4	0	0	0	0
0	0	0	0	0	0	0	0	0	0	0	0
5,12	0	0	0	0	0	0	0	0	1	10,61	10,61
0	0	1	7,98	7,98	7,98	7,98	7,98	0	0	0	0
8,86	0	0	0	0	0	0	0	0	0	0	0
8,41	0	1	3,91	3,91	3,91	3,91	3,91	0	0	0	0
7,09	0	0	0	0	0	0	0	0	1	9,8	9,8
0	0	1	14,42	14,42	14,42	14,42	14,42	0	0	0	0
8,83	0	1	7,47	7,47	7,47	7,47	7,47	0	0	0	0
3,27	0	1	6,17	6,17	6,17	6,17	6,17	0	1	14,46	14,46
0	0	1	1,79	1,79	1,79	1,79	1,79	0	0	0	0
0	0	0	0	0	0	0	0	0	0	0	0
7,6	0	0	0	0	0	0	0	0	1	3,51	3,51
3,48	0	0	0	0	0	0	0	0	1	4,99	4,99
7,48	0	0	0	0	0	0	0	0	1	8,6	8,6
8,64	0	1	7,73	7,73	7,73	7,73	7,73	0	1	14,45	14,45
0	0	1	4,94	4,94	4,94	4,94	4,94	0	1	6,6	6,6
0	0	0	0	0	0	0	0	0	0	0	0
7,54	2,16	9	7,42	14,42	1,79	66,8	7,47	3,97	8	9,13	14,46

Time to First Fixation_dn01_port _1_1.JPG_Rectangle 28_Min	Time to First Fixation_dn01_port _1_1.JPG_Rectangle 28_Sum	Time to First Fixation_dn01_port _1_1.JPG_Rectangle 28_Median	Time to First Fixation_dn01_port _1_1.JPG_Rectangle 28_Stdev	Time to First Fixation_dn01_port _1_1.JPG_Rectangle 29_N	Time to First Fixation_dn01_port _1_1.JPG_Rectangle 29_Mean	Time to First Fixation_dn01_port _1_1.JPG_Rectangle 29_Max	Time to First Fixation_dn01_port _1_1.JPG_Rectangle 29_Min	Time to First Fixation_dn01_port _1_1.JPG_Rectangle 29_Sum	Time to First Fixation_dn01_port _1_1.JPG_Rectangle 29_Median	Time to First Fixation_dn01_port _1_1.JPG_Rectangle 29_Stdev	Time to First Fixation_dn01_port _1_1.JPG_Rectangle 3_N
0	0	0	0	0	0	0	0	0	0	0	1
0	0	0	0	1	14,56	14,56	14,56	14,56	14,56	0	1
10,61	10,61	10,61	0	1	3,74	3,74	3,74	3,74	3,74	0	1
0	0	0	0	0	0	0	0	0	0	0	1
0	0	0	0	0	0	0	0	0	0	0	1
0	0	0	0	0	0	0	0	0	0	0	1
9,8	9,8	9,8	0	1	11,58	11,58	11,58	11,58	11,58	0	1
0	0	0	0	1	9,39	9,39	9,39	9,39	9,39	0	0
0	0	0	0	0	0	0	0	0	0	0	1
14,46	14,46	14,46	0	1	3,55	3,55	3,55	3,55	3,55	0	1
0	0	0	0	1	13,11	13,11	13,11	13,11	13,11	0	1
0	0	0	0	0	0	0	0	0	0	0	0
3,51	3,51	3,51	0	0	0	0	0	0	0	0	0
4,99	4,99	4,99	0	0	0	0	0	0	0	0	1
8,6	8,6	8,6	0	0	0	0	0	0	0	0	0
14,45	14,45	14,45	0	0	0	0	0	0	0	0	1
6,6	6,6	6,6	0	0	0	0	0	0	0	0	1
0	0	0	0	0	0	0	0	0	0	0	1
3,51	73,03	9,2	4,05	6	9,32	14,56	3,55	55,94	10,49	4,72	14

Time to First Fixation_dn01_port _1_1.JPG_Rectangle 3_Mean	Time to First Fixation_dn01_port _1_1.JPG_Rectangle 3_Max	Time to First Fixation_dn01_port _1_1.JPG_Rectangle 3_Min	Time to First Fixation_dn01_port _1_1.JPG_Rectangle 3_Sum	Time to First Fixation_dn01_port _1_1.JPG_Rectangle 3_Median	Time to First Fixation_dn01_port _1_1.JPG_Rectangle 3_Stdev	Time to First Fixation_dn01_port _1_1.JPG_Rectangle 30_N	Time to First Fixation_dn01_port _1_1.JPG_Rectangle 30_Mean	Time to First Fixation_dn01_port _1_1.JPG_Rectangle 30_Max	Time to First Fixation_dn01_port _1_1.JPG_Rectangle 30_Min	Time to First Fixation_dn01_port _1_1.JPG_Rectangle 30_Sum	Time to First Fixation_dn01_port _1_1.JPG_Rectangle 30_Median
0,29	0,29	0,29	0,29	0,29	0	0	0	0	0	0	0
6,4	6,4	6,4	6,4	6,4	0	0	0	0	0	0	0
0	0	0	0	0	0	0	0	0	0	0	0
0	0	0	0	0	0	1	9,93	9,93	9,93	9,93	9,93
4,61	4,61	4,61	4,61	4,61	0	0	0	0	0	0	0
2,01	2,01	2,01	2,01	2,01	0	0	0	0	0	0	0
3,15	3,15	3,15	3,15	3,15	0	1	8,7	8,7	8,7	8,7	8,7
0	0	0	0	0	0	1	12,49	12,49	12,49	12,49	12,49
0,29	0,29	0,29	0,29	0,29	0	0	0	0	0	0	0
1,8	1,8	1,8	1,8	1,8	0	1	0,76	0,76	0,76	0,76	0,76
0,29	0,29	0,29	0,29	0,29	0	1	2,3	2,3	2,3	2,3	2,3
0	0	0	0	0	0	0	0	0	0	0	0
0	0	0	0	0	0	1	3,36	3,36	3,36	3,36	3,36
8,82	8,82	8,82	8,82	8,82	0	1	4,71	4,71	4,71	4,71	4,71
0	0	0	0	0	0	1	14,54	14,54	14,54	14,54	14,54
1,45	1,45	1,45	1,45	1,45	0	1	10,07	10,07	10,07	10,07	10,07
0,33	0,33	0,33	0,33	0,33	0	1	5,47	5,47	5,47	5,47	5,47
0,25	0,25	0,25	0,25	0,25	0	0	0	0	0	0	0
2,12	8,82	0	29,7	0,89	2,73	10	7,23	14,54	0,76	72,33	7,09

Time to First Fixation_dn01_port _1_1.JPG_Rectangle 30_Stdev	Time to First Fixation_dn01_port _1_1.JPG_Rectangle 31_N	Time to First Fixation_dn01_port _1_1.JPG_Rectangle 31_Mean	Time to First Fixation_dn01_port _1_1.JPG_Rectangle 31_Max	Time to First Fixation_dn01_port _1_1.JPG_Rectangle 31_Min	Time to First Fixation_dn01_port _1_1.JPG_Rectangle 31_Sum	Time to First Fixation_dn01_port _1_1.JPG_Rectangle 31_Median	Time to First Fixation_dn01_port _1_1.JPG_Rectangle 31_Stdev	Time to First Fixation_dn01_port _1_1.JPG_Rectangle 32_N	Time to First Fixation_dn01_port _1_1.JPG_Rectangle 32_Mean	Time to First Fixation_dn01_port _1_1.JPG_Rectangle 32_Max	Time to First Fixation_dn01_port _1_1.JPG_Rectangle 32_Min
0	1	13,68	13,68	13,68	13,68	13,68	0	0	0	0	0
0	0	0	0	0	0	0	0	0	0	0	0
0	1	11,95	11,95	11,95	11,95	11,95	0	0	0	0	0
0	1	11,51	11,51	11,51	11,51	11,51	0	0	0	0	0
0	0	0	0	0	0	0	0	0	0	0	0
0	0	0	0	0	0	0	0	0	0	0	0
0	1	9,02	9,02	9,02	9,02	9,02	0	0	0	0	0
0	1	14,2	14,2	14,2	14,2	14,2	0	0	0	0	0
0	0	0	0	0	0	0	0	0	0	0	0
0	1	5,75	5,75	5,75	5,75	5,75	0	1	8,27	8,27	8,27
0	1	4,17	4,17	4,17	4,17	4,17	0	0	0	0	0
0	0	0	0	0	0	0	0	0	0	0	0
0	1	5,51	5,51	5,51	5,51	5,51	0	0	0	0	0
0	1	6,97	6,97	6,97	6,97	6,97	0	0	0	0	0
0	0	0	0	0	0	0	0	0	0	0	0
0	1	13,12	13,12	13,12	13,12	13,12	0	0	0	0	0
0	1	6,15	6,15	6,15	6,15	6,15	0	0	0	0	0
0	0	0	0	0	0	0	0	0	0	0	0
4,59	11	9,28	14,2	4,17	102,04	9,02	3,72	1	8,27	8,27	8,27

Time to First Fixation_dn01_port _1_1.JPG_Rectangle 32_Sum	Time to First Fixation_dn01_port _1_1.JPG_Rectangle 32_Median	Time to First Fixation_dn01_port _1_1.JPG_Rectangle 32_Stdev	Time to First Fixation_dn01_port _1_1.JPG_Rectangle 4_N	Time to First Fixation_dn01_port _1_1.JPG_Rectangle 4_Mean	Time to First Fixation_dn01_port _1_1.JPG_Rectangle 4_Max	Time to First Fixation_dn01_port _1_1.JPG_Rectangle 4_Min	Time to First Fixation_dn01_port _1_1.JPG_Rectangle 4_Sum	Time to First Fixation_dn01_port _1_1.JPG_Rectangle 4_Median	Time to First Fixation_dn01_port _1_1.JPG_Rectangle 4_Stdev	Time to First Fixation_dn01_port _1_1.JPG_Rectangle 5_N	Time to First Fixation_dn01_port _1_1.JPG_Rectangle 5_Mean
0	0	0	0	0	0	0	0	0	0	1	3,97
0	0	0	0	0	0	0	0	0	0	0	0
0	0	0	0	0	0	0	0	0	0	0	0
0	0	0	1	0,43	0,43	0,43	0,43	0,43	0	0	0
0	0	0	1	0,3	0,3	0,3	0,3	0,3	0	0	0
0	0	0	0	0	0	0	0	0	0	1	9,46
0	0	0	1	0,44	0,44	0,44	0,44	0,44	0	0	0
0	0	0	1	0,28	0,28	0,28	0,28	0,28	0	0	0
0	0	0	1	0,8	0,8	0,8	0,8	0,8	0	0	0
8,27	8,27	0	1	0,54	0,54	0,54	0,54	0,54	0	0	0
0	0	0	1	0,67	0,67	0,67	0,67	0,67	0	0	0
0	0	0	1	0,39	0,39	0,39	0,39	0,39	0	0	0
0	0	0	0	0	0	0	0	0	0	0	0
0	0	0	1	0,45	0,45	0,45	0,45	0,45	0	0	0
0	0	0	1	0,41	0,41	0,41	0,41	0,41	0	0	0
0	0	0	0	0	0	0	0	0	0	0	0
0	0	0	1	0,76	0,76	0,76	0,76	0,76	0	1	10,22
0	0	0	1	3,43	3,43	3,43	3,43	3,43	0	0	0
8,27	8,27	0	12	0,74	3,43	0,28	8,9	0,44	0,86	3	7,88

Time to First Fixation_dn01_port _1_1.JPG_Rectangle 5_Max	Time to First Fixation_dn01_port _1_1.JPG_Rectangle 5_Min	Time to First Fixation_dn01_port _1_1.JPG_Rectangle 5_Sum	Time to First Fixation_dn01_port _1_1.JPG_Rectangle 5_Median	Time to First Fixation_dn01_port _1_1.JPG_Rectangle 5_Stdev	Time to First Fixation_dn01_port _1_1.JPG_Rectangle 7_N	Time to First Fixation_dn01_port _1_1.JPG_Rectangle 7_Mean	Time to First Fixation_dn01_port _1_1.JPG_Rectangle 7_Max	Time to First Fixation_dn01_port _1_1.JPG_Rectangle 7_Min	Time to First Fixation_dn01_port _1_1.JPG_Rectangle 7_Sum	Time to First Fixation_dn01_port _1_1.JPG_Rectangle 7_Median	Time to First Fixation_dn01_port _1_1.JPG_Rectangle 7_Stdev
3,97	3,97	3,97	3,97	0	1	3,04	3,04	3,04	3,04	3,04	0
0	0	0	0	0	0	0	0	0	0	0	0
0	0	0	0	0	0	0	0	0	0	0	0
0	0	0	0	0	0	0	0	0	0	0	0
0	0	0	0	0	0	0	0	0	0	0	0
9,46	9,46	9,46	9,46	0	1	0,18	0,18	0,18	0,18	0,18	0
0	0	0	0	0	1	0,67	0,67	0,67	0,67	0,67	0
0	0	0	0	0	1	0	0	0	0	0	0
0	0	0	0	0	1	10,81	10,81	10,81	10,81	10,81	0
0	0	0	0	0	1	0,16	0,16	0,16	0,16	0,16	0
0	0	0	0	0	1	0,49	0,49	0,49	0,49	0,49	0
0	0	0	0	0	1	1,29	1,29	1,29	1,29	1,29	0
0	0	0	0	0	0	0	0	0	0	0	0
0	0	0	0	0	1	0,2	0,2	0,2	0,2	0,2	0
0	0	0	0	0	1	2,19	2,19	2,19	2,19	2,19	0
0	0	0	0	0	0	0	0	0	0	0	0
10,22	10,22	10,22	10,22	0	1	10,47	10,47	10,47	10,47	10,47	0
0	0	0	0	0	1	3,25	3,25	3,25	3,25	3,25	0
10,22	3,97	23,65	9,46	3,41	12	2,73	10,81	0	32,74	0,98	3,86

Time to First Fixation_dn01_port _1_1.JPG_Rectangle 8_N	Time to First Fixation_dn01_port _1_1.JPG_Rectangle 8_Mean	Time to First Fixation_dn01_port _1_1.JPG_Rectangle 8_Max	Time to First Fixation_dn01_port _1_1.JPG_Rectangle 8_Min	Time to First Fixation_dn01_port _1_1.JPG_Rectangle 8_Sum	Time to First Fixation_dn01_port _1_1.JPG_Rectangle 8_Median	Time to First Fixation_dn01_port _1_1.JPG_Rectangle 8_Stdev	Time to First Fixation_dn01_port _1_1.JPG_Rectangle 9_N	Time to First Fixation_dn01_port _1_1.JPG_Rectangle 9_Mean	Time to First Fixation_dn01_port _1_1.JPG_Rectangle 9_Max	Time to First Fixation_dn01_port _1_1.JPG_Rectangle 9_Min	Time to First Fixation_dn01_port _1_1.JPG_Rectangle 9_Sum
1	5,49	5,49	5,49	5,49	5,49	0	1	5,27	5,27	5,27	5,27
0	0	0	0	0	0	0	0	0	0	0	0
0	0	0	0	0	0	0	0	0	0	0	0
0	0	0	0	0	0	0	0	0	0	0	0
0	0	0	0	0	0	0	1	3,66	3,66	3,66	3,66
1	10,01	10,01	10,01	10,01	10,01	0	0	0	0	0	0
0	0	0	0	0	0	0	0	0	0	0	0
1	3,56	3,56	3,56	3,56	3,56	0	0	0	0	0	0
1	1,42	1,42	1,42	1,42	1,42	0	0	0	0	0	0
1	12,63	12,63	12,63	12,63	12,63	0	1	2,97	2,97	2,97	2,97
1	0	0	0	0	0	0	0	0	0	0	0
1	3,6	3,6	3,6	3,6	3,6	0	0	0	0	0	0
0	0	0	0	0	0	0	0	0	0	0	0
0	0	0	0	0	0	0	0	0	0	0	0
1	1,12	1,12	1,12	1,12	1,12	0	1	1,01	1,01	1,01	1,01
0	0	0	0	0	0	0	0	0	0	0	0
0	0	0	0	0	0	0	1	11	11	11	11
1	4,52	4,52	4,52	4,52	4,52	0	0	0	0	0	0
9	4,71	12,63	0	42,35	3,6	4,18	5	4,78	11	1,01	23,91

PRILOG 3 A

Rezultati mjerenja i deskriptivna statistika praćenja oka korisnika aplikacije za tablet novine

Time to First Fixation_dn01_port _1_1.JPG_Rectangle _9_Median	Time to First Fixation_dn01_port _1_1.JPG_Rectangle _9_Stdev
5,27	0
0	0
0	0
0	0
3,66	0
0	0
0	0
0	0
0	0
2,97	0
0	0
0	0
0	0
0	0
1,01	0
0	0
11	0
0	0
3,66	3,8

	Time to First Fixation_dn02_NYT port_1_1.JPG_Polygon_N	Time to First Fixation_dn02_NYT port_1_1.JPG_Polygon_Mean	Time to First Fixation_dn02_NYT port_1_1.JPG_Polygon_Max	Time to First Fixation_dn02_NYT port_1_1.JPG_Polygon_Min	Time to First Fixation_dn02_NYT port_1_1.JPG_Polygon_Sum	Time to First Fixation_dn02_NYT port_1_1.JPG_Polygon_Median	Time to First Fixation_dn02_NYT port_1_1.JPG_Polygon_Stdev	Time to First Fixation_dn02_NYT port_1_1.JPG_Rectangle_N	Time to First Fixation_dn02_NYT port_1_1.JPG_Rectangle_Mean	Time to First Fixation_dn02_NYT port_1_1.JPG_Rectangle_Max	Time to First Fixation_dn02_NYT port_1_1.JPG_Rectangle_Min
Rec 01	1	12,62	12,62	12,62	12,62	12,62	0	0	0	0	0
Rec 05	1	0,64	0,64	0,64	0,64	0,64	0	0	0	0	0
Rec 06	1	0	0	0	0	0	0	0	0	0	0
Rec 02	1	0	0	0	0	0	0	0	0	0	0
Rec 03	1	18,78	18,78	18,78	18,78	18,78	0	1	0,67	0,67	0,67
Rec 04	1	0,02	0,02	0,02	0,02	0,02	0	0	0	0	0
Rec 07	1	0,86	0,86	0,86	0,86	0,86	0	0	0	0	0
Rec 08	1	2,43	2,43	2,43	2,43	2,43	0	1	0,23	0,23	0,23
Rec 09	1	3,92	3,92	3,92	3,92	3,92	0	1	13,93	13,93	13,93
Rec 10	1	2,39	2,39	2,39	2,39	2,39	0	0	0	0	0
Rec 11	1	0,23	0,23	0,23	0,23	0,23	0	1	12,23	12,23	12,23
Rec 12	1	5,55	5,55	5,55	5,55	5,55	0	1	0,66	0,66	0,66
Rec 13	1	8,71	8,71	8,71	8,71	8,71	0	0	0	0	0
Rec 14	1	1,93	1,93	1,93	1,93	1,93	0	0	0	0	0
Rec 16	1	2,47	2,47	2,47	2,47	2,47	0	1	0,66	0,66	0,66
Rec 17	1	1,4	1,4	1,4	1,4	1,4	0	0	0	0	0
Rec 18	1	2,01	2,01	2,01	2,01	2,01	0	1	0,16	0,16	0,16
Rec 19	1	3,3	3,3	3,3	3,3	3,3	0	0	0	0	0
All Recordings	18	4,29	18,78	0	67,27	2,2	6,93	7	4,08	13,93	0,16

Time to First Fixation_dn02_NYT port_1_1.JPG_Rectangle_Sum	Time to First Fixation_dn02_NYT port_1_1.JPG_Rectangle_Median	Time to First Fixation_dn02_NYT port_1_1.JPG_Rectangle_Stdev	Time to First Fixation_dn02_NYT port_1_1.JPG_Rectangle_10_N	Time to First Fixation_dn02_NYT port_1_1.JPG_Rectangle_10_Mean	Time to First Fixation_dn02_NYT port_1_1.JPG_Rectangle_10_Max	Time to First Fixation_dn02_NYT port_1_1.JPG_Rectangle_10_Min	Time to First Fixation_dn02_NYT port_1_1.JPG_Rectangle_10_Sum	Time to First Fixation_dn02_NYT port_1_1.JPG_Rectangle_10_Median	Time to First Fixation_dn02_NYT port_1_1.JPG_Rectangle_10_Stdev	Time to First Fixation_dn02_NYT port_1_1.JPG_Rectangle_11_N	Time to First Fixation_dn02_NYT port_1_1.JPG_Rectangle_11_Mean
0	0	0	0	0	0	0	0	0	0	1	1,06
0	0	0	0	0	0	0	0	0	0	0	0
0	0	0	1	14,07	14,07	14,07	14,07	14,07	0	1	29,82
0	0	0	0	0	0	0	0	0	0	1	10,05
0,67	0,67	0	1	9,31	9,31	9,31	9,31	9,31	0	0	0
0	0	0	1	6,48	6,48	6,48	6,48	6,48	0	1	13,67
0	0	0	1	3,91	3,91	3,91	3,91	3,91	0	1	4,99
0,23	0,23	0	1	5,7	5,7	5,7	5,7	5,7	0	1	5,38
13,93	13,93	0	1	5,67	5,67	5,67	5,67	5,67	0	1	5,44
0	0	0	1	8,35	8,35	8,35	8,35	8,35	0	1	7,95
12,23	12,23	0	0	0	0	0	0	0	0	1	5,74
0,66	0,66	0	1	12,77	12,77	12,77	12,77	12,77	0	1	16,8
0	0	0	0	0	0	0	0	0	0	1	7,61
0	0	0	1	3,48	3,48	3,48	3,48	3,48	0	0	0
0,66	0,66	0	1	3,77	3,77	3,77	3,77	3,77	0	1	5,15
0	0	0	0	0	0	0	0	0	0	0	0
0,16	0,16	0	1	15,06	15,06	15,06	15,06	15,06	0	0	0
0	0	0	1	5,92	5,92	5,92	5,92	5,92	0	1	5,68
28,55	0,66	6,17	12	9,54	15,06	3,48	104,48	6,2	7,49	13	9,18

Time to First Fixation_dn02_NYT port_1_1.JPG_Rectangle 11_Max	Time to First Fixation_dn02_NYT port_1_1.JPG_Rectangle 11_Min	Time to First Fixation_dn02_NYT port_1_1.JPG_Rectangle 11_Sum	Time to First Fixation_dn02_NYT port_1_1.JPG_Rectangle 11_Median	Time to First Fixation_dn02_NYT port_1_1.JPG_Rectangle 11_Stdev	Time to First Fixation_dn02_NYT port_1_1.JPG_Rectangle 12_N	Time to First Fixation_dn02_NYT port_1_1.JPG_Rectangle 12_Mean	Time to First Fixation_dn02_NYT port_1_1.JPG_Rectangle 12_Max	Time to First Fixation_dn02_NYT port_1_1.JPG_Rectangle 12_Min	Time to First Fixation_dn02_NYT port_1_1.JPG_Rectangle 12_Sum	Time to First Fixation_dn02_NYT port_1_1.JPG_Rectangle 12_Median	Time to First Fixation_dn02_NYT port_1_1.JPG_Rectangle 12_Stdev
1,06	1,06	1,06	1,06	0	1	0,81	0,81	0,81	0,81	0,81	0
0	0	0	0	0	1	7,97	7,97	7,97	7,97	7,97	0
9,82	9,82	9,82	9,82	0	1	3,46	3,46	3,46	3,46	3,46	0
10,05	10,05	10,05	10,05	0	1	12,46	12,46	12,46	12,46	12,46	0
0	0	0	0	0	0	0	0	0	0	0	0
13,67	13,67	13,67	13,67	0	1	16,52	16,52	16,52	16,52	16,52	0
4,99	4,99	4,99	4,99	0	1	5,61	5,61	5,61	5,61	5,61	0
5,38	5,38	5,38	5,38	0	1	7,18	7,18	7,18	7,18	7,18	0
5,44	5,44	5,44	5,44	0	1	8,05	8,05	8,05	8,05	8,05	0
7,95	7,95	7,95	7,95	0	1	0	0	0	0	0	0
5,74	5,74	5,74	5,74	0	0	0	0	0	0	0	0
16,8	16,8	16,8	16,8	0	1	13,89	13,89	13,89	13,89	13,89	0
7,61	7,61	7,61	7,61	0	1	15,9	15,9	15,9	15,9	15,9	0
0	0	0	0	0	0	0	0	0	0	0	0
5,15	5,15	5,15	5,15	0	1	14,74	14,74	14,74	14,74	14,74	0
0	0	0	0	0	0	0	0	0	0	0	0
0	0	0	0	0	0	0	0	0	0	0	0
5,68	5,68	5,68	5,68	0	1	9,36	9,36	9,36	9,36	9,36	0
13,67	1,06	99,34	5,74	7,42	13	10,46	16,52	0	105,95	8,05	7,93

Time to First Fixation_dn02_NYT port_1_1.JPG_Rectangle 13_N	Time to First Fixation_dn02_NYT port_1_1.JPG_Rectangle 13_Mean	Time to First Fixation_dn02_NYT port_1_1.JPG_Rectangle 13_Max	Time to First Fixation_dn02_NYT port_1_1.JPG_Rectangle 13_Min	Time to First Fixation_dn02_NYT port_1_1.JPG_Rectangle 13_Sum	Time to First Fixation_dn02_NYT port_1_1.JPG_Rectangle 13_Median	Time to First Fixation_dn02_NYT port_1_1.JPG_Rectangle 13_Stdev	Time to First Fixation_dn02_NYT port_1_1.JPG_Rectangle 14_N	Time to First Fixation_dn02_NYT port_1_1.JPG_Rectangle 14_Mean	Time to First Fixation_dn02_NYT port_1_1.JPG_Rectangle 14_Max	Time to First Fixation_dn02_NYT port_1_1.JPG_Rectangle 14_Min	Time to First Fixation_dn02_NYT port_1_1.JPG_Rectangle 14_Sum
1	3,66	3,66	3,66	3,66	3,66	0	1	0	0	0	0
1	9	9	9	9	9	0	1	10,65	10,65	10,65	10,65
1	4,25	4,25	4,25	4,25	4,25	0	1	4,05	4,05	4,05	4,05
1	14,56	14,56	14,56	14,56	14,56	0	1	18,17	18,17	18,17	18,17
0	0	0	0	0	0	0	0	0	0	0	0
1	18,82	18,82	18,82	18,82	18,82	0	1	11,45	11,45	11,45	11,45
1	6,87	6,87	6,87	6,87	6,87	0	1	9,97	9,97	9,97	9,97
0	0	0	0	0	0	0	1	7,68	7,68	7,68	7,68
1	8,82	8,82	8,82	8,82	8,82	0	1	14,49	14,49	14,49	14,49
1	13,9	13,9	13,9	13,9	13,9	0	1	15,16	15,16	15,16	15,16
0	0	0	0	0	0	0	1	16,81	16,81	16,81	16,81
1	9,59	9,59	9,59	9,59	9,59	0	0	0	0	0	0
1	0	0	0	0	0	0	1	9,54	9,54	9,54	9,54
1	5,59	5,59	5,59	5,59	5,59	0	1	8,93	8,93	8,93	8,93
1	10,23	10,23	10,23	10,23	10,23	0	1	12,43	12,43	12,43	12,43
1	0	0	0	0	0	0	0	0	0	0	0
0	0	0	0	0	0	0	1	4,18	4,18	4,18	4,18
1	14,21	14,21	14,21	14,21	14,21	0	1	17,99	17,99	17,99	17,99
14	9,96	18,82	0	109,51	8,91	7,94	15	12,1	18,17	0	151,51

Time to First Fixation_dn02_NYT port_1_1.JPG_Rectangle_14_Median	Time to First Fixation_dn02_NYT port_1_1.JPG_Rectangle_14_Stdev	Time to First Fixation_dn02_NYT port_1_1.JPG_Rectangle_15_N	Time to First Fixation_dn02_NYT port_1_1.JPG_Rectangle_15_Mean	Time to First Fixation_dn02_NYT port_1_1.JPG_Rectangle_15_Max	Time to First Fixation_dn02_NYT port_1_1.JPG_Rectangle_15_Min	Time to First Fixation_dn02_NYT port_1_1.JPG_Rectangle_15_Sum	Time to First Fixation_dn02_NYT port_1_1.JPG_Rectangle_15_Median	Time to First Fixation_dn02_NYT port_1_1.JPG_Rectangle_15_Stdev	Time to First Fixation_dn02_NYT port_1_1.JPG_Rectangle_16_N	Time to First Fixation_dn02_NYT port_1_1.JPG_Rectangle_16_Mean	Time to First Fixation_dn02_NYT port_1_1.JPG_Rectangle_16_Max
0	0	0	0	0	0	0	0	0	0	0	0
10,65	0	1	7,15	7,15	7,15	7,15	7,15	0	0	0	0
4,05	0	1	11	11	11	11	11	0	0	0	0
18,17	0	0	0	0	0	0	0	0	0	0	0
0	0	0	0	0	0	0	0	0	1	15,06	15,06
11,45	0	0	0	0	0	0	0	0	0	0	0
9,97	0	0	0	0	0	0	0	0	0	0	0
7,68	0	0	0	0	0	0	0	0	0	0	0
14,49	0	0	0	0	0	0	0	0	0	0	0
15,16	0	0	0	0	0	0	0	0	0	0	0
16,81	0	1	15,65	15,65	15,65	15,65	15,65	0	0	0	0
0	0	0	0	0	0	0	0	0	0	0	0
9,54	0	0	0	0	0	0	0	0	0	0	0
8,93	0	0	0	0	0	0	0	0	0	0	0
12,43	0	0	0	0	0	0	0	0	0	0	0
0	0	0	0	0	0	0	0	0	0	0	0
4,18	0	0	0	0	0	0	0	0	0	0	0
17,99	0	0	0	0	0	0	0	0	0	0	0
10,65	6,87	3	11,27	15,65	7,15	33,8	11	4,25	1	15,06	15,06

Time to First Fixation_dn02_NYT port_1_1.JPG_Rectangle 16_Min	Time to First Fixation_dn02_NYT port_1_1.JPG_Rectangle 16_Sum	Time to First Fixation_dn02_NYT port_1_1.JPG_Rectangle 16_Median	Time to First Fixation_dn02_NYT port_1_1.JPG_Rectangle 16_Stdev	Time to First Fixation_dn02_NYT port_1_1.JPG_Rectangle 17_N	Time to First Fixation_dn02_NYT port_1_1.JPG_Rectangle 17_Mean	Time to First Fixation_dn02_NYT port_1_1.JPG_Rectangle 17_Max	Time to First Fixation_dn02_NYT port_1_1.JPG_Rectangle 17_Min	Time to First Fixation_dn02_NYT port_1_1.JPG_Rectangle 17_Sum	Time to First Fixation_dn02_NYT port_1_1.JPG_Rectangle 17_Median	Time to First Fixation_dn02_NYT port_1_1.JPG_Rectangle 17_Stdev	Time to First Fixation_dn02_NYT port_1_1.JPG_Rectangle 18_N
0	0	0	0	0	0	0	0	0	0	0	0
0	0	0	0	0	0	0	0	0	0	0	0
0	0	0	0	0	0	0	0	0	0	0	0
0	0	0	0	0	0	0	0	0	0	0	0
15,06	15,06	15,06	0	0	0	0	0	0	0	0	0
0	0	0	0	0	0	0	0	0	0	0	0
0	0	0	0	0	0	0	0	0	0	0	0
0	0	0	0	0	0	0	0	0	0	0	1
0	0	0	0	0	0	0	0	0	0	0	1
0	0	0	0	0	0	0	0	0	0	0	0
0	0	0	0	0	0	0	0	0	0	0	0
0	0	0	0	0	0	0	0	0	0	0	0
0	0	0	0	0	0	0	0	0	0	0	0
0	0	0	0	0	0	0	0	0	0	0	0
0	0	0	0	0	0	0	0	0	0	0	0
0	0	0	0	0	0	0	0	0	0	0	0
0	0	0	0	0	0	0	0	0	0	0	0
0	0	0	0	0	0	0	0	0	0	0	1
15,06	15,06	15,06	0	0	0	0	0	0	0	0	3

Time to First Fixation_dn02_NYT port_1_1.JPG_Rectangle 18_Mean	Time to First Fixation_dn02_NYT port_1_1.JPG_Rectangle 18_Max	Time to First Fixation_dn02_NYT port_1_1.JPG_Rectangle 18_Min	Time to First Fixation_dn02_NYT port_1_1.JPG_Rectangle 18_Sum	Time to First Fixation_dn02_NYT port_1_1.JPG_Rectangle 18_Median	Time to First Fixation_dn02_NYT port_1_1.JPG_Rectangle 18_Stdev	Time to First Fixation_dn02_NYT port_1_1.JPG_Rectangle 19_N	Time to First Fixation_dn02_NYT port_1_1.JPG_Rectangle 19_Mean	Time to First Fixation_dn02_NYT port_1_1.JPG_Rectangle 19_Max	Time to First Fixation_dn02_NYT port_1_1.JPG_Rectangle 19_Min	Time to First Fixation_dn02_NYT port_1_1.JPG_Rectangle 19_Sum	Time to First Fixation_dn02_NYT port_1_1.JPG_Rectangle 19_Median
0	0	0	0	0	0	0	0	0	0	0	0
0	0	0	0	0	0	0	0	0	0	0	0
0	0	0	0	0	0	0	0	0	0	0	0
0	0	0	0	0	0	0	0	0	0	0	0
0	0	0	0	0	0	1	0,48	0,48	0,48	0,48	0,48
0	0	0	0	0	0	0	0	0	0	0	0
0	0	0	0	0	0	0	0	0	0	0	0
9,53	9,53	9,53	9,53	9,53	0	0	0	0	0	0	0
14,96	14,96	14,96	14,96	14,96	0	1	12,88	12,88	12,88	12,88	12,88
0	0	0	0	0	0	0	0	0	0	0	0
0	0	0	0	0	0	1	13,84	13,84	13,84	13,84	13,84
0	0	0	0	0	0	0	0	0	0	0	0
0	0	0	0	0	0	0	0	0	0	0	0
0	0	0	0	0	0	0	0	0	0	0	0
0	0	0	0	0	0	0	0	0	0	0	0
0	0	0	0	0	0	1	16,56	16,56	16,56	16,56	16,56
4,09	4,09	4,09	4,09	4,09	0	0	0	0	0	0	0
9,53	14,96	4,09	28,58	9,53	5,44	4	15,94	16,56	0,48	63,77	18,36

Time to First Fixation_dn02_NYT port_1_1.JPG_Rectangle 19_Stdev	Time to First Fixation_dn02_NYT port_1_1.JPG_Rectangle 2_N	Time to First Fixation_dn02_NYT port_1_1.JPG_Rectangle 2_Mean	Time to First Fixation_dn02_NYT port_1_1.JPG_Rectangle 2_Max	Time to First Fixation_dn02_NYT port_1_1.JPG_Rectangle 2_Min	Time to First Fixation_dn02_NYT port_1_1.JPG_Rectangle 2_Sum	Time to First Fixation_dn02_NYT port_1_1.JPG_Rectangle 2_Median	Time to First Fixation_dn02_NYT port_1_1.JPG_Rectangle 2_Stdev	Time to First Fixation_dn02_NYT port_1_1.JPG_Rectangle 20_N	Time to First Fixation_dn02_NYT port_1_1.JPG_Rectangle 20_Mean	Time to First Fixation_dn02_NYT port_1_1.JPG_Rectangle 20_Max	Time to First Fixation_dn02_NYT port_1_1.JPG_Rectangle 20_Min
0	0	0	0	0	0	0	0	0	0	0	0
0	1	1,36	1,36	1,36	1,36	1,36	0	0	0	0	0
0	0	0	0	0	0	0	0	0	0	0	0
0	0	0	0	0	0	0	0	0	0	0	0
0	1	1,07	1,07	1,07	1,07	1,07	0	1	16,07	16,07	16,07
0	1	0,33	0,33	0,33	0,33	0,33	0	0	0	0	0
0	1	0,38	0,38	0,38	0,38	0,38	0	0	0	0	0
0	1	0,6	0,6	0,6	0,6	0,6	0	1	9,33	9,33	9,33
0	1	0,94	0,94	0,94	0,94	0,94	0	1	14,71	14,71	14,71
0	1	0,29	0,29	0,29	0,29	0,29	0	0	0	0	0
0	1	11,47	11,47	11,47	11,47	11,47	0	1	13,63	13,63	13,63
0	1	0,39	0,39	0,39	0,39	0,39	0	0	0	0	0
0	1	0,51	0,51	0,51	0,51	0,51	0	0	0	0	0
0	1	0	0	0	0	0	0	0	0	0	0
0	1	0,48	0,48	0,48	0,48	0,48	0	0	0	0	0
0	1	0,5	0,5	0,5	0,5	0,5	0	0	0	0	0
0	1	0,55	0,55	0,55	0,55	0,55	0	0	0	0	0
0	1	0,39	0,39	0,39	0,39	0,39	0	1	4,88	4,88	4,88
11,88	15	1,28	11,47	0	19,25	0,5	2,84	5	13,72	16,07	4,88

Time to First Fixation_dn02_NYT port_1_1.JPG_Rectangle 20_Sum	Time to First Fixation_dn02_NYT port_1_1.JPG_Rectangle 20_Median	Time to First Fixation_dn02_NYT port_1_1.JPG_Rectangle 20_Stdev	Time to First Fixation_dn02_NYT port_1_1.JPG_Rectangle 21_N	Time to First Fixation_dn02_NYT port_1_1.JPG_Rectangle 21_Mean	Time to First Fixation_dn02_NYT port_1_1.JPG_Rectangle 21_Max	Time to First Fixation_dn02_NYT port_1_1.JPG_Rectangle 21_Min	Time to First Fixation_dn02_NYT port_1_1.JPG_Rectangle 21_Sum	Time to First Fixation_dn02_NYT port_1_1.JPG_Rectangle 21_Median	Time to First Fixation_dn02_NYT port_1_1.JPG_Rectangle 21_Stdev	Time to First Fixation_dn02_NYT port_1_1.JPG_Rectangle 22_N	Time to First Fixation_dn02_NYT port_1_1.JPG_Rectangle 22_Mean
0	0	0	0	0	0	0	0	0	0	0	0
0	0	0	0	0	0	0	0	0	0	0	0
0	0	0	0	0	0	0	0	0	0	0	0
0	0	0	0	0	0	0	0	0	0	0	0
16,07	16,07	0	1	14,07	14,07	14,07	14,07	14,07	0	1	10,27
0	0	0	0	0	0	0	0	0	0	0	0
0	0	0	0	0	0	0	0	0	0	0	0
9,33	9,33	0	1	8,74	8,74	8,74	8,74	8,74	0	1	9,14
14,71	14,71	0	0	0	0	0	0	0	0	0	0
0	0	0	0	0	0	0	0	0	0	0	0
13,63	13,63	0	0	0	0	0	0	0	0	1	12,66
0	0	0	0	0	0	0	0	0	0	0	0
0	0	0	0	0	0	0	0	0	0	0	0
0	0	0	0	0	0	0	0	0	0	0	0
0	0	0	0	0	0	0	0	0	0	0	0
0	0	0	0	0	0	0	0	0	0	0	0
0	0	0	1	18,44	18,44	18,44	18,44	18,44	0	1	18,17
4,88	4,88	0	0	0	0	0	0	0	0	1	16,17
68,62	14,71	7,11	3	17,09	18,44	8,74	51,26	14,07	10,19	5	13,28

Time to First Fixation_dn02_NYT port_1_1.JPG_Rectangle 22_Max	Time to First Fixation_dn02_NYT port_1_1.JPG_Rectangle 22_Min	Time to First Fixation_dn02_NYT port_1_1.JPG_Rectangle 22_Sum	Time to First Fixation_dn02_NYT port_1_1.JPG_Rectangle 22_Median	Time to First Fixation_dn02_NYT port_1_1.JPG_Rectangle 22_Stdev	Time to First Fixation_dn02_NYT port_1_1.JPG_Rectangle 3_N	Time to First Fixation_dn02_NYT port_1_1.JPG_Rectangle 3_Mean	Time to First Fixation_dn02_NYT port_1_1.JPG_Rectangle 3_Max	Time to First Fixation_dn02_NYT port_1_1.JPG_Rectangle 3_Min	Time to First Fixation_dn02_NYT port_1_1.JPG_Rectangle 3_Sum	Time to First Fixation_dn02_NYT port_1_1.JPG_Rectangle 3_Median	Time to First Fixation_dn02_NYT port_1_1.JPG_Rectangle 3_Stdev
0	0	0	0	0	1	13,02	13,02	13,02	13,02	13,02	0
0	0	0	0	0	0	0	0	0	0	0	0
0	0	0	0	0	0	0	0	0	0	0	0
0	0	0	0	0	0	0	0	0	0	0	0
10,27	10,27	10,27	10,27	0	1	1,25	1,25	1,25	1,25	1,25	0
0	0	0	0	0	1	1,7	1,7	1,7	1,7	1,7	0
0	0	0	0	0	1	0	0	0	0	0	0
9,14	9,14	9,14	9,14	0	1	0	0	0	0	0	0
0	0	0	0	0	1	2,47	2,47	2,47	2,47	2,47	0
0	0	0	0	0	1	0,88	0,88	0,88	0,88	0,88	0
12,66	12,66	12,66	12,66	0	1	0,44	0,44	0,44	0,44	0,44	0
0	0	0	0	0	1	1,47	1,47	1,47	1,47	1,47	0
0	0	0	0	0	1	11,69	11,69	11,69	11,69	11,69	0
0	0	0	0	0	1	0,4	0,4	0,4	0,4	0,4	0
0	0	0	0	0	1	0,82	0,82	0,82	0,82	0,82	0
0	0	0	0	0	1	0,93	0,93	0,93	0,93	0,93	0
18,17	18,17	18,17	18,17	0	1	8,92	8,92	8,92	8,92	8,92	0
16,17	16,17	16,17	16,17	0	1	0,74	0,74	0,74	0,74	0,74	0
18,17	9,14	66,41	12,66	7,44	15	2,98	13,02	0	44,74	0,93	4,38

Time to First Fixation_dn02_NYT port_1_1.JPG_Rectangle 4_N	Time to First Fixation_dn02_NYT port_1_1.JPG_Rectangle 4_Mean	Time to First Fixation_dn02_NYT port_1_1.JPG_Rectangle 4_Max	Time to First Fixation_dn02_NYT port_1_1.JPG_Rectangle 4_Min	Time to First Fixation_dn02_NYT port_1_1.JPG_Rectangle 4_Sum	Time to First Fixation_dn02_NYT port_1_1.JPG_Rectangle 4_Median	Time to First Fixation_dn02_NYT port_1_1.JPG_Rectangle 4_Stdev	Time to First Fixation_dn02_NYT port_1_1.JPG_Rectangle 5_N	Time to First Fixation_dn02_NYT port_1_1.JPG_Rectangle 5_Mean	Time to First Fixation_dn02_NYT port_1_1.JPG_Rectangle 5_Max	Time to First Fixation_dn02_NYT port_1_1.JPG_Rectangle 5_Min	Time to First Fixation_dn02_NYT port_1_1.JPG_Rectangle 5_Sum
0	0	0	0	0	0	0	0	0	0	0	0
1	12,57	12,57	12,57	12,57	12,57	0	0	0	0	0	0
1	14,16	14,16	14,16	14,16	14,16	0	0	0	0	0	0
0	0	0	0	0	0	0	0	0	0	0	0
0	0	0	0	0	0	0	0	0	0	0	0
1	1,15	1,15	1,15	1,15	1,15	0	1	8,49	8,49	8,49	8,49
1	2,52	2,52	2,52	2,52	2,52	0	1	2,69	2,69	2,69	2,69
1	3,02	3,02	3,02	3,02	3,02	0	1	3,38	3,38	3,38	3,38
1	1,92	1,92	1,92	1,92	1,92	0	0	0	0	0	0
0	0	0	0	0	0	0	1	18,88	18,88	18,88	18,88
0	0	0	0	0	0	0	0	0	0	0	0
1	5,99	5,99	5,99	5,99	5,99	0	1	0	0	0	0
1	0,88	0,88	0,88	0,88	0,88	0	1	16,72	16,72	16,72	16,72
1	2,91	2,91	2,91	2,91	2,91	0	1	3,21	3,21	3,21	3,21
0	0	0	0	0	0	0	1	8,29	8,29	8,29	8,29
0	0	0	0	0	0	0	1	6,8	6,8	6,8	6,8
1	7,11	7,11	7,11	7,11	7,11	0	0	0	0	0	0
1	0,12	0,12	0,12	0,12	0,12	0	1	19,79	19,79	19,79	19,79
11	5,67	14,16	0,12	52,36	2,91	6,88	10	9,02	19,79	0	80,25

Time to First Fixation_dn02_NYT port_1_1.JPG_Rectangle 5_Median	Time to First Fixation_dn02_NYT port_1_1.JPG_Rectangle 5_Stdev	Time to First Fixation_dn02_NYT port_1_1.JPG_Rectangle 6_N	Time to First Fixation_dn02_NYT port_1_1.JPG_Rectangle 6_Mean	Time to First Fixation_dn02_NYT port_1_1.JPG_Rectangle 6_Max	Time to First Fixation_dn02_NYT port_1_1.JPG_Rectangle 6_Min	Time to First Fixation_dn02_NYT port_1_1.JPG_Rectangle 6_Sum	Time to First Fixation_dn02_NYT port_1_1.JPG_Rectangle 6_Median	Time to First Fixation_dn02_NYT port_1_1.JPG_Rectangle 6_Stdev	Time to First Fixation_dn02_NYT port_1_1.JPG_Rectangle 7_N	Time to First Fixation_dn02_NYT port_1_1.JPG_Rectangle 7_Mean	Time to First Fixation_dn02_NYT port_1_1.JPG_Rectangle 7_Max
0	0	1	0,28	0,28	0,28	0,28	0,28	0	0	0	0
0	0	1	4,7	4,7	4,7	4,7	4,7	0	0	0	0
0	0	1	12,91	12,91	12,91	12,91	12,91	0	1	15,19	15,19
0	0	1	7,83	7,83	7,83	7,83	7,83	0	1	4,68	4,68
0	0	0	0	0	0	0	0	0	1	12,27	12,27
8,49	0	0	0	0	0	0	0	0	1	0,78	0,78
2,69	0	0	0	0	0	0	0	0	1	2,29	2,29
3,38	0	1	4,6	4,6	4,6	4,6	4,6	0	0	0	0
0	0	1	10,63	10,63	10,63	10,63	10,63	0	1	5,09	5,09
18,88	0	1	9,93	9,93	9,93	9,93	9,93	0	1	7,64	7,64
0	0	1	4,47	4,47	4,47	4,47	4,47	0	0	0	0
0	0	0	0	0	0	0	0	0	1	8,89	8,89
16,72	0	1	1,1	1,1	1,1	1,1	1,1	0	0	0	0
3,21	0	1	3,08	3,08	3,08	3,08	3,08	0	1	4,23	4,23
8,29	0	0	0	0	0	0	0	0	1	0,28	0,28
6,8	0	0	0	0	0	0	0	0	1	0,32	0,32
0	0	0	0	0	0	0	0	0	1	2,49	2,49
19,79	0	1	15,79	15,79	15,79	15,79	15,79	0	1	15,04	15,04
7,54	7,54	11	8,67	15,79	0,28	75,33	4,7	8,07	13	6,86	15,19

Time to First Fixation_dn02_NYT port_1_1.JPG_Rectangle 7_Min	Time to First Fixation_dn02_NYT port_1_1.JPG_Rectangle 7_Sum	Time to First Fixation_dn02_NYT port_1_1.JPG_Rectangle 7_Median	Time to First Fixation_dn02_NYT port_1_1.JPG_Rectangle 7_Stdev	Time to First Fixation_dn02_NYT port_1_1.JPG_Rectangle 8_N	Time to First Fixation_dn02_NYT port_1_1.JPG_Rectangle 8_Mean	Time to First Fixation_dn02_NYT port_1_1.JPG_Rectangle 8_Max	Time to First Fixation_dn02_NYT port_1_1.JPG_Rectangle 8_Min	Time to First Fixation_dn02_NYT port_1_1.JPG_Rectangle 8_Sum	Time to First Fixation_dn02_NYT port_1_1.JPG_Rectangle 8_Median	Time to First Fixation_dn02_NYT port_1_1.JPG_Rectangle 8_Stdev	Time to First Fixation_dn02_NYT port_1_1.JPG_Rectangle 9_N
0	0	0	0	0	0	0	0	0	0	0	1
0	0	0	0	1	16,5	16,5	16,5	16,5	16,5	0	1
15,19	15,19	15,19	0	0	0	0	0	0	0	0	1
4,68	4,68	4,68	0	1	11,84	11,84	11,84	11,84	11,84	0	1
12,27	12,27	12,27	0	0	0	0	0	0	0	0	0
0,78	0,78	0,78	0	1	8,06	8,06	8,06	8,06	8,06	0	1
2,29	2,29	2,29	0	1	13,08	13,08	13,08	13,08	13,08	0	1
0	0	0	0	1	4,08	4,08	4,08	4,08	4,08	0	0
5,09	5,09	5,09	0	1	11,69	11,69	11,69	11,69	11,69	0	1
7,64	7,64	7,64	0	1	15,83	15,83	15,83	15,83	15,83	0	1
0	0	0	0	1	3,32	3,32	3,32	3,32	3,32	0	1
8,89	8,89	8,89	0	1	9,04	9,04	9,04	9,04	9,04	0	1
0	0	0	0	1	4,63	4,63	4,63	4,63	4,63	0	1
4,23	4,23	4,23	0	1	4,71	4,71	4,71	4,71	4,71	0	1
0,28	0,28	0,28	0	1	5,35	5,35	5,35	5,35	5,35	0	1
0,32	0,32	0,32	0	0	0	0	0	0	0	0	0
2,49	2,49	2,49	0	0	0	0	0	0	0	0	1
15,04	15,04	15,04	0	1	9,05	9,05	9,05	9,05	9,05	0	1
0,28	79,19	4,68	7,16	13	10,55	16,5	3,32	127,2	9,04	7,16	15

Time to First Fixation_dn02_NYT port_1_1.JPG_Recta ngle 9_Mean	Time to First Fixation_dn02_NYT port_1_1.JPG_Recta ngle 9_Max	Time to First Fixation_dn02_NYT port_1_1.JPG_Recta ngle 9_Min	Time to First Fixation_dn02_NYT port_1_1.JPG_Recta ngle 9_Sum	Time to First Fixation_dn02_NYT port_1_1.JPG_Recta ngle 9_Median	Time to First Fixation_dn02_NYT port_1_1.JPG_Recta ngle 9_Stdev
9,54	9,54	9,54	9,54	9,54	0
6,49	6,49	6,49	6,49	6,49	0
9,45	9,45	9,45	9,45	9,45	0
5,27	5,27	5,27	5,27	5,27	0
0	0	0	0	0	0
10,34	10,34	10,34	10,34	10,34	0
13,55	13,55	13,55	13,55	13,55	0
0	0	0	0	0	0
9,45	9,45	9,45	9,45	9,45	0
17,67	17,67	17,67	17,67	17,67	0
3,56	3,56	3,56	3,56	3,56	0
11,8	11,8	11,8	11,8	11,8	0
6,13	6,13	6,13	6,13	6,13	0
4,95	4,95	4,95	4,95	4,95	0
0	0	0	0	0	0
0	0	0	0	0	0
5,81	5,81	5,81	5,81	5,81	0
0	0	0	0	0	0
8,27	17,67	0	113,99	6,49	6,65

	Time to First Fixation_dn01_land _allinone.jpg_Recta ngle_N	Time to First Fixation_dn01_land _allinone.jpg_Recta ngle_Mean	Time to First Fixation_dn01_land _allinone.jpg_Recta ngle_Max	Time to First Fixation_dn01_land _allinone.jpg_Recta ngle_Min	Time to First Fixation_dn01_land _allinone.jpg_Recta ngle_Sum	Time to First Fixation_dn01_land _allinone.jpg_Recta ngle_Median	Time to First Fixation_dn01_land _allinone.jpg_Recta ngle_Stdev	Time to First Fixation_dn01_land _allinone.jpg_Recta ngle_10_N	Time to First Fixation_dn01_land _allinone.jpg_Recta ngle_10_Mean	Time to First Fixation_dn01_land _allinone.jpg_Recta ngle_10_Max	Time to First Fixation_dn01_land _allinone.jpg_Recta ngle_10_Min
Rec 01	1	0	0	0	0	0	0	0	0	0	0
Rec 02	1	0,26	0,26	0,26	0,26	0,26	0	0	0	0	0
Rec 03	1	0	0	0	0	0	0	1	0,69	0,69	0,69
Rec 04	1	0,11	0,11	0,11	0,11	0,11	0	0	0	0	0
Rec 05	1	4,46	4,46	4,46	4,46	4,46	0	0	0	0	0
Rec 06	1	0	0	0	0	0	0	1	10,67	10,67	10,67
Rec 07	1	0,25	0,25	0,25	0,25	0,25	0	0	0	0	0
Rec 08	0	0	0	0	0	0	0	0	0	0	0
Rec 10	0	0	0	0	0	0	0	1	10,42	10,42	10,42
Rec 11	1	0,88	0,88	0,88	0,88	0,88	0	1	4,94	4,94	4,94
Rec 12	1	0,35	0,35	0,35	0,35	0,35	0	0	0	0	0
Rec 13	1	7,38	7,38	7,38	7,38	7,38	0	1	14,79	14,79	14,79
Rec 14	1	0	0	0	0	0	0	0	0	0	0
Rec 15	1	9,36	9,36	9,36	9,36	9,36	0	0	0	0	0
Rec 17	1	0	0	0	0	0	0	0	0	0	0
Rec 18	0	0	0	0	0	0	0	1	5,51	5,51	5,51
Rec 19	1	0	0	0	0	0	0	0	0	0	0
All Recordings	14	1,65	9,36	0	23,04	0,18	3,1	6	7,84	14,79	0,69

Time to First Fixation_dn01_land_allinone.jpg_Rectangle 10_Sum	Time to First Fixation_dn01_land_allinone.jpg_Rectangle 10_Median	Time to First Fixation_dn01_land_allinone.jpg_Rectangle 10_Stdev	Time to First Fixation_dn01_land_allinone.jpg_Rectangle 11_N	Time to First Fixation_dn01_land_allinone.jpg_Rectangle 11_Mean	Time to First Fixation_dn01_land_allinone.jpg_Rectangle 11_Max	Time to First Fixation_dn01_land_allinone.jpg_Rectangle 11_Min	Time to First Fixation_dn01_land_allinone.jpg_Rectangle 11_Sum	Time to First Fixation_dn01_land_allinone.jpg_Rectangle 11_Median	Time to First Fixation_dn01_land_allinone.jpg_Rectangle 11_Stdev	Time to First Fixation_dn01_land_allinone.jpg_Rectangle 12_N	Time to First Fixation_dn01_land_allinone.jpg_Rectangle 12_Mean
0	0	0	1	10,77	10,77	10,77	10,77	10,77	0	0	0
0	0	0	0	0	0	0	0	0	0	0	0
0,69	0,69	0	1	1,2	1,2	1,2	1,2	1,2	0	0	0
0	0	0	1	3,71	3,71	3,71	3,71	3,71	0	0	0
0	0	0	0	0	0	0	0	0	0	0	0
10,67	10,67	0	0	0	0	0	0	0	0	0	0
0	0	0	0	0	0	0	0	0	0	0	0
0	0	0	1	6,97	6,97	6,97	6,97	6,97	0	0	0
10,42	10,42	0	1	11,07	11,07	11,07	11,07	11,07	0	0	0
4,94	4,94	0	1	7,19	7,19	7,19	7,19	7,19	0	0	0
0	0	0	1	3,7	3,7	3,7	3,7	3,7	0	0	0
14,79	14,79	0	1	13,41	13,41	13,41	13,41	13,41	0	0	0
0	0	0	1	10,93	10,93	10,93	10,93	10,93	0	0	0
0	0	0	1	13,76	13,76	13,76	13,76	13,76	0	0	0
0	0	0	1	5,08	5,08	5,08	5,08	5,08	0	0	0
5,51	5,51	0	0	0	0	0	0	0	0	0	0
0	0	0	1	4,53	4,53	4,53	4,53	4,53	0	0	0
47,02	7,96	5,06	12	7,69	13,76	1,2	92,32	7,08	4,18	0	0

Time to First Fixation_dn01_land_allinone.jpg_Rectangle 14_N	Time to First Fixation_dn01_land_allinone.jpg_Rectangle 14_Mean	Time to First Fixation_dn01_land_allinone.jpg_Rectangle 14_Max	Time to First Fixation_dn01_land_allinone.jpg_Rectangle 14_Min	Time to First Fixation_dn01_land_allinone.jpg_Rectangle 14_Sum	Time to First Fixation_dn01_land_allinone.jpg_Rectangle 14_Median	Time to First Fixation_dn01_land_allinone.jpg_Rectangle 14_Stdev	Time to First Fixation_dn01_land_allinone.jpg_Rectangle 15_N	Time to First Fixation_dn01_land_allinone.jpg_Rectangle 15_Mean	Time to First Fixation_dn01_land_allinone.jpg_Rectangle 15_Max	Time to First Fixation_dn01_land_allinone.jpg_Rectangle 15_Min	Time to First Fixation_dn01_land_allinone.jpg_Rectangle 15_Sum
0	0	0	0	0	0	0	0	0	0	0	0
0	0	0	0	0	0	0	0	0	0	0	0
0	0	0	0	0	0	0	0	0	0	0	0
0	0	0	0	0	0	0	0	0	0	0	0
0	0	0	0	0	0	0	0	0	0	0	0
0	0	0	0	0	0	0	0	0	0	0	0
0	0	0	0	0	0	0	0	0	0	0	0
0	0	0	0	0	0	0	0	0	0	0	0
0	0	0	0	0	0	0	0	0	0	0	0
1	5,84	5,84	5,84	5,84	5,84	0	0	0	0	0	0
0	0	0	0	0	0	0	0	0	0	0	0
0	0	0	0	0	0	0	0	0	0	0	0
0	0	0	0	0	0	0	0	0	0	0	0
0	0	0	0	0	0	0	0	0	0	0	0
0	0	0	0	0	0	0	0	0	0	0	0
0	0	0	0	0	0	0	0	0	0	0	0
0	0	0	0	0	0	0	0	0	0	0	0
0	0	0	0	0	0	0	0	0	0	0	0
0	0	0	0	0	0	0	0	0	0	0	0
0	0	0	0	0	0	0	0	0	0	0	0
1	5,84	5,84	5,84	5,84	5,84	0	0	0	0	0	0

Time to First Fixation_dn01_land_allinone.jpg_Rectangle 15_Median	Time to First Fixation_dn01_land_allinone.jpg_Rectangle 15_Stdev	Time to First Fixation_dn01_land_allinone.jpg_Rectangle 16_N	Time to First Fixation_dn01_land_allinone.jpg_Rectangle 16_Mean	Time to First Fixation_dn01_land_allinone.jpg_Rectangle 16_Max	Time to First Fixation_dn01_land_allinone.jpg_Rectangle 16_Min	Time to First Fixation_dn01_land_allinone.jpg_Rectangle 16_Sum	Time to First Fixation_dn01_land_allinone.jpg_Rectangle 16_Median	Time to First Fixation_dn01_land_allinone.jpg_Rectangle 16_Stdev	Time to First Fixation_dn01_land_allinone.jpg_Rectangle 17_N	Time to First Fixation_dn01_land_allinone.jpg_Rectangle 17_Mean	Time to First Fixation_dn01_land_allinone.jpg_Rectangle 17_Max
0	0	0	0	0	0	0	0	0	0	0	0
0	0	0	0	0	0	0	0	0	0	0	0
0	0	0	0	0	0	0	0	0	0	0	0
0	0	0	0	0	0	0	0	0	0	0	0
0	0	1	10,33	10,33	10,33	10,33	10,33	0	0	0	0
0	0	0	0	0	0	0	0	0	0	0	0
0	0	0	0	0	0	0	0	0	0	0	0
0	0	0	0	0	0	0	0	0	0	0	0
0	0	0	0	0	0	0	0	0	0	0	0
0	0	0	0	0	0	0	0	0	0	0	0
0	0	0	0	0	0	0	0	0	0	0	0
0	0	0	0	0	0	0	0	0	0	0	0
0	0	0	0	0	0	0	0	0	0	0	0
0	0	0	0	0	0	0	0	0	0	0	0
0	0	1	0	0	0	0	0	0	0	0	0
0	0	0	0	0	0	0	0	0	0	0	0
0	0	0	0	0	0	0	0	0	0	0	0
0	0	0	0	0	0	0	0	0	0	0	0
0	0	0	0	0	0	0	0	0	0	0	0
0	0	2	5,17	10,33	0	10,33	5,17	7,31	0	0	0

Time to First Fixation_dn01_land_allinone.jpg_Rectangle 17_Min	Time to First Fixation_dn01_land_allinone.jpg_Rectangle 17_Sum	Time to First Fixation_dn01_land_allinone.jpg_Rectangle 17_Median	Time to First Fixation_dn01_land_allinone.jpg_Rectangle 17_Stdev	Time to First Fixation_dn01_land_allinone.jpg_Rectangle 18_N	Time to First Fixation_dn01_land_allinone.jpg_Rectangle 18_Mean	Time to First Fixation_dn01_land_allinone.jpg_Rectangle 18_Max	Time to First Fixation_dn01_land_allinone.jpg_Rectangle 18_Min	Time to First Fixation_dn01_land_allinone.jpg_Rectangle 18_Sum	Time to First Fixation_dn01_land_allinone.jpg_Rectangle 18_Median	Time to First Fixation_dn01_land_allinone.jpg_Rectangle 18_Stdev	Time to First Fixation_dn01_land_allinone.jpg_Rectangle 19_N
0	0	0	0	0	0	0	0	0	0	0	0
0	0	0	0	1	0,71	0,71	0,71	0,71	0,71	0	1
0	0	0	0	1	4,04	4,04	4,04	4,04	4,04	0	1
0	0	0	0	1	0,97	0,97	0,97	0,97	0,97	0	1
0	0	0	0	1	9,22	9,22	9,22	9,22	9,22	0	1
0	0	0	0	0	0	0	0	0	0	0	1
0	0	0	0	0	0	0	0	0	0	0	1
0	0	0	0	1	8,93	8,93	8,93	8,93	8,93	0	1
0	0	0	0	0	0	0	0	0	0	0	1
0	0	0	0	1	1,74	1,74	1,74	1,74	1,74	0	1
0	0	0	0	1	10,48	10,48	10,48	10,48	10,48	0	1
0	0	0	0	0	0	0	0	0	0	0	0
0	0	0	0	0	0	0	0	0	0	0	1
0	0	0	0	0	0	0	0	0	0	0	0
0	0	0	0	1	1,7	1,7	1,7	1,7	1,7	0	1
0	0	0	0	0	0	0	0	0	0	0	0
0	0	0	0	1	5,8	5,8	5,8	5,8	5,8	0	1
0	0	0	0	9	4,84	10,48	0,71	43,58	4,04	3,88	13

Time to First Fixation_dn01_land _allinone.jpg_Recta ngle 19_Mean	Time to First Fixation_dn01_land _allinone.jpg_Recta ngle 19_Max	Time to First Fixation_dn01_land _allinone.jpg_Recta ngle 19_Min	Time to First Fixation_dn01_land _allinone.jpg_Recta ngle 19_Sum	Time to First Fixation_dn01_land _allinone.jpg_Recta ngle 19_Median	Time to First Fixation_dn01_land _allinone.jpg_Recta ngle 19_Stdev	Time to First Fixation_dn01_land _allinone.jpg_Recta ngle 2_N	Time to First Fixation_dn01_land _allinone.jpg_Recta ngle 2_Mean	Time to First Fixation_dn01_land _allinone.jpg_Recta ngle 2_Max	Time to First Fixation_dn01_land _allinone.jpg_Recta ngle 2_Min	Time to First Fixation_dn01_land _allinone.jpg_Recta ngle 2_Sum	Time to First Fixation_dn01_land _allinone.jpg_Recta ngle 2_Median
0	0	0	0	0	0	1	0,88	0,88	0,88	0,88	0,88
6,24	6,24	6,24	6,24	6,24	0	1	2,29	2,29	2,29	2,29	2,29
4,49	4,49	4,49	4,49	4,49	0	1	2,25	2,25	2,25	2,25	2,25
1,67	1,67	1,67	1,67	1,67	0	1	0	0	0	0	0
2,36	2,36	2,36	2,36	2,36	0	1	4,85	4,85	4,85	4,85	4,85
5,06	5,06	5,06	5,06	5,06	0	1	0,83	0,83	0,83	0,83	0,83
5,61	5,61	5,61	5,61	5,61	0	1	1,98	1,98	1,98	1,98	1,98
9,41	9,41	9,41	9,41	9,41	0	1	1,44	1,44	1,44	1,44	1,44
3,84	3,84	3,84	3,84	3,84	0	1	0,85	0,85	0,85	0,85	0,85
2,62	2,62	2,62	2,62	2,62	0	1	1,41	1,41	1,41	1,41	1,41
11,08	11,08	11,08	11,08	11,08	0	1	1,12	1,12	1,12	1,12	1,12
0	0	0	0	0	0	1	1,15	1,15	1,15	1,15	1,15
5,57	5,57	5,57	5,57	5,57	0	1	0,27	0,27	0,27	0,27	0,27
0	0	0	0	0	0	1	0,65	0,65	0,65	0,65	0,65
1,52	1,52	1,52	1,52	1,52	0	1	6,25	6,25	6,25	6,25	6,25
0	0	0	0	0	0	1	9,55	9,55	9,55	9,55	9,55
6,04	6,04	6,04	6,04	6,04	0	1	0,47	0,47	0,47	0,47	0,47
5,04	11,08	1,52	65,51	5,06	2,84	17	2,13	9,55	0	36,24	1,15

Time to First Fixation_dn01_land_allinone.jpg_Rectangle 2_Stdev	Time to First Fixation_dn01_land_allinone.jpg_Rectangle 20_N	Time to First Fixation_dn01_land_allinone.jpg_Rectangle 20_Mean	Time to First Fixation_dn01_land_allinone.jpg_Rectangle 20_Max	Time to First Fixation_dn01_land_allinone.jpg_Rectangle 20_Min	Time to First Fixation_dn01_land_allinone.jpg_Rectangle 20_Sum	Time to First Fixation_dn01_land_allinone.jpg_Rectangle 20_Median	Time to First Fixation_dn01_land_allinone.jpg_Rectangle 20_Stdev	Time to First Fixation_dn01_land_allinone.jpg_Rectangle 21_N	Time to First Fixation_dn01_land_allinone.jpg_Rectangle 21_Mean	Time to First Fixation_dn01_land_allinone.jpg_Rectangle 21_Max	Time to First Fixation_dn01_land_allinone.jpg_Rectangle 21_Min
0	0	0	0	0	0	0	0	1	1,12	1,12	1,12
0	0	0	0	0	0	0	0	1	4,69	4,69	4,69
0	0	0	0	0	0	0	0	1	3,55	3,55	3,55
0	1	1,86	1,86	1,86	1,86	1,86	0	1	10,07	10,07	10,07
0	1	2,12	2,12	2,12	2,12	2,12	0	0	0	0	0
0	0	0	0	0	0	0	0	1	2,88	2,88	2,88
0	1	6,4	6,4	6,4	6,4	6,4	0	1	8,03	8,03	8,03
0	0	0	0	0	0	0	0	0	0	0	0
0	0	0	0	0	0	0	0	0	0	0	0
0	0	0	0	0	0	0	0	0	0	0	0
0	1	11,28	11,28	11,28	11,28	11,28	0	1	11,66	11,66	11,66
0	0	0	0	0	0	0	0	0	0	0	0
0	0	0	0	0	0	0	0	1	0,04	0,04	0,04
0	0	0	0	0	0	0	0	0	0	0	0
0	0	0	0	0	0	0	0	1	2,38	2,38	2,38
0	0	0	0	0	0	0	0	0	0	0	0
0	0	0	0	0	0	0	0	1	6,61	6,61	6,61
2,5	4	5,41	11,28	1,86	21,65	4,26	4,43	10	5,1	11,66	0,04

Time to First Fixation_dn01_land_allinone.jpg_Rectangle 21_Sum	Time to First Fixation_dn01_land_allinone.jpg_Rectangle 21_Median	Time to First Fixation_dn01_land_allinone.jpg_Rectangle 21_Stdev	Time to First Fixation_dn01_land_allinone.jpg_Rectangle 22_N	Time to First Fixation_dn01_land_allinone.jpg_Rectangle 22_Mean	Time to First Fixation_dn01_land_allinone.jpg_Rectangle 22_Max	Time to First Fixation_dn01_land_allinone.jpg_Rectangle 22_Min	Time to First Fixation_dn01_land_allinone.jpg_Rectangle 22_Sum	Time to First Fixation_dn01_land_allinone.jpg_Rectangle 22_Median	Time to First Fixation_dn01_land_allinone.jpg_Rectangle 22_Stdev	Time to First Fixation_dn01_land_allinone.jpg_Rectangle 23_N	Time to First Fixation_dn01_land_allinone.jpg_Rectangle 23_Mean
1,12	1,12	0	1	1,28	1,28	1,28	1,28	1,28	0	0	0
4,69	4,69	0	1	7,7	7,7	7,7	7,7	7,7	0	1	4,39
3,55	3,55	0	0	0	0	0	0	0	0	1	8,05
10,07	10,07	0	1	4,31	4,31	4,31	4,31	4,31	0	0	0
0	0	0	1	11,35	11,35	11,35	11,35	11,35	0	0	0
2,88	2,88	0	1	3,28	3,28	3,28	3,28	3,28	0	0	0
8,03	8,03	0	1	8,16	8,16	8,16	8,16	8,16	0	0	0
0	0	0	1	3,97	3,97	3,97	3,97	3,97	0	0	0
0	0	0	1	2,99	2,99	2,99	2,99	2,99	0	0	0
0	0	0	1	2,94	2,94	2,94	2,94	2,94	0	1	10,42
11,66	11,66	0	1	9,28	9,28	9,28	9,28	9,28	0	0	0
0	0	0	1	9,66	9,66	9,66	9,66	9,66	0	0	0
0,04	0,04	0	1	7,5	7,5	7,5	7,5	7,5	0	1	7,33
0	0	0	1	5,87	5,87	5,87	5,87	5,87	0	1	2,79
2,38	2,38	0	1	7,3	7,3	7,3	7,3	7,3	0	1	2,73
0	0	0	0	0	0	0	0	0	0	0	0
6,61	6,61	0	1	6,78	6,78	6,78	6,78	6,78	0	0	0
51,02	4,12	3,87	15	6,16	11,35	1,28	92,36	6,78	2,92	6	5,95

Time to First Fixation_dn01_land _allinone.jpg_Recta ngle 23_Max	Time to First Fixation_dn01_land _allinone.jpg_Recta ngle 23_Min	Time to First Fixation_dn01_land _allinone.jpg_Recta ngle 23_Sum	Time to First Fixation_dn01_land _allinone.jpg_Recta ngle 23_Median	Time to First Fixation_dn01_land _allinone.jpg_Recta ngle 23_Stdev	Time to First Fixation_dn01_land _allinone.jpg_Recta ngle 24_N	Time to First Fixation_dn01_land _allinone.jpg_Recta ngle 24_Mean	Time to First Fixation_dn01_land _allinone.jpg_Recta ngle 24_Max	Time to First Fixation_dn01_land _allinone.jpg_Recta ngle 24_Min	Time to First Fixation_dn01_land _allinone.jpg_Recta ngle 24_Sum	Time to First Fixation_dn01_land _allinone.jpg_Recta ngle 24_Median	Time to First Fixation_dn01_land _allinone.jpg_Recta ngle 24_Stdev
0	0	0	0	0	0	0	0	0	0	0	0
4,39	4,39	4,39	4,39	0	1	9,32	9,32	9,32	9,32	9,32	0
8,05	8,05	8,05	8,05	0	0	0	0	0	0	0	0
0	0	0	0	0	1	5,59	5,59	5,59	5,59	5,59	0
0	0	0	0	0	1	5,75	5,75	5,75	5,75	5,75	0
0	0	0	0	0	1	4,56	4,56	4,56	4,56	4,56	0
0	0	0	0	0	0	0	0	0	0	0	0
0	0	0	0	0	1	5,07	5,07	5,07	5,07	5,07	0
0	0	0	0	0	1	2,26	2,26	2,26	2,26	2,26	0
10,42	10,42	10,42	10,42	0	1	10,52	10,52	10,52	10,52	10,52	0
0	0	0	0	0	1	14,62	14,62	14,62	14,62	14,62	0
0	0	0	0	0	1	10,93	10,93	10,93	10,93	10,93	0
7,33	7,33	7,33	7,33	0	1	8,8	8,8	8,8	8,8	8,8	0
2,79	2,79	2,79	2,79	0	1	3,32	3,32	3,32	3,32	3,32	0
2,73	2,73	2,73	2,73	0	0	0	0	0	0	0	0
0	0	0	0	0	1	3,36	3,36	3,36	3,36	3,36	0
0	0	0	0	0	0	0	0	0	0	0	0
10,42	2,73	35,71	5,86	3,13	12	7,01	14,62	2,26	84,09	5,67	3,78

Time to First Fixation_dn01_land _allinone.jpg_Recta ngle 25_N	Time to First Fixation_dn01_land _allinone.jpg_Recta ngle 25_Mean	Time to First Fixation_dn01_land _allinone.jpg_Recta ngle 25_Max	Time to First Fixation_dn01_land _allinone.jpg_Recta ngle 25_Min	Time to First Fixation_dn01_land _allinone.jpg_Recta ngle 25_Sum	Time to First Fixation_dn01_land _allinone.jpg_Recta ngle 25_Median	Time to First Fixation_dn01_land _allinone.jpg_Recta ngle 25_Stdev	Time to First Fixation_dn01_land _allinone.jpg_Recta ngle 26_N	Time to First Fixation_dn01_land _allinone.jpg_Recta ngle 26_Mean	Time to First Fixation_dn01_land _allinone.jpg_Recta ngle 26_Max	Time to First Fixation_dn01_land _allinone.jpg_Recta ngle 26_Min	Time to First Fixation_dn01_land _allinone.jpg_Recta ngle 26_Sum
0	0	0	0	0	0	0	0	0	0	0	0
0	0	0	0	0	0	0	1	2,11	2,11	2,11	2,11
1	13,81	13,81	13,81	13,81	13,81	0	1	14,01	14,01	14,01	14,01
1	13,45	13,45	13,45	13,45	13,45	0	1	3,92	3,92	3,92	3,92
0	0	0	0	0	0	0	0	0	0	0	0
0	0	0	0	0	0	0	1	11,32	11,32	11,32	11,32
0	0	0	0	0	0	0	0	0	0	0	0
0	0	0	0	0	0	0	1	12,5	12,5	12,5	12,5
1	11,32	11,32	11,32	11,32	11,32	0	0	0	0	0	0
0	0	0	0	0	0	0	1	8,02	8,02	8,02	8,02
0	0	0	0	0	0	0	1	8,44	8,44	8,44	8,44
1	14,54	14,54	14,54	14,54	14,54	0	1	14,06	14,06	14,06	14,06
1	10,21	10,21	10,21	10,21	10,21	0	1	10,4	10,4	10,4	10,4
0	0	0	0	0	0	0	1	13,56	13,56	13,56	13,56
1	3,97	3,97	3,97	3,97	3,97	0	1	3,32	3,32	3,32	3,32
0	0	0	0	0	0	0	1	4,59	4,59	4,59	4,59
0	0	0	0	0	0	0	1	5,53	5,53	5,53	5,53
6	11,22	14,54	3,97	67,3	12,39	3,91	13	8,6	14,06	2,11	111,77

Time to First Fixation_dn01_land _allinone.jpg_Recta ngle 26_Median	Time to First Fixation_dn01_land _allinone.jpg_Recta ngle 26_Stdev	Time to First Fixation_dn01_land _allinone.jpg_Recta ngle 27_N	Time to First Fixation_dn01_land _allinone.jpg_Recta ngle 27_Mean	Time to First Fixation_dn01_land _allinone.jpg_Recta ngle 27_Max	Time to First Fixation_dn01_land _allinone.jpg_Recta ngle 27_Min	Time to First Fixation_dn01_land _allinone.jpg_Recta ngle 27_Sum	Time to First Fixation_dn01_land _allinone.jpg_Recta ngle 27_Median	Time to First Fixation_dn01_land _allinone.jpg_Recta ngle 27_Stdev	Time to First Fixation_dn01_land _allinone.jpg_Recta ngle 28_N	Time to First Fixation_dn01_land _allinone.jpg_Recta ngle 28_Mean	Time to First Fixation_dn01_land _allinone.jpg_Recta ngle 28_Max
0	0	0	0	0	0	0	0	0	0	0	0
2,11	0	0	0	0	0	0	0	0	1	10,55	10,55
14,01	0	0	0	0	0	0	0	0	0	0	0
3,92	0	1	5,22	5,22	5,22	5,22	5,22	0	1	5,77	5,77
0	0	1	6,47	6,47	6,47	6,47	6,47	0	1	7,47	7,47
11,32	0	0	0	0	0	0	0	0	0	0	0
0	0	1	4,76	4,76	4,76	4,76	4,76	0	1	4,93	4,93
12,5	0	0	0	0	0	0	0	0	0	0	0
0	0	1	1,35	1,35	1,35	1,35	1,35	0	1	1,13	1,13
8,02	0	0	0	0	0	0	0	0	0	0	0
8,44	0	0	0	0	0	0	0	0	0	0	0
14,06	0	0	0	0	0	0	0	0	0	0	0
10,4	0	1	8,45	8,45	8,45	8,45	8,45	0	1	8,28	8,28
13,56	0	0	0	0	0	0	0	0	0	0	0
3,32	0	1	13,66	13,66	13,66	13,66	13,66	0	0	0	0
4,59	0	1	12,75	12,75	12,75	12,75	12,75	0	0	0	0
5,53	0	1	8,39	8,39	8,39	8,39	8,39	0	1	9,54	9,54
8,44	4,35	8	7,63	13,66	1,35	61,05	7,43	4,12	7	6,81	10,55

Time to First Fixation_dn01_land_allinone.jpg_Rectangle 28_Min	Time to First Fixation_dn01_land_allinone.jpg_Rectangle 28_Sum	Time to First Fixation_dn01_land_allinone.jpg_Rectangle 28_Median	Time to First Fixation_dn01_land_allinone.jpg_Rectangle 28_Stdev	Time to First Fixation_dn01_land_allinone.jpg_Rectangle 29_N	Time to First Fixation_dn01_land_allinone.jpg_Rectangle 29_Mean	Time to First Fixation_dn01_land_allinone.jpg_Rectangle 29_Max	Time to First Fixation_dn01_land_allinone.jpg_Rectangle 29_Min	Time to First Fixation_dn01_land_allinone.jpg_Rectangle 29_Sum	Time to First Fixation_dn01_land_allinone.jpg_Rectangle 29_Median	Time to First Fixation_dn01_land_allinone.jpg_Rectangle 29_Stdev	Time to First Fixation_dn01_land_allinone.jpg_Rectangle 3_N
0	0	0	0	1	1,62	1,62	1,62	1,62	1,62	0	1
10,55	10,55	10,55	0	1	5,6	5,6	5,6	5,6	5,6	0	1
0	0	0	0	1	7,38	7,38	7,38	7,38	7,38	0	1
5,77	5,77	5,77	0	1	6,39	6,39	6,39	6,39	6,39	0	1
7,47	7,47	7,47	0	1	6,85	6,85	6,85	6,85	6,85	0	1
0	0	0	0	0	0	0	0	0	0	0	1
4,93	4,93	4,93	0	1	2,7	2,7	2,7	2,7	2,7	0	1
0	0	0	0	1	8,3	8,3	8,3	8,3	8,3	0	1
1,13	1,13	1,13	0	1	3,56	3,56	3,56	3,56	3,56	0	1
0	0	0	0	1	4,49	4,49	4,49	4,49	4,49	0	1
0	0	0	0	0	0	0	0	0	0	0	1
0	0	0	0	0	0	0	0	0	0	0	1
8,28	8,28	8,28	0	1	6,93	6,93	6,93	6,93	6,93	0	1
0	0	0	0	0	0	0	0	0	0	0	1
0	0	0	0	0	0	0	0	0	0	0	0
0	0	0	0	0	0	0	0	0	0	0	1
9,54	9,54	9,54	0	0	0	0	0	0	0	0	0
1,13	47,67	7,47	3,19	10	5,38	8,3	1,62	53,82	5,99	2,2	15

Time to First Fixation_dn01_land _allinone.jpg_Recta ngle 3_Mean	Time to First Fixation_dn01_land _allinone.jpg_Recta ngle 3_Max	Time to First Fixation_dn01_land _allinone.jpg_Recta ngle 3_Min	Time to First Fixation_dn01_land _allinone.jpg_Recta ngle 3_Sum	Time to First Fixation_dn01_land _allinone.jpg_Recta ngle 3_Median	Time to First Fixation_dn01_land _allinone.jpg_Recta ngle 3_Stdev	Time to First Fixation_dn01_land _allinone.jpg_Recta ngle 30_N	Time to First Fixation_dn01_land _allinone.jpg_Recta ngle 30_Mean	Time to First Fixation_dn01_land _allinone.jpg_Recta ngle 30_Max	Time to First Fixation_dn01_land _allinone.jpg_Recta ngle 30_Min	Time to First Fixation_dn01_land _allinone.jpg_Recta ngle 30_Sum	Time to First Fixation_dn01_land _allinone.jpg_Recta ngle 30_Median
6,81	6,81	6,81	6,81	6,81	0	0	0	0	0	0	0
12,9	12,9	12,9	12,9	12,9	0	0	0	0	0	0	0
1,54	1,54	1,54	1,54	1,54	0	0	0	0	0	0	0
4,11	4,11	4,11	4,11	4,11	0	1	11,28	11,28	11,28	11,28	11,28
10,05	10,05	10,05	10,05	10,05	0	1	8,07	8,07	8,07	8,07	8,07
12,47	12,47	12,47	12,47	12,47	0	0	0	0	0	0	0
4,31	4,31	4,31	4,31	4,31	0	0	0	0	0	0	0
6,62	6,62	6,62	6,62	6,62	0	0	0	0	0	0	0
12,47	12,47	12,47	12,47	12,47	0	1	2,05	2,05	2,05	2,05	2,05
1,09	1,09	1,09	1,09	1,09	0	0	0	0	0	0	0
0,67	0,67	0,67	0,67	0,67	0	0	0	0	0	0	0
6,8	6,8	6,8	6,8	6,8	0	0	0	0	0	0	0
0,49	0,49	0,49	0,49	0,49	0	0	0	0	0	0	0
2,44	2,44	2,44	2,44	2,44	0	0	0	0	0	0	0
0	0	0	0	0	0	0	0	0	0	0	0
11,95	11,95	11,95	11,95	11,95	0	0	0	0	0	0	0
0	0	0	0	0	0	1	10,26	10,26	10,26	10,26	10,26
6,31	12,9	0,49	94,7	6,62	4,67	4	7,91	11,28	2,05	31,66	9,16

Time to First Fixation_dn01_land _allinone.jpg_Recta ngle 30_Stdev	Time to First Fixation_dn01_land _allinone.jpg_Recta ngle 31_N	Time to First Fixation_dn01_land _allinone.jpg_Recta ngle 31_Mean	Time to First Fixation_dn01_land _allinone.jpg_Recta ngle 31_Max	Time to First Fixation_dn01_land _allinone.jpg_Recta ngle 31_Min	Time to First Fixation_dn01_land _allinone.jpg_Recta ngle 31_Sum	Time to First Fixation_dn01_land _allinone.jpg_Recta ngle 31_Median	Time to First Fixation_dn01_land _allinone.jpg_Recta ngle 31_Stdev	Time to First Fixation_dn01_land _allinone.jpg_Recta ngle 32_N	Time to First Fixation_dn01_land _allinone.jpg_Recta ngle 32_Mean	Time to First Fixation_dn01_land _allinone.jpg_Recta ngle 32_Max	Time to First Fixation_dn01_land _allinone.jpg_Recta ngle 32_Min
0	0	0	0	0	0	0	0	0	0	0	0
0	0	0	0	0	0	0	0	0	0	0	0
0	1	7,63	7,63	7,63	7,63	7,63	0	0	0	0	0
0	0	0	0	0	0	0	0	0	0	0	0
0	0	0	0	0	0	0	0	1	11,1	11,1	11,1
0	0	0	0	0	0	0	0	0	0	0	0
0	1	7,03	7,03	7,03	7,03	7,03	0	1	11,13	11,13	11,13
0	0	0	0	0	0	0	0	0	0	0	0
0	0	0	0	0	0	0	0	0	0	0	0
0	0	0	0	0	0	0	0	1	10,75	10,75	10,75
0	0	0	0	0	0	0	0	0	0	0	0
0	0	0	0	0	0	0	0	0	0	0	0
0	0	0	0	0	0	0	0	0	0	0	0
0	0	0	0	0	0	0	0	0	0	0	0
0	0	0	0	0	0	0	0	0	0	0	0
0	0	0	0	0	0	0	0	0	0	0	0
0	0	0	0	0	0	0	0	0	0	0	0
0	0	0	0	0	0	0	0	0	0	0	0
4,14	2	7,33	7,63	7,03	14,66	7,33	0,43	3	10,99	11,13	10,75

Time to First Fixation_dn01_land_allinone.jpg_Rectangle 32_Sum	Time to First Fixation_dn01_land_allinone.jpg_Rectangle 32_Median	Time to First Fixation_dn01_land_allinone.jpg_Rectangle 32_Stdev	Time to First Fixation_dn01_land_allinone.jpg_Rectangle 4_N	Time to First Fixation_dn01_land_allinone.jpg_Rectangle 4_Mean	Time to First Fixation_dn01_land_allinone.jpg_Rectangle 4_Max	Time to First Fixation_dn01_land_allinone.jpg_Rectangle 4_Min	Time to First Fixation_dn01_land_allinone.jpg_Rectangle 4_Sum	Time to First Fixation_dn01_land_allinone.jpg_Rectangle 4_Median	Time to First Fixation_dn01_land_allinone.jpg_Rectangle 4_Stdev	Time to First Fixation_dn01_land_allinone.jpg_Rectangle 5_N	Time to First Fixation_dn01_land_allinone.jpg_Rectangle 5_Mean
0	0	0	1	0,67	0,67	0,67	0,67	0,67	0	0	0
0	0	0	1	0,44	0,44	0,44	0,44	0,44	0	1	0
0	0	0	1	7,17	7,17	7,17	7,17	7,17	0	0	0
0	0	0	1	0,78	0,78	0,78	0,78	0,78	0	0	0
11,1	11,1	0	1	9,62	9,62	9,62	9,62	9,62	0	0	0
0	0	0	0	0	0	0	0	0	0	1	15,05
11,13	11,13	0	1	0,88	0,88	0,88	0,88	0,88	0	0	0
0	0	0	1	0,62	0,62	0,62	0,62	0,62	0	0	0
0	0	0	1	4,38	4,38	4,38	4,38	4,38	0	1	4,61
10,75	10,75	0	1	0,48	0,48	0,48	0,48	0,48	0	1	0,01
0	0	0	0	0	0	0	0	0	0	0	0
0	0	0	1	2,32	2,32	2,32	2,32	2,32	0	0	0
0	0	0	1	0,89	0,89	0,89	0,89	0,89	0	0	0
0	0	0	0	0	0	0	0	0	0	0	0
0	0	0	1	0,67	0,67	0,67	0,67	0,67	0	1	0,49
0	0	0	0	0	0	0	0	0	0	1	0,01
0	0	0	0	0	0	0	0	0	0	0	0
32,98	11,1	0,21	12	2,41	9,62	0,44	28,9	0,83	3,06	6	3,36

Time to First Fixation_dn01_land_allinone.jpg_Rectangle 5_Max	Time to First Fixation_dn01_land_allinone.jpg_Rectangle 5_Min	Time to First Fixation_dn01_land_allinone.jpg_Rectangle 5_Sum	Time to First Fixation_dn01_land_allinone.jpg_Rectangle 5_Median	Time to First Fixation_dn01_land_allinone.jpg_Rectangle 5_Stdev	Time to First Fixation_dn01_land_allinone.jpg_Rectangle 7_N	Time to First Fixation_dn01_land_allinone.jpg_Rectangle 7_Mean	Time to First Fixation_dn01_land_allinone.jpg_Rectangle 7_Max	Time to First Fixation_dn01_land_allinone.jpg_Rectangle 7_Min	Time to First Fixation_dn01_land_allinone.jpg_Rectangle 7_Sum	Time to First Fixation_dn01_land_allinone.jpg_Rectangle 7_Median	Time to First Fixation_dn01_land_allinone.jpg_Rectangle 7_Stdev
0	0	0	0	0	1	2,05	2,05	2,05	2,05	2,05	0
0	0	0	0	0	0	0	0	0	0	0	0
0	0	0	0	0	1	0,32	0,32	0,32	0,32	0,32	0
0	0	0	0	0	1	0,29	0,29	0,29	0,29	0,29	0
0	0	0	0	0	0	0	0	0	0	0	0
15,05	15,05	15,05	15,05	0	1	5,89	5,89	5,89	5,89	5,89	0
0	0	0	0	0	0	0	0	0	0	0	0
0	0	0	0	0	1	10,48	10,48	10,48	10,48	10,48	0
4,61	4,61	4,61	4,61	0	1	0,26	0,26	0,26	0,26	0,26	0
0,01	0,01	0,01	0,01	0	1	6,99	6,99	6,99	6,99	6,99	0
0	0	0	0	0	0	0	0	0	0	0	0
0	0	0	0	0	1	2,12	2,12	2,12	2,12	2,12	0
0	0	0	0	0	1	1,94	1,94	1,94	1,94	1,94	0
0	0	0	0	0	1	7,67	7,67	7,67	7,67	7,67	0
0,49	0,49	0,49	0,49	0	1	11,21	11,21	11,21	11,21	11,21	0
0,01	0,01	0,01	0,01	0	0	0	0	0	0	0	0
0	0	0	0	0	1	2,53	2,53	2,53	2,53	2,53	0
15,05	0	20,17	0,25	6,01	12	4,31	11,21	0,26	51,75	2,32	3,97

Time to First Fixation_dn01_land _allinone.jpg_Recta ngle 8_N	Time to First Fixation_dn01_land _allinone.jpg_Recta ngle 8_Mean	Time to First Fixation_dn01_land _allinone.jpg_Recta ngle 8_Max	Time to First Fixation_dn01_land _allinone.jpg_Recta ngle 8_Min	Time to First Fixation_dn01_land _allinone.jpg_Recta ngle 8_Sum	Time to First Fixation_dn01_land _allinone.jpg_Recta ngle 8_Median	Time to First Fixation_dn01_land _allinone.jpg_Recta ngle 8_Stdev	Time to First Fixation_dn01_land _allinone.jpg_Recta ngle 9_N	Time to First Fixation_dn01_land _allinone.jpg_Recta ngle 9_Mean	Time to First Fixation_dn01_land _allinone.jpg_Recta ngle 9_Max	Time to First Fixation_dn01_land _allinone.jpg_Recta ngle 9_Min	Time to First Fixation_dn01_land _allinone.jpg_Recta ngle 9_Sum
0	0	0	0	0	0	0	0	0	0	0	0
1	0,11	0,11	0,11	0,11	0,11	0	1	0,11	0,11	0,11	0,11
0	0	0	0	0	0	0	0	0	0	0	0
0	0	0	0	0	0	0	1	14,03	14,03	14,03	14,03
1	4,19	4,19	4,19	4,19	4,19	0	0	0	0	0	0
1	9,51	9,51	9,51	9,51	9,51	0	0	0	0	0	0
1	3,02	3,02	3,02	3,02	3,02	0	1	0,63	0,63	0,63	0,63
1	0,01	0,01	0,01	0,01	0,01	0	1	0,1	0,1	0,1	0,1
1	8,06	8,06	8,06	8,06	8,06	0	0	0	0	0	0
1	0,24	0,24	0,24	0,24	0,24	0	1	5,57	5,57	5,57	5,57
1	0,2	0,2	0,2	0,2	0,2	0	1	0,2	0,2	0,2	0,2
1	0,75	0,75	0,75	0,75	0,75	0	1	5,41	5,41	5,41	5,41
1	3,72	3,72	3,72	3,72	3,72	0	0	0	0	0	0
1	0,2	0,2	0,2	0,2	0,2	0	1	0,02	0,02	0,02	0,02
1	8,23	8,23	8,23	8,23	8,23	0	1	10,61	10,61	10,61	10,61
0	0	0	0	0	0	0	1	3,99	3,99	3,99	3,99
1	3,71	3,71	3,71	3,71	3,71	0	0	0	0	0	0
13	3,23	9,51	0,01	41,94	3,02	3,45	10	4,07	14,03	0,02	40,69

PRILOG 3 A

Rezultati mjerenja i deskriptivna statistika praćenja oka korisnika aplikacije za tablet novine

Time to First Fixation_dn01_land_allinone.jpg_Rectangle 9_Median	Time to First Fixation_dn01_land_allinone.jpg_Rectangle 9_Stdev
0	0
0,11	0
0	0
14,03	0
0	0
0	0
0,63	0
0,1	0
0	0
5,57	0
0,2	0
5,41	0
0	0
0,02	0
10,61	0
3,99	0
0	0
2,31	4,95

	Time to First Fixation_dn02_land _allinone.jpg_Polyg on_N	Time to First Fixation_dn02_land _allinone.jpg_Polyg on_Mean	Time to First Fixation_dn02_land _allinone.jpg_Polyg on_Max	Time to First Fixation_dn02_land _allinone.jpg_Polyg on_Min	Time to First Fixation_dn02_land _allinone.jpg_Polyg on_Sum	Time to First Fixation_dn02_land _allinone.jpg_Polyg on_Median	Time to First Fixation_dn02_land _allinone.jpg_Polyg on_Stdev	Time to First Fixation_dn02_land _allinone.jpg_Recta ngle_N	Time to First Fixation_dn02_land _allinone.jpg_Recta ngle_Mean	Time to First Fixation_dn02_land _allinone.jpg_Recta ngle_Max	Time to First Fixation_dn02_land _allinone.jpg_Recta ngle_Min
Rec 01	1	0,99	0,99	0,99	0,99	0,99	0	0	0	0	0
Rec 02	1	7,64	7,64	7,64	7,64	7,64	0	0	0	0	0
Rec 03	0	0	0	0	0	0	0	0	0	0	0
Rec 04	1	1,29	1,29	1,29	1,29	1,29	0	1	9,4	9,4	9,4
Rec 05	1	2,31	2,31	2,31	2,31	2,31	0	1	12,3	12,3	12,3
Rec 06	0	0	0	0	0	0	0	0	0	0	0
Rec 07	1	5,08	5,08	5,08	5,08	5,08	0	1	5,93	5,93	5,93
Rec 08	1	2,22	2,22	2,22	2,22	2,22	0	0	0	0	0
Rec 10	0	0	0	0	0	0	0	0	0	0	0
Rec 11	1	4,49	4,49	4,49	4,49	4,49	0	0	0	0	0
Rec 12	1	0	0	0	0	0	0	1	15,01	15,01	15,01
Rec 13	1	5,13	5,13	5,13	5,13	5,13	0	0	0	0	0
Rec 14	1	9,97	9,97	9,97	9,97	9,97	0	1	12,88	12,88	12,88
Rec 15	1	17,16	17,16	17,16	17,16	17,16	0	0	0	0	0
Rec 17	1	10,81	10,81	10,81	10,81	10,81	0	0	0	0	0
Rec 18	1	18,72	18,72	18,72	18,72	18,72	0	1	11,89	11,89	11,89
Rec 19	1	5,7	5,7	5,7	5,7	5,7	0	1	17,81	17,81	17,81
All Recordings	14	6,54	18,72	0	91,51	5,11	5,81	7	12,17	17,81	5,93

Time to First Fixation_dn02_land_allinone.jpg_Rectangle_Sum	Time to First Fixation_dn02_land_allinone.jpg_Rectangle_Median	Time to First Fixation_dn02_land_allinone.jpg_Rectangle_Stdev	Time to First Fixation_dn02_land_allinone.jpg_Rectangle_10_N	Time to First Fixation_dn02_land_allinone.jpg_Rectangle_10_Mean	Time to First Fixation_dn02_land_allinone.jpg_Rectangle_10_Max	Time to First Fixation_dn02_land_allinone.jpg_Rectangle_10_Min	Time to First Fixation_dn02_land_allinone.jpg_Rectangle_10_Sum	Time to First Fixation_dn02_land_allinone.jpg_Rectangle_10_Median	Time to First Fixation_dn02_land_allinone.jpg_Rectangle_10_Stdev	Time to First Fixation_dn02_land_allinone.jpg_Rectangle_11_N	Time to First Fixation_dn02_land_allinone.jpg_Rectangle_11_Mean
0	0	0	1	13,11	13,11	13,11	13,11	13,11	0	0	0
0	0	0	0	0	0	0	0	0	0	1	10,27
0	0	0	0	0	0	0	0	0	0	0	0
9,4	9,4	0	1	6,71	6,71	6,71	6,71	6,71	0	1	6,22
12,3	12,3	0	1	3,57	3,57	3,57	3,57	3,57	0	1	13,98
0	0	0	0	0	0	0	0	0	0	0	0
5,93	5,93	0	1	9,26	9,26	9,26	9,26	9,26	0	0	0
0	0	0	1	17,49	17,49	17,49	17,49	17,49	0	1	17,29
0	0	0	1	7,89	7,89	7,89	7,89	7,89	0	1	9,99
0	0	0	1	8,41	8,41	8,41	8,41	8,41	0	0	0
15,01	15,01	0	1	3,9	3,9	3,9	3,9	3,9	0	0	0
0	0	0	1	7,55	7,55	7,55	7,55	7,55	0	1	7,8
12,88	12,88	0	1	1,36	1,36	1,36	1,36	1,36	0	1	2,57
0	0	0	1	6,15	6,15	6,15	6,15	6,15	0	1	7,15
0	0	0	1	3,92	3,92	3,92	3,92	3,92	0	1	3,7
11,89	11,89	0	1	9,94	9,94	9,94	9,94	9,94	0	0	0
17,81	17,81	0	1	8,25	8,25	8,25	8,25	8,25	0	1	7,56
85,22	12,3	3,81	14	7,68	17,49	1,36	107,51	7,72	4,14	10	8,65

Time to First Fixation_dn02_land_allinone.jpg_Rectangle 11_Max	Time to First Fixation_dn02_land_allinone.jpg_Rectangle 11_Min	Time to First Fixation_dn02_land_allinone.jpg_Rectangle 11_Sum	Time to First Fixation_dn02_land_allinone.jpg_Rectangle 11_Median	Time to First Fixation_dn02_land_allinone.jpg_Rectangle 11_Stdev	Time to First Fixation_dn02_land_allinone.jpg_Rectangle 12_N	Time to First Fixation_dn02_land_allinone.jpg_Rectangle 12_Mean	Time to First Fixation_dn02_land_allinone.jpg_Rectangle 12_Max	Time to First Fixation_dn02_land_allinone.jpg_Rectangle 12_Min	Time to First Fixation_dn02_land_allinone.jpg_Rectangle 12_Sum	Time to First Fixation_dn02_land_allinone.jpg_Rectangle 12_Median	Time to First Fixation_dn02_land_allinone.jpg_Rectangle 12_Stdev
0	0	0	0	0	0	0	0	0	0	0	0
10,27	10,27	10,27	10,27	0	0	0	0	0	0	0	0
0	0	0	0	0	0	0	0	0	0	0	0
6,22	6,22	6,22	6,22	0	0	0	0	0	0	0	0
13,98	13,98	13,98	13,98	0	0	0	0	0	0	0	0
0	0	0	0	0	0	0	0	0	0	0	0
0	0	0	0	0	0	0	0	0	0	0	0
17,29	17,29	17,29	17,29	0	1	13,6	13,6	13,6	13,6	13,6	0
9,99	9,99	9,99	9,99	0	1	12,74	12,74	12,74	12,74	12,74	0
0	0	0	0	0	0	0	0	0	0	0	0
0	0	0	0	0	0	0	0	0	0	0	0
7,8	7,8	7,8	7,8	0	0	0	0	0	0	0	0
2,57	2,57	2,57	2,57	0	1	2,89	2,89	2,89	2,89	2,89	0
7,15	7,15	7,15	7,15	0	0	0	0	0	0	0	0
3,7	3,7	3,7	3,7	0	0	0	0	0	0	0	0
0	0	0	0	0	0	0	0	0	0	0	0
7,56	7,56	7,56	7,56	0	1	9,81	9,81	9,81	9,81	9,81	0
17,29	2,57	86,55	7,68	4,46	4	9,76	13,6	2,89	39,04	11,28	4,86

Time to First Fixation_dn02_land_allinone.jpg_Rectangle 13_N	Time to First Fixation_dn02_land_allinone.jpg_Rectangle 13_Mean	Time to First Fixation_dn02_land_allinone.jpg_Rectangle 13_Max	Time to First Fixation_dn02_land_allinone.jpg_Rectangle 13_Min	Time to First Fixation_dn02_land_allinone.jpg_Rectangle 13_Sum	Time to First Fixation_dn02_land_allinone.jpg_Rectangle 13_Median	Time to First Fixation_dn02_land_allinone.jpg_Rectangle 13_Stdev	Time to First Fixation_dn02_land_allinone.jpg_Rectangle 14_N	Time to First Fixation_dn02_land_allinone.jpg_Rectangle 14_Mean	Time to First Fixation_dn02_land_allinone.jpg_Rectangle 14_Max	Time to First Fixation_dn02_land_allinone.jpg_Rectangle 14_Min	Time to First Fixation_dn02_land_allinone.jpg_Rectangle 14_Sum
0	0	0	0	0	0	0	0	0	0	0	0
0	0	0	0	0	0	0	0	0	0	0	0
0	0	0	0	0	0	0	0	0	0	0	0
0	0	0	0	0	0	0	0	0	0	0	0
1	15,38	15,38	15,38	15,38	15,38	0	1	4,46	4,46	4,46	4,46
0	0	0	0	0	0	0	0	0	0	0	0
1	8,98	8,98	8,98	8,98	8,98	0	0	0	0	0	0
1	13,03	13,03	13,03	13,03	13,03	0	1	16,19	16,19	16,19	16,19
1	15,44	15,44	15,44	15,44	15,44	0	1	18,04	18,04	18,04	18,04
0	0	0	0	0	0	0	1	9,34	9,34	9,34	9,34
0	0	0	0	0	0	0	0	0	0	0	0
0	0	0	0	0	0	0	0	0	0	0	0
1	0	0	0	0	0	0	0	0	0	0	0
0	0	0	0	0	0	0	0	0	0	0	0
1	10,63	10,63	10,63	10,63	10,63	0	1	13,13	13,13	13,13	13,13
0	0	0	0	0	0	0	0	0	0	0	0
1	11,83	11,83	11,83	11,83	11,83	0	1	12,86	12,86	12,86	12,86
7	10,76	15,44	0	75,29	11,83	5,3	6	12,34	18,04	4,46	74,01

Time to First Fixation_dn02_land_allinone.jpg_Rectangle 14_Median	Time to First Fixation_dn02_land_allinone.jpg_Rectangle 14_Stdev	Time to First Fixation_dn02_land_allinone.jpg_Rectangle 15_N	Time to First Fixation_dn02_land_allinone.jpg_Rectangle 15_Mean	Time to First Fixation_dn02_land_allinone.jpg_Rectangle 15_Max	Time to First Fixation_dn02_land_allinone.jpg_Rectangle 15_Min	Time to First Fixation_dn02_land_allinone.jpg_Rectangle 15_Sum	Time to First Fixation_dn02_land_allinone.jpg_Rectangle 15_Median	Time to First Fixation_dn02_land_allinone.jpg_Rectangle 15_Stdev	Time to First Fixation_dn02_land_allinone.jpg_Rectangle 16_N	Time to First Fixation_dn02_land_allinone.jpg_Rectangle 16_Mean	Time to First Fixation_dn02_land_allinone.jpg_Rectangle 16_Max
0	0	1	10,64	10,64	10,64	10,64	10,64	0	0	0	0
0	0	0	0	0	0	0	0	0	0	0	0
0	0	0	0	0	0	0	0	0	0	0	0
0	0	1	10,92	10,92	10,92	10,92	10,92	0	0	0	0
4,46	0	1	10,47	10,47	10,47	10,47	10,47	0	0	0	0
0	0	0	0	0	0	0	0	0	0	0	0
0	0	0	0	0	0	0	0	0	0	0	0
16,19	0	1	13,26	13,26	13,26	13,26	13,26	0	0	0	0
18,04	0	0	0	0	0	0	0	0	0	0	0
9,34	0	0	0	0	0	0	0	0	0	0	0
0	0	0	0	0	0	0	0	0	0	0	0
0	0	0	0	0	0	0	0	0	0	0	0
0	0	1	16,59	16,59	16,59	16,59	16,59	0	0	0	0
0	0	0	0	0	0	0	0	0	0	0	0
13,13	0	0	0	0	0	0	0	0	0	0	0
0	0	0	0	0	0	0	0	0	0	0	0
12,86	0	0	0	0	0	0	0	0	0	0	0
12,99	4,89	5	12,38	16,59	10,47	61,89	10,92	2,61	0	0	0

Time to First Fixation_dn02_land_allinone.jpg_Rectangle 16_Min	Time to First Fixation_dn02_land_allinone.jpg_Rectangle 16_Sum	Time to First Fixation_dn02_land_allinone.jpg_Rectangle 16_Median	Time to First Fixation_dn02_land_allinone.jpg_Rectangle 16_Stdev	Time to First Fixation_dn02_land_allinone.jpg_Rectangle 17_N	Time to First Fixation_dn02_land_allinone.jpg_Rectangle 17_Mean	Time to First Fixation_dn02_land_allinone.jpg_Rectangle 17_Max	Time to First Fixation_dn02_land_allinone.jpg_Rectangle 17_Min	Time to First Fixation_dn02_land_allinone.jpg_Rectangle 17_Sum	Time to First Fixation_dn02_land_allinone.jpg_Rectangle 17_Median	Time to First Fixation_dn02_land_allinone.jpg_Rectangle 17_Stdev	Time to First Fixation_dn02_land_allinone.jpg_Rectangle 18_N
0	0	0	0	0	0	0	0	0	0	0	0
0	0	0	0	0	0	0	0	0	0	0	0
0	0	0	0	0	0	0	0	0	0	0	0
0	0	0	0	0	0	0	0	0	0	0	0
0	0	0	0	0	0	0	0	0	0	0	0
0	0	0	0	0	0	0	0	0	0	0	0
0	0	0	0	0	0	0	0	0	0	0	0
0	0	0	0	0	0	0	0	0	0	0	0
0	0	0	0	0	0	0	0	0	0	0	0
0	0	0	0	0	0	0	0	0	0	0	0
0	0	0	0	0	0	0	0	0	0	0	0
0	0	0	0	0	0	0	0	0	0	0	1
0	0	0	0	0	0	0	0	0	0	0	0
0	0	0	0	0	0	0	0	0	0	0	0
0	0	0	0	0	0	0	0	0	0	0	0
0	0	0	0	0	0	0	0	0	0	0	0
0	0	0	0	0	0	0	0	0	0	0	0
0	0	0	0	0	0	0	0	0	0	0	1

Time to First Fixation_dn02_land_allinone.jpg_Rectangle 18_Mean	Time to First Fixation_dn02_land_allinone.jpg_Rectangle 18_Max	Time to First Fixation_dn02_land_allinone.jpg_Rectangle 18_Min	Time to First Fixation_dn02_land_allinone.jpg_Rectangle 18_Sum	Time to First Fixation_dn02_land_allinone.jpg_Rectangle 18_Median	Time to First Fixation_dn02_land_allinone.jpg_Rectangle 18_Stdev	Time to First Fixation_dn02_land_allinone.jpg_Rectangle 19_N	Time to First Fixation_dn02_land_allinone.jpg_Rectangle 19_Mean	Time to First Fixation_dn02_land_allinone.jpg_Rectangle 19_Max	Time to First Fixation_dn02_land_allinone.jpg_Rectangle 19_Min	Time to First Fixation_dn02_land_allinone.jpg_Rectangle 19_Sum	Time to First Fixation_dn02_land_allinone.jpg_Rectangle 19_Median
0	0	0	0	0	0	0	0	0	0	0	0
0	0	0	0	0	0	0	0	0	0	0	0
0	0	0	0	0	0	0	0	0	0	0	0
0	0	0	0	0	0	0	0	0	0	0	0
0	0	0	0	0	0	1	12,7	12,7	12,7	12,7	12,7
0	0	0	0	0	0	0	0	0	0	0	0
0	0	0	0	0	0	1	11,76	11,76	11,76	11,76	11,76
0	0	0	0	0	0	0	0	0	0	0	0
0	0	0	0	0	0	0	0	0	0	0	0
0	0	0	0	0	0	0	0	0	0	0	0
0	0	0	0	0	0	0	0	0	0	0	0
1,12	1,12	1,12	1,12	1,12	0	0	0	0	0	0	0
0	0	0	0	0	0	1	13,35	13,35	13,35	13,35	13,35
0	0	0	0	0	0	0	0	0	0	0	0
0	0	0	0	0	0	0	0	0	0	0	0
0	0	0	0	0	0	0	0	0	0	0	0
0	0	0	0	0	0	0	0	0	0	0	0
1,12	1,12	1,12	1,12	1,12	0	3	12,6	13,35	11,76	37,81	12,7

Time to First Fixation_dn02_land_allinone.jpg_Rectangle 19_Stdev	Time to First Fixation_dn02_land_allinone.jpg_Rectangle 2_N	Time to First Fixation_dn02_land_allinone.jpg_Rectangle 2_Mean	Time to First Fixation_dn02_land_allinone.jpg_Rectangle 2_Max	Time to First Fixation_dn02_land_allinone.jpg_Rectangle 2_Min	Time to First Fixation_dn02_land_allinone.jpg_Rectangle 2_Sum	Time to First Fixation_dn02_land_allinone.jpg_Rectangle 2_Median	Time to First Fixation_dn02_land_allinone.jpg_Rectangle 2_Stdev	Time to First Fixation_dn02_land_allinone.jpg_Rectangle 20_N	Time to First Fixation_dn02_land_allinone.jpg_Rectangle 20_Mean	Time to First Fixation_dn02_land_allinone.jpg_Rectangle 20_Max	Time to First Fixation_dn02_land_allinone.jpg_Rectangle 20_Min
0	1	0	0	0	0	0	0	0	0	0	0
0	1	0,11	0,11	0,11	0,11	0,11	0	0	0	0	0
0	1	0,31	0,31	0,31	0,31	0,31	0	0	0	0	0
0	1	0,33	0,33	0,33	0,33	0,33	0	0	0	0	0
0	1	0,39	0,39	0,39	0,39	0,39	0	1	12,97	12,97	12,97
0	1	0,14	0,14	0,14	0,14	0,14	0	0	0	0	0
0	1	0,12	0,12	0,12	0,12	0,12	0	0	0	0	0
0	1	0,09	0,09	0,09	0,09	0,09	0	0	0	0	0
0	1	0,48	0,48	0,48	0,48	0,48	0	0	0	0	0
0	1	0,65	0,65	0,65	0,65	0,65	0	0	0	0	0
0	1	0,27	0,27	0,27	0,27	0,27	0	0	0	0	0
0	1	0	0	0	0	0	0	0	0	0	0
0	1	0,51	0,51	0,51	0,51	0,51	0	1	13,1	13,1	13,1
0	1	0,09	0,09	0,09	0,09	0,09	0	0	0	0	0
0	1	0,57	0,57	0,57	0,57	0,57	0	0	0	0	0
0	1	4,93	4,93	4,93	4,93	4,93	0	0	0	0	0
0	1	15,67	15,67	15,67	15,67	15,67	0	0	0	0	0
0,8	17	1,45	15,67	0	24,65	0,31	3,84	2	13,03	13,1	12,97

Time to First Fixation_dn02_land_allinone.jpg_Rectangle 20_Sum	Time to First Fixation_dn02_land_allinone.jpg_Rectangle 20_Median	Time to First Fixation_dn02_land_allinone.jpg_Rectangle 20_Stdev	Time to First Fixation_dn02_land_allinone.jpg_Rectangle 21_N	Time to First Fixation_dn02_land_allinone.jpg_Rectangle 21_Mean	Time to First Fixation_dn02_land_allinone.jpg_Rectangle 21_Max	Time to First Fixation_dn02_land_allinone.jpg_Rectangle 21_Min	Time to First Fixation_dn02_land_allinone.jpg_Rectangle 21_Sum	Time to First Fixation_dn02_land_allinone.jpg_Rectangle 21_Median	Time to First Fixation_dn02_land_allinone.jpg_Rectangle 21_Stdev	Time to First Fixation_dn02_land_allinone.jpg_Rectangle 22_N	Time to First Fixation_dn02_land_allinone.jpg_Rectangle 22_Mean
0	0	0	0	0	0	0	0	0	0	0	0
0	0	0	0	0	0	0	0	0	0	0	0
0	0	0	0	0	0	0	0	0	0	0	0
0	0	0	0	0	0	0	0	0	0	0	0
12,97	12,97	0	0	0	0	0	0	0	0	0	0
0	0	0	0	0	0	0	0	0	0	0	0
0	0	0	0	0	0	0	0	0	0	0	0
0	0	0	0	0	0	0	0	0	0	0	0
0	0	0	0	0	0	0	0	0	0	0	0
0	0	0	0	0	0	0	0	0	0	0	0
0	0	0	0	0	0	0	0	0	0	0	0
0	0	0	0	0	0	0	0	0	0	0	0
0	0	0	0	0	0	0	0	0	0	0	0
0	0	0	0	0	0	0	0	0	0	1	12,81
13,1	13,1	0	0	0	0	0	0	0	0	0	0
0	0	0	0	0	0	0	0	0	0	0	0
0	0	0	0	0	0	0	0	0	0	0	0
0	0	0	0	0	0	0	0	0	0	0	0
0	0	0	0	0	0	0	0	0	0	1	17,99
26,06	13,03	0,09	0	0	0	0	0	0	0	2	15,4

Time to First Fixation_dn02_land_allinone.jpg_Rectangle 22_Max	Time to First Fixation_dn02_land_allinone.jpg_Rectangle 22_Min	Time to First Fixation_dn02_land_allinone.jpg_Rectangle 22_Sum	Time to First Fixation_dn02_land_allinone.jpg_Rectangle 22_Median	Time to First Fixation_dn02_land_allinone.jpg_Rectangle 22_Stdev	Time to First Fixation_dn02_land_allinone.jpg_Rectangle 23_N	Time to First Fixation_dn02_land_allinone.jpg_Rectangle 23_Mean	Time to First Fixation_dn02_land_allinone.jpg_Rectangle 23_Max	Time to First Fixation_dn02_land_allinone.jpg_Rectangle 23_Min	Time to First Fixation_dn02_land_allinone.jpg_Rectangle 23_Sum	Time to First Fixation_dn02_land_allinone.jpg_Rectangle 23_Median	Time to First Fixation_dn02_land_allinone.jpg_Rectangle 23_Stdev
0	0	0	0	0	1	12,83	12,83	12,83	12,83	12,83	0
0	0	0	0	0	0	0	0	0	0	0	0
0	0	0	0	0	1	0,86	0,86	0,86	0,86	0,86	0
0	0	0	0	0	1	6,49	6,49	6,49	6,49	6,49	0
0	0	0	0	0	0	0	0	0	0	0	0
0	0	0	0	0	1	1,77	1,77	1,77	1,77	1,77	0
0	0	0	0	0	1	0	0	0	0	0	0
0	0	0	0	0	1	12,53	12,53	12,53	12,53	12,53	0
0	0	0	0	0	0	0	0	0	0	0	0
0	0	0	0	0	1	1,14	1,14	1,14	1,14	1,14	0
0	0	0	0	0	1	3,63	3,63	3,63	3,63	3,63	0
12,81	12,81	12,81	12,81	0	1	9,83	9,83	9,83	9,83	9,83	0
0	0	0	0	0	0	0	0	0	0	0	0
0	0	0	0	0	1	0	0	0	0	0	0
0	0	0	0	0	1	0,01	0,01	0,01	0,01	0,01	0
0	0	0	0	0	1	10,9	10,9	10,9	10,9	10,9	0
17,99	17,99	17,99	17,99	0	0	0	0	0	0	0	0
17,99	12,81	30,8	15,4	3,66	12	5	12,83	0	59,99	2,7	5,2

Time to First Fixation_dn02_land_allinone.jpg_Rectangle 24_N	Time to First Fixation_dn02_land_allinone.jpg_Rectangle 24_Mean	Time to First Fixation_dn02_land_allinone.jpg_Rectangle 24_Max	Time to First Fixation_dn02_land_allinone.jpg_Rectangle 24_Min	Time to First Fixation_dn02_land_allinone.jpg_Rectangle 24_Sum	Time to First Fixation_dn02_land_allinone.jpg_Rectangle 24_Median	Time to First Fixation_dn02_land_allinone.jpg_Rectangle 24_Stdev	Time to First Fixation_dn02_land_allinone.jpg_Rectangle 3_N	Time to First Fixation_dn02_land_allinone.jpg_Rectangle 3_Mean	Time to First Fixation_dn02_land_allinone.jpg_Rectangle 3_Max	Time to First Fixation_dn02_land_allinone.jpg_Rectangle 3_Min	Time to First Fixation_dn02_land_allinone.jpg_Rectangle 3_Sum
0	0	0	0	0	0	0	0	0	0	0	0
0	0	0	0	0	0	0	1	0	0	0	0
0	0	0	0	0	0	0	1	2,32	2,32	2,32	2,32
0	0	0	0	0	0	0	1	0,91	0,91	0,91	0,91
0	0	0	0	0	0	0	1	0	0	0	0
0	0	0	0	0	0	0	1	1,42	1,42	1,42	1,42
0	0	0	0	0	0	0	1	2,43	2,43	2,43	2,43
0	0	0	0	0	0	0	1	1,24	1,24	1,24	1,24
0	0	0	0	0	0	0	1	0,7	0,7	0,7	0,7
0	0	0	0	0	0	0	1	1,39	1,39	1,39	1,39
0	0	0	0	0	0	0	1	1,55	1,55	1,55	1,55
0	0	0	0	0	0	0	1	3,08	3,08	3,08	3,08
0	0	0	0	0	0	0	1	3,32	3,32	3,32	3,32
0	0	0	0	0	0	0	1	1,47	1,47	1,47	1,47
0	0	0	0	0	0	0	1	5,75	5,75	5,75	5,75
0	0	0	0	0	0	0	1	2,86	2,86	2,86	2,86
1	0	0	0	0	0	0	1	5,26	5,26	5,26	5,26
1	0	0	0	0	0	0	16	2,11	5,75	0	33,73

Time to First Fixation_dn02_land_allinone.jpg_Rectangle 3_Median	Time to First Fixation_dn02_land_allinone.jpg_Rectangle 3_Stdev	Time to First Fixation_dn02_land_allinone.jpg_Rectangle 4_N	Time to First Fixation_dn02_land_allinone.jpg_Rectangle 4_Mean	Time to First Fixation_dn02_land_allinone.jpg_Rectangle 4_Max	Time to First Fixation_dn02_land_allinone.jpg_Rectangle 4_Min	Time to First Fixation_dn02_land_allinone.jpg_Rectangle 4_Sum	Time to First Fixation_dn02_land_allinone.jpg_Rectangle 4_Median	Time to First Fixation_dn02_land_allinone.jpg_Rectangle 4_Stdev	Time to First Fixation_dn02_land_allinone.jpg_Rectangle 5_N	Time to First Fixation_dn02_land_allinone.jpg_Rectangle 5_Mean	Time to First Fixation_dn02_land_allinone.jpg_Rectangle 5_Max
0	0	0	0	0	0	0	0	0	1	0,44	0,44
0	0	0	0	0	0	0	0	0	0	0	0
2,32	0	1	0,69	0,69	0,69	0,69	0,69	0	1	5,84	5,84
0,91	0	1	0,53	0,53	0,53	0,53	0,53	0	1	2,64	2,64
0	0	1	0,64	0,64	0,64	0,64	0,64	0	1	10,65	10,65
1,42	0	1	2,97	2,97	2,97	2,97	2,97	0	1	2,85	2,85
2,43	0	1	0,5	0,5	0,5	0,5	0,5	0	0	0	0
1,24	0	1	1,02	1,02	1,02	1,02	1,02	0	1	8,08	8,08
0,7	0	1	0,27	0,27	0,27	0,27	0,27	0	1	0,88	0,88
1,39	0	0	0	0	0	0	0	0	1	2,26	2,26
1,55	0	1	2,99	2,99	2,99	2,99	2,99	0	1	2,19	2,19
3,08	0	1	0,67	0,67	0,67	0,67	0,67	0	1	7	7
3,32	0	1	0,84	0,84	0,84	0,84	0,84	0	1	14,31	14,31
1,47	0	0	0	0	0	0	0	0	1	11,25	11,25
5,75	0	0	0	0	0	0	0	0	1	1,09	1,09
2,86	0	1	0,55	0,55	0,55	0,55	0,55	0	1	1,15	1,15
5,26	0	1	15,86	15,86	15,86	15,86	15,86	0	0	0	0
1,51	1,66	12	2,29	15,86	0,27	27,52	0,68	4,37	14	5,04	14,31

Time to First Fixation_dn02_land_allinone.jpg_Rectangle 5_Min	Time to First Fixation_dn02_land_allinone.jpg_Rectangle 5_Sum	Time to First Fixation_dn02_land_allinone.jpg_Rectangle 5_Median	Time to First Fixation_dn02_land_allinone.jpg_Rectangle 5_Stdev	Time to First Fixation_dn02_land_allinone.jpg_Rectangle 6_N	Time to First Fixation_dn02_land_allinone.jpg_Rectangle 6_Mean	Time to First Fixation_dn02_land_allinone.jpg_Rectangle 6_Max	Time to First Fixation_dn02_land_allinone.jpg_Rectangle 6_Min	Time to First Fixation_dn02_land_allinone.jpg_Rectangle 6_Sum	Time to First Fixation_dn02_land_allinone.jpg_Rectangle 6_Median	Time to First Fixation_dn02_land_allinone.jpg_Rectangle 6_Stdev	Time to First Fixation_dn02_land_allinone.jpg_Rectangle 7_N
0,44	0,44	0,44	0	1	0,22	0,22	0,22	0,22	0,22	0	1
0	0	0	0	1	0,76	0,76	0,76	0,76	0,76	0	1
5,84	5,84	5,84	0	1	5,34	5,34	5,34	5,34	5,34	0	0
2,64	2,64	2,64	0	1	2,89	2,89	2,89	2,89	2,89	0	1
10,65	10,65	10,65	0	1	0,83	0,83	0,83	0,83	0,83	0	1
2,85	2,85	2,85	0	1	17,4	17,4	17,4	17,4	17,4	0	1
0	0	0	0	1	0,69	0,69	0,69	0,69	0,69	0	1
8,08	8,08	8,08	0	1	7,55	7,55	7,55	7,55	7,55	0	1
0,88	0,88	0,88	0	1	1,71	1,71	1,71	1,71	1,71	0	1
2,26	2,26	2,26	0	1	3,19	3,19	3,19	3,19	3,19	0	1
2,19	2,19	2,19	0	1	2,42	2,42	2,42	2,42	2,42	0	0
7	7	7	0	0	0	0	0	0	0	0	1
14,31	14,31	14,31	0	0	0	0	0	0	0	0	1
11,25	11,25	11,25	0	1	8,43	8,43	8,43	8,43	8,43	0	1
1,09	1,09	1,09	0	0	0	0	0	0	0	0	1
1,15	1,15	1,15	0	1	8,76	8,76	8,76	8,76	8,76	0	1
0	0	0	0	1	0,57	0,57	0,57	0,57	0,57	0	1
0,44	70,62	2,75	4,52	14	4,34	17,4	0,22	60,76	2,66	4,82	15

Time to First Fixation_dn02_land_allinone.jpg_Rectangle 7_Mean	Time to First Fixation_dn02_land_allinone.jpg_Rectangle 7_Max	Time to First Fixation_dn02_land_allinone.jpg_Rectangle 7_Min	Time to First Fixation_dn02_land_allinone.jpg_Rectangle 7_Sum	Time to First Fixation_dn02_land_allinone.jpg_Rectangle 7_Median	Time to First Fixation_dn02_land_allinone.jpg_Rectangle 7_Stdev	Time to First Fixation_dn02_land_allinone.jpg_Rectangle 8_N	Time to First Fixation_dn02_land_allinone.jpg_Rectangle 8_Mean	Time to First Fixation_dn02_land_allinone.jpg_Rectangle 8_Max	Time to First Fixation_dn02_land_allinone.jpg_Rectangle 8_Min	Time to First Fixation_dn02_land_allinone.jpg_Rectangle 8_Sum	Time to First Fixation_dn02_land_allinone.jpg_Rectangle 8_Median
0,09	0,09	0,09	0,09	0,09	0	1	14,04	14,04	14,04	14,04	14,04
0,58	0,58	0,58	0,58	0,58	0	1	11,63	11,63	11,63	11,63	11,63
0	0	0	0	0	0	1	7,7	7,7	7,7	7,7	7,7
18,55	18,55	18,55	18,55	18,55	0	1	4,23	4,23	4,23	4,23	4,23
1,44	1,44	1,44	1,44	1,44	0	0	0	0	0	0	0
1,25	1,25	1,25	1,25	1,25	0	1	4,53	4,53	4,53	4,53	4,53
2,92	2,92	2,92	2,92	2,92	0	0	0	0	0	0	0
6,6	6,6	6,6	6,6	6,6	0	0	0	0	0	0	0
2,65	2,65	2,65	2,65	2,65	0	1	2,9	2,9	2,9	2,9	2,9
1,91	1,91	1,91	1,91	1,91	0	1	3,78	3,78	3,78	3,78	3,78
0	0	0	0	0	0	0	0	0	0	0	0
6,37	6,37	6,37	6,37	6,37	0	1	6,13	6,13	6,13	6,13	6,13
3,7	3,7	3,7	3,7	3,7	0	1	3,89	3,89	3,89	3,89	3,89
8,6	8,6	8,6	8,6	8,6	0	1	8,82	8,82	8,82	8,82	8,82
6,25	6,25	6,25	6,25	6,25	0	1	2,45	2,45	2,45	2,45	2,45
2,08	2,08	2,08	2,08	2,08	0	0	0	0	0	0	0
1,8	1,8	1,8	1,8	1,8	0	0	0	0	0	0	0
4,32	18,55	0,09	64,78	2,65	4,67	11	6,37	14,04	2,45	70,1	4,53

Time to First Fixation_dn02_land _allinone.jpg_Recta ngle 8_Stdev	Time to First Fixation_dn02_land _allinone.jpg_Recta ngle 9_N	Time to First Fixation_dn02_land _allinone.jpg_Recta ngle 9_Mean	Time to First Fixation_dn02_land _allinone.jpg_Recta ngle 9_Max	Time to First Fixation_dn02_land _allinone.jpg_Recta ngle 9_Min	Time to First Fixation_dn02_land _allinone.jpg_Recta ngle 9_Sum	Time to First Fixation_dn02_land _allinone.jpg_Recta ngle 9_Median	Time to First Fixation_dn02_land _allinone.jpg_Recta ngle 9_Stdev
0	1	14,99	14,99	14,99	14,99	14,99	0
0	1	13,2	13,2	13,2	13,2	13,2	0
0	1	7,5	7,5	7,5	7,5	7,5	0
0	1	4,39	4,39	4,39	4,39	4,39	0
0	1	1,74	1,74	1,74	1,74	1,74	0
0	1	4,86	4,86	4,86	4,86	4,86	0
0	1	3,17	3,17	3,17	3,17	3,17	0
0	0	0	0	0	0	0	0
0	1	4,38	4,38	4,38	4,38	4,38	0
0	1	4,19	4,19	4,19	4,19	4,19	0
0	1	11,43	11,43	11,43	11,43	11,43	0
0	1	6,61	6,61	6,61	6,61	6,61	0
0	1	4,9	4,9	4,9	4,9	4,9	0
0	1	9,42	9,42	9,42	9,42	9,42	0
0	1	8	8	8	8	8	0
0	0	0	0	0	0	0	0
0	1	2,62	2,62	2,62	2,62	2,62	0
3,78	15	6,76	14,99	1,74	101,41	4,9	3,97

	Total Fixation Duration_dn01_por t_1_1.JPG_Rectangle_N	Total Fixation Duration_dn01_por t_1_1.JPG_Rectangle_Mean	Total Fixation Duration_dn01_por t_1_1.JPG_Rectangle_Max	Total Fixation Duration_dn01_por t_1_1.JPG_Rectangle_Min	Total Fixation Duration_dn01_por t_1_1.JPG_Rectangle_Sum	Total Fixation Duration_dn01_por t_1_1.JPG_Rectangle_Median	Total Fixation Duration_dn01_por t_1_1.JPG_Rectangle_Stdev	Total Fixation Duration_dn01_por t_1_1.JPG_Rectangle_10_N	Total Fixation Duration_dn01_por t_1_1.JPG_Rectangle_10_Mean	Total Fixation Duration_dn01_por t_1_1.JPG_Rectangle_10_Max	Total Fixation Duration_dn01_por t_1_1.JPG_Rectangle_10_Min
Rec 01	0	0	0	0	0	0	0	1	0,1	0,1	0,1
Rec 05	1	0,58	0,58	0,58	0,58	0,58	0	0	0	0	0
Rec 06	1	0,85	0,85	0,85	0,85	0,85	0	0	0	0	0
Rec 02	1	1,52	1,52	1,52	1,52	1,52	0	0	0	0	0
Rec 03	1	0,3	0,3	0,3	0,3	0,3	0	0	0	0	0
Rec 04	1	0,28	0,28	0,28	0,28	0,28	0	0	0	0	0
Rec 07	1	2,33	2,33	2,33	2,33	2,33	0	0	0	0	0
Rec 08	1	0,1	0,1	0,1	0,1	0,1	0	1	0,1	0,1	0,1
Rec 09	1	0,08	0,08	0,08	0,08	0,08	0	1	0,08	0,08	0,08
Rec 10	1	0,13	0,13	0,13	0,13	0,13	0	1	0,22	0,22	0,22
Rec 11	0	0	0	0	0	0	0	0	0	0	0
Rec 12	1	0,18	0,18	0,18	0,18	0,18	0	0	0	0	0
Rec 13	1	0,12	0,12	0,12	0,12	0,12	0	0	0	0	0
Rec 14	1	0,22	0,22	0,22	0,22	0,22	0	0	0	0	0
Rec 16	1	0,34	0,34	0,34	0,34	0,34	0	0	0	0	0
Rec 17	1	0,61	0,61	0,61	0,61	0,61	0	0	0	0	0
Rec 18	1	0,23	0,23	0,23	0,23	0,23	0	0	0	0	0
Rec 19	1	0,9	0,9	0,9	0,9	0,9	0	0	0	0	0
All Recordings	16	0,55	2,33	0,08	8,78	0,29	0,61	4	0,12	0,22	0,08

Total Fixation Duration_dn01_por t_1_1.JPG_Rectangl e 10_Sum	Total Fixation Duration_dn01_por t_1_1.JPG_Rectangl e 10_Median	Total Fixation Duration_dn01_por t_1_1.JPG_Rectangl e 10_Stdev	Total Fixation Duration_dn01_por t_1_1.JPG_Rectangl e 11_N	Total Fixation Duration_dn01_por t_1_1.JPG_Rectangl e 11_Mean	Total Fixation Duration_dn01_por t_1_1.JPG_Rectangl e 11_Max	Total Fixation Duration_dn01_por t_1_1.JPG_Rectangl e 11_Min	Total Fixation Duration_dn01_por t_1_1.JPG_Rectangl e 11_Sum	Total Fixation Duration_dn01_por t_1_1.JPG_Rectangl e 11_Median	Total Fixation Duration_dn01_por t_1_1.JPG_Rectangl e 11_Stdev	Total Fixation Duration_dn01_por t_1_1.JPG_Rectangl e 12_N	Total Fixation Duration_dn01_por t_1_1.JPG_Rectangl e 12_Mean
0,1	0,1	0	1	0,48	0,48	0,48	0,48	0,48	0	0	0
0	0	0	0	0	0	0	0	0	0	0	0
0	0	0	0	0	0	0	0	0	0	0	0
0	0	0	0	0	0	0	0	0	0	0	0
0	0	0	0	0	0	0	0	0	0	1	0,07
0	0	0	1	2,45	2,45	2,45	2,45	2,45	0	0	0
0	0	0	0	0	0	0	0	0	0	0	0
0,1	0,1	0	1	0,42	0,42	0,42	0,42	0,42	0	0	0
0,08	0,08	0	0	0	0	0	0	0	0	0	0
0,22	0,22	0	1	0,2	0,2	0,2	0,2	0,2	0	0	0
0	0	0	1	0,37	0,37	0,37	0,37	0,37	0	0	0
0	0	0	1	3,06	3,06	3,06	3,06	3,06	0	0	0
0	0	0	0	0	0	0	0	0	0	0	0
0	0	0	1	1,17	1,17	1,17	1,17	1,17	0	0	0
0	0	0	1	0,67	0,67	0,67	0,67	0,67	0	0	0
0	0	0	0	0	0	0	0	0	0	0	0
0	0	0	0	0	0	0	0	0	0	0	0
0	0	0	1	2,3	2,3	2,3	2,3	2,3	0	0	0
0,5	0,1	0,06	9	1,23	3,06	0,2	11,11	0,67	1,08	1	0,07

Total Fixation Duration_dn01_por t_1_1.JPG_Rectangl e.12_Max	Total Fixation Duration_dn01_por t_1_1.JPG_Rectangl e.12_Min	Total Fixation Duration_dn01_por t_1_1.JPG_Rectangl e.12_Sum	Total Fixation Duration_dn01_por t_1_1.JPG_Rectangl e.12_Median	Total Fixation Duration_dn01_por t_1_1.JPG_Rectangl e.12_Stdev	Total Fixation Duration_dn01_por t_1_1.JPG_Rectangl e.13_N	Total Fixation Duration_dn01_por t_1_1.JPG_Rectangl e.13_Mean	Total Fixation Duration_dn01_por t_1_1.JPG_Rectangl e.13_Max	Total Fixation Duration_dn01_por t_1_1.JPG_Rectangl e.13_Min	Total Fixation Duration_dn01_por t_1_1.JPG_Rectangl e.13_Sum	Total Fixation Duration_dn01_por t_1_1.JPG_Rectangl e.13_Median	Total Fixation Duration_dn01_por t_1_1.JPG_Rectangl e.13_Stdev
0	0	0	0	0	0	0	0	0	0	0	0
0	0	0	0	0	0	0	0	0	0	0	0
0	0	0	0	0	0	0	0	0	0	0	0
0	0	0	0	0	0	0	0	0	0	0	0
0,07	0,07	0,07	0,07	0	0	0	0	0	0	0	0
0	0	0	0	0	0	0	0	0	0	0	0
0	0	0	0	0	0	0	0	0	0	0	0
0	0	0	0	0	0	0	0	0	0	0	0
0	0	0	0	0	0	0	0	0	0	0	0
0	0	0	0	0	0	0	0	0	0	0	0
0	0	0	0	0	0	0	0	0	0	0	0
0	0	0	0	0	0	0	0	0	0	0	0
0	0	0	0	0	0	0	0	0	0	0	0
0	0	0	0	0	0	0	0	0	0	0	0
0	0	0	0	0	0	0	0	0	0	0	0
0	0	0	0	0	0	0	0	0	0	0	0
0	0	0	0	0	0	0	0	0	0	0	0
0	0	0	0	0	0	0	0	0	0	0	0
0	0	0	0	0	0	0	0	0	0	0	0
0,07	0,07	0,07	0,07	0	0	0	0	0	0	0	0

Total Fixation Duration_dn01_por t_1_1.JPG_Rectangl e 17_Min	Total Fixation Duration_dn01_por t_1_1.JPG_Rectangl e 17_Sum	Total Fixation Duration_dn01_por t_1_1.JPG_Rectangl e 17_Median	Total Fixation Duration_dn01_por t_1_1.JPG_Rectangl e 17_Strdev	Total Fixation Duration_dn01_por t_1_1.JPG_Rectangl e 18_N	Total Fixation Duration_dn01_por t_1_1.JPG_Rectangl e 18_Mean	Total Fixation Duration_dn01_por t_1_1.JPG_Rectangl e 18_Max	Total Fixation Duration_dn01_por t_1_1.JPG_Rectangl e 18_Min	Total Fixation Duration_dn01_por t_1_1.JPG_Rectangl e 18_Sum	Total Fixation Duration_dn01_por t_1_1.JPG_Rectangl e 18_Median	Total Fixation Duration_dn01_por t_1_1.JPG_Rectangl e 18_Strdev	Total Fixation Duration_dn01_por t_1_1.JPG_Rectangl e 19_N
0	0	0	0	1	0,07	0,07	0,07	0,07	0,07	0	1
0	0	0	0	1	1,6	1,6	1,6	1,6	1,6	0	1
0	0	0	0	1	0,88	0,88	0,88	0,88	0,88	0	1
0	0	0	0	1	0,5	0,5	0,5	0,5	0,5	0	1
0	0	0	0	0	0	0	0	0	0	0	0
0	0	0	0	0	0	0	0	0	0	0	1
0	0	0	0	1	0,33	0,33	0,33	0,33	0,33	0	1
0	0	0	0	1	0,17	0,17	0,17	0,17	0,17	0	1
0	0	0	0	0	0	0	0	0	0	0	0
0	0	0	0	1	0,38	0,38	0,38	0,38	0,38	0	1
0	0	0	0	1	0,18	0,18	0,18	0,18	0,18	0	1
0	0	0	0	0	0	0	0	0	0	0	1
0	0	0	0	0	0	0	0	0	0	0	1
0	0	0	0	0	0	0	0	0	0	0	1
0	0	0	0	1	0,13	0,13	0,13	0,13	0,13	0	1
0	0	0	0	0	0	0	0	0	0	0	1
0	0	0	0	0	0	0	0	0	0	0	1
0	0	0	0	1	0,35	0,35	0,35	0,35	0,35	0	1
0	0	0	0	10	0,46	1,6	0,07	4,6	0,34	0,46	16

Total Fixation Duration_dn01_por t_1_1.JPG_Rectangl e 19_Mean	Total Fixation Duration_dn01_por t_1_1.JPG_Rectangl e 19_Max	Total Fixation Duration_dn01_por t_1_1.JPG_Rectangl e 19_Min	Total Fixation Duration_dn01_por t_1_1.JPG_Rectangl e 19_Sum	Total Fixation Duration_dn01_por t_1_1.JPG_Rectangl e 19_Median	Total Fixation Duration_dn01_por t_1_1.JPG_Rectangl e 19_Stdev	Total Fixation Duration_dn01_por t_1_1.JPG_Rectangl e 2_N	Total Fixation Duration_dn01_por t_1_1.JPG_Rectangl e 2_Mean	Total Fixation Duration_dn01_por t_1_1.JPG_Rectangl e 2_Max	Total Fixation Duration_dn01_por t_1_1.JPG_Rectangl e 2_Min	Total Fixation Duration_dn01_por t_1_1.JPG_Rectangl e 2_Sum	Total Fixation Duration_dn01_por t_1_1.JPG_Rectangl e 2_Median
0,42	0,42	0,42	0,42	0,42	0	1	1,41	1,41	1,41	1,41	1,41
0,4	0,4	0,4	0,4	0,4	0	1	6,79	6,79	6,79	6,79	6,79
0,17	0,17	0,17	0,17	0,17	0	1	0,5	0,5	0,5	0,5	0,5
0,33	0,33	0,33	0,33	0,33	0	1	0,5	0,5	0,5	0,5	0,5
0	0	0	0	0	0	1	0,52	0,52	0,52	0,52	0,52
0,73	0,73	0,73	0,73	0,73	0	1	2,38	2,38	2,38	2,38	2,38
0,67	0,67	0,67	0,67	0,67	0	1	0,98	0,98	0,98	0,98	0,98
0,77	0,77	0,77	0,77	0,77	0	1	2,02	2,02	2,02	2,02	2,02
0	0	0	0	0	0	1	0,43	0,43	0,43	0,43	0,43
0,27	0,27	0,27	0,27	0,27	0	1	0,8	0,8	0,8	0,8	0,8
0,95	0,95	0,95	0,95	0,95	0	1	0,28	0,28	0,28	0,28	0,28
1,39	1,39	1,39	1,39	1,39	0	1	3,33	3,33	3,33	3,33	3,33
1,78	1,78	1,78	1,78	1,78	0	1	0,94	0,94	0,94	0,94	0,94
0,88	0,88	0,88	0,88	0,88	0	1	1,38	1,38	1,38	1,38	1,38
1,57	1,57	1,57	1,57	1,57	0	1	2,23	2,23	2,23	2,23	2,23
1,47	1,47	1,47	1,47	1,47	0	1	1,07	1,07	1,07	1,07	1,07
0,07	0,07	0,07	0,07	0,07	0	1	1	1	1	1	1
0,82	0,82	0,82	0,82	0,82	0	1	5,41	5,41	5,41	5,41	5,41
0,79	1,78	0,07	12,67	0,75	0,53	18	1,78	6,79	0,28	31,98	1,03

Total Fixation Duration_dn01_por t_1_1.JPG_Rectangl e 2_ Stdev	Total Fixation Duration_dn01_por t_1_1.JPG_Rectangl e 20_ N	Total Fixation Duration_dn01_por t_1_1.JPG_Rectangl e 20_ Mean	Total Fixation Duration_dn01_por t_1_1.JPG_Rectangl e 20_ Max	Total Fixation Duration_dn01_por t_1_1.JPG_Rectangl e 20_ Min	Total Fixation Duration_dn01_por t_1_1.JPG_Rectangl e 20_ Sum	Total Fixation Duration_dn01_por t_1_1.JPG_Rectangl e 20_ Median	Total Fixation Duration_dn01_por t_1_1.JPG_Rectangl e 20_ Stdev	Total Fixation Duration_dn01_por t_1_1.JPG_Rectangl e 21_ N	Total Fixation Duration_dn01_por t_1_1.JPG_Rectangl e 21_ Mean	Total Fixation Duration_dn01_por t_1_1.JPG_Rectangl e 21_ Max	Total Fixation Duration_dn01_por t_1_1.JPG_Rectangl e 21_ Min
0	1	0,15	0,15	0,15	0,15	0,15	0	1	0,23	0,23	0,23
0	0	0	0	0	0	0	0	1	0,15	0,15	0,15
0	0	0	0	0	0	0	0	1	0,28	0,28	0,28
0	1	0,52	0,52	0,52	0,52	0,52	0	1	0,4	0,4	0,4
0	0	0	0	0	0	0	0	1	0,08	0,08	0,08
0	0	0	0	0	0	0	0	0	0	0	0
0	1	0,18	0,18	0,18	0,18	0,18	0	1	0,08	0,08	0,08
0	0	0	0	0	0	0	0	0	0	0	0
0	0	0	0	0	0	0	0	0	0	0	0
0	0	0	0	0	0	0	0	0	0	0	0
0	1	0,7	0,7	0,7	0,7	0,7	0	0	0	0	0
0	0	0	0	0	0	0	0	0	0	0	0
0	1	1,3	1,3	1,3	1,3	1,3	0	0	0	0	0
0	0	0	0	0	0	0	0	0	0	0	0
0	1	0,22	0,22	0,22	0,22	0,22	0	0	0	0	0
0	0	0	0	0	0	0	0	0	0	0	0
0	0	0	0	0	0	0	0	1	0,07	0,07	0,07
0	0	0	0	0	0	0	0	1	0,13	0,13	0,13
1,78	6	0,51	1,3	0,15	3,06	0,37	0,44	8	0,18	0,4	0,07

Total Fixation Duration_dn01_por t_1_1.JPG_Rectangl e 21_Sum	Total Fixation Duration_dn01_por t_1_1.JPG_Rectangl e 21_Median	Total Fixation Duration_dn01_por t_1_1.JPG_Rectangl e 21_Stdev	Total Fixation Duration_dn01_por t_1_1.JPG_Rectangl e 22_N	Total Fixation Duration_dn01_por t_1_1.JPG_Rectangl e 22_Mean	Total Fixation Duration_dn01_por t_1_1.JPG_Rectangl e 22_Max	Total Fixation Duration_dn01_por t_1_1.JPG_Rectangl e 22_Min	Total Fixation Duration_dn01_por t_1_1.JPG_Rectangl e 22_Sum	Total Fixation Duration_dn01_por t_1_1.JPG_Rectangl e 22_Median	Total Fixation Duration_dn01_por t_1_1.JPG_Rectangl e 22_Stdev	Total Fixation Duration_dn01_por t_1_1.JPG_Rectangl e 23_N	Total Fixation Duration_dn01_por t_1_1.JPG_Rectangl e 23_Mean
0,23	0,23	0	0	0	0	0	0	0	0	1	0,13
0,15	0,15	0	1	0,62	0,62	0,62	0,62	0,62	0	0	0
0,28	0,28	0	1	0,35	0,35	0,35	0,35	0,35	0	0	0
0,4	0,4	0	0	0	0	0	0	0	0	0	0
0,08	0,08	0	1	0,08	0,08	0,08	0,08	0,08	0	0	0
0	0	0	1	1,7	1,7	1,7	1,7	1,7	0	1	0,6
0,08	0,08	0	1	0,18	0,18	0,18	0,18	0,18	0	0	0
0	0	0	1	1,1	1,1	1,1	1,1	1,1	0	1	0,07
0	0	0	1	0,12	0,12	0,12	0,12	0,12	0	0	0
0	0	0	1	1,17	1,17	1,17	1,17	1,17	0	0	0
0	0	0	0	0	0	0	0	0	0	0	0
0	0	0	1	0,25	0,25	0,25	0,25	0,25	0	0	0
0	0	0	1	0,28	0,28	0,28	0,28	0,28	0	0	0
0	0	0	0	0	0	0	0	0	0	0	0
0	0	0	1	1,45	1,45	1,45	1,45	1,45	0	0	0
0	0	0	1	1,85	1,85	1,85	1,85	1,85	0	0	0
0,07	0,07	0	0	0	0	0	0	0	0	0	0
0,13	0,13	0	1	0,27	0,27	0,27	0,27	0,27	0	0	0
1,43	0,14	0,12	13	0,72	1,85	0,08	9,41	0,35	0,64	3	0,27

Total Fixation Duration_dn01_por t_1_1.JPG_Rectangl e 23_Max	Total Fixation Duration_dn01_por t_1_1.JPG_Rectangl e 23_Min	Total Fixation Duration_dn01_por t_1_1.JPG_Rectangl e 23_Sum	Total Fixation Duration_dn01_por t_1_1.JPG_Rectangl e 23_Median	Total Fixation Duration_dn01_por t_1_1.JPG_Rectangl e 23_Strdev	Total Fixation Duration_dn01_por t_1_1.JPG_Rectangl e 24_N	Total Fixation Duration_dn01_por t_1_1.JPG_Rectangl e 24_Mean	Total Fixation Duration_dn01_por t_1_1.JPG_Rectangl e 24_Max	Total Fixation Duration_dn01_por t_1_1.JPG_Rectangl e 24_Min	Total Fixation Duration_dn01_por t_1_1.JPG_Rectangl e 24_Sum	Total Fixation Duration_dn01_por t_1_1.JPG_Rectangl e 24_Median	Total Fixation Duration_dn01_por t_1_1.JPG_Rectangl e 24_Strdev
0,13	0,13	0,13	0,13	0	0	0	0	0	0	0	0
0	0	0	0	0	0	0	0	0	0	0	0
0	0	0	0	0	1	0,23	0,23	0,23	0,23	0,23	0
0	0	0	0	0	0	0	0	0	0	0	0
0	0	0	0	0	0	0	0	0	0	0	0
0,6	0,6	0,6	0,6	0	1	1,33	1,33	1,33	1,33	1,33	0
0	0	0	0	0	0	0	0	0	0	0	0
0,07	0,07	0,07	0,07	0	1	0,18	0,18	0,18	0,18	0,18	0
0	0	0	0	0	0	0	0	0	0	0	0
0	0	0	0	0	1	0,28	0,28	0,28	0,28	0,28	0
0	0	0	0	0	0	0	0	0	0	0	0
0	0	0	0	0	0	0	0	0	0	0	0
0	0	0	0	0	1	0,65	0,65	0,65	0,65	0,65	0
0	0	0	0	0	0	0	0	0	0	0	0
0	0	0	0	0	1	1,87	1,87	1,87	1,87	1,87	0
0	0	0	0	0	1	0,98	0,98	0,98	0,98	0,98	0
0	0	0	0	0	0	0	0	0	0	0	0
0	0	0	0	0	0	0	0	0	0	0	0
0,6	0,07	0,8	0,13	0,29	7	0,79	1,87	0,18	5,53	0,65	0,64

Total Fixation Duration_dn01_por t_1_1.JPG_Rectangl e 25_N	Total Fixation Duration_dn01_por t_1_1.JPG_Rectangl e 25_Mean	Total Fixation Duration_dn01_por t_1_1.JPG_Rectangl e 25_Max	Total Fixation Duration_dn01_por t_1_1.JPG_Rectangl e 25_Min	Total Fixation Duration_dn01_por t_1_1.JPG_Rectangl e 25_Sum	Total Fixation Duration_dn01_por t_1_1.JPG_Rectangl e 25_Median	Total Fixation Duration_dn01_por t_1_1.JPG_Rectangl e 25_Stdev	Total Fixation Duration_dn01_por t_1_1.JPG_Rectangl e 26_N	Total Fixation Duration_dn01_por t_1_1.JPG_Rectangl e 26_Mean	Total Fixation Duration_dn01_por t_1_1.JPG_Rectangl e 26_Max	Total Fixation Duration_dn01_por t_1_1.JPG_Rectangl e 26_Min	Total Fixation Duration_dn01_por t_1_1.JPG_Rectangl e 26_Sum
1	0,38	0,38	0,38	0,38	0,38	0	0	0	0	0	0
1	0,62	0,62	0,62	0,62	0,62	0	0	0	0	0	0
0	0	0	0	0	0	0	1	1,23	1,23	1,23	1,23
1	2,4	2,4	2,4	2,4	2,4	0	0	0	0	0	0
0	0	0	0	0	0	0	1	0,12	0,12	0,12	0,12
0	0	0	0	0	0	0	1	0,65	0,65	0,65	0,65
1	0,1	0,1	0,1	0,1	0,1	0	1	0,57	0,57	0,57	0,57
1	0,12	0,12	0,12	0,12	0,12	0	0	0	0	0	0
1	0,35	0,35	0,35	0,35	0,35	0	1	0,32	0,32	0,32	0,32
1	0,17	0,17	0,17	0,17	0,17	0	1	0,28	0,28	0,28	0,28
1	0,8	0,8	0,8	0,8	0,8	0	0	0	0	0	0
0	0	0	0	0	0	0	0	0	0	0	0
1	1,43	1,43	1,43	1,43	1,43	0	1	0,17	0,17	0,17	0,17
1	0,18	0,18	0,18	0,18	0,18	0	1	1,15	1,15	1,15	1,15
1	0,37	0,37	0,37	0,37	0,37	0	1	1,02	1,02	1,02	1,02
1	0,48	0,48	0,48	0,48	0,48	0	1	1,13	1,13	1,13	1,13
0	0	0	0	0	0	0	0	0	0	0	0
0	0	0	0	0	0	0	0	0	0	0	0
12	0,62	2,4	0,1	7,39	0,37	0,67	10	0,66	1,23	0,12	6,63

Total Fixation Duration_dn01_por t_1_1.JPG_Rectangl e 26_Median	Total Fixation Duration_dn01_por t_1_1.JPG_Rectangl e 26_Strdev	Total Fixation Duration_dn01_por t_1_1.JPG_Rectangl e 27_N	Total Fixation Duration_dn01_por t_1_1.JPG_Rectangl e 27_Mean	Total Fixation Duration_dn01_por t_1_1.JPG_Rectangl e 27_Max	Total Fixation Duration_dn01_por t_1_1.JPG_Rectangl e 27_Min	Total Fixation Duration_dn01_por t_1_1.JPG_Rectangl e 27_Sum	Total Fixation Duration_dn01_por t_1_1.JPG_Rectangl e 27_Median	Total Fixation Duration_dn01_por t_1_1.JPG_Rectangl e 27_Strdev	Total Fixation Duration_dn01_por t_1_1.JPG_Rectangl e 28_N	Total Fixation Duration_dn01_por t_1_1.JPG_Rectangl e 28_Mean	Total Fixation Duration_dn01_por t_1_1.JPG_Rectangl e 28_Max
0	0	1	0,92	0,92	0,92	0,92	0,92	0	0	0	0
0	0	0	0	0	0	0	0	0	0	0	0
1,23	0	0	0	0	0	0	0	0	1	1,03	1,03
0	0	1	0,1	0,1	0,1	0,1	0,1	0	0	0	0
0,12	0	0	0	0	0	0	0	0	0	0	0
0,65	0	1	0,63	0,63	0,63	0,63	0,63	0	0	0	0
0,57	0	0	0	0	0	0	0	0	1	0,36	0,36
0	0	1	0,23	0,23	0,23	0,23	0,23	0	0	0	0
0,32	0	1	0,48	0,48	0,48	0,48	0,48	0	0	0	0
0,28	0	1	0,13	0,13	0,13	0,13	0,13	0	1	0,52	0,52
0	0	1	0,87	0,87	0,87	0,87	0,87	0	0	0	0
0	0	0	0	0	0	0	0	0	0	0	0
0,17	0	0	0	0	0	0	0	0	1	2,49	2,49
1,15	0	0	0	0	0	0	0	0	1	1,02	1,02
1,02	0	0	0	0	0	0	0	0	1	1,72	1,72
1,13	0	1	0,73	0,73	0,73	0,73	0,73	0	1	0,59	0,59
0	0	1	0,27	0,27	0,27	0,27	0,27	0	1	0,08	0,08
0	0	0	0	0	0	0	0	0	0	0	0
0,61	0,44	9	0,48	0,92	0,1	4,36	0,48	0,32	8	0,98	2,49

Total Fixation Duration_dn01_por t_1_1.JPG_Rectangl e 28_Min	Total Fixation Duration_dn01_por t_1_1.JPG_Rectangl e 28_Sum	Total Fixation Duration_dn01_por t_1_1.JPG_Rectangl e 28_Median	Total Fixation Duration_dn01_por t_1_1.JPG_Rectangl e 28_Strdev	Total Fixation Duration_dn01_por t_1_1.JPG_Rectangl e 29_N	Total Fixation Duration_dn01_por t_1_1.JPG_Rectangl e 29_Mean	Total Fixation Duration_dn01_por t_1_1.JPG_Rectangl e 29_Max	Total Fixation Duration_dn01_por t_1_1.JPG_Rectangl e 29_Min	Total Fixation Duration_dn01_por t_1_1.JPG_Rectangl e 29_Sum	Total Fixation Duration_dn01_por t_1_1.JPG_Rectangl e 29_Median	Total Fixation Duration_dn01_por t_1_1.JPG_Rectangl e 29_Strdev	Total Fixation Duration_dn01_por t_1_1.JPG_Rectangl e 3_N
0	0	0	0	0	0	0	0	0	0	0	1
0	0	0	0	1	0,31	0,31	0,31	0,31	0,31	0	1
1,03	1,03	1,03	0	1	1,28	1,28	1,28	1,28	1,28	0	1
0	0	0	0	0	0	0	0	0	0	0	1
0	0	0	0	0	0	0	0	0	0	0	1
0	0	0	0	0	0	0	0	0	0	0	1
0,36	0,36	0,36	0	1	0,6	0,6	0,6	0,6	0,6	0	1
0	0	0	0	1	0,72	0,72	0,72	0,72	0,72	0	0
0	0	0	0	0	0	0	0	0	0	0	1
0,52	0,52	0,52	0	1	0,58	0,58	0,58	0,58	0,58	0	1
0	0	0	0	1	0,33	0,33	0,33	0,33	0,33	0	1
0	0	0	0	0	0	0	0	0	0	0	0
2,49	2,49	2,49	0	0	0	0	0	0	0	0	0
1,02	1,02	1,02	0	0	0	0	0	0	0	0	1
1,72	1,72	1,72	0	0	0	0	0	0	0	0	0
0,59	0,59	0,59	0	0	0	0	0	0	0	0	1
0,08	0,08	0,08	0	0	0	0	0	0	0	0	1
0	0	0	0	0	0	0	0	0	0	0	1
0,08	7,81	0,8	0,79	6	0,64	1,28	0,31	3,82	0,59	0,35	14

Total Fixation Duration_dn01_por t_1_1.JPG_Rectangl e 3_Mean	Total Fixation Duration_dn01_por t_1_1.JPG_Rectangl e 3_Max	Total Fixation Duration_dn01_por t_1_1.JPG_Rectangl e 3_Min	Total Fixation Duration_dn01_por t_1_1.JPG_Rectangl e 3_Sum	Total Fixation Duration_dn01_por t_1_1.JPG_Rectangl e 3_Median	Total Fixation Duration_dn01_por t_1_1.JPG_Rectangl e 3_Stdev	Total Fixation Duration_dn01_por t_1_1.JPG_Rectangl e 30_N	Total Fixation Duration_dn01_por t_1_1.JPG_Rectangl e 30_Mean	Total Fixation Duration_dn01_por t_1_1.JPG_Rectangl e 30_Max	Total Fixation Duration_dn01_por t_1_1.JPG_Rectangl e 30_Min	Total Fixation Duration_dn01_por t_1_1.JPG_Rectangl e 30_Sum	Total Fixation Duration_dn01_por t_1_1.JPG_Rectangl e 30_Median
0,18	0,18	0,18	0,18	0,18	0	0	0	0	0	0	0
2,23	2,23	2,23	2,23	2,23	0	0	0	0	0	0	0
2,47	2,47	2,47	2,47	2,47	0	0	0	0	0	0	0
2,84	2,84	2,84	2,84	2,84	0	1	0,6	0,6	0,6	0,6	0,6
0,15	0,15	0,15	0,15	0,15	0	0	0	0	0	0	0
1,22	1,22	1,22	1,22	1,22	0	0	0	0	0	0	0
2,28	2,28	2,28	2,28	2,28	0	1	0,73	0,73	0,73	0,73	0,73
0	0	0	0	0	0	1	1,6	1,6	1,6	1,6	1,6
0,25	0,25	0,25	0,25	0,25	0	0	0	0	0	0	0
0,72	0,72	0,72	0,72	0,72	0	1	0,32	0,32	0,32	0,32	0,32
0,43	0,43	0,43	0,43	0,43	0	1	3,33	3,33	3,33	3,33	3,33
0	0	0	0	0	0	0	0	0	0	0	0
0	0	0	0	0	0	1	0,88	0,88	0,88	0,88	0,88
3,86	3,86	3,86	3,86	3,86	0	1	0,25	0,25	0,25	0,25	0,25
0	0	0	0	0	0	1	0,49	0,49	0,49	0,49	0,49
0,35	0,35	0,35	0,35	0,35	0	1	2,7	2,7	2,7	2,7	2,7
0,6	0,6	0,6	0,6	0,6	0	1	0,12	0,12	0,12	0,12	0,12
0,83	0,83	0,83	0,83	0,83	0	0	0	0	0	0	0
1,32	3,86	0,15	18,42	0,77	1,19	10	1,1	3,33	0,12	11,02	0,67

Total Fixation Duration_dn01_por t_1_1.JPG_Rectangl e 30_ Stdev	Total Fixation Duration_dn01_por t_1_1.JPG_Rectangl e 31_ N	Total Fixation Duration_dn01_por t_1_1.JPG_Rectangl e 31_ Mean	Total Fixation Duration_dn01_por t_1_1.JPG_Rectangl e 31_ Max	Total Fixation Duration_dn01_por t_1_1.JPG_Rectangl e 31_ Min	Total Fixation Duration_dn01_por t_1_1.JPG_Rectangl e 31_ Sum	Total Fixation Duration_dn01_por t_1_1.JPG_Rectangl e 31_ Median	Total Fixation Duration_dn01_por t_1_1.JPG_Rectangl e 31_ Stdev	Total Fixation Duration_dn01_por t_1_1.JPG_Rectangl e 32_ N	Total Fixation Duration_dn01_por t_1_1.JPG_Rectangl e 32_ Mean	Total Fixation Duration_dn01_por t_1_1.JPG_Rectangl e 32_ Max	Total Fixation Duration_dn01_por t_1_1.JPG_Rectangl e 32_ Min
0	1	1,03	1,03	1,03	1,03	1,03	0	0	0	0	0
0	0	0	0	0	0	0	0	0	0	0	0
0	1	0,12	0,12	0,12	0,12	0,12	0	0	0	0	0
0	1	0,33	0,33	0,33	0,33	0,33	0	0	0	0	0
0	0	0	0	0	0	0	0	0	0	0	0
0	0	0	0	0	0	0	0	0	0	0	0
0	1	0,6	0,6	0,6	0,6	0,6	0	0	0	0	0
0	1	0,18	0,18	0,18	0,18	0,18	0	0	0	0	0
0	0	0	0	0	0	0	0	0	0	0	0
0	1	1,57	1,57	1,57	1,57	1,57	0	1	0,17	0,17	0,17
0	1	0,73	0,73	0,73	0,73	0,73	0	0	0	0	0
0	0	0	0	0	0	0	0	0	0	0	0
0	1	0,9	0,9	0,9	0,9	0,9	0	0	0	0	0
0	1	1,68	1,68	1,68	1,68	1,68	0	0	0	0	0
0	0	0	0	0	0	0	0	0	0	0	0
0	1	1,3	1,3	1,3	1,3	1,3	0	0	0	0	0
0	1	0,13	0,13	0,13	0,13	0,13	0	0	0	0	0
0	0	0	0	0	0	0	0	0	0	0	0
1,1	11	0,78	1,68	0,12	8,58	0,73	0,57	1	0,17	0,17	0,17

Total Fixation Duration_dn01_por t_1_1.JPG_Rectangl e 32_Sum	Total Fixation Duration_dn01_por t_1_1.JPG_Rectangl e 32_Median	Total Fixation Duration_dn01_por t_1_1.JPG_Rectangl e 32_Stdev	Total Fixation Duration_dn01_por t_1_1.JPG_Rectangl e 4_N	Total Fixation Duration_dn01_por t_1_1.JPG_Rectangl e 4_Mean	Total Fixation Duration_dn01_por t_1_1.JPG_Rectangl e 4_Max	Total Fixation Duration_dn01_por t_1_1.JPG_Rectangl e 4_Min	Total Fixation Duration_dn01_por t_1_1.JPG_Rectangl e 4_Sum	Total Fixation Duration_dn01_por t_1_1.JPG_Rectangl e 4_Median	Total Fixation Duration_dn01_por t_1_1.JPG_Rectangl e 4_Stdev	Total Fixation Duration_dn01_por t_1_1.JPG_Rectangl e 5_N	Total Fixation Duration_dn01_por t_1_1.JPG_Rectangl e 5_Mean
0	0	0	0	0	0	0	0	0	0	1	0,62
0	0	0	0	0	0	0	0	0	0	0	0
0	0	0	0	0	0	0	0	0	0	0	0
0	0	0	1	0,2	0,2	0,2	0,2	0,2	0	0	0
0	0	0	1	0,68	0,68	0,68	0,68	0,68	0	0	0
0	0	0	0	0	0	0	0	0	0	1	0,48
0	0	0	1	0,2	0,2	0,2	0,2	0,2	0	0	0
0	0	0	1	1,4	1,4	1,4	1,4	1,4	0	0	0
0	0	0	1	0,22	0,22	0,22	0,22	0,22	0	0	0
0,17	0,17	0	1	1,23	1,23	1,23	1,23	1,23	0	0	0
0	0	0	1	0,18	0,18	0,18	0,18	0,18	0	0	0
0	0	0	1	0,78	0,78	0,78	0,78	0,78	0	0	0
0	0	0	0	0	0	0	0	0	0	0	0
0	0	0	1	0,12	0,12	0,12	0,12	0,12	0	0	0
0	0	0	1	0,53	0,53	0,53	0,53	0,53	0	0	0
0	0	0	0	0	0	0	0	0	0	0	0
0	0	0	1	0,65	0,65	0,65	0,65	0,65	0	1	0,07
0	0	0	1	0,63	0,63	0,63	0,63	0,63	0	0	0
0,17	0,17	0	12	0,57	1,4	0,12	6,83	0,58	0,42	3	0,39

Total Fixation Duration_dn01_por t_1_1.JPG_Rectangl e 5_Max	Total Fixation Duration_dn01_por t_1_1.JPG_Rectangl e 5_Min	Total Fixation Duration_dn01_por t_1_1.JPG_Rectangl e 5_Sum	Total Fixation Duration_dn01_por t_1_1.JPG_Rectangl e 5_Median	Total Fixation Duration_dn01_por t_1_1.JPG_Rectangl e 5_Stdev	Total Fixation Duration_dn01_por t_1_1.JPG_Rectangl e 7_N	Total Fixation Duration_dn01_por t_1_1.JPG_Rectangl e 7_Mean	Total Fixation Duration_dn01_por t_1_1.JPG_Rectangl e 7_Max	Total Fixation Duration_dn01_por t_1_1.JPG_Rectangl e 7_Min	Total Fixation Duration_dn01_por t_1_1.JPG_Rectangl e 7_Sum	Total Fixation Duration_dn01_por t_1_1.JPG_Rectangl e 7_Median	Total Fixation Duration_dn01_por t_1_1.JPG_Rectangl e 7_Stdev
0,62	0,62	0,62	0,62	0	1	0,82	0,82	0,82	0,82	0,82	0
0	0	0	0	0	0	0	0	0	0	0	0
0	0	0	0	0	0	0	0	0	0	0	0
0	0	0	0	0	0	0	0	0	0	0	0
0	0	0	0	0	0	0	0	0	0	0	0
0,48	0,48	0,48	0,48	0	1	0,18	0,18	0,18	0,18	0,18	0
0	0	0	0	0	1	0,18	0,18	0,18	0,18	0,18	0
0	0	0	0	0	1	1,65	1,65	1,65	1,65	1,65	0
0	0	0	0	0	1	0,43	0,43	0,43	0,43	0,43	0
0	0	0	0	0	1	0,87	0,87	0,87	0,87	0,87	0
0	0	0	0	0	1	0,83	0,83	0,83	0,83	0,83	0
0	0	0	0	0	1	2,1	2,1	2,1	2,1	2,1	0
0	0	0	0	0	0	0	0	0	0	0	0
0	0	0	0	0	1	0,67	0,67	0,67	0,67	0,67	0
0	0	0	0	0	1	0,22	0,22	0,22	0,22	0,22	0
0	0	0	0	0	0	0	0	0	0	0	0
0,07	0,07	0,07	0,07	0	1	0,12	0,12	0,12	0,12	0,12	0
0	0	0	0	0	1	0,48	0,48	0,48	0,48	0,48	0
0,62	0,07	1,17	0,48	0,29	12	0,71	2,1	0,12	8,54	0,57	0,61

Total Fixation Duration_dn01_por t_1_1.JPG_Rectangl e 8_N	Total Fixation Duration_dn01_por t_1_1.JPG_Rectangl e 8_Mean	Total Fixation Duration_dn01_por t_1_1.JPG_Rectangl e 8_Max	Total Fixation Duration_dn01_por t_1_1.JPG_Rectangl e 8_Min	Total Fixation Duration_dn01_por t_1_1.JPG_Rectangl e 8_Sum	Total Fixation Duration_dn01_por t_1_1.JPG_Rectangl e 8_Median	Total Fixation Duration_dn01_por t_1_1.JPG_Rectangl e 8_Stdev	Total Fixation Duration_dn01_por t_1_1.JPG_Rectangl e 9_N	Total Fixation Duration_dn01_por t_1_1.JPG_Rectangl e 9_Mean	Total Fixation Duration_dn01_por t_1_1.JPG_Rectangl e 9_Max	Total Fixation Duration_dn01_por t_1_1.JPG_Rectangl e 9_Min	Total Fixation Duration_dn01_por t_1_1.JPG_Rectangl e 9_Sum
1	1,13	1,13	1,13	1,13	1,13	0	1	0,2	0,2	0,2	0,2
0	0	0	0	0	0	0	0	0	0	0	0
0	0	0	0	0	0	0	0	0	0	0	0
0	0	0	0	0	0	0	0	0	0	0	0
0	0	0	0	0	0	0	1	0,07	0,07	0,07	0,07
1	0,25	0,25	0,25	0,25	0,25	0	0	0	0	0	0
0	0	0	0	0	0	0	0	0	0	0	0
1	1,23	1,23	1,23	1,23	1,23	0	0	0	0	0	0
1	1,07	1,07	1,07	1,07	1,07	0	0	0	0	0	0
1	0,12	0,12	0,12	0,12	0,12	0	1	0,23	0,23	0,23	0,23
1	0,26	0,26	0,26	0,26	0,26	0	0	0	0	0	0
1	2,35	2,35	2,35	2,35	2,35	0	0	0	0	0	0
0	0	0	0	0	0	0	0	0	0	0	0
0	0	0	0	0	0	0	0	0	0	0	0
1	0,3	0,3	0,3	0,3	0,3	0	1	0,07	0,07	0,07	0,07
0	0	0	0	0	0	0	0	0	0	0	0
0	0	0	0	0	0	0	1	0,15	0,15	0,15	0,15
1	0,47	0,47	0,47	0,47	0,47	0	0	0	0	0	0
9	0,8	2,35	0,12	7,17	0,47	0,72	5	0,14	0,23	0,07	0,72

PRILOG 3 A

Rezultati mjerenja i deskriptivna statistika praćenja oka korisnika aplikacije za tablet novine

Total Fixation Duration_dn01_por t_1_1.JPG_Rectangl e 9_Median	Total Fixation Duration_dn01_por t_1_1.JPG_Rectangl e 9_Stdev
0,2	0
0	0
0	0
0	0
0,07	0
0	0
0	0
0	0
0	0
0,23	0
0	0
0	0
0	0
0	0
0,07	0
0	0
0,15	0
0	0
0,15	0,08

	Total Fixation Duration_dn02_NYT port_1_1.JPG_Polyg on_N	Total Fixation Duration_dn02_NYT port_1_1.JPG_Polyg on_Mean	Total Fixation Duration_dn02_NYT port_1_1.JPG_Polyg on_Max	Total Fixation Duration_dn02_NYT port_1_1.JPG_Polyg on_Min	Total Fixation Duration_dn02_NYT port_1_1.JPG_Polyg on_Sum	Total Fixation Duration_dn02_NYT port_1_1.JPG_Polyg on_Median	Total Fixation Duration_dn02_NYT port_1_1.JPG_Polyg on_Stdev	Total Fixation Duration_dn02_NYT port_1_1.JPG_Recta ngle_N	Total Fixation Duration_dn02_NYT port_1_1.JPG_Recta ngle_Mean	Total Fixation Duration_dn02_NYT port_1_1.JPG_Recta ngle_Max	Total Fixation Duration_dn02_NYT port_1_1.JPG_Recta ngle_Min
Rec 01	1	10,74	10,74	10,74	10,74	10,74	0	0	0	0	0
Rec 05	1	2,63	2,63	2,63	2,63	2,63	0	0	0	0	0
Rec 06	1	6,69	6,69	6,69	6,69	6,69	0	0	0	0	0
Rec 02	1	3,68	3,68	3,68	3,68	3,68	0	0	0	0	0
Rec 03	1	0,13	0,13	0,13	0,13	0,13	0	1	1,55	1,55	1,55
Rec 04	1	2,09	2,09	2,09	2,09	2,09	0	0	0	0	0
Rec 07	1	0,75	0,75	0,75	0,75	0,75	0	0	0	0	0
Rec 08	1	17,18	17,18	17,18	17,18	17,18	0	1	0,18	0,18	0,18
Rec 09	1	1,83	1,83	1,83	1,83	1,83	0	1	1,03	1,03	1,03
Rec 10	1	4,31	4,31	4,31	4,31	4,31	0	0	0	0	0
Rec 11	1	1,88	1,88	1,88	1,88	1,88	0	1	0,73	0,73	0,73
Rec 12	1	0,33	0,33	0,33	0,33	0,33	0	1	0,37	0,37	0,37
Rec 13	1	5,18	5,18	5,18	5,18	5,18	0	0	0	0	0
Rec 14	1	17,67	17,67	17,67	17,67	17,67	0	0	0	0	0
Rec 16	1	1,2	1,2	1,2	1,2	1,2	0	1	0,13	0,13	0,13
Rec 17	1	14,01	14,01	14,01	14,01	14,01	0	0	0	0	0
Rec 18	1	1,18	1,18	1,18	1,18	1,18	0	1	0,2	0,2	0,2
Rec 19	1	1,76	1,76	1,76	1,76	1,76	0	0	0	0	0
All Recordings	18	5,74	17,67	0,13	93,26	2,36	7,01	7	0,6	1,55	0,13

Total Fixation Duration_dn02_NYT port_1_1.JPG_Recta ngle_Sum	Total Fixation Duration_dn02_NYT port_1_1.JPG_Recta ngle_Median	Total Fixation Duration_dn02_NYT port_1_1.JPG_Recta ngle_Stdev	Total Fixation Duration_dn02_NYT port_1_1.JPG_Recta ngle_10_N	Total Fixation Duration_dn02_NYT port_1_1.JPG_Recta ngle_10_Mean	Total Fixation Duration_dn02_NYT port_1_1.JPG_Recta ngle_10_Max	Total Fixation Duration_dn02_NYT port_1_1.JPG_Recta ngle_10_Min	Total Fixation Duration_dn02_NYT port_1_1.JPG_Recta ngle_10_Sum	Total Fixation Duration_dn02_NYT port_1_1.JPG_Recta ngle_10_Median	Total Fixation Duration_dn02_NYT port_1_1.JPG_Recta ngle_10_Stdev	Total Fixation Duration_dn02_NYT port_1_1.JPG_Recta ngle_11_N	Total Fixation Duration_dn02_NYT port_1_1.JPG_Recta ngle_11_Mean
0	0	0	0	0	0	0	0	0	0	1	1,18
0	0	0	0	0	0	0	0	0	0	0	0
0	0	0	1	4,46	4,46	4,46	4,46	4,46	0	1	0,2
0	0	0	0	0	0	0	0	0	0	1	1,45
1,55	1,55	0	1	0,3	0,3	0,3	0,3	0,3	0	0	0
0	0	0	1	3,55	3,55	3,55	3,55	3,55	0	1	2,78
0	0	0	1	0,75	0,75	0,75	0,75	0,75	0	1	0,6
0,18	0,18	0	1	0,82	0,82	0,82	0,82	0,82	0	1	0,15
1,03	1,03	0	1	0,87	0,87	0,87	0,87	0,87	0	1	1,5
0	0	0	1	1,57	1,57	1,57	1,57	1,57	0	1	2,12
0,73	0,73	0	0	0	0	0	0	0	0	1	0,72
0,37	0,37	0	1	4,13	4,13	4,13	4,13	4,13	0	1	5,96
0	0	0	0	0	0	0	0	0	0	1	0,73
0	0	0	1	0,22	0,22	0,22	0,22	0,22	0	0	0
0,13	0,13	0	1	3,21	3,21	3,21	3,21	3,21	0	1	3,91
0	0	0	0	0	0	0	0	0	0	0	0
0,2	0,2	0	1	0,1	0,1	0,1	0,1	0,1	0	0	0
0	0	0	1	2,5	2,5	2,5	2,5	2,5	0	1	1,5
4,2	0,37	0,53	12	1,87	4,46	0,1	22,47	1,22	1,61	13	1,75

Total Fixation Duration_dn02_NYT port_1_1.JPG_Recta ngle 11_Max	Total Fixation Duration_dn02_NYT port_1_1.JPG_Recta ngle 11_Min	Total Fixation Duration_dn02_NYT port_1_1.JPG_Recta ngle 11_Sum	Total Fixation Duration_dn02_NYT port_1_1.JPG_Recta ngle 11_Median	Total Fixation Duration_dn02_NYT port_1_1.JPG_Recta ngle 11_Stdev	Total Fixation Duration_dn02_NYT port_1_1.JPG_Recta ngle 12_N	Total Fixation Duration_dn02_NYT port_1_1.JPG_Recta ngle 12_Mean	Total Fixation Duration_dn02_NYT port_1_1.JPG_Recta ngle 12_Max	Total Fixation Duration_dn02_NYT port_1_1.JPG_Recta ngle 12_Min	Total Fixation Duration_dn02_NYT port_1_1.JPG_Recta ngle 12_Sum	Total Fixation Duration_dn02_NYT port_1_1.JPG_Recta ngle 12_Median	Total Fixation Duration_dn02_NYT port_1_1.JPG_Recta ngle 12_Stdev
1,18	1,18	1,18	1,18	0	1	1,3	1,3	1,3	1,3	1,3	0
0	0	0	0	0	1	0,95	0,95	0,95	0,95	0,95	0
0,2	0,2	0,2	0,2	0	1	0,87	0,87	0,87	0,87	0,87	0
1,45	1,45	1,45	1,45	0	1	1,28	1,28	1,28	1,28	1,28	0
0	0	0	0	0	0	0	0	0	0	0	0
2,78	2,78	2,78	2,78	0	1	2,23	2,23	2,23	2,23	2,23	0
0,6	0,6	0,6	0,6	0	1	0,65	0,65	0,65	0,65	0,65	0
0,15	0,15	0,15	0,15	0	1	0,48	0,48	0,48	0,48	0,48	0
1,5	1,5	1,5	1,5	0	1	0,93	0,93	0,93	0,93	0,93	0
2,12	2,12	2,12	2,12	0	1	1,62	1,62	1,62	1,62	1,62	0
0,72	0,72	0,72	0,72	0	0	0	0	0	0	0	0
5,96	5,96	5,96	5,96	0	1	4,98	4,98	4,98	4,98	4,98	0
0,73	0,73	0,73	0,73	0	1	0,6	0,6	0,6	0,6	0,6	0
0	0	0	0	0	0	0	0	0	0	0	0
3,91	3,91	3,91	3,91	0	1	4,3	4,3	4,3	4,3	4,3	0
0	0	0	0	0	0	0	0	0	0	0	0
0	0	0	0	0	0	0	0	0	0	0	0
1,5	1,5	1,5	1,5	0	1	3,48	3,48	3,48	3,48	3,48	0
5,96	0,15	22,79	1,45	1,65	13	1,82	4,98	0,48	23,68	1,28	1,49

Total Fixation Duration_dn02_NYT port_1_1.JPG_Recta ngle 13_N	Total Fixation Duration_dn02_NYT port_1_1.JPG_Recta ngle 13_Mean	Total Fixation Duration_dn02_NYT port_1_1.JPG_Recta ngle 13_Max	Total Fixation Duration_dn02_NYT port_1_1.JPG_Recta ngle 13_Min	Total Fixation Duration_dn02_NYT port_1_1.JPG_Recta ngle 13_Sum	Total Fixation Duration_dn02_NYT port_1_1.JPG_Recta ngle 13_Median	Total Fixation Duration_dn02_NYT port_1_1.JPG_Recta ngle 13_Stdev	Total Fixation Duration_dn02_NYT port_1_1.JPG_Recta ngle 14_N	Total Fixation Duration_dn02_NYT port_1_1.JPG_Recta ngle 14_Mean	Total Fixation Duration_dn02_NYT port_1_1.JPG_Recta ngle 14_Max	Total Fixation Duration_dn02_NYT port_1_1.JPG_Recta ngle 14_Min	Total Fixation Duration_dn02_NYT port_1_1.JPG_Recta ngle 14_Sum
1	0,17	0,17	0,17	0,17	0,17	0	1	1,16	1,16	1,16	1,16
1	1,7	1,7	1,7	1,7	1,7	0	1	4,55	4,55	4,55	4,55
1	0,95	0,95	0,95	0,95	0,95	0	1	1,9	1,9	1,9	1,9
1	2,05	2,05	2,05	2,05	2,05	0	1	1,08	1,08	1,08	1,08
0	0	0	0	0	0	0	0	0	0	0	0
1	2,4	2,4	2,4	2,4	2,4	0	1	4,95	4,95	4,95	4,95
1	1,62	1,62	1,62	1,62	1,62	0	1	0,95	0,95	0,95	0,95
0	0	0	0	0	0	0	1	0,8	0,8	0,8	0,8
1	0,68	0,68	0,68	0,68	0,68	0	1	0,33	0,33	0,33	0,33
1	1,23	1,23	1,23	1,23	1,23	0	1	0,6	0,6	0,6	0,6
0	0	0	0	0	0	0	1	2,98	2,98	2,98	2,98
1	0,41	0,41	0,41	0,41	0,41	0	0	0	0	0	0
1	0,45	0,45	0,45	0,45	0,45	0	1	0,2	0,2	0,2	0,2
1	2,02	2,02	2,02	2,02	2,02	0	1	1,5	1,5	1,5	1,5
1	2,81	2,81	2,81	2,81	2,81	0	1	6,01	6,01	6,01	6,01
1	0,29	0,29	0,29	0,29	0,29	0	0	0	0	0	0
0	0	0	0	0	0	0	1	0,2	0,2	0,2	0,2
1	2,86	2,86	2,86	2,86	2,86	0	1	3,55	3,55	3,55	3,55
14	1,4	2,86	0,17	19,63	1,42	0,94	15	2,05	6,01	0,2	30,76

Total Fixation Duration_dn02_NYT port_1_1.JPG_Recta ngle 14_Median	Total Fixation Duration_dn02_NYT port_1_1.JPG_Recta ngle 14_Stdev	Total Fixation Duration_dn02_NYT port_1_1.JPG_Recta ngle 15_N	Total Fixation Duration_dn02_NYT port_1_1.JPG_Recta ngle 15_Mean	Total Fixation Duration_dn02_NYT port_1_1.JPG_Recta ngle 15_Max	Total Fixation Duration_dn02_NYT port_1_1.JPG_Recta ngle 15_Min	Total Fixation Duration_dn02_NYT port_1_1.JPG_Recta ngle 15_Sum	Total Fixation Duration_dn02_NYT port_1_1.JPG_Recta ngle 15_Median	Total Fixation Duration_dn02_NYT port_1_1.JPG_Recta ngle 15_Stdev	Total Fixation Duration_dn02_NYT port_1_1.JPG_Recta ngle 16_N	Total Fixation Duration_dn02_NYT port_1_1.JPG_Recta ngle 16_Mean	Total Fixation Duration_dn02_NYT port_1_1.JPG_Recta ngle 16_Max
1,16	0	0	0	0	0	0	0	0	0	0	0
4,55	0	1	1,7	1,7	1,7	1,7	1,7	0	0	0	0
1,9	0	1	0,2	0,2	0,2	0,2	0,2	0	0	0	0
1,08	0	0	0	0	0	0	0	0	0	0	0
0	0	0	0	0	0	0	0	0	1	1,52	1,52
4,95	0	0	0	0	0	0	0	0	0	0	0
0,95	0	0	0	0	0	0	0	0	0	0	0
0,8	0	0	0	0	0	0	0	0	0	0	0
0,33	0	0	0	0	0	0	0	0	0	0	0
0,6	0	0	0	0	0	0	0	0	0	0	0
2,98	0	1	1,15	1,15	1,15	1,15	1,15	0	0	0	0
0	0	0	0	0	0	0	0	0	0	0	0
0,2	0	0	0	0	0	0	0	0	0	0	0
1,5	0	0	0	0	0	0	0	0	0	0	0
6,01	0	0	0	0	0	0	0	0	0	0	0
0	0	0	0	0	0	0	0	0	0	0	0
0,2	0	0	0	0	0	0	0	0	0	0	0
3,55	0	0	0	0	0	0	0	0	0	0	0
1,16	1,89	3	1,02	1,7	0,2	3,05	1,15	0,76	1	1,52	1,52

Total Fixation Duration_dn02_NYT port_1_1.JPG_Recta ngle 16_Min	Total Fixation Duration_dn02_NYT port_1_1.JPG_Recta ngle 16_Sum	Total Fixation Duration_dn02_NYT port_1_1.JPG_Recta ngle 16_Median	Total Fixation Duration_dn02_NYT port_1_1.JPG_Recta ngle 16_Stdev	Total Fixation Duration_dn02_NYT port_1_1.JPG_Recta ngle 17_N	Total Fixation Duration_dn02_NYT port_1_1.JPG_Recta ngle 17_Mean	Total Fixation Duration_dn02_NYT port_1_1.JPG_Recta ngle 17_Max	Total Fixation Duration_dn02_NYT port_1_1.JPG_Recta ngle 17_Min	Total Fixation Duration_dn02_NYT port_1_1.JPG_Recta ngle 17_Sum	Total Fixation Duration_dn02_NYT port_1_1.JPG_Recta ngle 17_Median	Total Fixation Duration_dn02_NYT port_1_1.JPG_Recta ngle 17_Stdev	Total Fixation Duration_dn02_NYT port_1_1.JPG_Recta ngle 18_N
0	0	0	0	0	0	0	0	0	0	0	0
0	0	0	0	0	0	0	0	0	0	0	0
0	0	0	0	0	0	0	0	0	0	0	0
0	0	0	0	0	0	0	0	0	0	0	0
1,52	1,52	1,52	0	0	0	0	0	0	0	0	0
0	0	0	0	0	0	0	0	0	0	0	0
0	0	0	0	0	0	0	0	0	0	0	0
0	0	0	0	0	0	0	0	0	0	0	1
0	0	0	0	0	0	0	0	0	0	0	1
0	0	0	0	0	0	0	0	0	0	0	0
0	0	0	0	0	0	0	0	0	0	0	0
0	0	0	0	0	0	0	0	0	0	0	0
0	0	0	0	0	0	0	0	0	0	0	0
0	0	0	0	0	0	0	0	0	0	0	0
0	0	0	0	0	0	0	0	0	0	0	0
0	0	0	0	0	0	0	0	0	0	0	0
0	0	0	0	0	0	0	0	0	0	0	0
0	0	0	0	0	0	0	0	0	0	0	1
1,52	1,52	1,52	0	0	0	0	0	0	0	0	3

Total Fixation Duration_dn02_NYT port_1_1.JPG_Recta ngle 18_Mean	Total Fixation Duration_dn02_NYT port_1_1.JPG_Recta ngle 18_Max	Total Fixation Duration_dn02_NYT port_1_1.JPG_Recta ngle 18_Min	Total Fixation Duration_dn02_NYT port_1_1.JPG_Recta ngle 18_Sum	Total Fixation Duration_dn02_NYT port_1_1.JPG_Recta ngle 18_Median	Total Fixation Duration_dn02_NYT port_1_1.JPG_Recta ngle 18_Stdev	Total Fixation Duration_dn02_NYT port_1_1.JPG_Recta ngle 19_N	Total Fixation Duration_dn02_NYT port_1_1.JPG_Recta ngle 19_Mean	Total Fixation Duration_dn02_NYT port_1_1.JPG_Recta ngle 19_Max	Total Fixation Duration_dn02_NYT port_1_1.JPG_Recta ngle 19_Min	Total Fixation Duration_dn02_NYT port_1_1.JPG_Recta ngle 19_Sum	Total Fixation Duration_dn02_NYT port_1_1.JPG_Recta ngle 19_Median
0	0	0	0	0	0	0	0	0	0	0	0
0	0	0	0	0	0	0	0	0	0	0	0
0	0	0	0	0	0	0	0	0	0	0	0
0	0	0	0	0	0	0	0	0	0	0	0
0	0	0	0	0	0	1	0,32	0,32	0,32	0,32	0,32
0	0	0	0	0	0	0	0	0	0	0	0
0	0	0	0	0	0	0	0	0	0	0	0
0,45	0,45	0,45	0,45	0,45	0	0	0	0	0	0	0
0,28	0,28	0,28	0,28	0,28	0	1	0,52	0,52	0,52	0,52	0,52
0	0	0	0	0	0	0	0	0	0	0	0
0	0	0	0	0	0	1	0,62	0,62	0,62	0,62	0,62
0	0	0	0	0	0	0	0	0	0	0	0
0	0	0	0	0	0	0	0	0	0	0	0
0	0	0	0	0	0	0	0	0	0	0	0
0	0	0	0	0	0	0	0	0	0	0	0
0	0	0	0	0	0	0	0	0	0	0	0
0	0	0	0	0	0	1	0,18	0,18	0,18	0,18	0,18
0,78	0,78	0,78	0,78	0,78	0	0	0	0	0	0	0
0,51	0,78	0,28	1,52	0,45	0,25	4	0,41	0,62	0,18	1,63	0,42

Total Fixation Duration_dn02_NYT port_1_1.JPG_Recta ngle 19_Stdev	Total Fixation Duration_dn02_NYT port_1_1.JPG_Recta ngle 2_N	Total Fixation Duration_dn02_NYT port_1_1.JPG_Recta ngle 2_Mean	Total Fixation Duration_dn02_NYT port_1_1.JPG_Recta ngle 2_Max	Total Fixation Duration_dn02_NYT port_1_1.JPG_Recta ngle 2_Min	Total Fixation Duration_dn02_NYT port_1_1.JPG_Recta ngle 2_Sum	Total Fixation Duration_dn02_NYT port_1_1.JPG_Recta ngle 2_Median	Total Fixation Duration_dn02_NYT port_1_1.JPG_Recta ngle 2_Stdev	Total Fixation Duration_dn02_NYT port_1_1.JPG_Recta ngle 20_N	Total Fixation Duration_dn02_NYT port_1_1.JPG_Recta ngle 20_Mean	Total Fixation Duration_dn02_NYT port_1_1.JPG_Recta ngle 20_Max	Total Fixation Duration_dn02_NYT port_1_1.JPG_Recta ngle 20_Min
0	0	0	0	0	0	0	0	0	0	0	0
0	1	1,8	1,8	1,8	1,8	1,8	0	0	0	0	0
0	0	0	0	0	0	0	0	0	0	0	0
0	0	0	0	0	0	0	0	0	0	0	0
0	1	0,4	0,4	0,4	0,4	0,4	0	1	0,45	0,45	0,45
0	1	0,88	0,88	0,88	0,88	0,88	0	0	0	0	0
0	1	0,42	0,42	0,42	0,42	0,42	0	0	0	0	0
0	1	0,43	0,43	0,43	0,43	0,43	0	1	0,18	0,18	0,18
0	1	1,5	1,5	1,5	1,5	1,5	0	1	0,07	0,07	0,07
0	1	0,12	0,12	0,12	0,12	0,12	0	0	0	0	0
0	1	0,48	0,48	0,48	0,48	0,48	0	1	0,2	0,2	0,2
0	1	0,6	0,6	0,6	0,6	0,6	0	0	0	0	0
0	1	0,28	0,28	0,28	0,28	0,28	0	0	0	0	0
0	1	0,37	0,37	0,37	0,37	0,37	0	0	0	0	0
0	1	0,15	0,15	0,15	0,15	0,15	0	0	0	0	0
0	1	0,45	0,45	0,45	0,45	0,45	0	0	0	0	0
0	1	1,75	1,75	1,75	1,75	1,75	0	0	0	0	0
0	1	1,83	1,83	1,83	1,83	1,83	0	1	0,22	0,22	0,22
0,19	15	0,76	1,83	0,12	11,46	0,45	0,63	5	0,22	0,45	0,07

Total Fixation Duration_dn02_NYT port_1_1.JPG_Recta ngle 20_Sum	Total Fixation Duration_dn02_NYT port_1_1.JPG_Recta ngle 20_Median	Total Fixation Duration_dn02_NYT port_1_1.JPG_Recta ngle 20_Stdev	Total Fixation Duration_dn02_NYT port_1_1.JPG_Recta ngle 21_N	Total Fixation Duration_dn02_NYT port_1_1.JPG_Recta ngle 21_Mean	Total Fixation Duration_dn02_NYT port_1_1.JPG_Recta ngle 21_Max	Total Fixation Duration_dn02_NYT port_1_1.JPG_Recta ngle 21_Min	Total Fixation Duration_dn02_NYT port_1_1.JPG_Recta ngle 21_Sum	Total Fixation Duration_dn02_NYT port_1_1.JPG_Recta ngle 21_Median	Total Fixation Duration_dn02_NYT port_1_1.JPG_Recta ngle 21_Stdev	Total Fixation Duration_dn02_NYT port_1_1.JPG_Recta ngle 22_N	Total Fixation Duration_dn02_NYT port_1_1.JPG_Recta ngle 22_Mean
0	0	0	0	0	0	0	0	0	0	0	0
0	0	0	0	0	0	0	0	0	0	0	0
0	0	0	0	0	0	0	0	0	0	0	0
0	0	0	0	0	0	0	0	0	0	0	0
0,45	0,45	0	1	0,8	0,8	0,8	0,8	0,8	0	1	0,43
0	0	0	0	0	0	0	0	0	0	0	0
0	0	0	0	0	0	0	0	0	0	0	0
0,18	0,18	0	1	0,18	0,18	0,18	0,18	0,18	0	1	0,13
0,07	0,07	0	0	0	0	0	0	0	0	0	0
0	0	0	0	0	0	0	0	0	0	0	0
0,2	0,2	0	0	0	0	0	0	0	0	1	0,63
0	0	0	0	0	0	0	0	0	0	0	0
0	0	0	0	0	0	0	0	0	0	0	0
0	0	0	0	0	0	0	0	0	0	0	0
0	0	0	0	0	0	0	0	0	0	0	0
0	0	0	1	0,08	0,08	0,08	0,08	0,08	0	1	0,27
0,22	0,22	0	0	0	0	0	0	0	0	1	0,27
1,12	0,2	0,14	3	0,36	0,8	0,08	1,07	0,18	0,39	5	0,35

Total Fixation Duration_dn02_NYT port_1_1.JPG_Recta ngle 22_Max	Total Fixation Duration_dn02_NYT port_1_1.JPG_Recta ngle 22_Min	Total Fixation Duration_dn02_NYT port_1_1.JPG_Recta ngle 22_Sum	Total Fixation Duration_dn02_NYT port_1_1.JPG_Recta ngle 22_Median	Total Fixation Duration_dn02_NYT port_1_1.JPG_Recta ngle 22_Stdev	Total Fixation Duration_dn02_NYT port_1_1.JPG_Recta ngle 3_N	Total Fixation Duration_dn02_NYT port_1_1.JPG_Recta ngle 3_Mean	Total Fixation Duration_dn02_NYT port_1_1.JPG_Recta ngle 3_Max	Total Fixation Duration_dn02_NYT port_1_1.JPG_Recta ngle 3_Min	Total Fixation Duration_dn02_NYT port_1_1.JPG_Recta ngle 3_Sum	Total Fixation Duration_dn02_NYT port_1_1.JPG_Recta ngle 3_Median	Total Fixation Duration_dn02_NYT port_1_1.JPG_Recta ngle 3_Stdev
0	0	0	0	0	1	2,85	2,85	2,85	2,85	2,85	0
0	0	0	0	0	0	0	0	0	0	0	0
0	0	0	0	0	0	0	0	0	0	0	0
0	0	0	0	0	0	0	0	0	0	0	0
0,43	0,43	0,43	0,43	0	1	1,08	1,08	1,08	1,08	1,08	0
0	0	0	0	0	1	3,85	3,85	3,85	3,85	3,85	0
0	0	0	0	0	1	0,66	0,66	0,66	0,66	0,66	0
0,13	0,13	0,13	0,13	0	1	2,18	2,18	2,18	2,18	2,18	0
0	0	0	0	0	1	1,55	1,55	1,55	1,55	1,55	0
0	0	0	0	0	1	1,28	1,28	1,28	1,28	1,28	0
0,63	0,63	0,63	0,63	0	1	2,15	2,15	2,15	2,15	2,15	0
0	0	0	0	0	1	3,75	3,75	3,75	3,75	3,75	0
0	0	0	0	0	1	0,08	0,08	0,08	0,08	0,08	0
0	0	0	0	0	1	1,4	1,4	1,4	1,4	1,4	0
0	0	0	0	0	1	1,53	1,53	1,53	1,53	1,53	0
0	0	0	0	0	1	2,26	2,26	2,26	2,26	2,26	0
0,27	0,27	0,27	0,27	0	1	1,33	1,33	1,33	1,33	1,33	0
0,27	0,27	0,27	0,27	0	1	3,11	3,11	3,11	3,11	3,11	0
0,63	0,13	1,73	0,27	0,19	15	1,94	3,85	0,08	29,07	1,55	1,09

Total Fixation Duration_dn02_NYT port_1_1.JPG_Recta ngle 4_N	Total Fixation Duration_dn02_NYT port_1_1.JPG_Recta ngle 4_Mean	Total Fixation Duration_dn02_NYT port_1_1.JPG_Recta ngle 4_Max	Total Fixation Duration_dn02_NYT port_1_1.JPG_Recta ngle 4_Min	Total Fixation Duration_dn02_NYT port_1_1.JPG_Recta ngle 4_Sum	Total Fixation Duration_dn02_NYT port_1_1.JPG_Recta ngle 4_Median	Total Fixation Duration_dn02_NYT port_1_1.JPG_Recta ngle 4_Stdev	Total Fixation Duration_dn02_NYT port_1_1.JPG_Recta ngle 5_N	Total Fixation Duration_dn02_NYT port_1_1.JPG_Recta ngle 5_Mean	Total Fixation Duration_dn02_NYT port_1_1.JPG_Recta ngle 5_Max	Total Fixation Duration_dn02_NYT port_1_1.JPG_Recta ngle 5_Min	Total Fixation Duration_dn02_NYT port_1_1.JPG_Recta ngle 5_Sum
0	0	0	0	0	0	0	0	0	0	0	0
1	0,3	0,3	0,3	0,3	0,3	0	0	0	0	0	0
1	0,2	0,2	0,2	0,2	0,2	0	0	0	0	0	0
0	0	0	0	0	0	0	0	0	0	0	0
0	0	0	0	0	0	0	0	0	0	0	0
1	0,2	0,2	0,2	0,2	0,2	0	1	0,58	0,58	0,58	0,58
1	0,3	0,3	0,3	0,3	0,3	0	1	0,53	0,53	0,53	0,53
1	0,3	0,3	0,3	0,3	0,3	0	1	0,63	0,63	0,63	0,63
1	0,47	0,47	0,47	0,47	0,47	0	0	0	0	0	0
0	0	0	0	0	0	0	1	0,62	0,62	0,62	0,62
0	0	0	0	0	0	0	0	0	0	0	0
1	0,17	0,17	0,17	0,17	0,17	0	1	2,87	2,87	2,87	2,87
1	0,4	0,4	0,4	0,4	0,4	0	1	0,92	0,92	0,92	0,92
1	0,1	0,1	0,1	0,1	0,1	0	1	0,2	0,2	0,2	0,2
0	0	0	0	0	0	0	1	0,77	0,77	0,77	0,77
0	0	0	0	0	0	0	1	0,35	0,35	0,35	0,35
1	0,53	0,53	0,53	0,53	0,53	0	0	0	0	0	0
1	0,47	0,47	0,47	0,47	0,47	0	1	3	3	3	3
11	0,31	0,53	0,1	3,43	0,3	0,14	10	1,05	3	0,2	10,47

Total Fixation Duration_dn02_NYT port_1_1.JPG_Recta ngle 5_Median	Total Fixation Duration_dn02_NYT port_1_1.JPG_Recta ngle 5_Stdev	Total Fixation Duration_dn02_NYT port_1_1.JPG_Recta ngle 6_N	Total Fixation Duration_dn02_NYT port_1_1.JPG_Recta ngle 6_Mean	Total Fixation Duration_dn02_NYT port_1_1.JPG_Recta ngle 6_Max	Total Fixation Duration_dn02_NYT port_1_1.JPG_Recta ngle 6_Min	Total Fixation Duration_dn02_NYT port_1_1.JPG_Recta ngle 6_Sum	Total Fixation Duration_dn02_NYT port_1_1.JPG_Recta ngle 6_Median	Total Fixation Duration_dn02_NYT port_1_1.JPG_Recta ngle 6_Stdev	Total Fixation Duration_dn02_NYT port_1_1.JPG_Recta ngle 7_N	Total Fixation Duration_dn02_NYT port_1_1.JPG_Recta ngle 7_Mean	Total Fixation Duration_dn02_NYT port_1_1.JPG_Recta ngle 7_Max
0	0	1	1	1	1	1	1	0	0	0	0
0	0	1	0,18	0,18	0,18	0,18	0,18	0	0	0	0
0	0	1	0,13	0,13	0,13	0,13	0,13	0	1	0,67	0,67
0	0	1	1,77	1,77	1,77	1,77	1,77	0	1	0,47	0,47
0	0	0	0	0	0	0	0	0	1	0,08	0,08
0,58	0	0	0	0	0	0	0	0	1	0,52	0,52
0,53	0	0	0	0	0	0	0	0	1	0,22	0,22
0,63	0	1	0,7	0,7	0,7	0,7	0,7	0	0	0	0
0	0	1	0,72	0,72	0,72	0,72	0,72	0	1	0,25	0,25
0,62	0	1	6,59	6,59	6,59	6,59	6,59	0	1	0,3	0,3
0	0	1	0,93	0,93	0,93	0,93	0,93	0	0	0	0
2,87	0	0	0	0	0	0	0	0	1	0,13	0,13
0,92	0	1	5,81	5,81	5,81	5,81	5,81	0	0	0	0
0,2	0	1	0,12	0,12	0,12	0,12	0,12	0	1	0,2	0,2
0,77	0	0	0	0	0	0	0	0	1	0,65	0,65
0,35	0	0	0	0	0	0	0	0	1	0,15	0,15
0	0	0	0	0	0	0	0	0	1	0,55	0,55
3	0	1	0,12	0,12	0,12	0,12	0,12	0	1	0,33	0,33
0,62	1,02	11	1,64	6,59	0,12	18,07	0,72	2,32	13	0,35	0,67

Total Fixation Duration_dn02_NYT port_1_1.JPG_Recta ngle 7_Min	Total Fixation Duration_dn02_NYT port_1_1.JPG_Recta ngle 7_Sum	Total Fixation Duration_dn02_NYT port_1_1.JPG_Recta ngle 7_Median	Total Fixation Duration_dn02_NYT port_1_1.JPG_Recta ngle 7_Stdev	Total Fixation Duration_dn02_NYT port_1_1.JPG_Recta ngle 8_N	Total Fixation Duration_dn02_NYT port_1_1.JPG_Recta ngle 8_Mean	Total Fixation Duration_dn02_NYT port_1_1.JPG_Recta ngle 8_Max	Total Fixation Duration_dn02_NYT port_1_1.JPG_Recta ngle 8_Min	Total Fixation Duration_dn02_NYT port_1_1.JPG_Recta ngle 8_Sum	Total Fixation Duration_dn02_NYT port_1_1.JPG_Recta ngle 8_Median	Total Fixation Duration_dn02_NYT port_1_1.JPG_Recta ngle 8_Stdev	Total Fixation Duration_dn02_NYT port_1_1.JPG_Recta ngle 9_N
0	0	0	0	0	0	0	0	0	0	0	1
0	0	0	0	1	0,62	0,62	0,62	0,62	0,62	0	1
0,67	0,67	0,67	0	0	0	0	0	0	0	0	1
0,47	0,47	0,47	0	1	0,57	0,57	0,57	0,57	0,57	0	1
0,08	0,08	0,08	0	0	0	0	0	0	0	0	0
0,52	0,52	0,52	0	1	2,22	2,22	2,22	2,22	2,22	0	1
0,22	0,22	0,22	0	1	0,92	0,92	0,92	0,92	0,92	0	1
0	0	0	0	1	0,48	0,48	0,48	0,48	0,48	0	0
0,25	0,25	0,25	0	1	0,22	0,22	0,22	0,22	0,22	0	1
0,3	0,3	0,3	0	1	2,76	2,76	2,76	2,76	2,76	0	1
0	0	0	0	1	0,22	0,22	0,22	0,22	0,22	0	1
0,13	0,13	0,13	0	1	2,38	2,38	2,38	2,38	2,38	0	1
0	0	0	0	1	1,77	1,77	1,77	1,77	1,77	0	1
0,2	0,2	0,2	0	1	0,22	0,22	0,22	0,22	0,22	0	1
0,65	0,65	0,65	0	1	2,15	2,15	2,15	2,15	2,15	0	1
0,15	0,15	0,15	0	0	0	0	0	0	0	0	0
0,55	0,55	0,55	0	0	0	0	0	0	0	0	1
0,33	0,33	0,33	0	1	0,28	0,28	0,28	0,28	0,28	0	1
0,08	4,51	0,3	0,2	13	1,14	2,76	0,22	14,79	0,62	0,96	15

Total Fixation Duration_dn02_NYT port_1_1.JPG_Recta ngle_9_Mean	Total Fixation Duration_dn02_NYT port_1_1.JPG_Recta ngle_9_Max	Total Fixation Duration_dn02_NYT port_1_1.JPG_Recta ngle_9_Min	Total Fixation Duration_dn02_NYT port_1_1.JPG_Recta ngle_9_Sum	Total Fixation Duration_dn02_NYT port_1_1.JPG_Recta ngle_9_Median	Total Fixation Duration_dn02_NYT port_1_1.JPG_Recta ngle_9_Stdev
0,85	0,85	0,85	0,85	0,85	0
1,6	1,6	1,6	1,6	1,6	0
0,48	0,48	0,48	0,48	0,48	0
6,64	6,64	6,64	6,64	6,64	0
0	0	0	0	0	0
1,52	1,52	1,52	1,52	1,52	0
8,59	8,59	8,59	8,59	8,59	0
0	0	0	0	0	0
1,03	1,03	1,03	1,03	1,03	0
1,6	1,6	1,6	1,6	1,6	0
9,89	9,89	9,89	9,89	9,89	0
0,85	0,85	0,85	0,85	0,85	0
9,39	9,39	9,39	9,39	9,39	0
1,98	1,98	1,98	1,98	1,98	0
1,87	1,87	1,87	1,87	1,87	0
0	0	0	0	0	0
0,18	0,18	0,18	0,18	0,18	0
0,11	0,11	0,11	0,11	0,11	0
3,11	9,89	0,11	46,59	1,6	3,55

	Total Fixation Duration_dn01_lan d_allinone.jpg_Rect angle_N	Total Fixation Duration_dn01_lan d_allinone.jpg_Rect angle_Mean	Total Fixation Duration_dn01_lan d_allinone.jpg_Rect angle_Max	Total Fixation Duration_dn01_lan d_allinone.jpg_Rect angle_Min	Total Fixation Duration_dn01_lan d_allinone.jpg_Rect angle_Sum	Total Fixation Duration_dn01_lan d_allinone.jpg_Rect angle_Median	Total Fixation Duration_dn01_lan d_allinone.jpg_Rect angle_Stdev	Total Fixation Duration_dn01_lan d_allinone.jpg_Rect angle 10_N	Total Fixation Duration_dn01_lan d_allinone.jpg_Rect angle 10_Mean	Total Fixation Duration_dn01_lan d_allinone.jpg_Rect angle 10_Max	Total Fixation Duration_dn01_lan d_allinone.jpg_Rect angle 10_Min
Rec 01	1	6,48	6,48	6,48	6,48	6,48	0	0	0	0	0
Rec 02	1	0,93	0,93	0,93	0,93	0,93	0	0	0	0	0
Rec 03	1	0,42	0,42	0,42	0,42	0,42	0	1	0,35	0,35	0,35
Rec 04	1	0,77	0,77	0,77	0,77	0,77	0	0	0	0	0
Rec 05	1	0,48	0,48	0,48	0,48	0,48	0	0	0	0	0
Rec 06	1	1,26	1,26	1,26	1,26	1,26	0	1	0,1	0,1	0,1
Rec 07	1	1,4	1,4	1,4	1,4	1,4	0	0	0	0	0
Rec 08	0	0	0	0	0	0	0	0	0	0	0
Rec 10	0	0	0	0	0	0	0	1	0,62	0,62	0,62
Rec 11	1	0,1	0,1	0,1	0,1	0,1	0	1	0,3	0,3	0,3
Rec 12	1	2,48	2,48	2,48	2,48	2,48	0	0	0	0	0
Rec 13	1	0,48	0,48	0,48	0,48	0,48	0	1	0,18	0,18	0,18
Rec 14	1	0,54	0,54	0,54	0,54	0,54	0	0	0	0	0
Rec 15	1	1,45	1,45	1,45	1,45	1,45	0	0	0	0	0
Rec 17	1	0,22	0,22	0,22	0,22	0,22	0	0	0	0	0
Rec 18	0	0	0	0	0	0	0	1	0,35	0,35	0,35
Rec 19	1	0,27	0,27	0,27	0,27	0,27	0	0	0	0	0
All Recordings	14	1,23	6,48	0,1	17,29	0,65	1,64	6	0,32	0,62	0,1

Total Fixation Duration_dn01_lan d_allinone.jpg_Rect angle 10_Sum	Total Fixation Duration_dn01_lan d_allinone.jpg_Rect angle 10_Median	Total Fixation Duration_dn01_lan d_allinone.jpg_Rect angle 10_Stdev	Total Fixation Duration_dn01_lan d_allinone.jpg_Rect angle 11_N	Total Fixation Duration_dn01_lan d_allinone.jpg_Rect angle 11_Mean	Total Fixation Duration_dn01_lan d_allinone.jpg_Rect angle 11_Max	Total Fixation Duration_dn01_lan d_allinone.jpg_Rect angle 11_Min	Total Fixation Duration_dn01_lan d_allinone.jpg_Rect angle 11_Sum	Total Fixation Duration_dn01_lan d_allinone.jpg_Rect angle 11_Median	Total Fixation Duration_dn01_lan d_allinone.jpg_Rect angle 11_Stdev	Total Fixation Duration_dn01_lan d_allinone.jpg_Rect angle 12_N	Total Fixation Duration_dn01_lan d_allinone.jpg_Rect angle 12_Mean
0	0	0	1	0,32	0,32	0,32	0,32	0,32	0	0	0
0	0	0	0	0	0	0	0	0	0	0	0
0,35	0,35	0	1	0,32	0,32	0,32	0,32	0,32	0	0	0
0	0	0	1	0,2	0,2	0,2	0,2	0,2	0	0	0
0	0	0	0	0	0	0	0	0	0	0	0
0,1	0,1	0	0	0	0	0	0	0	0	0	0
0	0	0	0	0	0	0	0	0	0	0	0
0	0	0	1	1,85	1,85	1,85	1,85	1,85	0	0	0
0,62	0,62	0	1	0,23	0,23	0,23	0,23	0,23	0	0	0
0,3	0,3	0	1	0,55	0,55	0,55	0,55	0,55	0	0	0
0	0	0	1	0,18	0,18	0,18	0,18	0,18	0	0	0
0,18	0,18	0	1	0,64	0,64	0,64	0,64	0,64	0	0	0
0	0	0	1	0,28	0,28	0,28	0,28	0,28	0	0	0
0	0	0	1	0,2	0,2	0,2	0,2	0,2	0	0	0
0	0	0	1	0,73	0,73	0,73	0,73	0,73	0	0	0
0,35	0,35	0	0	0	0	0	0	0	0	0	0
0	0	0	1	0,55	0,55	0,55	0,55	0,55	0	0	0
1,9	0,32	0,18	12	0,5	1,85	0,18	6,05	0,32	0,46	0	0

Total Fixation Duration_dn01_lan d_allinone.jpg_Rect angle 12_Max	Total Fixation Duration_dn01_lan d_allinone.jpg_Rect angle 12_Min	Total Fixation Duration_dn01_lan d_allinone.jpg_Rect angle 12_Sum	Total Fixation Duration_dn01_lan d_allinone.jpg_Rect angle 12_Median	Total Fixation Duration_dn01_lan d_allinone.jpg_Rect angle 12_Stdev	Total Fixation Duration_dn01_lan d_allinone.jpg_Rect angle 13_N	Total Fixation Duration_dn01_lan d_allinone.jpg_Rect angle 13_Mean	Total Fixation Duration_dn01_lan d_allinone.jpg_Rect angle 13_Max	Total Fixation Duration_dn01_lan d_allinone.jpg_Rect angle 13_Min	Total Fixation Duration_dn01_lan d_allinone.jpg_Rect angle 13_Sum	Total Fixation Duration_dn01_lan d_allinone.jpg_Rect angle 13_Median	Total Fixation Duration_dn01_lan d_allinone.jpg_Rect angle 13_Stdev
0	0	0	0	0	0	0	0	0	0	0	0
0	0	0	0	0	0	0	0	0	0	0	0
0	0	0	0	0	0	0	0	0	0	0	0
0	0	0	0	0	0	0	0	0	0	0	0
0	0	0	0	0	0	0	0	0	0	0	0
0	0	0	0	0	0	0	0	0	0	0	0
0	0	0	0	0	0	0	0	0	0	0	0
0	0	0	0	0	0	0	0	0	0	0	0
0	0	0	0	0	0	0	0	0	0	0	0
0	0	0	0	0	0	0	0	0	0	0	0
0	0	0	0	0	0	0	0	0	0	0	0
0	0	0	0	0	0	0	0	0	0	0	0
0	0	0	0	0	0	0	0	0	0	0	0
0	0	0	0	0	0	0	0	0	0	0	0
0	0	0	0	0	0	0	0	0	0	0	0
0	0	0	0	0	0	0	0	0	0	0	0
0	0	0	0	0	0	0	0	0	0	0	0
0	0	0	0	0	0	0	0	0	0	0	0
0	0	0	0	0	0	0	0	0	0	0	0
0	0	0	0	0	0	0	0	0	0	0	0
0	0	0	0	0	0	0	0	0	0	0	0

Total Fixation Duration_dn01_lan d_allinone.jpg_Rect angle 14_N	Total Fixation Duration_dn01_lan d_allinone.jpg_Rect angle 14_Mean	Total Fixation Duration_dn01_lan d_allinone.jpg_Rect angle 14_Max	Total Fixation Duration_dn01_lan d_allinone.jpg_Rect angle 14_Min	Total Fixation Duration_dn01_lan d_allinone.jpg_Rect angle 14_Sum	Total Fixation Duration_dn01_lan d_allinone.jpg_Rect angle 14_Median	Total Fixation Duration_dn01_lan d_allinone.jpg_Rect angle 14_Stdev	Total Fixation Duration_dn01_lan d_allinone.jpg_Rect angle 15_N	Total Fixation Duration_dn01_lan d_allinone.jpg_Rect angle 15_Mean	Total Fixation Duration_dn01_lan d_allinone.jpg_Rect angle 15_Max	Total Fixation Duration_dn01_lan d_allinone.jpg_Rect angle 15_Min	Total Fixation Duration_dn01_lan d_allinone.jpg_Rect angle 15_Sum
0	0	0	0	0	0	0	0	0	0	0	0
0	0	0	0	0	0	0	0	0	0	0	0
0	0	0	0	0	0	0	0	0	0	0	0
0	0	0	0	0	0	0	0	0	0	0	0
0	0	0	0	0	0	0	0	0	0	0	0
0	0	0	0	0	0	0	0	0	0	0	0
0	0	0	0	0	0	0	0	0	0	0	0
0	0	0	0	0	0	0	0	0	0	0	0
0	0	0	0	0	0	0	0	0	0	0	0
1	0,35	0,35	0,35	0,35	0,35	0	0	0	0	0	0
0	0	0	0	0	0	0	0	0	0	0	0
0	0	0	0	0	0	0	0	0	0	0	0
0	0	0	0	0	0	0	0	0	0	0	0
0	0	0	0	0	0	0	0	0	0	0	0
0	0	0	0	0	0	0	0	0	0	0	0
0	0	0	0	0	0	0	0	0	0	0	0
0	0	0	0	0	0	0	0	0	0	0	0
0	0	0	0	0	0	0	0	0	0	0	0
0	0	0	0	0	0	0	0	0	0	0	0
0	0	0	0	0	0	0	0	0	0	0	0
1	0,35	0,35	0,35	0,35	0,35	0	0	0	0	0	0

Total Fixation Duration_dn01_lan d_allinone.jpg_Rect angle 15_Median	Total Fixation Duration_dn01_lan d_allinone.jpg_Rect angle 15_Stdev	Total Fixation Duration_dn01_lan d_allinone.jpg_Rect angle 16_N	Total Fixation Duration_dn01_lan d_allinone.jpg_Rect angle 16_Mean	Total Fixation Duration_dn01_lan d_allinone.jpg_Rect angle 16_Max	Total Fixation Duration_dn01_lan d_allinone.jpg_Rect angle 16_Min	Total Fixation Duration_dn01_lan d_allinone.jpg_Rect angle 16_Sum	Total Fixation Duration_dn01_lan d_allinone.jpg_Rect angle 16_Median	Total Fixation Duration_dn01_lan d_allinone.jpg_Rect angle 16_Stdev	Total Fixation Duration_dn01_lan d_allinone.jpg_Rect angle 17_N	Total Fixation Duration_dn01_lan d_allinone.jpg_Rect angle 17_Mean	Total Fixation Duration_dn01_lan d_allinone.jpg_Rect angle 17_Max
0	0	0	0	0	0	0	0	0	0	0	0
0	0	0	0	0	0	0	0	0	0	0	0
0	0	0	0	0	0	0	0	0	0	0	0
0	0	0	0	0	0	0	0	0	0	0	0
0	0	1	0,22	0,22	0,22	0,22	0,22	0	0	0	0
0	0	0	0	0	0	0	0	0	0	0	0
0	0	0	0	0	0	0	0	0	0	0	0
0	0	0	0	0	0	0	0	0	0	0	0
0	0	0	0	0	0	0	0	0	0	0	0
0	0	0	0	0	0	0	0	0	0	0	0
0	0	0	0	0	0	0	0	0	0	0	0
0	0	0	0	0	0	0	0	0	0	0	0
0	0	0	0	0	0	0	0	0	0	0	0
0	0	0	0	0	0	0	0	0	0	0	0
0	0	0	0	0	0	0	0	0	0	0	0
0	0	1	0	0	0	0	0	0	0	0	0
0	0	0	0	0	0	0	0	0	0	0	0
0	0	0	0	0	0	0	0	0	0	0	0
0	0	0	0	0	0	0	0	0	0	0	0
0	0	0	0	0	0	0	0	0	0	0	0
0	0	2	0,11	0,22	0	0,22	0,11	0,15	0	0	0

Total Fixation Duration_dn01_lan d_allinone.jpg_Rect angle 17_Min	Total Fixation Duration_dn01_lan d_allinone.jpg_Rect angle 17_Sum	Total Fixation Duration_dn01_lan d_allinone.jpg_Rect angle 17_Median	Total Fixation Duration_dn01_lan d_allinone.jpg_Rect angle 17_Stdev	Total Fixation Duration_dn01_lan d_allinone.jpg_Rect angle 18_N	Total Fixation Duration_dn01_lan d_allinone.jpg_Rect angle 18_Mean	Total Fixation Duration_dn01_lan d_allinone.jpg_Rect angle 18_Max	Total Fixation Duration_dn01_lan d_allinone.jpg_Rect angle 18_Min	Total Fixation Duration_dn01_lan d_allinone.jpg_Rect angle 18_Sum	Total Fixation Duration_dn01_lan d_allinone.jpg_Rect angle 18_Median	Total Fixation Duration_dn01_lan d_allinone.jpg_Rect angle 18_Stdev	Total Fixation Duration_dn01_lan d_allinone.jpg_Rect angle 19_N
0	0	0	0	0	0	0	0	0	0	0	0
0	0	0	0	1	0,32	0,32	0,32	0,32	0,32	0	1
0	0	0	0	1	0,77	0,77	0,77	0,77	0,77	0	1
0	0	0	0	1	0,15	0,15	0,15	0,15	0,15	0	1
0	0	0	0	1	0,18	0,18	0,18	0,18	0,18	0	1
0	0	0	0	0	0	0	0	0	0	0	1
0	0	0	0	0	0	0	0	0	0	0	1
0	0	0	0	1	0,25	0,25	0,25	0,25	0,25	0	1
0	0	0	0	0	0	0	0	0	0	0	1
0	0	0	0	1	0,23	0,23	0,23	0,23	0,23	0	1
0	0	0	0	1	0,35	0,35	0,35	0,35	0,35	0	1
0	0	0	0	0	0	0	0	0	0	0	0
0	0	0	0	0	0	0	0	0	0	0	1
0	0	0	0	0	0	0	0	0	0	0	0
0	0	0	0	1	0,13	0,13	0,13	0,13	0,13	0	1
0	0	0	0	0	0	0	0	0	0	0	0
0	0	0	0	1	0,17	0,17	0,17	0,17	0,17	0	1
0	0	0	0	9	0,28	0,77	0,13	2,55	0,23	0,2	13

Total Fixation Duration_dn01_lan d_allinone.jpg_Rect angle 19_Mean	Total Fixation Duration_dn01_lan d_allinone.jpg_Rect angle 19_Max	Total Fixation Duration_dn01_lan d_allinone.jpg_Rect angle 19_Min	Total Fixation Duration_dn01_lan d_allinone.jpg_Rect angle 19_Sum	Total Fixation Duration_dn01_lan d_allinone.jpg_Rect angle 19_Median	Total Fixation Duration_dn01_lan d_allinone.jpg_Rect angle 19_Stdev	Total Fixation Duration_dn01_lan d_allinone.jpg_Rect angle 2_N	Total Fixation Duration_dn01_lan d_allinone.jpg_Rect angle 2_Mean	Total Fixation Duration_dn01_lan d_allinone.jpg_Rect angle 2_Max	Total Fixation Duration_dn01_lan d_allinone.jpg_Rect angle 2_Min	Total Fixation Duration_dn01_lan d_allinone.jpg_Rect angle 2_Sum	Total Fixation Duration_dn01_lan d_allinone.jpg_Rect angle 2_Median
0	0	0	0	0	0	1	0,22	0,22	0,22	0,22	0,22
0,83	0,83	0,83	0,83	0,83	0	1	3,27	3,27	3,27	3,27	3,27
4,56	4,56	4,56	4,56	4,56	0	1	1,18	1,18	1,18	1,18	1,18
0,32	0,32	0,32	0,32	0,32	0	1	2,24	2,24	2,24	2,24	2,24
1,95	1,95	1,95	1,95	1,95	0	1	1,78	1,78	1,78	1,78	1,78
0,55	0,55	0,55	0,55	0,55	0	1	1,62	1,62	1,62	1,62	1,62
0,73	0,73	0,73	0,73	0,73	0	1	0,65	0,65	0,65	0,65	0,65
1,02	1,02	1,02	1,02	1,02	0	1	1,02	1,02	1,02	1,02	1,02
0,23	0,23	0,23	0,23	0,23	0	1	1,25	1,25	1,25	1,25	1,25
0,17	0,17	0,17	0,17	0,17	0	1	0,78	0,78	0,78	0,78	0,78
0,17	0,17	0,17	0,17	0,17	0	1	0,95	0,95	0,95	0,95	0,95
0	0	0	0	0	0	1	2,26	2,26	2,26	2,26	2,26
1,25	1,25	1,25	1,25	1,25	0	1	0,75	0,75	0,75	0,75	0,75
0	0	0	0	0	0	1	1,53	1,53	1,53	1,53	1,53
0,27	0,27	0,27	0,27	0,27	0	1	0,32	0,32	0,32	0,32	0,32
0	0	0	0	0	0	1	0,15	0,15	0,15	0,15	0,15
0,5	0,5	0,5	0,5	0,5	0	1	1,75	1,75	1,75	1,75	1,75
0,96	4,56	0,17	12,54	0,55	1,2	17	1,28	3,27	0,15	21,71	1,18

Total Fixation Duration_dn01_lan d_allinone.jpg_Rect angle 2_Stdev	Total Fixation Duration_dn01_lan d_allinone.jpg_Rect angle 20_N	Total Fixation Duration_dn01_lan d_allinone.jpg_Rect angle 20_Mean	Total Fixation Duration_dn01_lan d_allinone.jpg_Rect angle 20_Max	Total Fixation Duration_dn01_lan d_allinone.jpg_Rect angle 20_Min	Total Fixation Duration_dn01_lan d_allinone.jpg_Rect angle 20_Sum	Total Fixation Duration_dn01_lan d_allinone.jpg_Rect angle 20_Median	Total Fixation Duration_dn01_lan d_allinone.jpg_Rect angle 20_Stdev	Total Fixation Duration_dn01_lan d_allinone.jpg_Rect angle 21_N	Total Fixation Duration_dn01_lan d_allinone.jpg_Rect angle 21_Mean	Total Fixation Duration_dn01_lan d_allinone.jpg_Rect angle 21_Max	Total Fixation Duration_dn01_lan d_allinone.jpg_Rect angle 21_Min
0	0	0	0	0	0	0	0	1	0,08	0,08	0,08
0	0	0	0	0	0	0	0	1	0,83	0,83	0,83
0	0	0	0	0	0	0	0	1	0,45	0,45	0,45
0	1	0,58	0,58	0,58	0,58	0,58	0	1	0,15	0,15	0,15
0	1	0,1	0,1	0,1	0,1	0,1	0	0	0	0	0
0	0	0	0	0	0	0	0	1	0,2	0,2	0,2
0	1	0,58	0,58	0,58	0,58	0,58	0	1	0,12	0,12	0,12
0	0	0	0	0	0	0	0	0	0	0	0
0	0	0	0	0	0	0	0	0	0	0	0
0	0	0	0	0	0	0	0	0	0	0	0
0	1	0,35	0,35	0,35	0,35	0,35	0	1	0,57	0,57	0,57
0	0	0	0	0	0	0	0	0	0	0	0
0	0	0	0	0	0	0	0	1	0,2	0,2	0,2
0	0	0	0	0	0	0	0	0	0	0	0
0	0	0	0	0	0	0	0	1	0,18	0,18	0,18
0	0	0	0	0	0	0	0	0	0	0	0
0	0	0	0	0	0	0	0	1	0,15	0,15	0,15
0,83	4	0,4	0,58	0,1	1,62	0,47	0,23	10	0,29	0,83	0,08

Total Fixation Duration_dn01_lan d_allinone.jpg_Rect angle 21_Sum	Total Fixation Duration_dn01_lan d_allinone.jpg_Rect angle 21_Median	Total Fixation Duration_dn01_lan d_allinone.jpg_Rect angle 21_Stdev	Total Fixation Duration_dn01_lan d_allinone.jpg_Rect angle 22_N	Total Fixation Duration_dn01_lan d_allinone.jpg_Rect angle 22_Mean	Total Fixation Duration_dn01_lan d_allinone.jpg_Rect angle 22_Max	Total Fixation Duration_dn01_lan d_allinone.jpg_Rect angle 22_Min	Total Fixation Duration_dn01_lan d_allinone.jpg_Rect angle 22_Sum	Total Fixation Duration_dn01_lan d_allinone.jpg_Rect angle 22_Median	Total Fixation Duration_dn01_lan d_allinone.jpg_Rect angle 22_Stdev	Total Fixation Duration_dn01_lan d_allinone.jpg_Rect angle 23_N	Total Fixation Duration_dn01_lan d_allinone.jpg_Rect angle 23_Mean
0,08	0,08	0	1	0,1	0,1	0,1	0,1	0,1	0	0	0
0,83	0,83	0	1	1,55	1,55	1,55	1,55	1,55	0	1	0,48
0,45	0,45	0	0	0	0	0	0	0	0	1	0,9
0,15	0,15	0	1	0,5	0,5	0,5	0,5	0,5	0	0	0
0	0	0	1	0,8	0,8	0,8	0,8	0,8	0	0	0
0,2	0,2	0	1	0,12	0,12	0,12	0,12	0,12	0	0	0
0,12	0,12	0	1	0,17	0,17	0,17	0,17	0,17	0	0	0
0	0	0	1	0,18	0,18	0,18	0,18	0,18	0	0	0
0	0	0	1	0,52	0,52	0,52	0,52	0,52	0	0	0
0	0	0	1	0,33	0,33	0,33	0,33	0,33	0	1	0,08
0,57	0,57	0	1	3,01	3,01	3,01	3,01	3,01	0	0	0
0	0	0	1	0,25	0,25	0,25	0,25	0,25	0	0	0
0,2	0,2	0	1	0,72	0,72	0,72	0,72	0,72	0	1	0,15
0	0	0	1	0,7	0,7	0,7	0,7	0,7	0	1	0,2
0,18	0,18	0	1	0,18	0,18	0,18	0,18	0,18	0	1	0,15
0	0	0	0	0	0	0	0	0	0	0	0
0,15	0,15	0	1	0,32	0,32	0,32	0,32	0,32	0	0	0
2,93	0,19	0,24	15	0,63	3,01	0,1	9,44	0,33	0,76	6	0,33

Total Fixation Duration_dn01_lan d_allinone.jpg_Rect angle 23_Max	Total Fixation Duration_dn01_lan d_allinone.jpg_Rect angle 23_Min	Total Fixation Duration_dn01_lan d_allinone.jpg_Rect angle 23_Sum	Total Fixation Duration_dn01_lan d_allinone.jpg_Rect angle 23_Median	Total Fixation Duration_dn01_lan d_allinone.jpg_Rect angle 23_Stdev	Total Fixation Duration_dn01_lan d_allinone.jpg_Rect angle 24_N	Total Fixation Duration_dn01_lan d_allinone.jpg_Rect angle 24_Mean	Total Fixation Duration_dn01_lan d_allinone.jpg_Rect angle 24_Max	Total Fixation Duration_dn01_lan d_allinone.jpg_Rect angle 24_Min	Total Fixation Duration_dn01_lan d_allinone.jpg_Rect angle 24_Sum	Total Fixation Duration_dn01_lan d_allinone.jpg_Rect angle 24_Median	Total Fixation Duration_dn01_lan d_allinone.jpg_Rect angle 24_Stdev
0	0	0	0	0	0	0	0	0	0	0	0
0,48	0,48	0,48	0,48	0	1	2,38	2,38	2,38	2,38	2,38	0
0,9	0,9	0,9	0,9	0	0	0	0	0	0	0	0
0	0	0	0	0	1	0,38	0,38	0,38	0,38	0,38	0
0	0	0	0	0	1	0,27	0,27	0,27	0,27	0,27	0
0	0	0	0	0	1	0,35	0,35	0,35	0,35	0,35	0
0	0	0	0	0	0	0	0	0	0	0	0
0	0	0	0	0	1	1,27	1,27	1,27	1,27	1,27	0
0	0	0	0	0	1	0,7	0,7	0,7	0,7	0,7	0
0,08	0,08	0,08	0,08	0	1	0,48	0,48	0,48	0,48	0,48	0
0	0	0	0	0	1	0,4	0,4	0,4	0,4	0,4	0
0	0	0	0	0	1	0,8	0,8	0,8	0,8	0,8	0
0,15	0,15	0,15	0,15	0	1	0,57	0,57	0,57	0,57	0,57	0
0,2	0,2	0,2	0,2	0	1	0,8	0,8	0,8	0,8	0,8	0
0,15	0,15	0,15	0,15	0	0	0	0	0	0	0	0
0	0	0	0	0	1	0,07	0,07	0,07	0,07	0,07	0
0	0	0	0	0	0	0	0	0	0	0	0
0,9	0,08	1,97	0,17	0,31	12	0,7	2,38	0,07	8,46	0,52	0,61

Total Fixation Duration_dn01_lan d_allinone.jpg_Rect angle 25_N	Total Fixation Duration_dn01_lan d_allinone.jpg_Rect angle 25_Mean	Total Fixation Duration_dn01_lan d_allinone.jpg_Rect angle 25_Max	Total Fixation Duration_dn01_lan d_allinone.jpg_Rect angle 25_Min	Total Fixation Duration_dn01_lan d_allinone.jpg_Rect angle 25_Sum	Total Fixation Duration_dn01_lan d_allinone.jpg_Rect angle 25_Median	Total Fixation Duration_dn01_lan d_allinone.jpg_Rect angle 25_Stdev	Total Fixation Duration_dn01_lan d_allinone.jpg_Rect angle 26_N	Total Fixation Duration_dn01_lan d_allinone.jpg_Rect angle 26_Mean	Total Fixation Duration_dn01_lan d_allinone.jpg_Rect angle 26_Max	Total Fixation Duration_dn01_lan d_allinone.jpg_Rect angle 26_Min	Total Fixation Duration_dn01_lan d_allinone.jpg_Rect angle 26_Sum
0	0	0	0	0	0	0	0	0	0	0	0
0	0	0	0	0	0	0	1	0,15	0,15	0,15	0,15
1	0,34	0,34	0,34	0,34	0,34	0	1	0,88	0,88	0,88	0,88
1	0,44	0,44	0,44	0,44	0,44	0	1	0,35	0,35	0,35	0,35
0	0	0	0	0	0	0	0	0	0	0	0
0	0	0	0	0	0	0	1	0,27	0,27	0,27	0,27
0	0	0	0	0	0	0	0	0	0	0	0
0	0	0	0	0	0	0	1	0,95	0,95	0,95	0,95
1	1,07	1,07	1,07	1,07	1,07	0	0	0	0	0	0
0	0	0	0	0	0	0	1	1,03	1,03	1,03	1,03
0	0	0	0	0	0	0	1	0,38	0,38	0,38	0,38
1	0,18	0,18	0,18	0,18	0,18	0	1	0,45	0,45	0,45	0,45
1	0,17	0,17	0,17	0,17	0,17	0	1	0,52	0,52	0,52	0,52
0	0	0	0	0	0	0	1	0,53	0,53	0,53	0,53
1	0,55	0,55	0,55	0,55	0,55	0	1	1,87	1,87	1,87	1,87
0	0	0	0	0	0	0	1	0,32	0,32	0,32	0,32
0	0	0	0	0	0	0	1	0,22	0,22	0,22	0,22
6	0,46	1,07	0,17	2,74	0,39	0,33	13	0,61	1,87	0,15	7,91

Total Fixation Duration_dn01_lan d_allinone.jpg_Rect angle 26_Median	Total Fixation Duration_dn01_lan d_allinone.jpg_Rect angle 26_Stdev	Total Fixation Duration_dn01_lan d_allinone.jpg_Rect angle 27_N	Total Fixation Duration_dn01_lan d_allinone.jpg_Rect angle 27_Mean	Total Fixation Duration_dn01_lan d_allinone.jpg_Rect angle 27_Max	Total Fixation Duration_dn01_lan d_allinone.jpg_Rect angle 27_Min	Total Fixation Duration_dn01_lan d_allinone.jpg_Rect angle 27_Sum	Total Fixation Duration_dn01_lan d_allinone.jpg_Rect angle 27_Median	Total Fixation Duration_dn01_lan d_allinone.jpg_Rect angle 27_Stdev	Total Fixation Duration_dn01_lan d_allinone.jpg_Rect angle 28_N	Total Fixation Duration_dn01_lan d_allinone.jpg_Rect angle 28_Mean	Total Fixation Duration_dn01_lan d_allinone.jpg_Rect angle 28_Max
0	0	0	0	0	0	0	0	0	0	0	0
0,15	0	0	0	0	0	0	0	0	1	0,42	0,42
0,88	0	0	0	0	0	0	0	0	0	0	0
0,35	0	1	0,33	0,33	0,33	0,33	0,33	0	1	1,87	1,87
0	0	1	0,33	0,33	0,33	0,33	0,33	0	1	0,52	0,52
0,27	0	0	0	0	0	0	0	0	0	0	0
0	0	1	1,4	1,4	1,4	1,4	1,4	0	1	1,38	1,38
0,95	0	0	0	0	0	0	0	0	0	0	0
0	0	1	0,67	0,67	0,67	0,67	0,67	0	1	0,2	0,2
1,03	0	0	0	0	0	0	0	0	0	0	0
0,38	0	0	0	0	0	0	0	0	0	0	0
0,45	0	0	0	0	0	0	0	0	0	0	0
0,52	0	1	1,14	1,14	1,14	1,14	1,14	0	1	0,42	0,42
0,53	0	0	0	0	0	0	0	0	0	0	0
1,87	0	1	0,1	0,1	0,1	0,1	0,1	0	0	0	0
0,32	0	1	0,15	0,15	0,15	0,15	0,15	0	0	0	0
0,22	0	1	0,68	0,68	0,68	0,68	0,68	0	1	0,38	0,38
0,45	0,47	8	0,6	1,4	0,1	4,8	0,5	0,47	7	0,74	1,87

Total Fixation Duration_dn01_lan d_allinone.jpg_Rect angle 28_Min	Total Fixation Duration_dn01_lan d_allinone.jpg_Rect angle 28_Sum	Total Fixation Duration_dn01_lan d_allinone.jpg_Rect angle 28_Median	Total Fixation Duration_dn01_lan d_allinone.jpg_Rect angle 28_Stdev	Total Fixation Duration_dn01_lan d_allinone.jpg_Rect angle 29_N	Total Fixation Duration_dn01_lan d_allinone.jpg_Rect angle 29_Mean	Total Fixation Duration_dn01_lan d_allinone.jpg_Rect angle 29_Max	Total Fixation Duration_dn01_lan d_allinone.jpg_Rect angle 29_Min	Total Fixation Duration_dn01_lan d_allinone.jpg_Rect angle 29_Sum	Total Fixation Duration_dn01_lan d_allinone.jpg_Rect angle 29_Median	Total Fixation Duration_dn01_lan d_allinone.jpg_Rect angle 29_Stdev	Total Fixation Duration_dn01_lan d_allinone.jpg_Rect angle 3_N
0	0	0	0	1	0,35	0,35	0,35	0,35	0,35	0	1
0,42	0,42	0,42	0	1	0,63	0,63	0,63	0,63	0,63	0	1
0	0	0	0	1	0,45	0,45	0,45	0,45	0,45	0	1
1,87	1,87	1,87	0	1	0,43	0,43	0,43	0,43	0,43	0	1
0,52	0,52	0,52	0	1	0,55	0,55	0,55	0,55	0,55	0	1
0	0	0	0	0	0	0	0	0	0	0	1
1,38	1,38	1,38	0	1	0,98	0,98	0,98	0,98	0,98	0	1
0	0	0	0	1	0,53	0,53	0,53	0,53	0,53	0	1
0,2	0,2	0,2	0	1	0,23	0,23	0,23	0,23	0,23	0	1
0	0	0	0	1	0,18	0,18	0,18	0,18	0,18	0	1
0	0	0	0	0	0	0	0	0	0	0	1
0	0	0	0	0	0	0	0	0	0	0	1
0,42	0,42	0,42	0	1	0,17	0,17	0,17	0,17	0,17	0	1
0	0	0	0	0	0	0	0	0	0	0	1
0	0	0	0	0	0	0	0	0	0	0	0
0	0	0	0	0	0	0	0	0	0	0	1
0,38	0,38	0,38	0	0	0	0	0	0	0	0	0
0,2	5,18	0,42	0,63	10	0,45	0,98	0,17	4,51	0,44	0,25	15

Total Fixation Duration_dn01_lan d_allinone.jpg_Rect angle 3_Mean	Total Fixation Duration_dn01_lan d_allinone.jpg_Rect angle 3_Max	Total Fixation Duration_dn01_lan d_allinone.jpg_Rect angle 3_Min	Total Fixation Duration_dn01_lan d_allinone.jpg_Rect angle 3_Sum	Total Fixation Duration_dn01_lan d_allinone.jpg_Rect angle 3_Median	Total Fixation Duration_dn01_lan d_allinone.jpg_Rect angle 3_Stdev	Total Fixation Duration_dn01_lan d_allinone.jpg_Rect angle 30_N	Total Fixation Duration_dn01_lan d_allinone.jpg_Rect angle 30_Mean	Total Fixation Duration_dn01_lan d_allinone.jpg_Rect angle 30_Max	Total Fixation Duration_dn01_lan d_allinone.jpg_Rect angle 30_Min	Total Fixation Duration_dn01_lan d_allinone.jpg_Rect angle 30_Sum	Total Fixation Duration_dn01_lan d_allinone.jpg_Rect angle 30_Median
3,18	3,18	3,18	3,18	3,18	0	0	0	0	0	0	0
0,18	0,18	0,18	0,18	0,18	0	0	0	0	0	0	0
0,15	0,15	0,15	0,15	0,15	0	0	0	0	0	0	0
0,52	0,52	0,52	0,52	0,52	0	1	0,47	0,47	0,47	0,47	0,47
0,37	0,37	0,37	0,37	0,37	0	1	0,2	0,2	0,2	0,2	0,2
0,23	0,23	0,23	0,23	0,23	0	0	0	0	0	0	0
0,43	0,43	0,43	0,43	0,43	0	0	0	0	0	0	0
1,13	1,13	1,13	1,13	1,13	0	0	0	0	0	0	0
0,2	0,2	0,2	0,2	0,2	0	1	0,18	0,18	0,18	0,18	0,18
0,07	0,07	0,07	0,07	0,07	0	0	0	0	0	0	0
3,31	3,31	3,31	3,31	3,31	0	0	0	0	0	0	0
0,5	0,5	0,5	0,5	0,5	0	0	0	0	0	0	0
1,18	1,18	1,18	1,18	1,18	0	0	0	0	0	0	0
0,27	0,27	0,27	0,27	0,27	0	0	0	0	0	0	0
0	0	0	0	0	0	0	0	0	0	0	0
0,25	0,25	0,25	0,25	0,25	0	0	0	0	0	0	0
0	0	0	0	0	0	1	0,45	0,45	0,45	0,45	0,45
0,8	3,31	0,07	11,97	0,37	1,05	4	0,32	0,47	0,18	1,3	0,32

Total Fixation Duration_dn01_lan d_allinone.jpg_Rect angle 30_Stdev	Total Fixation Duration_dn01_lan d_allinone.jpg_Rect angle 31_N	Total Fixation Duration_dn01_lan d_allinone.jpg_Rect angle 31_Mean	Total Fixation Duration_dn01_lan d_allinone.jpg_Rect angle 31_Max	Total Fixation Duration_dn01_lan d_allinone.jpg_Rect angle 31_Min	Total Fixation Duration_dn01_lan d_allinone.jpg_Rect angle 31_Sum	Total Fixation Duration_dn01_lan d_allinone.jpg_Rect angle 31_Median	Total Fixation Duration_dn01_lan d_allinone.jpg_Rect angle 31_Stdev	Total Fixation Duration_dn01_lan d_allinone.jpg_Rect angle 32_N	Total Fixation Duration_dn01_lan d_allinone.jpg_Rect angle 32_Mean	Total Fixation Duration_dn01_lan d_allinone.jpg_Rect angle 32_Max	Total Fixation Duration_dn01_lan d_allinone.jpg_Rect angle 32_Min
0	0	0	0	0	0	0	0	0	0	0	0
0	0	0	0	0	0	0	0	0	0	0	0
0	1	0,15	0,15	0,15	0,15	0,15	0	0	0	0	0
0	0	0	0	0	0	0	0	0	0	0	0
0	0	0	0	0	0	0	0	1	0,2	0,2	0,2
0	0	0	0	0	0	0	0	0	0	0	0
0	1	0,17	0,17	0,17	0,17	0,17	0	1	0,7	0,7	0,7
0	0	0	0	0	0	0	0	0	0	0	0
0	0	0	0	0	0	0	0	0	0	0	0
0	0	0	0	0	0	0	0	1	1,05	1,05	1,05
0	0	0	0	0	0	0	0	0	0	0	0
0	0	0	0	0	0	0	0	0	0	0	0
0	0	0	0	0	0	0	0	0	0	0	0
0	0	0	0	0	0	0	0	0	0	0	0
0	0	0	0	0	0	0	0	0	0	0	0
0	0	0	0	0	0	0	0	0	0	0	0
0	0	0	0	0	0	0	0	0	0	0	0
0	0	0	0	0	0	0	0	0	0	0	0
0	0	0	0	0	0	0	0	0	0	0	0
0,15	2	0,16	0,17	0,15	0,32	0,16	0,01	3	0,65	1,05	0,2

Total Fixation Duration_dn01_lan d_allinone.jpg_Rect angle 32_Sum	Total Fixation Duration_dn01_lan d_allinone.jpg_Rect angle 32_Median	Total Fixation Duration_dn01_lan d_allinone.jpg_Rect angle 32_Stdev	Total Fixation Duration_dn01_lan d_allinone.jpg_Rect angle 4_N	Total Fixation Duration_dn01_lan d_allinone.jpg_Rect angle 4_Mean	Total Fixation Duration_dn01_lan d_allinone.jpg_Rect angle 4_Max	Total Fixation Duration_dn01_lan d_allinone.jpg_Rect angle 4_Min	Total Fixation Duration_dn01_lan d_allinone.jpg_Rect angle 4_Sum	Total Fixation Duration_dn01_lan d_allinone.jpg_Rect angle 4_Median	Total Fixation Duration_dn01_lan d_allinone.jpg_Rect angle 4_Stdev	Total Fixation Duration_dn01_lan d_allinone.jpg_Rect angle 5_N	Total Fixation Duration_dn01_lan d_allinone.jpg_Rect angle 5_Mean
0	0	0	1	0,13	0,13	0,13	0,13	0,13	0	0	0
0	0	0	1	0,23	0,23	0,23	0,23	0,23	0	1	0,06
0	0	0	1	0,43	0,43	0,43	0,43	0,43	0	0	0
0	0	0	1	0,18	0,18	0,18	0,18	0,18	0	0	0
0,2	0,2	0	1	0,38	0,38	0,38	0,38	0,38	0	0	0
0	0	0	0	0	0	0	0	0	0	1	0,01
0,7	0,7	0	1	0,42	0,42	0,42	0,42	0,42	0	0	0
0	0	0	1	0,33	0,33	0,33	0,33	0,33	0	0	0
0	0	0	1	0,72	0,72	0,72	0,72	0,72	0	1	1
1,05	1,05	0	1	0,3	0,3	0,3	0,3	0,3	0	1	0,15
0	0	0	0	0	0	0	0	0	0	0	0
0	0	0	1	2,6	2,6	2,6	2,6	2,6	0	0	0
0	0	0	1	0,78	0,78	0,78	0,78	0,78	0	0	0
0	0	0	0	0	0	0	0	0	0	0	0
0	0	0	1	0,5	0,5	0,5	0,5	0,5	0	1	0,17
0	0	0	0	0	0	0	0	0	0	1	0,2
0	0	0	0	0	0	0	0	0	0	0	0
1,95	0,7	0,43	12	0,58	2,6	0,13	7,01	0,4	0,66	6	0,26

Total Fixation Duration_dn01_lan d_allinone.jpg_Rect angle 5_Max	Total Fixation Duration_dn01_lan d_allinone.jpg_Rect angle 5_Min	Total Fixation Duration_dn01_lan d_allinone.jpg_Rect angle 5_Sum	Total Fixation Duration_dn01_lan d_allinone.jpg_Rect angle 5_Median	Total Fixation Duration_dn01_lan d_allinone.jpg_Rect angle 5_Stdev	Total Fixation Duration_dn01_lan d_allinone.jpg_Rect angle 7_N	Total Fixation Duration_dn01_lan d_allinone.jpg_Rect angle 7_Mean	Total Fixation Duration_dn01_lan d_allinone.jpg_Rect angle 7_Max	Total Fixation Duration_dn01_lan d_allinone.jpg_Rect angle 7_Min	Total Fixation Duration_dn01_lan d_allinone.jpg_Rect angle 7_Sum	Total Fixation Duration_dn01_lan d_allinone.jpg_Rect angle 7_Median	Total Fixation Duration_dn01_lan d_allinone.jpg_Rect angle 7_Stdev
0	0	0	0	0	1	0,17	0,17	0,17	0,17	0,17	0
0,06	0,06	0,06	0,06	0	0	0	0	0	0	0	0
0	0	0	0	0	1	0,93	0,93	0,93	0,93	0,93	0
0	0	0	0	0	1	0,35	0,35	0,35	0,35	0,35	0
0	0	0	0	0	0	0	0	0	0	0	0
0,01	0,01	0,01	0,01	0	1	0,92	0,92	0,92	0,92	0,92	0
0	0	0	0	0	0	0	0	0	0	0	0
0	0	0	0	0	1	0,4	0,4	0,4	0,4	0,4	0
1	1	1	1	0	1	1,78	1,78	1,78	1,78	1,78	0
0,15	0,15	0,15	0,15	0	1	0,45	0,45	0,45	0,45	0,45	0
0	0	0	0	0	0	0	0	0	0	0	0
0	0	0	0	0	1	0,77	0,77	0,77	0,77	0,77	0
0	0	0	0	0	1	1,17	1,17	1,17	1,17	1,17	0
0	0	0	0	0	1	1,28	1,28	1,28	1,28	1,28	0
0,17	0,17	0,17	0,17	0	1	0,22	0,22	0,22	0,22	0,22	0
0,2	0,2	0,2	0,2	0	0	0	0	0	0	0	0
0	0	0	0	0	1	1,1	1,1	1,1	1,1	1,1	0
1	0,01	1,59	0,16	0,37	12	0,79	1,78	0,17	9,53	0,84	0,49

Total Fixation Duration_dn01_lan d_allinone.jpg_Rect angle 8_N	Total Fixation Duration_dn01_lan d_allinone.jpg_Rect angle 8_Mean	Total Fixation Duration_dn01_lan d_allinone.jpg_Rect angle 8_Max	Total Fixation Duration_dn01_lan d_allinone.jpg_Rect angle 8_Min	Total Fixation Duration_dn01_lan d_allinone.jpg_Rect angle 8_Sum	Total Fixation Duration_dn01_lan d_allinone.jpg_Rect angle 8_Median	Total Fixation Duration_dn01_lan d_allinone.jpg_Rect angle 8_Stdev	Total Fixation Duration_dn01_lan d_allinone.jpg_Rect angle 9_N	Total Fixation Duration_dn01_lan d_allinone.jpg_Rect angle 9_Mean	Total Fixation Duration_dn01_lan d_allinone.jpg_Rect angle 9_Max	Total Fixation Duration_dn01_lan d_allinone.jpg_Rect angle 9_Min	Total Fixation Duration_dn01_lan d_allinone.jpg_Rect angle 9_Sum
0	0	0	0	0	0	0	0	0	0	0	0
1	0,13	0,13	0,13	0,13	0,13	0	1	0,13	0,13	0,13	0,13
0	0	0	0	0	0	0	0	0	0	0	0
0	0	0	0	0	0	0	1	0,83	0,83	0,83	0,83
1	0,25	0,25	0,25	0,25	0,25	0	0	0	0	0	0
1	0,08	0,08	0,08	0,08	0,08	0	0	0	0	0	0
1	0,32	0,32	0,32	0,32	0,32	0	1	0,2	0,2	0,2	0,2
1	0,25	0,25	0,25	0,25	0,25	0	1	0,15	0,15	0,15	0,15
1	2,08	2,08	2,08	2,08	2,08	0	0	0	0	0	0
1	0,83	0,83	0,83	0,83	0,83	0	1	0,55	0,55	0,55	0,55
1	0,13	0,13	0,13	0,13	0,13	0	1	0,13	0,13	0,13	0,13
1	1,15	1,15	1,15	1,15	1,15	0	1	0,85	0,85	0,85	0,85
1	1,47	1,47	1,47	1,47	1,47	0	0	0	0	0	0
1	2,31	2,31	2,31	2,31	2,31	0	1	0,17	0,17	0,17	0,17
1	0,67	0,67	0,67	0,67	0,67	0	1	0,1	0,1	0,1	0,1
0	0	0	0	0	0	0	1	0,15	0,15	0,15	0,15
1	0,77	0,77	0,77	0,77	0,77	0	0	0	0	0	0
13	0,8	2,31	0,08	10,44	0,67	0,75	10	0,33	0,85	0,1	3,26

PRILOG 3 A

Rezultati mjerenja i deskriptivna statistika praćenja oka korisnika aplikacije za tablet novine

Total Fixation Duration_dn01_lan d_allinone.jpg_Rect angle 9_Median	Total Fixation Duration_dn01_lan d_allinone.jpg_Rect angle 9_Stdev
0	0
0,13	0
0	0
0,83	0
0	0
0	0
0,2	0
0,15	0
0	0
0,55	0
0,13	0
0,85	0
0	0
0,17	0
0,1	0
0,15	0
0	0
0,16	0,3

	Total Fixation Duration_dn02_lan d_allinone.jpg_Poly gon_N	Total Fixation Duration_dn02_lan d_allinone.jpg_Poly gon_Mean	Total Fixation Duration_dn02_lan d_allinone.jpg_Poly gon_Max	Total Fixation Duration_dn02_lan d_allinone.jpg_Poly gon_Min	Total Fixation Duration_dn02_lan d_allinone.jpg_Poly gon_Sum	Total Fixation Duration_dn02_lan d_allinone.jpg_Poly gon_Median	Total Fixation Duration_dn02_lan d_allinone.jpg_Poly gon_Stdev	Total Fixation Duration_dn02_lan d_allinone.jpg_Rect angle_N	Total Fixation Duration_dn02_lan d_allinone.jpg_Rect angle_Mean	Total Fixation Duration_dn02_lan d_allinone.jpg_Rect angle_Max	Total Fixation Duration_dn02_lan d_allinone.jpg_Rect angle_Min
Rec 01	1	7,73	7,73	7,73	7,73	7,73	0	0	0	0	0
Rec 02	1	2,76	2,76	2,76	2,76	2,76	0	0	0	0	0
Rec 03	0	0	0	0	0	0	0	0	0	0	0
Rec 04	1	1,94	1,94	1,94	1,94	1,94	0	1	1,03	1,03	1,03
Rec 05	1	3,03	3,03	3,03	3,03	3,03	0	1	1,07	1,07	1,07
Rec 06	0	0	0	0	0	0	0	0	0	0	0
Rec 07	1	5,78	5,78	5,78	5,78	5,78	0	1	0,27	0,27	0,27
Rec 08	1	2,43	2,43	2,43	2,43	2,43	0	0	0	0	0
Rec 10	0	0	0	0	0	0	0	0	0	0	0
Rec 11	1	1,83	1,83	1,83	1,83	1,83	0	0	0	0	0
Rec 12	1	1,8	1,8	1,8	1,8	1,8	0	1	0,25	0,25	0,25
Rec 13	1	6,48	6,48	6,48	6,48	6,48	0	0	0	0	0
Rec 14	1	2,65	2,65	2,65	2,65	2,65	0	1	0,65	0,65	0,65
Rec 15	1	1,81	1,81	1,81	1,81	1,81	0	0	0	0	0
Rec 17	1	0,48	0,48	0,48	0,48	0,48	0	0	0	0	0
Rec 18	1	0,08	0,08	0,08	0,08	0,08	0	1	0,17	0,17	0,17
Rec 19	1	1,72	1,72	1,72	1,72	1,72	0	1	0,47	0,47	0,47
All Recordings	14	2,9	7,73	0,08	40,53	2,19	2,22	7	0,56	1,07	0,17

Total Fixation Duration_dn02_lan d_allinone.jpg_Rect angle_Sum	Total Fixation Duration_dn02_lan d_allinone.jpg_Rect angle_Median	Total Fixation Duration_dn02_lan d_allinone.jpg_Rect angle_Stdev	Total Fixation Duration_dn02_lan d_allinone.jpg_Rect angle 10_N	Total Fixation Duration_dn02_lan d_allinone.jpg_Rect angle 10_Mean	Total Fixation Duration_dn02_lan d_allinone.jpg_Rect angle 10_Max	Total Fixation Duration_dn02_lan d_allinone.jpg_Rect angle 10_Min	Total Fixation Duration_dn02_lan d_allinone.jpg_Rect angle 10_Sum	Total Fixation Duration_dn02_lan d_allinone.jpg_Rect angle 10_Median	Total Fixation Duration_dn02_lan d_allinone.jpg_Rect angle 10_Stdev	Total Fixation Duration_dn02_lan d_allinone.jpg_Rect angle 11_N	Total Fixation Duration_dn02_lan d_allinone.jpg_Rect angle 11_Mean
0	0	0	1	0,12	0,12	0,12	0,12	0,12	0	0	0
0	0	0	0	0	0	0	0	0	0	1	0,18
0	0	0	0	0	0	0	0	0	0	0	0
1,03	1,03	0	1	0,52	0,52	0,52	0,52	0,52	0	1	0,52
1,07	1,07	0	1	1,03	1,03	1,03	1,03	1,03	0	1	1,3
0	0	0	0	0	0	0	0	0	0	0	0
0,27	0,27	0	1	0,2	0,2	0,2	0,2	0,2	0	0	0
0	0	0	1	0,57	0,57	0,57	0,57	0,57	0	1	0,82
0	0	0	1	1,77	1,77	1,77	1,77	1,77	0	1	2,55
0	0	0	1	0,68	0,68	0,68	0,68	0,68	0	0	0
0,25	0,25	0	1	0,9	0,9	0,9	0,9	0,9	0	0	0
0	0	0	1	0,22	0,22	0,22	0,22	0,22	0	1	0,42
0,65	0,65	0	1	1,17	1,17	1,17	1,17	1,17	0	1	0,3
0	0	0	1	0,98	0,98	0,98	0,98	0,98	0	1	0,47
0	0	0	1	0,58	0,58	0,58	0,58	0,58	0	1	0,57
0,17	0,17	0	1	0,17	0,17	0,17	0,17	0,17	0	0	0
0,47	0,47	0	1	0,13	0,13	0,13	0,13	0,13	0	1	1,87
3,9	0,47	0,37	14	0,64	1,77	0,12	9,03	0,57	0,48	10	0,9

Total Fixation Duration_dn02_lan d_allinone.jpg_Rect angle 11_Max	Total Fixation Duration_dn02_lan d_allinone.jpg_Rect angle 11_Min	Total Fixation Duration_dn02_lan d_allinone.jpg_Rect angle 11_Sum	Total Fixation Duration_dn02_lan d_allinone.jpg_Rect angle 11_Median	Total Fixation Duration_dn02_lan d_allinone.jpg_Rect angle 11_Stdev	Total Fixation Duration_dn02_lan d_allinone.jpg_Rect angle 12_N	Total Fixation Duration_dn02_lan d_allinone.jpg_Rect angle 12_Mean	Total Fixation Duration_dn02_lan d_allinone.jpg_Rect angle 12_Max	Total Fixation Duration_dn02_lan d_allinone.jpg_Rect angle 12_Min	Total Fixation Duration_dn02_lan d_allinone.jpg_Rect angle 12_Sum	Total Fixation Duration_dn02_lan d_allinone.jpg_Rect angle 12_Median	Total Fixation Duration_dn02_lan d_allinone.jpg_Rect angle 12_Stdev
0	0	0	0	0	0	0	0	0	0	0	0
0,18	0,18	0,18	0,18	0	0	0	0	0	0	0	0
0	0	0	0	0	0	0	0	0	0	0	0
0,52	0,52	0,52	0,52	0	0	0	0	0	0	0	0
1,3	1,3	1,3	1,3	0	0	0	0	0	0	0	0
0	0	0	0	0	0	0	0	0	0	0	0
0	0	0	0	0	0	0	0	0	0	0	0
0,82	0,82	0,82	0,82	0	1	2,08	2,08	2,08	2,08	2,08	0
2,55	2,55	2,55	2,55	0	1	2,45	2,45	2,45	2,45	2,45	0
0	0	0	0	0	0	0	0	0	0	0	0
0	0	0	0	0	0	0	0	0	0	0	0
0,42	0,42	0,42	0,42	0	0	0	0	0	0	0	0
0,3	0,3	0,3	0,3	0	1	0,38	0,38	0,38	0,38	0,38	0
0,47	0,47	0,47	0,47	0	0	0	0	0	0	0	0
0,57	0,57	0,57	0,57	0	0	0	0	0	0	0	0
0	0	0	0	0	0	0	0	0	0	0	0
1,87	1,87	1,87	1,87	0	1	1,07	1,07	1,07	1,07	1,07	0
2,55	0,18	8,98	0,54	0,77	4	1,49	2,45	0,38	5,98	1,57	0,94

Total Fixation Duration_dn02_lan d_allinone.jpg_Rect angle 13_N	Total Fixation Duration_dn02_lan d_allinone.jpg_Rect angle 13_Mean	Total Fixation Duration_dn02_lan d_allinone.jpg_Rect angle 13_Max	Total Fixation Duration_dn02_lan d_allinone.jpg_Rect angle 13_Min	Total Fixation Duration_dn02_lan d_allinone.jpg_Rect angle 13_Sum	Total Fixation Duration_dn02_lan d_allinone.jpg_Rect angle 13_Median	Total Fixation Duration_dn02_lan d_allinone.jpg_Rect angle 13_Stdev	Total Fixation Duration_dn02_lan d_allinone.jpg_Rect angle 14_N	Total Fixation Duration_dn02_lan d_allinone.jpg_Rect angle 14_Mean	Total Fixation Duration_dn02_lan d_allinone.jpg_Rect angle 14_Max	Total Fixation Duration_dn02_lan d_allinone.jpg_Rect angle 14_Min	Total Fixation Duration_dn02_lan d_allinone.jpg_Rect angle 14_Sum
0	0	0	0	0	0	0	0	0	0	0	0
0	0	0	0	0	0	0	0	0	0	0	0
0	0	0	0	0	0	0	0	0	0	0	0
0	0	0	0	0	0	0	0	0	0	0	0
1	0,35	0,35	0,35	0,35	0,35	0	1	2,28	2,28	2,28	2,28
0	0	0	0	0	0	0	0	0	0	0	0
1	0,25	0,25	0,25	0,25	0,25	0	0	0	0	0	0
1	1,18	1,18	1,18	1,18	1,18	0	1	1,1	1,1	1,1	1,1
1	2,48	2,48	2,48	2,48	2,48	0	1	1,55	1,55	1,55	1,55
0	0	0	0	0	0	0	1	0,32	0,32	0,32	0,32
0	0	0	0	0	0	0	0	0	0	0	0
0	0	0	0	0	0	0	0	0	0	0	0
1	0,44	0,44	0,44	0,44	0,44	0	0	0	0	0	0
0	0	0	0	0	0	0	0	0	0	0	0
1	0,7	0,7	0,7	0,7	0,7	0	1	0,35	0,35	0,35	0,35
0	0	0	0	0	0	0	0	0	0	0	0
1	0,77	0,77	0,77	0,77	0,77	0	1	1,27	1,27	1,27	1,27
7	0,88	2,48	0,25	6,17	0,7	0,77	6	1,14	2,28	0,32	6,87

Total Fixation Duration_dn02_lan d_allinone.jpg_Rect angle 14_Median	Total Fixation Duration_dn02_lan d_allinone.jpg_Rect angle 14_Stdev	Total Fixation Duration_dn02_lan d_allinone.jpg_Rect angle 15_N	Total Fixation Duration_dn02_lan d_allinone.jpg_Rect angle 15_Mean	Total Fixation Duration_dn02_lan d_allinone.jpg_Rect angle 15_Max	Total Fixation Duration_dn02_lan d_allinone.jpg_Rect angle 15_Min	Total Fixation Duration_dn02_lan d_allinone.jpg_Rect angle 15_Sum	Total Fixation Duration_dn02_lan d_allinone.jpg_Rect angle 15_Median	Total Fixation Duration_dn02_lan d_allinone.jpg_Rect angle 15_Stdev	Total Fixation Duration_dn02_lan d_allinone.jpg_Rect angle 16_N	Total Fixation Duration_dn02_lan d_allinone.jpg_Rect angle 16_Mean	Total Fixation Duration_dn02_lan d_allinone.jpg_Rect angle 16_Max
0	0	1	0,25	0,25	0,25	0,25	0,25	0	0	0	0
0	0	0	0	0	0	0	0	0	0	0	0
0	0	0	0	0	0	0	0	0	0	0	0
0	0	1	0,35	0,35	0,35	0,35	0,35	0	0	0	0
2,28	0	1	0,13	0,13	0,13	0,13	0,13	0	0	0	0
0	0	0	0	0	0	0	0	0	0	0	0
0	0	0	0	0	0	0	0	0	0	0	0
1,1	0	1	0,27	0,27	0,27	0,27	0,27	0	0	0	0
1,55	0	0	0	0	0	0	0	0	0	0	0
0,32	0	0	0	0	0	0	0	0	0	0	0
0	0	0	0	0	0	0	0	0	0	0	0
0	0	0	0	0	0	0	0	0	0	0	0
0	0	1	0,5	0,5	0,5	0,5	0,5	0	0	0	0
0	0	0	0	0	0	0	0	0	0	0	0
0,35	0	0	0	0	0	0	0	0	0	0	0
0	0	0	0	0	0	0	0	0	0	0	0
1,27	0	0	0	0	0	0	0	0	0	0	0
1,18	0,75	5	0,3	0,5	0,13	1,5	0,27	0,14	0	0	0

Total Fixation Duration_dn02_lan d_allinone.jpg_Rect angle 16_Min	Total Fixation Duration_dn02_lan d_allinone.jpg_Rect angle 16_Sum	Total Fixation Duration_dn02_lan d_allinone.jpg_Rect angle 16_Median	Total Fixation Duration_dn02_lan d_allinone.jpg_Rect angle 16_Stdev	Total Fixation Duration_dn02_lan d_allinone.jpg_Rect angle 17_N	Total Fixation Duration_dn02_lan d_allinone.jpg_Rect angle 17_Mean	Total Fixation Duration_dn02_lan d_allinone.jpg_Rect angle 17_Max	Total Fixation Duration_dn02_lan d_allinone.jpg_Rect angle 17_Min	Total Fixation Duration_dn02_lan d_allinone.jpg_Rect angle 17_Sum	Total Fixation Duration_dn02_lan d_allinone.jpg_Rect angle 17_Median	Total Fixation Duration_dn02_lan d_allinone.jpg_Rect angle 17_Stdev	Total Fixation Duration_dn02_lan d_allinone.jpg_Rect angle 18_N
0	0	0	0	0	0	0	0	0	0	0	0
0	0	0	0	0	0	0	0	0	0	0	0
0	0	0	0	0	0	0	0	0	0	0	0
0	0	0	0	0	0	0	0	0	0	0	0
0	0	0	0	0	0	0	0	0	0	0	0
0	0	0	0	0	0	0	0	0	0	0	0
0	0	0	0	0	0	0	0	0	0	0	0
0	0	0	0	0	0	0	0	0	0	0	0
0	0	0	0	0	0	0	0	0	0	0	0
0	0	0	0	0	0	0	0	0	0	0	0
0	0	0	0	0	0	0	0	0	0	0	0
0	0	0	0	0	0	0	0	0	0	0	0
0	0	0	0	0	0	0	0	0	0	0	0
0	0	0	0	0	0	0	0	0	0	0	1
0	0	0	0	0	0	0	0	0	0	0	0
0	0	0	0	0	0	0	0	0	0	0	0
0	0	0	0	0	0	0	0	0	0	0	0
0	0	0	0	0	0	0	0	0	0	0	0
0	0	0	0	0	0	0	0	0	0	0	0
0	0	0	0	0	0	0	0	0	0	0	1

Total Fixation Duration_dn02_lan d_allinone.jpg_Rect angle 18_Mean	Total Fixation Duration_dn02_lan d_allinone.jpg_Rect angle 18_Max	Total Fixation Duration_dn02_lan d_allinone.jpg_Rect angle 18_Min	Total Fixation Duration_dn02_lan d_allinone.jpg_Rect angle 18_Sum	Total Fixation Duration_dn02_lan d_allinone.jpg_Rect angle 18_Median	Total Fixation Duration_dn02_lan d_allinone.jpg_Rect angle 18_Stdev	Total Fixation Duration_dn02_lan d_allinone.jpg_Rect angle 19_N	Total Fixation Duration_dn02_lan d_allinone.jpg_Rect angle 19_Mean	Total Fixation Duration_dn02_lan d_allinone.jpg_Rect angle 19_Max	Total Fixation Duration_dn02_lan d_allinone.jpg_Rect angle 19_Min	Total Fixation Duration_dn02_lan d_allinone.jpg_Rect angle 19_Sum	Total Fixation Duration_dn02_lan d_allinone.jpg_Rect angle 19_Median
0	0	0	0	0	0	0	0	0	0	0	0
0	0	0	0	0	0	0	0	0	0	0	0
0	0	0	0	0	0	0	0	0	0	0	0
0	0	0	0	0	0	0	0	0	0	0	0
0	0	0	0	0	0	1	0,25	0,25	0,25	0,25	0,25
0	0	0	0	0	0	0	0	0	0	0	0
0	0	0	0	0	0	1	0,15	0,15	0,15	0,15	0,15
0	0	0	0	0	0	0	0	0	0	0	0
0	0	0	0	0	0	0	0	0	0	0	0
0	0	0	0	0	0	0	0	0	0	0	0
0	0	0	0	0	0	0	0	0	0	0	0
0,63	0,63	0,63	0,63	0,63	0	0	0	0	0	0	0
0	0	0	0	0	0	1	0,43	0,43	0,43	0,43	0,43
0	0	0	0	0	0	0	0	0	0	0	0
0	0	0	0	0	0	0	0	0	0	0	0
0	0	0	0	0	0	0	0	0	0	0	0
0	0	0	0	0	0	0	0	0	0	0	0
0,63	0,63	0,63	0,63	0,63	0	3	0,28	0,43	0,15	0,83	0,25

Total Fixation Duration_dn02_lan d_allinone.jpg_Rect angle 19_Stdev	Total Fixation Duration_dn02_lan d_allinone.jpg_Rect angle 2_N	Total Fixation Duration_dn02_lan d_allinone.jpg_Rect angle 2_Mean	Total Fixation Duration_dn02_lan d_allinone.jpg_Rect angle 2_Max	Total Fixation Duration_dn02_lan d_allinone.jpg_Rect angle 2_Min	Total Fixation Duration_dn02_lan d_allinone.jpg_Rect angle 2_Sum	Total Fixation Duration_dn02_lan d_allinone.jpg_Rect angle 2_Median	Total Fixation Duration_dn02_lan d_allinone.jpg_Rect angle 2_Stdev	Total Fixation Duration_dn02_lan d_allinone.jpg_Rect angle 20_N	Total Fixation Duration_dn02_lan d_allinone.jpg_Rect angle 20_Mean	Total Fixation Duration_dn02_lan d_allinone.jpg_Rect angle 20_Max	Total Fixation Duration_dn02_lan d_allinone.jpg_Rect angle 20_Min
0	1	0,2	0,2	0,2	0,2	0,2	0	0	0	0	0
0	1	0,65	0,65	0,65	0,65	0,65	0	0	0	0	0
0	1	1	1	1	1	1	0	0	0	0	0
0	1	3,28	3,28	3,28	3,28	3,28	0	0	0	0	0
0	1	1	1	1	1	1	0	1	0,22	0,22	0,22
0	1	0,4	0,4	0,4	0,4	0,4	0	0	0	0	0
0	1	2,91	2,91	2,91	2,91	2,91	0	0	0	0	0
0	1	1,38	1,38	1,38	1,38	1,38	0	0	0	0	0
0	1	0,17	0,17	0,17	0,17	0,17	0	0	0	0	0
0	1	1	1	1	1	1	0	0	0	0	0
0	1	1,62	1,62	1,62	1,62	1,62	0	0	0	0	0
0	1	1,67	1,67	1,67	1,67	1,67	0	0	0	0	0
0	1	0,57	0,57	0,57	0,57	0,57	0	1	0,22	0,22	0,22
0	1	2,08	2,08	2,08	2,08	2,08	0	0	0	0	0
0	1	0,07	0,07	0,07	0,07	0,07	0	0	0	0	0
0	1	0,97	0,97	0,97	0,97	0,97	0	0	0	0	0
0	1	0,13	0,13	0,13	0,13	0,13	0	0	0	0	0
0,14	17	1,12	3,28	0,07	19,09	1	0,95	2	0,22	0,22	0,22

Total Fixation Duration_dn02_lan d_allinone.jpg_Rect angle 20_Sum	Total Fixation Duration_dn02_lan d_allinone.jpg_Rect angle 20_Median	Total Fixation Duration_dn02_lan d_allinone.jpg_Rect angle 20_Stdev	Total Fixation Duration_dn02_lan d_allinone.jpg_Rect angle 21_N	Total Fixation Duration_dn02_lan d_allinone.jpg_Rect angle 21_Mean	Total Fixation Duration_dn02_lan d_allinone.jpg_Rect angle 21_Max	Total Fixation Duration_dn02_lan d_allinone.jpg_Rect angle 21_Min	Total Fixation Duration_dn02_lan d_allinone.jpg_Rect angle 21_Sum	Total Fixation Duration_dn02_lan d_allinone.jpg_Rect angle 21_Median	Total Fixation Duration_dn02_lan d_allinone.jpg_Rect angle 21_Stdev	Total Fixation Duration_dn02_lan d_allinone.jpg_Rect angle 22_N	Total Fixation Duration_dn02_lan d_allinone.jpg_Rect angle 22_Mean
0	0	0	0	0	0	0	0	0	0	0	0
0	0	0	0	0	0	0	0	0	0	0	0
0	0	0	0	0	0	0	0	0	0	0	0
0	0	0	0	0	0	0	0	0	0	0	0
0,22	0,22	0	0	0	0	0	0	0	0	0	0
0	0	0	0	0	0	0	0	0	0	0	0
0	0	0	0	0	0	0	0	0	0	0	0
0	0	0	0	0	0	0	0	0	0	0	0
0	0	0	0	0	0	0	0	0	0	0	0
0	0	0	0	0	0	0	0	0	0	0	0
0	0	0	0	0	0	0	0	0	0	0	0
0	0	0	0	0	0	0	0	0	0	0	0
0	0	0	0	0	0	0	0	0	0	1	0,18
0,22	0,22	0	0	0	0	0	0	0	0	0	0
0	0	0	0	0	0	0	0	0	0	0	0
0	0	0	0	0	0	0	0	0	0	0	0
0	0	0	0	0	0	0	0	0	0	0	0
0	0	0	0	0	0	0	0	0	0	1	0,4
0,43	0,22	0	0	0	0	0	0	0	0	2	0,29

Total Fixation Duration_dn02_lan d_allinone.jpg_Rect angle 22_Max	Total Fixation Duration_dn02_lan d_allinone.jpg_Rect angle 22_Min	Total Fixation Duration_dn02_lan d_allinone.jpg_Rect angle 22_Sum	Total Fixation Duration_dn02_lan d_allinone.jpg_Rect angle 22_Median	Total Fixation Duration_dn02_lan d_allinone.jpg_Rect angle 22_Stdev	Total Fixation Duration_dn02_lan d_allinone.jpg_Rect angle 23_N	Total Fixation Duration_dn02_lan d_allinone.jpg_Rect angle 23_Mean	Total Fixation Duration_dn02_lan d_allinone.jpg_Rect angle 23_Max	Total Fixation Duration_dn02_lan d_allinone.jpg_Rect angle 23_Min	Total Fixation Duration_dn02_lan d_allinone.jpg_Rect angle 23_Sum	Total Fixation Duration_dn02_lan d_allinone.jpg_Rect angle 23_Median	Total Fixation Duration_dn02_lan d_allinone.jpg_Rect angle 23_Stdev
0	0	0	0	0	1	0,23	0,23	0,23	0,23	0,23	0
0	0	0	0	0	0	0	0	0	0	0	0
0	0	0	0	0	1	1,1	1,1	1,1	1,1	1,1	0
0	0	0	0	0	1	0,68	0,68	0,68	0,68	0,68	0
0	0	0	0	0	0	0	0	0	0	0	0
0	0	0	0	0	1	0,12	0,12	0,12	0,12	0,12	0
0	0	0	0	0	1	0,55	0,55	0,55	0,55	0,55	0
0	0	0	0	0	1	0,13	0,13	0,13	0,13	0,13	0
0	0	0	0	0	0	0	0	0	0	0	0
0	0	0	0	0	1	0,17	0,17	0,17	0,17	0,17	0
0	0	0	0	0	1	0,25	0,25	0,25	0,25	0,25	0
0,18	0,18	0,18	0,18	0	1	1,13	1,13	1,13	1,13	1,13	0
0	0	0	0	0	0	0	0	0	0	0	0
0	0	0	0	0	1	0,06	0,06	0,06	0,06	0,06	0
0	0	0	0	0	1	0,38	0,38	0,38	0,38	0,38	0
0	0	0	0	0	1	0,28	0,28	0,28	0,28	0,28	0
0,4	0,4	0,4	0,4	0	0	0	0	0	0	0	0
0,4	0,18	0,58	0,29	0,15	12	0,42	1,13	0,06	5,09	0,27	0,37

Total Fixation Duration_dn02_lan d_allinone.jpg_Rect angle 24_N	Total Fixation Duration_dn02_lan d_allinone.jpg_Rect angle 24_Mean	Total Fixation Duration_dn02_lan d_allinone.jpg_Rect angle 24_Max	Total Fixation Duration_dn02_lan d_allinone.jpg_Rect angle 24_Min	Total Fixation Duration_dn02_lan d_allinone.jpg_Rect angle 24_Sum	Total Fixation Duration_dn02_lan d_allinone.jpg_Rect angle 24_Median	Total Fixation Duration_dn02_lan d_allinone.jpg_Rect angle 24_Stdev	Total Fixation Duration_dn02_lan d_allinone.jpg_Rect angle 3_N	Total Fixation Duration_dn02_lan d_allinone.jpg_Rect angle 3_Mean	Total Fixation Duration_dn02_lan d_allinone.jpg_Rect angle 3_Max	Total Fixation Duration_dn02_lan d_allinone.jpg_Rect angle 3_Min	Total Fixation Duration_dn02_lan d_allinone.jpg_Rect angle 3_Sum
0	0	0	0	0	0	0	0	0	0	0	0
0	0	0	0	0	0	0	1	2,56	2,56	2,56	2,56
0	0	0	0	0	0	0	1	2,32	2,32	2,32	2,32
0	0	0	0	0	0	0	1	0,62	0,62	0,62	0,62
0	0	0	0	0	0	0	1	1,38	1,38	1,38	1,38
0	0	0	0	0	0	0	1	0,1	0,1	0,1	0,1
0	0	0	0	0	0	0	1	1,02	1,02	1,02	1,02
0	0	0	0	0	0	0	1	1,72	1,72	1,72	1,72
0	0	0	0	0	0	0	1	2,5	2,5	2,5	2,5
0	0	0	0	0	0	0	1	0,62	0,62	0,62	0,62
0	0	0	0	0	0	0	1	2,72	2,72	2,72	2,72
0	0	0	0	0	0	0	1	1,72	1,72	1,72	1,72
0	0	0	0	0	0	0	1	2,45	2,45	2,45	2,45
0	0	0	0	0	0	0	1	3,66	3,66	3,66	3,66
0	0	0	0	0	0	0	1	0,3	0,3	0,3	0,3
0	0	0	0	0	0	0	1	0,18	0,18	0,18	0,18
1	1,2	1,2	1,2	1,2	1,2	0	1	0,32	0,32	0,32	0,32
1	1,2	1,2	1,2	1,2	1,2	0	16	1,51	3,66	0,1	24,16

Total Fixation Duration_dn02_lan d_allinone.jpg_Rect angle 3_Median	Total Fixation Duration_dn02_lan d_allinone.jpg_Rect angle 3_Stdev	Total Fixation Duration_dn02_lan d_allinone.jpg_Rect angle 4_N	Total Fixation Duration_dn02_lan d_allinone.jpg_Rect angle 4_Mean	Total Fixation Duration_dn02_lan d_allinone.jpg_Rect angle 4_Max	Total Fixation Duration_dn02_lan d_allinone.jpg_Rect angle 4_Min	Total Fixation Duration_dn02_lan d_allinone.jpg_Rect angle 4_Sum	Total Fixation Duration_dn02_lan d_allinone.jpg_Rect angle 4_Median	Total Fixation Duration_dn02_lan d_allinone.jpg_Rect angle 4_Stdev	Total Fixation Duration_dn02_lan d_allinone.jpg_Rect angle 5_N	Total Fixation Duration_dn02_lan d_allinone.jpg_Rect angle 5_Mean	Total Fixation Duration_dn02_lan d_allinone.jpg_Rect angle 5_Max
0	0	0	0	0	0	0	0	0	1	0,4	0,4
2,56	0	0	0	0	0	0	0	0	0	0	0
2,32	0	1	0,12	0,12	0,12	0,12	0,12	0	1	0,32	0,32
0,62	0	1	1,32	1,32	1,32	1,32	1,32	0	1	1	1
1,38	0	1	0,37	0,37	0,37	0,37	0,37	0	1	0,18	0,18
0,1	0	1	0,1	0,1	0,1	0,1	0,1	0	1	0,1	0,1
1,02	0	1	0,68	0,68	0,68	0,68	0,68	0	0	0	0
1,72	0	1	0,18	0,18	0,18	0,18	0,18	0	1	0,07	0,07
2,5	0	1	0,18	0,18	0,18	0,18	0,18	0	1	0,77	0,77
0,62	0	0	0	0	0	0	0	0	1	0,5	0,5
2,72	0	1	0,6	0,6	0,6	0,6	0,6	0	1	0,77	0,77
1,72	0	1	0,52	0,52	0,52	0,52	0,52	0	1	0,48	0,48
2,45	0	1	0,32	0,32	0,32	0,32	0,32	0	1	0,35	0,35
3,66	0	0	0	0	0	0	0	0	1	1,35	1,35
0,3	0	0	0	0	0	0	0	0	1	0,73	0,73
0,18	0	1	0,25	0,25	0,25	0,25	0,25	0	1	0,1	0,1
0,32	0	1	0,17	0,17	0,17	0,17	0,17	0	0	0	0
1,55	1,1	12	0,4	1,32	0,1	4,8	0,28	0,35	14	0,51	1,35

Total Fixation Duration_dn02_lan d_allinone.jpg_Rect angle 5_Min	Total Fixation Duration_dn02_lan d_allinone.jpg_Rect angle 5_Sum	Total Fixation Duration_dn02_lan d_allinone.jpg_Rect angle 5_Median	Total Fixation Duration_dn02_lan d_allinone.jpg_Rect angle 5_Stdev	Total Fixation Duration_dn02_lan d_allinone.jpg_Rect angle 6_N	Total Fixation Duration_dn02_lan d_allinone.jpg_Rect angle 6_Mean	Total Fixation Duration_dn02_lan d_allinone.jpg_Rect angle 6_Max	Total Fixation Duration_dn02_lan d_allinone.jpg_Rect angle 6_Min	Total Fixation Duration_dn02_lan d_allinone.jpg_Rect angle 6_Sum	Total Fixation Duration_dn02_lan d_allinone.jpg_Rect angle 6_Median	Total Fixation Duration_dn02_lan d_allinone.jpg_Rect angle 6_Stdev	Total Fixation Duration_dn02_lan d_allinone.jpg_Rect angle 7_N
0,4	0,4	0,4	0	1	0,53	0,53	0,53	0,53	0,53	0	1
0	0	0	0	1	2,47	2,47	2,47	2,47	2,47	0	1
0,32	0,32	0,32	0	1	1,63	1,63	1,63	1,63	1,63	0	0
1	1	1	0	1	1,83	1,83	1,83	1,83	1,83	0	1
0,18	0,18	0,18	0	1	1,65	1,65	1,65	1,65	1,65	0	1
0,1	0,1	0,1	0	1	0,13	0,13	0,13	0,13	0,13	0	1
0	0	0	0	1	1,63	1,63	1,63	1,63	1,63	0	1
0,07	0,07	0,07	0	1	1,8	1,8	1,8	1,8	1,8	0	1
0,77	0,77	0,77	0	1	0,87	0,87	0,87	0,87	0,87	0	1
0,5	0,5	0,5	0	1	0,33	0,33	0,33	0,33	0,33	0	1
0,77	0,77	0,77	0	1	0,53	0,53	0,53	0,53	0,53	0	0
0,48	0,48	0,48	0	0	0	0	0	0	0	0	1
0,35	0,35	0,35	0	0	0	0	0	0	0	0	1
1,35	1,35	1,35	0	1	4,13	4,13	4,13	4,13	4,13	0	1
0,73	0,73	0,73	0	0	0	0	0	0	0	0	1
0,1	0,1	0,1	0	1	0,12	0,12	0,12	0,12	0,12	0	1
0	0	0	0	1	1,15	1,15	1,15	1,15	1,15	0	1
0,07	7,11	0,44	0,38	14	1,34	4,13	0,12	18,8	1,39	1,08	15

Total Fixation Duration_dn02_lan d_allinone.jpg_Rect angle 7_Mean	Total Fixation Duration_dn02_lan d_allinone.jpg_Rect angle 7_Max	Total Fixation Duration_dn02_lan d_allinone.jpg_Rect angle 7_Min	Total Fixation Duration_dn02_lan d_allinone.jpg_Rect angle 7_Sum	Total Fixation Duration_dn02_lan d_allinone.jpg_Rect angle 7_Median	Total Fixation Duration_dn02_lan d_allinone.jpg_Rect angle 7_Stdev	Total Fixation Duration_dn02_lan d_allinone.jpg_Rect angle 8_N	Total Fixation Duration_dn02_lan d_allinone.jpg_Rect angle 8_Mean	Total Fixation Duration_dn02_lan d_allinone.jpg_Rect angle 8_Max	Total Fixation Duration_dn02_lan d_allinone.jpg_Rect angle 8_Min	Total Fixation Duration_dn02_lan d_allinone.jpg_Rect angle 8_Sum	Total Fixation Duration_dn02_lan d_allinone.jpg_Rect angle 8_Median
0,22	0,22	0,22	0,22	0,22	0	1	0,28	0,28	0,28	0,28	0,28
1,05	1,05	1,05	1,05	1,05	0	1	1,48	1,48	1,48	1,48	1,48
0	0	0	0	0	0	1	2,03	2,03	2,03	2,03	2,03
0,22	0,22	0,22	0,22	0,22	0	1	0,15	0,15	0,15	0,15	0,15
0,28	0,28	0,28	0,28	0,28	0	0	0	0	0	0	0
0,68	0,68	0,68	0,68	0,68	0	1	0,32	0,32	0,32	0,32	0,32
0,22	0,22	0,22	0,22	0,22	0	0	0	0	0	0	0
0,87	0,87	0,87	0,87	0,87	0	0	0	0	0	0	0
0,22	0,22	0,22	0,22	0,22	0	1	1,37	1,37	1,37	1,37	1,37
2,23	2,23	2,23	2,23	2,23	0	1	1,37	1,37	1,37	1,37	1,37
0	0	0	0	0	0	0	0	0	0	0	0
0,22	0,22	0,22	0,22	0,22	0	1	0,12	0,12	0,12	0,12	0,12
0,17	0,17	0,17	0,17	0,17	0	1	0,97	0,97	0,97	0,97	0,97
0,7	0,7	0,7	0,7	0,7	0	1	0,62	0,62	0,62	0,62	0,62
0,43	0,43	0,43	0,43	0,43	0	1	1,72	1,72	1,72	1,72	1,72
0,08	0,08	0,08	0,08	0,08	0	0	0	0	0	0	0
0,75	0,75	0,75	0,75	0,75	0	0	0	0	0	0	0
0,55	2,23	0,08	8,32	0,28	0,55	11	0,95	2,03	0,12	10,42	0,97

Total Fixation Duration_dn02_lan d_allinone.jpg_Rect angle 8_Stdev	Total Fixation Duration_dn02_lan d_allinone.jpg_Rect angle 9_N	Total Fixation Duration_dn02_lan d_allinone.jpg_Rect angle 9_Mean	Total Fixation Duration_dn02_lan d_allinone.jpg_Rect angle 9_Max	Total Fixation Duration_dn02_lan d_allinone.jpg_Rect angle 9_Min	Total Fixation Duration_dn02_lan d_allinone.jpg_Rect angle 9_Sum	Total Fixation Duration_dn02_lan d_allinone.jpg_Rect angle 9_Median	Total Fixation Duration_dn02_lan d_allinone.jpg_Rect angle 9_Stdev
0	1	1,85	1,85	1,85	1,85	1,85	0
0	1	6,42	6,42	6,42	6,42	6,42	0
0	1	8,01	8,01	8,01	8,01	8,01	0
0	1	1,55	1,55	1,55	1,55	1,55	0
0	1	1,53	1,53	1,53	1,53	1,53	0
0	1	3,51	3,51	3,51	3,51	3,51	0
0	1	1,68	1,68	1,68	1,68	1,68	0
0	0	0	0	0	0	0	0
0	1	0,77	0,77	0,77	0,77	0,77	0
0	1	4,23	4,23	4,23	4,23	4,23	0
0	1	0,95	0,95	0,95	0,95	0,95	0
0	1	0,33	0,33	0,33	0,33	0,33	0
0	1	1,17	1,17	1,17	1,17	1,17	0
0	1	1,07	1,07	1,07	1,07	1,07	0
0	1	2,26	2,26	2,26	2,26	2,26	0
0	0	0	0	0	0	0	0
0	1	1,62	1,62	1,62	1,62	1,62	0
0,68	15	2,46	8,01	0,33	36,94	1,62	2,19

	Total Visit Duration_dn01_por t_1_1.JPG_Rectangl e_N	Total Visit Duration_dn01_por t_1_1.JPG_Rectangl e_Mean	Total Visit Duration_dn01_por t_1_1.JPG_Rectangl e_Max	Total Visit Duration_dn01_por t_1_1.JPG_Rectangl e_Min	Total Visit Duration_dn01_por t_1_1.JPG_Rectangl e_Sum	Total Visit Duration_dn01_por t_1_1.JPG_Rectangl e_Median	Total Visit Duration_dn01_por t_1_1.JPG_Rectangl e_Stdev	Total Visit Duration_dn01_por t_1_1.JPG_Rectangl e_10_N	Total Visit Duration_dn01_por t_1_1.JPG_Rectangl e_10_Mean	Total Visit Duration_dn01_por t_1_1.JPG_Rectangl e_10_Max	Total Visit Duration_dn01_por t_1_1.JPG_Rectangl e_10_Min
Rec 01	0	0	0	0	0	0	0	1	0,1	0,1	0,1
Rec 05	1	0,58	0,58	0,58	0,58	0,58	0	0	0	0	0
Rec 06	1	0,85	0,85	0,85	0,85	0,85	0	0	0	0	0
Rec 02	1	1,75	1,75	1,75	1,75	1,75	0	0	0	0	0
Rec 03	1	0,65	0,65	0,65	0,65	0,65	0	0	0	0	0
Rec 04	1	0,28	0,28	0,28	0,28	0,28	0	0	0	0	0
Rec 07	1	2,41	2,41	2,41	2,41	2,41	0	0	0	0	0
Rec 08	1	0,1	0,1	0,1	0,1	0,1	0	1	0,1	0,1	0,1
Rec 09	1	0,08	0,08	0,08	0,08	0,08	0	1	0,08	0,08	0,08
Rec 10	1	0,13	0,13	0,13	0,13	0,13	0	1	0,22	0,22	0,22
Rec 11	0	0	0	0	0	0	0	0	0	0	0
Rec 12	1	0,18	0,18	0,18	0,18	0,18	0	0	0	0	0
Rec 13	1	0,12	0,12	0,12	0,12	0,12	0	0	0	0	0
Rec 14	1	0,22	0,22	0,22	0,22	0,22	0	0	0	0	0
Rec 16	1	0,37	0,37	0,37	0,37	0,37	0	0	0	0	0
Rec 17	1	0,65	0,65	0,65	0,65	0,65	0	0	0	0	0
Rec 18	1	0,23	0,23	0,23	0,23	0,23	0	0	0	0	0
Rec 19	1	0,92	0,92	0,92	0,92	0,92	0	0	0	0	0
All Recordings	16	0,6	2,41	0,08	9,53	0,33	0,65	4	0,12	0,22	0,08

Total Visit Duration_dn01_por t_1_1.JPG_Rectangl e 10_Sum	Total Visit Duration_dn01_por t_1_1.JPG_Rectangl e 10_Median	Total Visit Duration_dn01_por t_1_1.JPG_Rectangl e 10_Strdev	Total Visit Duration_dn01_por t_1_1.JPG_Rectangl e 11_N	Total Visit Duration_dn01_por t_1_1.JPG_Rectangl e 11_Mean	Total Visit Duration_dn01_por t_1_1.JPG_Rectangl e 11_Max	Total Visit Duration_dn01_por t_1_1.JPG_Rectangl e 11_Min	Total Visit Duration_dn01_por t_1_1.JPG_Rectangl e 11_Sum	Total Visit Duration_dn01_por t_1_1.JPG_Rectangl e 11_Median	Total Visit Duration_dn01_por t_1_1.JPG_Rectangl e 11_Strdev	Total Visit Duration_dn01_por t_1_1.JPG_Rectangl e 12_N	Total Visit Duration_dn01_por t_1_1.JPG_Rectangl e 12_Mean
0,1	0,1	0	1	0,8	0,8	0,8	0,8	0,8	0	0	0
0	0	0	0	0	0	0	0	0	0	0	0
0	0	0	0	0	0	0	0	0	0	0	0
0	0	0	0	0	0	0	0	0	0	0	0
0	0	0	0	0	0	0	0	0	0	1	0,07
0	0	0	1	2,48	2,48	2,48	2,48	2,48	0	0	0
0	0	0	0	0	0	0	0	0	0	0	0
0,1	0,1	0	1	0,42	0,42	0,42	0,42	0,42	0	0	0
0,08	0,08	0	0	0	0	0	0	0	0	0	0
0,22	0,22	0	1	0,2	0,2	0,2	0,2	0,2	0	0	0
0	0	0	1	0,4	0,4	0,4	0,4	0,4	0	0	0
0	0	0	1	3,16	3,16	3,16	3,16	3,16	0	0	0
0	0	0	0	0	0	0	0	0	0	0	0
0	0	0	1	1,18	1,18	1,18	1,18	1,18	0	0	0
0	0	0	1	0,67	0,67	0,67	0,67	0,67	0	0	0
0	0	0	0	0	0	0	0	0	0	0	0
0	0	0	0	0	0	0	0	0	0	0	0
0	0	0	1	2,35	2,35	2,35	2,35	2,35	0	0	0
0,5	0,1	0,06	9	1,3	3,16	0,2	11,66	0,8	1,09	1	0,07

Total Visit Duration_dn01_por t_1_1.JPG_Rectangl e_12_Max	Total Visit Duration_dn01_por t_1_1.JPG_Rectangl e_12_Min	Total Visit Duration_dn01_por t_1_1.JPG_Rectangl e_12_Sum	Total Visit Duration_dn01_por t_1_1.JPG_Rectangl e_12_Median	Total Visit Duration_dn01_por t_1_1.JPG_Rectangl e_12_Strdev	Total Visit Duration_dn01_por t_1_1.JPG_Rectangl e_13_N	Total Visit Duration_dn01_por t_1_1.JPG_Rectangl e_13_Mean	Total Visit Duration_dn01_por t_1_1.JPG_Rectangl e_13_Max	Total Visit Duration_dn01_por t_1_1.JPG_Rectangl e_13_Min	Total Visit Duration_dn01_por t_1_1.JPG_Rectangl e_13_Sum	Total Visit Duration_dn01_por t_1_1.JPG_Rectangl e_13_Median	Total Visit Duration_dn01_por t_1_1.JPG_Rectangl e_13_Strdev
0	0	0	0	0	0	0	0	0	0	0	0
0	0	0	0	0	0	0	0	0	0	0	0
0	0	0	0	0	0	0	0	0	0	0	0
0	0	0	0	0	0	0	0	0	0	0	0
0,07	0,07	0,07	0,07	0	0	0	0	0	0	0	0
0	0	0	0	0	0	0	0	0	0	0	0
0	0	0	0	0	0	0	0	0	0	0	0
0	0	0	0	0	0	0	0	0	0	0	0
0	0	0	0	0	0	0	0	0	0	0	0
0	0	0	0	0	0	0	0	0	0	0	0
0	0	0	0	0	0	0	0	0	0	0	0
0	0	0	0	0	0	0	0	0	0	0	0
0	0	0	0	0	0	0	0	0	0	0	0
0	0	0	0	0	0	0	0	0	0	0	0
0	0	0	0	0	0	0	0	0	0	0	0
0	0	0	0	0	0	0	0	0	0	0	0
0	0	0	0	0	0	0	0	0	0	0	0
0	0	0	0	0	0	0	0	0	0	0	0
0,07	0,07	0,07	0,07	0	0	0	0	0	0	0	0

Total Visit Duration_dn01_por t_1_1.JPG_Rectangl e 15_Median	Total Visit Duration_dn01_por t_1_1.JPG_Rectangl e 15_Stdev	Total Visit Duration_dn01_por t_1_1.JPG_Rectangl e 16_N	Total Visit Duration_dn01_por t_1_1.JPG_Rectangl e 16_Mean	Total Visit Duration_dn01_por t_1_1.JPG_Rectangl e 16_Max	Total Visit Duration_dn01_por t_1_1.JPG_Rectangl e 16_Min	Total Visit Duration_dn01_por t_1_1.JPG_Rectangl e 16_Sum	Total Visit Duration_dn01_por t_1_1.JPG_Rectangl e 16_Median	Total Visit Duration_dn01_por t_1_1.JPG_Rectangl e 16_Stdev	Total Visit Duration_dn01_por t_1_1.JPG_Rectangl e 17_N	Total Visit Duration_dn01_por t_1_1.JPG_Rectangl e 17_Mean	Total Visit Duration_dn01_por t_1_1.JPG_Rectangl e 17_Max
0	0	0	0	0	0	0	0	0	0	0	0
0	0	0	0	0	0	0	0	0	0	0	0
0	0	0	0	0	0	0	0	0	0	0	0
0	0	0	0	0	0	0	0	0	0	0	0
0	0	1	0,55	0,55	0,55	0,55	0,55	0	0	0	0
0	0	0	0	0	0	0	0	0	0	0	0
0	0	0	0	0	0	0	0	0	0	0	0
0	0	0	0	0	0	0	0	0	0	0	0
0	0	0	0	0	0	0	0	0	0	0	0
0	0	0	0	0	0	0	0	0	0	0	0
0	0	0	0	0	0	0	0	0	0	0	0
0	0	0	0	0	0	0	0	0	0	0	0
0	0	0	0	0	0	0	0	0	0	0	0
0	0	0	0	0	0	0	0	0	0	0	0
0	0	0	0	0	0	0	0	0	0	0	0
0	0	0	0	0	0	0	0	0	0	0	0
0	0	0	0	0	0	0	0	0	0	0	0
0	0	0	0	0	0	0	0	0	0	0	0
0	0	0	0	0	0	0	0	0	0	0	0
0	0	0	0	0	0	0	0	0	0	0	0
0	0	0	0	0	0	0	0	0	0	0	0
0	0	0	0	0	0	0	0	0	0	0	0
0	0	1	0,55	0,55	0,55	0,55	0,55	0	0	0	0

Total Visit Duration_dn01_por t_1_1.JPG_Rectangl e 17_Min	Total Visit Duration_dn01_por t_1_1.JPG_Rectangl e 17_Sum	Total Visit Duration_dn01_por t_1_1.JPG_Rectangl e 17_Median	Total Visit Duration_dn01_por t_1_1.JPG_Rectangl e 17_Strdev	Total Visit Duration_dn01_por t_1_1.JPG_Rectangl e 18_N	Total Visit Duration_dn01_por t_1_1.JPG_Rectangl e 18_Mean	Total Visit Duration_dn01_por t_1_1.JPG_Rectangl e 18_Max	Total Visit Duration_dn01_por t_1_1.JPG_Rectangl e 18_Min	Total Visit Duration_dn01_por t_1_1.JPG_Rectangl e 18_Sum	Total Visit Duration_dn01_por t_1_1.JPG_Rectangl e 18_Median	Total Visit Duration_dn01_por t_1_1.JPG_Rectangl e 18_Strdev	Total Visit Duration_dn01_por t_1_1.JPG_Rectangl e 19_N
0	0	0	0	1	0,07	0,07	0,07	0,07	0,07	0	1
0	0	0	0	1	1,65	1,65	1,65	1,65	1,65	0	1
0	0	0	0	1	0,88	0,88	0,88	0,88	0,88	0	1
0	0	0	0	1	0,5	0,5	0,5	0,5	0,5	0	1
0	0	0	0	0	0	0	0	0	0	0	0
0	0	0	0	0	0	0	0	0	0	0	1
0	0	0	0	1	0,35	0,35	0,35	0,35	0,35	0	1
0	0	0	0	1	0,17	0,17	0,17	0,17	0,17	0	1
0	0	0	0	0	0	0	0	0	0	0	0
0	0	0	0	1	0,42	0,42	0,42	0,42	0,42	0	1
0	0	0	0	1	0,18	0,18	0,18	0,18	0,18	0	1
0	0	0	0	0	0	0	0	0	0	0	1
0	0	0	0	0	0	0	0	0	0	0	1
0	0	0	0	0	0	0	0	0	0	0	1
0	0	0	0	1	0,13	0,13	0,13	0,13	0,13	0	1
0	0	0	0	0	0	0	0	0	0	0	1
0	0	0	0	0	0	0	0	0	0	0	1
0	0	0	0	1	0,35	0,35	0,35	0,35	0,35	0	1
0	0	0	0	10	0,47	1,65	0,07	4,7	0,35	0,48	16

Total Visit Duration_dn01_por t_1_1.JPG_Rectangl e 19_Mean	Total Visit Duration_dn01_por t_1_1.JPG_Rectangl e 19_Max	Total Visit Duration_dn01_por t_1_1.JPG_Rectangl e 19_Min	Total Visit Duration_dn01_por t_1_1.JPG_Rectangl e 19_Sum	Total Visit Duration_dn01_por t_1_1.JPG_Rectangl e 19_Median	Total Visit Duration_dn01_por t_1_1.JPG_Rectangl e 19_Stdev	Total Visit Duration_dn01_por t_1_1.JPG_Rectangl e 2_N	Total Visit Duration_dn01_por t_1_1.JPG_Rectangl e 2_Mean	Total Visit Duration_dn01_por t_1_1.JPG_Rectangl e 2_Max	Total Visit Duration_dn01_por t_1_1.JPG_Rectangl e 2_Min	Total Visit Duration_dn01_por t_1_1.JPG_Rectangl e 2_Sum	Total Visit Duration_dn01_por t_1_1.JPG_Rectangl e 2_Median
0,42	0,42	0,42	0,42	0,42	0	1	1,84	1,84	1,84	1,84	1,84
0,4	0,4	0,4	0,4	0,4	0	1	7,19	7,19	7,19	7,19	7,19
0,17	0,17	0,17	0,17	0,17	0	1	0,53	0,53	0,53	0,53	0,53
0,33	0,33	0,33	0,33	0,33	0	1	0,55	0,55	0,55	0,55	0,55
0	0	0	0	0	0	1	0,98	0,98	0,98	0,98	0,98
0,77	0,77	0,77	0,77	0,77	0	1	2,73	2,73	2,73	2,73	2,73
0,77	0,77	0,77	0,77	0,77	0	1	1,05	1,05	1,05	1,05	1,05
0,8	0,8	0,8	0,8	0,8	0	1	2,2	2,2	2,2	2,2	2,2
0	0	0	0	0	0	1	0,48	0,48	0,48	0,48	0,48
0,27	0,27	0,27	0,27	0,27	0	1	0,8	0,8	0,8	0,8	0,8
0,98	0,98	0,98	0,98	0,98	0	1	0,33	0,33	0,33	0,33	0,33
1,56	1,56	1,56	1,56	1,56	0	1	3,65	3,65	3,65	3,65	3,65
1,88	1,88	1,88	1,88	1,88	0	1	1,16	1,16	1,16	1,16	1,16
0,98	0,98	0,98	0,98	0,98	0	1	1,53	1,53	1,53	1,53	1,53
1,65	1,65	1,65	1,65	1,65	0	1	2,66	2,66	2,66	2,66	2,66
1,55	1,55	1,55	1,55	1,55	0	1	1,18	1,18	1,18	1,18	1,18
0,07	0,07	0,07	0,07	0,07	0	1	4,01	4,01	4,01	4,01	4,01
0,88	0,88	0,88	0,88	0,88	0	1	5,86	5,86	5,86	5,86	5,86
0,84	1,88	0,07	13,47	0,78	0,57	18	2,15	7,19	0,33	38,76	1,36

Total Visit Duration_dn01_por t_1_1.JPG_Rectangl e 2_ Stdev	Total Visit Duration_dn01_por t_1_1.JPG_Rectangl e 20_ N	Total Visit Duration_dn01_por t_1_1.JPG_Rectangl e 20_ Mean	Total Visit Duration_dn01_por t_1_1.JPG_Rectangl e 20_ Max	Total Visit Duration_dn01_por t_1_1.JPG_Rectangl e 20_ Min	Total Visit Duration_dn01_por t_1_1.JPG_Rectangl e 20_ Sum	Total Visit Duration_dn01_por t_1_1.JPG_Rectangl e 20_ Median	Total Visit Duration_dn01_por t_1_1.JPG_Rectangl e 20_ Stdev	Total Visit Duration_dn01_por t_1_1.JPG_Rectangl e 21_ N	Total Visit Duration_dn01_por t_1_1.JPG_Rectangl e 21_ Mean	Total Visit Duration_dn01_por t_1_1.JPG_Rectangl e 21_ Max	Total Visit Duration_dn01_por t_1_1.JPG_Rectangl e 21_ Min
0	1	0,15	0,15	0,15	0,15	0,15	0	1	0,23	0,23	0,23
0	0	0	0	0	0	0	0	1	0,15	0,15	0,15
0	0	0	0	0	0	0	0	1	0,28	0,28	0,28
0	1	0,75	0,75	0,75	0,75	0,75	0	1	0,43	0,43	0,43
0	0	0	0	0	0	0	0	1	0,08	0,08	0,08
0	0	0	0	0	0	0	0	0	0	0	0
0	1	0,18	0,18	0,18	0,18	0,18	0	1	0,08	0,08	0,08
0	0	0	0	0	0	0	0	0	0	0	0
0	0	0	0	0	0	0	0	0	0	0	0
0	0	0	0	0	0	0	0	0	0	0	0
0	1	1,1	1,1	1,1	1,1	1,1	0	0	0	0	0
0	0	0	0	0	0	0	0	0	0	0	0
0	1	1,33	1,33	1,33	1,33	1,33	0	0	0	0	0
0	0	0	0	0	0	0	0	0	0	0	0
0	1	0,22	0,22	0,22	0,22	0,22	0	0	0	0	0
0	0	0	0	0	0	0	0	0	0	0	0
0	0	0	0	0	0	0	0	1	0,07	0,07	0,07
0	0	0	0	0	0	0	0	1	0,13	0,13	0,13
1,93	6	0,62	1,33	0,15	3,73	0,48	0,52	8	0,18	0,43	0,07

Total Visit Duration_dn01_por t_1_1.JPG_Rectangl e 21_Sum	Total Visit Duration_dn01_por t_1_1.JPG_Rectangl e 21_Median	Total Visit Duration_dn01_por t_1_1.JPG_Rectangl e 21_Stdev	Total Visit Duration_dn01_por t_1_1.JPG_Rectangl e 22_N	Total Visit Duration_dn01_por t_1_1.JPG_Rectangl e 22_Mean	Total Visit Duration_dn01_por t_1_1.JPG_Rectangl e 22_Max	Total Visit Duration_dn01_por t_1_1.JPG_Rectangl e 22_Min	Total Visit Duration_dn01_por t_1_1.JPG_Rectangl e 22_Sum	Total Visit Duration_dn01_por t_1_1.JPG_Rectangl e 22_Median	Total Visit Duration_dn01_por t_1_1.JPG_Rectangl e 22_Stdev	Total Visit Duration_dn01_por t_1_1.JPG_Rectangl e 23_N	Total Visit Duration_dn01_por t_1_1.JPG_Rectangl e 23_Mean
0,23	0,23	0	0	0	0	0	0	0	0	1	0,13
0,15	0,15	0	1	0,63	0,63	0,63	0,63	0,63	0	0	0
0,28	0,28	0	1	0,35	0,35	0,35	0,35	0,35	0	0	0
0,43	0,43	0	0	0	0	0	0	0	0	0	0
0,08	0,08	0	1	0,08	0,08	0,08	0,08	0,08	0	0	0
0	0	0	1	1,73	1,73	1,73	1,73	1,73	0	1	0,6
0,08	0,08	0	1	0,18	0,18	0,18	0,18	0,18	0	0	0
0	0	0	1	1,2	1,2	1,2	1,2	1,2	0	1	0,07
0	0	0	1	0,12	0,12	0,12	0,12	0,12	0	0	0
0	0	0	1	1,18	1,18	1,18	1,18	1,18	0	0	0
0	0	0	0	0	0	0	0	0	0	0	0
0	0	0	1	0,25	0,25	0,25	0,25	0,25	0	0	0
0	0	0	1	0,28	0,28	0,28	0,28	0,28	0	0	0
0	0	0	0	0	0	0	0	0	0	0	0
0	0	0	1	1,48	1,48	1,48	1,48	1,48	0	0	0
0	0	0	1	1,95	1,95	1,95	1,95	1,95	0	0	0
0,07	0,07	0	0	0	0	0	0	0	0	0	0
0,13	0,13	0	1	0,27	0,27	0,27	0,27	0,27	0	0	0
1,47	0,14	0,13	13	0,75	1,95	0,08	9,71	0,35	0,67	3	0,27

Total Visit Duration_dn01_por t_1_1.JPG_Rectangl e 23_Max	Total Visit Duration_dn01_por t_1_1.JPG_Rectangl e 23_Min	Total Visit Duration_dn01_por t_1_1.JPG_Rectangl e 23_Sum	Total Visit Duration_dn01_por t_1_1.JPG_Rectangl e 23_Median	Total Visit Duration_dn01_por t_1_1.JPG_Rectangl e 23_Strdev	Total Visit Duration_dn01_por t_1_1.JPG_Rectangl e 24_N	Total Visit Duration_dn01_por t_1_1.JPG_Rectangl e 24_Mean	Total Visit Duration_dn01_por t_1_1.JPG_Rectangl e 24_Max	Total Visit Duration_dn01_por t_1_1.JPG_Rectangl e 24_Min	Total Visit Duration_dn01_por t_1_1.JPG_Rectangl e 24_Sum	Total Visit Duration_dn01_por t_1_1.JPG_Rectangl e 24_Median	Total Visit Duration_dn01_por t_1_1.JPG_Rectangl e 24_Strdev
0,13	0,13	0,13	0,13	0	0	0	0	0	0	0	0
0	0	0	0	0	0	0	0	0	0	0	0
0	0	0	0	0	1	0,23	0,23	0,23	0,23	0,23	0
0	0	0	0	0	0	0	0	0	0	0	0
0	0	0	0	0	0	0	0	0	0	0	0
0,6	0,6	0,6	0,6	0	1	1,6	1,6	1,6	1,6	1,6	0
0	0	0	0	0	0	0	0	0	0	0	0
0,07	0,07	0,07	0,07	0	1	0,18	0,18	0,18	0,18	0,18	0
0	0	0	0	0	0	0	0	0	0	0	0
0	0	0	0	0	1	0,3	0,3	0,3	0,3	0,3	0
0	0	0	0	0	0	0	0	0	0	0	0
0	0	0	0	0	0	0	0	0	0	0	0
0	0	0	0	0	1	0,67	0,67	0,67	0,67	0,67	0
0	0	0	0	0	0	0	0	0	0	0	0
0	0	0	0	0	1	1,97	1,97	1,97	1,97	1,97	0
0	0	0	0	0	1	1,02	1,02	1,02	1,02	1,02	0
0	0	0	0	0	0	0	0	0	0	0	0
0	0	0	0	0	0	0	0	0	0	0	0
0,6	0,07	0,8	0,13	0,29	7	0,85	1,97	0,18	5,96	0,67	0,71

Total Visit Duration_dn01_por t_1_1.JPG_Rectangl e 25_N	Total Visit Duration_dn01_por t_1_1.JPG_Rectangl e 25_Mean	Total Visit Duration_dn01_por t_1_1.JPG_Rectangl e 25_Max	Total Visit Duration_dn01_por t_1_1.JPG_Rectangl e 25_Min	Total Visit Duration_dn01_por t_1_1.JPG_Rectangl e 25_Sum	Total Visit Duration_dn01_por t_1_1.JPG_Rectangl e 25_Median	Total Visit Duration_dn01_por t_1_1.JPG_Rectangl e 25_Stdev	Total Visit Duration_dn01_por t_1_1.JPG_Rectangl e 26_N	Total Visit Duration_dn01_por t_1_1.JPG_Rectangl e 26_Mean	Total Visit Duration_dn01_por t_1_1.JPG_Rectangl e 26_Max	Total Visit Duration_dn01_por t_1_1.JPG_Rectangl e 26_Min	Total Visit Duration_dn01_por t_1_1.JPG_Rectangl e 26_Sum
1	1,2	1,2	1,2	1,2	1,2	0	0	0	0	0	0
1	0,62	0,62	0,62	0,62	0,62	0	0	0	0	0	0
0	0	0	0	0	0	0	1	1,57	1,57	1,57	1,57
1	2,9	2,9	2,9	2,9	2,9	0	0	0	0	0	0
0	0	0	0	0	0	0	1	0,12	0,12	0,12	0,12
0	0	0	0	0	0	0	1	0,65	0,65	0,65	0,65
1	0,1	0,1	0,1	0,1	0,1	0	1	0,68	0,68	0,68	0,68
1	0,12	0,12	0,12	0,12	0,12	0	0	0	0	0	0
1	0,35	0,35	0,35	0,35	0,35	0	1	0,43	0,43	0,43	0,43
1	0,17	0,17	0,17	0,17	0,17	0	1	0,28	0,28	0,28	0,28
1	0,83	0,83	0,83	0,83	0,83	0	0	0	0	0	0
0	0	0	0	0	0	0	0	0	0	0	0
1	1,45	1,45	1,45	1,45	1,45	0	1	0,17	0,17	0,17	0,17
1	0,18	0,18	0,18	0,18	0,18	0	1	1,2	1,2	1,2	1,2
1	0,37	0,37	0,37	0,37	0,37	0	1	1,07	1,07	1,07	1,07
1	0,48	0,48	0,48	0,48	0,48	0	1	1,23	1,23	1,23	1,23
0	0	0	0	0	0	0	0	0	0	0	0
0	0	0	0	0	0	0	0	0	0	0	0
12	0,73	2,9	0,1	8,76	0,42	0,81	10	0,74	1,57	0,12	7,39

Total Visit Duration_dn01_por t_1_1.JPG_Rectangl e 26_Median	Total Visit Duration_dn01_por t_1_1.JPG_Rectangl e 26_Stdev	Total Visit Duration_dn01_por t_1_1.JPG_Rectangl e 27_N	Total Visit Duration_dn01_por t_1_1.JPG_Rectangl e 27_Mean	Total Visit Duration_dn01_por t_1_1.JPG_Rectangl e 27_Max	Total Visit Duration_dn01_por t_1_1.JPG_Rectangl e 27_Min	Total Visit Duration_dn01_por t_1_1.JPG_Rectangl e 27_Sum	Total Visit Duration_dn01_por t_1_1.JPG_Rectangl e 27_Median	Total Visit Duration_dn01_por t_1_1.JPG_Rectangl e 27_Stdev	Total Visit Duration_dn01_por t_1_1.JPG_Rectangl e 28_N	Total Visit Duration_dn01_por t_1_1.JPG_Rectangl e 28_Mean	Total Visit Duration_dn01_por t_1_1.JPG_Rectangl e 28_Max
0	0	1	1,25	1,25	1,25	1,25	1,25	0	0	0	0
0	0	0	0	0	0	0	0	0	0	0	0
1,57	0	0	0	0	0	0	0	0	1	1,23	1,23
0	0	1	0,1	0,1	0,1	0,1	0,1	0	0	0	0
0,12	0	0	0	0	0	0	0	0	0	0	0
0,65	0	1	0,63	0,63	0,63	0,63	0,63	0	0	0	0
0,68	0	0	0	0	0	0	0	0	1	0,36	0,36
0	0	1	0,23	0,23	0,23	0,23	0,23	0	0	0	0
0,43	0	1	0,53	0,53	0,53	0,53	0,53	0	0	0	0
0,28	0	1	0,13	0,13	0,13	0,13	0,13	0	1	0,53	0,53
0	0	1	0,88	0,88	0,88	0,88	0,88	0	0	0	0
0	0	0	0	0	0	0	0	0	0	0	0
0,17	0	0	0	0	0	0	0	0	1	2,52	2,52
1,2	0	0	0	0	0	0	0	0	1	1,05	1,05
1,07	0	0	0	0	0	0	0	0	1	1,77	1,77
1,23	0	1	0,77	0,77	0,77	0,77	0,77	0	1	0,59	0,59
0	0	1	0,27	0,27	0,27	0,27	0,27	0	1	0,08	0,08
0	0	0	0	0	0	0	0	0	0	0	0
0,67	0,5	9	0,53	1,25	0,1	4,8	0,53	0,39	8	1,02	2,52

Total Visit Duration_dn01_por t_1_1.JPG_Rectangl e 28_Min	Total Visit Duration_dn01_por t_1_1.JPG_Rectangl e 28_Sum	Total Visit Duration_dn01_por t_1_1.JPG_Rectangl e 28_Median	Total Visit Duration_dn01_por t_1_1.JPG_Rectangl e 28_Strdev	Total Visit Duration_dn01_por t_1_1.JPG_Rectangl e 29_N	Total Visit Duration_dn01_por t_1_1.JPG_Rectangl e 29_Mean	Total Visit Duration_dn01_por t_1_1.JPG_Rectangl e 29_Max	Total Visit Duration_dn01_por t_1_1.JPG_Rectangl e 29_Min	Total Visit Duration_dn01_por t_1_1.JPG_Rectangl e 29_Sum	Total Visit Duration_dn01_por t_1_1.JPG_Rectangl e 29_Median	Total Visit Duration_dn01_por t_1_1.JPG_Rectangl e 29_Strdev	Total Visit Duration_dn01_por t_1_1.JPG_Rectangl e 3_N
0	0	0	0	0	0	0	0	0	0	0	1
0	0	0	0	1	0,48	0,48	0,48	0,48	0,48	0	1
1,23	1,23	1,23	0	1	1,35	1,35	1,35	1,35	1,35	0	1
0	0	0	0	0	0	0	0	0	0	0	1
0	0	0	0	0	0	0	0	0	0	0	1
0	0	0	0	0	0	0	0	0	0	0	1
0,36	0,36	0,36	0	1	0,92	0,92	0,92	0,92	0,92	0	1
0	0	0	0	1	0,73	0,73	0,73	0,73	0,73	0	0
0	0	0	0	0	0	0	0	0	0	0	1
0,53	0,53	0,53	0	1	0,6	0,6	0,6	0,6	0,6	0	1
0	0	0	0	1	0,35	0,35	0,35	0,35	0,35	0	1
0	0	0	0	0	0	0	0	0	0	0	0
2,52	2,52	2,52	0	0	0	0	0	0	0	0	0
1,05	1,05	1,05	0	0	0	0	0	0	0	0	1
1,77	1,77	1,77	0	0	0	0	0	0	0	0	0
0,59	0,59	0,59	0	0	0	0	0	0	0	0	1
0,08	0,08	0,08	0	0	0	0	0	0	0	0	1
0	0	0	0	0	0	0	0	0	0	0	1
0,08	8,14	0,82	0,81	6	0,74	1,35	0,35	4,42	0,67	0,36	14

Total Visit Duration_dn01_por t_1_1.JPG_Rectangl e 3_Mean	Total Visit Duration_dn01_por t_1_1.JPG_Rectangl e 3_Max	Total Visit Duration_dn01_por t_1_1.JPG_Rectangl e 3_Min	Total Visit Duration_dn01_por t_1_1.JPG_Rectangl e 3_Sum	Total Visit Duration_dn01_por t_1_1.JPG_Rectangl e 3_Median	Total Visit Duration_dn01_por t_1_1.JPG_Rectangl e 3_Stdev	Total Visit Duration_dn01_por t_1_1.JPG_Rectangl e 30_N	Total Visit Duration_dn01_por t_1_1.JPG_Rectangl e 30_Mean	Total Visit Duration_dn01_por t_1_1.JPG_Rectangl e 30_Max	Total Visit Duration_dn01_por t_1_1.JPG_Rectangl e 30_Min	Total Visit Duration_dn01_por t_1_1.JPG_Rectangl e 30_Sum	Total Visit Duration_dn01_por t_1_1.JPG_Rectangl e 30_Median
0,18	0,18	0,18	0,18	0,18	0	0	0	0	0	0	0
2,28	2,28	2,28	2,28	2,28	0	0	0	0	0	0	0
2,59	2,59	2,59	2,59	2,59	0	0	0	0	0	0	0
3,14	3,14	3,14	3,14	3,14	0	1	0,62	0,62	0,62	0,62	0,62
0,2	0,2	0,2	0,2	0,2	0	0	0	0	0	0	0
1,22	1,22	1,22	1,22	1,22	0	0	0	0	0	0	0
2,6	2,6	2,6	2,6	2,6	0	1	0,73	0,73	0,73	0,73	0,73
0	0	0	0	0	0	1	1,68	1,68	1,68	1,68	1,68
0,25	0,25	0,25	0,25	0,25	0	0	0	0	0	0	0
0,72	0,72	0,72	0,72	0,72	0	1	0,32	0,32	0,32	0,32	0,32
0,43	0,43	0,43	0,43	0,43	0	1	3,5	3,5	3,5	3,5	3,5
0	0	0	0	0	0	0	0	0	0	0	0
0	0	0	0	0	0	1	0,88	0,88	0,88	0,88	0,88
4	4	4	4	4	0	1	0,25	0,25	0,25	0,25	0,25
0	0	0	0	0	0	1	0,49	0,49	0,49	0,49	0,49
0,37	0,37	0,37	0,37	0,37	0	1	3,03	3,03	3,03	3,03	3,03
0,83	0,83	0,83	0,83	0,83	0	1	0,12	0,12	0,12	0,12	0,12
0,85	0,85	0,85	0,85	0,85	0	0	0	0	0	0	0
1,4	4	0,18	19,65	0,84	1,26	10	1,16	3,5	0,12	11,62	0,67

Total Visit Duration_dn01_por t_1_1.JPG_Rectangl e 30_ Stdev	Total Visit Duration_dn01_por t_1_1.JPG_Rectangl e 31_ N	Total Visit Duration_dn01_por t_1_1.JPG_Rectangl e 31_ Mean	Total Visit Duration_dn01_por t_1_1.JPG_Rectangl e 31_ Max	Total Visit Duration_dn01_por t_1_1.JPG_Rectangl e 31_ Min	Total Visit Duration_dn01_por t_1_1.JPG_Rectangl e 31_ Sum	Total Visit Duration_dn01_por t_1_1.JPG_Rectangl e 31_ Median	Total Visit Duration_dn01_por t_1_1.JPG_Rectangl e 31_ Stdev	Total Visit Duration_dn01_por t_1_1.JPG_Rectangl e 32_ N	Total Visit Duration_dn01_por t_1_1.JPG_Rectangl e 32_ Mean	Total Visit Duration_dn01_por t_1_1.JPG_Rectangl e 32_ Max	Total Visit Duration_dn01_por t_1_1.JPG_Rectangl e 32_ Min
0	1	1,35	1,35	1,35	1,35	1,35	0	0	0	0	0
0	0	0	0	0	0	0	0	0	0	0	0
0	1	0,12	0,12	0,12	0,12	0,12	0	0	0	0	0
0	1	0,33	0,33	0,33	0,33	0,33	0	0	0	0	0
0	0	0	0	0	0	0	0	0	0	0	0
0	0	0	0	0	0	0	0	0	0	0	0
0	1	0,75	0,75	0,75	0,75	0,75	0	0	0	0	0
0	1	0,18	0,18	0,18	0,18	0,18	0	0	0	0	0
0	0	0	0	0	0	0	0	0	0	0	0
0	1	1,57	1,57	1,57	1,57	1,57	0	1	0,17	0,17	0,17
0	1	0,73	0,73	0,73	0,73	0,73	0	0	0	0	0
0	0	0	0	0	0	0	0	0	0	0	0
0	1	0,93	0,93	0,93	0,93	0,93	0	0	0	0	0
0	1	1,8	1,8	1,8	1,8	1,8	0	0	0	0	0
0	0	0	0	0	0	0	0	0	0	0	0
0	1	1,32	1,32	1,32	1,32	1,32	0	0	0	0	0
0	1	0,43	0,43	0,43	0,43	0,43	0	0	0	0	0
0	0	0	0	0	0	0	0	0	0	0	0
1,2	11	0,86	1,8	0,12	9,51	0,75	0,58	1	0,17	0,17	0,17

Total Visit Duration_dn01_por t_1_1.JPG_Rectangl e 32_Sum	Total Visit Duration_dn01_por t_1_1.JPG_Rectangl e 32_Median	Total Visit Duration_dn01_por t_1_1.JPG_Rectangl e 32_Stdev	Total Visit Duration_dn01_por t_1_1.JPG_Rectangl e 4_N	Total Visit Duration_dn01_por t_1_1.JPG_Rectangl e 4_Mean	Total Visit Duration_dn01_por t_1_1.JPG_Rectangl e 4_Max	Total Visit Duration_dn01_por t_1_1.JPG_Rectangl e 4_Min	Total Visit Duration_dn01_por t_1_1.JPG_Rectangl e 4_Sum	Total Visit Duration_dn01_por t_1_1.JPG_Rectangl e 4_Median	Total Visit Duration_dn01_por t_1_1.JPG_Rectangl e 4_Stdev	Total Visit Duration_dn01_por t_1_1.JPG_Rectangl e 5_N	Total Visit Duration_dn01_por t_1_1.JPG_Rectangl e 5_Mean
0	0	0	0	0	0	0	0	0	0	1	0,83
0	0	0	0	0	0	0	0	0	0	0	0
0	0	0	0	0	0	0	0	0	0	0	0
0	0	0	1	0,2	0,2	0,2	0,2	0,2	0	0	0
0	0	0	1	1,45	1,45	1,45	1,45	1,45	0	0	0
0	0	0	0	0	0	0	0	0	0	1	0,52
0	0	0	1	0,2	0,2	0,2	0,2	0,2	0	0	0
0	0	0	1	1,48	1,48	1,48	1,48	1,48	0	0	0
0	0	0	1	0,22	0,22	0,22	0,22	0,22	0	0	0
0,17	0,17	0	1	1,33	1,33	1,33	1,33	1,33	0	0	0
0	0	0	1	0,18	0,18	0,18	0,18	0,18	0	0	0
0	0	0	1	0,88	0,88	0,88	0,88	0,88	0	0	0
0	0	0	0	0	0	0	0	0	0	0	0
0	0	0	1	0,12	0,12	0,12	0,12	0,12	0	0	0
0	0	0	1	0,53	0,53	0,53	0,53	0,53	0	0	0
0	0	0	0	0	0	0	0	0	0	0	0
0	0	0	1	0,8	0,8	0,8	0,8	0,8	0	1	0,07
0	0	0	1	0,65	0,65	0,65	0,65	0,65	0	0	0
0,17	0,17	0	12	0,67	1,48	0,12	8,04	0,59	0,52	3	0,47

Total Visit Duration_dn01_por t_1_1.JPG_Rectangl e 5_Max	Total Visit Duration_dn01_por t_1_1.JPG_Rectangl e 5_Min	Total Visit Duration_dn01_por t_1_1.JPG_Rectangl e 5_Sum	Total Visit Duration_dn01_por t_1_1.JPG_Rectangl e 5_Median	Total Visit Duration_dn01_por t_1_1.JPG_Rectangl e 5_Stdev	Total Visit Duration_dn01_por t_1_1.JPG_Rectangl e 7_N	Total Visit Duration_dn01_por t_1_1.JPG_Rectangl e 7_Mean	Total Visit Duration_dn01_por t_1_1.JPG_Rectangl e 7_Max	Total Visit Duration_dn01_por t_1_1.JPG_Rectangl e 7_Min	Total Visit Duration_dn01_por t_1_1.JPG_Rectangl e 7_Sum	Total Visit Duration_dn01_por t_1_1.JPG_Rectangl e 7_Median	Total Visit Duration_dn01_por t_1_1.JPG_Rectangl e 7_Stdev
0,83	0,83	0,83	0,83	0	1	0,85	0,85	0,85	0,85	0,85	0
0	0	0	0	0	0	0	0	0	0	0	0
0	0	0	0	0	0	0	0	0	0	0	0
0	0	0	0	0	0	0	0	0	0	0	0
0	0	0	0	0	0	0	0	0	0	0	0
0,52	0,52	0,52	0,52	0	1	0,18	0,18	0,18	0,18	0,18	0
0	0	0	0	0	1	0,18	0,18	0,18	0,18	0,18	0
0	0	0	0	0	1	1,76	1,76	1,76	1,76	1,76	0
0	0	0	0	0	1	0,68	0,68	0,68	0,68	0,68	0
0	0	0	0	0	1	0,87	0,87	0,87	0,87	0,87	0
0	0	0	0	0	1	0,85	0,85	0,85	0,85	0,85	0
0	0	0	0	0	1	2,15	2,15	2,15	2,15	2,15	0
0	0	0	0	0	0	0	0	0	0	0	0
0	0	0	0	0	1	0,67	0,67	0,67	0,67	0,67	0
0	0	0	0	0	1	0,22	0,22	0,22	0,22	0,22	0
0	0	0	0	0	0	0	0	0	0	0	0
0,07	0,07	0,07	0,07	0	1	0,12	0,12	0,12	0,12	0,12	0
0	0	0	0	0	1	0,48	0,48	0,48	0,48	0,48	0
0,83	0,07	1,42	0,52	0,38	12	0,75	2,15	0,12	9,01	0,67	0,63

Total Visit Duration_dn01_por t_1_1.JPG_Rectangl e 8_N	Total Visit Duration_dn01_por t_1_1.JPG_Rectangl e 8_Mean	Total Visit Duration_dn01_por t_1_1.JPG_Rectangl e 8_Max	Total Visit Duration_dn01_por t_1_1.JPG_Rectangl e 8_Min	Total Visit Duration_dn01_por t_1_1.JPG_Rectangl e 8_Sum	Total Visit Duration_dn01_por t_1_1.JPG_Rectangl e 8_Median	Total Visit Duration_dn01_por t_1_1.JPG_Rectangl e 8_Stdev	Total Visit Duration_dn01_por t_1_1.JPG_Rectangl e 9_N	Total Visit Duration_dn01_por t_1_1.JPG_Rectangl e 9_Mean	Total Visit Duration_dn01_por t_1_1.JPG_Rectangl e 9_Max	Total Visit Duration_dn01_por t_1_1.JPG_Rectangl e 9_Min	Total Visit Duration_dn01_por t_1_1.JPG_Rectangl e 9_Sum
1	1,48	1,48	1,48	1,48	1,48	0	1	0,2	0,2	0,2	0,2
0	0	0	0	0	0	0	0	0	0	0	0
0	0	0	0	0	0	0	0	0	0	0	0
0	0	0	0	0	0	0	0	0	0	0	0
0	0	0	0	0	0	0	1	0,07	0,07	0,07	0,07
1	0,43	0,43	0,43	0,43	0,43	0	0	0	0	0	0
0	0	0	0	0	0	0	0	0	0	0	0
1	1,28	1,28	1,28	1,28	1,28	0	0	0	0	0	0
1	1,63	1,63	1,63	1,63	1,63	0	0	0	0	0	0
1	0,12	0,12	0,12	0,12	0,12	0	1	0,23	0,23	0,23	0,23
1	0,26	0,26	0,26	0,26	0,26	0	0	0	0	0	0
1	2,46	2,46	2,46	2,46	2,46	0	0	0	0	0	0
0	0	0	0	0	0	0	0	0	0	0	0
0	0	0	0	0	0	0	0	0	0	0	0
1	0,32	0,32	0,32	0,32	0,32	0	1	0,07	0,07	0,07	0,07
0	0	0	0	0	0	0	0	0	0	0	0
0	0	0	0	0	0	0	1	0,15	0,15	0,15	0,15
1	0,48	0,48	0,48	0,48	0,48	0	0	0	0	0	0
9	0,94	2,46	0,12	8,47	0,48	0,81	5	0,14	0,23	0,07	0,72

PRILOG 3 A

Rezultati mjerenja i deskriptivna statistika praćenja oka korisnika aplikacije za tablet novine

Total Visit Duration_dn01_por t_1_1.JPG_Rectangl e 9_Median	Total Visit Duration_dn01_por t_1_1.JPG_Rectangl e 9_Stdev
0,2	0
0	0
0	0
0	0
0,07	0
0	0
0	0
0	0
0	0
0,23	0
0	0
0	0
0	0
0	0
0,07	0
0	0
0,15	0
0	0
0,15	0,08

	Total Visit Duration_dn02_NYT port_1_1.JPG_Polyg on_N	Total Visit Duration_dn02_NYT port_1_1.JPG_Polyg on_Mean	Total Visit Duration_dn02_NYT port_1_1.JPG_Polyg on_Max	Total Visit Duration_dn02_NYT port_1_1.JPG_Polyg on_Min	Total Visit Duration_dn02_NYT port_1_1.JPG_Polyg on_Sum	Total Visit Duration_dn02_NYT port_1_1.JPG_Polyg on_Median	Total Visit Duration_dn02_NYT port_1_1.JPG_Polyg on_Stdev	Total Visit Duration_dn02_NYT port_1_1.JPG_Recta ngle_N	Total Visit Duration_dn02_NYT port_1_1.JPG_Recta ngle_Mean	Total Visit Duration_dn02_NYT port_1_1.JPG_Recta ngle_Max	Total Visit Duration_dn02_NYT port_1_1.JPG_Recta ngle_Min
Rec 01	1	13,96	13,96	13,96	13,96	13,96	0	0	0	0	0
Rec 05	1	2,8	2,8	2,8	2,8	2,8	0	0	0	0	0
Rec 06	1	7,7	7,7	7,7	7,7	7,7	0	0	0	0	0
Rec 02	1	4,33	4,33	4,33	4,33	4,33	0	0	0	0	0
Rec 03	1	0,13	0,13	0,13	0,13	0,13	0	1	1,7	1,7	1,7
Rec 04	1	2,11	2,11	2,11	2,11	2,11	0	0	0	0	0
Rec 07	1	0,77	0,77	0,77	0,77	0,77	0	0	0	0	0
Rec 08	1	19,22	19,22	19,22	19,22	19,22	0	1	0,18	0,18	0,18
Rec 09	1	2,76	2,76	2,76	2,76	2,76	0	1	1,13	1,13	1,13
Rec 10	1	4,71	4,71	4,71	4,71	4,71	0	0	0	0	0
Rec 11	1	1,98	1,98	1,98	1,98	1,98	0	1	0,73	0,73	0,73
Rec 12	1	0,33	0,33	0,33	0,33	0,33	0	1	0,37	0,37	0,37
Rec 13	1	5,61	5,61	5,61	5,61	5,61	0	0	0	0	0
Rec 14	1	19,58	19,58	19,58	19,58	19,58	0	0	0	0	0
Rec 16	1	1,27	1,27	1,27	1,27	1,27	0	1	0,13	0,13	0,13
Rec 17	1	15,77	15,77	15,77	15,77	15,77	0	0	0	0	0
Rec 18	1	2,38	2,38	2,38	2,38	2,38	0	1	0,2	0,2	0,2
Rec 19	1	1,85	1,85	1,85	1,85	1,85	0	0	0	0	0
All Recordings	18	6,51	15,77	0,13	107,27	2,78	7,73	7	0,64	1,7	0,13

Total Visit Duration_dn02_NYT port_1_1.JPG_Recta ngle_Sum	Total Visit Duration_dn02_NYT port_1_1.JPG_Recta ngle_Median	Total Visit Duration_dn02_NYT port_1_1.JPG_Recta ngle_Stdev	Total Visit Duration_dn02_NYT port_1_1.JPG_Recta ngle_10_N	Total Visit Duration_dn02_NYT port_1_1.JPG_Recta ngle_10_Mean	Total Visit Duration_dn02_NYT port_1_1.JPG_Recta ngle_10_Max	Total Visit Duration_dn02_NYT port_1_1.JPG_Recta ngle_10_Min	Total Visit Duration_dn02_NYT port_1_1.JPG_Recta ngle_10_Sum	Total Visit Duration_dn02_NYT port_1_1.JPG_Recta ngle_10_Median	Total Visit Duration_dn02_NYT port_1_1.JPG_Recta ngle_10_Stdev	Total Visit Duration_dn02_NYT port_1_1.JPG_Recta ngle_11_N	Total Visit Duration_dn02_NYT port_1_1.JPG_Recta ngle_11_Mean
0	0	0	0	0	0	0	0	0	0	1	1,35
0	0	0	0	0	0	0	0	0	0	0	0
0	0	0	1	4,96	4,96	4,96	4,96	4,96	0	1	0,2
0	0	0	0	0	0	0	0	0	0	1	1,77
1,7	1,7	0	1	0,3	0,3	0,3	0,3	0,3	0	0	0
0	0	0	1	3,85	3,85	3,85	3,85	3,85	0	1	2,83
0	0	0	1	1,07	1,07	1,07	1,07	1,07	0	1	0,6
0,18	0,18	0	1	0,85	0,85	0,85	0,85	0,85	0	1	0,15
1,13	1,13	0	1	0,9	0,9	0,9	0,9	0,9	0	1	2
0	0	0	1	1,68	1,68	1,68	1,68	1,68	0	1	2,38
0,73	0,73	0	0	0	0	0	0	0	0	1	0,73
0,37	0,37	0	1	4,33	4,33	4,33	4,33	4,33	0	1	6,68
0	0	0	0	0	0	0	0	0	0	1	0,75
0	0	0	1	0,22	0,22	0,22	0,22	0,22	0	0	0
0,13	0,13	0	1	3,35	3,35	3,35	3,35	3,35	0	1	4,11
0	0	0	0	0	0	0	0	0	0	0	0
0,2	0,2	0	1	0,1	0,1	0,1	0,1	0,1	0	0	0
0	0	0	1	2,63	2,63	2,63	2,63	2,63	0	1	1,53
4,45	0,37	0,59	12	2,02	4,96	0,1	24,23	1,37	1,73	13	1,93

Total Visit Duration_dn02_NYT port_1_1.JPG_Recta ngle 11_Max	Total Visit Duration_dn02_NYT port_1_1.JPG_Recta ngle 11_Min	Total Visit Duration_dn02_NYT port_1_1.JPG_Recta ngle 11_Sum	Total Visit Duration_dn02_NYT port_1_1.JPG_Recta ngle 11_Median	Total Visit Duration_dn02_NYT port_1_1.JPG_Recta ngle 11_Stdev	Total Visit Duration_dn02_NYT port_1_1.JPG_Recta ngle 12_N	Total Visit Duration_dn02_NYT port_1_1.JPG_Recta ngle 12_Mean	Total Visit Duration_dn02_NYT port_1_1.JPG_Recta ngle 12_Max	Total Visit Duration_dn02_NYT port_1_1.JPG_Recta ngle 12_Min	Total Visit Duration_dn02_NYT port_1_1.JPG_Recta ngle 12_Sum	Total Visit Duration_dn02_NYT port_1_1.JPG_Recta ngle 12_Median	Total Visit Duration_dn02_NYT port_1_1.JPG_Recta ngle 12_Stdev
1,35	1,35	1,35	1,35	0	1	1,43	1,43	1,43	1,43	1,43	0
0	0	0	0	0	1	1,02	1,02	1,02	1,02	1,02	0
0,2	0,2	0,2	0,2	0	1	0,92	0,92	0,92	0,92	0,92	0
1,77	1,77	1,77	1,77	0	1	1,45	1,45	1,45	1,45	1,45	0
0	0	0	0	0	0	0	0	0	0	0	0
2,83	2,83	2,83	2,83	0	1	2,26	2,26	2,26	2,26	2,26	0
0,6	0,6	0,6	0,6	0	1	0,85	0,85	0,85	0,85	0,85	0
0,15	0,15	0,15	0,15	0	1	0,48	0,48	0,48	0,48	0,48	0
2	2	2	2	0	1	0,98	0,98	0,98	0,98	0,98	0
2,38	2,38	2,38	2,38	0	1	1,71	1,71	1,71	1,71	1,71	0
0,73	0,73	0,73	0,73	0	0	0	0	0	0	0	0
6,68	6,68	6,68	6,68	0	1	5,68	5,68	5,68	5,68	5,68	0
0,75	0,75	0,75	0,75	0	1	0,6	0,6	0,6	0,6	0,6	0
0	0	0	0	0	0	0	0	0	0	0	0
4,11	4,11	4,11	4,11	0	1	4,54	4,54	4,54	4,54	4,54	0
0	0	0	0	0	0	0	0	0	0	0	0
0	0	0	0	0	0	0	0	0	0	0	0
1,53	1,53	1,53	1,53	0	1	3,71	3,71	3,71	3,71	3,71	0
6,68	0,15	25,08	1,53	1,82	13	1,97	5,68	0,48	25,63	1,43	1,64

Total Visit Duration_dn02_NYT port_1_1.JPG_Recta ngle 13_N	Total Visit Duration_dn02_NYT port_1_1.JPG_Recta ngle 13_Mean	Total Visit Duration_dn02_NYT port_1_1.JPG_Recta ngle 13_Max	Total Visit Duration_dn02_NYT port_1_1.JPG_Recta ngle 13_Min	Total Visit Duration_dn02_NYT port_1_1.JPG_Recta ngle 13_Sum	Total Visit Duration_dn02_NYT port_1_1.JPG_Recta ngle 13_Median	Total Visit Duration_dn02_NYT port_1_1.JPG_Recta ngle 13_Stdev	Total Visit Duration_dn02_NYT port_1_1.JPG_Recta ngle 14_N	Total Visit Duration_dn02_NYT port_1_1.JPG_Recta ngle 14_Mean	Total Visit Duration_dn02_NYT port_1_1.JPG_Recta ngle 14_Max	Total Visit Duration_dn02_NYT port_1_1.JPG_Recta ngle 14_Min	Total Visit Duration_dn02_NYT port_1_1.JPG_Recta ngle 14_Sum
1	0,17	0,17	0,17	0,17	0,17	0	1	1,16	1,16	1,16	1,16
1	1,72	1,72	1,72	1,72	1,72	0	1	4,86	4,86	4,86	4,86
1	1,15	1,15	1,15	1,15	1,15	0	1	2,22	2,22	2,22	2,22
1	2,13	2,13	2,13	2,13	2,13	0	1	1,1	1,1	1,1	1,1
0	0	0	0	0	0	0	0	0	0	0	0
1	2,61	2,61	2,61	2,61	2,61	0	1	5,06	5,06	5,06	5,06
1	2,02	2,02	2,02	2,02	2,02	0	1	1,57	1,57	1,57	1,57
0	0	0	0	0	0	0	1	0,82	0,82	0,82	0,82
1	0,77	0,77	0,77	0,77	0,77	0	1	0,33	0,33	0,33	0,33
1	1,25	1,25	1,25	1,25	1,25	0	1	0,62	0,62	0,62	0,62
0	0	0	0	0	0	0	1	3,3	3,3	3,3	3,3
1	0,42	0,42	0,42	0,42	0,42	0	0	0	0	0	0
1	0,45	0,45	0,45	0,45	0,45	0	1	0,2	0,2	0,2	0,2
1	2,15	2,15	2,15	2,15	2,15	0	1	1,53	1,53	1,53	1,53
1	2,86	2,86	2,86	2,86	2,86	0	1	6,3	6,3	6,3	6,3
1	0,29	0,29	0,29	0,29	0,29	0	0	0	0	0	0
0	0	0	0	0	0	0	1	0,47	0,47	0,47	0,47
1	3,16	3,16	3,16	3,16	3,16	0	1	3,76	3,76	3,76	3,76
14	1,51	3,16	0,17	21,14	1,48	1,01	15	2,22	6,3	0,2	33,29

Total Visit Duration_dn02_NYT port_1_1.JPG_Recta ngle 14_Median	Total Visit Duration_dn02_NYT port_1_1.JPG_Recta ngle 14_Stdev	Total Visit Duration_dn02_NYT port_1_1.JPG_Recta ngle 15_N	Total Visit Duration_dn02_NYT port_1_1.JPG_Recta ngle 15_Mean	Total Visit Duration_dn02_NYT port_1_1.JPG_Recta ngle 15_Max	Total Visit Duration_dn02_NYT port_1_1.JPG_Recta ngle 15_Min	Total Visit Duration_dn02_NYT port_1_1.JPG_Recta ngle 15_Sum	Total Visit Duration_dn02_NYT port_1_1.JPG_Recta ngle 15_Median	Total Visit Duration_dn02_NYT port_1_1.JPG_Recta ngle 15_Stdev	Total Visit Duration_dn02_NYT port_1_1.JPG_Recta ngle 16_N	Total Visit Duration_dn02_NYT port_1_1.JPG_Recta ngle 16_Mean	Total Visit Duration_dn02_NYT port_1_1.JPG_Recta ngle 16_Max
1,16	0	0	0	0	0	0	0	0	0	0	0
4,86	0	1	1,73	1,73	1,73	1,73	1,73	0	0	0	0
2,22	0	1	0,2	0,2	0,2	0,2	0,2	0	0	0	0
1,1	0	0	0	0	0	0	0	0	0	0	0
0	0	0	0	0	0	0	0	0	1	2,23	2,23
5,06	0	0	0	0	0	0	0	0	0	0	0
1,57	0	0	0	0	0	0	0	0	0	0	0
0,82	0	0	0	0	0	0	0	0	0	0	0
0,33	0	0	0	0	0	0	0	0	0	0	0
0,62	0	0	0	0	0	0	0	0	0	0	0
3,3	0	1	1,4	1,4	1,4	1,4	1,4	0	0	0	0
0	0	0	0	0	0	0	0	0	0	0	0
0,2	0	0	0	0	0	0	0	0	0	0	0
1,53	0	0	0	0	0	0	0	0	0	0	0
6,3	0	0	0	0	0	0	0	0	0	0	0
0	0	0	0	0	0	0	0	0	0	0	0
0,47	0	0	0	0	0	0	0	0	0	0	0
3,76	0	0	0	0	0	0	0	0	0	0	0
1,53	1,96	3	1,11	1,73	0,2	3,33	1,4	0,81	1	2,23	2,23

Total Visit Duration_dn02_NYT port_1_1.JPG_Recta ngle 16_Min	Total Visit Duration_dn02_NYT port_1_1.JPG_Recta ngle 16_Sum	Total Visit Duration_dn02_NYT port_1_1.JPG_Recta ngle 16_Median	Total Visit Duration_dn02_NYT port_1_1.JPG_Recta ngle 16_Stdev	Total Visit Duration_dn02_NYT port_1_1.JPG_Recta ngle 17_N	Total Visit Duration_dn02_NYT port_1_1.JPG_Recta ngle 17_Mean	Total Visit Duration_dn02_NYT port_1_1.JPG_Recta ngle 17_Max	Total Visit Duration_dn02_NYT port_1_1.JPG_Recta ngle 17_Min	Total Visit Duration_dn02_NYT port_1_1.JPG_Recta ngle 17_Sum	Total Visit Duration_dn02_NYT port_1_1.JPG_Recta ngle 17_Median	Total Visit Duration_dn02_NYT port_1_1.JPG_Recta ngle 17_Stdev	Total Visit Duration_dn02_NYT port_1_1.JPG_Recta ngle 18_N
0	0	0	0	0	0	0	0	0	0	0	0
0	0	0	0	0	0	0	0	0	0	0	0
0	0	0	0	0	0	0	0	0	0	0	0
0	0	0	0	0	0	0	0	0	0	0	0
2,23	2,23	2,23	0	0	0	0	0	0	0	0	0
0	0	0	0	0	0	0	0	0	0	0	0
0	0	0	0	0	0	0	0	0	0	0	0
0	0	0	0	0	0	0	0	0	0	0	1
0	0	0	0	0	0	0	0	0	0	0	1
0	0	0	0	0	0	0	0	0	0	0	0
0	0	0	0	0	0	0	0	0	0	0	0
0	0	0	0	0	0	0	0	0	0	0	0
0	0	0	0	0	0	0	0	0	0	0	0
0	0	0	0	0	0	0	0	0	0	0	0
0	0	0	0	0	0	0	0	0	0	0	0
0	0	0	0	0	0	0	0	0	0	0	0
0	0	0	0	0	0	0	0	0	0	0	0
0	0	0	0	0	0	0	0	0	0	0	1
2,23	2,23	2,23	0	0	0	0	0	0	0	0	3

Total Visit Duration_dn02_NYT port_1_1.JPG_Recta ngle 18_Mean	Total Visit Duration_dn02_NYT port_1_1.JPG_Recta ngle 18_Max	Total Visit Duration_dn02_NYT port_1_1.JPG_Recta ngle 18_Min	Total Visit Duration_dn02_NYT port_1_1.JPG_Recta ngle 18_Sum	Total Visit Duration_dn02_NYT port_1_1.JPG_Recta ngle 18_Median	Total Visit Duration_dn02_NYT port_1_1.JPG_Recta ngle 18_Stdev	Total Visit Duration_dn02_NYT port_1_1.JPG_Recta ngle 19_N	Total Visit Duration_dn02_NYT port_1_1.JPG_Recta ngle 19_Mean	Total Visit Duration_dn02_NYT port_1_1.JPG_Recta ngle 19_Max	Total Visit Duration_dn02_NYT port_1_1.JPG_Recta ngle 19_Min	Total Visit Duration_dn02_NYT port_1_1.JPG_Recta ngle 19_Sum	Total Visit Duration_dn02_NYT port_1_1.JPG_Recta ngle 19_Median
0	0	0	0	0	0	0	0	0	0	0	0
0	0	0	0	0	0	0	0	0	0	0	0
0	0	0	0	0	0	0	0	0	0	0	0
0	0	0	0	0	0	0	0	0	0	0	0
0	0	0	0	0	0	1	0,32	0,32	0,32	0,32	0,32
0	0	0	0	0	0	0	0	0	0	0	0
0	0	0	0	0	0	0	0	0	0	0	0
0,45	0,45	0,45	0,45	0,45	0	0	0	0	0	0	0
0,28	0,28	0,28	0,28	0,28	0	1	0,52	0,52	0,52	0,52	0,52
0	0	0	0	0	0	0	0	0	0	0	0
0	0	0	0	0	0	1	0,62	0,62	0,62	0,62	0,62
0	0	0	0	0	0	0	0	0	0	0	0
0	0	0	0	0	0	0	0	0	0	0	0
0	0	0	0	0	0	0	0	0	0	0	0
0	0	0	0	0	0	0	0	0	0	0	0
0	0	0	0	0	0	1	0,18	0,18	0,18	0,18	0,18
0,78	0,78	0,78	0,78	0,78	0	0	0	0	0	0	0
0,51	0,78	0,28	1,52	0,45	0,25	4	0,41	0,62	0,18	1,63	0,42

Total Visit Duration_dn02_NYT port_1_1.JPG_Recta ngle 19_Stdev	Total Visit Duration_dn02_NYT port_1_1.JPG_Recta ngle 2_N	Total Visit Duration_dn02_NYT port_1_1.JPG_Recta ngle 2_Mean	Total Visit Duration_dn02_NYT port_1_1.JPG_Recta ngle 2_Max	Total Visit Duration_dn02_NYT port_1_1.JPG_Recta ngle 2_Min	Total Visit Duration_dn02_NYT port_1_1.JPG_Recta ngle 2_Sum	Total Visit Duration_dn02_NYT port_1_1.JPG_Recta ngle 2_Median	Total Visit Duration_dn02_NYT port_1_1.JPG_Recta ngle 2_Stdev	Total Visit Duration_dn02_NYT port_1_1.JPG_Recta ngle 20_N	Total Visit Duration_dn02_NYT port_1_1.JPG_Recta ngle 20_Mean	Total Visit Duration_dn02_NYT port_1_1.JPG_Recta ngle 20_Max	Total Visit Duration_dn02_NYT port_1_1.JPG_Recta ngle 20_Min
0	0	0	0	0	0	0	0	0	0	0	0
0	1	1,9	1,9	1,9	1,9	1,9	0	0	0	0	0
0	0	0	0	0	0	0	0	0	0	0	0
0	0	0	0	0	0	0	0	0	0	0	0
0	1	0,4	0,4	0,4	0,4	0,4	0	1	0,45	0,45	0,45
0	1	0,88	0,88	0,88	0,88	0,88	0	0	0	0	0
0	1	0,47	0,47	0,47	0,47	0,47	0	0	0	0	0
0	1	0,43	0,43	0,43	0,43	0,43	0	1	0,18	0,18	0,18
0	1	2,15	2,15	2,15	2,15	2,15	0	1	0,07	0,07	0,07
0	1	0,12	0,12	0,12	0,12	0,12	0	0	0	0	0
0	1	0,48	0,48	0,48	0,48	0,48	0	1	0,2	0,2	0,2
0	1	0,62	0,62	0,62	0,62	0,62	0	0	0	0	0
0	1	0,32	0,32	0,32	0,32	0,32	0	0	0	0	0
0	1	0,37	0,37	0,37	0,37	0,37	0	0	0	0	0
0	1	0,15	0,15	0,15	0,15	0,15	0	0	0	0	0
0	1	0,47	0,47	0,47	0,47	0,47	0	0	0	0	0
0	1	4,83	4,83	4,83	4,83	4,83	0	0	0	0	0
0	1	1,93	1,93	1,93	1,93	1,93	0	1	0,22	0,22	0,22
0,19	15	1,03	4,83	0,12	15,5	0,47	1,24	5	0,22	0,45	0,07

Total Visit Duration_dn02_NYT port_1_1.JPG_Recta ngle 20_Sum	Total Visit Duration_dn02_NYT port_1_1.JPG_Recta ngle 20_Median	Total Visit Duration_dn02_NYT port_1_1.JPG_Recta ngle 20_Stdev	Total Visit Duration_dn02_NYT port_1_1.JPG_Recta ngle 21_N	Total Visit Duration_dn02_NYT port_1_1.JPG_Recta ngle 21_Mean	Total Visit Duration_dn02_NYT port_1_1.JPG_Recta ngle 21_Max	Total Visit Duration_dn02_NYT port_1_1.JPG_Recta ngle 21_Min	Total Visit Duration_dn02_NYT port_1_1.JPG_Recta ngle 21_Sum	Total Visit Duration_dn02_NYT port_1_1.JPG_Recta ngle 21_Median	Total Visit Duration_dn02_NYT port_1_1.JPG_Recta ngle 21_Stdev	Total Visit Duration_dn02_NYT port_1_1.JPG_Recta ngle 22_N	Total Visit Duration_dn02_NYT port_1_1.JPG_Recta ngle 22_Mean
0	0	0	0	0	0	0	0	0	0	0	0
0	0	0	0	0	0	0	0	0	0	0	0
0	0	0	0	0	0	0	0	0	0	0	0
0	0	0	0	0	0	0	0	0	0	0	0
0,45	0,45	0	1	1,25	1,25	1,25	1,25	1,25	0	1	0,57
0	0	0	0	0	0	0	0	0	0	0	0
0	0	0	0	0	0	0	0	0	0	0	0
0,18	0,18	0	1	0,18	0,18	0,18	0,18	0,18	0	1	0,13
0,07	0,07	0	0	0	0	0	0	0	0	0	0
0	0	0	0	0	0	0	0	0	0	0	0
0,2	0,2	0	0	0	0	0	0	0	0	1	0,63
0	0	0	0	0	0	0	0	0	0	0	0
0	0	0	0	0	0	0	0	0	0	0	0
0	0	0	0	0	0	0	0	0	0	0	0
0	0	0	0	0	0	0	0	0	0	0	0
0	0	0	1	0,08	0,08	0,08	0,08	0,08	0	1	0,27
0,22	0,22	0	0	0	0	0	0	0	0	1	0,27
1,12	0,2	0,14	3	0,51	1,25	0,08	1,52	0,18	0,65	5	0,37

Total Visit Duration_dn02_NYT port_1_1.JPG_Recta ngle 22_Max	Total Visit Duration_dn02_NYT port_1_1.JPG_Recta ngle 22_Min	Total Visit Duration_dn02_NYT port_1_1.JPG_Recta ngle 22_Sum	Total Visit Duration_dn02_NYT port_1_1.JPG_Recta ngle 22_Median	Total Visit Duration_dn02_NYT port_1_1.JPG_Recta ngle 22_Stdev	Total Visit Duration_dn02_NYT port_1_1.JPG_Recta ngle 3_N	Total Visit Duration_dn02_NYT port_1_1.JPG_Recta ngle 3_Mean	Total Visit Duration_dn02_NYT port_1_1.JPG_Recta ngle 3_Max	Total Visit Duration_dn02_NYT port_1_1.JPG_Recta ngle 3_Min	Total Visit Duration_dn02_NYT port_1_1.JPG_Recta ngle 3_Sum	Total Visit Duration_dn02_NYT port_1_1.JPG_Recta ngle 3_Median	Total Visit Duration_dn02_NYT port_1_1.JPG_Recta ngle 3_Stdev
0	0	0	0	0	1	2,88	2,88	2,88	2,88	2,88	0
0	0	0	0	0	0	0	0	0	0	0	0
0	0	0	0	0	0	0	0	0	0	0	0
0	0	0	0	0	0	0	0	0	0	0	0
0,57	0,57	0,57	0,57	0	1	3,71	3,71	3,71	3,71	3,71	0
0	0	0	0	0	1	4,03	4,03	4,03	4,03	4,03	0
0	0	0	0	0	1	0,66	0,66	0,66	0,66	0,66	0
0,13	0,13	0,13	0,13	0	1	2,28	2,28	2,28	2,28	2,28	0
0	0	0	0	0	1	1,83	1,83	1,83	1,83	1,83	0
0	0	0	0	0	1	1,6	1,6	1,6	1,6	1,6	0
0,63	0,63	0,63	0,63	0	1	2,28	2,28	2,28	2,28	2,28	0
0	0	0	0	0	1	4,05	4,05	4,05	4,05	4,05	0
0	0	0	0	0	1	0,08	0,08	0,08	0,08	0,08	0
0	0	0	0	0	1	1,5	1,5	1,5	1,5	1,5	0
0	0	0	0	0	1	1,62	1,62	1,62	1,62	1,62	0
0	0	0	0	0	1	2,41	2,41	2,41	2,41	2,41	0
0,27	0,27	0,27	0,27	0	1	1,97	1,97	1,97	1,97	1,97	0
0,27	0,27	0,27	0,27	0	1	3,41	3,41	3,41	3,41	3,41	0
0,63	0,13	1,87	0,27	0,22	15	2,29	4,05	0,08	34,32	2,28	1,17

Total Visit Duration_dn02_NYT port_1_1.JPG_Recta ngle 4_N	Total Visit Duration_dn02_NYT port_1_1.JPG_Recta ngle 4_Mean	Total Visit Duration_dn02_NYT port_1_1.JPG_Recta ngle 4_Max	Total Visit Duration_dn02_NYT port_1_1.JPG_Recta ngle 4_Min	Total Visit Duration_dn02_NYT port_1_1.JPG_Recta ngle 4_Sum	Total Visit Duration_dn02_NYT port_1_1.JPG_Recta ngle 4_Median	Total Visit Duration_dn02_NYT port_1_1.JPG_Recta ngle 4_Stdev	Total Visit Duration_dn02_NYT port_1_1.JPG_Recta ngle 5_N	Total Visit Duration_dn02_NYT port_1_1.JPG_Recta ngle 5_Mean	Total Visit Duration_dn02_NYT port_1_1.JPG_Recta ngle 5_Max	Total Visit Duration_dn02_NYT port_1_1.JPG_Recta ngle 5_Min	Total Visit Duration_dn02_NYT port_1_1.JPG_Recta ngle 5_Sum
0	0	0	0	0	0	0	0	0	0	0	0
1	0,3	0,3	0,3	0,3	0,3	0	0	0	0	0	0
1	0,2	0,2	0,2	0,2	0,2	0	0	0	0	0	0
0	0	0	0	0	0	0	0	0	0	0	0
0	0	0	0	0	0	0	0	0	0	0	0
1	0,2	0,2	0,2	0,2	0,2	0	1	0,6	0,6	0,6	0,6
1	0,3	0,3	0,3	0,3	0,3	0	1	0,88	0,88	0,88	0,88
1	0,33	0,33	0,33	0,33	0,33	0	1	0,67	0,67	0,67	0,67
1	0,47	0,47	0,47	0,47	0,47	0	0	0	0	0	0
0	0	0	0	0	0	0	1	1,02	1,02	1,02	1,02
0	0	0	0	0	0	0	0	0	0	0	0
1	0,17	0,17	0,17	0,17	0,17	0	1	3,02	3,02	3,02	3,02
1	0,4	0,4	0,4	0,4	0,4	0	1	0,93	0,93	0,93	0,93
1	0,1	0,1	0,1	0,1	0,1	0	1	0,2	0,2	0,2	0,2
0	0	0	0	0	0	0	1	0,8	0,8	0,8	0,8
0	0	0	0	0	0	0	1	0,37	0,37	0,37	0,37
1	0,85	0,85	0,85	0,85	0,85	0	0	0	0	0	0
1	0,47	0,47	0,47	0,47	0,47	0	1	3,15	3,15	3,15	3,15
11	0,34	0,85	0,1	3,78	0,3	0,21	10	1,16	3,15	0,2	11,63

Total Visit Duration_dn02_NYT port_1_1.JPG_Recta ngle 5_Median	Total Visit Duration_dn02_NYT port_1_1.JPG_Recta ngle 5_Stdev	Total Visit Duration_dn02_NYT port_1_1.JPG_Recta ngle 6_N	Total Visit Duration_dn02_NYT port_1_1.JPG_Recta ngle 6_Mean	Total Visit Duration_dn02_NYT port_1_1.JPG_Recta ngle 6_Max	Total Visit Duration_dn02_NYT port_1_1.JPG_Recta ngle 6_Min	Total Visit Duration_dn02_NYT port_1_1.JPG_Recta ngle 6_Sum	Total Visit Duration_dn02_NYT port_1_1.JPG_Recta ngle 6_Median	Total Visit Duration_dn02_NYT port_1_1.JPG_Recta ngle 6_Stdev	Total Visit Duration_dn02_NYT port_1_1.JPG_Recta ngle 7_N	Total Visit Duration_dn02_NYT port_1_1.JPG_Recta ngle 7_Mean	Total Visit Duration_dn02_NYT port_1_1.JPG_Recta ngle 7_Max
0	0	1	1,65	1,65	1,65	1,65	1,65	0	0	0	0
0	0	1	0,2	0,2	0,2	0,2	0,2	0	0	0	0
0	0	1	0,13	0,13	0,13	0,13	0,13	0	1	0,67	0,67
0	0	1	1,97	1,97	1,97	1,97	1,97	0	1	0,62	0,62
0	0	0	0	0	0	0	0	0	1	0,08	0,08
0,6	0	0	0	0	0	0	0	0	1	0,52	0,52
0,88	0	0	0	0	0	0	0	0	1	0,22	0,22
0,67	0	1	0,75	0,75	0,75	0,75	0,75	0	0	0	0
0	0	1	0,87	0,87	0,87	0,87	0,87	0	1	0,25	0,25
1,02	0	1	7,48	7,48	7,48	7,48	7,48	0	1	0,3	0,3
0	0	1	0,98	0,98	0,98	0,98	0,98	0	0	0	0
3,02	0	0	0	0	0	0	0	0	1	0,13	0,13
0,93	0	1	6,03	6,03	6,03	6,03	6,03	0	0	0	0
0,2	0	1	0,12	0,12	0,12	0,12	0,12	0	1	0,2	0,2
0,8	0	0	0	0	0	0	0	0	1	0,65	0,65
0,37	0	0	0	0	0	0	0	0	1	0,15	0,15
0	0	0	0	0	0	0	0	0	1	1,05	1,05
3,15	0	1	0,12	0,12	0,12	0,12	0,12	0	1	0,33	0,33
0,84	1,04	11	1,84	7,48	0,12	20,28	0,87	2,53	13	0,4	1,05

Total Visit Duration_dn02_NYT port_1_1.JPG_Recta ngle 7_Min	Total Visit Duration_dn02_NYT port_1_1.JPG_Recta ngle 7_Sum	Total Visit Duration_dn02_NYT port_1_1.JPG_Recta ngle 7_Median	Total Visit Duration_dn02_NYT port_1_1.JPG_Recta ngle 7_Stdev	Total Visit Duration_dn02_NYT port_1_1.JPG_Recta ngle 8_N	Total Visit Duration_dn02_NYT port_1_1.JPG_Recta ngle 8_Mean	Total Visit Duration_dn02_NYT port_1_1.JPG_Recta ngle 8_Max	Total Visit Duration_dn02_NYT port_1_1.JPG_Recta ngle 8_Min	Total Visit Duration_dn02_NYT port_1_1.JPG_Recta ngle 8_Sum	Total Visit Duration_dn02_NYT port_1_1.JPG_Recta ngle 8_Median	Total Visit Duration_dn02_NYT port_1_1.JPG_Recta ngle 8_Stdev	Total Visit Duration_dn02_NYT port_1_1.JPG_Recta ngle 9_N
0	0	0	0	0	0	0	0	0	0	0	1
0	0	0	0	1	0,62	0,62	0,62	0,62	0,62	0	1
0,67	0,67	0,67	0	0	0	0	0	0	0	0	1
0,62	0,62	0,62	0	1	0,57	0,57	0,57	0,57	0,57	0	1
0,08	0,08	0,08	0	0	0	0	0	0	0	0	0
0,52	0,52	0,52	0	1	2,23	2,23	2,23	2,23	2,23	0	1
0,22	0,22	0,22	0	1	1,07	1,07	1,07	1,07	1,07	0	1
0	0	0	0	1	0,48	0,48	0,48	0,48	0,48	0	0
0,25	0,25	0,25	0	1	0,22	0,22	0,22	0,22	0,22	0	1
0,3	0,3	0,3	0	1	3,3	3,3	3,3	3,3	3,3	0	1
0	0	0	0	1	0,22	0,22	0,22	0,22	0,22	0	1
0,13	0,13	0,13	0	1	2,71	2,71	2,71	2,71	2,71	0	1
0	0	0	0	1	1,78	1,78	1,78	1,78	1,78	0	1
0,2	0,2	0,2	0	1	0,22	0,22	0,22	0,22	0,22	0	1
0,65	0,65	0,65	0	1	2,36	2,36	2,36	2,36	2,36	0	1
0,15	0,15	0,15	0	0	0	0	0	0	0	0	0
1,05	1,05	1,05	0	0	0	0	0	0	0	0	1
0,33	0,33	0,33	0	1	0,28	0,28	0,28	0,28	0,28	0	1
0,08	5,16	0,3	0,28	13	1,23	3,3	0,22	16,05	0,62	1,1	15

Total Visit Duration_dn02_NYT port_1_1.JPG_Recta ngle 9_Mean	Total Visit Duration_dn02_NYT port_1_1.JPG_Recta ngle 9_Max	Total Visit Duration_dn02_NYT port_1_1.JPG_Recta ngle 9_Min	Total Visit Duration_dn02_NYT port_1_1.JPG_Recta ngle 9_Sum	Total Visit Duration_dn02_NYT port_1_1.JPG_Recta ngle 9_Median	Total Visit Duration_dn02_NYT port_1_1.JPG_Recta ngle 9_Stdev
1,57	1,57	1,57	1,57	1,57	0
1,6	1,6	1,6	1,6	1,6	0
0,5	0,5	0,5	0,5	0,5	0
8,11	8,11	8,11	8,11	8,11	0
0	0	0	0	0	0
1,53	1,53	1,53	1,53	1,53	0
11,04	11,04	11,04	11,04	11,04	0
0	0	0	0	0	0
1,07	1,07	1,07	1,07	1,07	0
1,77	1,77	1,77	1,77	1,77	0
10,41	10,41	10,41	10,41	10,41	0
0,93	0,93	0,93	0,93	0,93	0
10,04	10,04	10,04	10,04	10,04	0
1,98	1,98	1,98	1,98	1,98	0
1,94	1,94	1,94	1,94	1,94	0
0	0	0	0	0	0
0,27	0,27	0,27	0,27	0,27	0
0,11	0,11	0,11	0,11	0,11	0
3,52	11,04	0,11	52,85	1,6	4,06

	Total Visit Duration_dn01_lan d_allinone.jpg_Rect angle_N	Total Visit Duration_dn01_lan d_allinone.jpg_Rect angle_Mean	Total Visit Duration_dn01_lan d_allinone.jpg_Rect angle_Max	Total Visit Duration_dn01_lan d_allinone.jpg_Rect angle_Min	Total Visit Duration_dn01_lan d_allinone.jpg_Rect angle_Sum	Total Visit Duration_dn01_lan d_allinone.jpg_Rect angle_Median	Total Visit Duration_dn01_lan d_allinone.jpg_Rect angle_Stdev	Total Visit Duration_dn01_lan d_allinone.jpg_Rect angle_10_N	Total Visit Duration_dn01_lan d_allinone.jpg_Rect angle_10_Mean	Total Visit Duration_dn01_lan d_allinone.jpg_Rect angle_10_Max	Total Visit Duration_dn01_lan d_allinone.jpg_Rect angle_10_Min
Rec 01	1	6,72	6,72	6,72	6,72	6,72	0	0	0	0	0
Rec 02	1	0,95	0,95	0,95	0,95	0,95	0	0	0	0	0
Rec 03	1	0,42	0,42	0,42	0,42	0,42	0	1	0,5	0,5	0,5
Rec 04	1	0,77	0,77	0,77	0,77	0,77	0	0	0	0	0
Rec 05	1	0,5	0,5	0,5	0,5	0,5	0	0	0	0	0
Rec 06	1	1,38	1,38	1,38	1,38	1,38	0	1	0,1	0,1	0,1
Rec 07	1	1,42	1,42	1,42	1,42	1,42	0	0	0	0	0
Rec 08	0	0	0	0	0	0	0	0	0	0	0
Rec 10	0	0	0	0	0	0	0	1	0,63	0,63	0,63
Rec 11	1	0,1	0,1	0,1	0,1	0,1	0	1	0,3	0,3	0,3
Rec 12	1	2,55	2,55	2,55	2,55	2,55	0	0	0	0	0
Rec 13	1	0,48	0,48	0,48	0,48	0,48	0	1	0,18	0,18	0,18
Rec 14	1	0,57	0,57	0,57	0,57	0,57	0	0	0	0	0
Rec 15	1	1,47	1,47	1,47	1,47	1,47	0	0	0	0	0
Rec 17	1	0,35	0,35	0,35	0,35	0,35	0	0	0	0	0
Rec 18	0	0	0	0	0	0	0	1	0,35	0,35	0,35
Rec 19	1	0,27	0,27	0,27	0,27	0,27	0	0	0	0	0
All Recordings	14	1,28	6,72	0,1	17,94	0,67	1,7	6	0,34	0,63	0,1

Total Visit Duration_dn01_lan d_allinone.jpg_Rect angle 10_Sum	Total Visit Duration_dn01_lan d_allinone.jpg_Rect angle 10_Median	Total Visit Duration_dn01_lan d_allinone.jpg_Rect angle 10_Stdev	Total Visit Duration_dn01_lan d_allinone.jpg_Rect angle 11_N	Total Visit Duration_dn01_lan d_allinone.jpg_Rect angle 11_Mean	Total Visit Duration_dn01_lan d_allinone.jpg_Rect angle 11_Max	Total Visit Duration_dn01_lan d_allinone.jpg_Rect angle 11_Min	Total Visit Duration_dn01_lan d_allinone.jpg_Rect angle 11_Sum	Total Visit Duration_dn01_lan d_allinone.jpg_Rect angle 11_Median	Total Visit Duration_dn01_lan d_allinone.jpg_Rect angle 11_Stdev	Total Visit Duration_dn01_lan d_allinone.jpg_Rect angle 12_N	Total Visit Duration_dn01_lan d_allinone.jpg_Rect angle 12_Mean
0	0	0	1	0,32	0,32	0,32	0,32	0,32	0	0	0
0	0	0	0	0	0	0	0	0	0	0	0
0,5	0,5	0	1	0,32	0,32	0,32	0,32	0,32	0	0	0
0	0	0	1	0,2	0,2	0,2	0,2	0,2	0	0	0
0	0	0	0	0	0	0	0	0	0	0	0
0,1	0,1	0	0	0	0	0	0	0	0	0	0
0	0	0	0	0	0	0	0	0	0	0	0
0	0	0	1	1,9	1,9	1,9	1,9	1,9	0	0	0
0,63	0,63	0	1	0,23	0,23	0,23	0,23	0,23	0	0	0
0,3	0,3	0	1	0,63	0,63	0,63	0,63	0,63	0	0	0
0	0	0	1	0,18	0,18	0,18	0,18	0,18	0	0	0
0,18	0,18	0	1	0,66	0,66	0,66	0,66	0,66	0	0	0
0	0	0	1	0,32	0,32	0,32	0,32	0,32	0	0	0
0	0	0	1	0,2	0,2	0,2	0,2	0,2	0	0	0
0	0	0	1	1,15	1,15	1,15	1,15	1,15	0	0	0
0,35	0,35	0	0	0	0	0	0	0	0	0	0
0	0	0	1	0,55	0,55	0,55	0,55	0,55	0	0	0
2,06	0,32	0,2	12	0,55	1,9	0,18	6,65	0,32	0,51	0	0

Total Visit Duration_dn01_lan d_allinone.jpg_Rect angle 14_N	Total Visit Duration_dn01_lan d_allinone.jpg_Rect angle 14_Mean	Total Visit Duration_dn01_lan d_allinone.jpg_Rect angle 14_Max	Total Visit Duration_dn01_lan d_allinone.jpg_Rect angle 14_Min	Total Visit Duration_dn01_lan d_allinone.jpg_Rect angle 14_Sum	Total Visit Duration_dn01_lan d_allinone.jpg_Rect angle 14_Median	Total Visit Duration_dn01_lan d_allinone.jpg_Rect angle 14_Stdev	Total Visit Duration_dn01_lan d_allinone.jpg_Rect angle 15_N	Total Visit Duration_dn01_lan d_allinone.jpg_Rect angle 15_Mean	Total Visit Duration_dn01_lan d_allinone.jpg_Rect angle 15_Max	Total Visit Duration_dn01_lan d_allinone.jpg_Rect angle 15_Min	Total Visit Duration_dn01_lan d_allinone.jpg_Rect angle 15_Sum
0	0	0	0	0	0	0	0	0	0	0	0
0	0	0	0	0	0	0	0	0	0	0	0
0	0	0	0	0	0	0	0	0	0	0	0
0	0	0	0	0	0	0	0	0	0	0	0
0	0	0	0	0	0	0	0	0	0	0	0
0	0	0	0	0	0	0	0	0	0	0	0
0	0	0	0	0	0	0	0	0	0	0	0
0	0	0	0	0	0	0	0	0	0	0	0
0	0	0	0	0	0	0	0	0	0	0	0
1	0,35	0,35	0,35	0,35	0,35	0	0	0	0	0	0
0	0	0	0	0	0	0	0	0	0	0	0
0	0	0	0	0	0	0	0	0	0	0	0
0	0	0	0	0	0	0	0	0	0	0	0
0	0	0	0	0	0	0	0	0	0	0	0
0	0	0	0	0	0	0	0	0	0	0	0
0	0	0	0	0	0	0	0	0	0	0	0
0	0	0	0	0	0	0	0	0	0	0	0
0	0	0	0	0	0	0	0	0	0	0	0
0	0	0	0	0	0	0	0	0	0	0	0
1	0,35	0,35	0,35	0,35	0,35	0	0	0	0	0	0

Total Visit Duration_dn01_lan d_allinone.jpg_Rect angle 15_Median	Total Visit Duration_dn01_lan d_allinone.jpg_Rect angle 15_Stdev	Total Visit Duration_dn01_lan d_allinone.jpg_Rect angle 16_N	Total Visit Duration_dn01_lan d_allinone.jpg_Rect angle 16_Mean	Total Visit Duration_dn01_lan d_allinone.jpg_Rect angle 16_Max	Total Visit Duration_dn01_lan d_allinone.jpg_Rect angle 16_Min	Total Visit Duration_dn01_lan d_allinone.jpg_Rect angle 16_Sum	Total Visit Duration_dn01_lan d_allinone.jpg_Rect angle 16_Median	Total Visit Duration_dn01_lan d_allinone.jpg_Rect angle 16_Stdev	Total Visit Duration_dn01_lan d_allinone.jpg_Rect angle 17_N	Total Visit Duration_dn01_lan d_allinone.jpg_Rect angle 17_Mean	Total Visit Duration_dn01_lan d_allinone.jpg_Rect angle 17_Max
0	0	0	0	0	0	0	0	0	0	0	0
0	0	0	0	0	0	0	0	0	0	0	0
0	0	0	0	0	0	0	0	0	0	0	0
0	0	0	0	0	0	0	0	0	0	0	0
0	0	1	0,22	0,22	0,22	0,22	0,22	0	0	0	0
0	0	0	0	0	0	0	0	0	0	0	0
0	0	0	0	0	0	0	0	0	0	0	0
0	0	0	0	0	0	0	0	0	0	0	0
0	0	0	0	0	0	0	0	0	0	0	0
0	0	0	0	0	0	0	0	0	0	0	0
0	0	0	0	0	0	0	0	0	0	0	0
0	0	0	0	0	0	0	0	0	0	0	0
0	0	0	0	0	0	0	0	0	0	0	0
0	0	0	0	0	0	0	0	0	0	0	0
0	0	1	0	0	0	0	0	0	0	0	0
0	0	0	0	0	0	0	0	0	0	0	0
0	0	0	0	0	0	0	0	0	0	0	0
0	0	0	0	0	0	0	0	0	0	0	0
0	0	0	0	0	0	0	0	0	0	0	0
0	0	2	0,11	0,22	0	0,22	0,11	0,15	0	0	0

Total Visit Duration_dn01_lan d_allinone.jpg_Rect angle 17_Min	Total Visit Duration_dn01_lan d_allinone.jpg_Rect angle 17_Sum	Total Visit Duration_dn01_lan d_allinone.jpg_Rect angle 17_Median	Total Visit Duration_dn01_lan d_allinone.jpg_Rect angle 17_Stdev	Total Visit Duration_dn01_lan d_allinone.jpg_Rect angle 18_N	Total Visit Duration_dn01_lan d_allinone.jpg_Rect angle 18_Mean	Total Visit Duration_dn01_lan d_allinone.jpg_Rect angle 18_Max	Total Visit Duration_dn01_lan d_allinone.jpg_Rect angle 18_Min	Total Visit Duration_dn01_lan d_allinone.jpg_Rect angle 18_Sum	Total Visit Duration_dn01_lan d_allinone.jpg_Rect angle 18_Median	Total Visit Duration_dn01_lan d_allinone.jpg_Rect angle 18_Stdev	Total Visit Duration_dn01_lan d_allinone.jpg_Rect angle 19_N
0	0	0	0	0	0	0	0	0	0	0	0
0	0	0	0	1	0,35	0,35	0,35	0,35	0,35	0	1
0	0	0	0	1	0,77	0,77	0,77	0,77	0,77	0	1
0	0	0	0	1	0,15	0,15	0,15	0,15	0,15	0	1
0	0	0	0	1	0,18	0,18	0,18	0,18	0,18	0	1
0	0	0	0	0	0	0	0	0	0	0	1
0	0	0	0	0	0	0	0	0	0	0	1
0	0	0	0	1	0,25	0,25	0,25	0,25	0,25	0	1
0	0	0	0	0	0	0	0	0	0	0	1
0	0	0	0	1	0,23	0,23	0,23	0,23	0,23	0	1
0	0	0	0	1	0,35	0,35	0,35	0,35	0,35	0	1
0	0	0	0	0	0	0	0	0	0	0	0
0	0	0	0	0	0	0	0	0	0	0	1
0	0	0	0	0	0	0	0	0	0	0	0
0	0	0	0	1	0,13	0,13	0,13	0,13	0,13	0	1
0	0	0	0	0	0	0	0	0	0	0	0
0	0	0	0	1	0,17	0,17	0,17	0,17	0,17	0	1
0	0	0	0	9	0,29	0,77	0,13	2,58	0,23	0,2	13

Total Visit Duration_dn01_lan d_allinone.jpg_Rect angle 19_Mean	Total Visit Duration_dn01_lan d_allinone.jpg_Rect angle 19_Max	Total Visit Duration_dn01_lan d_allinone.jpg_Rect angle 19_Min	Total Visit Duration_dn01_lan d_allinone.jpg_Rect angle 19_Sum	Total Visit Duration_dn01_lan d_allinone.jpg_Rect angle 19_Median	Total Visit Duration_dn01_lan d_allinone.jpg_Rect angle 19_Stdev	Total Visit Duration_dn01_lan d_allinone.jpg_Rect angle 2_N	Total Visit Duration_dn01_lan d_allinone.jpg_Rect angle 2_Mean	Total Visit Duration_dn01_lan d_allinone.jpg_Rect angle 2_Max	Total Visit Duration_dn01_lan d_allinone.jpg_Rect angle 2_Min	Total Visit Duration_dn01_lan d_allinone.jpg_Rect angle 2_Sum	Total Visit Duration_dn01_lan d_allinone.jpg_Rect angle 2_Median
0	0	0	0	0	0	1	0,22	0,22	0,22	0,22	0,22
0,87	0,87	0,87	0,87	0,87	0	1	4,17	4,17	4,17	4,17	4,17
4,78	4,78	4,78	4,78	4,78	0	1	1,28	1,28	1,28	1,28	1,28
0,32	0,32	0,32	0,32	0,32	0	1	2,34	2,34	2,34	2,34	2,34
2,05	2,05	2,05	2,05	2,05	0	1	2,14	2,14	2,14	2,14	2,14
0,6	0,6	0,6	0,6	0,6	0	1	3,63	3,63	3,63	3,63	3,63
0,75	0,75	0,75	0,75	0,75	0	1	0,67	0,67	0,67	0,67	0,67
1,02	1,02	1,02	1,02	1,02	0	1	1,12	1,12	1,12	1,12	1,12
0,23	0,23	0,23	0,23	0,23	0	1	1,35	1,35	1,35	1,35	1,35
0,25	0,25	0,25	0,25	0,25	0	1	1,25	1,25	1,25	1,25	1,25
0,17	0,17	0,17	0,17	0,17	0	1	1,28	1,28	1,28	1,28	1,28
0	0	0	0	0	0	1	2,43	2,43	2,43	2,43	2,43
1,33	1,33	1,33	1,33	1,33	0	1	0,8	0,8	0,8	0,8	0,8
0	0	0	0	0	0	1	1,73	1,73	1,73	1,73	1,73
0,5	0,5	0,5	0,5	0,5	0	1	0,43	0,43	0,43	0,43	0,43
0	0	0	0	0	0	1	0,15	0,15	0,15	0,15	0,15
0,53	0,53	0,53	0,53	0,53	0	1	2,02	2,02	2,02	2,02	2,02
1,03	4,78	0,17	13,39	0,6	1,24	17	1,59	4,17	0,15	27	1,28

Total Visit Duration_dn01_lan d_allinone.jpg_Rect angle 2_Stdev	Total Visit Duration_dn01_lan d_allinone.jpg_Rect angle 20_N	Total Visit Duration_dn01_lan d_allinone.jpg_Rect angle 20_Mean	Total Visit Duration_dn01_lan d_allinone.jpg_Rect angle 20_Max	Total Visit Duration_dn01_lan d_allinone.jpg_Rect angle 20_Min	Total Visit Duration_dn01_lan d_allinone.jpg_Rect angle 20_Sum	Total Visit Duration_dn01_lan d_allinone.jpg_Rect angle 20_Median	Total Visit Duration_dn01_lan d_allinone.jpg_Rect angle 20_Stdev	Total Visit Duration_dn01_lan d_allinone.jpg_Rect angle 21_N	Total Visit Duration_dn01_lan d_allinone.jpg_Rect angle 21_Mean	Total Visit Duration_dn01_lan d_allinone.jpg_Rect angle 21_Max	Total Visit Duration_dn01_lan d_allinone.jpg_Rect angle 21_Min
0	0	0	0	0	0	0	0	1	0,08	0,08	0,08
0	0	0	0	0	0	0	0	1	0,85	0,85	0,85
0	0	0	0	0	0	0	0	1	0,45	0,45	0,45
0	1	0,58	0,58	0,58	0,58	0,58	0	1	0,23	0,23	0,23
0	1	0,1	0,1	0,1	0,1	0,1	0	0	0	0	0
0	0	0	0	0	0	0	0	1	0,2	0,2	0,2
0	1	0,6	0,6	0,6	0,6	0,6	0	1	0,12	0,12	0,12
0	0	0	0	0	0	0	0	0	0	0	0
0	0	0	0	0	0	0	0	0	0	0	0
0	0	0	0	0	0	0	0	0	0	0	0
0	1	0,35	0,35	0,35	0,35	0,35	0	1	0,57	0,57	0,57
0	0	0	0	0	0	0	0	0	0	0	0
0	0	0	0	0	0	0	0	1	0,2	0,2	0,2
0	0	0	0	0	0	0	0	0	0	0	0
0	0	0	0	0	0	0	0	1	0,18	0,18	0,18
0	0	0	0	0	0	0	0	0	0	0	0
0	0	0	0	0	0	0	0	1	0,15	0,15	0,15
1,12	4	0,41	0,6	0,1	1,63	0,47	0,23	10	0,3	0,85	0,08

Total Visit Duration_dn01_lan d_allinone.jpg_Rect angle 21_Sum	Total Visit Duration_dn01_lan d_allinone.jpg_Rect angle 21_Median	Total Visit Duration_dn01_lan d_allinone.jpg_Rect angle 21_Stdev	Total Visit Duration_dn01_lan d_allinone.jpg_Rect angle 22_N	Total Visit Duration_dn01_lan d_allinone.jpg_Rect angle 22_Mean	Total Visit Duration_dn01_lan d_allinone.jpg_Rect angle 22_Max	Total Visit Duration_dn01_lan d_allinone.jpg_Rect angle 22_Min	Total Visit Duration_dn01_lan d_allinone.jpg_Rect angle 22_Sum	Total Visit Duration_dn01_lan d_allinone.jpg_Rect angle 22_Median	Total Visit Duration_dn01_lan d_allinone.jpg_Rect angle 22_Stdev	Total Visit Duration_dn01_lan d_allinone.jpg_Rect angle 23_N	Total Visit Duration_dn01_lan d_allinone.jpg_Rect angle 23_Mean
0,08	0,08	0	1	0,1	0,1	0,1	0,1	0,1	0	0	0
0,85	0,85	0	1	1,6	1,6	1,6	1,6	1,6	0	1	0,48
0,45	0,45	0	0	0	0	0	0	0	0	1	0,97
0,23	0,23	0	1	0,52	0,52	0,52	0,52	0,52	0	0	0
0	0	0	1	0,83	0,83	0,83	0,83	0,83	0	0	0
0,2	0,2	0	1	0,12	0,12	0,12	0,12	0,12	0	0	0
0,12	0,12	0	1	0,17	0,17	0,17	0,17	0,17	0	0	0
0	0	0	1	0,18	0,18	0,18	0,18	0,18	0	0	0
0	0	0	1	0,53	0,53	0,53	0,53	0,53	0	0	0
0	0	0	1	0,33	0,33	0,33	0,33	0,33	0	1	0,08
0,57	0,57	0	1	3,11	3,11	3,11	3,11	3,11	0	0	0
0	0	0	1	0,25	0,25	0,25	0,25	0,25	0	0	0
0,2	0,2	0	1	0,75	0,75	0,75	0,75	0,75	0	1	0,15
0	0	0	1	0,7	0,7	0,7	0,7	0,7	0	1	0,2
0,18	0,18	0	1	0,18	0,18	0,18	0,18	0,18	0	1	0,15
0	0	0	0	0	0	0	0	0	0	0	0
0,15	0,15	0	1	0,32	0,32	0,32	0,32	0,32	0	0	0
3,03	0,2	0,24	15	0,65	3,11	0,1	9,69	0,33	0,79	6	0,34

Total Visit Duration_dn01_lan d_allinone.jpg_Rect angle 23_Max	Total Visit Duration_dn01_lan d_allinone.jpg_Rect angle 23_Min	Total Visit Duration_dn01_lan d_allinone.jpg_Rect angle 23_Sum	Total Visit Duration_dn01_lan d_allinone.jpg_Rect angle 23_Median	Total Visit Duration_dn01_lan d_allinone.jpg_Rect angle 23_Stdev	Total Visit Duration_dn01_lan d_allinone.jpg_Rect angle 24_N	Total Visit Duration_dn01_lan d_allinone.jpg_Rect angle 24_Mean	Total Visit Duration_dn01_lan d_allinone.jpg_Rect angle 24_Max	Total Visit Duration_dn01_lan d_allinone.jpg_Rect angle 24_Min	Total Visit Duration_dn01_lan d_allinone.jpg_Rect angle 24_Sum	Total Visit Duration_dn01_lan d_allinone.jpg_Rect angle 24_Median	Total Visit Duration_dn01_lan d_allinone.jpg_Rect angle 24_Stdev
0	0	0	0	0	0	0	0	0	0	0	0
0,48	0,48	0,48	0,48	0	1	2,53	2,53	2,53	2,53	2,53	0
0,97	0,97	0,97	0,97	0	0	0	0	0	0	0	0
0	0	0	0	0	1	0,38	0,38	0,38	0,38	0,38	0
0	0	0	0	0	1	0,27	0,27	0,27	0,27	0,27	0
0	0	0	0	0	1	0,45	0,45	0,45	0,45	0,45	0
0	0	0	0	0	0	0	0	0	0	0	0
0	0	0	0	0	1	1,52	1,52	1,52	1,52	1,52	0
0	0	0	0	0	1	0,7	0,7	0,7	0,7	0,7	0
0,08	0,08	0,08	0,08	0	1	0,5	0,5	0,5	0,5	0,5	0
0	0	0	0	0	1	0,41	0,41	0,41	0,41	0,41	0
0	0	0	0	0	1	0,83	0,83	0,83	0,83	0,83	0
0,15	0,15	0,15	0,15	0	1	0,57	0,57	0,57	0,57	0,57	0
0,2	0,2	0,2	0,2	0	1	0,87	0,87	0,87	0,87	0,87	0
0,15	0,15	0,15	0,15	0	0	0	0	0	0	0	0
0	0	0	0	0	1	0,07	0,07	0,07	0,07	0,07	0
0	0	0	0	0	0	0	0	0	0	0	0
0,97	0,08	2,03	0,17	0,34	12	0,76	2,53	0,07	9,09	0,53	0,67

Total Visit Duration_dn01_lan d_allinone.jpg_Rect angle 25_N	Total Visit Duration_dn01_lan d_allinone.jpg_Rect angle 25_Mean	Total Visit Duration_dn01_lan d_allinone.jpg_Rect angle 25_Max	Total Visit Duration_dn01_lan d_allinone.jpg_Rect angle 25_Min	Total Visit Duration_dn01_lan d_allinone.jpg_Rect angle 25_Sum	Total Visit Duration_dn01_lan d_allinone.jpg_Rect angle 25_Median	Total Visit Duration_dn01_lan d_allinone.jpg_Rect angle 25_Stdev	Total Visit Duration_dn01_lan d_allinone.jpg_Rect angle 26_N	Total Visit Duration_dn01_lan d_allinone.jpg_Rect angle 26_Mean	Total Visit Duration_dn01_lan d_allinone.jpg_Rect angle 26_Max	Total Visit Duration_dn01_lan d_allinone.jpg_Rect angle 26_Min	Total Visit Duration_dn01_lan d_allinone.jpg_Rect angle 26_Sum
0	0	0	0	0	0	0	0	0	0	0	0
0	0	0	0	0	0	0	1	0,15	0,15	0,15	0,15
1	0,34	0,34	0,34	0,34	0,34	0	1	0,88	0,88	0,88	0,88
1	0,44	0,44	0,44	0,44	0,44	0	1	0,35	0,35	0,35	0,35
0	0	0	0	0	0	0	0	0	0	0	0
0	0	0	0	0	0	0	1	0,27	0,27	0,27	0,27
0	0	0	0	0	0	0	0	0	0	0	0
0	0	0	0	0	0	0	1	0,95	0,95	0,95	0,95
1	1,12	1,12	1,12	1,12	1,12	0	0	0	0	0	0
0	0	0	0	0	0	0	1	1,07	1,07	1,07	1,07
0	0	0	0	0	0	0	1	0,38	0,38	0,38	0,38
1	0,18	0,18	0,18	0,18	0,18	0	1	0,45	0,45	0,45	0,45
1	0,17	0,17	0,17	0,17	0,17	0	1	0,52	0,52	0,52	0,52
0	0	0	0	0	0	0	1	0,53	0,53	0,53	0,53
1	0,6	0,6	0,6	0,6	0,6	0	1	2,55	2,55	2,55	2,55
0	0	0	0	0	0	0	1	0,32	0,32	0,32	0,32
0	0	0	0	0	0	0	1	0,22	0,22	0,22	0,22
6	0,47	1,12	0,17	2,84	0,39	0,35	13	0,66	2,55	0,15	8,63

Total Visit Duration_dn01_lan d_allinone.jpg_Rect angle 26_Median	Total Visit Duration_dn01_lan d_allinone.jpg_Rect angle 26_Stdev	Total Visit Duration_dn01_lan d_allinone.jpg_Rect angle 27_N	Total Visit Duration_dn01_lan d_allinone.jpg_Rect angle 27_Mean	Total Visit Duration_dn01_lan d_allinone.jpg_Rect angle 27_Max	Total Visit Duration_dn01_lan d_allinone.jpg_Rect angle 27_Min	Total Visit Duration_dn01_lan d_allinone.jpg_Rect angle 27_Sum	Total Visit Duration_dn01_lan d_allinone.jpg_Rect angle 27_Median	Total Visit Duration_dn01_lan d_allinone.jpg_Rect angle 27_Stdev	Total Visit Duration_dn01_lan d_allinone.jpg_Rect angle 28_N	Total Visit Duration_dn01_lan d_allinone.jpg_Rect angle 28_Mean	Total Visit Duration_dn01_lan d_allinone.jpg_Rect angle 28_Max
0	0	0	0	0	0	0	0	0	0	0	0
0,15	0	0	0	0	0	0	0	0	1	0,42	0,42
0,88	0	0	0	0	0	0	0	0	0	0	0
0,35	0	1	0,33	0,33	0,33	0,33	0,33	0	1	1,95	1,95
0	0	1	0,33	0,33	0,33	0,33	0,33	0	1	0,55	0,55
0,27	0	0	0	0	0	0	0	0	0	0	0
0	0	1	1,45	1,45	1,45	1,45	1,45	0	1	1,4	1,4
0,95	0	0	0	0	0	0	0	0	0	0	0
0	0	1	0,67	0,67	0,67	0,67	0,67	0	1	0,2	0,2
1,07	0	0	0	0	0	0	0	0	0	0	0
0,38	0	0	0	0	0	0	0	0	0	0	0
0,45	0	0	0	0	0	0	0	0	0	0	0
0,52	0	1	1,27	1,27	1,27	1,27	1,27	0	1	0,45	0,45
0,53	0	0	0	0	0	0	0	0	0	0	0
2,55	0	1	0,1	0,1	0,1	0,1	0,1	0	0	0	0
0,32	0	1	1,88	1,88	1,88	1,88	1,88	0	0	0	0
0,22	0	1	0,68	0,68	0,68	0,68	0,68	0	1	0,38	0,38
0,45	0,64	8	0,84	1,88	0,1	6,72	0,67	0,63	7	0,76	1,95

Total Visit Duration_dn01_lan d_allinone.jpg_Rect angle 28_Min	Total Visit Duration_dn01_lan d_allinone.jpg_Rect angle 28_Sum	Total Visit Duration_dn01_lan d_allinone.jpg_Rect angle 28_Median	Total Visit Duration_dn01_lan d_allinone.jpg_Rect angle 28_Stdev	Total Visit Duration_dn01_lan d_allinone.jpg_Rect angle 29_N	Total Visit Duration_dn01_lan d_allinone.jpg_Rect angle 29_Mean	Total Visit Duration_dn01_lan d_allinone.jpg_Rect angle 29_Max	Total Visit Duration_dn01_lan d_allinone.jpg_Rect angle 29_Min	Total Visit Duration_dn01_lan d_allinone.jpg_Rect angle 29_Sum	Total Visit Duration_dn01_lan d_allinone.jpg_Rect angle 29_Median	Total Visit Duration_dn01_lan d_allinone.jpg_Rect angle 29_Stdev	Total Visit Duration_dn01_lan d_allinone.jpg_Rect angle 3_N
0	0	0	0	1	0,35	0,35	0,35	0,35	0,35	0	1
0,42	0,42	0,42	0	1	0,63	0,63	0,63	0,63	0,63	0	1
0	0	0	0	1	0,45	0,45	0,45	0,45	0,45	0	1
1,95	1,95	1,95	0	1	0,43	0,43	0,43	0,43	0,43	0	1
0,55	0,55	0,55	0	1	0,57	0,57	0,57	0,57	0,57	0	1
0	0	0	0	0	0	0	0	0	0	0	1
1,4	1,4	1,4	0	1	1,03	1,03	1,03	1,03	1,03	0	1
0	0	0	0	1	0,55	0,55	0,55	0,55	0,55	0	1
0,2	0,2	0,2	0	1	0,23	0,23	0,23	0,23	0,23	0	1
0	0	0	0	1	0,18	0,18	0,18	0,18	0,18	0	1
0	0	0	0	0	0	0	0	0	0	0	1
0	0	0	0	0	0	0	0	0	0	0	1
0,45	0,45	0,45	0	1	0,17	0,17	0,17	0,17	0,17	0	1
0	0	0	0	0	0	0	0	0	0	0	1
0	0	0	0	0	0	0	0	0	0	0	0
0	0	0	0	0	0	0	0	0	0	0	1
0,38	0,38	0,38	0	0	0	0	0	0	0	0	0
0,2	5,35	0,45	0,65	10	0,46	1,03	0,17	4,6	0,44	0,26	15

Total Visit Duration_dn01_lan d_allinone.jpg_Rect angle 3_Mean	Total Visit Duration_dn01_lan d_allinone.jpg_Rect angle 3_Max	Total Visit Duration_dn01_lan d_allinone.jpg_Rect angle 3_Min	Total Visit Duration_dn01_lan d_allinone.jpg_Rect angle 3_Sum	Total Visit Duration_dn01_lan d_allinone.jpg_Rect angle 3_Median	Total Visit Duration_dn01_lan d_allinone.jpg_Rect angle 3_Stdev	Total Visit Duration_dn01_lan d_allinone.jpg_Rect angle 30_N	Total Visit Duration_dn01_lan d_allinone.jpg_Rect angle 30_Mean	Total Visit Duration_dn01_lan d_allinone.jpg_Rect angle 30_Max	Total Visit Duration_dn01_lan d_allinone.jpg_Rect angle 30_Min	Total Visit Duration_dn01_lan d_allinone.jpg_Rect angle 30_Sum	Total Visit Duration_dn01_lan d_allinone.jpg_Rect angle 30_Median
3,56	3,56	3,56	3,56	3,56	0	0	0	0	0	0	0
0,18	0,18	0,18	0,18	0,18	0	0	0	0	0	0	0
0,15	0,15	0,15	0,15	0,15	0	0	0	0	0	0	0
0,52	0,52	0,52	0,52	0,52	0	1	0,47	0,47	0,47	0,47	0,47
0,37	0,37	0,37	0,37	0,37	0	1	0,2	0,2	0,2	0,2	0,2
0,23	0,23	0,23	0,23	0,23	0	0	0	0	0	0	0
0,43	0,43	0,43	0,43	0,43	0	0	0	0	0	0	0
1,28	1,28	1,28	1,28	1,28	0	0	0	0	0	0	0
0,2	0,2	0,2	0,2	0,2	0	1	0,18	0,18	0,18	0,18	0,18
0,07	0,07	0,07	0,07	0,07	0	0	0	0	0	0	0
3,36	3,36	3,36	3,36	3,36	0	0	0	0	0	0	0
0,55	0,55	0,55	0,55	0,55	0	0	0	0	0	0	0
1,22	1,22	1,22	1,22	1,22	0	0	0	0	0	0	0
0,27	0,27	0,27	0,27	0,27	0	0	0	0	0	0	0
0	0	0	0	0	0	0	0	0	0	0	0
0,68	0,68	0,68	0,68	0,68	0	0	0	0	0	0	0
0	0	0	0	0	0	1	0,47	0,47	0,47	0,47	0,47
0,87	3,56	0,07	13,07	0,43	1,11	4	0,33	0,47	0,18	1,32	0,33

Total Visit Duration_dn01_lan d_allinone.jpg_Rect angle 30_Stdev	Total Visit Duration_dn01_lan d_allinone.jpg_Rect angle 31_N	Total Visit Duration_dn01_lan d_allinone.jpg_Rect angle 31_Mean	Total Visit Duration_dn01_lan d_allinone.jpg_Rect angle 31_Max	Total Visit Duration_dn01_lan d_allinone.jpg_Rect angle 31_Min	Total Visit Duration_dn01_lan d_allinone.jpg_Rect angle 31_Sum	Total Visit Duration_dn01_lan d_allinone.jpg_Rect angle 31_Median	Total Visit Duration_dn01_lan d_allinone.jpg_Rect angle 31_Stdev	Total Visit Duration_dn01_lan d_allinone.jpg_Rect angle 32_N	Total Visit Duration_dn01_lan d_allinone.jpg_Rect angle 32_Mean	Total Visit Duration_dn01_lan d_allinone.jpg_Rect angle 32_Max	Total Visit Duration_dn01_lan d_allinone.jpg_Rect angle 32_Min
0	0	0	0	0	0	0	0	0	0	0	0
0	0	0	0	0	0	0	0	0	0	0	0
0	1	0,15	0,15	0,15	0,15	0,15	0	0	0	0	0
0	0	0	0	0	0	0	0	0	0	0	0
0	0	0	0	0	0	0	0	1	0,2	0,2	0,2
0	0	0	0	0	0	0	0	0	0	0	0
0	1	0,17	0,17	0,17	0,17	0,17	0	1	0,72	0,72	0,72
0	0	0	0	0	0	0	0	0	0	0	0
0	0	0	0	0	0	0	0	0	0	0	0
0	0	0	0	0	0	0	0	1	1,1	1,1	1,1
0	0	0	0	0	0	0	0	0	0	0	0
0	0	0	0	0	0	0	0	0	0	0	0
0	0	0	0	0	0	0	0	0	0	0	0
0	0	0	0	0	0	0	0	0	0	0	0
0	0	0	0	0	0	0	0	0	0	0	0
0	0	0	0	0	0	0	0	0	0	0	0
0	0	0	0	0	0	0	0	0	0	0	0
0,16	2	0,16	0,17	0,15	0,32	0,16	0,01	3	0,67	1,1	0,2

Total Visit Duration_dn01_lan d_allinone.jpg_Rect angle 32_Sum	Total Visit Duration_dn01_lan d_allinone.jpg_Rect angle 32_Median	Total Visit Duration_dn01_lan d_allinone.jpg_Rect angle 32_Stdev	Total Visit Duration_dn01_lan d_allinone.jpg_Rect angle 4_N	Total Visit Duration_dn01_lan d_allinone.jpg_Rect angle 4_Mean	Total Visit Duration_dn01_lan d_allinone.jpg_Rect angle 4_Max	Total Visit Duration_dn01_lan d_allinone.jpg_Rect angle 4_Min	Total Visit Duration_dn01_lan d_allinone.jpg_Rect angle 4_Sum	Total Visit Duration_dn01_lan d_allinone.jpg_Rect angle 4_Median	Total Visit Duration_dn01_lan d_allinone.jpg_Rect angle 4_Stdev	Total Visit Duration_dn01_lan d_allinone.jpg_Rect angle 5_N	Total Visit Duration_dn01_lan d_allinone.jpg_Rect angle 5_Mean
0	0	0	1	0,13	0,13	0,13	0,13	0,13	0	0	0
0	0	0	1	0,23	0,23	0,23	0,23	0,23	0	1	0,06
0	0	0	1	0,43	0,43	0,43	0,43	0,43	0	0	0
0	0	0	1	0,18	0,18	0,18	0,18	0,18	0	0	0
0,2	0,2	0	1	0,38	0,38	0,38	0,38	0,38	0	0	0
0	0	0	0	0	0	0	0	0	0	1	0,01
0,72	0,72	0	1	0,45	0,45	0,45	0,45	0,45	0	0	0
0	0	0	1	0,38	0,38	0,38	0,38	0,38	0	0	0
0	0	0	1	0,72	0,72	0,72	0,72	0,72	0	1	1,05
1,1	1,1	0	1	0,3	0,3	0,3	0,3	0,3	0	1	0,15
0	0	0	0	0	0	0	0	0	0	0	0
0	0	0	1	2,75	2,75	2,75	2,75	2,75	0	0	0
0	0	0	1	0,82	0,82	0,82	0,82	0,82	0	0	0
0	0	0	0	0	0	0	0	0	0	0	0
0	0	0	1	0,52	0,52	0,52	0,52	0,52	0	1	0,17
0	0	0	0	0	0	0	0	0	0	1	0,2
0	0	0	0	0	0	0	0	0	0	0	0
2,02	0,72	0,45	12	0,61	2,75	0,13	7,29	0,41	0,7	6	0,27

Total Visit Duration_dn01_lan d_allinone.jpg_Rect angle 5_Max	Total Visit Duration_dn01_lan d_allinone.jpg_Rect angle 5_Min	Total Visit Duration_dn01_lan d_allinone.jpg_Rect angle 5_Sum	Total Visit Duration_dn01_lan d_allinone.jpg_Rect angle 5_Median	Total Visit Duration_dn01_lan d_allinone.jpg_Rect angle 5_Stdev	Total Visit Duration_dn01_lan d_allinone.jpg_Rect angle 7_N	Total Visit Duration_dn01_lan d_allinone.jpg_Rect angle 7_Mean	Total Visit Duration_dn01_lan d_allinone.jpg_Rect angle 7_Max	Total Visit Duration_dn01_lan d_allinone.jpg_Rect angle 7_Min	Total Visit Duration_dn01_lan d_allinone.jpg_Rect angle 7_Sum	Total Visit Duration_dn01_lan d_allinone.jpg_Rect angle 7_Median	Total Visit Duration_dn01_lan d_allinone.jpg_Rect angle 7_Stdev
0	0	0	0	0	1	0,17	0,17	0,17	0,17	0,17	0
0,06	0,06	0,06	0,06	0	0	0	0	0	0	0	0
0	0	0	0	0	1	0,93	0,93	0,93	0,93	0,93	0
0	0	0	0	0	1	0,35	0,35	0,35	0,35	0,35	0
0	0	0	0	0	0	0	0	0	0	0	0
0,01	0,01	0,01	0,01	0	1	0,93	0,93	0,93	0,93	0,93	0
0	0	0	0	0	0	0	0	0	0	0	0
0	0	0	0	0	1	0,43	0,43	0,43	0,43	0,43	0
1,05	1,05	1,05	1,05	0	1	1,9	1,9	1,9	1,9	1,9	0
0,15	0,15	0,15	0,15	0	1	0,45	0,45	0,45	0,45	0,45	0
0	0	0	0	0	0	0	0	0	0	0	0
0	0	0	0	0	1	0,78	0,78	0,78	0,78	0,78	0
0	0	0	0	0	1	1,23	1,23	1,23	1,23	1,23	0
0	0	0	0	0	1	1,32	1,32	1,32	1,32	1,32	0
0,17	0,17	0,17	0,17	0	1	0,32	0,32	0,32	0,32	0,32	0
0,2	0,2	0,2	0,2	0	0	0	0	0	0	0	0
0	0	0	0	0	1	1,15	1,15	1,15	1,15	1,15	0
1,05	0,01	1,64	0,16	0,39	12	0,83	1,9	0,17	9,96	0,86	0,51

Total Visit Duration_dn01_lan d_allinone.jpg_Rect angle 8_N	Total Visit Duration_dn01_lan d_allinone.jpg_Rect angle 8_Mean	Total Visit Duration_dn01_lan d_allinone.jpg_Rect angle 8_Max	Total Visit Duration_dn01_lan d_allinone.jpg_Rect angle 8_Min	Total Visit Duration_dn01_lan d_allinone.jpg_Rect angle 8_Sum	Total Visit Duration_dn01_lan d_allinone.jpg_Rect angle 8_Median	Total Visit Duration_dn01_lan d_allinone.jpg_Rect angle 8_Stdev	Total Visit Duration_dn01_lan d_allinone.jpg_Rect angle 9_N	Total Visit Duration_dn01_lan d_allinone.jpg_Rect angle 9_Mean	Total Visit Duration_dn01_lan d_allinone.jpg_Rect angle 9_Max	Total Visit Duration_dn01_lan d_allinone.jpg_Rect angle 9_Min	Total Visit Duration_dn01_lan d_allinone.jpg_Rect angle 9_Sum
0	0	0	0	0	0	0	0	0	0	0	0
1	0,13	0,13	0,13	0,13	0,13	0	1	0,13	0,13	0,13	0,13
0	0	0	0	0	0	0	0	0	0	0	0
0	0	0	0	0	0	0	1	0,87	0,87	0,87	0,87
1	0,25	0,25	0,25	0,25	0,25	0	0	0	0	0	0
1	0,08	0,08	0,08	0,08	0,08	0	0	0	0	0	0
1	0,32	0,32	0,32	0,32	0,32	0	1	0,2	0,2	0,2	0,2
1	0,25	0,25	0,25	0,25	0,25	0	1	0,15	0,15	0,15	0,15
1	2,23	2,23	2,23	2,23	2,23	0	0	0	0	0	0
1	1,23	1,23	1,23	1,23	1,23	0	1	0,87	0,87	0,87	0,87
1	0,13	0,13	0,13	0,13	0,13	0	1	0,13	0,13	0,13	0,13
1	1,17	1,17	1,17	1,17	1,17	0	1	0,85	0,85	0,85	0,85
1	1,5	1,5	1,5	1,5	1,5	0	0	0	0	0	0
1	2,35	2,35	2,35	2,35	2,35	0	1	0,17	0,17	0,17	0,17
1	0,9	0,9	0,9	0,9	0,9	0	1	0,1	0,1	0,1	0,1
0	0	0	0	0	0	0	1	0,15	0,15	0,15	0,15
1	0,8	0,8	0,8	0,8	0,8	0	0	0	0	0	0
13	0,87	2,35	0,08	11,34	0,8	0,79	10	0,36	0,87	0,1	3,61

PRILOG 3 A

Rezultati mjerenja i deskriptivna statistika praćenja oka korisnika aplikacije za tablet novine

Total Visit Duration_dn01_lan d_allinone.jpg_Rect angle 9_Median	Total Visit Duration_dn01_lan d_allinone.jpg_Rect angle 9_Stdev
0	0
0,13	0
0	0
0,87	0
0	0
0	0
0,2	0
0,15	0
0	0
0,87	0
0,13	0
0,85	0
0	0
0,17	0
0,1	0
0,15	0
0	0
0,16	0,35

	Total Visit Duration_dn02_lan d_allinone.jpg_Poly gon_N	Total Visit Duration_dn02_lan d_allinone.jpg_Poly gon_Mean	Total Visit Duration_dn02_lan d_allinone.jpg_Poly gon_Max	Total Visit Duration_dn02_lan d_allinone.jpg_Poly gon_Min	Total Visit Duration_dn02_lan d_allinone.jpg_Poly gon_Sum	Total Visit Duration_dn02_lan d_allinone.jpg_Poly gon_Median	Total Visit Duration_dn02_lan d_allinone.jpg_Poly gon_Stdev	Total Visit Duration_dn02_lan d_allinone.jpg_Rect angle_N	Total Visit Duration_dn02_lan d_allinone.jpg_Rect angle_Mean	Total Visit Duration_dn02_lan d_allinone.jpg_Rect angle_Max	Total Visit Duration_dn02_lan d_allinone.jpg_Rect angle_Min
Rec 01	1	8,69	8,69	8,69	8,69	8,69	0	0	0	0	0
Rec 02	1	2,86	2,86	2,86	2,86	2,86	0	0	0	0	0
Rec 03	0	0	0	0	0	0	0	0	0	0	0
Rec 04	1	2,06	2,06	2,06	2,06	2,06	0	1	1,05	1,05	1,05
Rec 05	1	3,18	3,18	3,18	3,18	3,18	0	1	1,08	1,08	1,08
Rec 06	0	0	0	0	0	0	0	0	0	0	0
Rec 07	1	6,13	6,13	6,13	6,13	6,13	0	1	0,27	0,27	0,27
Rec 08	1	2,75	2,75	2,75	2,75	2,75	0	0	0	0	0
Rec 10	0	0	0	0	0	0	0	0	0	0	0
Rec 11	1	2,13	2,13	2,13	2,13	2,13	0	0	0	0	0
Rec 12	1	1,82	1,82	1,82	1,82	1,82	0	1	0,25	0,25	0,25
Rec 13	1	7,44	7,44	7,44	7,44	7,44	0	0	0	0	0
Rec 14	1	3,85	3,85	3,85	3,85	3,85	0	1	0,65	0,65	0,65
Rec 15	1	2,13	2,13	2,13	2,13	2,13	0	0	0	0	0
Rec 17	1	0,5	0,5	0,5	0,5	0,5	0	0	0	0	0
Rec 18	1	0,08	0,08	0,08	0,08	0,08	0	1	0,27	0,27	0,27
Rec 19	1	1,83	1,83	1,83	1,83	1,83	0	1	0,49	0,49	0,49
All Recordings	14	3,25	8,69	0,08	45,46	2,44	2,51	7	0,58	1,08	0,25

Total Visit Duration_dn02_lan d_allinone.jpg_Rect angle_Sum	Total Visit Duration_dn02_lan d_allinone.jpg_Rect angle_Median	Total Visit Duration_dn02_lan d_allinone.jpg_Rect angle_Stdev	Total Visit Duration_dn02_lan d_allinone.jpg_Rect angle 10_N	Total Visit Duration_dn02_lan d_allinone.jpg_Rect angle 10_Mean	Total Visit Duration_dn02_lan d_allinone.jpg_Rect angle 10_Max	Total Visit Duration_dn02_lan d_allinone.jpg_Rect angle 10_Min	Total Visit Duration_dn02_lan d_allinone.jpg_Rect angle 10_Sum	Total Visit Duration_dn02_lan d_allinone.jpg_Rect angle 10_Median	Total Visit Duration_dn02_lan d_allinone.jpg_Rect angle 10_Stdev	Total Visit Duration_dn02_lan d_allinone.jpg_Rect angle 11_N	Total Visit Duration_dn02_lan d_allinone.jpg_Rect angle 11_Mean
0	0	0	1	0,12	0,12	0,12	0,12	0,12	0	0	0
0	0	0	0	0	0	0	0	0	0	1	0,18
0	0	0	0	0	0	0	0	0	0	0	0
1,05	1,05	0	1	0,53	0,53	0,53	0,53	0,53	0	1	0,52
1,08	1,08	0	1	1,03	1,03	1,03	1,03	1,03	0	1	1,35
0	0	0	0	0	0	0	0	0	0	0	0
0,27	0,27	0	1	0,2	0,2	0,2	0,2	0,2	0	0	0
0	0	0	1	0,57	0,57	0,57	0,57	0,57	0	1	0,82
0	0	0	1	1,88	1,88	1,88	1,88	1,88	0	1	2,71
0	0	0	1	0,83	0,83	0,83	0,83	0,83	0	0	0
0,25	0,25	0	1	0,92	0,92	0,92	0,92	0,92	0	0	0
0	0	0	1	0,22	0,22	0,22	0,22	0,22	0	1	0,42
0,65	0,65	0	1	1,2	1,2	1,2	1,2	1,2	0	1	0,3
0	0	0	1	1,02	1,02	1,02	1,02	1,02	0	1	0,47
0	0	0	1	1,02	1,02	1,02	1,02	1,02	0	1	0,6
0,27	0,27	0	1	0,17	0,17	0,17	0,17	0,17	0	0	0
0,49	0,49	0	1	0,13	0,13	0,13	0,13	0,13	0	1	2,03
4,05	0,49	0,36	14	0,7	1,88	0,12	9,83	0,7	0,52	10	0,94

Total Visit Duration_dn02_lan d_allinone.jpg_Rect angle 11_Max	Total Visit Duration_dn02_lan d_allinone.jpg_Rect angle 11_Min	Total Visit Duration_dn02_lan d_allinone.jpg_Rect angle 11_Sum	Total Visit Duration_dn02_lan d_allinone.jpg_Rect angle 11_Median	Total Visit Duration_dn02_lan d_allinone.jpg_Rect angle 11_Stdev	Total Visit Duration_dn02_lan d_allinone.jpg_Rect angle 12_N	Total Visit Duration_dn02_lan d_allinone.jpg_Rect angle 12_Mean	Total Visit Duration_dn02_lan d_allinone.jpg_Rect angle 12_Max	Total Visit Duration_dn02_lan d_allinone.jpg_Rect angle 12_Min	Total Visit Duration_dn02_lan d_allinone.jpg_Rect angle 12_Sum	Total Visit Duration_dn02_lan d_allinone.jpg_Rect angle 12_Median	Total Visit Duration_dn02_lan d_allinone.jpg_Rect angle 12_Stdev
0	0	0	0	0	0	0	0	0	0	0	0
0,18	0,18	0,18	0,18	0	0	0	0	0	0	0	0
0	0	0	0	0	0	0	0	0	0	0	0
0,52	0,52	0,52	0,52	0	0	0	0	0	0	0	0
1,35	1,35	1,35	1,35	0	0	0	0	0	0	0	0
0	0	0	0	0	0	0	0	0	0	0	0
0	0	0	0	0	0	0	0	0	0	0	0
0,82	0,82	0,82	0,82	0	1	2,1	2,1	2,1	2,1	2,1	0
2,71	2,71	2,71	2,71	0	1	2,56	2,56	2,56	2,56	2,56	0
0	0	0	0	0	0	0	0	0	0	0	0
0	0	0	0	0	0	0	0	0	0	0	0
0,42	0,42	0,42	0,42	0	0	0	0	0	0	0	0
0,3	0,3	0,3	0,3	0	1	0,38	0,38	0,38	0,38	0,38	0
0,47	0,47	0,47	0,47	0	0	0	0	0	0	0	0
0,6	0,6	0,6	0,6	0	0	0	0	0	0	0	0
0	0	0	0	0	0	0	0	0	0	0	0
2,03	2,03	2,03	2,03	0	1	1,07	1,07	1,07	1,07	1,07	0
2,71	0,18	9,39	0,56	0,84	4	1,53	2,56	0,38	6,11	1,58	0,99

Total Visit Duration_dn02_lan d_allinone.jpg_Rect angle 13_N	Total Visit Duration_dn02_lan d_allinone.jpg_Rect angle 13_Mean	Total Visit Duration_dn02_lan d_allinone.jpg_Rect angle 13_Max	Total Visit Duration_dn02_lan d_allinone.jpg_Rect angle 13_Min	Total Visit Duration_dn02_lan d_allinone.jpg_Rect angle 13_Sum	Total Visit Duration_dn02_lan d_allinone.jpg_Rect angle 13_Median	Total Visit Duration_dn02_lan d_allinone.jpg_Rect angle 13_Stdev	Total Visit Duration_dn02_lan d_allinone.jpg_Rect angle 14_N	Total Visit Duration_dn02_lan d_allinone.jpg_Rect angle 14_Mean	Total Visit Duration_dn02_lan d_allinone.jpg_Rect angle 14_Max	Total Visit Duration_dn02_lan d_allinone.jpg_Rect angle 14_Min	Total Visit Duration_dn02_lan d_allinone.jpg_Rect angle 14_Sum
0	0	0	0	0	0	0	0	0	0	0	0
0	0	0	0	0	0	0	0	0	0	0	0
0	0	0	0	0	0	0	0	0	0	0	0
0	0	0	0	0	0	0	0	0	0	0	0
1	0,35	0,35	0,35	0,35	0,35	0	1	2,36	2,36	2,36	2,36
0	0	0	0	0	0	0	0	0	0	0	0
1	0,25	0,25	0,25	0,25	0,25	0	0	0	0	0	0
1	1,22	1,22	1,22	1,22	1,22	0	1	1,45	1,45	1,45	1,45
1	2,56	2,56	2,56	2,56	2,56	0	1	1,64	1,64	1,64	1,64
0	0	0	0	0	0	0	1	0,32	0,32	0,32	0,32
0	0	0	0	0	0	0	0	0	0	0	0
0	0	0	0	0	0	0	0	0	0	0	0
1	0,46	0,46	0,46	0,46	0,46	0	0	0	0	0	0
0	0	0	0	0	0	0	0	0	0	0	0
1	1,25	1,25	1,25	1,25	1,25	0	1	0,35	0,35	0,35	0,35
0	0	0	0	0	0	0	0	0	0	0	0
1	0,77	0,77	0,77	0,77	0,77	0	1	1,3	1,3	1,3	1,3
7	0,98	2,56	0,25	6,85	0,77	0,81	6	1,24	2,36	0,32	7,42

Total Visit Duration_dn02_lan d_allinone.jpg_Rect angle 14_Median	Total Visit Duration_dn02_lan d_allinone.jpg_Rect angle 14_Stdev	Total Visit Duration_dn02_lan d_allinone.jpg_Rect angle 15_N	Total Visit Duration_dn02_lan d_allinone.jpg_Rect angle 15_Mean	Total Visit Duration_dn02_lan d_allinone.jpg_Rect angle 15_Max	Total Visit Duration_dn02_lan d_allinone.jpg_Rect angle 15_Min	Total Visit Duration_dn02_lan d_allinone.jpg_Rect angle 15_Sum	Total Visit Duration_dn02_lan d_allinone.jpg_Rect angle 15_Median	Total Visit Duration_dn02_lan d_allinone.jpg_Rect angle 15_Stdev	Total Visit Duration_dn02_lan d_allinone.jpg_Rect angle 16_N	Total Visit Duration_dn02_lan d_allinone.jpg_Rect angle 16_Mean	Total Visit Duration_dn02_lan d_allinone.jpg_Rect angle 16_Max
0	0	1	0,25	0,25	0,25	0,25	0,25	0	0	0	0
0	0	0	0	0	0	0	0	0	0	0	0
0	0	0	0	0	0	0	0	0	0	0	0
0	0	1	0,35	0,35	0,35	0,35	0,35	0	0	0	0
2,36	0	1	0,13	0,13	0,13	0,13	0,13	0	0	0	0
0	0	0	0	0	0	0	0	0	0	0	0
0	0	0	0	0	0	0	0	0	0	0	0
1,45	0	1	0,27	0,27	0,27	0,27	0,27	0	0	0	0
1,64	0	0	0	0	0	0	0	0	0	0	0
0,32	0	0	0	0	0	0	0	0	0	0	0
0	0	0	0	0	0	0	0	0	0	0	0
0	0	0	0	0	0	0	0	0	0	0	0
0	0	1	0,5	0,5	0,5	0,5	0,5	0	0	0	0
0	0	0	0	0	0	0	0	0	0	0	0
0,35	0	0	0	0	0	0	0	0	0	0	0
0	0	0	0	0	0	0	0	0	0	0	0
1,3	0	0	0	0	0	0	0	0	0	0	0
1,37	0,79	5	0,3	0,5	0,13	1,5	0,27	0,14	0	0	0

Total Visit Duration_dn02_lan d_allinone.jpg_Rect angle 16_Min	Total Visit Duration_dn02_lan d_allinone.jpg_Rect angle 16_Sum	Total Visit Duration_dn02_lan d_allinone.jpg_Rect angle 16_Median	Total Visit Duration_dn02_lan d_allinone.jpg_Rect angle 16_Stdev	Total Visit Duration_dn02_lan d_allinone.jpg_Rect angle 17_N	Total Visit Duration_dn02_lan d_allinone.jpg_Rect angle 17_Mean	Total Visit Duration_dn02_lan d_allinone.jpg_Rect angle 17_Max	Total Visit Duration_dn02_lan d_allinone.jpg_Rect angle 17_Min	Total Visit Duration_dn02_lan d_allinone.jpg_Rect angle 17_Sum	Total Visit Duration_dn02_lan d_allinone.jpg_Rect angle 17_Median	Total Visit Duration_dn02_lan d_allinone.jpg_Rect angle 17_Stdev	Total Visit Duration_dn02_lan d_allinone.jpg_Rect angle 18_N
0	0	0	0	0	0	0	0	0	0	0	0
0	0	0	0	0	0	0	0	0	0	0	0
0	0	0	0	0	0	0	0	0	0	0	0
0	0	0	0	0	0	0	0	0	0	0	0
0	0	0	0	0	0	0	0	0	0	0	0
0	0	0	0	0	0	0	0	0	0	0	0
0	0	0	0	0	0	0	0	0	0	0	0
0	0	0	0	0	0	0	0	0	0	0	0
0	0	0	0	0	0	0	0	0	0	0	0
0	0	0	0	0	0	0	0	0	0	0	0
0	0	0	0	0	0	0	0	0	0	0	0
0	0	0	0	0	0	0	0	0	0	0	0
0	0	0	0	0	0	0	0	0	0	0	0
0	0	0	0	0	0	0	0	0	0	0	1
0	0	0	0	0	0	0	0	0	0	0	0
0	0	0	0	0	0	0	0	0	0	0	0
0	0	0	0	0	0	0	0	0	0	0	0
0	0	0	0	0	0	0	0	0	0	0	0
0	0	0	0	0	0	0	0	0	0	0	0
0	0	0	0	0	0	0	0	0	0	0	1

Total Visit Duration_dn02_lan d_allinone.jpg_Rect angle 18_Mean	Total Visit Duration_dn02_lan d_allinone.jpg_Rect angle 18_Max	Total Visit Duration_dn02_lan d_allinone.jpg_Rect angle 18_Min	Total Visit Duration_dn02_lan d_allinone.jpg_Rect angle 18_Sum	Total Visit Duration_dn02_lan d_allinone.jpg_Rect angle 18_Median	Total Visit Duration_dn02_lan d_allinone.jpg_Rect angle 18_Stdev	Total Visit Duration_dn02_lan d_allinone.jpg_Rect angle 19_N	Total Visit Duration_dn02_lan d_allinone.jpg_Rect angle 19_Mean	Total Visit Duration_dn02_lan d_allinone.jpg_Rect angle 19_Max	Total Visit Duration_dn02_lan d_allinone.jpg_Rect angle 19_Min	Total Visit Duration_dn02_lan d_allinone.jpg_Rect angle 19_Sum	Total Visit Duration_dn02_lan d_allinone.jpg_Rect angle 19_Median
0	0	0	0	0	0	0	0	0	0	0	0
0	0	0	0	0	0	0	0	0	0	0	0
0	0	0	0	0	0	0	0	0	0	0	0
0	0	0	0	0	0	0	0	0	0	0	0
0	0	0	0	0	0	1	0,25	0,25	0,25	0,25	0,25
0	0	0	0	0	0	0	0	0	0	0	0
0	0	0	0	0	0	1	0,15	0,15	0,15	0,15	0,15
0	0	0	0	0	0	0	0	0	0	0	0
0	0	0	0	0	0	0	0	0	0	0	0
0	0	0	0	0	0	0	0	0	0	0	0
0	0	0	0	0	0	0	0	0	0	0	0
0,65	0,65	0,65	0,65	0,65	0	0	0	0	0	0	0
0	0	0	0	0	0	1	0,43	0,43	0,43	0,43	0,43
0	0	0	0	0	0	0	0	0	0	0	0
0	0	0	0	0	0	0	0	0	0	0	0
0	0	0	0	0	0	0	0	0	0	0	0
0	0	0	0	0	0	0	0	0	0	0	0
0,65	0,65	0,65	0,65	0,65	0	3	0,28	0,43	0,15	0,83	0,25

Total Visit Duration_dn02_lan d_allinone.jpg_Rect angle 19_Stdev	Total Visit Duration_dn02_lan d_allinone.jpg_Rect angle 2_N	Total Visit Duration_dn02_lan d_allinone.jpg_Rect angle 2_Mean	Total Visit Duration_dn02_lan d_allinone.jpg_Rect angle 2_Max	Total Visit Duration_dn02_lan d_allinone.jpg_Rect angle 2_Min	Total Visit Duration_dn02_lan d_allinone.jpg_Rect angle 2_Sum	Total Visit Duration_dn02_lan d_allinone.jpg_Rect angle 2_Median	Total Visit Duration_dn02_lan d_allinone.jpg_Rect angle 2_Stdev	Total Visit Duration_dn02_lan d_allinone.jpg_Rect angle 20_N	Total Visit Duration_dn02_lan d_allinone.jpg_Rect angle 20_Mean	Total Visit Duration_dn02_lan d_allinone.jpg_Rect angle 20_Max	Total Visit Duration_dn02_lan d_allinone.jpg_Rect angle 20_Min
0	1	0,2	0,2	0,2	0,2	0,2	0	0	0	0	0
0	1	0,65	0,65	0,65	0,65	0,65	0	0	0	0	0
0	1	1	1	1	1	1	0	0	0	0	0
0	1	3,38	3,38	3,38	3,38	3,38	0	0	0	0	0
0	1	1,03	1,03	1,03	1,03	1,03	0	1	0,22	0,22	0,22
0	1	0,57	0,57	0,57	0,57	0,57	0	0	0	0	0
0	1	3,3	3,3	3,3	3,3	3,3	0	0	0	0	0
0	1	1,62	1,62	1,62	1,62	1,62	0	0	0	0	0
0	1	0,17	0,17	0,17	0,17	0,17	0	0	0	0	0
0	1	1,05	1,05	1,05	1,05	1,05	0	0	0	0	0
0	1	1,65	1,65	1,65	1,65	1,65	0	0	0	0	0
0	1	1,74	1,74	1,74	1,74	1,74	0	0	0	0	0
0	1	0,58	0,58	0,58	0,58	0,58	0	1	0,22	0,22	0,22
0	1	2,25	2,25	2,25	2,25	2,25	0	0	0	0	0
0	1	0,07	0,07	0,07	0,07	0,07	0	0	0	0	0
0	1	2,22	2,22	2,22	2,22	2,22	0	0	0	0	0
0	1	0,13	0,13	0,13	0,13	0,13	0	0	0	0	0
0,14	17	1,27	3,38	0,07	21,59	1,03	1,05	2	0,22	0,22	0,22

Total Visit Duration_dn02_lan d_allinone.jpg_Rect angle 20_Sum	Total Visit Duration_dn02_lan d_allinone.jpg_Rect angle 20_Median	Total Visit Duration_dn02_lan d_allinone.jpg_Rect angle 20_Stdev	Total Visit Duration_dn02_lan d_allinone.jpg_Rect angle 21_N	Total Visit Duration_dn02_lan d_allinone.jpg_Rect angle 21_Mean	Total Visit Duration_dn02_lan d_allinone.jpg_Rect angle 21_Max	Total Visit Duration_dn02_lan d_allinone.jpg_Rect angle 21_Min	Total Visit Duration_dn02_lan d_allinone.jpg_Rect angle 21_Sum	Total Visit Duration_dn02_lan d_allinone.jpg_Rect angle 21_Median	Total Visit Duration_dn02_lan d_allinone.jpg_Rect angle 21_Stdev	Total Visit Duration_dn02_lan d_allinone.jpg_Rect angle 22_N	Total Visit Duration_dn02_lan d_allinone.jpg_Rect angle 22_Mean
0	0	0	0	0	0	0	0	0	0	0	0
0	0	0	0	0	0	0	0	0	0	0	0
0	0	0	0	0	0	0	0	0	0	0	0
0	0	0	0	0	0	0	0	0	0	0	0
0,22	0,22	0	0	0	0	0	0	0	0	0	0
0	0	0	0	0	0	0	0	0	0	0	0
0	0	0	0	0	0	0	0	0	0	0	0
0	0	0	0	0	0	0	0	0	0	0	0
0	0	0	0	0	0	0	0	0	0	0	0
0	0	0	0	0	0	0	0	0	0	0	0
0	0	0	0	0	0	0	0	0	0	0	0
0	0	0	0	0	0	0	0	0	0	0	0
0	0	0	0	0	0	0	0	0	0	1	0,18
0,22	0,22	0	0	0	0	0	0	0	0	0	0
0	0	0	0	0	0	0	0	0	0	0	0
0	0	0	0	0	0	0	0	0	0	0	0
0	0	0	0	0	0	0	0	0	0	0	0
0	0	0	0	0	0	0	0	0	0	1	0,4
0,43	0,22	0	0	0	0	0	0	0	0	2	0,29

Total Visit Duration_dn02_lan d_allinone.jpg_Rect angle 22_Max	Total Visit Duration_dn02_lan d_allinone.jpg_Rect angle 22_Min	Total Visit Duration_dn02_lan d_allinone.jpg_Rect angle 22_Sum	Total Visit Duration_dn02_lan d_allinone.jpg_Rect angle 22_Median	Total Visit Duration_dn02_lan d_allinone.jpg_Rect angle 22_Stdev	Total Visit Duration_dn02_lan d_allinone.jpg_Rect angle 23_N	Total Visit Duration_dn02_lan d_allinone.jpg_Rect angle 23_Mean	Total Visit Duration_dn02_lan d_allinone.jpg_Rect angle 23_Max	Total Visit Duration_dn02_lan d_allinone.jpg_Rect angle 23_Min	Total Visit Duration_dn02_lan d_allinone.jpg_Rect angle 23_Sum	Total Visit Duration_dn02_lan d_allinone.jpg_Rect angle 23_Median	Total Visit Duration_dn02_lan d_allinone.jpg_Rect angle 23_Stdev
0	0	0	0	0	1	0,23	0,23	0,23	0,23	0,23	0
0	0	0	0	0	0	0	0	0	0	0	0
0	0	0	0	0	1	1,28	1,28	1,28	1,28	1,28	0
0	0	0	0	0	1	0,68	0,68	0,68	0,68	0,68	0
0	0	0	0	0	0	0	0	0	0	0	0
0	0	0	0	0	1	0,12	0,12	0,12	0,12	0,12	0
0	0	0	0	0	1	0,55	0,55	0,55	0,55	0,55	0
0	0	0	0	0	1	0,13	0,13	0,13	0,13	0,13	0
0	0	0	0	0	0	0	0	0	0	0	0
0	0	0	0	0	1	0,17	0,17	0,17	0,17	0,17	0
0	0	0	0	0	1	0,25	0,25	0,25	0,25	0,25	0
0,18	0,18	0,18	0,18	0	1	1,18	1,18	1,18	1,18	1,18	0
0	0	0	0	0	0	0	0	0	0	0	0
0	0	0	0	0	1	0,06	0,06	0,06	0,06	0,06	0
0	0	0	0	0	1	0,53	0,53	0,53	0,53	0,53	0
0	0	0	0	0	1	0,38	0,38	0,38	0,38	0,38	0
0,4	0,4	0,4	0,4	0	0	0	0	0	0	0	0
0,4	0,18	0,58	0,29	0,15	12	0,46	1,28	0,06	5,57	0,32	0,41

Total Visit Duration_dn02_lan d_allinone.jpg_Rect angle 24_N	Total Visit Duration_dn02_lan d_allinone.jpg_Rect angle 24_Mean	Total Visit Duration_dn02_lan d_allinone.jpg_Rect angle 24_Max	Total Visit Duration_dn02_lan d_allinone.jpg_Rect angle 24_Min	Total Visit Duration_dn02_lan d_allinone.jpg_Rect angle 24_Sum	Total Visit Duration_dn02_lan d_allinone.jpg_Rect angle 24_Median	Total Visit Duration_dn02_lan d_allinone.jpg_Rect angle 24_Stdev	Total Visit Duration_dn02_lan d_allinone.jpg_Rect angle 3_N	Total Visit Duration_dn02_lan d_allinone.jpg_Rect angle 3_Mean	Total Visit Duration_dn02_lan d_allinone.jpg_Rect angle 3_Max	Total Visit Duration_dn02_lan d_allinone.jpg_Rect angle 3_Min	Total Visit Duration_dn02_lan d_allinone.jpg_Rect angle 3_Sum
0	0	0	0	0	0	0	0	0	0	0	0
0	0	0	0	0	0	0	1	2,64	2,64	2,64	2,64
0	0	0	0	0	0	0	1	2,53	2,53	2,53	2,53
0	0	0	0	0	0	0	1	0,62	0,62	0,62	0,62
0	0	0	0	0	0	0	1	1,43	1,43	1,43	1,43
0	0	0	0	0	0	0	1	0,1	0,1	0,1	0,1
0	0	0	0	0	0	0	1	1,02	1,02	1,02	1,02
0	0	0	0	0	0	0	1	2,07	2,07	2,07	2,07
0	0	0	0	0	0	0	1	2,75	2,75	2,75	2,75
0	0	0	0	0	0	0	1	0,72	0,72	0,72	0,72
0	0	0	0	0	0	0	1	2,79	2,79	2,79	2,79
0	0	0	0	0	0	0	1	1,8	1,8	1,8	1,8
0	0	0	0	0	0	0	1	2,6	2,6	2,6	2,6
0	0	0	0	0	0	0	1	4,03	4,03	4,03	4,03
0	0	0	0	0	0	0	1	0,3	0,3	0,3	0,3
0	0	0	0	0	0	0	1	0,27	0,27	0,27	0,27
1	1,22	1,22	1,22	1,22	1,22	0	1	0,32	0,32	0,32	0,32
1	1,22	1,22	1,22	1,22	1,22	0	16	1,62	4,03	0,1	25,96

Total Visit Duration_dn02_lan d_allinone.jpg_Rect angle 3_Median	Total Visit Duration_dn02_lan d_allinone.jpg_Rect angle 3_Stdev	Total Visit Duration_dn02_lan d_allinone.jpg_Rect angle 4_N	Total Visit Duration_dn02_lan d_allinone.jpg_Rect angle 4_Mean	Total Visit Duration_dn02_lan d_allinone.jpg_Rect angle 4_Max	Total Visit Duration_dn02_lan d_allinone.jpg_Rect angle 4_Min	Total Visit Duration_dn02_lan d_allinone.jpg_Rect angle 4_Sum	Total Visit Duration_dn02_lan d_allinone.jpg_Rect angle 4_Median	Total Visit Duration_dn02_lan d_allinone.jpg_Rect angle 4_Stdev	Total Visit Duration_dn02_lan d_allinone.jpg_Rect angle 5_N	Total Visit Duration_dn02_lan d_allinone.jpg_Rect angle 5_Mean	Total Visit Duration_dn02_lan d_allinone.jpg_Rect angle 5_Max
0	0	0	0	0	0	0	0	0	1	0,4	0,4
2,64	0	0	0	0	0	0	0	0	0	0	0
2,53	0	1	0,12	0,12	0,12	0,12	0,12	0	1	0,32	0,32
0,62	0	1	1,38	1,38	1,38	1,38	1,38	0	1	1	1
1,43	0	1	0,37	0,37	0,37	0,37	0,37	0	1	0,18	0,18
0,1	0	1	0,1	0,1	0,1	0,1	0,1	0	1	0,1	0,1
1,02	0	1	0,7	0,7	0,7	0,7	0,7	0	0	0	0
2,07	0	1	0,18	0,18	0,18	0,18	0,18	0	1	0,07	0,07
2,75	0	1	0,18	0,18	0,18	0,18	0,18	0	1	0,8	0,8
0,72	0	0	0	0	0	0	0	0	1	0,65	0,65
2,79	0	1	0,6	0,6	0,6	0,6	0,6	0	1	0,78	0,78
1,8	0	1	0,55	0,55	0,55	0,55	0,55	0	1	0,48	0,48
2,6	0	1	0,32	0,32	0,32	0,32	0,32	0	1	0,35	0,35
4,03	0	0	0	0	0	0	0	0	1	1,47	1,47
0,3	0	0	0	0	0	0	0	0	1	1,12	1,12
0,27	0	1	0,37	0,37	0,37	0,37	0,37	0	1	0,1	0,1
0,32	0	1	0,17	0,17	0,17	0,17	0,17	0	0	0	0
1,61	1,19	12	0,42	1,38	0,1	5,03	0,34	0,36	14	0,56	1,47

Total Visit Duration_dn02_lan d_allinone.jpg_Rect angle 5_Min	Total Visit Duration_dn02_lan d_allinone.jpg_Rect angle 5_Sum	Total Visit Duration_dn02_lan d_allinone.jpg_Rect angle 5_Median	Total Visit Duration_dn02_lan d_allinone.jpg_Rect angle 5_Stdev	Total Visit Duration_dn02_lan d_allinone.jpg_Rect angle 6_N	Total Visit Duration_dn02_lan d_allinone.jpg_Rect angle 6_Mean	Total Visit Duration_dn02_lan d_allinone.jpg_Rect angle 6_Max	Total Visit Duration_dn02_lan d_allinone.jpg_Rect angle 6_Min	Total Visit Duration_dn02_lan d_allinone.jpg_Rect angle 6_Sum	Total Visit Duration_dn02_lan d_allinone.jpg_Rect angle 6_Median	Total Visit Duration_dn02_lan d_allinone.jpg_Rect angle 6_Stdev	Total Visit Duration_dn02_lan d_allinone.jpg_Rect angle 7_N
0,4	0,4	0,4	0	1	0,53	0,53	0,53	0,53	0,53	0	1
0	0	0	0	1	2,63	2,63	2,63	2,63	2,63	0	1
0,32	0,32	0,32	0	1	1,72	1,72	1,72	1,72	1,72	0	0
1	1	1	0	1	1,95	1,95	1,95	1,95	1,95	0	1
0,18	0,18	0,18	0	1	1,7	1,7	1,7	1,7	1,7	0	1
0,1	0,1	0,1	0	1	0,13	0,13	0,13	0,13	0,13	0	1
0	0	0	0	1	1,72	1,72	1,72	1,72	1,72	0	1
0,07	0,07	0,07	0	1	2,13	2,13	2,13	2,13	2,13	0	1
0,8	0,8	0,8	0	1	0,9	0,9	0,9	0,9	0,9	0	1
0,65	0,65	0,65	0	1	0,37	0,37	0,37	0,37	0,37	0	1
0,78	0,78	0,78	0	1	0,53	0,53	0,53	0,53	0,53	0	0
0,48	0,48	0,48	0	0	0	0	0	0	0	0	1
0,35	0,35	0,35	0	0	0	0	0	0	0	0	1
1,47	1,47	1,47	0	1	4,55	4,55	4,55	4,55	4,55	0	1
1,12	1,12	1,12	0	0	0	0	0	0	0	0	1
0,1	0,1	0,1	0	1	0,12	0,12	0,12	0,12	0,12	0	1
0	0	0	0	1	1,2	1,2	1,2	1,2	1,2	0	1
0,07	7,81	0,44	0,43	14	1,44	4,55	0,12	20,17	1,45	1,2	15

Total Visit Duration_dn02_lan d_allinone.jpg_Rect angle 7_Mean	Total Visit Duration_dn02_lan d_allinone.jpg_Rect angle 7_Max	Total Visit Duration_dn02_lan d_allinone.jpg_Rect angle 7_Min	Total Visit Duration_dn02_lan d_allinone.jpg_Rect angle 7_Sum	Total Visit Duration_dn02_lan d_allinone.jpg_Rect angle 7_Median	Total Visit Duration_dn02_lan d_allinone.jpg_Rect angle 7_Stdev	Total Visit Duration_dn02_lan d_allinone.jpg_Rect angle 8_N	Total Visit Duration_dn02_lan d_allinone.jpg_Rect angle 8_Mean	Total Visit Duration_dn02_lan d_allinone.jpg_Rect angle 8_Max	Total Visit Duration_dn02_lan d_allinone.jpg_Rect angle 8_Min	Total Visit Duration_dn02_lan d_allinone.jpg_Rect angle 8_Sum	Total Visit Duration_dn02_lan d_allinone.jpg_Rect angle 8_Median
0,22	0,22	0,22	0,22	0,22	0	1	0,28	0,28	0,28	0,28	0,28
1,07	1,07	1,07	1,07	1,07	0	1	1,53	1,53	1,53	1,53	1,53
0	0	0	0	0	0	1	2,1	2,1	2,1	2,1	2,1
0,22	0,22	0,22	0,22	0,22	0	1	0,15	0,15	0,15	0,15	0,15
0,28	0,28	0,28	0,28	0,28	0	0	0	0	0	0	0
1,07	1,07	1,07	1,07	1,07	0	1	0,37	0,37	0,37	0,37	0,37
0,22	0,22	0,22	0,22	0,22	0	0	0	0	0	0	0
0,9	0,9	0,9	0,9	0,9	0	0	0	0	0	0	0
0,22	0,22	0,22	0,22	0,22	0	1	1,43	1,43	1,43	1,43	1,43
2,41	2,41	2,41	2,41	2,41	0	1	1,37	1,37	1,37	1,37	1,37
0	0	0	0	0	0	0	0	0	0	0	0
0,22	0,22	0,22	0,22	0,22	0	1	0,12	0,12	0,12	0,12	0,12
0,17	0,17	0,17	0,17	0,17	0	1	1	1	1	1	1
0,7	0,7	0,7	0,7	0,7	0	1	0,65	0,65	0,65	0,65	0,65
0,43	0,43	0,43	0,43	0,43	0	1	2,83	2,83	2,83	2,83	2,83
0,08	0,08	0,08	0,08	0,08	0	0	0	0	0	0	0
0,75	0,75	0,75	0,75	0,75	0	0	0	0	0	0	0
0,6	2,41	0,08	8,94	0,28	0,61	11	1,08	2,83	0,12	11,83	1

Total Visit Duration_dn02_lan d_allinone.jpg_Rect angle 8_Stdev	Total Visit Duration_dn02_lan d_allinone.jpg_Rect angle 9_N	Total Visit Duration_dn02_lan d_allinone.jpg_Rect angle 9_Mean	Total Visit Duration_dn02_lan d_allinone.jpg_Rect angle 9_Max	Total Visit Duration_dn02_lan d_allinone.jpg_Rect angle 9_Min	Total Visit Duration_dn02_lan d_allinone.jpg_Rect angle 9_Sum	Total Visit Duration_dn02_lan d_allinone.jpg_Rect angle 9_Median	Total Visit Duration_dn02_lan d_allinone.jpg_Rect angle 9_Stdev
0	1	1,92	1,92	1,92	1,92	1,92	0
0	1	6,8	6,8	6,8	6,8	6,8	0
0	1	8,38	8,38	8,38	8,38	8,38	0
0	1	1,62	1,62	1,62	1,62	1,62	0
0	1	1,6	1,6	1,6	1,6	1,6	0
0	1	4,61	4,61	4,61	4,61	4,61	0
0	1	1,72	1,72	1,72	1,72	1,72	0
0	0	0	0	0	0	0	0
0	1	0,82	0,82	0,82	0,82	0,82	0
0	1	4,56	4,56	4,56	4,56	4,56	0
0	1	0,97	0,97	0,97	0,97	0,97	0
0	1	0,33	0,33	0,33	0,33	0,33	0
0	1	1,22	1,22	1,22	1,22	1,22	0
0	1	1,12	1,12	1,12	1,12	1,12	0
0	1	2,86	2,86	2,86	2,86	2,86	0
0	0	0	0	0	0	0	0
0	1	1,7	1,7	1,7	1,7	1,7	0
0,87	15	2,68	8,38	0,33	40,2	1,7	2,36

MV/ISP.	1	2	3	4	5	6	7	8	9	10	11	12	13
T1	30,991	18,186	42,501	30,545	16,13	38,337	25,739	23,004	27,311	29,642	35,411	31,353	35,772
Z1	6	8	7	8	7	8	10	9	10	9	7	9	7
T2	37,01	40,717	25,914	51,641	38,613	43,063	40,66	22,932	38,605	43,499	36,864	40,127	39,604
Z2	10	9	8	8	7	9	6	9	9	7	6	5	5
T3	31,085	47,896	32,676	32,192	32,713	30,499	42,732	40,817	38,339	19,412	31,75	24,921	25,666
Z3	7	7	6	8	8	7	7	9	8	6	4	6	5
T4	33,186	27,925	28,558	24,068	28,868	28,081	37,672	20,513	26,933	31,423	24,926	31,041	33,799
Z4	9	6	7	9	9	6	7	9	10	8	9	6	8
T5	42,853	30,472	32,744	43,025	26,857	21,574	47,627	56,784	41,291	29,666	46,733	63,547	32,846
Z5	5	5	5	7	9	6	9	5	5	8	7	6	4
T6	30,534	36,726	29,506	32,351	70,025	40,887	29,222	43,354	30,372	31,232	25,221	42,752	27,171
Z6	8	6	7	8	2	8	9	3	8	8	7	7	8
T7	39,987	37,229	32,156	35,483	43,074	30,769	39,441	39,695	26,275	30,896	23,918	31,012	34,221
Z7	6	6	7	4	5	8	9	9	8	10	8	8	9
T8	28,652	39,286	35,502	37,928	28,174	29,496	33,595	27,083	42,549	34,876	28,202	32,012	47,145
Z8	7	5	7	8	8	10	10	6	6	5	6	9	8
T9	40,15	27,904	36,455	37,879	30,234	33,316	32,824	26,112	40,58	29,522	24,253	27,44	34,993
Z9	9	6	7	9	3	8	9	3	9	10	9	8	10
T10	40,374	38,744	33,904	28,818	24,333	36,108	28,266	36,882	30,655	24,137	27,683	23,509	40,03
Z10	8	7	6	10	7	8	7	7	8	7	9	10	8
T11	23,932	24,859	36,931	27,073	38,465	35,406	29,237	39,245	43,277	33,826	21,692	32,372	24,636
Z11	10	9	7	9	6	8	9	8	7	8	9	8	9

14	15	16	17	18	19	20	Mean	StandDev	Var
33,141	21,186	32,012	24,339	27,893	33,305	29,269	29,30335	6,60036	43,56472
8	9	8	9	10	8	8	8,25	1,11803	1,25
28,209	24,596	29,413	35,56	47,272	40,176	26,401	36,5438	7,87296	61,98344
7	8	5	7	6	4	7	7,1	1,65116	2,72632
24,253	46,81	16,706	35,308	37,247	22,761	42,482	32,81325	8,803	77,49273
10	9	6	8	5	8	6	7	1,52177	2,31579
42,364	29,008	32,818	33,939	38,31	28,132	31,62	30,6592	5,1403	26,4228
6	9	8	6	6	8	7	7,65	1,34849	1,81842
40,583	35,068	37,507	35,593	42,686	37,006	35,009	38,97355	9,8478	96,979
4	3	5	5	5	6	6	5,75	1,585	2,513
33,93	28,609	27,743	29,726	29,659	29,155	31,66	33,99175	9,8764	97,5433
8	9	7	5	7	7	7	6,95	1,791	3,2079
30,67	34,566	28,055	30,378	41,799	33,401	38,687	34,0856	5,279	27,8681
10	6	7	9	7	7	6	7,45	1,6376	2,6816
32,133	45,923	29,3	24,577	31,391	42,011	26,931	33,8383	6,6397	44,086
9	7	8	9	7	5	10	7,5	1,67017	2,78947
22,328	27,599	25,095	30,401	37,909	29,12	30,418	31,2266	5,352	28,64393
10	10	8	6	7	8	8	7,85	2,059	4,2395
34,177	36,678	25,014	29,261	31,216	32,527	21,655	31,19855	5,802	33,665
8	8	10	7	7	7	9	7,9	1,1653	1,3579
20,894	19,949	35,333	32,498	30,899	26,844	29,497	30,34325	6,603	43,6
9	10	7	8	8	9	8	8,3	1,031	10632

Ispitanik/pitanje	Pitanje 1	Pitanje 2	Pitanje 3	Pitanje 4	Pitanje 5	Pitanje 6	Pitanje 7
1	1	1	2	2	2	2	0
2	4	2	1	2	2	2	0
3	5	5	2	2	2	2	0
4	3	2	2	2	1	2	0
5	2	2	1	2	2	2	0
6	2	4	2	2	1	2	0
7	5	1	1	2	2	2	0
8	1	1	1	2	2	2	0
9	2	4	1	2	2	2	0
10	4	2	1	2	1	1	2
11	3	1	1	2	1	2	0
12	3	1	1	2	2	2	0
13	1	1	1	1	1	1	1,2,3,6
14	3	4	1	2	1	2	0
15	2	1	2	2	1	2	0
16	1	1	1	1	1	1	1,2,3
17	1	1	1	2	1	1	1,3
18	2	1	1	2	1	1	1,3
19	1	4	1	1	2	2	0
20	3	2	1	2	1	2	0
21	3	1	1	1	1	1	3
22	1	1	1	2	1	2	0
23	4	2	1	2	1	2	0
24	2	1	1	1	1	1	3
25	2	1	1	2	1	1	2
26	4	1	2	2	1	1	2
27	3	2	1	1	1	1	2,3
28	3	3	1	2	1	2	0
29	3	2	2	2	1	2	0
30	5	4	1	2	2	2	0
31	3	2	1	1	1	2	0
32	2	1	2	2	2	2	0
33	2	2	2	2	1	2	0
34	3	1	1	2	1	2	0
35	3	1	1	2	1	1	1,3
36	3	1	2	2	2	2	0
37	2	1	1	1	1	2	0
38	3	2	1	2	1	2	0
39	4	4	2	2	2	2	0
40	1	2	1	2	1	2	0
41	2	2	1	2	1	2	0
42	3	1	2	1	1	2	0
43	1	2	2	2	1	1	2
44	2	2	2	2	2	2	0
45	4	2	2	1	1	2	0
46	1	1	2	2	2	2	0
47	2	1	1	2	1	2	0
48	1	1	2	2	2	2	0

49	3	3	1	2	1	2	0
50	3	2	2	2	1	2	0
51	1	1	1	1	1	1	1,2,3
52	2	1	1	2	1	2	0
53	1	1	1	1	1	1	2,3
54	4	5	1	2	1	1	3
55	2	3	1	2	1	2	0
56	4	5	2	2	2	2	0
57	2	2	2	2	1	2	0
58	2	3	1	2	2	2	0
59	4	3	2	2	1	1	1
60	3	2	2	1	1	2	0
61	5	5	2	2	2	2	0
62	4	4	1	1	1	1	2,3
63	5	1	1	2	1	2	0
64	1	1	2	2	1	2	0
65	2	1	1	2	1	1	3
66	4	1	1	2	1	2	0
67	2	1	1	2	1	1	2,3
68	2	2	1	1	1	1	1
69	1	2	1	1	1	1	2,3
70	3	2	1	2	2	2	0
71	3	4	1	2	1	2	0
72	2	1	2	2	2	2	0
73	3	1	2	2	2	2	0
74	4	3	1	1	1	1	3
75	1	2	1	2	1	1	1,2,5,6
76	2	1	2	2	1	2	0
77	2	1	1	2	1	1	3
78	4	3	2	1	1	2	0

Pitanje 8	Pitanje 8.1	Pitanje 8.2	Pitanje 8.3	Pitanje 8.4	Pitanje 8.5	Pitanje 9	Pitanje 10	Pitanje 11
0	0	0	0	0	0	1	2	1
0	0	0	0	0	0	2	2	1
0	0	0	0	0	0	3	2	2
0	0	0	0	0	0	3	1	2
0	0	0	0	0	0	2	1	2
0	0	0	0	0	0	1	2	2
0	0	0	0	0	0	3	1	2
0	0	0	0	0	0	2	2	1
0	0	0	0	0	0	1	1	1
2	3	3	3	4	4	2	1	2
0	0	0	0	0	0	2	2	1
0	0	0	0	0	0	3	2	1
2	3	5	2	2	5	3	3	2
0	0	0	0	0	0	1	1	1
0	0	0	0	0	0	2	1	2
3	4	3	4	3	1	3	1	2
3	4	4	5	3	1	3	1	2
3	4	4	5	3	4	3	1	2
0	0	0	0	0	0	1	4	2
0	0	0	0	0	0	3	1	1
3	4	4	5	4	4	3	2	1
0	0	0	0	0	0	1	1	1
0	0	0	0	0	0	2	1	2
3	3	4	4	5	4	3	1	1
2	4	4	4	4	4	2	1	1
2	3	3	4	3	4	3	2	2
2	3	4	3	4	4	3	1	1
0	0	0	0	0	0	3	1	1
0	0	0	0	0	0	2	1	1
0	0	0	0	0	0	0	1	2
0	0	0	0	0	0	0	1	2
0	0	0	0	0	0	1	2	2
0	0	0	0	0	0	3	1	2
0	0	0	0	0	0	2	1	2
3	4	4	3	3	4	3	1	1
0	0	0	0	0	0	3	2	2
0	0	0	0	0	0	3	2	2
0	0	0	0	0	0	3	1	1
0	0	0	0	0	0	3	1	1
0	0	0	0	0	0	2	2	2
0	0	0	0	0	0	3	1	1
0	0	0	0	0	0	2	1	2
2	3	3	4	4	2	1	2	2
0	0	0	0	0	0	3	1	1
0	0	0	0	0	0	3	1	1
0	0	0	0	0	0	3	1	2
0	0	0	0	0	0	2	1	2
0	0	0	0	0	0	3	1	1
0	0	0	0	0	0	3	1	1
0	0	0	0	0	0	3	1	2
0	0	0	0	0	0	2	1	2
0	0	0	0	0	0	3	1	2

0	0	0	0	0	0	2	1	2
0	0	0	0	0	0	1	1	2
2	3	3	4	4	4	3	2	2
0	0	0	0	0	0	2	1	2
3	4	5	4	3	5	1	1	2
3	4	4	3	4	4	1	1	2
0	0	0	0	0	0	1	2	2
0	0	0	0	0	0	3	1	1
0	0	0	0	0	0	2	1	1
0	0	0	0	0	0	2	2	1
1	2	2	2	1	1	2	1	2
0	0	0	0	0	0	3	1	1
0	0	0	0	0	0	0	1	1
3	4	4	4	3	3	3	1	1
0	0	0	0	0	0	3	1	1
0	0	0	0	0	0	3	3	1
3	5	4	4	4	5	3	1	2
0	0	0	0	0	0	2	2	1
3	4	4	4	4	4	3	2	2
1	3	3	3	3	3	3	3	1
3	4	4	3	3	3	3	1	1
0	0	0	0	0	0	3	1	2
0	0	0	0	0	0	3	1	2
0	0	0	0	0	0	0	2	2
0	0	0	0	0	0	2	2	1
3	3	2	3	1	2	2	2	1
2	3	4	5	2	3	1	3	1
0	0	0	0	0	0	2	1	1
3	4	4	4	3	3	3	1	2
0	0	0	0	0	0	2	1	1